

GH. IACOBESCU  
I. IORDĂNESCU  
M. TUDOSE



# REȚELE ȘI SISTEME ELECTRICE

---

EDITURA  
DIDACTICĂ ȘI PEDAGOGICĂ  
BUCUREȘTI, 1979

MINISTERUL EDUCAȚIEI ȘI ÎNVĂȚĂMÎNTULUI

Prof. dr. ing. GHEORGHE IACOBESCU

Prof. dr. ing. ION IORDĂNESCU

Șef lucrări dr. ing. MARIA TUDOSE

---

# REȚELE ȘI SISTEME ELECTRICE

---



EDITURA DIDACTICĂ ȘI PEDAGOGICĂ — BUCUREȘTI



Contribuția autorilor a fost următoarea:

Prof. dr. ing. **Gh. Iacobescu** — 65%;

Prof. dr. ing. **I. Iordănescu** — 20%;

Șef lucrări dr. ing. **M. Tudose** — 15%.

*Referent științific:* prof. dr. ing. ALEXANDRU POEATĂ

Redactor: **Gabriela Dedu**  
Tehnoredactor: **Petre Nazăru**  
Coperta: **Nicolae Sirbu**

# CUPRINS

|  |     |
|--|-----|
| Introducere.....   | 7   |
| Cap. 1. <i>Structuri de rețele electrice</i> .....   | 11  |
| 1.1. Principii de clasificare a rețelelor electrice .....  | 11  |
| 1.1.1. Tensiunile nominale de funcționare ale rețelelor electrice .....                                    | 11  |
| 1.1.2. Clasificarea rețelelor electrice în funcție de destinația lor .....                                 | 14  |
| 1.1.3. Clasificarea rețelelor electrice în funcție de extinderea lor .....                                 | 14  |
| 1.1.4. Structura topologică a rețelelor electrice .....  | 14  |
| 1.2. Schemele de conexiuni ale rețelelor electrice .....   | 15  |
| 1.2.1. Schemele de conexiuni ale rețelelor electrice de joasă tensiune .....                               | 16  |
| 1.2.2. Schemele de conexiuni ale rețelelor electrice de medie tensiune .....                               | 22  |
| 1.2.3. Schemele de conexiuni ale rețelelor electrice urbane de înaltă și foarte înaltă tensiune .....      | 35  |
| 1.3. Evoluția alimentării cu energie electrică a orașului București .....                                  | 35  |
| Cap. 2. <i>Parametrii elementelor rețelelor electrice</i> .....  | 41  |
| 2.1. Parametrii liniilor electrice .....   | 41  |
| 2.1.1. Rezistența conductoarelor liniilor electrice .....  | 42  |
| 2.1.2. Inductivitatea liniilor electrice .....   | 44  |
| 2.1.3. Capacitatea liniilor electrice .....  | 53  |
| 2.1.4. Conductanța laterală a liniilor electrice .....   | 65  |
| 2.2. Parametrii transformatoarelor electrice .....   | 70  |
| 2.2.1. Transformatorul cu două înfășurări .....  | 71  |
| 2.2.2. Transformatorul cu trei înfășurări .....  | 76  |
| 2.2.3. Transformatoare cu înfășurări scindate .....  | 79  |
| 2.2.4. Parametrii autotransformatoarelor .....   | 80  |
| 2.2.5. Particularități constructive ale transformatoarelor trifazate folosite în rețelele electrice .....  | 81  |
| 2.2.6. Elemente tehnice și de exploatare a transformatoarelor electrice .....                              | 84  |
| 2.2.7. Domeniile de utilizare în rețelele electrice ale diferitelor conexiuni ale transformatoarelor ..... | 93  |
| Cap. 3. <i>Calculul liniilor de transport de energie electrică</i> .....                                   | 95  |
| 3.1. Ecuațiile de funcționare ale liniilor electrice lungi .....   | 95  |
| 3.2. Metode de calcul a liniilor electrice lungi .....   | 106 |
| 3.2.1. Metode analitice de rezolvare a ecuațiilor liniilor electrice lungi .....                           | 106 |
| 3.2.2. Metode grafice de calcul a liniilor electrice lungi .....   | 117 |
| 3.3. Regimuri de funcționare a liniilor electrice lungi .....  | 122 |
| 3.3.1. Funcționarea liniilor lungi în diferite regimuri de încărcare .....                                 | 123 |
| 3.3.2. Funcționarea liniilor cu diferite lungimi .....   | 129 |
| 3.3.3. Funcționarea liniilor electrice lungi închise pe o sarcină oarecare .....                           | 133 |

|         |   |     |
|---------|---|-----|
| Cap. 4. | <i>Încălzirea conductoarelor liniilor electrice</i>   | 147 |
| 4.1.    | Temperaturi maxime admisibile în conductoarele liniilor electrice   | 147 |
| 4.2.    | Încălzirea conductoarelor în regim permanent  | 149 |
| 4.3.    | Încălzirea conductoarelor în regim intermitent  | 157 |
| 4.4.    | Încălzirea conductoarelor în regim tranzitoriu  | 158 |
| 4.4.1.  | Conductoare alimentate cu curent practic constant   | 164 |
| 4.4.2.  | Conductoare alimentate în condiții de pierderi aproximativ constante  | 163 |
| 4.4.3.  | Conductoare alimentate cu tensiune aproximativ constantă  | 166 |
| Cap. 5. | <i>Calculul electric al rețelelor în regim permanent de funcționare</i>   | 175 |
| 5.1.    | Determinarea căderilor și pierderilor de tensiune în rețelele electrice alimentate la un capăt                                    | 175 |
| 5.1.1.  | Reprezentarea liniilor și consumatorilor în schemele echivalente de calcul  | 177 |
| 5.1.2.  | Linie electrică reprezentată printr-o impedanță   | 177 |
| 5.1.3.  | Determinarea căderilor de tensiune în rețelele arborescente de joasă tensiune   | 184 |
| 5.1.4.  | Determinarea căderilor de tensiune în situații particulare de funcționare a liniilor electrice de joasă tensiune                  | 184 |
| 5.1.5.  | Determinarea căderilor de tensiune în liniile electrice reprezentate prin schemele echivalente ale cuadripolilor în $\pi$ sau $T$ | 189 |
| 5.2.    | Alegerea secțiunii conductoarelor liniilor electrice radiale pe baza criteriului pierderii de tensiune admisibile                 | 190 |
| 5.2.1.  | Ipoteza secțiunii constante   | 191 |
| 5.2.2.  | Ipoteza densității de curent constante  | 197 |
| 5.2.3.  | Ipoteza minimului de material   | 198 |
| 5.3.    | Calculul circulației de curenți și al căderilor de tensiune în rețelele buclate   | 204 |
| 5.3.1.  | Linie alimentată la două capete   | 205 |
| 5.3.2.  | Rețele buclate  | 211 |
| Cap. 6. | <i>Calculul pierderilor de putere și de energie în rețelele electrice</i>   | 242 |
| 6.1.    | Elemente fundamentale de calcul a pierderilor de energie în rețelele electrice  | 242 |
| 6.1.1.  | Parametrii specifici ai curbilor de sarcină   | 242 |
| 6.1.2.  | Calculul pierderilor de putere și de energie în liniile electrice   | 246 |
| 6.1.3.  | Calculul pierderilor de putere și de energie în transformatoare   | 248 |
| 6.1.4.  | Calculul pierderilor de putere într-o rețea complexă  | 250 |
| 6.2.    | Reducerea pierderilor de energie în rețele și sisteme electrice   | 256 |
| 6.2.1.  | Măsuri tehnologice de reducere a pierderilor de energie în rețelele și sistemele electrice  | 257 |
| 6.2.2.  | Măsuri de exploatare pentru reducerea pierderilor de energie în rețelele electrice  | 263 |
| Cap. 7. | <i>Reglarea tensiunii în rețelele electrice</i>   | 269 |
| 7.1.    | Mijloace de reglare a tensiunii în rețelele electrice   | 270 |
| 7.2.    | Reglarea tensiunii în rețelele electrice prin injecție sau consum de putere reactivă  | 270 |
| 7.2.1.  | Interpretarea fizică  | 270 |
| 7.2.2.  | Influența circulației puterilor reactive asupra nivelului de tensiune în rețelele electrice                                       | 271 |
| 7.2.3.  | Variația coeficientului $\frac{dQ}{dU}$ cu configurația rețelei. Semnificație fizică  | 274 |
| 7.2.4.  | Aparate și mașini electrice pentru producerea sau consumul de putere reactivă   | 277 |

|         |  |     |
|---------|--|-----|
| 7.2.5.  | Determinarea puterii compensatoarelor sincrone .....   | 280 |
| 7.2.6.  | Legarea aparatelor de compensare la rețeaua de transport .....   | 282 |
| 7.3.    | Reglarea tensiunii prin introducerea unei tensiuni adiționale .....                                    | 282 |
| 7.3.1.  | Influența tensiunii adiționale asupra circulației de putere reactivă ....                              | 282 |
| 7.3.2.  | Producerea tensiunilor adiționale longitudinale. Schimbătoarele de prize<br>sub sarcină .....          | 284 |
| 7.3.3.  | Calculul prizei necesare unei reglări de tensiune .....  | 286 |
| 7.4.    | Reglarea puterilor active și reactive într-o rețea buclată cu ajutorul tensiunilor<br>adiționale ..... | 288 |
| 7.4.1.  | Regulatoare de inducție.....   | 289 |
| 7.4.2.  | Transformatoare speciale .....   | 290 |
| 7.5.    | Reglarea tensiunii prin modificarea parametrilor rețelei .....   | 291 |
| 7.6.    | Controlul tensiunilor și puterilor reactive într-o rețea .....   | 296 |
| Cap. 8. | <i>Scurtcircuite în rețele electrice</i> .....   | 299 |
| 8.1.    | Scurtcircuitul trifazat .....  | 301 |
| 8.1.1.  | Scurtcircuitul trifazat alimentat de o sursă de putere infinită .....                                  | 301 |
| 8.1.2.  | Scurtcircuitul trifazat alimentat de la o sursă de putere finită .....                                 | 309 |
| 8.1.3.  | Influența reglajului automat asupra curenților de scurtcircuit .....                                   | 323 |
| 8.2.    | Scurtcircuite nesimetrice .....  | 327 |
| 8.2.1.  | Aplicarea metodei componentelor simetrice la studiul scurtcircuitelor<br>nesimetrice .....             | 327 |
| 8.2.2.  | Scurtcircuitul monofazat .....   | 330 |
| 8.2.3.  | Scurtcircuitul bifazat .....   | 332 |
| 8.2.4.  | Scurtcircuitul bifazat cu punere la pământ .....   | 333 |
| 8.2.5.  | Punerea simplă la pământ.....  | 338 |
| 8.3.    | Calculul curenților de scurtcircuit .....  | 341 |
| 8.3.1.  | Sistemul unităților relative .....   | 342 |
| 8.3.2.  | Valorile reactanțelor elementelor rețelei corespunzătoare curenților de<br>scurtcircuit .....          | 345 |
| 8.3.3.  | Metode practice de calcul a curenților de scurtcircuit .....   | 358 |
| 8.4.    | Tratarea neutrului în rețelele electrice .....   | 373 |
| 8.4.1.  | Moduri de tratare a neutrului în rețelele electrice .....  | 375 |
| Cap. 9. | <i>Stabilitatea sistemelor electrice</i> .....   | 386 |
| 9.1.    | Stabilitatea statică a sistemelor electrice .....  | 387 |
| 9.1.1.  | Analiza stabilității statice cu criteriul $\frac{dP}{d\theta}$ .....                                   | 389 |
| 9.1.2.  | Influența reguletoarelor automate de tensiune în cazul criteriului $\frac{dP}{d\theta}$ ....           | 392 |
| 9.1.3.  | Analiza stabilității statice cu criteriul $\frac{dQ}{dU}$ .....  | 396 |
| 9.1.4.  | Influența regulatorului de tensiune asupra stabilității după criteriul $\frac{dQ}{dU}$                 | 401 |
| 9.2.    | Stabilitatea dinamică a sistemelor electrice .....   | 402 |
| 9.2.1.  | Cauzele care produc pierderea stabilității dinamice .....  | 403 |
| 9.2.2.  | Elemente generale de calcul al stabilității dinamic .....  | 404 |
| 9.3.    | Metode de calcul al stabilității dinamice .....  | 417 |
| 9.3.1.  | Metoda ariilor .....   | 417 |
| 9.3.2.  | Metoda intervalelor succesive .....  | 425 |



## INTRODUCERE

Energia electrică constituie în secolul nostru forma intermediară de energie, prin utilizarea căreia, un mare număr de state au realizat dezvoltări ale economiilor lor în ritmuri din ce în ce mai accelerate, influențând favorabil, în același timp, și nivelul și modul de viață al oamenilor. În prezent nu există practic nici un domeniu de activitate în societatea modernă care să se poată desfășura fără energie electrică, iar indicatorii determinați de consumul acesteia permit încadrarea fiecărei țări în anumite categorii privind dezvoltarea lor economico-socială.

Creșterea treptată a utilizării energiei electrice care ajunge în prezent la peste 30% din consumul total de energie, pe plan mondial și cu mari perspective de creștere în viitor, se datorește calităților ei specifice, și anume:

- poate fi produsă pe orice amplasament care corespunde din punct de vedere tehnico-economic;

- poate fi transportată și distribuită de la surse pînă la cei mai depărtați consumatori;

- poate fi transformată în condiții avantajoase în formele de energie finită necesare diferitelor activități, respectiv: căldură, lumină, procese chimice, lucru mecanic pentru acționări.

Ținînd seama de faptul că centralele electrice care produc energia electrică sînt în număr redus față de cel al centrelor de consum și mai ales față de cel al consumatorilor, care sînt repartizați pe un teritoriu foarte mare, în principiu, corespunzător unei țări, a apărut necesitatea realizării unor instalații electrice care să transmită puterea și energia electrică produsă în centrale tuturor consumatorilor indiferent de mărimea și amplasamentul lor. Aceste instalații care constau într-un ansamblu de linii electrice aeriene și subterane și din stații și posturi de transformare constituie *rețelele electrice*.

Funcție de poziția reciprocă a centralelor electrice și a centrelor de consum, de mărimea puterilor produse și de distanțele dintre surse și consumatori, rezultă necesitatea realizării unor linii electrice de diferite tensiuni nominale, care, din punct de vedere al funcțiunii pe care o au pot fi împărțite în două categorii. Astfel, sînt linii electrice *de transport*, avînd tensiuni nominale de 400 kV, 220 kV și din ce în ce mai puține de 110 kV, și linii *de distribuție* cu tensiuni nominale de 0,4 kV; 6 kV, 10 kV, 20 kV și în parte de 110 kV. Liniile de transport transmit puteri mari de ordinul zecilor sau sutelor de MW de la centrale sau din zonele excedentare spre zone sau centre de consum situate la distanțe mari (zeci sau sute de km), iar cele de distribuție preiau puterile de pe partea secundară a stațiilor sau posturilor de transformare și le distribuie, ajungînd pînă la ultimul receptor de energie electrică.

Rețeaua electrică cuprinzând liniile și stațiile care asigură legătura între bornele generatoarelor pînă la bornele receptoarelor se încadrează într-un ansamblu mai mare denumit *sistem electroenergetic* în care intră, în plus, generatoarele electrice din centrale (fără turbine de antrenare) și toți receptorii de energie electrică. Dacă la sistemul electroenergetic se adaugă, în partea centralelor, și celelalte instalații, respectiv, turbinele, cazanele, depozitele de combustibil, pentru centralele termoelectrice și turbinele, barajele și lacurile de acumulare la centralele hidroelectrice, iar pe partea consumatorilor se consideră împreună cu receptoarele de energie electrică și mașinile sau mecanismele antrenate de acestea, ansamblul de instalații rezultă constituie un *sistem energetic*.

#### 1. Scurt istoric al dezvoltării sistemului electroenergetic din țara noastră

Dezvoltarea sistemului electroenergetic din țara noastră a parcurs două etape importante.

Prima se încheie în anul 1945, cînd după aproape 60 de ani de electrificare în regimul burghezo-moșieresc, puterea totală instalată în centralele electrice a fost de numai 710 MW, iar producția de energie electrică de 1,25 miliarde kWh.

Există o singură linie de 110 kV cu lungimea de 127 km, între centralele Dobrești și Grozăvești, iar celelalte rețele, destul de eterogene, și foarte restrînse, în general realizate în jurul unor orașe, funcționau la tensiuni de 60, 30, 15 și 6 kV. În principalele orașe existau rețele de distribuție la diferite tensiuni (2, 3, 6 și uneori 10 kV), unele dintre ele funcționînd în curent continuu sau la alte frecvențe decît cea de 50 Hz.

După instaurarea puterii populare s-a pus problema construirii bazei tehnico-materiale a socialismului, în cadrul căreia electrificarea ocupă locul principal. Dezvoltarea sistemului electroenergetic s-a realizat în mod planificat cu ritmuri înalte de creștere.

În primul plan de electrificare pe 10 ani (1950—1960), odată cu realizarea primelor centrale electrice s-au dezvoltat și rețele electrice pe zone mai întinse, ceea ce a condus la formarea primelor sisteme energetice regionale. Între anii 1950—1954 au apărut ca unități distincte sistemele regionale, corespunzătoare zonării geografice, Muntenia, Transilvania centrală, de nord-vest și de sud-vest, Oltenia, Moldova și Dobrogea. Odată cu dezvoltarea industrializării țării aceste sisteme s-au dezvoltat și s-au interconectat treptat\*, astfel că la sfîrșitul decenalului a fost creat sistemul energetic național, care a permis utilizarea rațională a tuturor instalațiilor electrice și producerea unor cantități de energie care au depășit cifrele planificate, atîngînd 7,7 miliarde de kWh.

În perioada 1961—1965 s-a impus rezolvarea unei probleme legate de funcționarea în bune condiții, cu o siguranță crescută, a unui sistem electroenergetic a cărui configurație fusese deja încheiată mai înainte. În acest scop, a fost ridicat nivelul tehnic prin montarea unor grupuri unitare de puteri mari, pînă la 100 MW și s-a introdus treapta de tensiune de 220 kV. În această perioadă apare și prima linie electrică de 400 kV, Luduș—Mukacevo—Lemeșani, prin care sistemul electroenergetic din țara noastră

---

\* În anul 1959 s-a racordat, la sistemul energetic național, ultimul sistem regional izolat pînă atunci, Dobrogea.

este interconectat cu sistemele țărilor socialiste vecine: URSS, Ungaria, Cehoslovacia.

Producția de energie electrică în anul 1965 a fost de 17,2 miliarde kWh.

În perioada 1966—1976 producția de energie electrică a crescut în același ritm, punându-se un accent deosebit pe îmbunătățirea structurii și funcționării sistemului energetic. Pentru ridicarea nivelului tehnic și utilizarea cât mai rațională a energiei electrice, s-au realizat instalații cu randamente ridicate, s-a trecut de la palierele de puteri ale grupurilor generatoare de 100 și 200 MW, importate, la palierul de 330 MW, fabricat în țară, care să poată arde combustibili inferiori, lignit și șisturi bituminoase. În acest fel se realizează una din cele mai importante probleme de valorificare în scopuri energetice a combustibililor inferiori, creîndu-se mari centrale în apropierea sau în centrul bazinelor carbonifere.

Astfel, în această perioadă s-a construit centrala termoelectrică de la Rovinari, care arde lignit extras local sau din bazinul carbonifer Motru. Puterea acesteia de 1 720 MW reprezintă de două ori și jumătate întreaga putere a României anului 1945. De asemenea, s-au deschis lucrările pentru construirea celei mai mari centrale termoelectrice de la Turceni, a cărei putere instalată de 2 640 MW este de aproape patru ori mai mare decât puterea existentă în țară, în anul 1945.

În domeniul centralelor hidroelectrice s-au construit cele mai mari uzine cu o mare parte din utilaje fabricate în țară, dintre care se amintesc cele de la Porțile de Fier de 1 050 MW (partea românească), de la Lotru de 510 MW, de pe Someș cu peste 200 MW ș.a.

În scopul reducerii pierderilor de energie în sistemul electroenergetic, s-a extins construcția liniilor de 220 și 400 kV și s-au efectuat studii privind oportunitatea introducerii treptei tensiunii de transport de 750 kV. La sfârșitul anului 1975, lungimea rețelei de transport de 400 kV era de 2 336 km, a celei de 220 kV de 3 140 km, a celei de 110 kV de 13 040 km, a celei de 1 ÷ 60 kV de peste 83 000 km și a celei sub 1 kV de circa 114 000 km. Prin aceste rețele s-a livrat către consumatori o cantitate de energie de aproape 54 miliarde kWh. Documentele de partid elaborate de Congresul al XI-lea și al XII-lea prevăd liniile directoare ale dezvoltării economice și sociale a României pe perioade mai mari de 15 sau chiar 20 ani. În prezent, puterea sistemului energetic din România este de aproximativ 14 200 MW, concentrată în centrale puternice, care au produs în anul 1978 o cantitate de energie de 64,2 miliarde kWh (adică de 32 ori mai mult decât în anul 1950), vehiculată spre consumatori printr-o rețea de linii de 110—400 kV, cu o lungime de peste 20 000 km. Sistemul energetic al țării noastre este interconectat prin linii de foarte înaltă tensiune de 220 și 400 kV cu toate țările vecine. În anul 1990 producția de energie electrică este prezumată să atingă cifra de 130—140 miliarde kWh, asigurînd necesitățile economiei în condiții optime în toate ramurile industriale.

Se va pune un accent deosebit pe dezvoltarea sistemului energetic, corespunzător transformărilor sociale și economice actuale și de perspectivă, reducerea consumurilor de combustibili, reducerea costurilor specifice ale investițiilor și ridicarea gradului de siguranță în alimentarea consumatorilor. În același timp, se va reorienta structura energiei primare consumate, ținînd seama de eliberarea unor cantități însemnate de hidrocarburi, prin construirea de noi centrale termoelectrice numai pe cărbuni inferiori și pe șisturi bitu-



minoase. În acest sens, este în curs de realizare centrala termoelectrică Anina pe șisturi bituminoase și se fac studii pentru construirea celei de a doua centrale similare, precum și a centralelor cu termoficare, pe lignit, Giurgiu, Craiova II, Timișoara, Borzești II și altele.

Pentru transportul energiei electrice, se vor extinde tensiunile de 220 și 400 kV, construindu-se noi linii și realizându-se un sistem solid, capabil să alimenteze consumatorii de energie electrică în condiții de siguranță sporite. De asemenea, pentru distribuția energiei electrice în industrie și centrele urbane, se va ridica nivelul de tensiune, în acest fel crescând gradul de tehnicitate și reducându-se pierderile tehnologice de energie din rețelele electrice.

Din acest scurt istoric rezultă importanța deosebită pe care o reprezintă în electrificarea țării noastre rețelele electrice și sistemul electroenergetic, care constituie obiectul acestui curs.

Ținându-se seama de necesitatea pregătirii studenților ingineri de la facultatea de Energetică, la nivelul cerințelor actuale, s-a căutat, ca în conținutul manualului, să fie cuprinse problemele mai importante, ținându-se seama de programa analitică fixată. În acest sens, au fost tratate structura rețelilor electrice și parametrii elementelor componente ale acestora (linii, transformatoare), calculul electric al liniilor electrice, calculul încălzirii conductoarelor, calculul pierderilor de tensiune și alegerea secțiunii conductoarelor, calculul pierderilor de putere și de energie electrică și măsurile de reducere a acestora. De asemenea, s-a acordat o atenție deosebită examinării reglajului de tensiune în rețelele electrice, calculului curenților de scurtcircuit și tratării neutrlui rețelilor electrice și stabilității funcționării în paralel a sistemelor electrice.

Însușirea acestor probleme de către studenții facultății de Energetică care vor lucra în cadrul sistemului energetic, în centralele termo- și hidro-electrice, precum și în viitoarele centrale nucleare electrice, constituie o condiție necesară pentru desfășurarea unei activități multilaterale în domeniul energetic.

## Capitolul 1

### STRUCTURI DE REȚELE ELECTRICE

Transferul energiei electrice de la sursă spre consumatori se face prin intermediul rețelilor electrice. Organizarea și coordonarea acestor rețele determină structura lor. Deoarece structura rețelilor electrice influențează puternic economicitatea și siguranța în funcționare a sistemului electroenergetic, în cadrul acestui capitol se urmărește o prezentare sintetică a tipurilor reprezentative de structuri de rețele electrice.

#### 1.1. PRINCIPII DE CLASIFICARE A REȚELILOR ELECTRICE

Clasificarea riguroasă a rețelilor electrice este dificil de făcut, deoarece nu există puncte de vedere unanime în acest sens. În cele ce urmează, această clasificare se va prezenta ținând seama de următoarele patru criterii: *tensiunea nominală de funcționare, funcția sau destinația rețelilor, teritoriul pe care se extind și topologia lor.*

##### 1.1.1. TENSIUNILE NOMINALE DE FUNCȚIONARE ALE REȚELILOR ELECTRICE

Din punctul de vedere al tensiunilor nominale de funcționare, în practică se indică următoarele categorii de rețele: de joasă tensiune (JT), de medie tensiune (MT), de înaltă tensiune și foarte înaltă tensiune (IT și FIT).

Domeniul tensiunilor joase utilizate în construcția rețelilor electrice are valori pînă la 1 kV, a celor medii — pînă la 35 kV, a celor înalte — pînă la 220 kV, iar a celor foarte înalte — peste 220 kV. Această creștere a tensiunilor de serviciu a rețelilor electrice determinată de dezvoltarea rapidă a consumatorilor și de necesitatea alimentării lor cu energie de la surse îndepărtate, a condus la implicații economice, care se referă atît la investiții, cît și la reducerea pierderilor tehnologice de energie.

În trecut, gama tensiunilor era foarte largă. Un exemplu din acest punct de vedere îl constituie evoluția tensiunilor în România începînd cu anul 1882 pînă în prezent, indicată în tabela 1.1. Se constată că înainte de 1940 au fost construite atît rețele de curent continuu, cît și de curent alternativ la frecvențe de 42, 45 și 50 Hz.

Pe măsura creșterii consumului de energie electrică s-a impus tot mai mult reducerea numărului de trepte de tensiune, această operație prezentînd, mari avantaje economice și tehnice. Astfel, s-au redus investițiile ca urmare

Situația tensiunilor din România în perioada 1882—1978

| Anul de apariție | Localitatea                   | Tensiunea                         | Denumirea lucrării  |
|------------------|-------------------------------|-----------------------------------|---|
| 1882             | București                     |                                   | Prima expoziție de iluminat cu arc din România                          |
| 1883             | București                     |                                   | Iluminatul cu arc al Teatrului Național                                 |
| 1884             | Timișoara                     | 2 kV c.c. și becuri de 55 V       | Prima instalație de iluminat electric a străzilor din România și Europa |
| 1888             | Timișoara                     | 2 kV, c.a. monofazat; 110 V, c.a. |   |
| 1889             | București                     | 600 V, c.c.                       | CTE Grozăvești  |
| 1895—96          | Sadu-Sibiu                    | 4,5 kV, 45 Hz, monofazat          | LEA   |
| 1898             | Sinaia                        | 3 kV, trifazat                    |   |
| 1898             | Sinaia-Doftana                | 10 kV trifazat                    | LEA   |
| 1900             | Sinaia-Cîmpina                | 25 kV trifazat                    | LEA;  |
| 1902             | Craiova                       | 2 × 140 V, c.c.                   | Primul grup Diesel din România  |
| 1903             | Oradea                        | 3 kV, 42 Hz                       |   |
| 1907             | Sadu II (Sibiu)               | 12 kV                             |   |
| 1908             | Constanța                     | 2 × 220 V, c.c.                   |   |
| 1908             | București                     | 5 kV, 208/120 V                   | Filaret   |
| 1912             | Vaslui                        | 500 V                             | prof. Vasilescu-Karpen  |
| 1915             | Someșul Rece (Cluj)           | 15 kV, 42 Hz                      | CHE   |
| 1924             | Florești-Pitești-București    | 60 kV                             | LEA   |
| 1926             | Timișoara                     | 10 kV                             |   |
| 1930             | Dobrești (Ialomița)-București | 110 kV                            | prima LEA (127 km)  |
| 1930             | Cluj                          | 66 kV                             |   |
| 1933             | București                     | 30 kV                             | Șoreceni-Cluj   |
| 1938             | București                     | 6 kV                              |   |
| 1952             | Doicești-București            | 110 kV                            | București   |
| 1950—1960        |                               | 15 kV și 35 kV                    | a doua LEA  |
| 1952             | București                     | 110 kV                            | LEA   |
| 1961             | Bicaz                         | 220 kV                            | LEC (2 km)  |
| 1965             | Luduș-Lemeșani                | 400 kV                            | LEA   |

a tipizării unei game largi și de mare serie de materiale și de soluții și s-a simplificat exploatarea prin reducerea numărului de materiale utilizate și prin ridicarea competenței profesionale a personalului de exploatare. În același timp, s-a creat posibilitatea interconectării rețelelor care alimentau zone vecine, permițând reducerea puterii instalate în centralele electrice.

Reducerea numărului de tensiuni a avut loc în toate țările. Astfel, în Franța, existau în anul 1946 un număr de 25 de tensiuni medii, pentru ca în prezent să se ajungă la numai 5 tensiuni; trebuie menționat, de exemplu, că în 1960, în aceeași țară, deși tensiunea de 15 kV reprezenta cea mai importantă treaptă de tensiune medie în construcția rețelelor de distribuție a energiei, celelalte trepte de 10, 20 și 30 kV fiind puțin răspândite, când s-a pus problema alegerii și standardizării, opțiunea nu s-a făcut pentru tensiunea de 15 kV, ci pentru cea de 20 kV, care prezintă avantajul că permite creșterea capacității de transport în raport cu prima și oferă posi-

bilitatea alimentării cu energie electrică a consumatorilor într-o perspectivă mai îndepărtată. În același timp, instalațiile existente de 15 kV puteau fi trecute la tensiunea de 20 kV, cu modificări foarte reduse, deoarece ele aveau rezerve suficiente de izolație.

În R.F.G. la aceleași categorii de rețele de medie tensiune există tendința generalizării treptei de 10 și 20 kV, alegerea fiind dictată de unele condiții locale. La treapta de 10 kV se trec vechile rețele de 6 kV. Aceeași tendință de restrângere a treptelor de tensiune există și în Anglia, unde pentru rețele de medie tensiune se utilizează treptele de 11 și 33 kV, în localități urbane și de 20 kV, în anumite zone rurale.

În țara noastră în anul 1965, în domeniul rețelilor de joasă tensiune, în afara tensiunii de 220/380 V, mai existau și instalații la 127/220 și 120/208 V. În prezent, ultimele două trepte au dispărut, tensiunea de 220/380 V fiind singura tensiune normalizată pentru treapta de joasă tensiune. În, unele cazuri, chiar tensiunea de 220/380 V se dovedește a fi prea mică, fiind avantajoasă din punct de vedere economic înlocuirea ei cu o tensiune mai ridicată, care se profilează a fi cea de 660 V.

În grupa rețelilor de MT, ponderea importantă au avut-o rețelele de 5; 6 și 15 kV, ultima fiind utilizată mai ales în construcția rețelilor aeriene din zonele rurale. Instalațiile de 10 și 20 kV erau puțin dezvoltate. În prezent însă, sînt aproape generalizate tensiunile de 10 kV și 20 kV în zonele urbane și tensiunea de 20 kV în zonele rurale. Operația începută în anul 1965, de trecere de la 5 și 6 kV la treptele de 10 și 20 kV și de la 15 kV la treapta de 20 kV, se încheie, în anul 1980. Deoarece s-a preconizat ca în zonele urbane tensiunea de 20 kV să capete o mai largă dezvoltare, în anul 1977 a fost asimilată în țara noastră fabricația cablului de 20 kV la un cost apropiat de cel de 10 kV, ceea ce va face posibilă extinderea rapidă a acestei trepte de tensiune.

Pentru trecerea unei rețele la tensiuni superioare de distribuție s-au avut în vedere două procedee, și anume *procedeul suprapunerii* și *procedeul substituției*.

În primul procedeu se creează progresiv o nouă rețea peste cea existentă, care coexistă pînă la înlocuirea totală a instalațiilor vechi. În cadrul orașelor mari sau al zonelor cu expansiune rapidă, acest procedeu este singurul utilizabil.

Cel de-al doilea procedeu presupune echiparea progresivă a rețelei existente cu elemente la tensiunea superioară, deși funcționarea ei are loc la tensiunea inferioară care urmează a fi înlocuită. Trecerea propriu-zisă la noua tensiune urmează să se efectueze odată cu înlocuirea transformatoarelor din rețea.

Ținînd seama de condițiile locale și de tradiția de dezvoltare energetică a fiecărei țări, Comisia Electrotehnică Internațională (C.E.I.) a recomandat o gamă de tensiuni cu trepte foarte dese, prezentate în mod informativ în tabela 1.2, începînd cu 3 kV. În aceeași tabelă sînt date și treptele de tensiuni standardizate în țara noastră (cifrele indicate între paranteze constituie tensiuni a căror extindere nu mai este indicată de standarde, urmînd ca într-un viitor apropiat să se renunțe la aceste trepte).

Tabela 1.2

## Trepte de tensiune, în kV

| Recomandate de C.E.I.             | 3   | 3,3 | 6   | 6,6  | 11   | 15  | 20  | 22  | 30  | 33  | 45  | 47  | 66  | 69  | 110 |
|-----------------------------------|-----|-----|-----|------|------|-----|-----|-----|-----|-----|-----|-----|-----|-----|-----|
|                                   | 115 | 132 | 138 | 150  | 161  | 220 | 230 | 275 | 287 | 330 | 345 | 380 | 400 | 500 | 700 |
| Standardizate în<br>R. S. România | (6) | 10  | 20  | (35) | (60) | 110 | 220 | 400 |     |     |     |     |     |     |     |

## 1.1.2. CLASIFICAREA REȚELELOR ELECTRICE ÎN FUNCȚIE DE DESTINAȚIA LOR

În funcție de destinația lor, rețelele electrice se pot împărți în *rețele de transport* și *rețele de distribuție*. Prima categorie asigură transportul unor cantități însemnate de energie electrică la consumatori situați la distanțe mari, de ordinul sutelor de kilometri, realizând legături între principalele noduri ale sistemului electroenergetic. Tensiunile utilizate în acest domeniu sînt tensiuni înalte și foarte înalte.

Cea de-a doua categorie asigură transportul unor cantități de energie electrică relativ reduse, pe distanțe scurte și la un ansamblu limitat de consumatori.

Se menționează că într-o rețea de distribuție a energiei electrice se utilizează cel puțin două trepte de tensiune, și anume o tensiune joasă și una medie. Acest lucru este impus de insuficienta capacitate de alimentare a consumatorilor numai prin rețeaua de joasă tensiune, la care sînt racordați aceștia, de cele mai multe ori, în mod direct. Din această cauză s-au creat posturi de transformare de MT/JT cu alimentarea pe partea de medie tensiune și cu multe plecări pe partea de joasă tensiune. În cazul unor consumatori mari, posturile de transformare se transformă în instalații mai extinse, sub forma unor stații de transformare de IT/MT, în care pe partea primară se pot utiliza tensiuni de 20 sau chiar de 110 kV.

## 1.1.3. CLASIFICAREA REȚELELOR ELECTRICE ÎN FUNCȚIE DE EXTINDEREA LOR

După extinderea lor, rețelele electrice pot fi *republicane*, care constituie magistrale de înaltă și foarte înaltă tensiune ce străbat distanțe foarte mari, la nivelul țării, *regionale*, pe distanțe mai reduse, *urbane* și *rurale*.

Se consideră rețele electrice urbane, rețelele electrice de pe teritoriul orașelor care asigură alimentarea cu energie electrică a tuturor consumatorilor, cu excepția întreprinderilor consumatoare de energie electrică care au pe teritoriul ocupat de ele, rețele electrice proprii. Rețelele de distribuție din interiorul întreprinderilor se numesc rețele industriale. Rețelele electrice rurale sînt rețele de distribuție a energiei electrice în mediul rural.

## 1.1.4. STRUCTURA TOPOLOGICĂ A REȚELELOR ELECTRICE

Rețelele electrice trebuie să asigure transportul și distribuția energiei cu un înalt grad de siguranță, cu toate că elementele lor componente sînt supuse unor variate avarii. Gradul de siguranță al alimentării cu energie

se mărește, fie prin construirea unor linii și aparate puternic dimensionate, fie prin creșterea numărului de circuite.

Creșterea gradului de siguranță este însă o acțiune costisitoare. Din această cauză sînt necesare calcule comparative care privesc costul investițiilor suplimentare, pe de-o parte, și costul a ceea ce se economisește prin această îmbunătățire a siguranței, pe de altă parte. Evident că acest studiu comparativ este propriu fiecărui tip de rețea și din această cauză topologiile sau configurațiile rețelelor electrice se deosebesc, uneori fundamental. Ținînd seama de acest lucru, se indică orientativ următoarele configurații de rețele: *radiale*, *buclate* și *complex buclate*.

*Rețeaua radială, arborescentă sau deschisă*, se caracterizează prin simplitatea structurii ei, fiind utilizată atît la joasă tensiune, cît și la înaltă tensiune. Ea pleacă de la o singură sursă de energie, de exemplu barele de joasă tensiune ale unui post de transformare, fiind constituită din una sau mai multe ramificații, care urmează, în general, traseele pe care se află consumatorii.

*Rețelele buclate* sînt alimentate de la mai multe capete, în general, de la două sau trei surse de energie. În cazul a două surse de energie, rețeaua poate fi constituită dintr-o linie simplă alimentată de la ambele capete. În cazul în care tensiunile de la cele două capete sînt egale în modul și argument, rețeaua alimentată de la două capete poate fi reprezentată ca o rețea inelară. Liniile de legătură, în cazul rețelelor buclate, n-au discontinuități între surse, astfel încît acestea debitează sau funcționează în paralel. Existența mai multor surse în paralel mărește gradul de siguranță în alimentarea cu energie electrică, deoarece cînd o ramură sau o sursă este avariata și scoasă din funcțiune, consumatorii pot fi alimentați pe alte căi de la sursa sau sursele rămase neavariate. Aceste rețele însă sînt mai scumpe decît cele radiale, necesitînd elemente constructive mai numeroase și o protecție mai complexă.

*Rețelele complex buclate* formează o structură analoagă ochiurilor unei plase. Numărul surselor care debitează în paralel poate fi foarte mare, de ordinul sutelor. Această structură necesită ca toate liniile electrice să suporte suprasarcini și să fie echipate la cele două extremități cu aparate de deconectare, pentru caz de avarie. Alimentarea consumatorilor cu ajutorul acestor rețele prezintă o siguranță foarte bună, însă la un preț ridicat. Din această cauză, așa cum se va descrie mai tîrziu, configurația rețelelor poate fi buclată, însă alimentarea consumatorilor să se facă radial, pe centre de consumatori, deconectînd anumite linii la un capăt.

## 1.2. SCHEMELE DE CONEXIUNI ALE REȚELELOR ELECTRICE

Schema de conexiuni a unei rețele electrice sau configurația ei reprezintă cu ajutorul unor semne convenționale, elementele componente principale — linii, transformatoare, instalații de compensare, bobine de reactanță, aparate de comutație — respectînd legăturile reale dintre aceste elemente. Orice schemă de conexiuni a rețelelor electrice trebuie să corespundă necesităților impuse de dezvoltarea consumatorilor și a surselor de energie și să îndeplinească următoarele condiții principale:

— să asigure continuitatea în alimentarea cu energie electrică a consumatorilor, ținând seama că orice întrerupere provoacă pagube economice, iar în cazul orașelor mai mari, are și aspecte importante de ordin psihologic;

— să fie simple pentru exploatare și să ofere operativitate și elasticitate; elasticitatea în exploatare se impune mai ales rețelelor electrice de distribuție, pentru care, în caz de avarii, trebuie găsite căile suplimentare de alimentare a consumatorilor, ocolind sau izolând porțiunea defectă;

— să ofere posibilitatea de extindere în viitor, în funcție de amplasarea consumatorilor și a surselor de energie, de puterea cerută de consumatori în timp (curba de sarcină), precum și de dezvoltarea rețelelor de înaltă și foarte înaltă tensiune;

— să limiteze intensitatea curenților de scurtcircuit pînă la anumite valori maxime, determinate, în principal, de caracteristicile aparatelor de comutație. Respectarea acestei condiții este deosebit de importantă din punct de vedere economic și al siguranței în funcționare;

— să aibă un nivel tehnic ridicat care este determinat de utilizarea unor materiale și aparate cu performanțe ridicate, precum și a celor mai moderne sisteme de protecție și de automatizare.

În cele ce urmează se prezintă și se interpretează cele mai importante scheme de conexiuni de joasă, medie și înaltă tensiune, punîndu-se un accent deosebit pe rețelele electrice de distribuție urbane.

### 1.2.1. SCHEMELE DE CONEXIUNI ALE REȚELOR ELECTRICE DE JOASĂ TENSIUNE

Rețelele electrice de joasă tensiune alimentează cu energie electrică consumatorii, formați din iluminatul public și particular, motoare mici pentru hidrofoare, ascensoare, ventilatoare etc., precum și ateliere sau mici întreprinderi industriale. Energia electrică la astfel de consumatori se distribuie printr-o rețea de joasă tensiune de 380/220 V, conectată la una de medie tensiune de 20, 10 (6) sau de 20 (15) kV.

Schemele de conexiuni din rețelele electrice de joasă tensiune depind în principal de valoarea sarcinii specifice, exprimată în MVA/km<sup>2</sup> și de necesitatea asigurării unui grad de rezervare superior.

În cele ce urmează se vor discuta următoarele configurații de rețele de joasă tensiune: *radiale*, *bucate* și *complex bucate*.

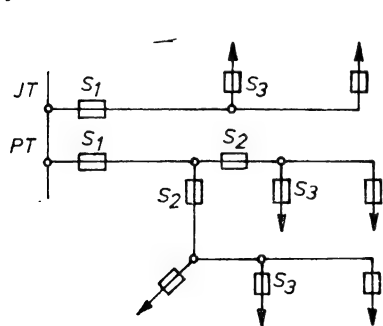


Fig. 1.1. Schema de conexiune radială a unei rețele.

Schema radială prezentată în figura 1.1 are aparate de protecție simple și sigure constituite din siguranțele  $S_1$ ,  $S_2$  și  $S_3$  montate pe liniile principale ( $S_1$ ), pe derivațiile dintre aceste linii ( $S_2$ ) și pe racordurile la consumatori ( $S_3$ ). Pentru ca în cazul unei avarii să fie deconectați cît mai puțini consumatori, protecția realizată prin siguranțe trebuie să fie selectivă, adică siguranțele să fie alese astfel încît curenții nominali ai acestora să descrească pe măsura depărtării de sursa de alimentare..

Schema fiind simplă, exploatarea ei este foarte ușoară însă gradul de siguranță în alimentarea consumatorilor este redus, deoarece în cazul unei avarii, rămân fără alimentare cu energie electrică toți consumatorii situați în aval de siguranța care a lucrat. Datorită acestui fapt rețelele radiale se utilizează numai pentru alimentarea consumatorilor a căror întrerupere nu are consecințe grave.

*Schemele de conexiuni buclate* oferă posibilitatea alimentării consumatorilor pe mai multe căi de la aceeași sursă sau de la surse diferite și în consecință elimină neajunsul principal al schemelor radiale. În același timp, se reduc mult pierderile de energie față de rețelele radiale, ca urmare a faptului că consumatorii sînt alimentați de la posturile de transformare cele mai apropiate, îmbunătățindu-se totodată nivelul de tensiune, deoarece fiecare linie din rețeaua buclată este alimentată de la ambele capete.

În figura 1.2 se prezintă o rețea de joasă tensiune *buclată longitudinal*, la care posturile de transformare *PT* în număr de trei pînă la șase sînt alimentate de la aceeași linie de medie tensiune.

În această rețea liniile de joasă tensiune la care sînt conectați consumatorii sînt alimentate, fie de la două posturi de transformare, fie de la un singur post de transformare cu funcționare în inel închis. Aceste linii sînt dimensionate pentru alimentarea de la două capete. În cazul în care pe liniile de joasă tensiune, în punctele de separație a curenților se montează siguranțe de tipul siguranțelor  $S_1$ ,  $S_2$ ,  $S_3$  rețeaua se numește rețea buclată longitudinal cu legături slabe.

Curentul nominal al acestor siguranțe este cu două trepte mai mic decît curentul nominal al siguranțelor prevăzute la capetele liniei în posturile de transformare.

În cazul unui scurtcircuit  $k_1$ , pe linia de medie tensiune care alimentează cele trei posturi de transformare, are loc, în urma deconectării întregului din punctul de alimentare  $PA_1$ , întreruperea întregii rețele alimentate de cele trei posturi de transformare. Localizarea defectului prin încercări repetate de deconectare și repunere sub tensiune a rețelei, se face numai după scoaterea siguranțelor care reprezintă așa-zisele legături slabe ( $S_2$  și  $S_3$ ). Această operație este necesară pentru a se evita topirea lor datorită suprasarcinii. În cazul unui scurtcircuit  $k_2$  în transformatorul din postul de transformare  $PT_2$ , se topește siguranța montată pe partea de medie tensiune a acestuia ca și siguranțele  $S_2$  și  $S_3$ . În acest fel, rămîn fără ali-

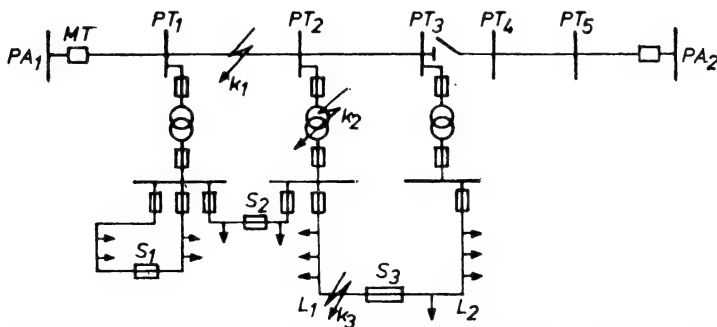


Fig. 1.2. Schema de principiu a rețelei buclate longitudinale cu „legături slabe“.



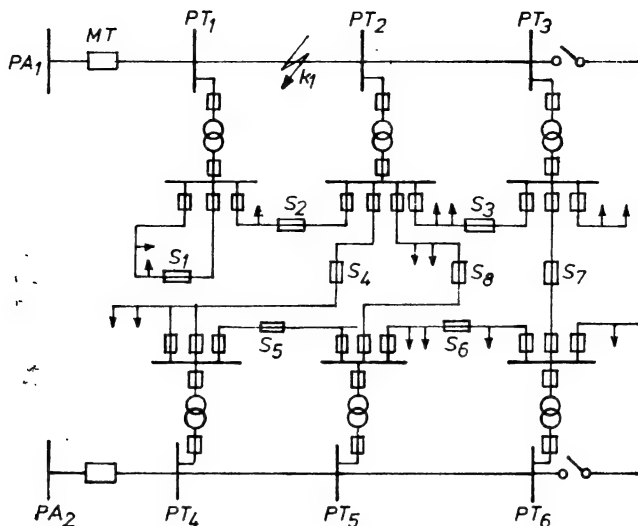


Fig. 1.3. Schema buclată longitudinal și transversal cu „puncte de legătură slabe”.

mentare consumatorii care în mod obișnuit sînt conectați la acest post de transformare. Repunerea sub tensiune începe prin deconectarea transformatorului din postul de transformare  $PT_2$  pe partea de medie și joasă tensiune și prin trecerea sarcinii alimentate de la acest post, prin liniile de legătură, la posturile de transformare  $PT_1$  și  $PT_3$ , situație care se menține pînă la înlocuirea transformatorului.

În această schemă transformatoarele trebuie prevăzute cu o rezervă suficientă de putere, pentru ca în cazul avarierii unuia din transformatoare, cele rămase în funcțiune să poată prelua și sarcina transformatorului avariât.

În cazul defectului din punctul  $k_3$  de pe o linie de joasă tensiune se topesc siguranțele din postul de transformare  $PT_2$  și „legătura slabă”  $S_3$ . În acest fel se selectează numai porțiunea defectă.

Pentru creșterea siguranței în alimentarea consumatorilor s-a trecut la buclarea rețelei de joasă tensiune, a cărei alimentare să se realizeze de la linii diferite de medie tensiune. În acest fel s-a obținut schema de conexiuni *buclată longitudinal și transversal* cu „puncte de legături slabe”, prezentată în figura 1.3.

Funcționarea protecției în caz de defect este analoagă cu aceea a schemei buclată, longitudinal. Astfel, în cazul unui scurtcircuit în punctul  $k_1$ , pe cablul (distribuitorul) de 10 kV, acesta este deconectat din punctul de alimentare și totodată separat de celălalt distribuitor prin topirea siguranțelor  $S_3$ ,  $S_4$ ,  $S_7$  și  $S_8$ . După izolarea defectului, prin intermediul legăturilor transversale, consumatorii din rețeaua de joasă tensiune sînt alimentați de la linia de medie tensiune neavariată. În aceste condiții, rezultă că în cazul existenței unei rezerve suficiente, se asigură o alimentare continuă a consumatorilor cu energie electrică, atît la producerea defectului pe linia de medie tensiune, cît și într-unul din transformatoare.

Repunerea sub tensiune după o asemenea avarie începe cu desfacerea siguranțelor  $S_2$ ,  $S_3$  și  $S_7$ , determinarea prin încercări a tronsonului defect etc.

Experiența de exploatare a acestei rețele a arătat că ea este puțin sensibilă la șocurile de sarcină ce pot apărea, că nivelul de tensiune este corespunzător și pierderile de energie sînt considerabil reduse față de cazul alimentării radiale.

Dezavantajul unor asemenea scheme este determinat de timpul mare necesitat de lichidarea avariilor prin desfacerea așa-ziselor „legături slabe”. Deoarece schimbarea siguranțelor într-o astfel de rețea se face sub tensiune și sub sarcină, se recomandă înlocuirea siguranțelor de pe partea de joasă tensiune a transformatoarelor cu întreruptoare de joasă tensiune.

În cazul în care în aceste scheme nu se mai introduc siguranțele legăturilor slabe, care realizează desfacerea rețelei în timpul unei avarii, este necesară echiparea posturilor de transformare cu întreruptoare automate prevăzute cu relee direcționale sau cu siguranțe riguroase calibrate pentru a asigura protecția în cazul defectelor pe partea de medie tensiune. Rețeaua de joasă tensiune este protejată prin siguranțe.

*Rețeaua complex buclată* poate fi concepută sub forma ei cea mai simplă ca în figura 1.4, a, unde alimentarea din rețeaua de medie tensiune, se face prin trei cabluri ( $C_1$ , 2 și 3). O astfel de schemă are avantajul față de schemele prezentate anterior că permite reducerea într-o oarecare măsură a rezervei din transformatoare, și din conductoare pe partea de medie tensiune și joasă tensiune, fără a micșora gradul de siguranță în alimentarea cu energie electrică a consumatorilor.

În figura 1.4, b se prezintă o rețea de joasă tensiune *complex buclată în formă de plasă*. Nodurile rețelei, create la fiecare cutie de distribuție,

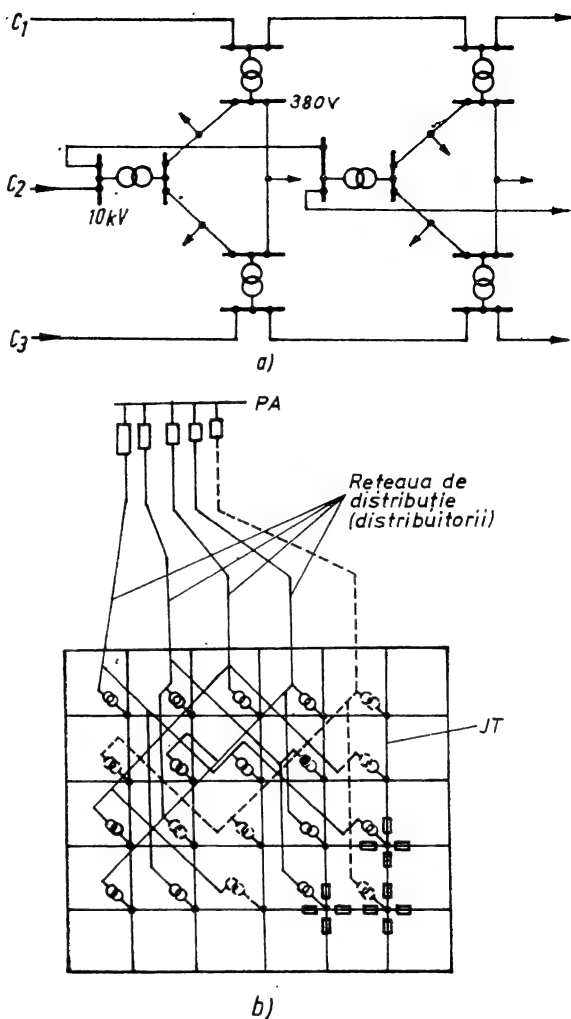


Fig. 1.4. Configurații de bază ale rețelilor de distribuție de joasă tensiune buclate:

a — rețea buclată; b — rețea complex buclată.

cuprind cel puțin trei cabluri de joasă tensiune alimentate de la posturi de transformare diferite.

În această configurație de rețea este practic evitată întreruperea alimentării cu energie electrică a consumatorilor în cazul unei avarii într-un cablu de medie tensiune sau într-un post de transformare, iar un defect în rețeaua de joasă tensiune conduce la izolarea tronsonului avariat prin acțiunea siguranțelor fuzibile și afectează doar consumatorii racordați la tronsonul respectiv.

În afara acestui avantaj, care este legat de siguranța în alimentare a consumatorilor, configurația complex buclată permite acoperirea unor sarcini crescute numai prin introducerea unor noi posturi de transformare în nodurile corespunzătoare ale rețelei, fără alte lucrări în rețeaua de joasă tensiune. În același timp, capacitatea de încărcare a rețelei de joasă tensiune poate crește, pînă la limita admisibilă din punct de vedere termic, nemaifiind limitată de căderile de tensiune.

Rețelele buclate prezintă dezavantajul unor cheltuieli de investiții mai mari cu cel puțin 20% față de cele radiale, ca urmare a montării unor aparate perfecționate suplimentare de protecție.

Astfel, posturile de transformare sînt dotate cu întreruptoare automate echipate cu relee direcționale. În cazul unui defect pe un cablu de alimentare la tensiunea medie, va declanșa întreruptorul din punctul de alimentare prevăzut cu protecție maximală; deoarece cablul rămîne alimentat prin rețeaua de joasă tensiune declanșează întreruptoarele automate echipate cu relee direcționale montate în posturile de transformare care sînt racordate la cablul respectiv. În acest mod cablul este deconectat de la toate sursele de tensiune. În cazul unui defect în transformator, acesta este izolat pe partea de medie tensiune cu ajutorul întreruptorului respectiv, cînd acesta există, iar cînd nu există, prin deconectarea cablului de alimentare cu toate posturile racordate la el, iar pe partea de joasă tensiune cu ajutorul întreruptorului automat echipat cu relee direcționale. Sarcina posturilor de transformare deconectate este preluată de celelalte posturi și cabluri, prin intermediul rețelei de joasă tensiune. Separarea selectivă a posturilor defecte dintr-o rețea se poate realiza cu siguranțe de mare putere de rupere montate în toate nodurile rețelei. Se folosesc siguranțe cu caracteristică lentă în domeniul de scurtcircuit, care asigură selectivitatea și nu deconectează la diferite șocuri de curent de scurtă durată.

Datorită avantajelor arătate, schemele complex buclate s-au extins mult în concepția rețelelor de distribuție de joasă tensiune în zonele urbane. În orașul București, această schemă este folosită din anul 1963, cînd a început să funcționeze experimental numai în zona unui punct de alimentare. Pînă în anul 1975, o astfel de concepție s-a extins la 11 puncte de alimentare cu 275 posturi de transformare, fapt care a permis reducerea pierderilor de energie. Trecerea la configurații complex buclate, cu cele 3—4 distribuitoare care se întrepătrund este foarte costisitoare. Din această cauză, uneori avantajele oferite de aceste configurații sînt insuficiente pentru compensarea costurilor ridicate. Dezvoltarea ei este prevăzută în continuare în zonele dimensionate corespunzător, în alte zone efectuîndu-se numai buclări longitudinale și transversale.

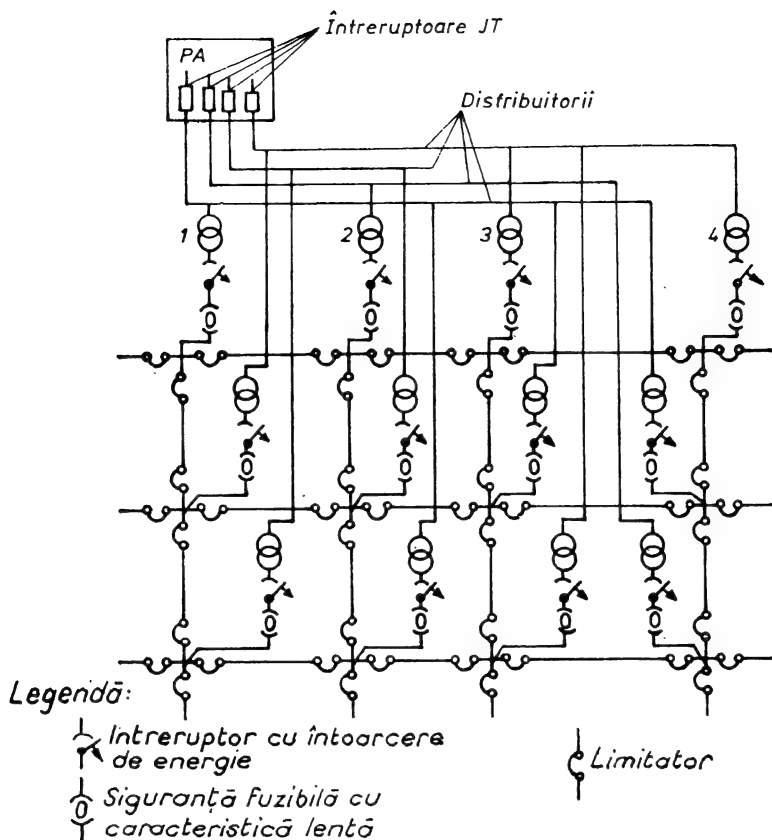


Fig. 1.5. Schema unei rețele complex buclate de joasă tensiune cu limitatoare.

În anumite cazuri, pentru reducerea investițiilor s-au dezvoltat scheme complex buclate, fără siguranțe fuzibile. În aceste condiții izolarea defectelor se realizează pe principiul autoizolării, prin arderea locală a cablurilor afectate, existând posibilitatea de a nu mai fi întreruptă alimentarea nici unui consumator.

În figura 1.5 se prezintă o astfel de rețea, în care posturile de transformare nu au protecție pe partea primară, singurul element de deconectare fiind elementul de pe cablul distribuitor. În aceste condiții, în cazul unui defect pe cablul de medie tensiune sau într-un transformator, se deconectează distribuitorul cu toate posturile de transformare conectate la el. Din această cauză este necesară o întrepătrundere foarte strânsă a posturilor de transformare.

Dacă defectul are loc în rețeaua de joasă tensiune, între două noduri ale acesteia, eliminarea lui se va face prin arderea locală a cablului, care are loc într-un timp foarte scurt, ce nu depășește 1 s. Stingerea arcului electric care ia naștere la ardere, se produce datorită scăderii tensiunii în locul de defect și a degajării din izolația cablului a unor gaze deionizante cu care se realizează un suflaj local. În rețelele de joasă tensiune de 380 V

sau mai mici stingerea arcului și autoizolarea defectului este sigură, dacă intensitatea curenților de scurtcircuit este cuprinsă între anumite limite. De exemplu, pentru cabluri cu secțiunea de  $95 \text{ mm}^2$  — Cu, curenții de scurtcircuit trebuie să fie cuprinși între limitele de 1,5 și 20 kA \*. Dacă intensitatea acestora este prea mare, arderea arcului este favorizată, iar dacă este prea mică, degajarea de gaze deionizante poate fi insuficientă pentru stingerea acestuia. La secțiuni mai mici, la cabluri de aluminiu sau la tensiuni mai joase, apariția fenomenului de autoizolare este mai sigură.

Totuși, în rețelele de joasă tensiune cu autoizolare se pot utiliza ca mijloace suplimentare de protecție, limitatoarele, care sînt realizate sub forma unor siguranțe cu fir fuzibil mai gros și cu inerție termică mare. Ele permit desfășurarea fenomenului de autoizolare în bune condiții, dar se topesc dacă defectul durează și tinde să se permanentizeze. Ele sînt montate, așa cum se vede în figura 1.5, la capetele fiecărui cablu și în posturile de transformare.

Apariția unor soluții noi de dezvoltare urbanistică, caracterizate prin construcții înalte și foarte înalte au determinat creșterea sarcinilor specifice și perfecționarea echipamentelor electrice și a mijloacelor de întreținere și intervenție în caz de avarie în rețelele de distribuție.

În aceste condiții este posibilă revenirea la schemele radiale, care necesită investiții mult mai mici și o exploatare mai ușoară decît rețelele complex buclate. În multe cazuri, rezervele asigurate din concepție pentru rețelele complex buclate de joasă tensiune, nu pot fi valorificate în exploatare decît după un timp îndelungat, din cauza unor manevre complicate care trebuie efectuate. Din această cauză, pentru alimentarea unor clădiri foarte înalte, se utilizează racorduri adînci la medie tensiune, urmînd ca distribuția la diverse nivele să se realizeze prin scheme radiale de joasă tensiune.

### 1.2.2. SCHEMELE DE CONEXIUNI ALE REȚELELOR DE MEDIE TENSIUNE

Rețelele de medie tensiune alimentează cu energie electrică rețelele de joasă tensiune prin intermediul posturilor de transformare (PT) de MT/JT, precum și unii consumatori industriali racordați direct la medie tensiune. La rîndul lor, rețelele de medie tensiune sînt alimentate cu energie electrică fie de la rețelele de înaltă sau foarte înaltă tensiune prin intermediul stațiilor de transformare, fie direct de la barele centralelor. Barele de medie tensiune ale stațiilor de transformare sau barele centralelor constituie barele de alimentare ale rețelor de medie tensiune.

În cazul în care aceste rețele pleacă direct de la barele de alimentare la barele consumatoare se spune că sistemul de distribuție la medie tensiune este cu *distribuție directă*. În cazul în care între barele de alimentare ale rețelor de medie tensiune și barele consumatoare ale acestora se află *stații de conexiuni de medie tensiune denumite și puncte de alimentare (PA)* se spune că sistemul de distribuție la medie tensiune este *prin puncte de ali-*

---

\* În realitate, intensitatea curenților este mai mică, deoarece rezistența arcului care apare limitează această intensitate sub 10 kA.

*mentare.* Rețelele de medie tensiune situate între barele de alimentare și punctele de alimentare se numesc *rețele de fideri*, iar rețelele de medie tensiune situate între punctele de alimentare și barele consumatoare sau între barele consumatoare și barele de alimentare — în cazul distribuției directe — se numesc rețele distribuitoare denumite și *rețele de distribuție*. Rezultă că schemele de conexiuni ale rețelor de medie tensiune cu distribuție directă sînt constituite numai din rețele distribuitoare, în timp ce schemele de conexiune ale rețelor de medie tensiune cu distribuția prin puncte de alimentare conțin rețele de fideri denumite și rețele distribuitoare sau de distribuție.

1.2.2.1. *Schemele de conexiuni ale rețelor de distribuție.* Pentru mărirea siguranței în alimentarea de energie electrică a posturilor de transformare de MT/JT se urmărește realizarea dublei alimentări a acestora. Astfel, racordarea posturilor de transformare poate fi făcută în derivație sau în serie.

În soluția racordării în derivație pentru fiecare post de transformare se asigură posibilitatea de conectare la două cabluri de medie tensiune. În figura 1.6, *a* este reprezentată schema cu un cablu de lucru și un cablu de ajutor, schema fiind denumită „în dublă derivație”, iar în figura 1.6, *b* cablul de ajutor poate fi oricare din cele trei cabluri, în afara celui avariât. Comutarea postului de transformare de pe cablul avariât pe cablul de ajutor se face prin utilizarea unui sistem automat care intră în funcțiune exclusiv după informațiile din post.

În cadrul racordării în serie (fig. 1.6, *c*, *d* și *e*), fiecare distribuitor de medie tensiune are posibilitatea de a fi racordat la două surse, fiind secționat într-un post de transformare oarecare; comutarea automată la cea de-a doua sursă se poate face numai în baza informațiilor privind situația întregului distribuitor, ceea ce implică (pentru trans-

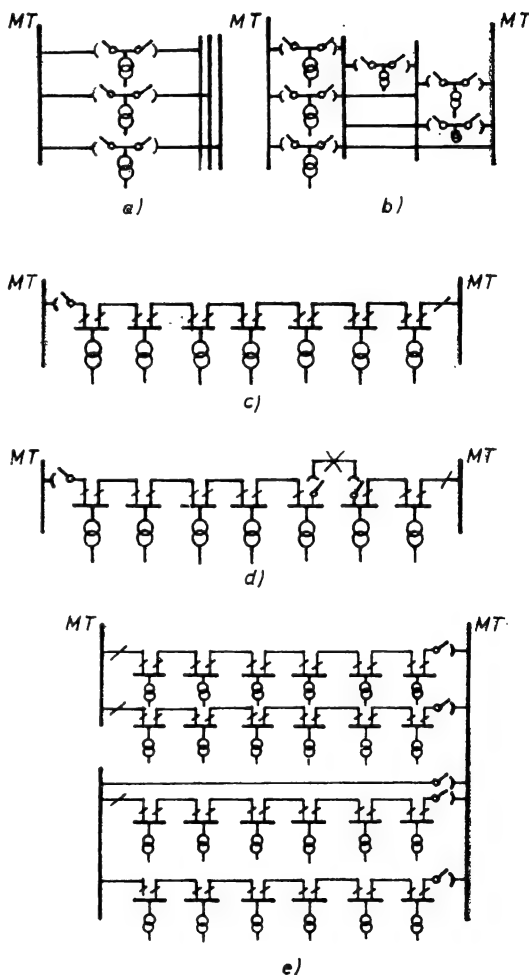


Fig. 1.6. Schema de alimentare a posturilor de transformare prin rețele de distribuție:

*a* — în dublă derivație cu un cablu de ajutor a trei cabluri de lucru; *b* — în dublă derivație cu o arteră de patru cabluri distribuind simultan; *c* — în serie, în funcționare normală; *d* — în serie în caz de avariere a unei porțiuni; *e* — în serie cu cablu ajutor.

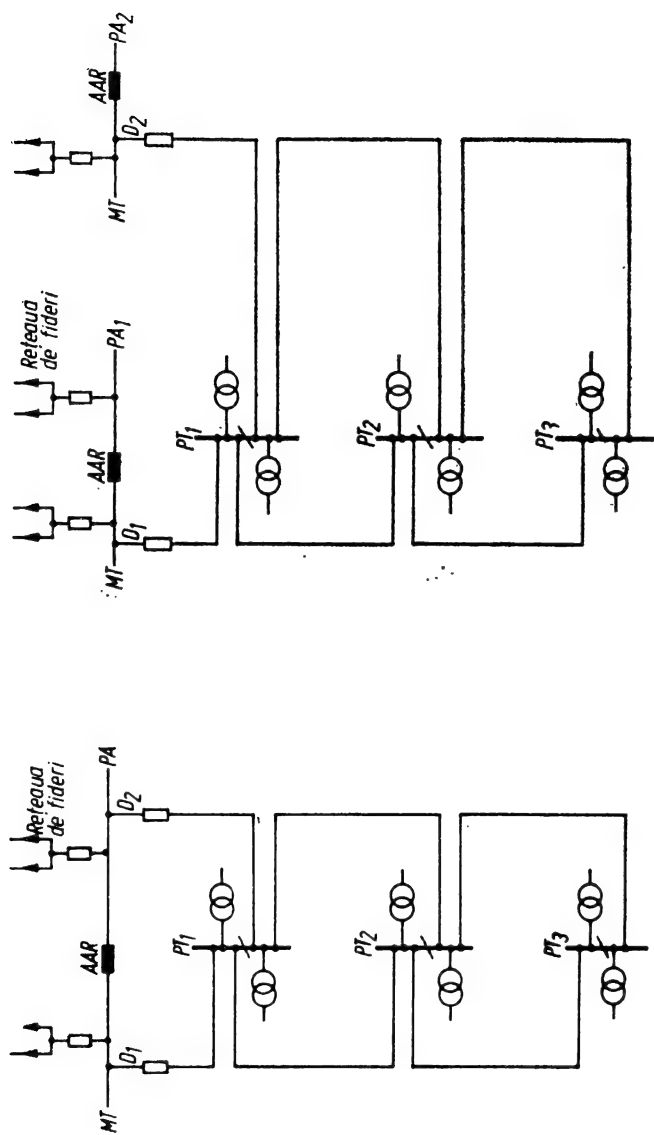


Fig. 1.7. Scheme de alimentare biradiale a posturilor de transformare:  
 a — de pe barele aceluiași punct de alimentare; b — de pe barele a două puncte de alimentare.

miterea indicațiilor necesare localizării defectului și pentru stabilirea ordinii de realimentare) pozarea în paralel cu cablul de medie tensiune și a unui fir pilot.

Se constată că din punctul de vedere al posibilităților de restabilire a alimentării postului de transformare, după o avarie pe circuitele de medie tensiune, schema cu racord în dublă derivație este mai avantajoasă decât schema cu racord în serie.

Cu toate acestea schemele cu racordarea postului de transformare în serie sînt destul de răspîndite, iar în cazul în care exploatarea lor este neautomatizată, izolarea unor eventuale defecte se realizează prin manevre în rețea.

În figura 1.7 se arată o schemă de conexiuni biradială, cu două distribuitoare  $D_1$  și  $D_2$  care poate alimenta simultan posturile de transformare cînd rețeaua funcționează buclat. Cînd rețeaua funcționează radial, se recomandă ca fiecare distribuitor să alimenteze radial jumătate din posturile de transformare (a se vedea separatorul deschis). În caz de scurtcircuit pe un distribuitor, posturile de transformare alimentate de acesta sînt comutate pe celălalt distribuitor. Prin urmare, în funcționarea normală un distribuitor este încărcat numai la 50% din capacitatea sa de transport, 50% fiind rezervă, el fiind supradimensionat cu 100%.

Schema este utilizată atît pentru rețelele de cabluri din mediul urban, cît și pentru unele rețele aeriene din mediul rural.

O schemă de conexiuni mai perfecționată este cea din figura 1.8 care în regim normal funcționează buclat. Pentru mai multă siguranță cele două distribuitoare  $D_1$  și  $D_2$  pot fi conectate la puncte de alimentare sau stații de transformare diferite.

1.2.2.2. *Schemele de conexiuni ale rețelelor de fideri.* Există o gamă foarte largă de scheme cu puncte de alimentare, fiecare avînd un domeniu optim de aplicație, funcție de puterea cerută de consumatori, de gradul de siguranță impus, de structura rețelei de distribuitori, de posibilitățile de racord la stațiile de IT/MT etc.

În cazul existenței unui singur punct de alimentare, cea mai simplă schemă este cea radială prezentată în figura 1.9, a. Această schemă necesită investiții reduse și o exploatare ușoară. În schimb, în cazul unui defect pe barele stației de transformare (ST) sau pe fider, punctul de alimentare (PA), și deci rețeaua de distribuție, rămîne fără tensiune. Pentru înlăturarea acestui neajuns și avînd în vedere că defectele sînt mai frecvente la fideri decât pe barele stației de transformare, se realizează o alimentare radială prin

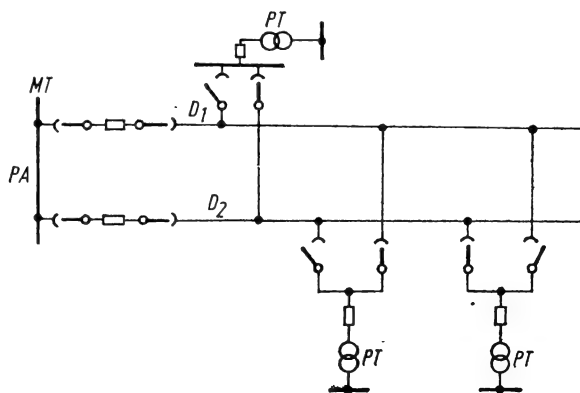


Fig. 1.8. Schemă de conexiune buclată cu funcționare radială.



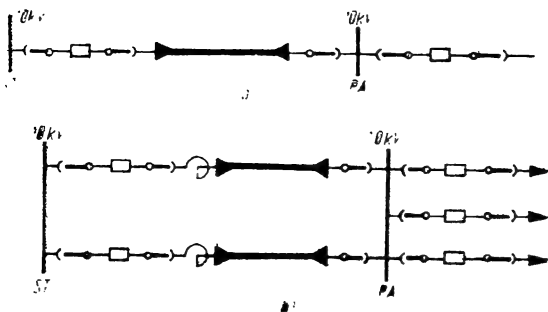


Fig. 1.9. Scheme de alimentare radiale:

a — cu un fider de alimentare; b — cu doi fideri de alimentare.

în aceea că, datorită existenței fiderilor în paralel, eficacitatea bobinelor de reacță care sînt necesare pentru limitarea curenților de scurtcircuit este redusă.

Pentru micșorarea curenților de scurtcircuit, menținînd avantajul alimentării prin mai mulți fideri, se secționează barele punctului de alimentare și se introduce cupla longitudinală prevăzută cu dispozitiv de anclanșare a rezervei (AAR). În funcționare normală cupla este deschisă, închizîndu-se automat cînd pe una din secțiile de bare a dispărut tensiunea. În astfel de scheme de conexiuni cu barele punctului de alimentare secționate, secțiile de bare sînt alimentate prin fideri care sînt racordați la una sau mai multe stații de transformare.

În rețelele de 15 sau 20 kV, punctele de alimentare pot avea două chiar trei sisteme de bare, dintre care unele secționate. În figura 1.10 este prezentat un punct de alimentare cu două sisteme de bare, unul secționat (bara de lucru), altul neseționat (bară de rezervă). Bara de lucru are fiecare din cele două secții alimentate de cîte un fider. Cel de-al treilea fider este destinat alimentării de rezervă, fiind conectat la bara neseționată.

Cînd se defectează fiderul de alimentare, alimentarea de rezervă poate fi conectată cu ajutorul cuplelor transversale prevăzute cu AAR. Pentru a putea schimba rolul fiderilor în rețea se folosesc separatoarele  $S_1$  și  $S_2$ . În situația

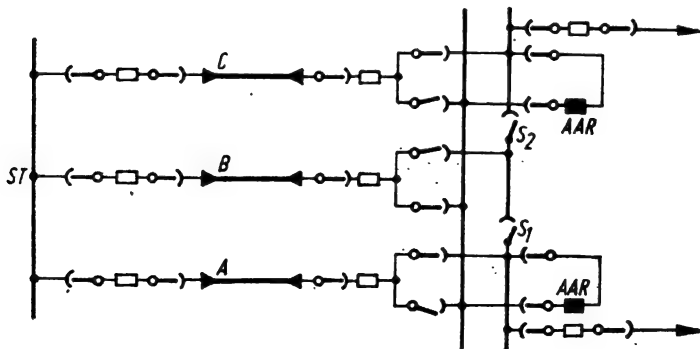


Fig. 1.10. Schemă de conexiune radială cu trei fideri, dintre care unul de rezervă și dispozitiv AAR pe două secții de bare.

prezentată în figură, fiderul  $B$  este de rezervă, dacă se închide separatorul  $S_2$ , iar când se închide separatorul  $S_1$  fiderul  $A$  este folosit ca rezervă. Sarcina normală a unui fider poate fi egală cu sarcina sa maximă, avînd o rezervă în capacitate de transport de 50 %.

Deoarece în cadrul oraşelor, schemele reţelelor de medie tensiune cuprind mult mai multe puncte de alimentare, acestea pot fi cu funcţionare radială sau cu funcţionare buclată.

În figura 1.11 sînt reprezentate două tipuri de scheme de conexiuni pentru reţeaua care are două puncte de alimentare, fiecare putînd lucra atît radial cu AAR, cît şi buclat, fără AAR. Schema din figura 1.11,  $a$ , realizată şi în reţeaua oraşului Bucureşti, este echivalentă din punctul de vedere al funcţionării cu schema din figura 1.11,  $c$ , însă aceasta din urmă are o lungime totală a cablurilor mai mică. Ambele scheme necesită o rezervă de 100 % în capacitatea de transport a fiderilor. Schemele din figurile 1.11,  $b$  şi  $d$  sînt, de asemenea, echivalente între ele şi funcţionează obişnuit radial. În cazul cînd bara unuia din punctele de alimentare rămîne fără tensiune, dispozitivul AAR restabileşte situaţia normală.

În figura 1.12 sînt indicate unele scheme de conexiuni ale reţelelor de fideri în cazul cînd sectorul are trei puncte de alimentare sau schema unei triplete de puncte de alimentare. Schema din figura 1.12,  $a$  poate avea fiderii de alimentare racordaţi la secţii de bare diferite, dacă acestea există.

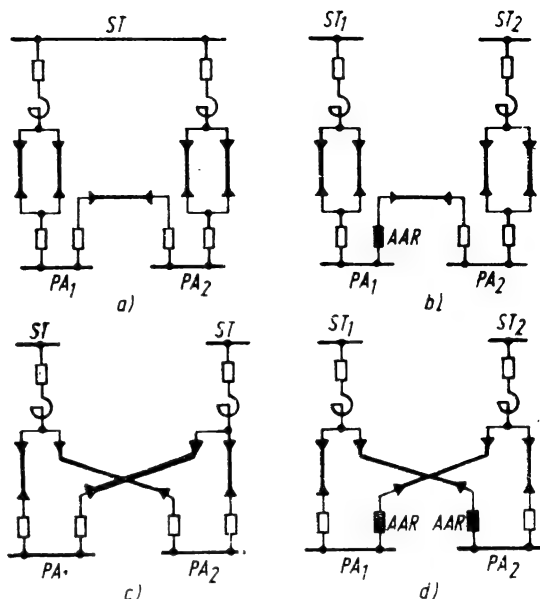


Fig. 1.11. Scheme de conexiune a reţelelor de fider cu două puncte alimentare.

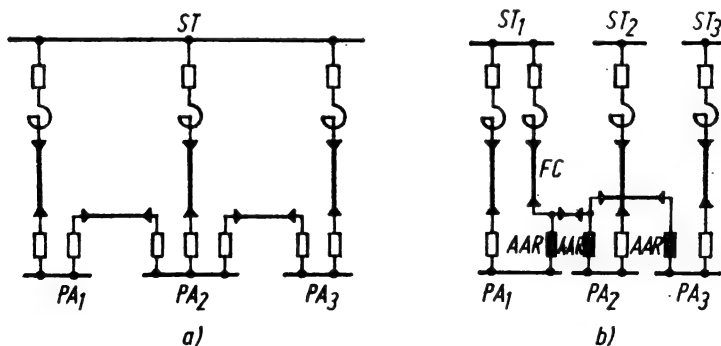


Fig. 1.12. Scheme de conexiuni ale reţelei de fideri cu trei puncte de alimentare.

Dacă se consideră că în funcționarea normală cei trei fideri sînt egal încărcăți, iar legăturile dintre barele punctelor de alimentare sînt întrerupte, în caz de avarie la ieșirea din funcțiune a unui fider, legăturile dintre barele punctelor de alimentare se închid, iar cei doi fideri în funcțiune se supraîncarcă cu 50 %. Dacă legăturile dintre punctele de alimentare sînt prevăzute cu AAR, rețeaua funcționează în condiții normale radial și se buclează cînd dispare tensiunea de pe una din barele punctelor de alimentare.

Schema din figura 1.12, *b* a fost propusă și în rețeaua orașului București și va înlocui treptat schema din figura 1.12, *a*. Ea funcționează, în condiții normale, radial și are asigurată rezerva printr-un fider comun (FC) celor trei fideri activi, care intră în funcțiune prin dispozitivul AAR. Astfel rezerva în capacitatea de transport a fiderilor este 33 %.

În orașul București marea majoritate a rețelei de distribuție de medie tensiune este construită pentru funcționarea prin puncte de alimentare. Caracteristicile de rețea și de consum care au dat prioritate sub aspect tehnic și economic acestui sistem de distribuție sînt:

- densitatea de suprafață a sarcinii relativ mică de  $0,5 \div 5$  MVA/km<sup>2</sup>;
- stații de transformare puține și amplasate la distanțe destul de mari una de alta;

- stații de transformare amplasate excentric față de zona deservită.

În figura 1.13 este reprezentată schema de distribuție de bază pentru rețeaua de fideri și de distribuitoare din București, în care rețeaua de fideri este asemănătoare cu figura 1.12, *b*.

Fiderii punctelor de alimentare funcționează radial, deoarece acest mod de lucru prezintă unele avantaje:

- o siguranță sporită de alimentare, deoarece fiderii de bază și de rezervă se conectează la bare diferite ale stației de transformare, ceea ce practic echivalează cu două surse de alimentare distincte;

- protecția este mai simplă și mai sigură;

- puterile de scurtcircuit sînt mai mici decît în situația că s-ar funcționa în schemă buclată.

Schema de funcționare în tripletă nu este unică în rețeaua de MT din București. În acest sens se menționează punctele de alimentare de abonat prevăzute să funcționeze singular și care au doi fideri activi în stație, fiecare dimensionat pentru întreaga putere solicitată de consumator. Bara punctului de alimentare este secționată printr-o cuplă cu întreruptor prevăzută cu instalație de AAR.

Funcționarea cu doi fideri încărcăți la jumătate din sarcină este mai avantajoasă din punct de vedere al pierderilor de putere și energie decît soluția cu un fider activ și unul de rezervă. Mai există și puncte de alimentare care funcționează în dubletă și care sînt prevăzute de fapt pentru tripletă la apariția primului punct de alimentare din zonă.

Din figura 1.13 se constată că rețeaua de distribuție este construită în sistemul buclat deschis. În orașul București, de la schema de conexiune buclat-deschisă a distribuitoarelor există și excepții:

- distribuția biradială (fig. 1.7) adoptată în special pentru alimentarea unor consumatori cu puteri concentrate și un grad de siguranță sporit;

- distribuția de tip radial pentru consumatorii periferici;

- distribuția bloc, foarte rar întîlnită și adoptată pentru consumatori foarte importanți.

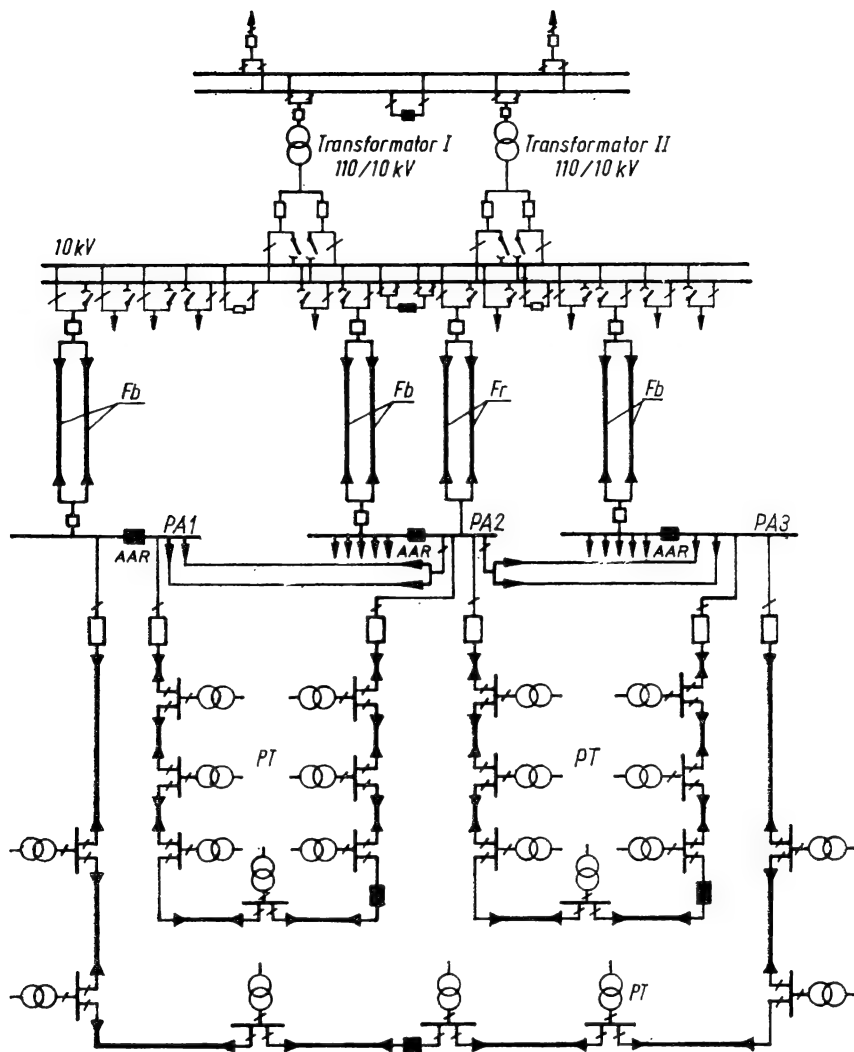


Fig. 1.13. Schemă de distribuție cu rețea de fideri de medie tensiune în tripletă și rețea de distribuție de medie tensiune în buclă deschisă.

Soluția buclat-deschisă pentru schemele de conexiuni ale rețelilor de distribuitoare este larg răspândită și în schemele noilor orașe din străinătate.

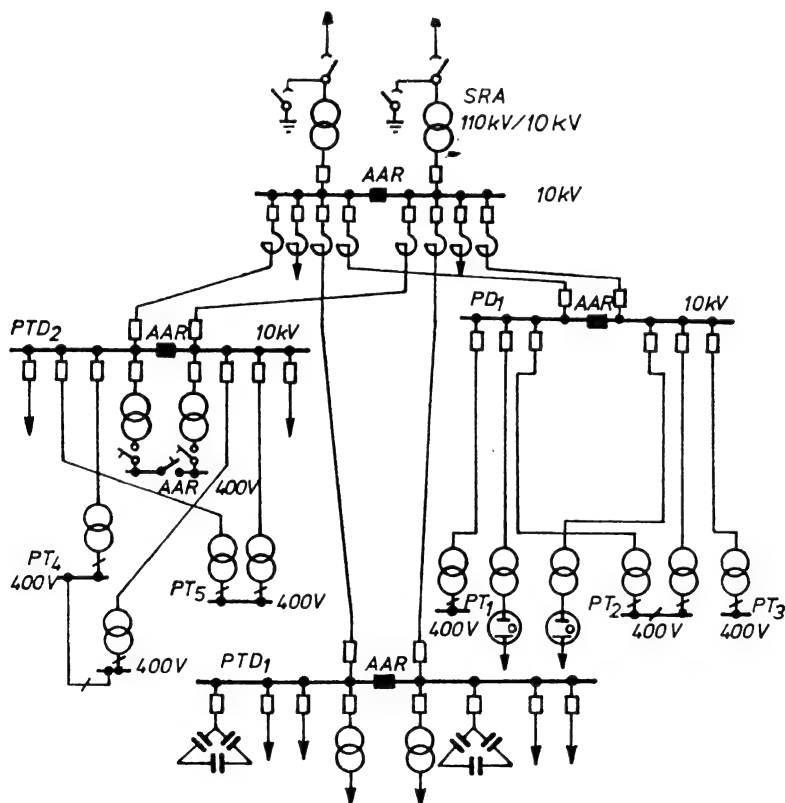
Deoarece odată cu creșterea consumului de energie electrică, numărul stațiilor de transformare s-a mărit sensibil, iar amplasarea acestora urmărește să se facă în centrul de greutate al consumului, avantajele distribuției prin puncte de alimentare încep să se estompeze, apărând mai avantajoasă distribuția directă.

Astfel pătrunderea tensiunilor înalte și foarte înalte de  $110 \div 400$  kV pînă în apropierea centrului de sarcină permite realizarea unor stații de transformare cu schemă simplificată pe partea de înaltă tensiune, numite

În figura 1.14 se prezintă o stație de racord adînc menționîndu-se totodată părțile principale ale rețelelor de distribuție industriale.

— *rețeaua propriu-zisă*, constituită din căi de distribuție și alimentare (fideri) de medie și joasă tensiune, realizate în linii aeriene, cabluri sau bare conductoare;

— posturi de transformare (PT), de secții (atelier) care transformă la joasă tensiune energia primită la medie tensiune de la stațiile de distribuție. În cazul în care într-un post de transformare apare necesitatea unor plecări pe parte primară pentru diverse receptoare de medie tensiune, se realizează un post de transformare și distribuție (PTD).



*SRA* — stație de transformare principală de tip racord adânc; *PD* — punct de distribuție intermediar; *PTD* — post de transformare și distribuție.

Referitor la rețelele urbane trebuie menționat că în țara noastră în cazul stațiilor de transformare noi se adoptă soluții mixte: distribuția directă pentru consumatorii din imediata vecinătate a stației și distribuția prin puncte de alimentare pentru zonele situate la distanțe mai mari de 3 km de stație.

1.2.2.3. *Schemele de dezvoltare ale rețelelor electrice urbane.* Se preconizează în general ca schemele de conexiuni ale rețelelor urbane să admită posibilitatea dezvoltării lor treptate în etape bine studiate energetic și coordonate cu planurile de sistematizare urbană. Soluțiile alese trebuie să fie suficient de elastice încât să permită adaptarea schemelor la modificări de prognoze privind creșterea sarcinilor și distribuirea acestora pe suprafața teritorială.

În cele ce urmează se prezintă o serie din cele mai cunoscute scheme avute în vedere în studiile de planificare a rețelelor electrice urbane de medie tensiune în cabluri, atât în cazul existenței punctelor de alimentare, cât mai ales pentru cazul distribuției directe.

A. *Schema în fus.* Rețeaua de plecare a fusului este rețeaua de medie tensiune funcționând în buclă deschisă în regim normal (figura 1.15).

Când puterea distribuită prin buclă atinge valoarea ce poate fi transmisă prin unul din cele două cabluri este necesară consolidarea acestuia; se introduce atunci cablul de rezervă sau de ajutor. Alegerea extremității cablului de ajutor fixează poziția așa-numitului punct de reflexie (fig. 1.15, etapa II).

Pe măsura creșterii consumului, rețeaua se consolidează pînă cînd numărul cablurilor de lucru atinge cifra 6. Se obține atunci starea de saturație a fusului, care nu se poate rupe decît prin crearea unui nou fus.

B. *Schema în formă de spic.* Este un fus în care cablul de ajutor joacă rolul punctului de reflexie. Ca și fusul, spicul cuprinde în formă finală 6 cabluri de lucru pentru un cablu de rezervă. Rețeaua de plecare a spicului

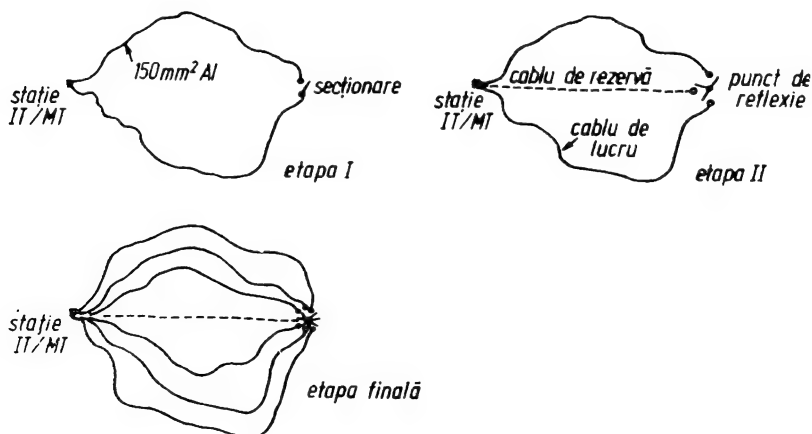


Fig. 1.15. Structură în formă de fus:

etapa I — rețea tip „fus minim” sau buclă sprijinită; etapa II — montarea cablului de rezervă și alegerea punctului de reflexie; etapa III — saturație — 6 cabluri de bază, un cablu de rezervă.

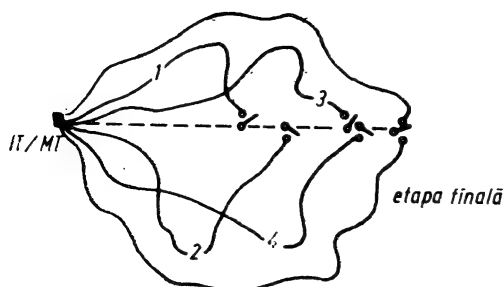


Fig. 1.16. Structura în formă de spic.

dezvoltă astfel pînă ajunge în forma finală prezentată în figura 1.16.

C. *Schema în bucle sau rețea cu ochiuri*. Bucla inițială se transformă — pe măsura creșterii sarcinilor — într-un număr mai mare de bucle racordate atît la sursă prin fideri, cît și între ele prin conexiuni reciproce (fig. 1.17).

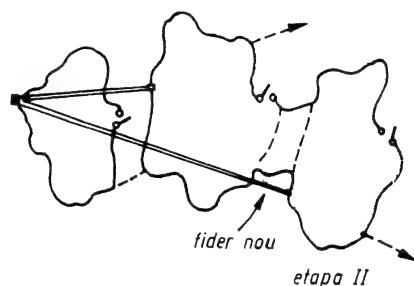
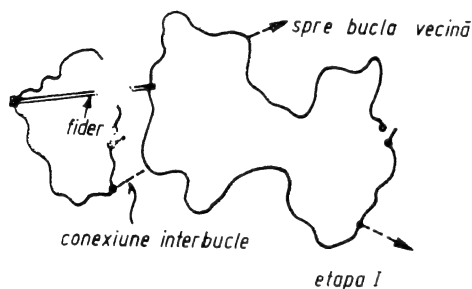


Fig. 1.17. Structura în bucle.

D. *Schema în formă de „petale de margaretă”*. Petala de margaretă este o buclă alimentată fie direct din stație, fie dintr-un punct de alimentare „cap de petale”, racordat la stație prin fideri. Din punctul de alimentare pot fi alimentate mai multe petale, pînă la maximum 4 (fig. 1.18).

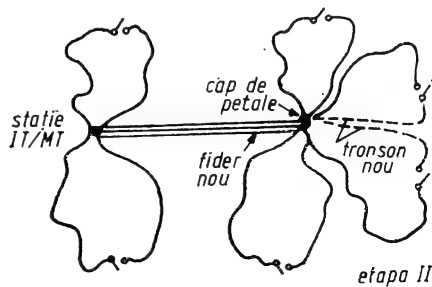
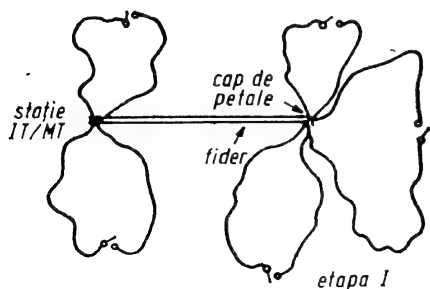


Fig. 1.18. Structura în formă de „petale de margaretă”.

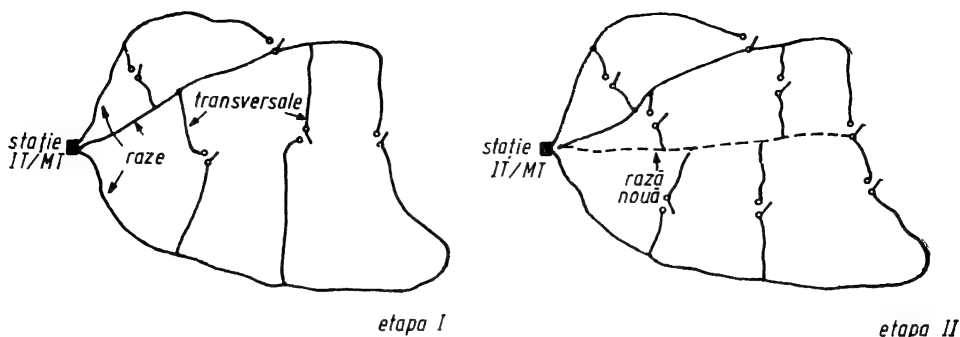


Fig. 1.19. Structură în grilă sau grătar.

E. Schema în formă de grilă sau rețeaua de tip grătar cuprinde raze plecând de la stația de alimentare și cabluri transversale care fac legătura între raze (fig. 1.19).

F. Schema sau rețeaua în derivație este formată din perechi de cabluri (fig. 1.20). Posturile de transformare MT/JT trebuie repartizate cât mai uniform posibil pe cele două cabluri din pereche, în scopul reducerii pierderilor. Când puterea transportată de o pereche de cabluri principale depășește puterea ce poate fi suportată de un cablu, se realizează divizarea cablului în tronsoane și se pozează noi cabluri în aval de sursă.

Schema finală cuprinde 6 cabluri de bază și un cablu de rezervă.

1.2.2.4. Schemele de conexiuni ale rețelelor electrice rurale. În mediul rural consumul de energie electrică se caracterizează prin densitatea mică a sarcinii, deoarece zonele de consum rurale preiau puteri relativ mici și sînt situate la distanțe relativ mari. Rețelele electrice rurale sînt lungi, iar puterile posturilor de transformare ajung în general la valori de ordinul sutelor de kVA.

Cheltuielile de investiție, consumurile de materiale conductoare și de alte materiale raportate la puterea transportată au valori ridicate.

Măsurile pentru reducerea cheltuielilor inițiale de investiție și a consumurilor de materiale conductoare constau în folosirea unor tensiuni ridicate, în adoptarea unor sisteme economice de distribuție, reglarea tensiunii și folosirea elementelor constructive tipizate pentru executarea rețelelor.

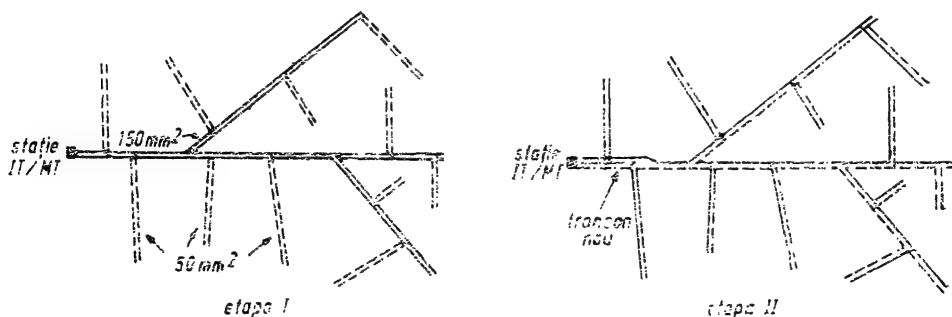


Fig. 1.20. Structură în dublă derivație.



Folosirea tensiunii de 20 kV în locul tensiunii de 15 kV mărește capacitatea de transport de aproximativ 1,8 ori în timp ce costul liniilor și aparatelor de 20 kV este numai cu 3...6% mai mare decât al liniilor de 15 kV.

Configurația rețelelor electrice rurale trebuie să țină seama de mai mulți factori printre care se menționează: categoria consumatorilor, necesitatea amplasării posturilor de transformare în centrul de greutate al consumatorilor, evitarea apropierii pe lungimi mari de liniile de telecomunicații, evitarea terenurilor fugitive, apropierea traseului liniei de căile de circulație existente etc.

În majoritatea cazurilor rețelele electrice rurale de medie tensiune au o configurație radial-arborescentă (fig. 1.21).

Rețelele de joasă tensiune se execută de asemenea după o configurație radială, iar dacă este necesară o siguranță mărită în alimentarea cu energie electrică este recomandabilă aplicarea de legături de siguranță (fig. 1.22).

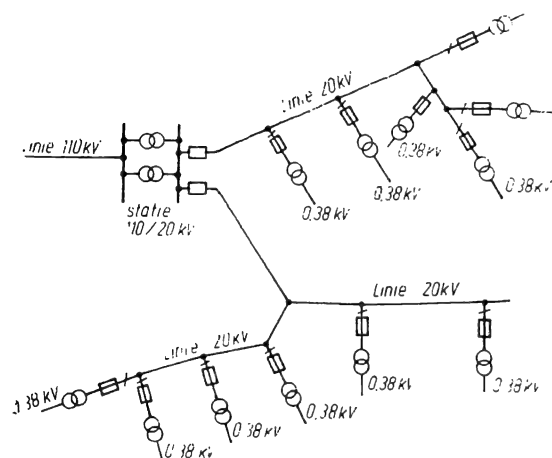


Fig. 1.21. Schema unei rețele electrice de medie tensiune din mediul rural.

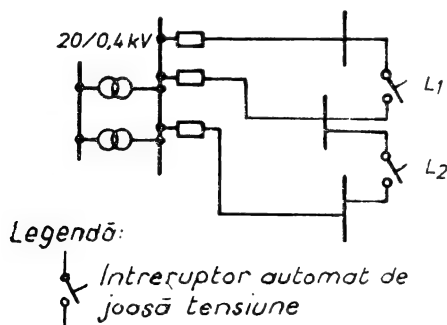


Fig. 1.22. Schemă radială cu legăturile de siguranță  $L_1$  și  $L_2$ .

Considerente de ordin tehnic și economic au condus la necesitatea studierii și găsirii unor soluții mai eficiente pentru construirea liniilor electrice aeriene de joasă tensiune. Astfel, în unele țări ca: S.U.A., Franța, Suedia, s-au realizat linii aeriene cu conductoare izolate răsucite. La noi s-au experimentat în județul Brașov.

Conductoarele de fază din aluminiu și cel de nul din oțel-aluminiu — acesta fiind și purtătorul rețelei — sînt răsucite și formează un fascicul (fig. 1.23). Izolația este din material plastic.

Derivațiile și branșamentele se fac prin desfacerea izolației în punctele respective, folosirea clemelor de derivație și reizolarea porțiunii afectate.

Un fascicul este format din 2 ÷ 7 conductoare răsucite. Fasciculele se montează pe stâlpi sau pe fațadele clădirilor.

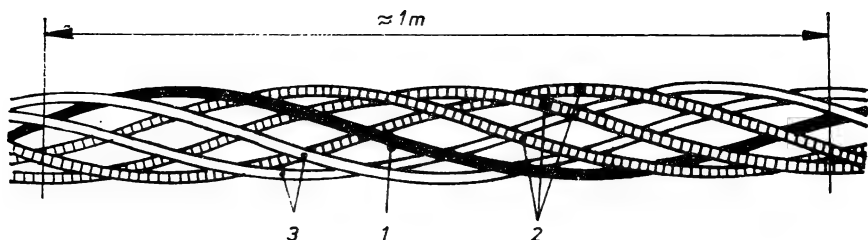


Fig. 1.23. Fascicul de conductoare torsodate:

1 — nulul purtător, din oțel-aluminiu; 2 — conductoare de fază, din aluminiu; 3 — conductor de fază pentru iluminat public.

### 1.2.3. SCHEMELE DE CONEXIUNE ALE REȚELOR ELECTRICE URBANE DE ÎNALTĂ ȘI FOARTE ÎNALTĂ TENSIUNE

În cazul marilor orașe rețeaua de înaltă tensiune și foarte înaltă tensiune se transformă dintr-o rețea de conexiune cu sistemul energetic, într-o rețea de distribuție a energiei electrice pe suprafața orașului. Rețeaua de înaltă și foarte înaltă tensiune capătă în acest caz o configurație specifică orașelor, luînd forma unui inel cu una sau mai multe legături diametrice. De aceea soluția adoptată pentru alimentarea cu energie electrică a marilor orașe constă în construirea unor inele de linii electrice de înaltă și foarte înaltă tensiune care înconjoară tot orașul și formează un fel de sistem extins de bare colectoare. La aceste inele, pentru mărirea siguranței de alimentare sînt racordate sursele locale, precum și sistemul electroenergetic. Injecția puterii în oraș se face prin linii și stații racordate la aceste inele.

Mărirea capacității de transport se realizează prin înmulțirea numărului de linii care formează inelul, ajungîndu-se astfel la un sistem cu mai multe inele concentrice, la aceeași tensiune sau la tensiuni din ce în ce mai mari.

Problemele fundamentale legate de configurația acestor rețele vor fi analizate din exemplul concret al evoluției alimentării cu energie electrică a orașului București.

## 1.3. EVOLUȚIA ALIMENTĂRII CU ENERGIE ELECTRICĂ A ORAȘULUI BUCUREȘTI

Rețeaua electrică a fost concepută și executată începînd din anul 1908 ca o rețea de distribuție la tensiunea de 5 kV, alimentată direct din stațiile centralelor electrice Filaret și Grozăvești. Această rețea a satisfăcut necesitățile de consum ale orașului pînă în perioada anilor 1928 — 1930 cînd, ca urmare a dificultăților care au început să apară în alimentarea consumatorilor numai din două stații și la tensiunea de 5 kV, s-a impus adoptarea unei noi concepții privind dezvoltarea rețelei electrice a orașului.

Pe baza acestei concepții, s-a executat în perioada anilor 1931 — 1933 prima rețea electrică de transport a capitalei realizată în cablu la tensiunea de 30 kV care alimenta stațiile de transformare de 30/5 kV: Grozăvești,

Filaret, Obor și Grivița. Această rețea a avut și rol de interconexiune între cele două centrale electrice ale orașului.

Odată cu realizarea primei linii de 110 kV CHE Dobrești—București apare la Grozăvești stația de transformare de 110/30 kV. Prin linia de 110 kV se realizează interconexiunea între centralele electrice din București și centralele Dobrești și Schitu-Golești.

Aceste instalații au reprezentat primul nucleu al viitorului sistem energetic unic al României.

După anul 1938 pentru creșterea gradului de siguranță în alimentarea consumatorilor s-a căutat să se realizeze principiul alimentării fiecărei stații de 30/5 kV din două surse diferite.

Creșterea consumului de energie electrică, în special a celui industrial, a determinat dezvoltarea în continuare a rețelei de transport de 30 kV, prin apariția de noi stații de transformare, cum ar fi stația de 30/6/5 kV Titan și prin realizarea de noi legături prin cablu de 30 kV între stațiile existente.

Planul de electrificare de 10 ani aprobat în anul 1950 a stabilit dezvoltarea rapidă a noii rețele de transport de 110 kV. În capitală a apărut în 1952 a doua stație de 110 kV, amplasată în zona de est a orașului, alimentată prin linia de 110 kV, din CTE Doicești, care modifică substanțial configurația rețelei de transport de 30 kV. O parte din stațiile electrice de 30/5 kV au fost racordate la stația București-Est. S-au creat astfel în București două zone de alimentare a rețelei de 30 kV: zona Grozăvești cuprinzând și centrala Filaret și zona București-Est, interconexiunea între acestea realizându-se prin stația Obor.

În etapa 1950—1960, noile stații de transformare care s-au construit pentru acoperirea consumului de energie al orașului — București-Est, Casa Scînteii, Jilava și București-Centru — au pus accentul atît pe dezvoltarea rețelei de transport de 30 kV, cît și pe cea de 110 kV ca rețea de transport și de injecție în rețeaua locală de 30 și 5 kV. În această etapă se dezvoltă rețeaua de 30 kV concepută ca rețea de transport, la care se racordează și stația București-Centru.

După anul 1961 s-a mai pozat un singur cablu de 30 kV, pentru alimentarea stației Grivița, după care rolul rețelei de 30 kV începe să fie preluat de rețeaua de 110 kV (fig. 1.24). În prezent, rețeaua de 30 kV este în continuă descreștere și se prevede ca în anul 1980 să fie complet desființată.

Se constată astfel că în etapa de după 1960 s-a dezvoltat rețeaua de 110 kV ca o rețea de transport, alimentînd stații electrice de transformare de 110/10 (5) kV, care constituie surse de injecție de putere în rețeaua electrică de distribuție de  $5 \div 10$  kV a orașului. Menținerea rețelei de 30 kV ca rețea de transport și utilizarea ei pînă în anul 1980, paralel cu rețeaua de 110 kV se justifică prin eficiența tehnico-economică a unor cabluri de 30 kV existente pentru transportarea unor puteri de  $10 \div 20$  MVA, cît și prin faptul că rețeaua de 110 kV nu s-a putut dezvolta de la început astfel încît să poată prelua toate cererile de consum de energie. Urmează apoi construirea de noi stații de 110 kV ca: Jilava, Pipera, UMGB, Solex, Dudești, FCME, Nord, Crîngași și trecerea unor stații de 30 kV la tensiunea de 110 kV cu amplificarea substanțială a puterilor instalate. Astfel, stațiile: Obor, Filaret, Titan, Scînteia au fost trecute la tensiunea de 110 kV, tensiunea de 30 kV rămînînd ca o sursă de rezervă. Începe în această perioadă trecerea rețelei de distri-



- posibilitatea preluării de consum de putere de pe un nod de interconexiune cu sistemul național pe altul, în caz de indisponibilitate;
- creează posibilități pentru dezvoltarea unei rețele de distribuție de medie tensiune dimensionată economic.

Principiile adoptate pentru construcția și dezvoltarea rețelei de 110 kV ca o rețea de transport și de distribuție au determinat schemele stațiilor de transformare.

Principiile care au fost luate în dezvoltarea rețelei de 110 kV au fost:

- funcționarea radială;
- rezervare de 100% în alimentare;
- nivel maxim de scurtcircuit 6 000 MVA.

Rețeaua de medie tensiune a orașului a determinat, prin caracterul ei funcțional, schema electrică a stațiilor de transformare.

În general, atât pe partea de 110 kV, cât și pe partea de 10 kV s-a ales sistemul cu bare colectoare duble deoarece oferă o elasticitate mare în exploatare și o bună repartizare a pierderilor pe transformatoarele stațiilor.

Stațiile de 110 kV care au și rol de conexiune în rețeaua de 110 kV, denumite stații tip SCT, au fost concepute și realizate de regulă cu sistem dublu de bare la 110 kV (fig. 1.25).

Pentru creșterea gradului de siguranță în funcționare s-a adoptat principiul secționării longitudinale a barelor de 110 kV și a realizării unei bare de transfer. În acest fel s-a creat posibilitatea debucării rețelei de 110 kV și s-au redus puterile de scurtcircuit. Stațiile de 110 kV care nu constituie

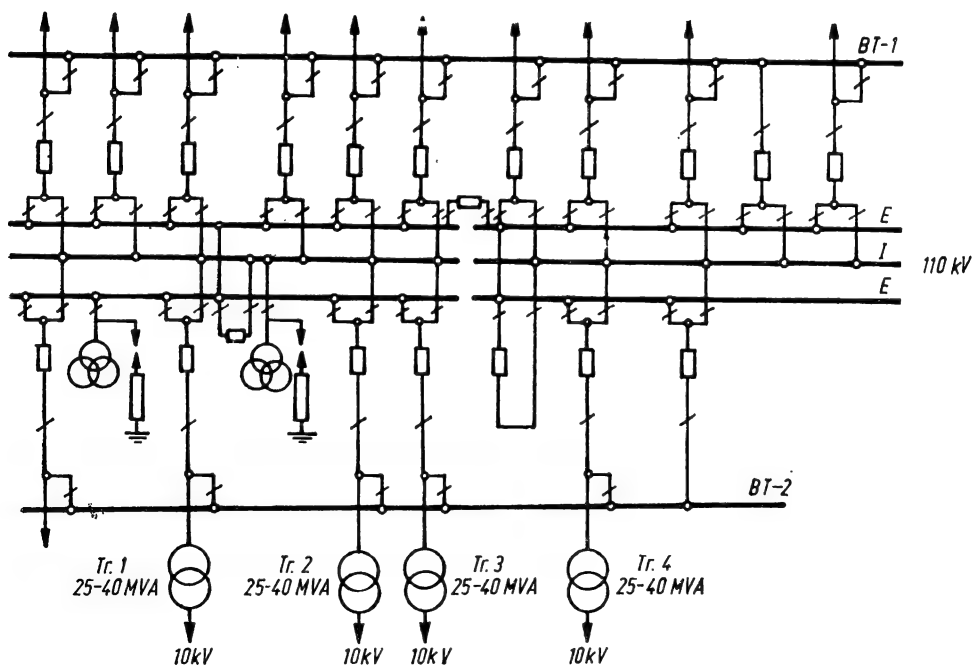


Fig. 1.25. Stație electrică de conexiuni și transformare.

1990

1980

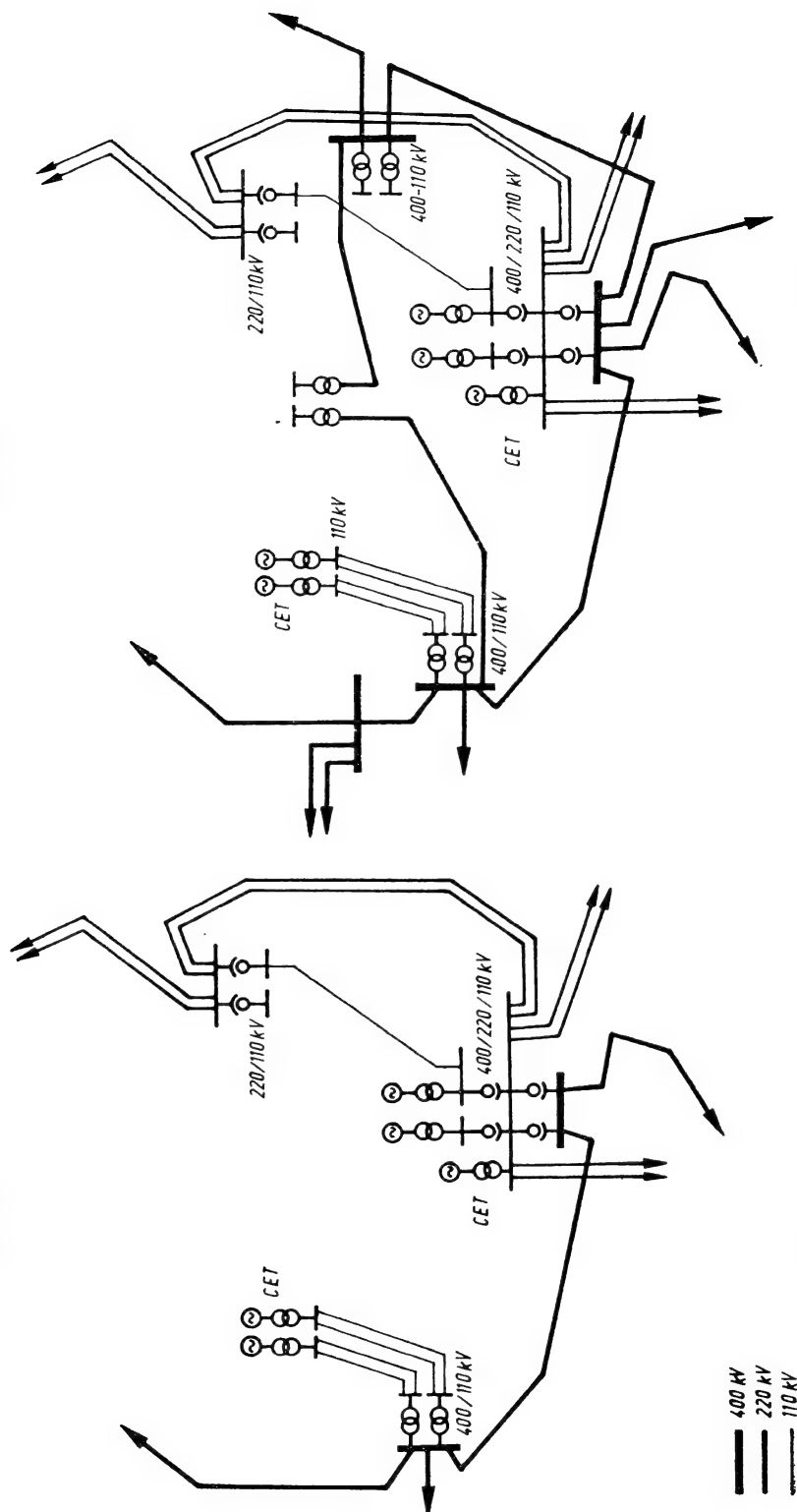


Fig. 1.27. O variantă posibilă de dezvoltare a rețelelor de IT și FIT în jurul orașului București.

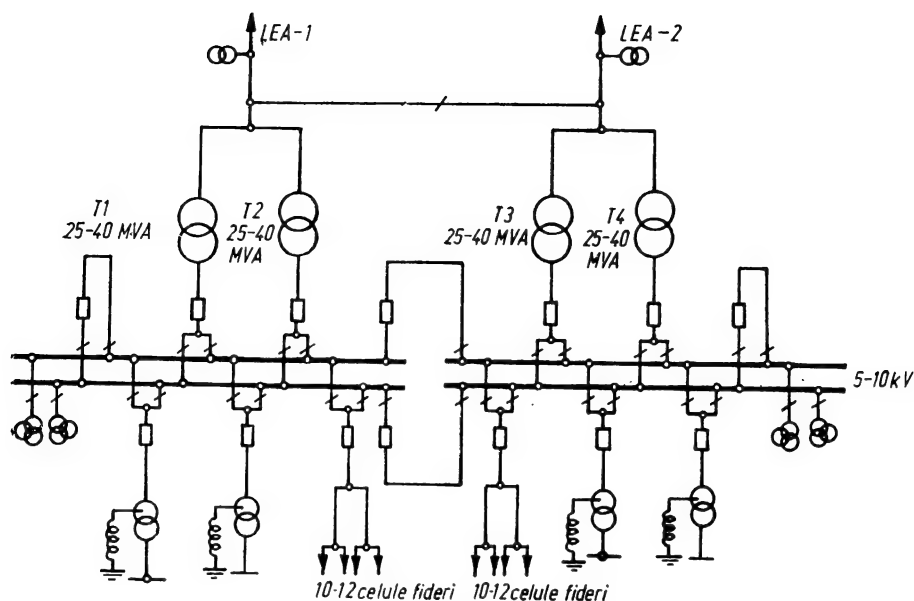


Fig. 1.26. Stație electrică de transformare ST.

surse de putere pentru alte stații de 110 kV sînt destinate numai pentru alimentarea rețelei de medie tensiune, fiind concepute cu scheme simple fără conexiuni la 110 kV. Din această cauză ele constituie numai stații de transformare, fiind notate cu indicativul ST (fig. 1.26).

Creșterea continuă a puterilor vehiculate prin liniile de înaltă tensiune a determinat trecerea la construirea unei rețele de transport la tensiuni superioare celei de 110 kV.

S-a realizat mai întîi o rețea la tensiunea de 220 kV București-Sud — București-Est, ca apoi să fie construită și o stație de 400 kV la București-Sud. Variante posibile ale alimentării cu energie electrică a orașului București în perspectivă sînt reprezentate în figura 1.27, din care se observă că spre finalul etapei este posibilă construirea unei stații centrale de transformare din 400/110 kV.

## Capitolul 2

### PARAMETRII ELEMENTELOR REȚELELOR ELECTRICE

Prima etapă în studierea regimurilor de funcționare a unei rețele electrice constă în determinarea parametrilor elementelor sale componente — linii, transformatoare, generatoare, bobine de reactanță — ale căror valori trebuie cunoscute atât în condiții normale de funcționare, cât și în condiții de avarie. Calculul acestor parametri presupune cunoașterea anumitor date constructive sau reieșite din încercări experimentale, specifice fiecărui element component al rețelei. În cele ce urmează se analizează numai parametrii liniilor și transformatoarelor electrice în condiții normale de funcționare. La capitolul de scurtcircuite se analizează și parametrii elementelor componente ale rețelei în condiții de avarie.

#### 2.1. PARAMETRII LINIILOR ELECTRICE

Conductoarele liniilor electrice se caracterizează prin patru parametri și anume: *rezistența*, *inductivitatea (reactanța)*, *capacitatea (susceptanța)* și *perditanța (conductanța)* care se raportează la unitatea de lungime a liniei. Valorile acestora depind de anumite caracteristici de material (rezistivitatea electrică, permeabilitatea magnetică și permitivitatea electrică) și de elemente geometrice, constructive (raza conductoarelor și distanța dintre acestea).

Rezistența și reactanța se numesc *parametri longitudinali* și formează *impedanța serie*, care se exprimă pe unitatea de lungime a liniei:

$$\underline{Z}_0 = R_0 + j \omega L_0 = R_0 + j X_0 \left[ \frac{\Omega}{\text{km}} \right]. \quad (2.1)$$

Perditanța și susceptanța se numesc *parametri transversali* și constituie *admitanța derivație*, care se exprimă pe unitatea de lungime a liniei:

$$\underline{Y}_0 = G_0 + j \omega C_0 = G_0 + j B_0 \left[ \frac{\text{S}}{\text{km}} \right]. \quad (2.2)$$

În condiții normale de funcționare, perditanța este nulă sau neglijabil de mică pentru majoritatea liniilor electrice. O excepție o constituie cablurile la care perditanța poate avea un efect important de limitare a intensității curentului din cablu. La liniile aeriene de înaltă și foarte înaltă tensiune cu



perditanță neglijabilă în condiții normale de funcționare, aceasta poate deveni importantă în timpul unor supratensiuni, când apare necesitatea considerării efectului corona.

Toate liniile electrice au rezistență, inductivitate și capacitate, însă, în funcție de caracteristicile și de tensiunea lor nominală, una sau mai multe din aceste mărimi pot fi uneori neglijate, efectele lor fiind fără importanță în rezultatele finale. De exemplu, pentru liniile electrice aeriene de joasă și medie tensiune, capacitatea se poate neglija, deoarece valoarea ei este foarte redusă și influențează puțin circulația curenților sau puterilor reactive. În schimb, liniile electrice subterane au capacități cu valori mult mai mari și inductivități cu valori mai mici, în raport cu cele aeriene.

### 2.1.1. REZISTENȚA CONDUCTOARELOR LINIILOR ELECTRICE

Rezistența conductoarelor în curent continuu, la o temperatură oarecare, se poate calcula cu relația:

$$R_{cc} = \rho \frac{l}{s} = \frac{l}{\gamma \cdot s}, \quad (2.3)$$

în care:  $\rho$  reprezintă rezistivitatea electrică a materialului conductor,

$$\text{în } \left[ \frac{\Omega \text{mm}^2}{\text{m}} \right];$$

$l$  — lungimea conductorului, în m;  
 $s$  — secțiunea conductorului, în  $\text{mm}^2$ ;  
 $\gamma$  — conductivitatea electrică a materialului conductor,

$$\text{în } \left[ \frac{\text{m}}{\Omega \text{mm}^2} \right].$$

În curent alternativ, rezistența conductoarelor este puțin mai mare decât cea în curent continuu, datorită *efectului pelicular* și a *efectului de apropiere* sau de *proximitate*.

*Efectul pelicular* reprezintă fenomenul de distribuție neuniformă a curentului în secțiunea transversală a unui conductor. El este influențat de frecvența curentului, de dimensiunile și de materialul conductor, însă este independent de dispunerea conductoarelor și de succesiunea curenților.

*Efectul de apropiere* reprezintă fenomenul de distribuție neuniformă a curentului în secțiunea transversală a unui conductor, produs de variația în timp a curentului în unul sau mai multe conductoare învecinate acestuia. El depinde atât de frecvență, dimensiunile și dispunerea conductoarelor, natura materialelor, cât și de legătura dintre amplitudinile și fazele curenților și de distribuția fluxului magnetic în interiorul și exteriorul conductorului.

În regim normal de funcționare, pentru liniile electrice aeriene alimentate în curent alternativ cu frecvență de 50 Hz, creșterea rezistenței datorită efectelor pelicular și de apropiere este foarte mică. Astfel, așa cum se constată

din figura 2.1 creșterea este mai mică de 5%, pentru conductoare de cupru cu secțiuni sub 450 mm<sup>2</sup> și pentru conductoare de aluminiu cu secțiuni sub 700 mm<sup>2</sup>. În aceste condiții, în calculul rezistențelor conductoarelor folosite curent la construcția liniilor electrice aeriene, se poate identifica, cu o bună aproximație, rezistența în curent alternativ cu cea în curent continuu.

Obișnuit, rezistența conductoarelor pe unitatea de lungime nu se calculează, ci se indică în standarde pentru diferite secțiuni și tipuri constructive, la o temperatură a mediului ambiant de +20°C. Liniile electrice funcționează însă la temperaturi diferite, în funcție de sarcină și de condițiile de răcire. În practică, pentru calculul regimurilor normale nu se ține seama de variația rezistenței cu temperatura, decât în cazul studierii încălzirii conductoarelor, când relația (2.3) pentru o temperatură oarecare  $\theta$  se scrie sub forma:

$$R_{\theta} = \rho_{\theta} \cdot \frac{l}{s} = \rho_{20} [1 + \alpha_{20} (\theta - 20)] \frac{l}{s} = R_{20} [1 + \alpha_{20} (\theta - 20)],$$

în care:  $\rho_{20}$  reprezintă rezistivitatea electrică la 20°C indicată în tabele;  
 $\alpha_{20}$  — coeficientul de temperatură al rezistenței electrice, care pentru cupru este de 0,00393 grd<sup>-1</sup>, iar pentru aluminiu de 0,00403 grd<sup>-1</sup>;  
 $R_{20}$  — rezistența conductorului la 20°C calculată sau obținută din tabele.

În cazul liniilor electrice în cablu, rezistența electrică în curent alternativ a conductoarelor crește în raport cu cea în curent continuu, în special din cauza efectului pelicular, a efectului de proximitate și a pierderilor determinate de curenții induși în mantalele de plumb. Pentru cabluri groase cu mantale de plumb, rezistența efectivă poate atinge și chiar depăși de 1,5 ori rezistența în curent alternativ a conductorului considerat singur. De aceea, rezistența efectivă se va scoate din tabele, ținând seama de tipul constructiv al cablului și de secțiunea conductorului, iar la o temperatură oarecare  $\theta$ , se va calcula cu relația:

$$R_{\theta} = R_{20} [1 + \alpha_{20} (\theta - 20)] + \Delta R, \quad (2.5)$$

în care  $\Delta R$  ține seama de pierderile suplimentare, atunci când cablul lucrează în curent alternativ monofazat sau trifazat.

Valoarea rezistenței suplimentare a cablurilor  $\Delta R$  poate fi influențată constructiv sau prin dispunerea acestora. Astfel, dacă secțiunile circulare ale cablurilor cu secțiuni mari sînt realizate din patru sectoare izolate între ele cu 1 ÷ 2 benzi de hîrtie, atunci se reduce influența efectului pelicular și a celui de proximitate și, în consecință, și rezistența suplimentară. În schimb, influența efectului de proximitate poate crește apreciabil, la montarea cablurilor monofazate de înaltă tensiune în tuburi de oțel, în raport cu montarea normală în pămînt. De exemplu, în cazul dispunerii acestora după un triunghi

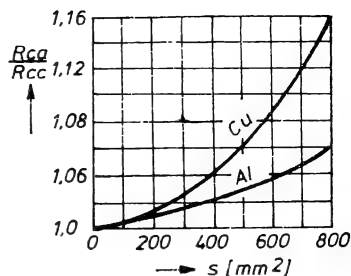


Fig. 2.1. Variația raportului rezistențelor în curent alternativ și în curent continuu cu frecvența de 50 Hz.

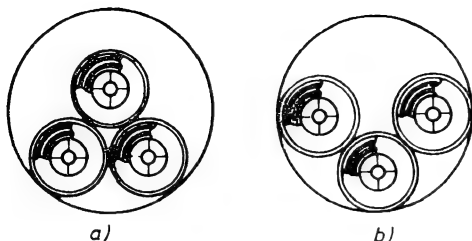


Fig. 2.2. Așezarea cablurilor monofazate în tuburi de oțel:

*a* — în triunghi cu virful în sus; *b* — în triunghi cu virful în jos.

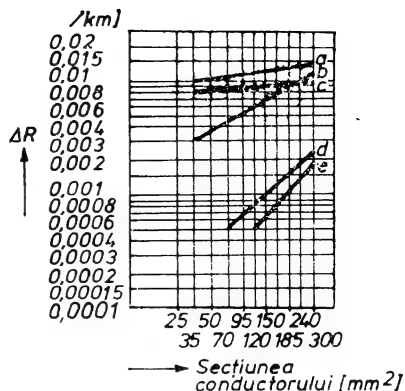


Fig. 2.3. Rezistența suplimentară  $\Delta R$  a cablurilor cu mai multe conductoare la frecvența de 50 Hz:

*a* — cabluri armate cu manta de plumb și conductor de cupru sau de aluminiu; *b* — cabluri nearmate cu manta de aluminiu și conductoare de cupru sau de aluminiu; *c* — cabluri armate cu izolație din material plastic și conductoare de cupru sau aluminiu; *d* — cabluri nearmate cu izolație din material plastic și conductoare de cupru sau aluminiu; *e* — cabluri nearmate cu izolație din material plastic și conductoare de aluminiu.

cu baza în jos, ca în figura 2.2, *a*, această creștere a efectului de proximitate poate fi de pînă la 70% în timp ce la o dispunere după un triunghi cu baza sus, ca în figura 2.2, *b* — poate fi de pînă la 100%.

În tabela 2.1 se dau cîteva valori ale raportului  $R_{ca}/R_{cc}$  la cabluri de diferite secțiuni, de construcție funie, cu mai multe vîne conductoare, la frecvența de 50 Hz, iar în figura 2.3 se reproduc, după Siemens, valorile rezistențelor suplimentare pentru cabluri cu mai multe vîne conductoare și diferite izolații la aceeași frecvență. Se constată că, în cazul cablurilor, diferența între rezistența în curent alternativ și cea în curent continuu este mult mai mare decît la liniile electrice aeriene, începînd chiar de la secțiuni mici.

Tabela 2.1

Valorile raportului  $\frac{R_{ca}}{R_{cc}}$  la cabluri de construcții funie, de diferite secțiuni, cu mai multe vîne conductoare

| $s$<br>[mm²]            | 50   | 125  | 150  | 200 | 250 | 300  | 350  | 375  |
|-------------------------|------|------|------|-----|-----|------|------|------|
| $\frac{R_{ca}}{R_{cc}}$ | 1,02 | 1,06 | 1,07 | 1,1 | 1,3 | 1,16 | 1,19 | 1,21 |

### 2.1.2. INDUCTIVITATEA LINIILOR ELECTRICE

Pentru conductoarele cilindrice masive, drepte și paralele, neferomagnetice, situate în medii omogene neferomagnetice, inductivitatea reprezintă o mărime de material, care depinde de natura materialului, de forma și de

dimensiunile geometrice ale circuitului (sau ale circuitelor ce se influențează reciproc) și de numărul lui de spire. Ea nu depinde însă și de mărimea curentului care străbate conductorul considerat. În cazul prezenței mai multor conductoare sau circuite, în același spațiu, se definește o *inductivitate proprie* și o *inductivitate mutuală*.

*Inductivitatea proprie totală* a unui conductor are două componente și anume una *externă*  $L_e$ , corespunzătoare fluxului magnetic din exteriorul conductorului și alta *internă*  $L_i$ , legată de fluxul magnetic care străbate materialul conductor.

Pentru un conductor cilindric cu diametrul  $d$  și lungimea  $l$  inductivitatea externă este definită de relația:

$$L_e = \frac{\mu_0 l}{2\pi} \left[ \ln \frac{4l}{d} - 1 \right] \quad [\text{H}], \quad (2.6)$$

iar cea internă:

$$L_i = \frac{\mu_0 l}{8\pi} \mu_r = \frac{\mu_0 l}{8\pi} \quad [\text{H}], \quad (2.7)$$

în care  $\mu_0 = 4\pi \cdot 10^{-7} \left[ \frac{\text{H}}{\text{m}} \right]$  și  $\mu_r = 1$  (conductoare neferomagnetice).

*Inductivitatea proprie totală* a conductorului cilindric neferomagnetic rezultă din relațiile (2.6) și (2.7) avînd valoarea:

$$L_{11} = \frac{\mu_0 l}{2\pi} \left[ \ln \frac{4l}{d} - \frac{3}{4} \right] \quad [\text{H}] \quad (2.8)$$

sau raportată la unitatea de lungime a conductorului (kilometru):

$$L_0 = 2 \left[ \ln \frac{4l}{d} - \frac{3}{4} \right] \cdot 10^{-4} \quad \left[ \frac{\text{H}}{\text{km}} \right]. \quad (2.9)$$

*Inductivitatea mutuală*  $M$  dintre două conductoare cilindrice, paralele, de lungime  $l$ , situate într-un mediu neferomagnetic și cu distanța  $D$  între axe este dată de relația:

$$M_{12} = \frac{\mu_0 l}{2\pi} \left[ \ln \frac{2l}{D_{12}} - 1 \right] \quad [\text{H}] \quad (2.10)$$

sau raportată la unitatea de lungime a conductoarelor (kilometru):

$$M_0 = 2 \left[ \ln \frac{2l}{D_{12}} - 1 \right] \cdot 10^{-4} \quad \left[ \frac{\text{H}}{\text{km}} \right]. \quad (2.11)$$

Folosind inductivitățile specifice, propriie și mutuală, exprimate prin relațiile (2.9) și (2.11), se pot calcula inductivitățile în cazul unui sistem electric polifazat.

2.1.2.1. *Inductivitatea liniilor electrice aeriene trifazate.* În cazul unei linii electrice aeriene cu două conductoare monofilare, inductivitatea unui

conductor se determină folosind relațiile (2.8) și (2.10) și legea inducției electromagnetice a cărei formă generală este:

$$e_k = - \frac{d\Phi_k}{dt} = - L_k \frac{di_k}{dt}, \quad (2.12)$$

în care:  $e_k$  reprezintă tensiunea electromotoare indusă în conductorul  $k$ , datorită variației în timp a fluxului magnetic;

$\Phi_k$  — fluxul magnetic care înălțaie conductorul  $k$  a cărui valoare este:  $\Phi_k = M_{1k}i_1 + M_{2k}i_2 + \dots + L_{kk}i_k + \dots + M_{nk}i_n$ .

Pentru *linia monofazată cu două conductoare*, de exemplu, se determină pentru primul conductor că:

$$\Phi_1 = L_{11} i_1 + M_{21} i_2$$

și respectiv:

$$e_1 = - \left( L_{11} \frac{di_1}{dt} + M_{21} \frac{di_2}{dt} \right) = - L_1 \frac{di_1}{dt},$$

din care reiese că:

$$L_2 = \frac{L_{11} \frac{di_1}{dt} + M_{21} \frac{di_2}{dt}}{\frac{di_1}{dt}} = L_{11} - M_{21}, \quad (2.13)$$

unde s-a ținut seama că cei doi curenți sînt egali și de semn contrar.

Introducînd în ultima relație valorile specifice ale inductivităților proprii și mutuale, exprimate prin relațiile (2.9) și (2.11), se determină:

$$L_{10} = \left( 2 \ln \frac{D}{r} + 0,5 \right) \cdot 10^{-4} \left[ \frac{\text{H}}{\text{km}} \right].$$

O aceeași expresie se obține și pentru inductivitatea specifică a conductorului al doilea ( $L_{10} = L_{20}$ ).

Pentru un *sistem format din n conductoare paralele*, inductivitatea conductorului  $k$  este exprimată prin relația (2.13) generalizată:

$$L_k = \frac{M_{1k} \frac{di_1}{dt} + M_{2k} \frac{di_2}{dt} + \dots + L_{kk} \frac{di_k}{dt} + \dots + M_{nk} \frac{di_n}{dt}}{\frac{di_k}{dt}}. \quad (2.15)$$

Dacă curenții care parcurg conductoarele sînt alternativ sinusoidali, expresia (2.15) se poate scrie sub forma:

$$\underline{L}_k = \frac{M_{1k} \underline{I}_1 + M_{2k} \underline{I}_2 + \dots + L_{kk} \underline{I}_k + \dots + M_{nk} \underline{I}_n}{\underline{I}_k}. \quad (2.16)$$

Aplicînd relația (2.16) pentru o *linie electrică trifazată* și ținînd seama că:

$$\underline{I}_1 = I_1; \underline{I}_2 = a^2 I_1; \underline{I}_3 = a I_1$$

se obține:

$$\begin{aligned}\underline{L}_1 &= L_{11} - \frac{M_{12} + M_{13}}{2} - j \frac{\sqrt{3}}{2} (M_{12} - M_{13}); \\ \underline{L}_2 &= L_{22} - \frac{M_{23} + M_{21}}{2} - j \frac{\sqrt{3}}{2} (M_{23} - M_{21}); \\ \underline{L}_3 &= L_{33} - \frac{M_{31} + M_{32}}{2} - j \frac{\sqrt{3}}{2} (M_{31} - M_{32}),\end{aligned}\quad (2.17)$$

unde s-a considerat că:

$$a = e^{j120} = -\frac{1}{2} + j \frac{\sqrt{3}}{2}; \quad a^2 = e^{j240} = -\frac{1}{2} - j \frac{\sqrt{3}}{2}.$$

Expresiile (2.17) arată că inductivitatea conductoarelor reprezintă o mărime complexă, iar tensiunea electromotoare indusă prin variația în timp a fluxului magnetic legat de fiecare conductor nu este în cuadratură cu curentul, ci defazată cu un unghi care diferă într-o oarecare măsură de  $90^\circ$ . Din punct de vedere fizic, acest lucru conduce la o deformare a sistemului de tensiuni simetrice ale liniei.

Influența termenilor imaginari este însă foarte mică și nu determină nici o pierdere de putere activă. De aceea se consideră că inductivitatea conductoarelor unei linii electrice trifazate este reprezentată numai de partea reală a relațiilor (2.17) și se poate pune sub forma:

$$\begin{aligned}L_{10} &= \left( 2 \ln \frac{\sqrt{D_{12} \cdot D_{13}}}{r_1} + 0,5 \right) \cdot 10^{-4} \left[ \frac{\text{H}}{\text{km}} \right]; \\ L_{20} &= \left( 2 \ln \frac{\sqrt{D_{23} \cdot D_{21}}}{r_2} + 0,5 \right) \cdot 10^{-4} \left[ \frac{\text{H}}{\text{km}} \right]; \\ L_{30} &= \left( 2 \ln \frac{\sqrt{D_{31} \cdot D_{32}}}{r_3} + 0,5 \right) \cdot 10^{-4} \left[ \frac{\text{H}}{\text{km}} \right],\end{aligned}\quad (2.18)$$

în care s-a ținut seama de valorile inductivităților proprii și mutuale specifice.

În cazul unor conductoare cu aceleași caracteristici magnetice și geometrice și a dispunerii simetrice a acestora (coronament în formă de triunghi echilateral) inductivitățile specifice ale conductoarelor unei linii trifazate sînt egale între ele și identice cu cea indicată pentru o linie cu două conductoare, exprimată prin relația (2.14).

Dacă dispunerea conductoarelor pe capul stîlpilor nu este simetrică, atunci inductivitățile specifice ale acestora sînt diferite, ceea ce duce la nesimetria tensiunilor de la consumator. Pentru a evita acest lucru se utilizează transpunerea fazelor liniilor, care constă în modificarea poziției conductoarelor pe distanțe egale, așa cum se arată în figura 2.4. În aceste condiții, inductivita-

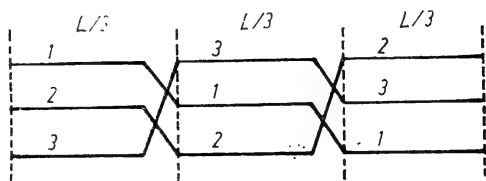


Fig. 2.4. Transpunerea fazelor unei linii electrice aeriene.

tea specifică a fiecărui conductor se poate exprima printr-o valoare medie, egală cu media aritmetică a celor trei inductivități, determinate de relațiile (2.18), adică:

$$L_0 = \frac{L_{10} + L_{20} + L_{30}}{3} = \left( 2 \ln \frac{D_{med}}{r} + 0,5 \right) 10^{-4} = \left( 4,6 \log \frac{D_{med}}{r} + 0,5 \right) 10^{-4} \left[ \frac{\text{H}}{\text{km}} \right], \quad (2.19)$$

unde mărimea  $D_{med} = \sqrt[3]{D_{12} D_{13} D_{23}}$  reprezintă *distanța medie geometrică* dintre conductoare.

Observînd că cel de-al doilea termen din paranteză, care exprimă inductivitatea internă a conductorului, se poate transforma sub forma unui logaritm natural dintr-o funcție exponențială, expresia (2.19) devine:

$$\begin{aligned} L_0 &= 2 \left( \ln \frac{D_{med}}{r} + \frac{1}{4} \right) \cdot 10^{-4} = 2 \ln \frac{D_{med}}{r_e} \cdot 10^{-4} = \\ &= 4,6 \log \frac{D_{med}}{r_e} 10^{-4} \left[ \frac{\text{H}}{\text{km}} \right], \end{aligned} \quad (2.20)$$

în care  $r_e = r \cdot e^{-1/4} = 0,779 r$  poartă denumirea de *rază echivalentă a conductorului*.

Pentru *liniile electrice aeriene trifazate cu dublu circuit*, inductivitatea specifică a conductoarelor se poate calcula în mod analog liniilor cu simplu circuit, pornind de la ecuațiile (2.16) și (2.17) și ținînd seama de expresiile inductivităților proprii și mutuale. Dacă se notează conductoarele primului circuit cu 1, 2, 3 și ale celui de-al doilea cu 4, 5, 6 atunci se poate scrie, pentru conductorul 1, că:

$$L_{10} = \left( 4,6 \log \frac{\sqrt{D_{12} \cdot D_{13}}}{r} + 0,5 + k \cdot 4,6 \log \frac{\sqrt{D_{15} \cdot D_{16}}}{D_{14}} \right) 10^{-4} \left[ \frac{\text{H}}{\text{km}} \right], \quad (2.21)$$

unde  $k \leq 1$  reprezintă raportul dintre valoarea efectivă a curenților din cele două circuite paralele.

În general însă  $k = 1$  astfel încît inductivitatea specifică exprimată de ultima relație se poate scrie sub forma:

$$L_{10} = \left( 4,6 \log \frac{\sqrt{D_{12} \cdot D_{13} \cdot D_{15} \cdot D_{16}}}{r \cdot D_{14}} + 0,5 \right) 10^{-4} \left[ \frac{\text{H}}{\text{km}} \right]. \quad (2.22)$$

Pentru celelalte faze relațiile de calcul ale inductivităților specifice se obțin din (2.21) sau (2.22) prin permutarea indicilor.

Ținînd seama că pe linie se folosește transpunerea fazelor, se poate determina, și în acest caz, o inductivitate medie specifică de forma (2.19) sau (2.20), în care distanța medie este exprimată prin relația:

$$D_{med} = \sqrt[3]{\frac{D_{12} \cdot D_{13} \cdot D_{23} \cdot D_{15} \cdot D_{26} \cdot D_{34}}{D_{14} \cdot D_{25} \cdot D_{36}}}, \quad (2.23)$$

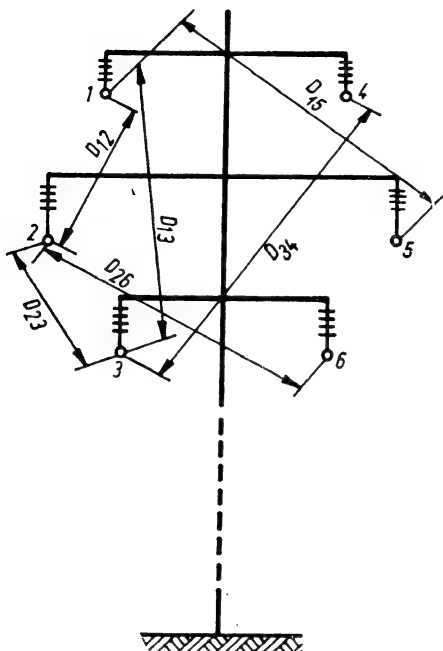


Fig. 2.5. Dispunerea fazelor unei linii electrice aeriene cu dublu circuit.

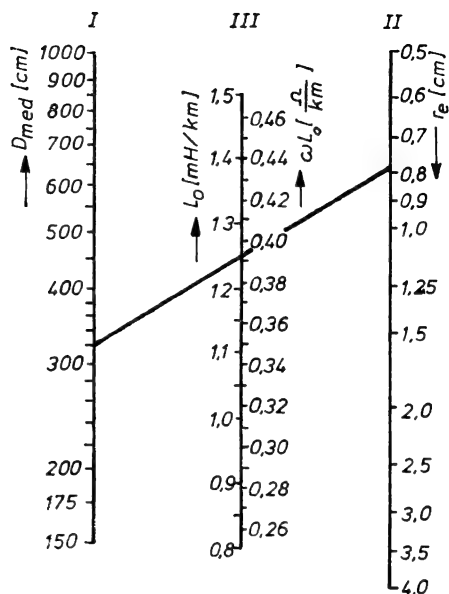


Fig. 2.6. Nomogramă pentru determinarea inductivității specifice pentru o linie electrică aeriană cu simplu sau cu dublu circuit.

iar dispunerea fazelor pe capul stîlpului este făcută ca în figura 2.5.

Conform relației (2.21) influența reciprocă dintre cele două circuite este dată de termenul al treilea, a cărui valoare este foarte mică în raport cu suma celorlalți doi termeni. În general, se poate aprecia că această creștere a inductivității specifice, ca urmare a prezenței celui de-al doilea circuit, este sub 5%, astfel încît, în regim normal de funcționare a liniilor cu dublu circuit cu conductoare transpuse, inductivitatea specifică se calculează direct cu relațiile (2.19) sau (2.20).

Pentru calculul practic al inductivității liniilor cu simplu sau cu dublu circuit se pot utiliza și anumite nomograme. În figura 2.6 este reprodusă o astfel de nomogramă, care corespunde liniilor de 110 kV, pentru care se indică distanța medie dintre conductoare, în cm [I], raza echivalentă a conductoarelor, în cm [II] și inductivitatea specifică  $L_0$ , în [mH/km], respectiv reactanța specifică  $\omega L_0$ , în [ $\Omega$ /km] [III].

**2.1.2.2. Influența construcției conductorului asupra valorii inductivității.** Relațiile de calcul obținute la paragraful precedent au fost deduse, considerînd conductoarele masive, monofilare. În construcția liniilor electrice aeriene se folosesc de obicei conductoare funie, iar în cazul tensiunilor foarte înalte, conductoare fasciculate sau jumelate (mai multe conductoare pe fiecare fază) și uneori conductoare tubulare.

Inductivitatea conductoarelor funie este puțin mai mare (cu circa 2%) decît cea a conductoarelor masive, ca urmare a influenței răscirii firelor



și a creșterii, într-o oarecare măsură, a inductivității interne. Ea se exprimă prin aceeași relație generală (2.19) sau (2.20), în care inductivitatea internă, legată de permeabilitatea magnetică relativă este funcție de numărul straturilor și al firelor unui strat și corespunde valorilor indicate în tabela 2.2. Se observă că valoarea cea mai mare a inductivității interne, corespunde conductoarelor funie cu un singur strat.

Tabela 2.2

Variația inductivității interne a conductoarelor funie neferomagnetice

| Numărul firelor $N$       | 1   | 7    | 19    | 37    | 61    | 91    |
|---------------------------|-----|------|-------|-------|-------|-------|
| Numărul straturilor $n$   | —   | 1    | 2     | 3     | 4     | 5     |
| $L_i = 0,5 \cdot 10^{-4}$ | 0,5 | 0,65 | 0,553 | 0,524 | 0,502 | 0,501 |

Creșterea inductivității interne a conductoarelor din oțel-aluminiu cu un singur strat este determinată și de influența magnetizantă a inimii de oțel. În general se poate aprecia că inductivitatea specifică medie a conductoarelor funie este de circa  $1,3 \left[ \frac{\text{mH}}{\text{km}} \right]$ , ceea ce corespunde unei reactanțe inductive specifice de  $0,4 \left[ \frac{\Omega}{\text{km}} \right]$ .

*Inductivitatea conductoarelor fasciculate sau jumelate* care se utilizează în construcția liniilor electrice aeriene de foarte înaltă tensiune ( $U_n \geq 220 \text{ kV}$ ), în scopul creșterii capacității de transport, se calculează cu o relație analoagă cu (2.19) sau (2.20), în care se ține seama de numărul conductoarelor și creșterea razei echivalente:

$$L_0 = \left( 4,6 \log \frac{D_{med}}{r_e} + \frac{0,5}{n} \right) 10^{-4} \left[ \frac{\text{H}}{\text{km}} \right], \quad (2.24)$$

unde:  $r_e = \sqrt[n]{r_0 \cdot a_m^{n-1} \cdot n}$  reprezintă raza echivalentă a fascicului de conductoare ale unei faze;

$a_m = \frac{a}{2 \sin \frac{\pi}{n}}$  — raza cercului de așezare a conductoarelor în fascicul;

$n$  — numărul de conductoare pe fază;

$a$  — distanța dintre conductoarele unei faze dispuse simetric (în vîrfurile unui triunghi echilateral sau în vîrfurile unui pătrat);

$r_0$  — raza conductoarelor componente ale unei faze.

În tabela 2.3 se indică reactanțele medii specifice, în  $\Omega/\text{km}$ , pentru linii electrice de foarte înaltă tensiune, echipate cu conductoare fasciculate, dispuse pe capul stîlpului în același plan orizontal (cîte două conductoare pe fiecare fază), în vîrfurile unui triunghi echilateral sau în vîrfurile unui pătrat.

Valoarea acestora se abate foarte puțin de la valoarea medie de  $0,3 \left[ \frac{\Omega}{\text{km}} \right]$ , în-

diferent de numărul de conductoare pe fiecare fază adică, reactanța specifică a conductoarelor fasciculate este cu circa 25% mai mică decât cea a conductoarelor funie.

Tabela 2.3

Valorile reactanțelor specifice în  $\Omega/\text{km}$  pentru LEA trifazate, cu conductoare fasciculate, la  $f = 50 \text{ Hz}$

| Tensiunea nominală, în kV                                       | 220   | 380  | 220  | 380  | 220  | 380  |
|---|---|------|--|------|--|------|
| Compunerea conductoarelor fasciculate ale fazelor, $n \times s$ | Linie dublu circuit cu dispunerea fazelor în plan orizontal |      | Linie dublu circuit cu dispunerea fazelor în coronament brad drept |      | Linie dublu circuit cu dispunerea fazelor în două planuri orizontale: în planul superior — 2 faze, în planul inferior — 4 faze |      |
| $2 \times 400 \text{ mm}^2$                                     | 0,31  | —    | 0,38   | —    | 0,29   | —    |
| $3 \times 400 \text{ mm}^2$                                     | —   | 0,33 | —  | 0,34 | —  | 0,32 |
| $4 \times 400 \text{ mm}^2$                                     | —   | 0,29 | —  | 0,30 | —  | 0,27 |

*Inductivitatea conductoarelor tubulare* folosite în construcția liniilor electrice aeriene de foarte înaltă tensiune pentru eliminarea efectului corona, depinde de raportul dintre cele două raze, interioară și exterioară. Valoarea ei se poate calcula cu relația (2.19) sau (2.20), în care se introduce o rază echivalentă a conductorului a cărei valoare este:

$$r'_{ech} = r_e \cdot \xi,$$

unde:  $\xi$  reprezintă un factor numeric care reiese din figura 2.7;

$r_e$  — raza exterioară a conductorului tubular, în mm;

$r_i$  — raza interioară a conductorului tubular, în mm.

*Inductivitatea conductoarelor de oțel* se poate calcula în același mod ca cea a conductoarelor neferomagnetice, ținând seama de variația permeabilității magnetice a materialului în funcție de intensitatea curentului. De menționat însă că este foarte dificilă stabilirea legăturii dintre permeabilitatea magnetică a materialului și intensitatea curentului. De aceea, valoarea inductivității interne a acestor conductoare se determină experimental și se indică în tabele.

**2.1.2.3. Inductivitatea cablurilor electrice.** Inductivitatea cablurilor electrice folosite în construcția liniilor subterane se poate calcula cu aceeași relație (2.20) indicată pentru liniile aeriene. În general însă, cablurile nu au elementele geometrice (distanțele dintre conductoare) cunoscute și de aceea inductivitățile specifice ale acestora sînt date în tabele de către fabricile

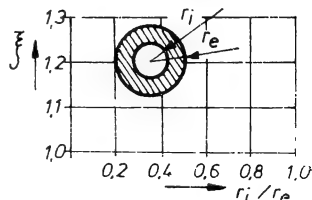


Fig. 2.7. Variația razei echivalente a conductorului tubular în funcție de raportul  $\frac{r_i}{r_e}$

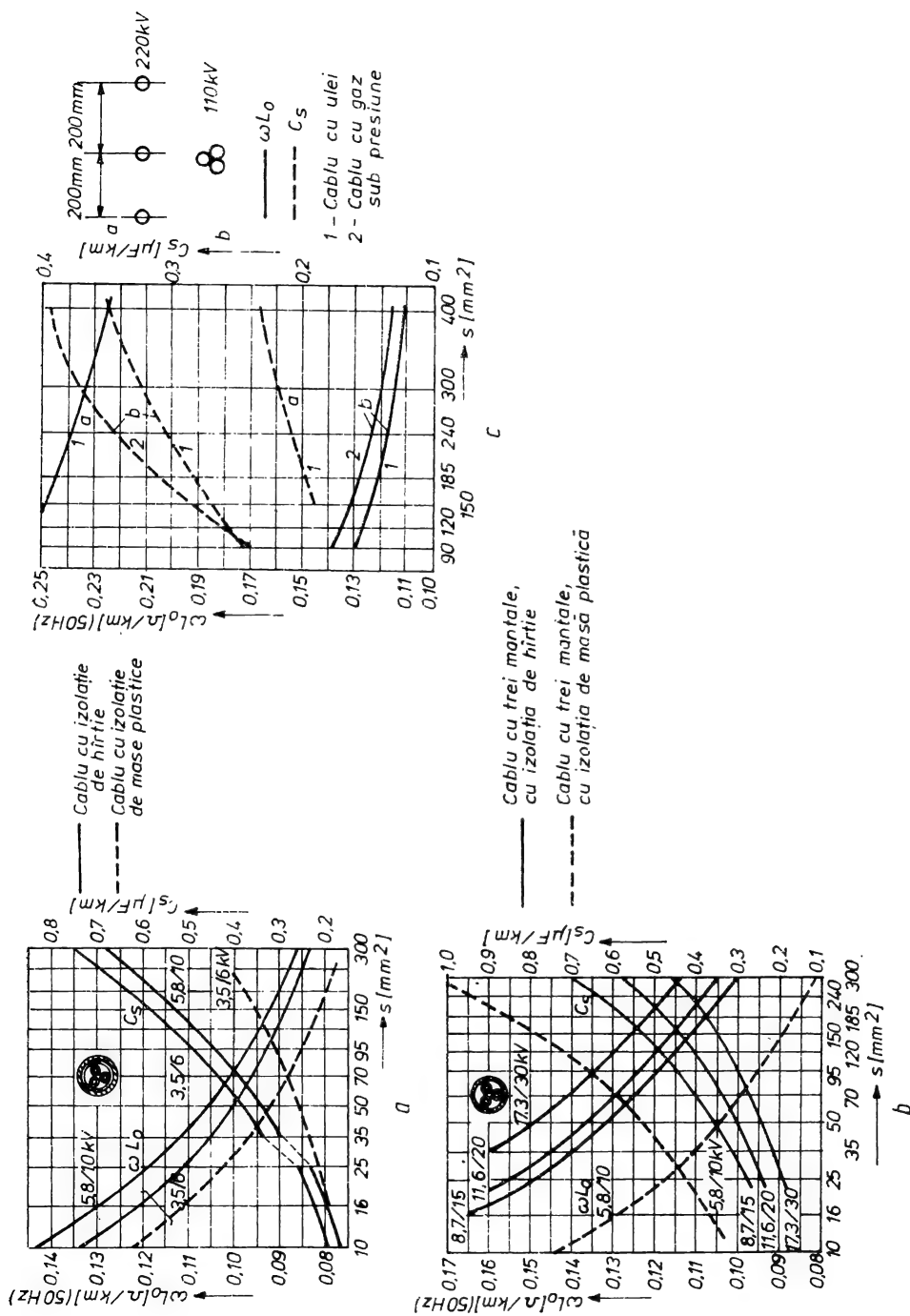


Fig. 2.8. Diagrame pentru calculul reactanței inductive și a capacității de serviciu, specifice, pentru cabluri de medie și de înaltă tensiune.

constructoare, pentru fiecare secțiune nominală a conductoarelor și tip constructiv de cablu.

În lipsa acestora, pentru cabluri de construcție normală se pot utiliza diagramele \* date în figura 2.8 sau următoarele valori medii ale reacțanțelor specifice:

$X_0 = 0,08 \div 0,1 \text{ } \Omega/\text{km}$  — pentru cabluri trifazate de  $6 \div 15 \text{ kV}$ ;

$X_0 = 0,1 \div 0,12 \text{ } \Omega/\text{km}$  — pentru cabluri trifazate de  $35 \text{ kV}$ .

Valorile mai mari se vor adopta pentru cabluri cu secțiuni de conductoare mai mici.

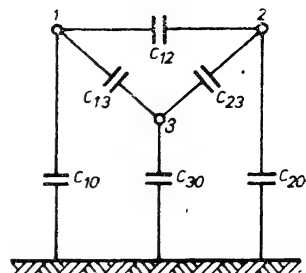


Fig. 2.9. Linie electrică trifazată cu capacități față de pământ și între faze.

### 2.1.3. CAPACITATEA LINIILOR ELECTRICE

O linie electrică monofazată sau polifazată formează un sistem de condensatoare, care au ca armături conductoarele metalice și pământul. Astfel, de exemplu, o linie electrică trifazată are un sistem de trei condensatoare față de pământ, cu capacitățile parțiale  $C_{10}$ ,  $C_{20}$ ,  $C_{30}$  și un sistem de trei condensatoare între perechile de conductoare  $C_{12}$ ,  $C_{13}$ ,  $C_{23}$ , așa cum se arată în figura 2.9.

În calculul regimurilor de funcționare a rețelelor electrice, pentru întocmirea schemelor echivalente, interesează capacitatea echivalentă corespunzătoare capacităților de mai sus, care poartă denumirea de *capacitate de serviciu* sau *capacitate de lucru*. Ea trebuie interpretată ca fiind raportul dintre întreaga cantitate de electricitate, care determină liniile de câmp ce pleacă de la un conductor dat spre celelalte și spre pământ, și potențialul acelui conductor.

Înainte de a trece la calculul propriu-zis al capacității de serviciu a unui sistem de conductoare paralele, se reamintesc următoarele noțiuni și relații din electrotehnică.

*Capacitatea unui conductor paralel cu pământul* se definește cu relația generală:

$$C = \frac{Q}{V}, \quad (2.25)$$

în care:  $Q$  reprezintă sarcina electrică cu care este încărcat conductorul;  
 $V$  — potențialul conductorului în raport cu pământul creat de sarcina electrică și de imaginea acesteia.

*Potențialul unui conductor în raport cu pământul* este determinat de relația

$$V = \frac{Q}{2\pi\epsilon l} \ln \frac{h + \sqrt{h^2 - r^2}}{r} \approx \frac{Q}{2\pi\epsilon l} \ln \frac{2h}{r} = \frac{Q}{2\pi\epsilon l} \ln \frac{d}{r}, \quad (2.26)$$

în care:  $h$  este înălțimea conductorului deasupra pământului;  
 $r$  — raza conductorului ( $r \ll h$ );  
 $l$  — lungimea conductorului;

\* În aceleași diagrame sînt date și capacitățile de serviciu ale cablurilor electrice.

$d = 2h$  — distanța dintre axa conductorului și a imaginii sale situată simetric față de pământ;

$\epsilon$  — permitivitatea dielectricului, care în cazul aerului are valoarea

$$\epsilon \approx \epsilon_0 = \frac{1}{4\pi \cdot 9 \cdot 10^9} \left[ \frac{\text{F}}{\text{m}} \right].$$

Potențialul unui conductor  $m$  produs de sarcina conductorului vecin  $n$  se exprimă prin relația:

$$V_{mn} = \frac{Q_n}{2\pi\epsilon l} \ln \frac{d_{mn'}}{D_{mn}}, \quad (2.27)$$

în care:  $Q_n$  reprezintă sarcina conductorului vecin  $n$ ;

$d_{mn'}$  — distanța dintre conductorul  $m$  și imaginea conductorului vecin  $n'$ ;

$D_{mn}$  — distanța dintre axele conductoarelor  $m$  și  $n$ .

Ținând seama de relațiile (2.25) și (2.26) se poate determina capacitatea unui conductor în prezența pământului:

$$C = \frac{Q}{V} = \frac{2\pi\epsilon l}{\ln \frac{h + \sqrt{h^2 + r^2}}{r}} \approx \frac{2\pi\epsilon l}{\ln \frac{2h}{r}} = \frac{2\pi\epsilon l}{\ln \frac{d}{r}}, \quad (2.28)$$

în care notațiile corespund figurii 2.10.

Dacă se consideră dielectricul aer, se substituie logaritmul natural prin logaritm zecimal și se raportează capacitatea la 1 km de conductor (linie), atunci relația (2.28) devine:

$$C_0 = \frac{0,0242}{\log \frac{d}{r}} \left[ \frac{\mu\text{F}}{\text{km}} \right]. \quad (2.29)$$

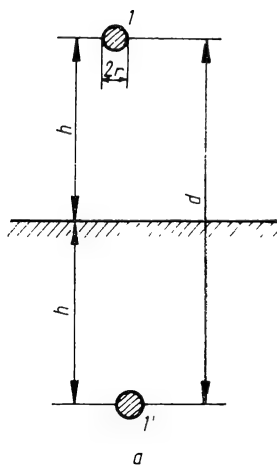


Fig. 2.10. Capacitatea față de pământ a unui conductor:

a — conductorul și imaginea sa electrică; b — circuitul capacitiv echivalent.

2.1.3.1. *Capacitatea de serviciu a liniilor electrice aeriene simetrice.* Calculul capacității de serviciu a unei linii electrice simetrice, aeriene sau în cablu, în prezența pământului, este analog cu calculul capacităților unui sistem de conductoare cilindrice și paralele. Conductoarele se consideră omogene, izolate, încărcate cu sarcină electrică uniform repartizată și cu același potențial pe toată lungimea lor, între care se găsește un dielectric neîncărcat și liniar, cu permitivitatea independentă de intensitatea câmpului electric.

În cazul liniilor electrice aeriene, conductoarele se presupun

situate la distanțe egale de suprafața pământului, neținînd seama de săgeata acestora. Cînd se ține seama de săgeata  $f$ , atunci se consideră, de obicei, distanțe echivalente între suprafața pământului și conductoare, determinate cu relația ( $h = 0,7 f$ ). Efectele suplimentare create de structura stîlpilor, de prezența arborilor sau de depunerile de pe conductoare, care conduc la apropierea acestora față de pămînt și, deci, la o creștere a capacităților, se neglijează.

Pentru calculul capacităților de serviciu a liniilor electrice se utilizează relațiile lui Maxwell relative la capacități.

În prima lor formă, aceste relații exprimă prin suprapunere, potențialul fiecărui conductor dintr-un sistem de  $n$  conductoare paralele, în raport cu pămîntul, produs de sarcina sa proprie și de sarcinile tuturor conductoarelor vecine, adică:

$$\begin{aligned} V_1 &= \alpha_{11}Q_1 + \alpha_{12}Q_2 + \alpha_{13}Q_3 + \dots + \alpha_{1n}Q_n; \\ V_2 &= \alpha_{21}Q_1 + \alpha_{22}Q_2 + \alpha_{23}Q_3 + \dots + \alpha_{2n}Q_n; \\ &\dots\dots\dots (2.30) \\ &\cdot \\ &\cdot \\ V_n &= \alpha_{n1}Q_1 + \alpha_{n2}Q_2 + \alpha_{n3}Q_3 + \dots + \alpha_{nn}Q_n, \end{aligned}$$

în care:  $\alpha_{mm}$  reprezintă coeficienții de potențial propriu ai conductoarelor, datorită sarcinilor lor electrice;

$\alpha_{mn}$  — coeficienții de potențial reciproc (mutual) ai fiecărui conductor, datorită sarcinilor conductoarelor vecine.

Relațiile (2.30) se pot prezenta sub formă prescurtată:

$$[V] = [\alpha] \cdot [Q], \quad (2.31)$$

în care:  $[V]$  reprezintă matricea coloană a potențialelor celor  $n$  conductoare;

$[\alpha]$  — matricea coeficienților de potențial;

$[Q]$  — matricea coloană a sarcinilor electrice a celor  $n$  conductoare.

*Coeficientul de potențial propriu*  $\alpha_{mm}$  se poate defini ca fiind potențialul de pe suprafața conductorului  $m$ , cînd sarcina acestuia este egală cu o unitate pozitivă, cea a imaginii sale cu o unitate negativă, iar sarcina celorlalte conductoare este nulă.

*Coeficientul de potențial reciproc*  $\alpha_{mn}$  reprezintă influența celorlalte  $(n-1)$  conductoare asupra conductorului  $m$ ; el se definește ca fiind potențialul de pe suprafața conductorului  $m$ , cînd sarcina lui este nulă, creat de sarcina conductorului  $n$  egală cu o unitate pozitivă și cea a imaginii sale egală cu o unitate negativă.

Ținând seama de relațiile (2.26) și (2.27) acești coeficienți pot fi exprimați în funcție de dimensiunile geometrice ale sistemului de conductoare, sub forma generală:

$$\begin{aligned}\alpha_{mm} &= \frac{1}{2\pi\epsilon l} \ln \cdot \frac{2h_{mm'}}{r} = \frac{1}{2\pi\epsilon l} \ln \frac{d_{mm'}}{r}; \\ \alpha_{mn} &= \frac{1}{2\pi\epsilon l} \ln \frac{\sqrt{4h_{mm'}^2 + D_{mn}^2}}{D_{mn}} \approx \frac{1}{2\pi\epsilon l} \ln \frac{d_{mn'}}{D_{mn}},\end{aligned}\quad (2.32)$$

în care distanțele de sub semnul logaritmului au semnificațiile indicate mai înainte.

În a doua formă, relațiile lui Maxwell exprimă, prin suprapunere sarcina electrică a fiecărui conductor, dintr-un sistem de  $n$  conductoare, în funcție de potențialul propriu, potențialele celorlalte conductoare și coeficienții de influență electrică. Ele se pot obține prin rezolvarea sistemului (2.30) sau (2.31) în raport cu sarcinile electrice, sub forma:

$$\begin{aligned}\underline{Q}_1 &= \gamma_{11}\underline{V}_1 + \gamma_{12}\underline{V}_2 + \gamma_{13}\underline{V}_3 + \dots + \gamma_{1n}\underline{V}_n; \\ \underline{Q}_2 &= \gamma_{21}\underline{V}_1 + \gamma_{22}\underline{V}_2 + \gamma_{23}\underline{V}_3 + \dots + \gamma_{2n}\underline{V}_n; \\ &\vdots \\ &\dots\dots\dots \\ &\vdots \\ \underline{Q}_n &= \gamma_{n1}\underline{V}_1 + \gamma_{n2}\underline{V}_2 + \gamma_{n3}\underline{V}_3 + \dots + \gamma_{nn}\underline{V}_n\end{aligned}\quad (2.33,a)$$

sau:

$$[\underline{Q}] = [\gamma] \cdot [\underline{V}] = [\alpha]^{-1} \cdot [\underline{V}], \quad (2.33,b)$$

în care  $[\gamma] = [\alpha]^{-1}$  reprezintă matricea coeficienților de influență electrică.

Semnificația fizică a acestor coeficienți se poate pune în evidență, conectând la pământ toate conductoarele în afara celui analizat. Dacă, de exemplu, conductorul  $k$  are sarcina  $Q_k$  și toate celelalte conductoare sînt conectate la pământ, atunci fiecare din acestea din urmă posedă o parte din sarcina indusă, proporțională cu potențialul  $V_k$ . În consecință, coeficienții care afectează acest potențial, conform relațiilor (2.33), reprezintă capacități parțiale directe ale conductorului  $k$ , față de pământ și ale aceluiași conductor față de celelalte conductoare conectate la pământ.

Cele două sisteme de ecuații ale lui Maxwell se vor aplica la cîteva cazuri, care din punct de vedere practic interesează în mod deosebit.

#### a. Capacitatea de serviciu a unei linii monofazate cu două conductoare

Pentru linia electrică monofazată cu două conductoare din figura 2.11, în prezența pămîntului, prima formă a relațiilor lui Maxwell este:

$$\begin{bmatrix} \underline{V}_1 \\ \underline{V}_2 \end{bmatrix} = \begin{bmatrix} \alpha_{11} & \alpha_{12} \\ \alpha_{21} & \alpha_{22} \end{bmatrix} \cdot \begin{bmatrix} \underline{Q}_1 \\ \underline{Q}_2 \end{bmatrix} \quad (2.34)$$

și se utilizează în directă legătură cu metoda imaginilor electrice, care presupune că suprafața pământului reprezintă un plan echipotențial de potențial nul ( $V_p = 0$ ). În aceste condiții, câmpul electric de deasupra și de la suprafața pământului creat de sarcina unui conductor, este același cu cel care ar fi fost produs de sarcina conductorului și de o sarcină egală și de semn opus a imaginii acestuia, imagine situată simetric sub suprafața pământului.

Dacă se consideră sistemul simetric, în sensul că  $V_1 + V_2 = 0$  și se alege noul sistem drept nod de referință cu potențial egal cu cel al pământului ( $V_0 = V_p = 0$ ), atunci coeficienții de potențial  $\alpha_{11} = \alpha_{22}$  și  $\alpha_{12} = \alpha_{21}$ ; valoarea lor, definită cu relațiile generale (2.32) se scrie sub forma:

$$\alpha_{11} = \alpha_{22} = \frac{1}{2\pi\epsilon l} \ln \frac{2h}{r} = \frac{1}{2\pi\epsilon l} \ln \frac{d_{11'}}{r} = \frac{1}{2\pi\epsilon l} \ln \frac{d_{22'}}{r};$$

$$\alpha_{12} = \alpha_{21} = \frac{1}{2\pi\epsilon l} \ln \frac{\sqrt{D_{12}^2 + 4h^2}}{D_{12}} = \frac{1}{2\pi\epsilon l} \ln \frac{d_{12'}}{D_{12}},$$
(2.35)

în care distanțele folosite sînt notate în figura 2.11.

Din sistemul (2.34) se pot determina valorile potențialelor conductoarelor:

$$\underline{V}_1 = (\alpha_{11} - \alpha_{12}) \underline{Q}_1 = (\alpha_{11} - \alpha_{12}) \underline{Q};$$

$$\underline{V}_2 = (\alpha_{22} - \alpha_{21}) \underline{Q}_2 = (\alpha_{21} - \alpha_{22}) \underline{Q},$$
(2.36)

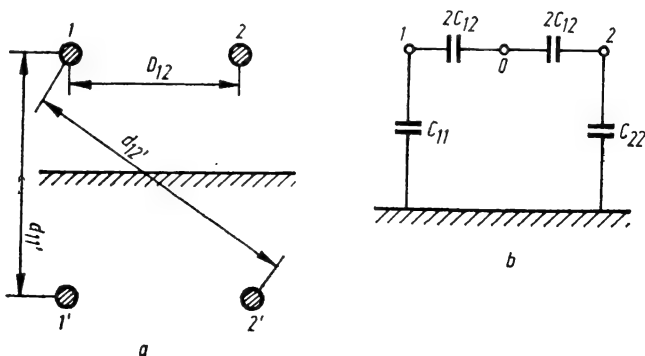
în care s-a considerat  $\underline{Q}_1 + \underline{Q}_2 = 0$  sau  $\underline{Q}_1 = -\underline{Q}_2 = \underline{Q}$ .

Capacitatea de serviciu a fiecărui conductor al liniei electrice se determină, ținînd seama de relațiile (2.28) și (2.36):

$$C_{1s} = C_{2s} = C_s = \frac{Q}{V_{10}} = -\frac{Q}{V_{20}} = \frac{1}{\alpha_{11} - \alpha_{12}} = \frac{2\pi\epsilon l}{\ln\left(\frac{2h}{r} \cdot \frac{D_{12}}{\sqrt{4h^2 + D_{12}^2}}\right)},$$
(2.37)

unde potențialele  $V_{10} = V_1 - V_0 = V_1$ ,  $V_{20} = V_2 - V_0 = V_2$  s-au considerat în raport cu potențialul de referință ( $V_0 = V_p = 0$ ).

Fig. 2.11. Linie monofază-tă cu două conductoare:  
a - conductoarele și imaginile lor; b - circuitul capacitiv echivalent.





Dacă se raportează capacitatea de serviciu la 1 km de linie și se transformă logaritmul natural în logaritm zecimal, atunci se obține valoarea capacității specifice (lineice) de serviciu:

$$C_{os} = \frac{0,0242}{\log \left( \frac{2h}{r} \cdot \frac{D_{12}}{\sqrt{4h^2 + D_{12}^2}} \right)} = \frac{0,0242}{\log \left( \frac{d_{11'}}{r} \cdot \frac{D_{12}}{d_{12'}} \right)} \left[ \frac{\mu F}{\text{km}} \right], \quad (2.38)$$

Comparând ultima relație cu (2.28) se constată că sub semnul logaritm, a apărut un factor de corecție determinat de raportul între distanța dintre axele conductoarelor 1 și 2 și distanța dintre fiecare conductor și imaginea celuilalt.

Dacă se consideră  $h \gg D$ , atunci capacitatea specifică de lucru obținută cu relația (2.38) are aceeași formă ca cea dată de relația (2.28), cu observația că sub semnul logaritm intervine distanța  $D_{12}$  dintre axele conductoarelor, în locul celei dintre conductor și imaginea lui.

Capacitatea sistemului format de cele două conductoare paralele este dată de relația:

$$C = \frac{Q}{V_1 - V_2} = \frac{1}{2(\alpha_{11} - \alpha_{12})} = \frac{\pi \epsilon l}{\ln \left( \frac{2h}{r} \cdot \frac{D_{12}}{d_{12'}} \right)} \quad (2.39)$$

sau, raportată la unitatea de lungime:

$$C_0 = \frac{0,0242}{2 \log \left( \frac{2h}{r} \cdot \frac{D_{12}}{d_{12'}} \right)} = \frac{0,0121}{\log \left( \frac{d_{11'}}{r} \cdot \frac{D_{12}}{\sqrt{D_{12}^2 + 4h^2}} \right)} \quad (2.40)$$

În cazul cînd se folosește cea de-a doua formă a ecuațiilor lui Maxwell, pentru linia cu două conductoare în prezența pămîntului, se poate scrie că:

$$\begin{aligned} \underline{Q}_1 &= \gamma_{11} \underline{V}_1 + \gamma_{12} \underline{V}_2 = \gamma_{11} \underline{V}_1 - \gamma_{12} (\underline{V}_1 - \underline{V}_2) + \gamma_{12} \underline{V}_1 = \\ &= (\gamma_{11} + \gamma_{12}) \underline{V}_1 - \gamma_{12} (\underline{V}_1 - \underline{V}_2) \end{aligned} \quad (2.41)$$

și o relație analoagă pentru sarcina conductorului 2, în care

$$\gamma_{11} = \frac{\alpha_{11}}{\begin{bmatrix} \alpha_{11} & \alpha_{12} \\ \alpha_{21} & \alpha_{22} \end{bmatrix}} \text{ și } \gamma_{12} = - \frac{\alpha_{12}}{\begin{bmatrix} \alpha_{11} & \alpha_{12} \\ \alpha_{21} & \alpha_{22} \end{bmatrix}}. \quad (2.42)$$

Ținînd seama că:

$$\underline{V}_1 - \underline{V}_2 = \underline{V}_{12}; \quad \underline{V}_1 = \underline{V}_1 - \underline{V}_0 = \underline{V}_{10}$$

și utilizînd notațiile:

$$C_{11} = \gamma_{11} + \gamma_{12} \text{ și } C_{12} = -\gamma_{12},$$

relația (2.41) se poate pune sub forma:

$$\underline{Q}_1 = C_{11} \underline{V}_{10} + C_{12} \underline{V}_{12}, \quad (2.43)$$

în care:  $C_{11}$  reprezintă capacitatea parțială a conductorului 1 față de pământ;

$C_{12}$  — capacitatea dintre cele două conductoare.

Trebuie menționat că valoarea capacității parțiale diferă de cea a unui singur conductor față de pământ, în lipsa conductorului al doilea. De asemenea, capacitatea  $C_{12}$  diferă de cea dintre conductoarele 1 și 2, în ipoteza că acestea nu s-ar afla în prezența pământului.

De exemplu, dacă se consideră o structură simetrică, ( $\alpha_{11} = \alpha_{22}$  și  $\alpha_{12} = \alpha_{21}$ ), rezultă următoarele expresii:

$$C_{11} = C_{22} = \gamma_{11} + \gamma_{12} = \frac{\alpha_{11} - \alpha_{12}}{\alpha_{11}^2 - \alpha_{12}^2} = \frac{1}{\alpha_{11} + \alpha_{12}}; \quad (2.44)$$

$$C_{12} = C_{21} = \frac{\alpha_{12}}{\alpha_{11}^2 - \alpha_{12}^2}.$$

Capacitățile de serviciu se determină în funcție de capacitățile  $C_{11}$  și  $C_{12}$  folosind circuitul capacitiv echivalent din figura 2.11, b. În cazul condițiilor de funcționare în regim simetric, în care  $V_1 + V_2 = 0$  și  $Q_1 + Q_2 = 0$ , potențialul nodului N este egal cu cel al pământului și egal cu zero. În aceste condiții, capacitățile parțiale  $C_{11}$  și 2  $C_{12}$  din figura 2.11, b se pot pune în paralel, obținând capacitatea de serviciu sub forma:

$$C_s = C_{11} + 2C_{12} = \frac{1}{\alpha_{11} + \alpha_{12}} + \frac{2\alpha_{12}}{\alpha_{11}^2 - \alpha_{12}^2} = \frac{1}{\alpha_{11} - \alpha_{12}}, \quad (2.45)$$

care este aceeași cu cea exprimată prin relația (2.37).

### b. Linia aeriană trifazată simplă simetrică

În acest caz, prima formă a ecuațiilor lui Maxwell este:

$$\begin{bmatrix} V_1 \\ V_2 \\ V_3 \end{bmatrix} = \begin{bmatrix} \alpha_{11} & \alpha_{12} & \alpha_{13} \\ \alpha_{21} & \alpha_{22} & \alpha_{23} \\ \alpha_{31} & \alpha_{32} & \alpha_{33} \end{bmatrix} \cdot \begin{bmatrix} Q_1 \\ Q_2 \\ Q_3 \end{bmatrix}. \quad (2.46)$$

Dacă sistemul trifilar este simetric atunci se poate scrie că:

$\alpha_{11} = \alpha_{22} = \alpha_{33} = \alpha$ ;  $\alpha_{12} = \alpha_{13} = \alpha_{23} = \alpha'$  și  $Q_1 + Q_2 + Q_3 = 0$ , iar ecuațiile (2.46) devin

$$\begin{bmatrix} V_1 \\ V_2 \\ V_3 \end{bmatrix} = \begin{bmatrix} \alpha & \alpha' & \alpha' \\ \alpha' & \alpha & \alpha' \\ \alpha' & \alpha' & \alpha \end{bmatrix} \begin{bmatrix} Q_1 \\ Q_2 \\ Q_3 \end{bmatrix}. \quad (2.47)$$

În aceste condiții ecuația de potențial a conductorului 1, de exemplu, este de forma:

$$V_1 = \alpha Q_1 + \alpha' (Q_2 + Q_3) = (\alpha - \alpha') Q_1, \quad (2.48)$$

iar ale celorlalte două conductoare se obțin prin permutarea indicilor.

Dacă se alege un conductor de nul fictiv al cărui potențial se ia drept potențial de referință, egal cu cel al pământului ( $V_0 = 0$ ), atunci capacitatea de serviciu a conductorului 1, exprimată de relația generală (2.25), are valoarea:

$$C_{1s} = \frac{Q_1}{V_1 - V_0} = \frac{Q_1}{V_{10}} = \frac{1}{\alpha - \alpha'}, \quad (2.49)$$

în care  $\alpha$  și  $\alpha'$  sînt determinați de relații de forma (2.32).

De menționat însă, că în cazul liniilor electrice aeriene, simetria se obține prin transpunerea fazelor. Ținînd seama că conductoarele fazelor ocupă fiecare succesiv pozițiile 1, 2 și 3 indicate în figura 2.4, rezultă că matricea coeficienților de potențial din sistemul (2.47) se poate scrie sub forma:

$$[\alpha] = \frac{1}{3} \begin{bmatrix} \alpha_{11} + \alpha_{22} + \alpha_{33} & \alpha_{12} + \alpha_{23} + \alpha_{31} & \alpha_{13} + \alpha_{21} + \alpha_{32} \\ \alpha_{21} + \alpha_{32} + \alpha_{13} & \alpha_{22} + \alpha_{11} + \alpha_{33} & \alpha_{23} + \alpha_{32} + \alpha_{13} \\ \alpha_{31} + \alpha_{12} + \alpha_{23} & \alpha_{32} + \alpha_{13} + \alpha_{21} & \alpha_{33} + \alpha_{11} + \alpha_{22} \end{bmatrix}, \quad (2.50)$$

în care fiecare termen al matricii reprezintă o medie aritmetică.

În aceste condiții, coeficienții de potențial, conform relațiilor generale (2.32) au valoarea:

$$\begin{aligned} \alpha &= \frac{\alpha_{11} + \alpha_{22} + \alpha_{33}}{3} = \frac{1}{6\pi\epsilon l} \ln \left[ \frac{2h_1}{r} \cdot \frac{2h_2}{r} \cdot \frac{2h_3}{r} \right] = \frac{1}{2\pi\epsilon l} \ln \frac{2h_{med}}{r}; \\ \alpha' &= \frac{\alpha_{12} + \alpha_{23} + \alpha_{31}}{3} = \frac{1}{6\pi\epsilon l} \ln \left[ \frac{d_{12'}}{D_{12}} \cdot \frac{d_{23'}}{D_{23}} \cdot \frac{d_{31'}}{D_{31}} \right] = \frac{1}{2\pi\epsilon l} \ln \frac{d_{med}}{D_{med}}, \end{aligned} \quad (2.51)$$

în care:  $h_{med} = \sqrt[3]{h_1 \cdot h_2 \cdot h_3}$  reprezintă înălțimea medie a conductoarelor față de pământ;

$d_{med} = \sqrt[3]{d_{12'} \cdot d_{23'} \cdot d_{31'}}$  — distanța dintre conductoarele  $m$  și imaginile față de pământ ale conductoarelor  $n'$ ;

$D_{med} = \sqrt[3]{D_{12} \cdot D_{23} \cdot D_{31}}$  — distanța medie dintre conductoare.

Capacitatea de serviciu a conductoarelor linii electrice trifazate simetrice se determină cu ajutorul relațiilor (2.51) și (2.49) avînd valoarea:

$$C_s = \frac{1}{\alpha - \alpha'} = \frac{2\pi\epsilon l}{\ln \left( \frac{2h_{med}}{r} \cdot \frac{D_{med}}{d_{med}} \right)} \quad (2.52)$$

sau raportată la 1 km de linie:

$$C_{os} = \frac{0,0242}{\left( \log \frac{2h_{med}}{r} \cdot \frac{D_{med}}{d_{med}} \right)} \left[ \frac{\mu F}{km} \right]. \quad (2.53)$$

Dacă se consideră  $d_{med} = \sqrt{4h_{med}^2 + D_{med}^2}$  și se face aceeași aproximație de la linia cu două conductoare,  $h_{med} \gg D_{med}$ , atunci relația (2.53) devine:

$$C_{0s} = \frac{0,0242}{\log \frac{D_{med}}{r}} \left[ \frac{\mu F}{km} \right], \quad (2.54)$$

care este utilizată practic pentru calculul capacității specifice a liniilor electrice aeriene trifazate.

Aceeași valoare de capacitate se poate determina cu ajutorul relațiilor lui Maxwell scrise sub forma (2.33). În acest caz, pentru conductorul 1, de exemplu, se poate scrie că:

$$\underline{Q}_1 = \gamma_{11}\underline{V}_1 + \gamma_{12}\underline{V}_2 + \gamma_{13}\underline{V}_3 \quad (2.55)$$

și alte două relații asemănătoare pentru celelalte două faze, în care coeficienții de influență, ținând seama de (2.47), au valorile:

$$\begin{aligned} \gamma_{11} = \gamma_{22} = \gamma_{33} &= \frac{\alpha + \alpha'}{(\alpha - \alpha')(\alpha + 2\alpha')} \quad \text{și} \quad \gamma_{12} = \gamma_{13} = \gamma_{23} = \\ &= -\frac{\alpha'}{(\alpha - \alpha')(\alpha + 2\alpha')}. \end{aligned} \quad (2.56)$$

Expresia (2.55) se poate transforma sub forma:

$$\begin{aligned} \underline{Q}_1 &= (\gamma_{11} + \gamma_{12} + \gamma_{13})\underline{V}_1 - \gamma_{12}(\underline{V}_1 - \underline{V}_2) - \gamma_{13}(\underline{V}_1 - \underline{V}_3) = \\ &= C_{11}\underline{V}_{10} + C_{12}\underline{V}_{12} + C_{13}\underline{V}_{13}, \end{aligned} \quad (2.57)$$

unde:  $C_{11} = \gamma_{11} + \gamma_{12} + \gamma_{13}$  reprezintă capacitatea parțială a conductorului 1 în raport cu pământul;

$C_{12} = -\gamma_{12}$  și  $C_{13} = -\gamma_{13}$  — capacitățile parțiale ale conductorului 1 în raport cu conductoarele 2 și 3;

$\underline{V}_{10} = \underline{V}_1 - \underline{V}_0$  — potențialul fazei 1 în raport cu potențialul de referință al pământului ( $V_0 = 0$ );

$\underline{V}_{12}$  și  $\underline{V}_{13}$  — potențialul fazei 1, în raport cu fazele 2 și 3.

În figura 2.12,  $a$  sînt notate cele trei conductoare ale liniei cu distanțele între ele și între imaginile lor, care verifică condițiile corespunzătoare capacității totale a fiecărui conductor față de pământ și capacitățile directe dintre conductoare.

Capacitatea de serviciu a fiecărui conductor rezultă prin transfigurarea triunghiului capacităților  $C_{12}$ ,  $C_{13}$ ,  $C_{23}$  într-o stea  $C_{10}$ ,  $C_{20}$ ,  $C_{30}$ , în care, pentru un sistem simetric, centrul stelei are potențialul egal cu cel al pământului. În aceste condiții rezultă:

$$C_s = C_{11} + C_{10} = C_{22} + C_{20} = C_{33} + C_{30} = \frac{1}{\alpha - \alpha'}, \quad (2.58)$$

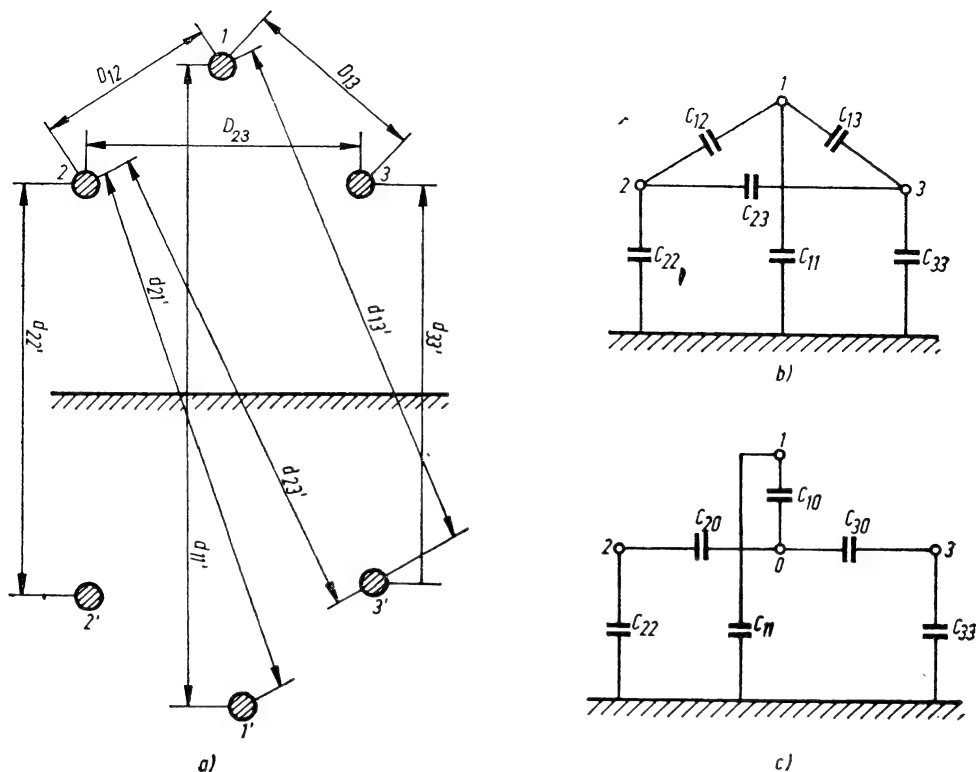


Fig. 2.12. Linie electrică trifazată aeriană:

*a* – distanțele între conductoare și conductoare și imagini; *b* – circuitul capacitiv echivalent inițial; *c* – circuitul capacitiv echivalent al capacităților de serviciu.

în care s-a considerat că:

$$C_{11} = \gamma_{11} + \gamma_{12} + \gamma_{13} = C_{22} = C_{33} = \frac{1}{\alpha + 2\alpha'};$$

$$C_{10} = C_{12} + C_{13} + \frac{C_{12} \cdot C_{13}}{C_{23}} = C_{20} = C_{30} = 3 C_{12} = 3 C_{13} = 3 C_{23} =$$

$$= \frac{3\alpha'}{(\alpha - \alpha')(\alpha + 2\alpha')}.$$

Se constată că relația care exprimă valoarea capacității specifice este identică cu (2.49) dedusă cu ajutorul primei forme a relațiilor lui Maxwell în funcție de coeficienții de potențial.

### c. Linie electrică aeriană cu dublu circuit

Pentru linia electrică aeriană cu dublu circuit, cu dispoziția simetrică a fazelor, capacitatea de serviciu are o valoare puțin diferită de cea a liniei simple, ca urmare a influenței reciproce dintre circuite. Această influență

se poate determina cu ajutorul ecuațiilor lui Maxwell și corespunde unor factori de corecție, determinați prin rapoartele dintre anumite distanțe care intervin la numitorul expresiei (2.52) sub semnul logaritm. În general, pentru liniile electrice cu dublu circuit, influența reciprocă a celor două circuite este practic neglijabilă ( $2 \div 3\%$ ) și ca urmare, calculul capacității de serviciu a acestora se poate face cu relația (2.52) corespunzătoare liniei cu simplu circuit.

Influența conductoarelor de protecție se manifestă în sensul creșterii într-o oarecare măsură a capacităților față de pământ a conductoarelor active și a reducerii capacităților dintre faze. În general, această influență este foarte mică, datorită cărui fapt ea se neglijează.

Pentru conductoarele fasciculate, capacitatea de serviciu se determină cu aceeași relație (2.52) în care raza echivalentă este exprimată prin relația indicată în cazul inductivităților.

În calculul liniilor electrice aeriene se indică orientativ următoarele valori medii ale capacităților de serviciu:

$$-(8 \div 10) \cdot 10^{-3} \left[ \frac{\mu\text{F}}{\text{km}} \right] \text{ pentru liniile cu tensiuni nominale de } (35 \div 220) \text{ kV;}$$

$$-(5 \div 7) \cdot 10^{-3} \left[ \frac{\mu\text{F}}{\text{km}} \right] \text{ pentru liniile cu tensiuni nominale de } 220 \div 400 \text{ kV,}$$

construite cu conductoare fasciculate.

2.1.3.2. *Capacitatea de serviciu a liniilor electrice în cablu.* Calculul capacităților de serviciu ale cablurilor se poate face cu aceeași metodă folosită la liniile electrice aeriene.

Pentru cabluri monofazate sau trifazate cu câmp radial, de exemplu, capacitatea de serviciu se calculează în același mod ca pentru un condensator format din doi cilindri de lungime  $l$ , cu ajutorul relației:

$$C_s = \frac{2\pi\epsilon l}{\ln \frac{R}{r}}, \quad (2.59)$$

în care:  $\epsilon$  reprezintă constanta dielectrică a izolației cablului;

$r$  — raza conductorului;

$R$  — raza cablului.

Dacă se consideră  $\epsilon = \epsilon_0 \epsilon_r = \frac{1}{4\pi \cdot 9 \cdot 10^9} \epsilon_r \left[ \frac{\text{F}}{\text{m}} \right]$ , o lungime  $l = 1\,000 \text{ m}$  și se transformă logaritmul natural în logaritm zecimal, relația (2.59) devine:

$$C_{0s} = \frac{0,0242}{\log \frac{R}{r}} \epsilon_r \left[ \frac{\mu\text{F}}{\text{km}} \right]. \quad (2.60)$$

În cazul cablurilor trifazate fără câmp radial, capacitatea de serviciu se determină folosind ecuațiile lui Maxwell și metoda imaginilor electrice. În acest scop, se înlocuiește suprafața conductoare de potențial constant a învelișului de plumb sau de aluminiu care înconjură cele trei faze, cu un sistem de sarcini  $Q'_1, Q'_2, Q'_3$ , care reprezintă imaginile sarcinilor  $Q_1, Q_2$  și  $Q_3$  în raport cu suprafața conductoare, astfel încât în câmpul electric

rezultant al sarcinilor  $Q_n$  și  $Q'_n$  această suprafață să rămână echipotențială. Calculele sînt mai laborioase și implică anumite aproximații, deoarece nu se cunosc datele exacte cu privire la dimensiunile și la materialele folosite în construcția cablurilor. Din această cauză precizia calculelor este mai mică și la proiectarea liniilor electrice în cablu se aleg capacitățile de serviciu din cataloagele date de fabricile constructoare.

În lipsa acestor date se pot prelmina următoarele valori medii ale capacităților de serviciu ale cablurilor:

— pentru cabluri de 10 kV și secțiunea de  $70 \div 95 \text{ mm}^2$ :

$$C_{0s} = 0,33 \left[ \frac{\mu\text{F}}{\text{km}} \right];$$

— pentru cabluri de  $20 \div 30 \text{ kV}$  și secțiunea de  $150 \text{ mm}^2$ :

$$C_{0s} = 0,28 \left[ \frac{\mu\text{F}}{\text{km}} \right].$$

2.1.3.3. *Efectul de compensare al liniilor electrice de înaltă tensiune.* Rezistența și reactanța inductivă a liniilor electrice produc pierderi de tensiune și de putere, care au ca rezultat micșorarea tensiunilor în diferite puncte dintr-o rețea și a randamentului instalațiilor electrice.

Capacitatea provoacă circulația de curenți capacitivi și, din această cauză, liniile electrice pot fi considerate ca generatoare de putere reactivă. În regim normal de funcționare a liniilor, circulația acestei puteri are ca efect îmbunătățirea nivelului de tensiune și compensarea factorului de putere al transportului, mai ales în cazul instalațiilor de înaltă și foarte înaltă tensiune (începînd cu tensiunea de 110 kV) pentru liniile electrice aeriene și cu tensiunea de 10 kV pentru liniile în cabluri.

Puterea reactivă de compensare a liniilor electrice are valoarea dată de relația:

$$Q = \sqrt{3} UI_c = C\omega U^2,$$

unde:  $U$  reprezintă tensiunea nominală;

$I_c$  — curentul capacitiv al liniei determinat în ipoteza că tensiunea este constantă pe toată lungimea liniei;

$\omega$  — pulsația curentului la frecvența industrială.

Informativ, se indică următoarele valori medii ale puterilor reactive produse de liniile electrice aeriene de tensiuni înalte și foarte înalte:

— 3 Mvar pe 100 km la tensiunea de 110 kV;

— 13 Mvar pe 100 km la tensiunea de 220 kV;

—  $55 \div 60$  Mvar pe 100 km la tensiunea de 400 kV.

În cazul liniilor electrice în cabluri, puterea reactivă generată este mult mai mare. Astfel, puterea reactivă furnizată de un cablu de 18 km la 220 kV este de circa 60 Mvar.

Rețelele subterane de medie tensiune ( $10 \div 35 \text{ kV}$ ) produc puteri reactive de valori ridicate mai ales cînd lungimea lor este mare. Acest lucru are consecințe nefavorabile în cazul punerii la pămînt a fazelor ca urmare a curenților de punere la pămînt de valori ridicate.

## 2.1.4. CONDUCTANȚA LATERALĂ A LINIILOR ELECTRICE

În afară de susceptanța capacitivă, conductoarele liniilor electrice aeriene și subterane prezintă și o *conductanță laterală* sau o *perditanță*, determinată de o serie de factori care influențează atât pierderile de energie, cât și buna funcționare și exploatare a rețelelor.

În cele ce urmează vor fi analizați acești factori, mai întâi pentru linii electrice aeriene și apoi pentru cele în cablu.

2.1.4.1. *Conductanța laterală a liniilor electrice aeriene.* În cazul liniilor electrice aeriene, conductanța laterală este determinată de scurgerile de curent prin izolație spre pământ și de fenomenul corona.

Scurgerile de curent către pământ se datoresc imperfecțiunii izolației conductoarelor în punctele de fixare ale acestora pe stîlp. Ele sînt cu atât mai intense cu cît condițiile meteorologice sînt mai nefavorabile.

În condiții meteorologice favorabile (timp uscat), conductanța liniilor determinată de imperfecțiunea izolației variază în limitele  $(2 \cdot 10^{-10} \div 2 \cdot 10^{-9})$  [S/km], ceea ce corespunde, în cazul tensiunilor înalte de 110—220 kV, unor pierderi de putere de ordinul zecilor de wați. În condiții meteorologice nefavorabile (ceață, ploaie), valoarea acestor pierderi crește de 5÷6 ori sau chiar mai mult, rămîind totuși neglijabile din punct de vedere al calculelor și al exploatării.

În zone poluate, cînd pe izolatoarele liniilor electrice aeriene se depun particule bune conducătoare de electricitate, valoarea conductanței crește foarte mult, putînd atinge  $(2 \cdot 10^{-8} \div 4 \cdot 10^{-7})$  [S/km]. Totuși, în calculul liniilor electrice, nici în aceste cazuri nu se ține seama de conductanță, deoarece se are în vedere utilizarea unor izolatoare care să nu favorizeze depunerile, precum și curățarea acestora în timpul exploatării.

Fenomenul corona reprezintă o descărcare autonomă incompletă, care apare în jurul conductoarelor sub forma unei coroane luminoase, cînd intensitatea cîmpului electric la suprafața acestora depășește o valoare critică, egală aproximativ cu  $21,1 \left[ \frac{\text{kV}}{\text{cm}} \right]$ . El influențează mărirea pierderilor de

energie și are consecințe economice și perturbatoare asupra funcționării instalațiilor de înaltă frecvență și asupra mediului înconjurător.

Astfel, fenomenul corona *corodează* conductoarele liniilor electrice aeriene, ceea ce conduce, cînd el se intensifică, la scurtarea duratei de funcționare a acestora de 1,5÷2 ori.

În cazul liniilor electrice de foarte înaltă tensiune ( $U_n \geq 400$  kV) fenomenul corona provoacă importante *perturbații* la posturile de radio și televiziune din apropiere; aceleași perturbații au loc și în funcționarea canalelor de înaltă frecvență de pe liniile de transport de energie electrică. Din această cauză, se indică limitarea perturbațiilor radiofonice la 70÷75 dB pentru 1 MHz, pe timp ploios, cînd măsurătorile sînt făcute la 15 m de faza laterală și la 50÷55 dB, în aceleași condiții de măsurare, pe timp frumos.

În rețelele cu neutrul legat direct la pământ fenomenul corona poate produce *armonici superioare* care deformează curba curentului și măresc gradul de nesimetrie al acestuia, fapt care are drept consecință o creștere a influenței liniilor de energie asupra celor de telecomunicații.



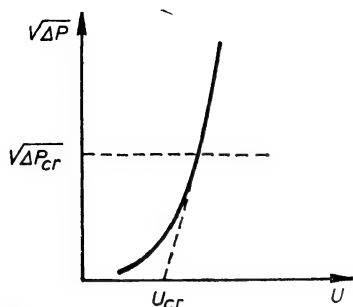


Fig. 2.13. Curba de variație a pierderilor de putere în funcție de tensiune.

54 dB(A) pe timp ploios. Se indică și în acest caz, limitarea intensității zgomotului la cel mult  $55 \div 60$  dB(A), măsurat la 15 m distanță de faza laterală, pe timp ploios. În acest scop, se recomandă folosirea conductoarelor fasciculate pe fiecare fază, cu anumite diametre.

În afara poluării mediului din cauza zgomotelor, liniile de foarte înaltă tensiune produc și *efecte electrostatice*, care se manifestă asupra persoanelor sau animalelor care staționează sub linii. Astfel, pot apărea senzații de înțepături la contactul dintre piele și haine, ridicarea părului etc. Pentru evitarea acestor efecte neplăcute, se recomandă ca la sol gradientul de potențial să nu depășească  $14 \div 15$  kV/m.

Considerațiile făcute arată că fenomenul corona trebuie să fie luat în considerație încă din faza de proiectare a liniilor electrice aeriene. În cazul liniilor cu tensiuni nominale  $U_n \leq 220$  kV, eliminarea sau limitarea fenomenului corona nu întâmpină dificultăți și nu cere cheltuieli suplimentare mari. Uneori însă, mai ales la liniile de foarte înaltă tensiune, pentru obținerea acestui lucru este nevoie de cheltuieli suplimentare, determinate de creșterea secțiunii conductorului activ utilizat. Se poate afirma că, în prezent, fenomenul corona reprezintă unul din cei mai importanți factori care limitează creșterea tensiunilor de transport.

Eliminarea sau micșorarea fenomenului corona este impusă de *reducerea pierderilor de energie*. În acest caz, micșorarea fenomenului corona este legată de investiții suplimentare, iar soluția aleasă în proiectare rezultă din calcule tehnico-economice, cu ajutorul cărora se constată dacă economia de energie obținută prin micșorarea fenomenului justifică cheltuielile suplimentare.

Existența fenomenului corona pe o linie de înaltă tensiune se constată efectuând calculul tensiunii critice de apariție a acestuia. Sub tensiunea critică, pierderile de energie sînt mici, practic neglijabile. Peste tensiunea critică, aceste pierderi cresc rapid cu tensiunea. Într-o reprezentare liniară, în ipoteza unor conductoare perfect cilindrice, curba de variație a pierderilor de putere în funcție de tensiune are forma dată în figura 2.13 și corespunde relației generale:

$$\sqrt{\Delta P} = k (U - U_{cr}) \left[ \frac{\text{kW}}{\text{km}} \right], \quad (2.61)$$

în care:  $U$  reprezintă tensiunea de serviciu a liniei;  
 $U_{cr}$  — tensiunea critică de apariție \* a fenomenului corona, corespunzătoare gradientului de potențial critic de  $21,1 \left[ \frac{\text{kV}}{\text{cm}} \right]$ ;  
 $k$  — constantă care depinde de starea suprafeței conductoarelor, de condițiile meteorologice (presiune, temperatură), frecvența curentului etc.

Tensiunea critică de apariție a fenomenului corona se calculează cu diferite relații. Astfel, pentru liniile electrice trifazate cu conductoare dispuse simetric (în vîrfurile unui triunghi echilateral) valoarea tensiunii critice se calculează cu relația:

$$U_{cr} = \sqrt{3} E_{cr} \cdot m_1 \cdot m_2 \cdot \delta \cdot r \cdot \ln \frac{D_{med}}{r}, \quad (2.62)$$

în care:  $E_{cr}$  reprezintă intensitatea critică a cîmpului electric la care poate apărea fenomenul corona, considerată egală cu  $21,1 \left[ \frac{\text{kV}}{\text{cm}} \right]$ ;  
 $m_1$  — coeficient numeric subunitar, care ține seama de starea suprafeței conductorului, avînd valorile de:  $0,93 \div 0,95$  pentru conductoare monofilare și de  $0,80 \div 0,87$  pentru conductoare funie;  
 $m_2$  — coeficient numeric care ține seama de condițiile meteorologice, avînd valoarea egală cu unitatea cînd timpul este uscat și frumos și de  $0,8$  cînd timpul este umed (ceață, ploaie, chiciură);  
 $D_{med}$  — distanța medie geometrică dintre conductoare, în cm;  
 $r$  — raza conductorului, în cm;  
 $\delta = \frac{3,92 \cdot p}{273 + t}$  — densitatea relativă a aerului;  
 $p$  — presiunea, în cm Hg;  
 $t$  — temperatura aerului, în °C.

Ținînd seama de intensitatea critică a cîmpului electric, de factorul de transformare a logaritmului natural în logaritm zecimal, precum și de faptul că pentru  $p = 76$  cm Hg și  $t = 25^\circ\text{C}$ , densitatea relativă a aerului este egală cu unitatea, relația (2.62) se poate scrie sub forma:

$$U_{cr} = 84 \cdot m_1 \cdot m_2 \cdot r \cdot \log \frac{D_{med}}{r}, \quad (2.63)$$

care poate fi aplicată și în cazul unor presiuni și temperaturi cu valori diferite de cele indicate mai sus, fără a comite erori importante.

---

\* În realitate, conform relației (2.61) și figurii 2.13, apar pierderi corona și sub tensiunea critică. Ele sînt determinate de unele descărcări locale, cauzate de asperitățile de pe suprafața conductoarelor sau de depuneri de particule solide sau lichide (picături de apă, burniță, ceață, zăpadă).

Dacă tensiunea critică este mai mare decât tensiunea nominală a liniei ( $U_{cr} > U_n$ ), atunci fenomenul corona nu apare. În caz contrar, fenomenul corona apare și determină pierderi de putere care, pentru o dispunere simetrică a conductoarelor, se pot calcula cu formula dată de Peek:

$$\Delta P_{cor} = \frac{241}{\delta} (f + 25) \sqrt{\frac{r}{D_{med}}} (V - V_{cr})^2 10^{-5} \left[ \frac{\text{kW}}{\text{km}} \right], \quad (2.64)$$

unde:  $f$  este frecvența de lucru a rețelei, în Hz;

$V$  și  $V_{cr}$  — tensiunile pe faze, de lucru și de apariție a fenomenului corona, în kV.

Pentru conductoare dispuse în același plan orizontal, s-a constatat că tensiunea critică de apariție a fenomenului corona în cele trei faze este diferită. Astfel, pentru faza din mijloc ea este mai mică cu circa 4%, iar pentru cele extreme mai mare cu circa 6%, față de tensiunea calculată cu relația (2.63). În acest caz, pierderile de putere se vor calcula separat pentru fiecare fază cu relația (2.64), introducând tensiunile reale de apariție a fenomenului corona.

Relația (2.64) dă rezultate satisfăcătoare mai ales în cazul liniilor de energie cu tensiuni nominale mai mici decât 220 kV și conductoare cu diametre corespunzătoare. La tensiuni superioare și diametre mari, pentru calcularea pierderilor de putere se indică relația:

$$\begin{aligned} \Delta P_{cor} &= \frac{2,22 \left( f + \frac{60}{D_{med}} \right) (V - V_{cr})^2}{\ln \frac{D_{med}}{L_{med}}} \cdot 10^{-4} \approx \\ &\approx \frac{\left( f + \frac{60}{D_{med}} \right) (V - V_{cr})^2 \cdot 10^{-4}}{\log \frac{D_{med}}{L_{med}}} \left[ \frac{\text{kW}}{\text{km}} \right], \end{aligned} \quad (2.65)$$

unde:  $L_{med}$  reprezintă lungimea medie de deplasare a ionilor într-o jumătate de perioadă, determinată cu formula aproximativă:

$$L_{med} \approx 0,19 \sqrt{\frac{r E_v}{f}}.$$

În această ultimă relație,  $E_v$  reprezintă intensitatea câmpului electric a fenomenului corona vizibil, a cărei valoare este:

$$E_v = 21,1 \, m_1 \cdot \delta \left( 1 + \frac{0,301}{\sqrt{r \delta}} \right),$$

unde:  $m_1$ ,  $\delta$ ,  $r$  au aceleași semnificații din relația (2.63).

În cazul liniilor de foarte înaltă tensiune echipate cu conductoare fasciculate, tensiunea critică de apariție a fenomenului corona se verifică printr-o relație puțin modificată față de (2.62) sau (2.63) de forma:

$$U_{cr} = 84 \cdot m_1 m_2 \frac{n}{1 + \psi \frac{r}{a_m}} r \log \frac{D_{med}}{r_e}, \quad (2.65)$$

în care  $\psi = 2(n-1) \sin \frac{\pi}{n}$  reprezintă un coeficient a cărui valoare depinde de numărul de conductoare pe fază.

Verificarea pierderilor de putere la fenomenul corona trebuie efectuată începînd cu tensiunea de 110 kV. În anumite condiții nefavorabile, el poate apărea pe conductoare la care diametrul minim este de 10,5 mm la tensiunea de 110 kV și de 25 mm la 220 kV. Pentru tensiuni mai înalte eliminarea fenomenului corona impune folosirea conductoarelor cu diametre de minimum 50 mm, ceea ce reprezintă aproximativ o limită a posibilităților tehnologice de fabricare și de montare. La astfel de diametre sau chiar la diametre mai reduse, fenomenul corona propriu-zis, este precedat de fenomenul corona local, care începe la tensiuni cu 25÷30% mai mici decît tensiunea critică. De aceea, în aceste cazuri se pot folosi conductoare fasciculate, care din punct de vedere al repartiției liniilor de cîmp electric se apropie de un conductor echivalent cu diametrul mai mare.

Dacă în calculul electric al unei linii este necesar să se țină seama de rezistența efectivă corespunzătoare scurgerilor de curent și pierderilor corona, atunci ea se va calcula cu relația:

$$R_c = \frac{U^2}{\Delta P_c} [\text{k}\Omega \cdot \text{km/fază}], \quad (2.66)$$

unde:  $U$  este tensiunea de lucru, în kV;

$\Delta P_c$  — pierderile trifazate de putere datorită fenomenului corona și scurgerilor de curent, în kW/km.

În general, rezistența  $R$  care ar trebui introdusă în schema echivalentă este foarte mare, ea fiind influențată mult de condițiile atmosferice. Ca medie anuală, pentru condițiile atmosferice din Europa centrală și diferite tensiuni, se pot folosi estimativ valori rezultate din figura 2.14, în limitele de dispersie indicate. Se menționează că valorile inferioare se vor folosi pentru liniile electrice aeriene situate la mare altitudine și în zone umede.

2.1.4.2. *Conductanța laterală a liniilor electrice în cablu.* Liniile electrice subterane au pierderi de putere produse din cauza fenomenelor de ionizare care se petrec în dielectricul cablurilor. Ele sînt caracterizate de tangenta unghiului de pierderi ( $\text{tg } \delta$ ) care reprezintă raportul dintre componenta activă și cea reactivă a curentului total și ale cărei valori, pentru cabluri de înaltă tensiune, sînt cuprinse în limitele de 0,002 și 0,008.

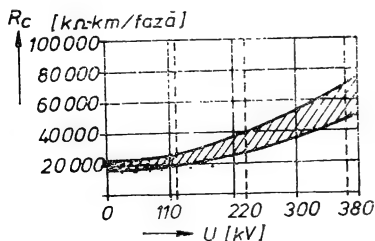


Fig. 2.14. Rezistența electrică datorită pierderilor corona și scurgerilor de curent.

Pentru cabluri cu izolație de hîrtie impregnată, cu tensiuni nominale pînă la 35 kV, pierderile de putere sînt mici și nu se iau în considerare în calculul liniilor. În cazul unor cabluri de 110÷220 kV sau mai mult, pierderile de putere în izolație pot atinge valori pînă la 10 kW/km. Ele se pot calcula cu o relație de forma:

$$\Delta P = \frac{0,000106 f V^2 n^2 \epsilon_r \cos \theta}{G} \left[ \frac{\text{W}}{\text{km}} \right], \quad (2.67)$$

unde:  $f$  reprezintă frecvența curentului, în Hz;  
 $V$  — valoarea efectivă a tensiunii pe fază, în kV;  
 $n$  — numărul de conductoare ( $n = 1$  pentru cabluri monofazate sau pentru cabluri trifazate ecranate);  
 $\epsilon_r$  — permitivitatea relativă a dielectricului;  
 $\cos \theta$  — factorul de putere \* al izolației;  
 $G$  — factorul geometric exprimat în funcție de capacitatea de serviciu a cablului prin relația  $G = 0,0169 n \epsilon_r / C$ ;  
 $C$  — capacitatea de serviciu a cablului în  $\left[ \frac{\mu\text{F}}{\text{km}} \right]$ .

Pierderile de putere în dielectricul cablurilor trifazate la temperatură și tensiune de lucru nominală se pot determina însă și cu relația:

$$\Delta P = 3 G_0 V^2 \left[ \frac{\text{W}}{\text{km}} \right]. \quad (2.68)$$

unde  $V$  reprezintă valoarea efectivă a tensiunii pe fază a rețelei, iar  $G_0$  — conductanța laterală a unei faze față de pămînt pentru o lungime de 1 km.

Relația (2.68) se poate transforma ținînd seama de relația de definiție a admitanței specifice a liniei:

$$\underline{Y}_0 = G_0 + j B_0 = G_0 + j \omega C_0 = \sqrt{G_0^2 + B_0^2} (\cos \theta + j \sin \theta), \quad (2.69)$$

din care rezultă că:

$$G_0 = \sqrt{G_0^2 + B_0^2} \cos \theta \text{ sau } G_0 = B_0 \frac{\cos \theta}{\sqrt{1 - \cos^2 \theta}} = B_0 \operatorname{ctg} \theta = (\omega C_0) \operatorname{ctg} \theta.$$

## 2.2. PARAMETRII TRANSFORMATOARELOR ELECTRICE

Transformatoarele electrice reprezintă aparate electromagnetice statice care transformă prin inducție mutuală mărimile energiei de curent alternativ (tensiunea și intensitatea curentului) menținînd neschimbată frecvența. Conectarea lor se face totdeauna între o sursă de energie și receptoarele a căror tensiune de funcționare este diferită de cea a sursei.

---

\* Factorul de putere al izolației este egal numeric, pentru unghiurile de pierderi întîlnite uzual în practică, cu tangenta acestui unghi. Acest lucru reiese imediat, dacă se ține seama că pentru admitanța complexă cu argument  $\theta = \frac{\pi}{2} - \delta$ , unghiuri  $\delta$  suficient de mici,  $\cos \theta \approx \sin \delta \approx \operatorname{tg} \delta$ .

În mod obișnuit, în rețelele electrice se utilizează următoarele tipuri de transformatoare:

— *trifazate*, cu două sau cu trei înfășurări, care permit interconectarea simultană a două sau trei rețele cu tensiuni nominale diferite;

— *monofazate*, cu două sau trei înfășurări, montate în grupuri de câte trei, în conexiuni stea sau triunghi, utilizate mai ales în cazul unor puteri trifazate, pe unitate, mai mari decât 60 MVA;

— *autotransformatoare*, folosite pentru interconexiunea rețelelor electrice de înaltă tensiune, care au rapoarte de valori reduse (apropiate de unitate);

De asemenea, se mai întâlnesc și *transformatoare de construcții speciale*, cum ar fi de exemplu, cele cu *faze scindate* sau cele destinate *reglării tensiunii în rețelele electrice*.

Determinarea parametrilor transformatoarelor presupune cunoașterea următoarelor elemente caracteristice, reieșite din încercările experimentale în scurtcircuit și în gol: pierderile de putere în scurtcircuit sau în cupru  $\Delta P_k$ , tensiunea de scurtcircuit, în procente din tensiunea nominală  $u_k \%$ , pierderile de putere în fier sau în gol  $\Delta P_0$  și curentul de magnetizare  $i_0 \%$ , în procente din curentul nominal. Valoarea acestor patru mărimi este indicată în cataloage și variază în funcție de puterea nominală a transformatoarelor, așa cum se indică, în mod informativ, în figura 2.15. Cu ajutorul lor se definesc parametrii longitudinali și transversali ai transformatoarelor, adică rezistența, reactanța, conductanța laterală și susceptanța, care vor fi considerate în calculul rețelelor în regim normal de funcționare. Pentru calculul acestor parametri în regim de scurtcircuit sînt necesare aceleași date cu considerații suplimentare, care se indică în capitolul care tratează curenții de scurtcircuit.

### 2.2.1. TRANSFORMATORUL CU DOUĂ ÎNFĂȘURĂRI

*Rezistența echivalentă* a transformatorului cu două înfășurări se determină scriind expresia pierderilor trifazate de putere în cupru, la sarcina nominală a acestuia, adică:

$$\Delta P_k = 3 R_T I_n^2,$$

din care reiese:

$$R_T = \frac{\Delta P_k}{3 I_n^2} = \Delta P_k \frac{U_n^2}{S_n^2} 10^3 [\Omega], \quad (2.70)$$

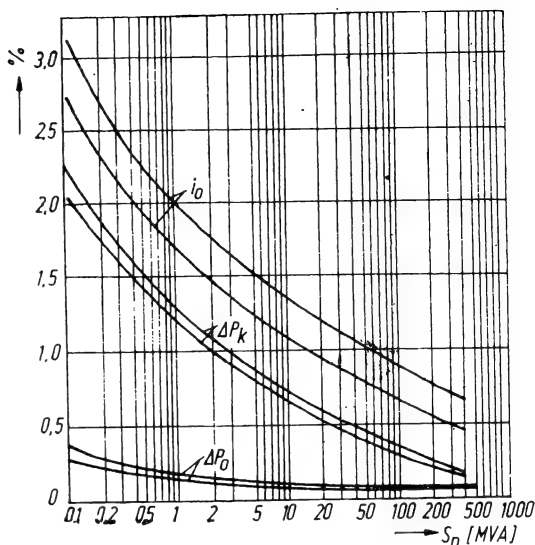


Fig. 2.15. Domeniile de variație ale mărimilor  $i_0$ ,  $\Delta P_k$  și  $\Delta P_0$  corespunzătoare transformatoarelor și autotransformatoarelor.

unde pentru a se obține rezistența în ohmi, se consideră pierderile în cupru, în kW, tensiunea nominală, în kV și puterea nominală, în kVA.

*Reactanța echivalentă* a transformatorului se determină folosind tensiunea de scurtcircuit, care este dată în procente din tensiunea nominală. Ținând seama că:

$$\Delta U_k = \frac{u_k}{100} \cdot \frac{U_n}{\sqrt{3}} = Z_T \cdot I_n,$$

rezultă:

$$Z_T = \frac{u_k}{100} \cdot \frac{U_n^2}{S_n}, \quad (2.71)$$

unde pentru a se obține impedența echivalentă de scurtcircuit a transformatorului în ohmi, se consideră tensiunea în kV și puterea nominală în MVA.

Cunoscând impedența și rezistența transformatoarelor se poate determina reactanța inductivă:

$$X_T = \sqrt{Z_T^2 - R_T^2}. \quad (2.72)$$

La transformatoarele de puteri mari, rezistența înfășurărilor este mult mai mică decât impedența, astfel încît relația (2.72) poate fi pusă sub forma aproximativă:

$$X_T \approx Z_T - \frac{R_T^2}{2Z_T} \approx Z_T, \quad (2.73)$$

care arată că reactanța echivalentă poate fi calculată cu relația (2.71).

*Conductanța echivalentă* a transformatorului se calculează în funcție de pierderile de putere trifazate în fierul transformatorului, exprimate prin relația generală:

$$\Delta P_0 = G_T \cdot U_n^2,$$

de unde reiese că:

$$G_T = \frac{\Delta P_0}{U_n^2} \cdot 10^{-3} \text{ [S]}, \quad (2.74)$$

în care pierderile sînt exprimate în kW și tensiunea nominală în kV.

*Susceptanța echivalentă* a transformatorului (putere de magnetizare), indică:

$$\Delta Q_0 = B_T \cdot U_n^2,$$

ie unde reiese că:

$$B_T = \frac{\Delta Q_0}{U_n^2} \cdot 10^{-3} \text{ [S]}. \quad (2.75)$$

În cataloagele de transformatoare, fabricile constructoare nu indică puterea reactivă de magnetizare, ci curentul de mers în gol, exprimat în procente din curentul nominal. Ca urmare, se poate calcula numai modulul admitanței totale echivalente, adică:

$$Y_T = \frac{I_0}{U_n} = \frac{i_0}{100} \cdot \frac{S_n}{U_n^2} \cdot 10^{-3} \text{ [S]}, \quad (2.76)$$

unde puterea nominală este considerată în kVA și tensiunea nominală în kV.

Susceptanța echivalentă a transformatorului reiese din relația:

$$B_T = \sqrt{Y_T^2 - G_T^2}$$

care, în cazul transformatoarelor curent folosite în rețele electrice, devine:

$$B_T \approx Y_T - \frac{G_T^2}{2Y_T} \approx Y_T, \quad (2.77)$$

adică se poate identifica cu admitanța.

*Schema echivalentă* a transformatorului cu două înfășurări, care presupune un anumit mod de legare galvanică a celor patru parametri calculați, se poate reprezenta, în cazul general, printr-un cuadripol montat în serie cu un transformator ideal, fără pierderi active și reactive, al cărui rol este numai de a multiplica tensiunea cu un factor  $k$  egal cu raportul de transformare la mersul în gol. În acest mod, toate elementele sînt raportate la aceeași tensiune, care poate fi tensiunea secundară cînd cuadripolul este conectat la secundarul transformatorului ideal (fig. 2.16, a), sau la tensiunea primară, dacă cuadripolul este conectat la primarul aceluiași transformator (fig. 2.16, b). Conform notațiilor arătate pe figura 2.16, b se poate scrie relația:

$$\begin{bmatrix} U'_{20} \\ I'_2 \end{bmatrix} = \begin{bmatrix} k & 0 \\ 0 & \frac{1}{k} \end{bmatrix} \cdot \begin{bmatrix} U_{20} \\ I_2 \end{bmatrix}, \quad (2.78)$$

care arată rolul transformatorului ideal.

Din punct de vedere al valorii algebrice a raportului de transformare, al reglajului acestui raport și al prizei mediane, transformatoarele pot fi urcătoare sau coboritoare de tensiune. În ambele cazuri, priza mediană este aleasă astfel încît, în gol, secundarul transformatorului să furnizeze o tensiune cu 10% mai mare decît cea nominală. Astfel, un transformator ridicător va fi definit, de exemplu, prin raportul de 35/121 kV, în timp ce unul coborîtor prin raportul 110/38,5 kV.

Reprezentarea cuadripolului se poate face prin mai multe scheme echivalente, dintre care cele mai utilizate sînt, în ordine, schema echivalentă  $\Gamma$  și  $T$ , arătate în figura 2.17. Coeficienții  $\underline{A}$ ,  $\underline{B}$ ,  $\underline{C}$ ,  $\underline{D}$  ai acestor scheme, se determină în funcție de parametrii  $R_T$ ,  $X_T$ ,  $G_T$ ,  $B_T$  ai transformatorului real și ținînd seama de ecuațiile generale ale unui cuadripol, scrise sub forma:

$$\underline{U}_1 = \underline{A}\underline{U}_2 + \underline{B}\underline{I}_2 \text{ și } \underline{I}_1 = \underline{C}\underline{U}_2 + \underline{D}\underline{I}_2.$$

Particularizînd aceste ecuații în cazul schemelor din figura 2.17 se obține:  
— pentru schema echivalentă  $\Gamma$ :

$$\underline{U}_{10} = \underline{U}'_{20} + \underline{Z}\underline{I}'_2; \quad \underline{I}_1 = \underline{I}'_2 + \underline{I}_0 = \underline{Y}\underline{U}'_{20} + \underline{I}'_2(1 + \underline{Z}\underline{Y}),$$

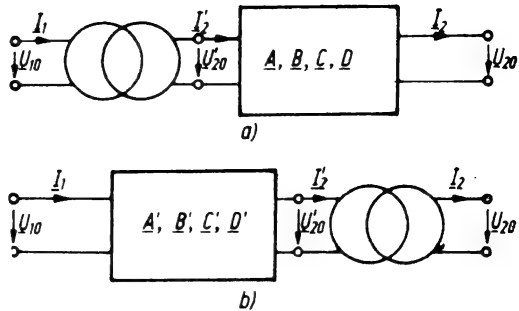


Fig. 2.16. Reprezentarea transformatorului cu două înfășurări:

a — cu elemente raportate la tensiunea secundară; b — cu elemente raportate la tensiunea primară.



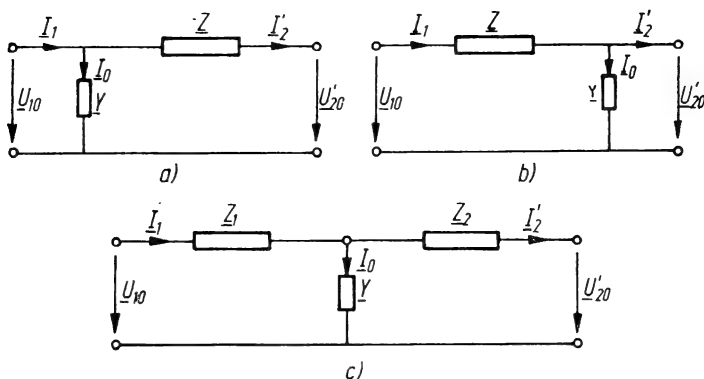


Fig. 2.17. Schemele echivalente în  $\Gamma$  (sau în  $\Pi$ ) și în  $T$  ale unui transformator.

din care rezultă:

$$A = 1; \quad B = Z; \quad C = Y; \quad D = 1 + ZY; \quad (2.79)$$

— pentru schema echivalentă  $\Gamma$ :

$$\underline{U}_{10} = \underline{U}'_{20} + \underline{Z}I_1 = \underline{U}'_{20}(1 + \underline{Z}Y) + \underline{Z}I'_2; \quad I_1 = I'_2 + I_0 = Y\underline{U}'_{20} + I'_2,$$

din care rezultă:

$$\underline{A} = 1 + \underline{Z}Y; \quad \underline{B} = \underline{Z}; \quad \underline{C} = \underline{Y}; \quad D = 1. \quad (2.80)$$

— pentru schema echivalentă  $T$ :

$$\underline{U}_{10} = (1 + \underline{Z}_0Y)\underline{U}'_{20} + (\underline{Z}_1 + \underline{Z}'_2 + \underline{Z}_1\underline{Z}'_2Y)I'_2; \quad I_1 = Y\underline{U}'_{20} + I'_2(1 + \underline{Z}'_2Y),$$

din care rezultă:

$$\underline{A} = 1 + \underline{Z}_1Y; \quad \underline{B} = \underline{Z}_1 + \underline{Z}'_2 + \underline{Z}_1\underline{Z}'_2Y; \quad \underline{C} = \underline{Y}; \quad D = 1 + \underline{Z}'_2Y. \quad (2.81)$$

Ținând seama de aceste rezultate și de relația (2.78), se pot scrie următoarele ecuații de funcționare:

— pentru transformatorul cu schemă echivalentă  $\Gamma$ :

$$\begin{bmatrix} \underline{U}_{10} \\ I_1 \end{bmatrix} = \begin{bmatrix} 1 & \underline{Z} \\ \underline{Y} & 1 + \underline{Z}Y \end{bmatrix} \cdot \begin{bmatrix} k & 0 \\ 0 & \frac{1}{k} \end{bmatrix} \cdot \begin{bmatrix} \underline{U}_{20} \\ I_2 \end{bmatrix}; \quad (2.82)$$

— pentru transformatorul cu schemă echivalentă  $\Pi$ :

$$\begin{bmatrix} \underline{U}_{10} \\ I_1 \end{bmatrix} = \begin{bmatrix} 1 + \underline{Z}Y & \underline{Z} \\ \underline{Y} & 1 \end{bmatrix} \cdot \begin{bmatrix} k & 0 \\ 0 & \frac{1}{k} \end{bmatrix} \cdot \begin{bmatrix} \underline{U}_{20} \\ I_2 \end{bmatrix}; \quad (2.83)$$

— pentru transformatorul cu schemă echivalentă  $T$ :

$$\begin{bmatrix} \underline{U}_{10} \\ I_1 \end{bmatrix} = \begin{bmatrix} 1 + \underline{Z}_1Y & \underline{Z}_1 + \underline{Z}'_2 + \underline{Z}_1\underline{Z}'_2Y \\ \underline{Y} & 1 + \underline{Z}'_2Y \end{bmatrix} \cdot \begin{bmatrix} k & 0 \\ 0 & \frac{1}{k} \end{bmatrix} \cdot \begin{bmatrix} \underline{U}_{20} \\ I_2 \end{bmatrix}. \quad (2.84)$$

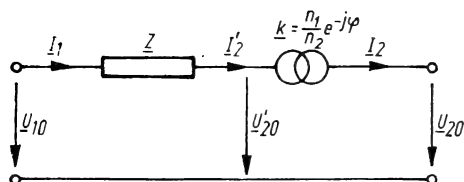


Fig. 2.18. Schema echivalentă a unui transformator cu două înfășurări în care s-a neglijat curentul de magnetizare.

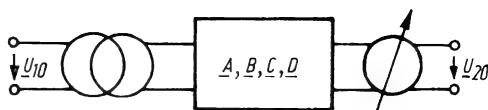


Fig. 2.19. Schema echivalentă a unui transformator cu două înfășurări, cu transformator ideal cu raport de transformare complex.

Se menționează că în cazul schemelor echivalente acceptate nu s-a neglijat curentul de magnetizare și s-a considerat că curenții din primar și secundar au același sens. În aceste condiții relația de legătură dintre solenații este de forma:

$$n_1 I_1 - n_2 I_2 = n_1 I_0$$

sau

$$I_1 = I_2' + I_0, \quad (2.85)$$

în care:  $I_2' = \frac{n_2}{n_1} I_2$  este curentul secundar raportat la primar;

$n_1$  și  $n_2$  — numărul de spire din primarul și secundarul transformatorului.

Uneori, schema echivalentă se poate simplifica, făcând abstracție de curentul de magnetizare. În acest caz, ea corespunde figurii 2.18 fiind formată dintr-un dipol înseriat cu un transformator ideal, avînd raportul de transformare  $k$  real sau complex \*, pentru care se poate scrie că:

$$\begin{bmatrix} U_{10} \\ I_1 \end{bmatrix} = \begin{bmatrix} 1 & Z \\ 0 & 1 \end{bmatrix} \cdot \begin{bmatrix} k & 0 \\ 0 & \frac{1}{k} \end{bmatrix} \cdot \begin{bmatrix} U_{20} \\ I_2 \end{bmatrix}. \quad (2.86)$$

*Observații.* Schemele echivalente indicate corespund transformatorului monofazat; ele pot fi utilizate însă și în cazul transformatoarelor trifazate simetrice. În reprezentarea lor nu s-a ținut seama de posibilitatea introducerii unui decalaj al tensiunii și curentului din secundar, față de aceleași mărimi din primar. De exemplu, în cazul unei conexiuni  $\Delta/Y$ , mărimile din primarul și secundarul transformatorului sînt decalate între ele cu  $30^\circ$ . De aceea, schema echivalentă din figura 2.16 ar trebui completată și cu un defazor perfect ca în figura 2.19, care să indice acest decalaj dintre mărimile primare și secundare sau altfel spus, care să țină seama că transformatorul ideal are un raport de transformare complex.

Pentru simplificarea reprezentărilor se renunță de obicei la montarea transformatorului ideal și al elementului de defazare și se consideră transformatorul numai prin schema cuadripolului echivalent în care se trec direct mărimile raportate. În acest mod se simplifică și ecuațiile de funcționare. Se va ține seama însă de grupa de conexiuni a transformatoarelor care permite să se determine și rapoartele de transformare complexe.

\* Pentru un transformator ideal monofazat raportul de transformare este real. Pentru un transformator ideal trifazat, raportul de transformare corespunzător la borne omoloage este, în general, complex, depinzînd de grupa de conexiuni.

### 2.2.2. TRANSFORMATORUL CU TREI ÎNFĂȘURĂRI

Transformatorul cu trei înfășurări permite interconectarea simultană a trei rețele cu tensiuni diferite. Parametrii acestuia se calculează în mod analog celui cu două înfășurări, fiind necesare însă și unele precizări suplimentare, care privesc modul cum sînt dimensionate înfășurările. Din acest punct de vedere se menționează că, în practică se întîlnesc trei tipuri de transformatoare cu trei înfășurări. *Primul tip* are toate înfășurările dimensionate la puterea nominală a transformatorului, definită totdeauna ca fiind puterea corespunzătoare înfășurării primare. Cel *de-al doilea tip* are una din înfășurările, secundară sau terțiară, dimensionată numai pentru două treimi din puterea nominală, în timp ce *tipul al treilea* are ambele aceste înfășurări dimensionate pentru două treimi din puterea nominală. Se menționează că ultimele două tipuri constructive sînt mai avantajoase din punct de vedere economic, deoarece costă mai puțin. Ele se utilizează totdeauna în cazurile în care nu este necesară distribuția întregii puteri a înfășurării primare numai pe secundar sau numai pe terțiar.

Această precizare referitoare la tipul de transformator influențează în mod direct calculul rezistențelor echivalente a înfășurărilor. În acest scop, ea trebuie completată cu următoarele două condiții:

— pierderile maxime în înfășurări au loc cînd puterea nominală, corespunzătoare înfășurării primare, se repartizează cît mai inegal pe celelalte două înfășurări;

— rezistențele înfășurărilor se consideră invers proporționale cu puterile nominale ale acestora, adică:

$$\frac{R_1}{R_2} = \frac{S_{n2}}{S_{n1}}, \quad \frac{R_1}{R_3} = \frac{S_{n3}}{S_{n1}}, \quad \frac{R_2}{R_3} = \frac{S_{n3}}{S_{n2}}. \quad (2.87)$$

*Rezistența echivalentă* a înfășurărilor, în cazul primului tip de transformator (100/100/100%), conform relațiilor (2.87) este aceeași pentru cele trei înfășurări, iar pierderile maxime de putere corespund situației în care una din înfășurări este în gol și celelalte două încărcate la sarcina nominală. În aceste condiții rezultă că:

$$\Delta P_k = 6R_T I_n^2$$

și

$$R_T = \Delta P_k \frac{U_n^2}{2S_n^2} 10^3 [\Omega], \quad (2.88)$$

în care unitățile de măsură ale mărimilor sînt identice cu cele din relația (2.70).

Pentru transformatorul de tipul al doilea (100/100/67%) sau (100/67/100%) pierderile maxime se obțin cu înfășurarea a treia în gol, iar legătura dintre rezistențele înfășurărilor, conform relației (2.87), este:

$$R_1 = R_2 = R_T; R_3 = 1,5 R_T \text{ — pentru } (100/100/67\%);$$

sau

$$R_1 = R_3 = R_T; R_2 = 1,5 R_T \text{ — pentru } (100/67/100\%).$$

În aceste condiții rezistența echivalentă a înfășurărilor acestui tip de transformator este determinată cu relația (2.88).

Transformatorul cu trei înfășurări de tipul al treilea (100/67/67%) are pierderile maxime, când puterea înfășurării primare se repartizează în proporție de două treimi pe secundar și o treime pe terțiar sau invers. Ținând seama de acest fapt și de legătura dintre rezistențele înfășurărilor reieșită din relațiile (2.87)

$$R_1 = R_T = \frac{2}{3} R_2 = \frac{2}{3} R_3,$$

rezultă că:

$$\Delta P_k = 3 \left[ R_T I_n^2 + \frac{3}{2} R_T \cdot \frac{4}{9} I_n^2 + \frac{3}{2} R_T \cdot \frac{1}{9} I_n^2 \right] = \frac{11}{2} R_T I_n^2$$

și

$$R_T = \Delta P_k \frac{U_n^2}{1,83 S_n^2} 10^3 [\Omega]. \quad (2.89, a)$$

Dacă se consideră, de exemplu, că pierderile în scurtcircuit sînt date pentru o încărcare egală a ambelor înfășurări, rezultă că:

$$R_2 = R_3 = \frac{3}{2} R_1 = \frac{3}{2} R_T;$$

$$\Delta P_k = 3 R_T \left[ I_n^2 + 2 \cdot \frac{3}{2} \cdot (0,5 I_n)^2 \right] = 5,25 R_T I_n^2;$$

$$R_T = R_1 = \Delta P_k \frac{U_n^2}{1,75 \cdot S_n^2} 10^3 [\Omega]. \quad (2.89, b)$$

Pierderile de putere în scurtcircuit se indică în cataloage, fie ca pierderi totale, fie, în cazul transformatoarelor cu puteri nominale mai mari, pentru fiecare încercare de scurtcircuit, adică  $\Delta P_{k12}$ ,  $\Delta P_{k13}$ ,  $P_{k23}$ . În acest ultim caz, pierderile totale de scurtcircuit în funcție de care s-au exprimat rezistențele înfășurărilor transformatorului, se pot calcula cu relația:

$$\Delta P_k = \frac{\Delta P_{k12} + \Delta P_{k13} + \Delta P_{k23}}{2}. \quad (2.90)$$

Dacă este necesar să se calculeze pierderile de scurtcircuit ale celor trei înfășurări, considerate separat, atunci se folosesc relațiile:

$$\Delta P_{k1} = \frac{\Delta P_{k12} + \Delta P_{k13} - \Delta P_{k23}}{2}; \quad \Delta P_{k2} = \frac{\Delta P_{k23} + \Delta P_{k21} - \Delta P_{k13}}{2};$$

$$\Delta P_{k3} = \frac{\Delta P_{k31} + \Delta P_{k32} - \Delta P_{k21}}{2},$$

care pot fi folosite pentru calculul direct al rezistențelor.

*Reactanța echivalentă* a înfășurărilor se determină folosind tensiunile de scurtcircuit indicate în cataloagele cu caracteristici ale transformatoarelor, care se consideră aproximativ egale cu căderile de tensiune reactive. Deoarece tensiunile de scurtcircuit sînt date pentru fiecare pereche de înfășurări, cea

de-a treia înfășurare fiind totdeauna în gol, se poate scrie prin analogie cu (2.71) și (2.73) că:

$$\begin{aligned} Z_{12} \approx X_{12} &= \frac{u_{k12}}{100} \cdot \frac{U_n^2}{S_n}; & Z_{13} \approx X_{13} &= \frac{u_{k13}}{100} \cdot \frac{U_n^2}{S_n}; \\ Z_{23} \approx X_{23} &= \frac{u_{k23}}{100} \cdot \frac{U_n^2}{S_n}, \end{aligned} \quad (2.91)$$

în care  $u_{k12}\%$ ,  $u_{k13}\%$ ,  $u_{k23}\%$  reprezintă tensiunile de scurtcircuit procentuale corespunzătoare perechilor de înfășurări, înaltă-medie tensiune (1—2), înaltă-joasă tensiune (1—3) și medie-joasă tensiune (2—3).

Cele trei reactanțe  $X_{12}$ ,  $X_{13}$ ,  $X_{23}$  nu formează însă o schemă echivalentă de calcul care să unească printr-o legătură galvanică unică toate cele trei borne de intrare de pe aceeași fază care corespund celor trei trepte de tensiune. Ele realizează numai legături galvanice parțiale între perechi de trepte de tensiune, astfel încât se poate scrie următorul sistem de ecuații, care redă condițiile reale de încercare în scurtcircuit:

$$X_{12} = X_1 + X_2; \quad X_{13} = X_1 + X_3 \text{ și } X_{23} = X_2 + X_3 \quad (2.92)$$

din rezolvarea căruia se determină reactanța de scăpări a fiecărei înfășurări, după cum urmează:

$$\begin{aligned} X_1 &= \frac{X_{12} + X_{13} - X_{23}}{2}; & X_2 &= \frac{X_{12} + X_{23} - X_{13}}{2}; \\ X_3 &= \frac{X_{13} + X_{23} - X_{12}}{2}. \end{aligned} \quad (2.93)$$

Aceste trei reactanțe intervin în schema echivalentă a transformatorului.

Conductanța și susceptanța transformatorului cu trei înfășurări se determină cu aceleași relații (2.74) și (2.75) din cazul transformatorului cu două înfășurări.

Schema echivalentă a transformatorului cu trei înfășurări se poate reprezenta printr-o stea cu trei ramuri, fiecare ramură corespunzând unei înfășurări, în care se inserează două transformatoare ideale\*, cu raport de transformare real sau complex, așa cum se arată în figura 2.20. Admitanța

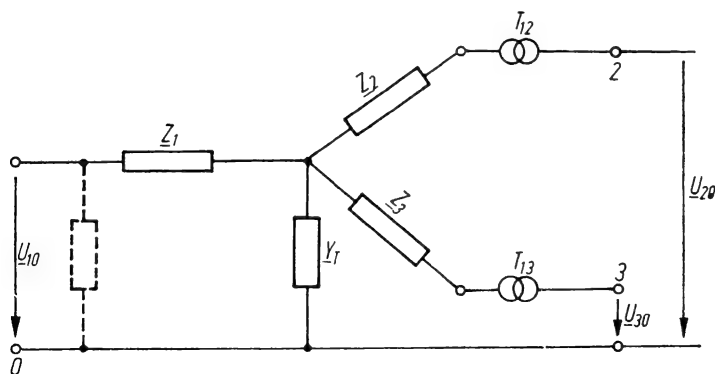


Fig. 2.20. Schema echivalentă a unui transformator cu trei înfășurări, când se țin seama de barele de tensiuni diferite.

\* Ca și în cazul transformatoarelor cu două înfășurări, pentru simplificare se renunță la transformatoarele ideale, indicind mărimile raportate pe secundar și pe terțiar.

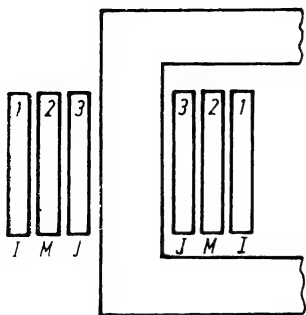


Fig. 2.21. Dispunerea curentă a înfășurărilor pe miezul magnetic al unui transformator.

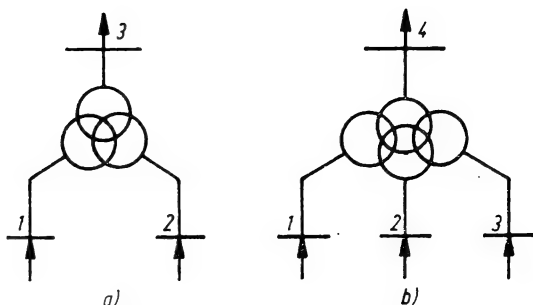


Fig. 2.22. Transformatoare ridicătoare de tensiune cu înfășurări scindate:

a — cu două înfășurări pe partea primară; b — cu trei înfășurări pe partea primară.

$\underline{Y}_T$  se poate monta fie în nodul  $O$ , fie pe capătul de intrare al înfășurării de înaltă tensiune, așa cum se arată punctat.

La transformatoarele de construcție curentă, înfășurarea de înaltă tensiune este dispusă la exterior, în timp ce înfășurarea de joasă tensiune — lângă miezul magnetic, ca în figura 2.21. În aceste condiții, fluxul de scăpări între terțiar și primar este sensibil egal cu suma fluxurilor de scăpări dintre terțiar și secundar și dintre secundar și primar. Ca urmare, reactanța  $X_2$  a ramurii secundare este foarte mică și în schema echivalentă din figura 2.20 poate să lipsească.

Este suficient ca dispunerea înfășurărilor pe miezul magnetic să se schimbe și schema echivalentă să nu mai fie aceeași. Astfel, dacă se schimbă între ele poziția înfășurărilor de medie și de înaltă tensiune, schema echivalentă corespunzătoare are impedanța  $Z_1$ , practic neglijabilă. O astfel de dispunere are dezavantajul esențial că mărește costul transformatorului din cauza suplimentului de izolație pe care-l necesită.

Aceste două moduri de dispunere a înfășurărilor pe miezul magnetic nu sînt singurele posibile, ci există și altele. De exemplu, una din înfășurări poate fi formată din două straturi concentrice, în interiorul cărora se află o altă înfășurare. În acest fel, nici una din cele trei reactanțe nu este forțat nulă.

### 2.2.3. TRANSFORMATORE CU ÎNFĂȘURĂRI SCINDATE

Pentru conectarea a două sau mai multe generatoare la un singur transformator de mare putere, se construiesc transformatoare cu două sau mai multe înfășurări pe partea primară. Calculul parametrilor schemei echivalente se face analog cazului studiat la transformatorul cu trei tensiuni. De exemplu, pentru transformatorul cu două înfășurări pe partea primară prezentat în figura 2.22, *a*, reactanța de dispersie a înfășurării de înaltă tensiune notată cu indicele 3 este dată de relația cunoscută:

$$X_3 = \frac{X_{13} + X_{23} - X_{12}}{2} = \frac{2X_{13} - X_{12}}{2}, \quad (2.94)$$

în care s-a considerat că cele două înfășurări de pe partea primară au aceeași caracteristici, adică  $u_{k13} = u_{k23}$  și respectiv  $X_{13} = X_{23}$ .

Dacă transformatorul este construit astfel încît  $u_{k12} = 2 u_{k13}$  rezultă imediat că  $X_3 = 0$ . Celelalte două reactanțe evident că sînt egale, avînd valoarea:

$$X_1 = X_2 = \frac{X_{12} + X_{13} - X_{23}}{2} = \frac{X_{12}}{2} = \frac{u_{k12}}{100} \cdot \frac{U_n^2}{2 \cdot S_n}. \quad (2.95)$$

#### 2.2.4. PARAMETRII AUTOTRANSFORMATOARELOR

Pentru interconexiunea rețelor de înaltă tensiune se construiesc autotransformatoare de mare putere, ridicătoare sau coborîtoare de tensiune, cu două înfășurări de 110/220 și 220/400 kV. Uneori, se construiesc și autotransformatoare cu trei înfășurări de 231/121/10,5 kV. Ele prezintă avantajul unui gabarit mai redus în raport cu cel al transformatoarelor de aceeași putere, fapt pentru care, în ultima perioadă de timp, au căpătat o utilizare din ce în ce mai mare în rețelele electrice.

Se menționează că înfășurările de înaltă tensiune ale autotransformatoarelor au totdeauna conexiune în stea, cu posibilitatea legării neutrului la pămînt, în timp ce cea de-a treia înfășurare, dacă există, are conexiunea triunghi.

Schemele echivalente ale autotransformatoarelor sînt identice cu cele stabilite pentru transformatoare. De exemplu, pentru autotransformatorul cu trei trepte de tensiune, schema echivalentă este cea prezentată în figura 2.23, în care admitanța a fost conectată pe capătul de intrare al înfășurării de înaltă tensiune. Calculul parametrilor înfășurării este legat de aceleași elemente caracteristice reieșite din încercările experimentale în scurtcircuit și în gol, adică pierderile de putere în scurtcircuit, tensiunea de scurtcircuit, pierderile în fier și curentul de mers în gol. Valoarea procentuală a acestora, exprimată în raport cu caracteristicile nominale este cu atît mai mică, cu cît puterea nominală este mai mare. Informativ, în tabela 2.4 se indică caracteristicile unor autotransformatoare de mare putere fabricate în țara noastră la uzinele „Electroputere” pentru interconexiunea rețelor electrice.

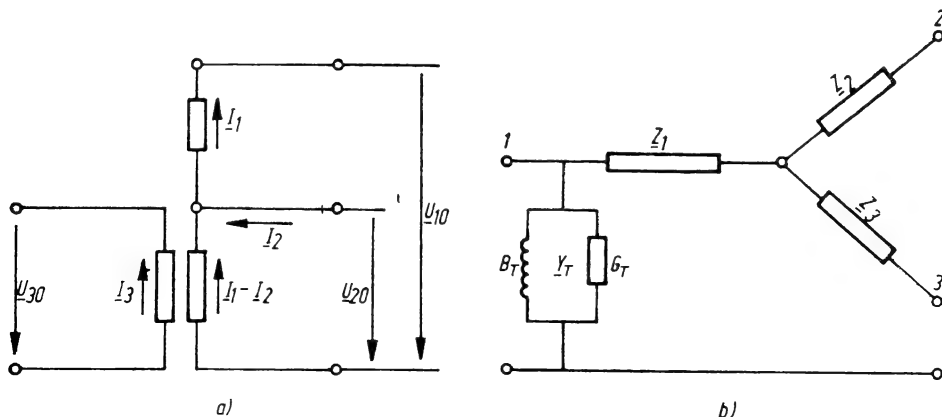


Fig. 2.23. Schema echivalentă a unui autotransformator cu trei tensiuni.

Autotransformatoare de interconexiune cu reglaj sub sarcină și răcire forțată cu suflaj de aer, fabricate la uzinele «Electroputere»

| Puterea nominală<br>$S_N$ [MVA] | $U_{IT}$ [kV] | $U_{MT}$ [kV] | $U_{Jr}$ [kV] | Reglajul<br>prizei pe<br>$IT$ [%] | Grupa de<br>conexiune | Pierderi de putere                   |                             | $\eta_k$ [%]                         | $i_0$ [%] |
|---------------------------------|---------------|---------------|---------------|-----------------------------------|-----------------------|--------------------------------------|-----------------------------|--------------------------------------|-----------|
|                                 |               |               |               |                                   |                       | În scurtcircuit<br>$\Delta P_k$ [kW] | În gol<br>$\Delta P_0$ [kW] |                                      |           |
| 200/200/60                      | 231           | 121           | 10,5          | $\pm 12 \times 1,25$              | $Y_0 d-5$             | 485<br>160<br>170                    | 105                         | IT-MT 10<br>MT-JT 6,3<br>IT-JT 10    | 0,8       |
| 400/400/160                     | 400           | 231           | 22            | $\pm 12 \times 1,25$              | $Y_0 d-5$             | 850<br>580<br>550                    | 160                         | IT-MT 11,5<br>MT-JT 12,5<br>IT-JT 20 | 0,4       |

## 2.2.5. PARTICULARITĂȚI CONSTRUCTIVE ALE TRANSFORMATOARELOR TRIFAZATE FOLOSITE ÎN REȚELELE ELECTRICE

Pentru transformatoarele utilizate în rețelele electrice de curent alternativ se utilizează mai multe variante constructive.

*Transformatoarele trifazate formate din grupuri monofazate* ale căror înfășurări sînt conectate în stea sau în triunghi, au fiecare fază cu circuit magnetic separat. În aceste condiții, cele trei circuite sînt identice, asigurîndu-se o simetrie perfectă din punct de vedere magnetic.

*Transformatoarele trifazate* se construiesc obișnuit cu miez magnetic compact, format din mai multe coloane. O construcție simplă și economică este cea cu trei coloane dispuse în același plan, indicată în figura 2.24, a. Acest tip constructiv are mare răspîndire în practică, mai ales pentru puteri nominale mici și mijlocii. El prezintă însă dezavantajul că conduce la o nesimetrie magnetică, care poate avea uneori consecințe negative în exploatarea transformatorului.

Nesimetria magnetică se poate pune în evidență cu ajutorul schemei electrice echivalente a circuitului magnetic, prezentată în figura 2.24, b, în care s-a notat prin  $R_c$  reluctanța coloanelor, cu  $R_j$  reluctanța unui jug, considerat în întregime de la coloana A la coloana C și cu  $F$ , tensiunile magnetomotoare de magnetizare a celor trei faze.

Dacă pe partea primară se aplică un sistem trifazat de tensiuni, simetric și echili-

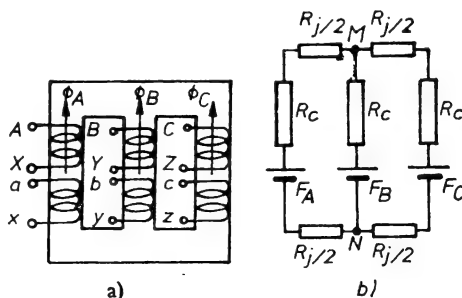


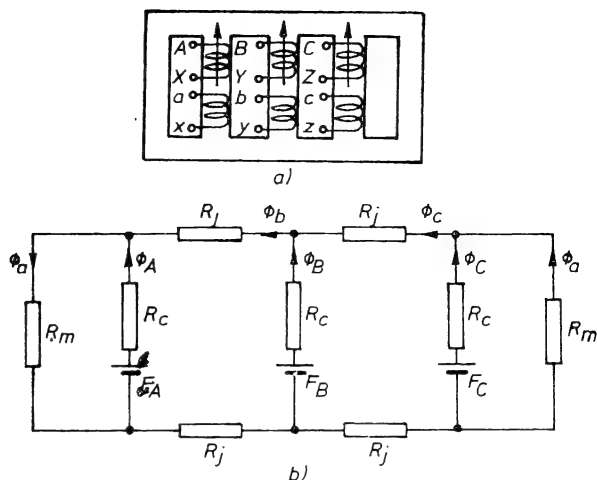
Fig. 2.24. Miezul compact trifazat cu trei coloane situate în același plan:

a — circuitul magnetic; b — schema electrică echivalentă a circuitului magnetic.



Fig. 2.25. Miezul compact trifazat cu cinci coloane situate în același plan:

*a* — circuitul magnetic; *b* — schema electrică echivalentă a circuitului magnetic.



brat, atunci sistemul de fluxuri în coloanele magnetice este de asemenea simetric și echilibrat, adică:

$$\Phi_A + \Phi_B + \Phi_C = 0. \quad (2.96)$$

Tensiunile magnetomotoare se pot scrie, făcînd abstracție de neliniaritatea circuitului magnetic și considerînd că punctele *M* și *N* din schema electrică echivalentă au același potențial, sub forma:

$$\underline{F}_A = (R_c + R_j)\Phi_A; \quad \underline{F}_B = R_c\Phi_B \text{ și } \underline{F}_C = (R_c + R_j)\Phi_C, \quad (2.97)$$

care arată că ele nu sînt egale și nu formează un sistem trifazat simetric și echilibrat.

Pentru micșorarea nesimetriei magnetice la aceste transformatoare, cunoscute și sub denumirea de *transformatoare cu flux forțat*, se micșorează reluctanța jugului în raport cu cea a coloanei, mărind secțiunea transversală a acestuia cu  $10 \div 15\%$  față de cea a coloanei. \* Acest lucru conduce însă la o înălțare a miezului magnetic și a transformatorului în general, precum și la o creștere a costului.

Un alt tip constructiv de transformator trifazat cu miez compact utilizat în rețelele electrice este *cel cu cinci coloane* situate în același plan, prezentat în figura 2.25, *a* la care fluxul magnetic se închide prin juguri și prin coloanele extreme, pe care nu sînt dispuse înfășurările. Aceste transformatoare cunoscute și sub denumirea de *transformatoare cu flux liber*, prezintă avantajul că fluxurile jugurilor sînt aproximativ egale, avînd valoarea cu  $\sqrt{3}$  mai mică decît a celor din coloane, ceea ce permite o economie de material și o reducere a înălțimii miezului magnetic în comparație cu cazul transformatorului cu trei coloane cu flux forțat.

\* În realitate, ținînd seama că, de obicei, secțiunea coloanei este aleasă astfel încît aceasta funcționează cu oarecare saturație magnetică, creșterea cu  $10 \div 15\%$  a secțiunii transversale a jugului, conduce la o micșorare cu  $20 \div 25\%$  a reluctanței acestuia, în raport cu cea corespunzătoare cazului cînd secțiunea jugului ar fi egală cu cea a coloanei.

Totuși, nesimetria magnetică nu este evitată nici în acest caz, fapt care se poate constata cu ajutorul schemei electrice echivalente circuitului magnetic, prezentată în figura 2.25, *b*. Ținând seama de condiția (2.96) de simetrie a fluxurilor magnetice ale coloanelor principale și de notațiile din figură se pot scrie următoarele sisteme de ecuații:

$$\underline{\Phi}_A = \underline{\Phi}_a - \underline{\Phi}_b; \quad \underline{\Phi}_B = \underline{\Phi}_b - \underline{\Phi}_c; \quad \underline{\Phi}_C = \underline{\Phi}_c - \underline{\Phi}_a \quad (2.98)$$

și

$$\begin{aligned} \underline{F}_A &= R_c \underline{\Phi}_A + R_m \underline{\Phi}_a; \quad \underline{F}_B - \underline{F}_A = 2 R_j \underline{\Phi}_b + R_c (\underline{\Phi}_B - \underline{\Phi}_A); \\ \underline{F}_C - \underline{F}_B &= 2 R_j \underline{\Phi}_c + R_c (\underline{\Phi}_C - \underline{\Phi}_B); \quad \underline{F}_C = R_c \underline{\Phi}_c - R_m \underline{\Phi}_a \end{aligned} \quad (2.99)$$

Rezolvând aceste sisteme de ecuații în raport cu  $\underline{F}_A$ ,  $\underline{F}_B$  și  $\underline{F}_C$  și cu  $\underline{\Phi}_a$ ,  $\underline{\Phi}_b$  și  $\underline{\Phi}_c$  se determină că:

$$\begin{aligned} \underline{F}_A &= \left( R_c + \frac{2 R_j R_m}{2 R_j + R_m} \right) \underline{\Phi}_A + \frac{2 R_j R_m}{2 R_j + R_m} \cdot \frac{\underline{\Phi}_B}{2}; \\ \underline{F}_B &= (R_c + R_j) \underline{\Phi}_B; \\ \underline{F}_C &= \left( R_c + \frac{2 R_j R_m}{2 R_j + R_m} \right) \underline{\Phi}_C - \frac{2 R_j R_m}{2 R_j + R_m} \cdot \frac{\underline{\Phi}_B}{2} \end{aligned} \quad (2.100)$$

și

$$\begin{aligned} \underline{\Phi}_a &= \frac{4 R_j}{R_m + 4 R_j} \cdot \frac{\underline{\Phi}_A - \underline{\Phi}_C}{2}; \\ \underline{\Phi}_b &= \frac{\underline{\Phi}_B}{2} - \frac{R_j}{R_m + 4 R_j} \cdot \frac{\underline{\Phi}_A - \underline{\Phi}_C}{2}; \\ \underline{\Phi}_c &= \frac{\underline{\Phi}_B}{2} - \frac{R_m}{R_m + 4 R_j} \cdot \frac{\underline{\Phi}_A - \underline{\Phi}_C}{2}. \end{aligned} \quad (2.101)$$

În general, se poate considera că  $R_m \approx 4 R_j$ . În aceste condiții, tensiunile magnetomotoare ale circuitului magnetic și fluxurile magnetice din jugurile transformatorului, se pot pune sub forma:

$$\begin{aligned} \underline{F}_A &\approx R_c \underline{\Phi}_A + \frac{R_m}{3} \left( \underline{\Phi}_A + \frac{\underline{\Phi}_B}{2} \right); \quad \underline{F}_B \approx R_c \underline{\Phi}_B + \frac{R_m}{4} \underline{\Phi}_B; \\ \underline{F}_C &\approx R_c \underline{\Phi}_C + \frac{R_m}{3} \left( \underline{\Phi}_C - \frac{\underline{\Phi}_B}{2} \right) \end{aligned} \quad (2.102)$$

și

$$\underline{\Phi}_a = \frac{\Delta \Phi_{AC}}{4}; \quad \underline{\Phi}_b = \frac{\underline{\Phi}_B}{2} - \frac{\Delta \Phi_{AC}}{4}; \quad \underline{\Phi}_c = -\frac{\underline{\Phi}_B}{2} - \frac{\Delta \Phi_{AC}}{4}. \quad (2.103)$$

Din aceste ultime relații se constată nesimetria magnetică a transformatorului (deoarece  $\underline{F}_A \neq \underline{F}_B \neq \underline{F}_C$ ) și a fluxurilor magnetice din juguri. Dacă în diagrama fluxurilor magnetice a transformatorului cu cinci coloane, pre-

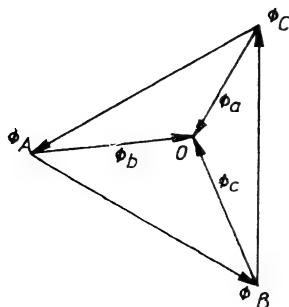


Fig. 2.26. Diagrama fluxurilor magnetice ale transformatorului cu cinci coloane.

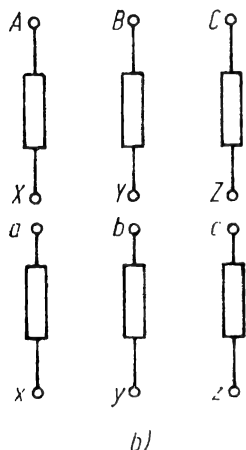
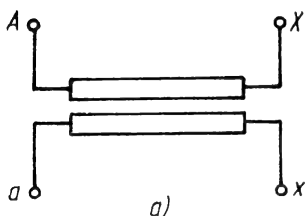


Fig. 2.27. Notarea bornelor transformatoarelor:

a — monofazat; b — trifazat.

zentată în figura 2.26 se consideră cu aproximație că nodul  $O$  se află în centrul de greutate al triunghiului echilateral al fluxurilor coloanelor, atunci  $\Phi_a = \Phi_b = \Phi_c = \Phi_A/\sqrt{3}$ , adică secțiunea jugurilor și a coloanelor extreme se poate lua de  $\sqrt{3}$  ori mai mică decât a coloanelor principale.

## 2.2.6. ELEMENTE TEHNICE ȘI DE EXPLOATARE A TRANSFORMATOARELOR ELECTRICE

Alegerea și exploatarea în bune condiții a transformatoarelor electrice necesită cunoașterea anumitor elemente practice, care se referă la modul de notare a bornelor înfășurărilor, la conexiunile înfășurărilor, la grupele de conexiuni, precum și la modul de exploatare și domeniul de utilizare a transformatoarelor în rețelele electrice.

### a. Notarea bornelor și conexiunile înfășurărilor transformatoarelor trifazate.

Conform STAS, bornele transformatoarelor monofazate și a celor trifazate se notează ca în figura 2.27. Începuturile și sfârșiturile înfășurărilor de înaltă tensiune se notează cu literele  $A, B$  și  $C$  și respectiv  $X, Y, Z$ . Marcarea bornelor înfășurărilor de joasă tensiune se face cu litere mici și anume cu  $a, b, c$  pentru începuturi și cu  $x, y, z$  pentru sfârșituri. În cazul transformatoarelor cu trei înfășurări, începuturile înfășurărilor de medie tensiune se notează cu literele  $A_m, B_m, C_m$ , iar sfârșiturile cu  $X_m, Y_m, Z_m$ . Literele  $N, N_m$  și  $n$  marchează borna de nul la care se poate lega neutrul înfășurărilor de înaltă, medie și joasă tensiune. Aceste notații sînt făcute pe capacul cuvei transformatoarelor unde sînt scoase bornele înfășurărilor a căror dispunere este arătată în figura 2.28. Regula de dispunere a bornelor este următoarea: privind transformatorul dinspre partea de înaltă tensiune, bornele se succed de la stînga la dreapta în ordinea  $A - X, A_m - X_m$  și  $a - x$ , pentru transformatoarele monofazate și

în ordinea  $N - A - B - C, N_m - A_m - B_m - C_m, n - a - b - c$ , pentru transformatoarele trifazate. Cunoașterea acestor notații are mare importanță pentru conectarea corectă a mai multor transformatoare în paralel.

*Conexiunile transformatoarelor trifazate* indică modul în care trebuie sau sînt conectate fazele înfășurărilor. Ele pot fi stea, triunghi și zigzag, pentru care se acceptă convențional simbolurile  $Y, D$  și  $z$ . Conexiunea înfășurării

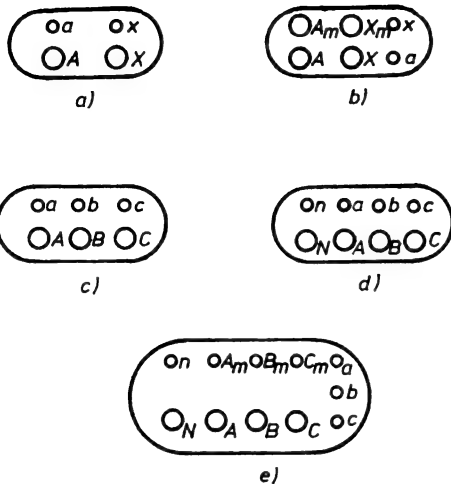


Fig. 2.28. Dispunerea bornelor pe capacul cuvei transformatoarelor.

de înaltă tensiune se notează cu literă mare, iar cea a înfășurării de joasă tensiune cu literă mică. În cazul transformatorului cu trei tensiuni, conexiunea înfășurării de medie tensiune se notează de asemenea cu literă mică.

Dacă o înfășurare are punctul neutru scos (accesibil) la borna de nul, la simbolul de conexiuni se adaugă litera  $O$  pentru înaltă tensiune și  $o$  pentru joasă tensiune. Astfel simbolul  $Y_0d$  trebuie citit astfel: înfășurarea de înaltă tensiune este conectată în stea, avînd punctul neutru accesibil, iar înfășurarea de joasă tensiune este conectată în triunghi.

Conexiunea în stea este arătată în figura 2.29, *a*, cea în triunghi în figura 2.29, *b* și cea zigzag, în figura 2.29, *c*. Primele două conexiuni sînt cunoscute din electrotehnică. Cea de-a treia conexiune constituie un mod special de legare a înfășurărilor, întîlnită numai la transformatoare, în care fiecare înfășurare de fază este divizată în două jumătăți, așezate pe coloane diferite și legate în serie în sens invers; ansamblul celor trei înfășurări se grupează apoi în stea. Conform diagramei fazoriale prezentată în figura 2.30, tensiunea pe fază în cazul divizării înfășurărilor este dată de relația:

$$U_{oz} = \frac{2U_{or}}{2} \cos 30^\circ = \frac{\sqrt{3}}{2} U_{or}, \quad (2.104)$$

adică reprezintă numai  $\frac{\sqrt{3}}{2}$  din tensiunea pe fază a conexiunii stea.

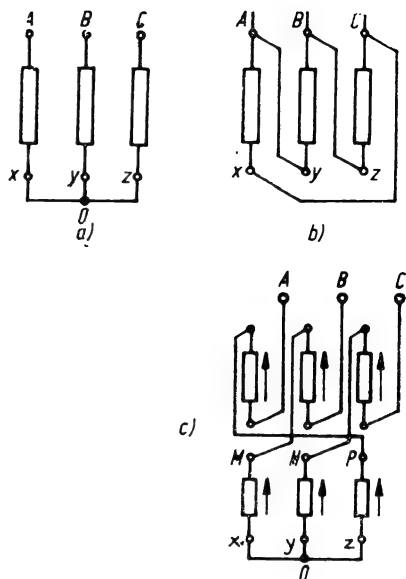


Fig. 2.29. Conexiunile înfășurărilor transformatorului trifazat:

*a* — stea; *b* — triunghi; *c* — zigzag.

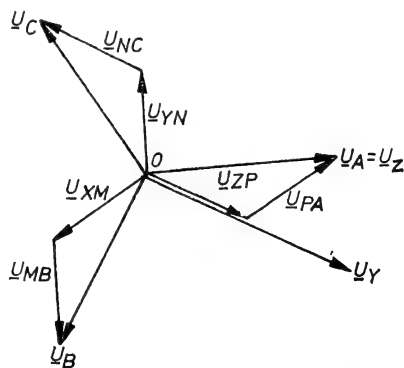


Fig. 2.30. Diagrama fazorială a conexiunii zigzag prezentată în figura 2.28, *c*.

Conexiunea zigzag se întrebuițează numai în secundarul transformatoarelor coboritoare de tensiune, în care fazele înfășurării primare de tensiune înaltă sînt conectate, de obicei, în stea, realizîndu-se deci transformatoare  $Yz$  în locul celor  $Dy$ , cu care, dealtfel pot funcționa în paralel. O astfel de înlocuire prezintă avantajul că înfășurarea primară de înaltă tensiune are o tensiune cu  $\sqrt{3}$  ori mai mică și necesită o izolație mai ușoară, realizînd în același timp o oarecare economie în dimensiunile fierului și în costul izolației. Acest avantaj este însă, în parte, anihilat de cantitatea de cupru întrebuițată pentru realizarea înfășurării care este de  $\frac{2}{\sqrt{3}} = 1,15$  ori mai mare

decît în cazul legăturii stea. Din această cauză, astfel de transformatoare sînt întrebuițate numai ca transformatoare coboritoare pentru puteri mici (pînă la 100 kVA), în distribuția energiei electrice cu fir neutru și sarcini dezechilibrate (mai ales pentru iluminat).

### b. Grupele de conexiuni ale transformatoarelor trifazate

Grupele de conexiuni ale transformatoarelor trifazate indică, pe lîngă modul de conectare a fazelor a două înfășurări și defazajul dintre tensiunile primară și secundară ale bornelor omoloage. Acest defazaj este reprezentat printr-un indice numeric, care arată cu ce multiplu de  $30^\circ$  este defazat în urmă fazorul de tensiune joasă ( rotație antiorară a fazelor), față de fazorul de tensiune înaltă al bornei de același nume (omoloage).

Ținînd seama că legăturile înfășurărilor trifazate se pot face în triunghi, în stea sau în zigzag, rezultă că combinațiile care se pot realiza cu aceste conexiuni sînt în număr de șase, așa cum se indică în figura 2.31.

Dacă însă se schimbă între ele, două cîte două, capetele fiecărei faze, fie în primar, fie în secundar, ceea ce echivalează cu a spune că bobinajul în secundar este invers față de cel din primar, atunci se inversează prin aceasta sensul fazelor într-una din înfășurări și se obține deci o altă grupă de legături, care se zice că este *răsturnata celeilalte*. În consecință se pot forma 12 combinații, aranjate în patru grupe principale cu cîte trei clase fiecare, așa cum se arată în tabela dată în figura 2.32. În primele trei coloane sînt indicate diferitele moduri de notație a grupelor de conexiuni, în prima coloană fiind înscrisă notația din STAS.

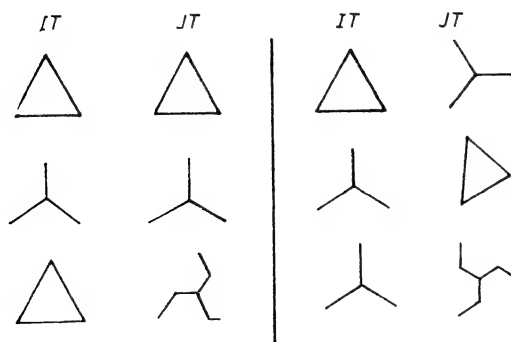


Fig. 2.31. Grupele de conexiuni ale transformatorului trifazat.

| C L A S A |                        |                | Tens. înaltă | Tens. joasă | Tens. înaltă | Tens. joasă |
|-----------|------------------------|----------------|--------------|-------------|--------------|-------------|
| GRUPA A   |                        |                |              |             |              |             |
| Dd - 12   | $\Delta / \Delta - 12$ | A <sub>1</sub> |              |             |              |             |
| Yy - 12   | $Y / Y - 12$           | A <sub>2</sub> |              |             |              |             |
| Dz - 12   | $\Delta / z - 12$      | A <sub>3</sub> |              |             |              |             |
| GRUPA B   |                        |                |              |             |              |             |
| Dd - 6    | $\Delta / \Delta - 6$  | B <sub>1</sub> |              |             |              |             |
| Yy - 6    | $Y / Y - 6$            | B <sub>2</sub> |              |             |              |             |
| Dz - 6    | $\Delta / z - 6$       | B <sub>3</sub> |              |             |              |             |
| GRUPA C   |                        |                |              |             |              |             |
| Dy - 5    | $\Delta / Y - 5$       | C <sub>1</sub> |              |             |              |             |
| Yd - 5    | $Y / \Delta - 5$       | C <sub>2</sub> |              |             |              |             |
| Yz - 5    | $Y / z - 5$            | C <sub>3</sub> |              |             |              |             |
| GRUPA D   |                        |                |              |             |              |             |
| Dy - 11   | $\Delta / Y - 11$      | D <sub>1</sub> |              |             |              |             |
| Yd - 11   | $Y / \Delta - 11$      | D <sub>2</sub> |              |             |              |             |
| Yz - 11   | $Y / z - 11$           | D <sub>3</sub> |              |             |              |             |

Fig. 2.32. Grupele, clasele și schemele diferitelor conexiuni.

În construcția diagramelor fazoriale din figura 2.32, tensiunile compuse sînt reprezentate în toate cazurile prin triunghiurile echilaterale  $ABC$ , în care vîrfurile  $A, B, C$  se succed în sensul pozitiv, orar, vîrfurile  $A$  fiind situate în colțul stîng de jos. În acest mod, poziția bornelor  $a, b, c$  ale secundarului rezultă imediat. Dacă înfășurarea este conectată în triunghi, atunci laturile triunghiului  $ABC$ , care reprezintă tensiunile compuse, reprezintă în același timp și tensiunile de fază ale înfășurării. Dacă înfășurarea este în stea, între tensiunile de fază sau cele compuse există un defazaj de  $30^\circ$ . Unghiul de  $30^\circ$  este luat ca unitate și în conformitate cu aceasta s-a elaborat metoda de notare numerică a grupelor de conexiuni ale înfășurărilor transformatoarelor.

Indicarea pe plăcuța transformatorului a grupelei de conexiuni căreia îi aparține transformatorul este foarte importantă, deoarece, prin aceasta, este determinat unghiul de defazaj dintre tensiunile compuse omoloage, adică dintre tensiunile la bornele de înaltă și joasă tensiune. Acest unghi este determinat de sensul de bobinare a înfășurărilor, de felul de notare a bornelor înfășurărilor și de felul de conectare a înfășurărilor transformatoarelor trifazate.

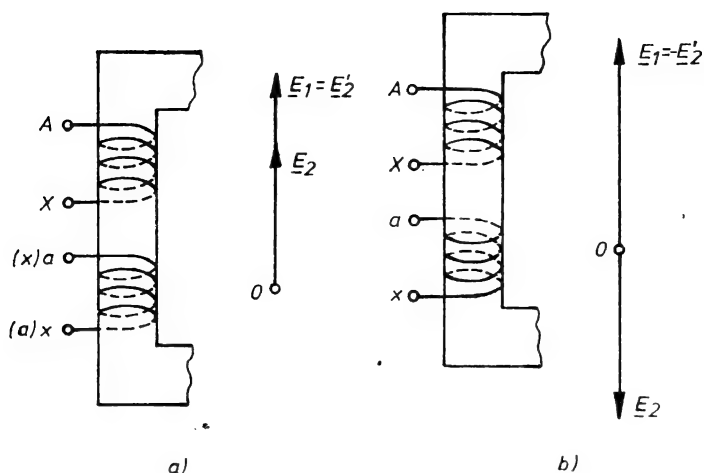


Fig. 2.33. Defazajul tensiunilor electromotoare induse în raport cu sensul de bobinare și modul de notare a bornelor:

*a* — același sens de bobinare; *b* — sensuri de bobinare inversă.

Dacă se consideră, de exemplu, transformatorul monofazat, se constată că la notarea bornelor ca în figura 2.33, *a*, ambele înfășurări sînt bobinate în același sens, bornele de sus fiind începuturile, notate cu literele *A* și *a*, iar bornele de jos sfîrșiturile, notate cu *X* și *x*. Tensiunile electromotoare induse au în orice moment același sens la bornele înfășurărilor, acestea fiind dispuse pe aceeași coloană și străbătute de același flux magnetic. Dacă însă înfășurările primară și secundară se bobinează în sensuri diferite ca în figura 2.33, *b*, însă notarea bornelor rămîne aceeași din figura 2.33, *a*, atunci tensiunile electromotoare  $\underline{E}_1$  și  $\underline{E}_2$ , față de bornele înfășurărilor sînt în opoziție de fază.

Același rezultat se obține dacă se păstrează același sens de bobinare din figura 2.33, *a*, însă notarea bornelor înfășurării secundare corespunde literelor din paranteze.

Considerînd fazorul tensiunii electromotoare primare  $\underline{E}_1$  dat, se poate spune că tensiunea electromotoare secundară  $\underline{E}_2$  (raportată la primar) a transformatorului monofazat coincide cu  $\underline{E}_1$  ca fază, adică  $\alpha = 0^\circ$ , sau se află în opoziție de fază cu aceasta, adică  $\alpha = 180^\circ$ . În loc de a exprima unghiul de defazaj dintre tensiunea la borna primară și secundară, în grade, se ia ca unitate de defazaj unghiul de  $30^\circ$ , pe care îl fac între ele cifrele celor 12 ore de pe cadranul unui ceasornic. În aceste condiții, grupa de conexiuni a transformatorului se va determina, în primul caz prin cifra 12\*, fiindcă  $12 \times 30^\circ = 360^\circ$ , iar în al doilea caz prin cifra 6, fiindcă  $6 \times 30^\circ = 180^\circ$ . Aceeași metodă se poate aplica la transformatoarele trifazate. Pentru conexiunea *Yy*, de exemplu, prezentată împreună cu diagrama fazorială a tensiunilor în figura 2.34, se constată că tensiunile secundare corespunzătoare înfășurărilor *ax*, *by* și *cz* sînt în fază cu tensiunile primare ale înfășurărilor *AX*, *BY* și *CZ*. Acest lucru este determinat de faptul că înfășurările, primară și secundară, situate pe aceeași coloană, funcționează la fel ca la un transformator monofazat. În consecință, pentru același sens de bobinare, tensiunile secundare  $\underline{U}_{ax}$ ,  $\underline{U}_{by}$  și  $\underline{U}_{cz}$  sînt în fază cu tensiunile primare  $\underline{U}_{AX}$ ,  $\underline{U}_{BY}$

\* Uneori, în locul cifrei 12 se notează grupa de conexiuni cu zero. Este mai indicată prima notație, deoarece cifra zero nu există pe cadranul ceasornicului.

și  $U_{CZ}$ . Într-adevăr, urmărind pe figură defazajul dintre două tensiuni între fazele omoloage  $\underline{U}_{AB}$  și  $\underline{U}_{ab}$ , se constată că acesta este nul. În aceste condiții, transformatorul  $Yy$  aparține grupei 12 și va fi notat cu simbolul  $Yy-12$ . În același mod se arată că conexiunile  $Dd$  și  $Dz$  nu introduc defazaaje între tensiunile omoloage de linie, și ca urmare, aparțin grupei 12, fiind notate prin simbolurile  $Dd-12$  și  $Dz-12$ .

Aceste trei clase caracterizate prin defazajul 12 constituie grupa cu defazajul 12, numită și grupa  $A$ , așa cum se arată în tabela din figura 2.32.

Dacă în grupa  $Yy-12$  se schimbă între ele două câte două capetele fiecărei faze în înfășurarea de înaltă sau în cea de joasă tensiune, sau dacă se schimbă într-una din cele două înfășurări sensul de bobinare, se obține grupa cu defazajul 6, prezentată în figura 2.35. Din diagrama fazorială se observă că defazajul dintre tensiunile  $\underline{U}_{ab}$  și  $\underline{U}_{AB}$  ale fazelor omoloage este de  $180^\circ$ , adică transformatorul aparține grupe  $Yy-6$ . Același defazaj se constată și pentru transformatoarele  $Dd-6$  și  $Dz-6$  din figura 2.32. Ele formează grupa 6, numită uneori și grupa  $B$ , care este răsturnata grupe 12 sau a grupe  $A$ .

Pentru transformatorul trifazat cu conexiunea  $Yd$  prezentat în figura 2.36 se constată că grupa de conexiuni este 11, defazajul dintre două tensiuni între faze omoloage, de exemplu  $\underline{U}_{AB}$  și  $\underline{U}_{ab}$ , fiind de  $330^\circ$ , în sensul acelor de ceasornic.

Într-adevăr, înfășurările primară și secundară de pe fiecare coloană funcționează ca la un transformator monofazat. În con-

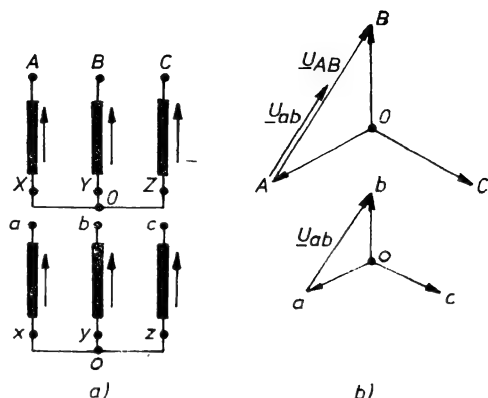


Fig. 2.34. Stabilirea grupe de conexiuni a transformatorului trifazat  $Yy-12$ .

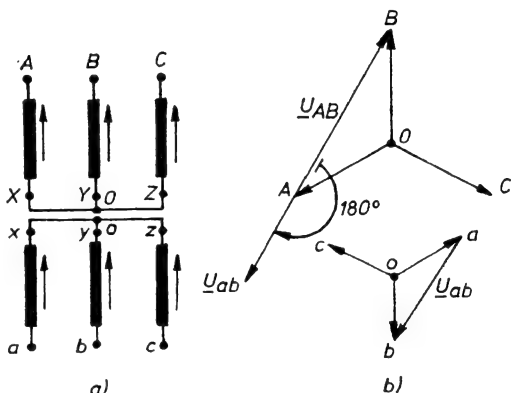


Fig. 2.35. Stabilirea grupe de conexiuni a transformatorului trifazat  $Yy-6$  (răsturnata grupe  $Yy-12$ ).

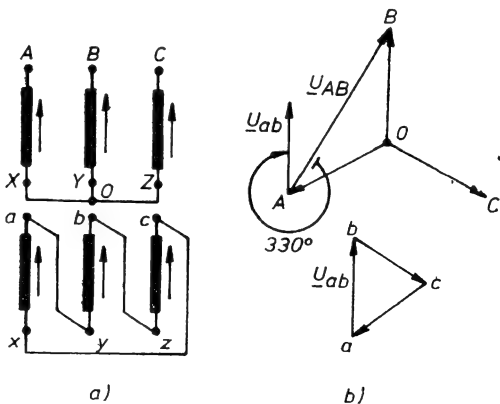


Fig. 2.36. Stabilirea grupe de conexiuni a transformatorului trifazat  $Yd-11$ .



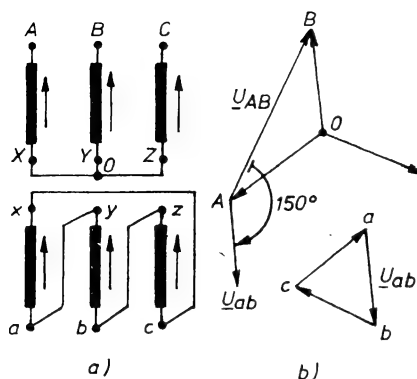


Fig. 2.37 Stabilirea grupei de conexiuni a transformatorului Yd-5.

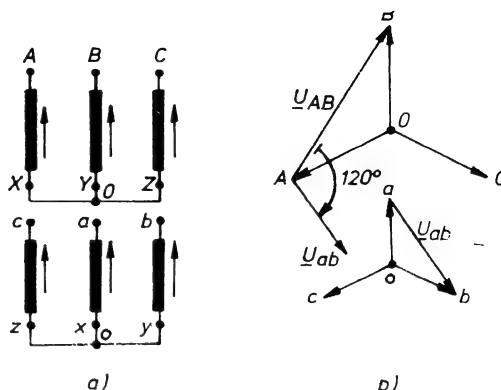


Fig. 2.38. Stabilirea grupei de conexiuni a transformatorului Yy-4.

secință pentru același sens de bobinare, tensiunea  $\underline{U}_{ax}$  este în fază cu  $\underline{U}_{AX}$ . Însă  $\underline{U}_{ax} = \underline{U}_{ac}$  și, ca urmare,  $\underline{U}_{ac}$  este în fază cu  $\underline{U}_{AX}$ . Analog, se poate stabili că  $\underline{U}_{ba}$  este în fază cu  $\underline{U}_{BY}$  și  $\underline{U}_{cb}$  cu  $\underline{U}_{CZ}$ . Efectuând translația triunghiului de fazoni  $abc$ , astfel încât vârful  $a$  să coincidă cu punctul  $A$ , se constată că transformatorul este Yd-11. În mod analog se demonstrează defazajul de  $330^\circ$  pentru clasele Dy-11 și Yz-11 din tabela dată în figura 2.32. Aceste trei clase, caracterizate prin defazajul 11 constituie grupa 11, numită uneori și grupa D.

În cazul când în grupa Yy-11 se inversează între ele două câte două borne ale fiecărei faze în înfășurarea de înaltă sau în cea de joasă tensiune, sau se schimbă într-una din cele două înfășurări sensul de bobinare, se obține grupa răsturnată Yd-5, dată în figura 2.37 și în mod analog Yy-5 și Yz-5 din figura 2.32. Ele constituie grupa 5 sau grupa C și reprezintă răsturnata grupei 11 sau a grupei D.

Grupele de conexiuni A(12); B(6); C(5) și D(11) se consideră ca grupe principale, fiind stabilite în ipoteza că în grupele directe A și D există aceeași succesiune a bornelor A, B, C și a, b, c începând cu A de la stînga.

Dacă însă se rotesc bornele a, b, c cu  $120^\circ$  față de bornele A, B, C ca în figura 2.38, atunci se obține din grupa Yy-12, grupa Yy-4 și, respectiv Dd-4 și Dz-4, care constituie tot o grupă A, cu trei clase, dar cu defazaj 4.

Aceste transformatoare a căror grupă de conexiune a fost obținută prin permutarea circulară a notațiilor bornelor unei înfășurări, pot funcționa în paralel între ele prin legarea bornelor omoloage, dar nu mai pot merge în paralel prin legarea aceluiași borne omoloage cu transformatoare din grupa A cu defazajul 12.

De asemenea, rotind bornele a, b, c cu  $240^\circ$  față de A, B, C se obține grupa de conexiune Yy-8 dată în figura 2.39 și respectiv Dd-8 și Dz-8, care constituie tot o grupă A, însă cu defazaj 8. În mod analog se poate proceda și cu celelalte trei grupe B, C, D, obținîndu-se în final din cele 4 grupe principale de conexiuni cu defazajele 12, 6, 11 și 5 aceste două perechi de câte 4 grupe (în total 12 grupe) cu defazajele rotite cu  $120^\circ$  și respectiv  $240^\circ$ .

### c. Condiții de funcționare în paralel și exploatarea corectă a transformatoarelor

Funcționarea în paralel a transformatoarelor impune îndeplinirea următoarelor condiții:

- grupe de conexiuni cu același indice numeric;

- rapoarte de transformare, pe cât posibil egale, cu abateri de  $\pm (0,5 \div 1) \%$ , ceea ce impune ca tensiunile primare, secundare și eventual terțiare să fie egale;

- tensiuni de scurtcircuit diferite cu maximum  $\pm 10\%$  față de valoarea medie, la toate unitățile ce trebuie să funcționeze în paralel;

- raportul puterilor nominale să fie sub 3:1.

Dacă funcționarea în paralel nu se realizează pe bare colectoare ci numai prin impedențe de interconectare într-o rețea, atunci se admit abateri mai mari decât cele indicate mai sus.

Neîndeplinirea primelor două condiții are drept consecință o încărcare inegală, neproportională cu puterile nominale ale transformatoarelor. Acest lucru se datorează unui curent de circulație între transformatoare, care se poate elimina prin comutarea corespunzătoare a prizelor, adică prin modificarea, în limite restrinse, a rapoartelor de transformare.

Exploatarea corectă a transformatoarelor presupune urmărirea îndeplinirii anumitor condiții, dintre care se amintesc cele mai importante: *încărcarea lui în regim optim de funcționare, respectarea capacității de supraîncărcare*, în mod temporar sau permanent și *verificarea nivelului de zgomot*.

Prima condiție va fi expusă în cadrul capitolului 6 de pierderi de energie electrică.

*Capacitatea de supraîncărcare* a unui transformator se definește în funcție de sarcina lui inițială, fiind indicată în standarde și normative; ea depinde de temperaturile agenților de răcire și de valorile maxime admisibile ale temperaturilor înfășurărilor, care sînt condiționate de clasa materialului de izolație.

În tabela 2.5 se indică, pentru transformatoare în ulei, cu materiale de izolație de clasă A, capacitatea și durata de supraîncărcare. Temperaturile medii ale înfășurărilor nu depășesc  $105^{\circ}\text{C}$ , dacă temperatura medie a agentului de răcire în perioada respectivă este de  $25^{\circ}\text{C}$ . În cazul cînd transformatoarele cu răcire de tip S (răcire forțată cu aer) funcționează fără ventilatoare, suprasolicitățile și sarcinile permanente anterioare trebuie raportate la 60% din puterea nominală.

În tabela 2.6 se dau supraîncărcările transformatoarelor de tip uscat cu materiale izolante de clasă A în raport cu sarcina anterioară, în ipoteza că înfășurărilor sînt în contact direct cu aerul. Condițiile care se aplică agentului de răcire și temperatura medie a înfășurărilor sînt cele indicate în tabela 2.5

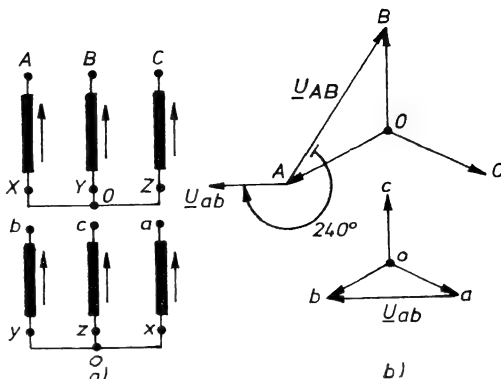


Fig. 2.39. Stabilirea grupe de conexiuni a transformatorului Yy-8.

Tabela 2.5

**Durata și valoarea supraîncărcărilor transformatoarelor în ulei**

| Sarcina de durată anterioară, în % din puterea nominală | Temperatura uleiului la începutul supraîncărcării în °C, pentru sistemul de răcire* |          |           |           |           | Durata supraîncărcării pentru o suprasarcină, în % din puterea nominală |     |     |     |     |
|---|---|----------|-----------|-----------|-----------|---|-----|-----|-----|-----|
|   | <i>L</i>  | <i>S</i> | <i>FL</i> | <i>FS</i> | <i>FA</i> | 10%   | 20% | 30% | 40% | 50% |
|   |   |          |           |           |           | h   | h   | min | min | min |
| 50  | 55  |          | 49        |           |           | 3   | 1,5 | 60  | 30  | 15  |
| 75  | 68  |          | 60        |           |           | 2   | 1,0 | 30  | 15  | 8   |
| 90  | 78  |          | 68        |           |           | 1   | 0,5 | 15  | 8   | 4   |

\* *L* — răcire naturală în aer; *S* — răcire forțată în aer; *FL* — răcire naturală și circulație de ulei; *FS* — răcire forțată în aer și circulație de ulei; *FA* — răcire cu apă și circulație de ulei.

Tabela 2.6

**Durata de supraîncărcare a transformatoarelor uscate**

| Sarcina de durată anterioară, în % din puterea nominală | Durata de supraîncărcare pentru o sarcină, în % din puterea nominală |     |     |     |     |
|---|--|-----|-----|-----|-----|
|   | 10%  | 20% | 30% | 40% | 50% |
|   | min  | min | min | min | min |
| 50  | 60   | 30  | 20  | 15  | 12  |
| 75  | 55   | 23  | 15  | 11  | 9   |
| 90  | 45   | 16  | 10  | 7   | 5   |

În cazul când temperatura aerului diferă de valorile standardizate, folosite ca bază pentru dimensionarea înfășurărilor, transformatoarele în ulei cu răcire cu aer, pot fi supuse la încărcările permanente indicate în tabela 2.7.

Tabela 2.7

**Sarcini permanente admisibile pentru transformatoare în ulei cu răcire cu aer, la temperaturile diferite de valorile standard**

| Diferența temperaturilor aerului, față de valorile standardizate              |           | -20°C | -10°C | 0°C | +10°C | +20°C |
|---|-----------|-------|-------|-----|-------|-------|
| Încărcarea permanentă, în % din puterea nominală, în cazul modului de răcire: | <i>L</i>  | 121   | 111   | 100 | 91    | 81    |
|   | <i>S</i>  | 115   | 109   | 100 | 92    | 83    |
|   | <i>FS</i> | 115   | 107   | 100 | 92    | 84    |

*Zgomotul transformatoarelor* este determinat, în principal, de fenomenul de magnetostricțiune a miezului magnetic, care are drept consecință vibrația tolelor. În regim normal de funcționare a transformatorului zgomotul are o intensitate redusă (reprezintă un zbîrniit) și o frecvență de două ori mai mare decât cea a curentului alternativ, deoarece tolele se atrag sau se resping

la trecerea curentului prin valorile maxime — pozitive și negative. Dacă zgomotul caracteristic al transformatorului întrece intensitatea admisibilă, înseamnă că tolele și bobinele sînt prost plasate sau slăbite, transformatorul este supraîncărcat sau fazele sînt dezechilibrate.

Nivelul zgomotelor admisibile variază cu puterea și tipul constructiv al transformatoarelor. Astfel, pentru transformatoare în ulei cu puteri nominale cuprinse în limitele de  $50 \div 1\,600$  kVA, nivelul zgomotelor măsurate la distanța de 1 m, variază între 45 și 56 dB(A) și între 54 și 64 dB(A), pentru transformatoare uscate\*. Pentru transformatoare mai mari, în ulei, cu puteri nominale de  $2 \div 40$  MVA, nivelul zgomotelor variază în limitele de 52 și 70 dB(A).

Se menționează că în domeniul valorilor normale de flux magnetic, nivelele de zgomot se pot reduce tehnologic cu circa 10 dB, prin izolare sau prin dispoziții constructive la locurile de instalare. La creșteri ale fluxului magnetic, nivelul zgomotului se amplifică. De exemplu, pentru o creștere de 10% a fluxului, nivelul zgomotului crește cu  $2 \div 3$  dB.

#### 2.2.7. DOMENIILE DE UTILIZARE ÎN REȚELELE ELECTRICE ALE DIFERITELOR CONEXIUNI ALE TRANSFORMATOARELOR

Conexiunile  $Yy_0-12$ ,  $Dy_0-11$ ,  $Yz_0-11$  și  $Yz_0-5$  se utilizează la transformatoarele coborîtoare de tensiune din rețelele de utilizare, care au caracter mixt de iluminat și forță. Conexiunea  $Yy-12$  poate fi utilizată și la transformatoare urcătoare, în care caz neutrul înfășurării de înaltă tensiune poate fi scos la borna de nul.

Transformatoarele cu înfășurarea secundară în zigzag  $Yz_0-11$  și  $Yz_0-5$  se întrebuintează numai pentru puteri mici, sub 100 kVA. Ele nu mai sînt admise să funcționeze în țara noastră, decît în situații izolate.

Curenții prea mari îngrădesc puterile limită ale transformatoarelor cu conexiunile  $Yy_0-12$ ,  $Dy_0-11$  și  $Dy_0-5$ , așa cum se arată în tabela 2.8. Cînd

Tabela 2.8

Domoniile de utilizare ale diferitelor conexiuni

| Grupa de conexiuni | Tensiunea înfășurărilor   |                         | Puterea nominală a transformatorului, în kVA |
|--------------------|---------------------------|-------------------------|--|
|                    | de tensiune înaltă, în kV | de tensiune joasă, în V |  |
| $Yy_0-12$          | pînă la 35 (inclusiv)     | 220                     | pînă la 360 (inclusiv)                       |
| $Dy_0-5$           | pînă la 35 (inclusiv)     | 380                     | pînă la 1800 (inclusiv)                      |
| $Dy_0-11$          |                           |                         |  |
| $Yd-11$            | pînă la 35 (inclusiv)     | $\geq 500$              | pînă la 1800 (inclusiv)                      |
| $Y_0d-11$          | $\geq 110$                | 3000 (6000)             | $\geq 3200$                                  |

\* Cifrele extreme la nivelul de zgomot la transformatoarele uscate corespund unor puteri nominale cuprinse în limitele de 50 și 630 kVA.

sarcina nu este simetrică curentul din conductorul neutru nu trebuie să depășească 25 % din curentul nominal, dacă transformatorul este utilizat pentru rețele de utilizare mixtă. Pentru conexiunea  $Dy_0-11$  utilizată pentru transformatoarele destinate iluminatului, conductorul neutru se poate încărca 100 %.

Cînd tensiunea înfășurării secundare este mai mare decît 380 V se utilizează conexiunea  $Yd-11$ . Aceste transformatoare ridicătoare sînt destinate pentru centrale și stații electrice.

Conexiunea  $Y_0d-11$  se întrebuițează mai ales la liniile de transport de înaltă tensiune, permițînd punerea la pămînt pe partea tensiunii înalte.

## Capitolul 3

### CALCULUL LINIILOR DE TRANSPORT DE ENERGIE ELECTRICĂ

Liniile de transport de energie fac parte din categoria liniilor electrice lungi, cu ajutorul cărora se transportă la distanțe mari energia electrică, de la un nod al sistemului pînă la un centru sau o zonă de consum. De asemenea, ele pot constitui linii de legătură sau de interconexiune între două sisteme sau între două zone ale aceluiași sistem electric.

În regim normal de funcționare aceste linii trifazate pot fi considerate simetrice, adică fazele sînt egal încărcate și cu aceleași constante fizice, iar tensiunile de alimentare sînt egale în modul și defazate la  $120^\circ$ . În aceste condiții este suficient să se studieze funcționarea unei singure faze, cu ajutorul unei scheme bifilare, în care conductorul de ducere reprezintă una din faze, iar conductorul de întoarcere reprezintă un conductor neutru, situat în centrul geometric al sistemului trifazat de conductoare. Deoarece conductorul neutru este fictiv, fără impedanță, iar suma curenților de întoarcere prin el este nulă, el poate fi înlocuit printr-o linie geometrică.

Tensiunea care intervine în linia bifilară considerată este  $\frac{U}{\sqrt{3}}$  în cazul unei linii trifazate și  $\frac{U}{2}$  în cazul unei linii monofazate,  $U$  fiind tensiunea de linie, care reprezintă în același timp și tensiunea ei nominală.

#### 3.1. ECUAȚIILE DE FUNCȚIONARE ALE LINIILOR ELECTRICE LUNGI

Studierea unei linii electrice lungi, presupusă omogenă, se face ținînd seama că aceasta posedă, simultan, o rezistență, o inductanță, o capacitate și o conductanță uniform repartizate de-a lungul ei. O tratare simplificată, care conduce la rezultate practic satisfăcătoare, constă în considerarea unui regim cvasistaționar pentru porțiuni elementare de linie. La un element de linie bifilară, această aproximație se aplică atribuind fiecărei porțiuni elementare  $dx$ , mărginită de două linii ale tensiunilor la borne, ca în figura 3.1,  $a$ , o rezistență  $dR_x = R_0 dx$ , o inductanță  $dL_x = L_0 dx$ , o capacitate  $dC_x = C_0 dx$  și o conductanță laterală  $dG_x = G_0 dx$ , în care  $R_0$ ,  $L_0$ ,  $C_0$  și  $G_0$  reprezintă constantele lineice ale liniei. În acest fel, fiecărei porțiuni elementare de linie i se poate substitui un circuit echivalent cu constante concentrate ca în

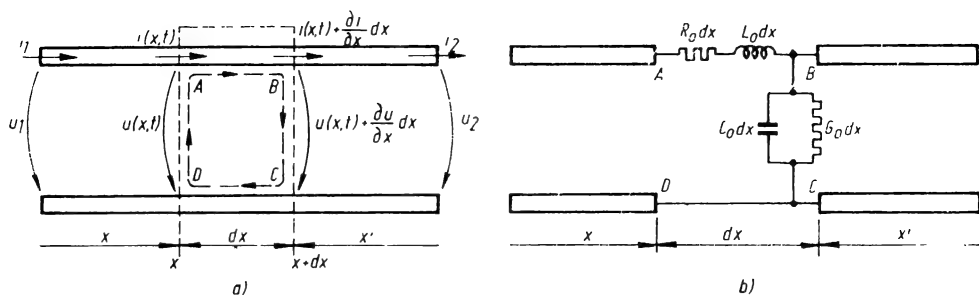


Fig. 3.1. Porțiune de linie elementară de lungime  $dx$  reprezentată printr-un circuit cu constante concentrate.

figura 3.1, *b*, linia putînd fi considerată ca o succesiune de astfel de porțiuni, corespunzătoare unui număr infinit de circuite echivalente elementare conectate în lanț.

Ecuatiile de funcționare a liniilor, cunoscute și sub denumirea de *ecuațiile telegrafiștilor*, se obțin determinînd variația de tensiune și de curent în elementul  $dx$  din figura 3.1, *a*, cu ajutorul legilor fundamentale din electrotehnică.

Trebuie avut în vedere că tensiunea și curentul sînt funcție de două variabile independente și anume de timpul  $t$  și de distanța  $x$  măsurată în raport cu capătul de intrare în linie. Dacă  $u(x, t)$  și  $i(x, t)$  reprezintă valorile instantanee ale celor două mărimi, atunci, în același moment, pentru tensiunea între punctele *B* și *C* și curentul în punctul *B*, se obțin valorile  $\left(u(x, t) + \frac{\partial u}{\partial x} dx\right)$  și  $\left(i(x, t) + \frac{\partial i}{\partial x} dx\right)$ .

Variația  $\frac{\partial u}{\partial x}$  a tensiunii de-a lungul elementului  $dx$  se determină cu ajutorul *legii inducției electromagnetice* aplicată pentru curba închisă reprezentată în figura 3.1, *a*:

$$\oint_{\Gamma} E dr = - \frac{\partial}{\partial t} \int_S B dA. \quad (3.1)$$

Integrala de linie din partea stîngă a ecuației (3.1) reprezintă căderea de tensiune în rezistență și exprimă aplicarea teoremei a doua a lui Kirchhoff, adică:

$$\oint_{\Gamma} E dr = R_0 i dx + u(x, t) + \frac{\partial u}{\partial x} dx - u(x, t) = R_0 i dx + \frac{\partial u}{\partial x} dx. \quad (3.2)$$

Integrala de suprafață din partea dreaptă a ecuației (3.1) reprezintă variația fluxului magnetic prin suprafața *S* mărginită de curba *ABCD*, avînd valoarea:

$$\int_S B dA = \frac{\partial \Phi}{\partial t} = L_0 dx \frac{\partial i}{\partial t}. \quad (3.3)^*$$

\* Această ecuație este aproximativă, deoarece inductanța  $L_0$  este definită pentru un același curent în lungul conductoarelor. La variații sinusoidale ale mărimilor aproximativă este permisă, ținînd seama că pentru distanțe foarte mici între conductoare în raport cu lungimea de undă, câmpul magnetic este determinat doar de intensitatea aproximativ constantă a curentului din lungul porțiunilor adiacente ale conductoarelor ce aparțin curbei *ABCD*.

Ținând seama de ecuațiile (3.1), (3.2) și (3.3) rezultă prima ecuație a liniilor lungi:

$$-\frac{\partial u}{\partial x} = R_0 i + L_0 \frac{\partial i}{\partial t}, \quad (3.4)$$

care arată că tensiunea între conductoarele acestuia variază în lungul lor, pe măsură ce rezistența și inductanța produc căderi de tensiune rezistive și inductive.

Variația intensității curentului de-a lungul liniei se obține cu ajutorul *ecuației de continuitate*, care exprimă *legea de conservare a sarcinii electrice* în raport cu curentul electric de conducție. Conform acestei legi, dacă  $i(x, t)$  reprezintă curentul care intră în conductorul elementar și  $i(x, t) + \frac{\partial i}{\partial x} dx$ , curentul care iese din acesta, atunci diferența dintre aceste două intensități este produsă, pe de-o parte de curentul de pierderi prin conductanța laterală lineică,  $G_0 dx$ , determinată de imperfecțiunea izolației și, pe de altă parte, de acumularea de sarcini electrice în capacitatea lineică,  $C_0 dx$ .

Curentul de pierderi are o intensitate proporțională cu tensiunea,  $G_0 dx u$ , iar viteza de acumulare a sarcinilor pe porțiunea  $dx$  de linie care corespunde curentului capacitiv, este proporțională cu variația în timp a tensiunii,  $C_0 dx \frac{\partial u}{\partial t}$ . Ținând seama de acești curenți, ecuația de continuitate va avea forma:

$$i(x, t) + \frac{\partial i}{\partial x} dx + G_0 dx \cdot u(x, t) + C_0 dx \frac{\partial u}{\partial t} = i(x, t), \quad (3.5)$$

din care rezultă a doua ecuație a liniilor electrice lungi:

$$-\frac{\partial i}{\partial x} = G_0 \cdot u + C_0 \cdot \frac{\partial u}{\partial t}, \quad (3.6)$$

care arată că curentul variază de-a lungul acestuia datorită imperfecțiunii izolației dintre conductoare și acumulării de sarcini electrice pe acestea.

Aceste interpretări fizice sînt evidente pe schema echivalentă din figura 3.1, *b*, care arată valabilitatea ecuațiilor (3.4) și (3.6). Linia lungă poate fi considerată ca o succesiune de astfel de porțiuni, corespunzătoare unui număr infinit de circuite elementare conectate în lanț.

Dacă se consideră distanța măsurată în raport cu capătul de ieșire al liniei și se mențin sensurile de referință ale tensiunilor și curenților, atunci partea stîngă a ecuațiilor (3.4) și (3.6) își schimbă semnul, obținîndu-se:

$$\begin{aligned} \frac{\partial u}{\partial x'} &= R_0 \cdot i + L_0 \cdot \frac{\partial i}{\partial t}; \\ \frac{\partial i}{\partial x'} &= G_0 \cdot u + C_0 \cdot \frac{\partial u}{\partial t}. \end{aligned} \quad (3.7)$$



Cele două sisteme de ecuații cu derivate parțiale de ordinul întâi sînt echivalente cu următorul sistem de ecuații de ordinul al doilea, în care s-au separat necunoscutele:

$$\begin{aligned}\frac{\partial^2 u}{\partial x^2} &= L_0 C_0 \frac{\partial^2 u}{\partial t^2} + (L_0 G_0 + R_0 G_0) \frac{\partial u}{\partial t} + R_0 G_0 u; \\ \frac{\partial^2 i}{\partial x^2} &= L_0 C_0 \frac{\partial^2 i}{\partial t^2} + (L_0 G_0 + R_0 C_0) \frac{\partial i}{\partial t} + R_0 G_0 i.\end{aligned}\quad (3.8)$$

În cazul particular al liniei fără pierderi ( $R_0 = G_0 \approx 0$ ) sistemul (3.8) se simplifică și devine:

$$\frac{\partial^2 u}{\partial x^2} \approx L_0 C_0 \frac{\partial^2 u}{\partial t^2} \text{ și } \frac{\partial^2 i}{\partial x^2} = L_0 C_0 \frac{\partial^2 i}{\partial t^2}, \quad (3.9)$$

care reprezintă ecuații de tip d'Alembert.

Forme simplificate de ecuații a liniilor lungi se pot obține și în alte situații particulare, cum ar fi, de exemplu, în cazul liniilor formate din cabluri subterane, cînd  $L_0$  și  $G_0$  se pot neglija datorită valorilor lor foarte reduse, astfel că se poate scrie:

$$\frac{\partial^2 u}{\partial x^2} \approx R_0 C_0 \frac{\partial u}{\partial t} \text{ și } \frac{\partial^2 i}{\partial x^2} \approx R_0 C_0 \frac{\partial i}{\partial t}. \quad (3.10)$$

*Integrarea ecuațiilor liniilor lungi.*

#### 1. Cazul general

Cele două ecuații cu derivate parțiale de ordinul al doilea din sistemele (3.8), (3.9) sau (3.10) au exact aceeași formă, conținînd fiecare cîte o singură funcție necunoscută. Integrarea lor, în cazul general, presupune cunoașterea condițiilor la limită, adică variația în timp a tensiunilor sau a curenților la intrarea și ieșirea din linie. Soluțiile corespunzătoare au forme mai complicate.

În practică însă, cele mai importante situații corespund unei soluții periodice în spațiu și timp. Din acest motiv se va căuta o soluție complexă de forma:

$$\underline{A} = \underline{A} e^{j\omega t - \gamma x}, \quad (3.11)$$

pentru care se poate scrie imediat că:

$$\frac{\partial \underline{A}}{\partial t} = j\omega \underline{A}; \quad \frac{\partial \underline{A}}{\partial x} = -\underline{\gamma} \underline{A}; \quad \frac{\partial^2 \underline{A}}{\partial t^2} = -\omega^2 \underline{A} \text{ și } \frac{\partial^2 \underline{A}}{\partial x^2} = \underline{\gamma}^2 \underline{A}. \quad (3.12)$$

Introducînd aceste ultime relații, în prima din ecuațiile sistemului (3.8) de exemplu, se obține o ecuație care exprimă valoarea necunoscutei  $\underline{\gamma}$  sub forma:

$$\underline{\gamma} = \pm \sqrt{(R_0 + j\omega L_0)(G_0 + j\omega C_0)} = \pm \sqrt{\underline{Z}_0 \cdot \underline{Y}_0}. \quad (3.13)$$

Această mărime, numită *constantă lineică de propagare* depinde de parametrii lineici ai liniei și de pulsația  $\omega$ , care exprimă periodicitatea ei în timp. Ea reprezintă o mărime complexă de forma generală:

$$\underline{\gamma} = \alpha + j\beta. \quad (3.14)$$

Partea reală se numește *constantă lineică de atenuare* și este legată de variația amplitudinii de tensiune și de curent, iar partea imaginară se numește *constantă lineică de fază* și exprimă variația fazei tensiunii sau curentului pe unitatea de lungime a liniei sau unghiul dintre fazorii de tensiune, respectiv de curent, ai celor două mărimi, în două puncte situate la distanța de 1 km unul de altul.

Ținând seama de relația (3.14) în soluția complexă de forma (3.11) se determină că:

$$A = A_a \cdot e^{-\alpha x} \cdot e^{j\omega \left(t - \frac{\beta}{\omega} x\right)} + A_i e^{\alpha x} \cdot e^{j\omega \left(t + \frac{\beta}{\omega} x\right)}, \quad (3.15)$$

în care  $A_a$  și  $A_i$  sînt două constante de integrare care se determină din condițiile la limită ale problemei.

Într-adevăr, particularizînd soluția (3.15) pentru prima ecuație diferențială din sistemul (3.8) se obține:

$$U(x, t) = U_a \cdot e^{-\alpha x} \cdot e^{j\omega \left(t - \frac{\beta}{\omega} x\right)} + U_i e^{\alpha x} \cdot e^{j\omega \left(t + \frac{\beta}{\omega} x\right)} \quad (3.16)$$

care pune în evidență faptul că tensiunea pe linie reprezintă, în orice moment și în oricare punct, o sumă de două unde mobile care se deplasează cu aceeași viteză,  $v = \frac{\omega}{\beta}$ , în sensuri opuse și a căror amplitudine se atenuază cu coeficientul  $\alpha$ . Acest lucru se poate arăta scriînd că faza tensiunii în momentele  $t_1$  și  $t_2$  și în punctele corespunzătoare  $x_1$  și  $x_2$  este aceeași, adică:

$$\omega \left(t_1 - \frac{\beta}{\omega} x_1\right) = \omega \left(t_2 - \frac{\beta}{\omega} x_2\right),$$

din care rezultă că:

$$\frac{dx}{dt} = v = \frac{\omega}{\beta}, \quad (3.17)$$

ceea ce arată că punctele de fază constantă ale unde corespunzătoare, de exemplu, cele de maximum sau de zero, se deplasează în lungul liniei, în sensul pozitiv al axei  $x$ , cu aceeași viteză  $v = \frac{\omega}{\beta}$ .

Pentru cea de-a doua undă, procedîndu-se în mod asemănător se obține că:

$$\frac{dx'}{dt} = v = -\frac{\omega}{\beta}, \quad (3.18)$$

adică punctele de fază constantă se deplasează în sensul negativ al axei  $x$ , cu aceeași viteză,  $v = -\frac{\omega}{\beta}$ .

Prima undă de tensiune pleacă de la sursă ( $x = 0$ ) cu amplitudinea  $\sqrt{2}U_a$ ; ea este însoțită de o undă de curent, de amplitudine  $\sqrt{2}I_a = \sqrt{2} \frac{|\underline{Y}|}{|\underline{Z}_0|} U_a$ , defazată cu un unghi  $\psi$  în urma undei de tensiune; amplitudinile acestei perechi de unde scad exponențial în lungul liniei, pe măsură ce se depărtează de sursă, astfel că la o distanță oarecare  $x_1$ , ele au valorile:

$$\sqrt{2}U_a e^{-\alpha x_1} \text{ și } \sqrt{2}I_a e^{-\alpha x_1} = \sqrt{2} \frac{|\underline{Y}|}{|\underline{Z}_0|} U_a e^{-\alpha x_1}.$$

Această undă se numește *undă directă*, de tensiune și de curent.

A doua undă de tensiune pleacă de la capătul de ieșire al liniei ( $x' = 0$ ) cu amplitudinea  $\sqrt{2}U_i$ , fiind însoțită de o undă de curent defazată în urmă cu unghiul  $\pi - \psi$  față de unda de tensiune și avînd amplitudinea  $\sqrt{2}I_i = \sqrt{2} \frac{|\underline{Y}|}{|\underline{Z}_0|} U_i$ ; amplitudinile acestei perechi de unde scad exponențial cu lungimea liniei, începînd cu punctul ( $x = L$ ), astfel încît la distanța  $x'_1$  de capătul receptor, ele sînt:

$$\sqrt{2}U_i \cdot e^{\alpha(L-x'_1)} \text{ și } \sqrt{2} \frac{|\underline{Y}|}{|\underline{Z}_0|} U_i e^{\alpha(L-x'_1)} = \sqrt{2}I_i \cdot e^{\alpha(L-x'_1)}.$$

Această undă se numește *undă reflectată* sau *undă inversă*, de tensiune și de curent.

Mărimea  $\frac{\underline{Z}_0}{\underline{Y}} = \underline{Z}_c$  care intervine în unda directă și inversă de curent se numește *impedanță caracteristică* sau *impedanță de undă a liniei*. Argumentul ei notat cu  $\psi$  are valoarea:

$$\psi = \frac{1}{2} \left[ \operatorname{arctg} \frac{L_0 \omega}{R_0} - \operatorname{arctg} \frac{C_0 \omega}{G_0} \right]$$

și determină defazajul dintre fazorii de tensiune și de curent.

Valorile instantanee, corespunzătoare celor două perechi de unde, directe și inverse, sînt exprimate de relațiile generale:

$$\begin{aligned} u_a(x, t) &= \sqrt{2}U_a \cdot e^{-\alpha x} \sin [\omega t + \delta(x) - \beta x]; \\ i_a(x, t) &= \sqrt{2} \frac{U_a}{|\underline{Z}_c|} e^{-\alpha x} \sin [\omega t + \delta(x) - \beta x - \psi], \end{aligned} \quad (3.19)$$

respectiv:

$$\begin{aligned} u_i(x, t) &= \sqrt{2}U_i e^{\alpha(L-x')} \sin [\omega t + \delta(x') + \beta x'] \\ i_i(x, t) &= \sqrt{2} \frac{U_i}{|\underline{Z}_c|} e^{\alpha(L-x')} \sin [\omega t + \delta(x') + \beta x' - \psi]. \end{aligned} \quad (3.20)$$

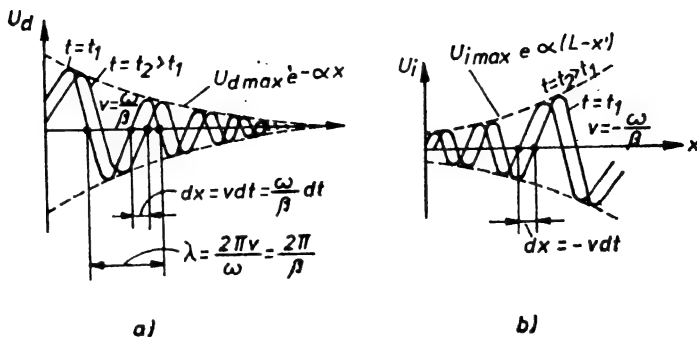


Fig. 3.2. Propagarea undelor de tensiune pe linie:  
a – unda directă; b – unda reflectată.

În figura 3.2 se arată variația acestor valori instantanee ale undelor de tensiune, directă (fig. 3.2, a) și inversă (fig. 3.2, b) care reprezintă unde atenuate. Lungimea de undă  $\lambda$  a unei perioade spațiale, notată pe figură, este dată de condiția:

$$e^{j \frac{\omega x}{v}} = e^{j \frac{\omega(x+\lambda)}{v}},$$

de unde rezultă:

$$\frac{\omega \lambda}{v} = 2\pi \text{ și } \lambda = \frac{2\pi v}{\omega} = \frac{2\pi}{\beta} = \frac{v}{f}, \quad (3.21)$$

care arată că pentru frecvența industrială de 50 Hz și viteza de propagare a undelor electromagnetice pe linie egală aproximativ cu viteza luminii de 300 000 km/s,  $\lambda = 6\,000$  km.

Tensiunea  $U_d$  măsurată între conductoarele liniei, într-un punct dat oarecare al acesteia,  $x_1$ , este reprezentată prin funcția sinusoidală de timp din figura 3.3, notată cu indicele 1. În alt punct de pe linie  $x_2 = x_1 + dx$ , deplasat puțin către dreapta în raport cu primul punct, variația în timp a tensiunii corespunde curbei notată cu indicele 2. Din comparația acestor două curbe se constată că amplitudinea tensiunii este mai mică în cel de al doilea punct, iar faza este și ea modificată. În mod asemănător se poate reprezenta și variația unei reflectate de tensiune, cu observația că, în acest caz, de exemplu, punctul al doilea este considerat spre stînga.

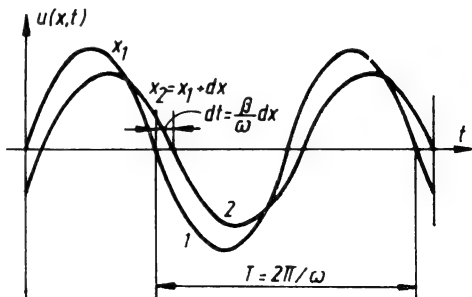


Fig. 3.3. Variația în timp a tensiunii în două puncte învecinate de pe linie.

## 2. Cazul regimului armonic permanent

În regim armonic permanent ecuațiile (3.4), (3.6) sau (3.7) ale liniilor electrice lungi se pun sub forma:

$$-\frac{dU}{dx} = (R_0 + j\omega L_0)I \quad \text{și} \quad -\frac{dI}{dx} = (G_0 + j\omega C_0)U; \quad (3.22)$$

$$\frac{dU}{dx'} = (R_0 + j\omega L_0)I \quad \text{și} \quad \frac{dI}{dx'} = (G_0 + j\omega C_0)U.$$

Evident că în aceste relații  $U$  și  $I$  sînt reprezentările în complex ale tensiunii alternativ sinusoidale  $u(x, t) = \sqrt{2}U \sin [\omega t + \delta(x)]$  și ale curentului corespunzător  $i(x, t) = \sqrt{2}I \sin [\omega t + \delta(x) - \varphi(x)]$ , în care  $\delta(x)$  reprezintă faza inițială a tensiunii și  $\varphi(x)$  — defazajul dintre fazorii de tensiune și de curent.

Derivînd primele două ecuații din (3.22) în raport cu  $x$  și ținînd seama de forma lor inițială, se obține sistemul de ecuații diferențiale de ordinul al doilea, în care s-au separat variabilele:

$$\frac{d^2U}{dx^2} = (R_0 + j\omega L_0)(G_0 + j\omega C_0)U = \gamma^2 U; \quad (3.23)$$

$$\frac{d^2I}{dx^2} = (R_0 + j\omega L_0)(G_0 + j\omega C_0)I = \gamma^2 I.$$

Soluția generală a acestor ecuații permite punerea în evidență a unui aspect fizic și anume că orice linie electrică lungă se poate echivala cu un cuadripol pasiv.

Într-adevăr, în cazul primei ecuații, soluția este:

$$U(x) = A_a \cdot e^{-\gamma x} + A_i \cdot e^{\gamma x} = U_a(x) + U_i(x), \quad (3.24)$$

în care  $\gamma$  corespunde relației (3.13) sau (3.14), iar  $A_a$  și  $A_i$  sînt două constante complexe de integrare care se obțin folosind condițiile la limită ale problemei.

Derivînd (3.24) și ținînd seama de prima ecuație din (3.22) se obține soluția generală pentru curent, adică:

$$I(x) = A_a \cdot \frac{\gamma}{Z_0} e^{-\gamma x} - A_i \cdot \frac{\gamma}{Z_0} e^{\gamma x} = I_a(x) + I_i(x). \quad (3.25)$$

Constantele de integrare se determină din condițiile la limită ale problemei, scrise în punctul  $x = 0$ :

$$[U]_{x=0} = U_1 = A_a + A_i; \quad (3.26)$$

$$[I]_{x=0} = I_1 = \frac{A_a - A_i}{Z_c},$$

din care rezultă:

$$A_d = \frac{U_1 + Z_c I_1}{2} \text{ și } A_i = \frac{U_1 - Z_c I_1}{2}. \quad (3.27)$$

Folosind aceste rezultate, se obțin valorile tensiunii și curentului în orice punct de pe linie, reprezentate în mărimi complexe, cînd se cunosc tensiunea și curentul la capătul de alimentare, adică:

$$U(x) = U_1 \operatorname{ch} \gamma x - Z_c I_1 \operatorname{sh} \gamma x; \quad (3.28, a)$$

$$I(x) = -\frac{U_1}{Z_c} \operatorname{sh} \gamma x + I_1 \operatorname{ch} \gamma x.$$

Cînd se dau tensiunea și curentul la capătul de ieșire din linie, constantele de integrare  $A_d$  și  $A_i$  sînt funcții de aceste mărimi, iar reprezentările în complex ale tensiunii și curentului pe linie sînt:

$$U(x') = U_2 \operatorname{ch} \gamma x' + Z_c I_2 \operatorname{sh} \gamma x'; \quad (3.29, a)$$

$$I(x') = \frac{U_2}{Z_c} \operatorname{sh} \gamma x' + I_2 \operatorname{ch} \gamma x'.$$

În acest ultim caz, distanțele sînt considerate în raport cu capătul receptor al liniei, iar ecuațiile de integrat corespund celei de-a doua perechi de ecuații din sistemul (3.22):

Pentru  $x = l$  sau  $x' = l$  se obține că:

$$U_2 = U_1 \operatorname{ch} \gamma l - Z_c I_1 \operatorname{sh} \gamma l = U_1 \operatorname{ch} \sqrt{ZY} - \sqrt{\frac{Z}{Y}} I_1 \operatorname{sh} \sqrt{ZY}; \quad (3.28, b)$$

$$I_2 = -\frac{U_1}{Z_c} \operatorname{sh} \gamma l + I_1 \operatorname{ch} \gamma l = -U_1 \sqrt{\frac{Y}{Z}} \operatorname{sh} \sqrt{ZY} + I_1 \operatorname{ch} \sqrt{ZY}$$

și:

$$U_1 = U_2 \operatorname{ch} \gamma l + Z_c I_2 \operatorname{sh} \gamma l = U_1 \operatorname{ch} \sqrt{ZY} + \sqrt{\frac{Z}{Y}} I_2 \operatorname{sh} \sqrt{ZY}; \quad (3.29, b)$$

$$I_1 = \frac{U_2}{Z_c} \operatorname{sh} \gamma l + I_2 \operatorname{ch} \gamma l = U_2 \sqrt{\frac{Y}{Z}} \operatorname{sh} \sqrt{ZY} + I_2 \operatorname{ch} \sqrt{ZY},$$

în care s-a ținut seama că  $\sqrt{Z_0 Y_0} l = \gamma l = \sqrt{ZY}$ , iar  $Z = Z_0 l$  și  $Y = Y_0 l$  reprezintă impedanța și admitanța totală a liniei.

Ultimele relații se utilizează în mod curent pentru calculul electric al liniilor electrice lungi, în care, trebuie menționat că mărimile  $U_1$  și  $U_2$  reprezintă *tensiunile simple*, pe fază, la cele două capete ale liniei. De obicei, ele se scriu sub forma prescurtată

$$\begin{aligned} U_1 &= AU_2 + BI_2; & U_2 &= AU_1 - BI_1; \\ &\text{și} & & \\ I_1 &= CU_2 + DI_2 & I_2 &= -CU_1 + DI_1 \end{aligned} \quad (3.30)$$

deoarece îndeplinesc condiția necesară unui cuadripol pasiv, adică:

$$AD - BC = A^2 - BC = \operatorname{ch}^2 \sqrt{ZY} - \operatorname{sh}^2 \sqrt{ZY} = 1.$$

Acest fapt verifică condiția că *orice linie electrică lungă se poate reprezenta printr-un cuadripol simetric echivalent* avînd matricea coeficienților:

$$\begin{bmatrix} A & \pm B \\ \pm C & D \end{bmatrix} = \begin{bmatrix} \operatorname{ch} \gamma l & \pm Z_c \operatorname{sh} \gamma l \\ \pm \frac{1}{Z_c} \operatorname{sh} \gamma l & \operatorname{ch} \gamma l \end{bmatrix}. \quad (3.31)$$

Dacă se consideră că linia este fără pierderi, adică constantele sale lineice  $R_0$  și  $G_0$  sînt practic neglijabile în raport cu  $L_0$  și  $C_0$ , se poate scrie că:

$$\alpha \approx 0; \quad \beta \approx \omega \sqrt{L_0 C_0},$$

iar coeficienții ecuațiilor (3.30), pentru o linie de lungime  $l$ , devin:

$$A = \operatorname{chj} \sqrt{XB} = \cos \sqrt{XB} = \cos \frac{2\pi l}{\lambda} = D;$$

$$B = \sqrt{\frac{X}{B}} \operatorname{shj} \sqrt{XB} = j \sqrt{\frac{X}{B}} \sin \sqrt{XB} = j Z_c \sin \frac{2\pi l}{\lambda}; \quad (3.32)$$

$$C = \sqrt{\frac{B}{X}} \operatorname{shj} \sqrt{XB} = j \sqrt{\frac{B}{X}} \sin \sqrt{XB} = j \frac{1}{Z_c} \sin \frac{2\pi l}{\lambda},$$

în care  $X$  și  $B$  corespund reactanței inductive totale și susceptanței capacitive totale a liniei, iar impedanța caracteristică:

$$Z_c = \sqrt{\frac{X}{B}} = \sqrt{\frac{L_0}{C_0}} \quad (3.33)$$

nu depinde de frecvență și are caracter rezistiv.

În aceste condiții, ecuațiile liniilor lungi fără pierderi, se pot scrie sub forma:

$$U_1 = U_2 \cos \frac{2\pi l}{\lambda} + j Z_c I_1 \sin \frac{2\pi l}{\lambda};$$

$$I_1 = j \frac{U_2}{Z_c} \sin \frac{2\pi l}{\lambda} + I_2 \cos \frac{2\pi l}{\lambda};$$

și

$$U_2 = U_1 \cos \frac{2\pi l}{\lambda} - j Z_c I_1 \sin \frac{2\pi l}{\lambda}$$

$$I_2 = -j \frac{U_1}{Z_c} \sin \frac{2\pi l}{\lambda} + I_1 \cos \frac{2\pi l}{\lambda},$$

(3.34)

în care matricea coeficienților:

$$\begin{bmatrix} A & \pm B \\ \pm C & D \end{bmatrix} = \begin{bmatrix} \cos \frac{2\pi l}{\lambda} & \pm j Z_c \sin \frac{2\pi l}{\lambda} \\ \pm j \frac{\sin \frac{2\pi l}{\lambda}}{Z_c} & \cos \frac{2\pi l}{\lambda} \end{bmatrix}$$

conține funcții trigonometrice în locul funcțiilor hiperbolice.

Tensiunea și curentul pe linie, la o distanță  $x$  de unul din capetele liniei, se obțin ca soluții ale ecuațiilor (3.9) sau (3.22) particularizate pentru  $R_0 = G_0 = 0$ , fiind de forma generală:

$$U(x, t) = U_a(x - vt) + U_i(x + vt); \quad (3.35)$$

$$I(x, t) = I_a(x - vt) + I_i(x + vt) = \frac{U_a(x - vt) - U_i(x + vt)}{Z_c},$$

care reprezintă suma dintre o undă directă, de tensiune și de curent care se propagă în sensul pozitiv al liniei (de la sursă către receptor) cu aceeași

viteză  $v_a = \frac{1}{\sqrt{L_0 C_0}} = v$  și o undă reflectată sau inversă, de tensiune și

de curent, care se propagă în sensul negativ al liniei (de la receptor la sursă)

cu aceeași viteză  $v_i = -v_a = \frac{1}{\sqrt{L_0 C_0}}$ .

Valorile instantanee corespunzătoare celor două perechi de unde sînt exprimate prin relații analoage cu (3.19) și (3.20) cu observația că undele sînt neatenuate ( $\alpha = 0$ ) și în fiecare punct de pe linie componenta curentului corespunzătoare unei unde de curent este în fază cu componenta de tensiune corespunzătoare unei unde de tensiune cu același sens de propagare.

Trebuie menționat de asemenea că viteza de propagare a undelor este independentă de frecvență și egală cu viteza luminii numai în cazul liniilor electrice aeriene fără pierderi și neferomagnetice; în toate celelalte cazuri, viteza de propagare a undelor este mai mică decît viteza luminii. Ca o consecință a acestui lucru, lungimea de undă a liniilor electrice alimentate în curent alternativ este egală cu 6 000 km, numai în cazul cînd pierderile, practic, se pot neglija.

Faptul că atît viteza de propagare a undelor, cît și impedanța caracteristică sînt independente de frecvență la liniile electrice fără pierderi, corespunde unui aspect fizic foarte important. Într-adevăr, dacă la capătul de intrare în linie se aplică o tensiune cu o variație oarecare în timp, aceasta se poate descompune într-o sumă de componente sinusoidale cu un spectru de frecvențe continuu sau discret. La o linie fără pierderi toate aceste componente se deplasează cu aceeași viteză și fără să se atenueze și ca urmare, ele se compun la fel în fiecare punct de pe linie pentru a da tensiunea rezultantă. Cu alte cuvinte, tensiunea aplicată la începutul liniei, se propagă pe linie sub forma unei unde de tensiune, care nu-și schimbă forma, adică nu se distorsionează.



*Observație.* În cazul liniilor electrice aeriene de medie tensiune, cu tensiuni nominale mai mici decât 60 kV, capacitatea și conductanța laterală se pot neglija, astfel încît ecuațiile de legătură dintre mărimile de intrare și de ieșire sînt:

$$\underline{U}_1 = \underline{U}_2 + \underline{Z}\underline{I}; \quad \underline{I}_1 = \underline{I}_2 = \underline{I},$$

din care reiese că:

$$A = 1; \quad B = \underline{Z}; \quad C = 0; \quad D = 1.$$

Aceleași ecuații de funcționare sînt valabile și în cazul liniilor de joasă tensiune — ca de exemplu a celor de alimentare a consumatorilor la tensiunea de 220/380 V — cu observația că dacă reactanța  $X \ll R$ , impedanța se poate identifica aproximativ cu rezistența.

## 3.2. METODE DE CALCUL A LINIILOR ELECTRICE LUNGI

Rezolvarea ecuațiilor de funcționare a liniilor electrice urmărește cunoașterea variației tensiunii și curentului de-a lungul acestora. În general, se impune determinarea mărimilor electrice  $\underline{U}$  și  $\underline{I}$  într-un punct al liniei sau la un capăt al acesteia, cînd se cunosc aceleași mărimi electrice la celălalt capăt. Acest lucru presupune însă determinarea, în prealabil, a valorilor reale ale impedanței și admitanței totale a liniei, cu ajutorul cărora se calculează coeficienții  $A, B, C$ . În acest scop, se pot utiliza fie *metode analitice*, care presupun dezvoltarea în serie a funcțiilor hiperbolice sau utilizarea schemelor în  $\pi$  sau  $T$  ale cuadripolilor echivalenți, fie *metode grafice* care pornesc de la diagramele fazoriale ale liniilor electrice.

### 3.2.1. METODE ANALITICE DE REZOLVARE A ECUAȚIILOR LINIILOR ELECTRICE LUNGI

#### a. Dezvoltarea în serie a funcțiilor hiperbolice

O primă metodă analitică de calcul a ecuațiilor liniilor electrice lungi, constă în dezvoltarea în serie a funcțiilor hiperbolice, care sînt foarte rapid convergente. Procedînd astfel se obține:

$$\begin{aligned} A = D &= 1 + \frac{\underline{Z}\underline{Y}}{2!} + \frac{\underline{Z}^2\underline{Y}^2}{4!} + \dots; \\ B &= \underline{Z} \left[ 1 + \frac{\underline{Z}\underline{Y}}{3!} + \frac{\underline{Z}^2\underline{Y}^2}{5!} + \dots \right]; \\ C &= \underline{Y} \left[ 1 + \frac{\underline{Z}\underline{Y}}{3!} + \frac{\underline{Z}^2\underline{Y}^2}{5!} + \dots \right]. \end{aligned} \quad (3.36)$$

Numărul de termeni care urmează a fi reținuți din aceste serii depinde direct de lungimea liniei. Un calcul rapid arată că pentru valori uzuale ale constantelor lineice ale liniei aeriene, termenul al doilea din relațiile (3.36) intervine cu circa 12 % în valoarea coeficientului  $A$ , pentru lungimi de ordinul a 500 km, în timp ce termenul de ordinul al treilea cu numai 0,32 %. Pentru aceeași lungime, termenul al doilea din coeficienții  $B$  și  $C$  contribuie cu

circa 4% în timp ce termenii de ordinul al treilea cu numai 0,06%. Ca urmare a acestui rezultat, se poate indica că pentru lungimi de linii uzuale de 200÷300 km se pot folosi numai primii doi termeni din seria coeficienților  $A$ ,  $B$  și  $C$ , iar ecuațiile (3.29) se pun sub forma:

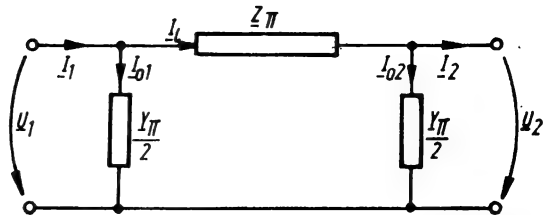


Fig. 3.4. Schema în  $\pi$  a cuadripolului echivalent.

$$\begin{aligned} U_1 &\approx U_2 \left( 1 + \frac{ZY}{2!} \right) + ZI_2 \left( 1 + \frac{ZY}{3!} \right); \\ I_1 &\approx YU_2 \left( 1 + \frac{ZY}{3!} \right) + I_2 \left( 1 + \frac{ZY}{2!} \right) \end{aligned} \quad (3.37)$$

și

$$\begin{aligned} U_2 &\approx U_1 \left( 1 + \frac{ZY}{2!} \right) - I_1 \left( 1 + \frac{ZY}{3!} \right); \\ I_2 &\approx -U_1 Y \left( 1 + \frac{ZY}{3!} \right) + I_1 \left( 1 + \frac{ZY}{2!} \right). \end{aligned}$$

#### b. Utilizarea schemelor în $\pi$ sau $T$ ale cuadripolilor echivalenți

Schemele în  $\pi$  sau  $T$  ale cuadripolilor echivalenți sînt utilizate atît în calculul electric al liniilor, cît și pentru modelarea acestora în laboratoare. Această echivalență este bazată pe constatarea că o linie electrică poate fi considerată ca o succesiune de porțiuni, corespunzătoare unui număr infinit de circuite echivalente elementare conectate în lanț și pe faptul că ecuațiile liniilor lungi îndeplinesc condiția cerută unui cuadripol pasiv.

Schema în  $\pi$  a *cuadripolului echivalent* consideră impedanța concentrată la mijlocul liniei și admitanța repartizată la cele două capete. Conform figurii 3.4, dacă se dau mărimile  $U_2$  și  $I_2$  de la ieșire și se cer  $U_1$  și  $I_1$  de la intrarea în cuadripol, cu notațiile corespunzătoare, se determină următoarele ecuații de funcționare:

$$\begin{aligned} U_1 &= U_2 + Z_\pi I_t = U_2 \left( 1 + \frac{Z_\pi Y_\pi}{2} \right) + Z_\pi I_2; \\ I_1 &= I_t + I_{01} = U_2 Y_\pi \left( 1 + \frac{Z_\pi Y_\pi}{4} \right) + I_2 \left( 1 + \frac{Z_\pi Y_\pi}{2} \right), \end{aligned} \quad (3.38)$$

din care reiese că:

$$A_\pi = D_\pi = 1 + \frac{Z_\pi Y_\pi}{2}; \quad B_\pi = Z_\pi; \quad C_\pi = Y_\pi \left( 1 + \frac{Z_\pi Y_\pi}{4} \right).$$

Rezultatele care se obțin la calculul liniilor electrice lungi folosind ecuațiile (3.38) sînt aproximative. Pentru a deveni riguroase se determină anumiți coeficienți de corecție prin intermediul cărora se obține legătura între parametrii schemei cuadripolului echivalent,  $\underline{Z}_\pi$ ,  $\underline{Y}_\pi$  și cei corespunzători ecuației liniilor lungi  $\underline{Z}$  și  $\underline{Y}$ . În acest scop, se identifică coeficienții ecuațiilor (3.38) și (3.29, b) adică:

$$\underline{A}_\pi = \underline{A}; \quad \underline{B}_\pi = \underline{B}; \quad \underline{C}_\pi = \underline{C};$$

sau

$$1 + \frac{\underline{Z}_\pi \underline{Y}_\pi}{2} = \text{ch } \sqrt{\underline{Z} \underline{Y}}; \quad \underline{Z}_\pi = \sqrt{\frac{\underline{Z}}{\underline{Y}}} \text{sh } \sqrt{\underline{Z} \underline{Y}};$$

$$\underline{Y}_\pi \left( 1 + \frac{\underline{Z}_\pi \underline{Y}_\pi}{4} \right) = \sqrt{\frac{\underline{Y}}{\underline{Z}}} \text{sh } \sqrt{\underline{Z} \underline{Y}}$$

și se obțin următoarele relații de legătură:

$$\underline{Z}_\pi = \underline{Z} \frac{\text{sh } \sqrt{\underline{Z} \underline{Y}}}{\sqrt{\underline{Z} \underline{Y}}} = k_1 \underline{Z}$$

și

$$\underline{Y}_\pi = \underline{Y} \frac{2(\text{ch } \sqrt{\underline{Z} \underline{Y}} - 1)}{\sqrt{\underline{Z} \underline{Y}} \text{sh } \sqrt{\underline{Z} \underline{Y}}} = k_2 \underline{Y}. \quad (3.39)$$

Din aceste ultime relații rezultă că folosirea schemei echivalente a cuadripolului în  $\pi$ , conduce la aceleași rezultate ca și în cazul ecuațiilor liniilor lungi, numai dacă mărimile  $\underline{Z}$  și  $\underline{Y}$  sînt corectate de coeficienții  $k_1$  și  $k_2$ . Ei reprezintă mărimi complexe și se numesc *coeficienții lui Kennelly*.

În cele mai multe cazuri, coeficienții de corecție sînt apropiați ca valoare de unitate, ceea ce permite să se introducă în schema echivalentă în  $\pi$  chiar valorile reale ale parametrilor liniei. Se va ține seama de acești coeficienți numai cînd lungimea liniilor electrice aeriene depășește 500 km, iar cea a liniilor subterane 50 km. În aceste situații, valoarea coeficienților de corecție se poate determina prin utilizarea seriilor funcțiilor hiperbolice și considerarea primilor doi termeni, adică:

$$k_1 = 1 + \frac{\underline{Z} \underline{Y}}{6} \quad \text{și} \quad k_2 = \frac{1 + \frac{\underline{Z} \underline{Y}}{12}}{1 + \frac{\underline{Z} \underline{Y}}{6}} = \frac{1 + \frac{\underline{Z} \underline{Y}}{12}}{k_1}. \quad (3.40)$$

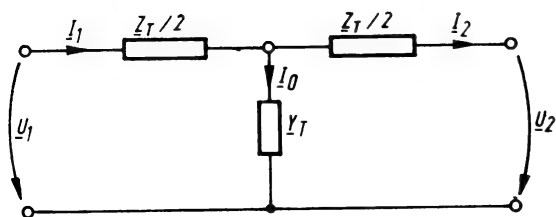


Fig 3.5. Schema  $T$  a cuadripolului echivalent.

Schema în  $T$  a cuadripolului echivalent al liniei are admitanța concentrată la mijloc și impedanța repartizată în mod egal pe cele două extremități, ca în figura 3.5.

Considerînd cunoscute mărimile de la ieșirea din

cuadripol,  $U_2$  și  $I_2$  și utilizând notațiile din figură se determină relațiile:

$$U_1 = U_2 \left( 1 + \frac{Z_T Y_T}{2} \right) + I_2 \left( 1 + \frac{Z_T Y_T}{4} \right) Z_T$$

$$I_1 = U_2 \cdot Y_T + I_2 \left( 1 + \frac{Z_T Y_T}{2} \right) \quad (3.41)$$

din care reiese că:

$$A_T = 1 + \frac{Z_T Y_T}{2}; \quad B_T = Z_T \left( 1 + \frac{Z_T Y_T}{4} \right); \quad C_T = Y_T \text{ și } D_T = A_T. \quad (3.42)$$

Pentru aplicarea acestor ecuații la liniile electrice aeriene cu lungimi mai mari decât 500 km sau la cele subterane cu lungimi mai mari decât 50 km, se determină coeficienții de corecție, în mod asemănător cazului utilizării schemei echivalente în  $\pi$  a cuadripolului echivalent, obținându-se relațiile de legătură:

$$Z_T = k_2 Z \text{ și } Y_T = k_1 Y, \quad (3.42)$$

în care  $k_1$  și  $k_2$  au valorile date de (3.39) și (3.40).

Utilizarea schemelor în  $\pi$  sau  $T$  ale cuadripolilor echivalenți poate fi extinsă și la instalații de transport, care conțin stații de transformare sau la scheme de rețele mai complexe.

Pentru exemplificare se presupun schemele electrice ale unor instalații ca cele prezentate în figura 3.6. Reducerea acestora la o schemă echivalentă unică se face, fie calculând lanțul de cuadripoli, fie folosind transformarea schemelor echivalente  $\pi$  sau  $T$  sau invers, după cum este necesar.

În primul caz, pentru schema din figura 3.6, a, dacă se consideră  $A_e$ ,  $B_e$ ,  $C_e$ ,  $D_e$  coeficienții cuadripolului echivalent al liniei ( $A_e = D_e$ ) și  $A_2$ ,  $B_2$ ,  $C_2$  și  $D_2$  cei ai stației de transformare  $T$ , se pot scrie relațiile de legătură dintre mărimile de intrare și cele de ieșire sub forma sintetică:

$$\begin{bmatrix} U_1 \\ I_1 \end{bmatrix} = \begin{bmatrix} A_e & B_e \\ C_e & D_e \end{bmatrix} \cdot \begin{bmatrix} A_2 & B_2 \\ C_2 & D_2 \end{bmatrix} \begin{bmatrix} U_2 \\ I_2 \end{bmatrix}.$$

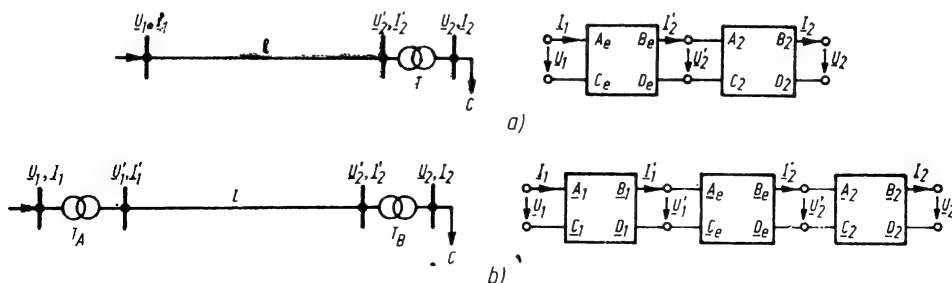


Fig. 3.6. Reprezentarea simbolică a unor instalații de transport de energie prin lanțuri de cuadripoli.

Efectuind calculele rezultă:

$$\begin{bmatrix} U_1 \\ I_1 \end{bmatrix} = \begin{bmatrix} A_e A_2 + B_e \cdot C_2 & A_e B_2 + B_e D_2 \\ C_e A_2 + D_e \cdot C_2 & C_e B_2 + D_e D_2 \end{bmatrix} \begin{bmatrix} U_2 \\ I_2 \end{bmatrix} = \begin{bmatrix} A & B \\ C & D \end{bmatrix} \begin{bmatrix} U_2 \\ I_2 \end{bmatrix}$$

sau dezvoltate:

$$U_1 = (A_e \cdot A_2 + B_e \cdot C_2) U_2 + (A_e \cdot B_2 + B_e \cdot D_2) I_2 = A U_2 + B I_2;$$

$$I_1 = (C_e \cdot A_2 + D_e \cdot C_2) U_2 + (C_e \cdot B_2 + D_e \cdot D_2) I_2 = C U_2 + D I_2.$$

Pentru cea de-a doua schemă prezentată în figura 3.6, *b* se obține că:

$$\begin{bmatrix} U_1 \\ I_1 \end{bmatrix} = \begin{bmatrix} A_1 & B_1 \\ C_1 & D_1 \end{bmatrix} \cdot \begin{bmatrix} A_e & B_e \\ C_e & D_e \end{bmatrix} \begin{bmatrix} A_2 & B_2 \\ C_2 & D_2 \end{bmatrix} \begin{bmatrix} U_2 \\ I_2 \end{bmatrix} = \begin{bmatrix} A' & B' \\ C' & D' \end{bmatrix} \begin{bmatrix} U_2 \\ I_2 \end{bmatrix}$$

sau:

$$U_1 = A' U_2 + B' I_2; \quad I_1 = C' U_2 + D' I_2,$$

în care  $A_1, B_1, C_1, D_1$  reprezintă coeficienții cuadripolului corespunzător stației de transformare  $T_A$ , iar coeficienții finali ai cuadripolului echivalent  $A', B', C', D'$  au valorile:

$$A' = A_1 A_e A_2 + B_1 C_e A_2 + A_1 B_e C_2 + B_1 C_e C_2;$$

$$B' = A_1 A_e B_2 + B_1 C_e B_2 + A_1 B_e D_2 + B_1 D_e D_2;$$

$$C' = C_1 A_e A_2 + D_1 C_e A_2 + C_1 C_2 B_e + D_1 D_e C_2;$$

$$D' = C_1 A_e B_2 + D_1 C_e B_2 + C_1 B_e D_2 + D_1 D_e D_2.$$

Ca aplicație imediată se consideră cazul din figura 3.6, *b* în care se neglijează curenții de magnetizare ai transformatoarelor reprezentați numai prin impedanța lor longitudinală. Cu această simplificare, ecuațiile de legătură dintre mărimile  $U'_2, I'_2, U_2, I_2$  și  $U_1, I_1, U'_1, I'_1$  sînt:

$$\begin{aligned} U'_2 &= U_2 + Z_{T_B} \cdot I_2; & U_1 &= U'_1 + Z_{T_A} I'_1 \\ I'_2 &= I_2; & I_1 &= I'_1, \end{aligned} \quad (3.43)$$

unde  $Z_{T_A}$  și  $Z_{T_B}$  reprezintă impedanțele de scăpări ale transformatoarelor din stațiile  $T_A$  și  $T_B$ .

Din ultimele relații rezultă coeficienții cuadripolilor echivalenți ai transformatoarelor:

$$A_A = A_B = 1; \quad B_A = Z_{T_A};$$

$$B_B = Z_{T_B}; \quad C_A = C_B = 0; \quad D_A = D_B = 1.$$

Se consideră apoi ansamblul format din stația de transformare  $T_A$  și linie, obținîndu-se:

$$\begin{bmatrix} U_1 \\ I_1 \end{bmatrix} = \begin{bmatrix} 1 & Z_{T_A} \\ 0 & 1 \end{bmatrix} \cdot \begin{bmatrix} A_e & B_e \\ C_e & D_e \end{bmatrix} \begin{bmatrix} U'_2 \\ I'_2 \end{bmatrix} = \begin{bmatrix} A_1 & B_1 \\ C_1 & D_1 \end{bmatrix} \begin{bmatrix} U'_2 \\ I'_2 \end{bmatrix},$$

în care:

$$A_1 = A_e + Z_{T_A} \cdot C_e; \quad B_1 = B_e + Z_{T_A} \cdot A_e; \quad C_1 = C_e; \quad D_1 = D_e.$$

Cuadripolul definit de coeficienții  $A_1, B_1, C_1, D_1$  și transformatorul  $T_B$  conectați în serie, formează un nou cuadripol, ai cărui coeficienți  $A, B, C, D$  rezultă din relațiile:

$$\begin{bmatrix} U_1 \\ I_1 \end{bmatrix} = \begin{bmatrix} A_1 & B_1 \\ C_1 & D_1 \end{bmatrix} \begin{bmatrix} 1 & Z_{T_B} \\ 0 & 1 \end{bmatrix} \cdot \begin{bmatrix} U_2 \\ I_2 \end{bmatrix} = \begin{bmatrix} A & B \\ C & D \end{bmatrix} \begin{bmatrix} U_2 \\ I_2 \end{bmatrix}$$

în care:

$$\begin{aligned} A &= A_e + Z_{T_A} \cdot C_e; & B &= (Z_{T_A} + Z_{T_B})A_e + B_e + Z_{T_A} \cdot Z_{T_B} \cdot C_e; \\ C &= C_e; & D &= A_e + Z_{T_B} \cdot C_e. \end{aligned}$$

Din relațiile obținute se pot verifica următoarele:

1. Egalitatea coeficienților  $A$  și  $D$ , corespunzătoare cuadripolilor simetrici este realizată numai dacă  $Z_{T_A} = Z_{T_B}$ , adică dacă transformatoarele din cele două stații sînt identice.

2. Este satisfăcută relația de simetrie a cuadripolului pasiv:

$$AD - BC = A_1D_1 - B_1C_1 = 1.$$

Fiind cunoscute valorile coeficienților cuadripolului echivalent grupului de elemente a sistemului de transport considerat și regimul de tensiune și de curent la una din extremități, se poate calcula regimul corespunzător de tensiune și de curent la cealaltă extremitate.

Uneori, pentru obținerea coeficienților echivalenți ai unei scheme de forma 3.6 se poate folosi metoda transfigurării, care se bazează pe relațiile de legătură dintre coeficienții schemelor în  $\pi$  și  $T$ . Metoda aceasta comportă însă calcule laborioase și din această cauză este mai puțin utilizată decît metoda coeficienților echivalenți.

### c. Utilizarea ecuațiilor liniilor electrice lungi

În unele situații, pentru studierea liniilor electrice lungi ( $l > 500$  km), se rezolvă direct ecuațiile cu funcții hiperbolice (3.28) sau (3.29) calculîndu-se în prealabil coeficienții  $A, B$  și  $C$ . În acest mod se poate constata și influența constantelor lineice ale liniilor asupra unor mărimi cum ar fi, *constantă de propagare, constantă de atenuare, constantă de fază, viteza de propagare și impedanța caracteristică*.

*Constanta de propagare* se determină scriind expresia acesteia sub forma:

$$\underline{\gamma} = \alpha + j\beta = \sqrt{(R_0 + j\omega L_0)(G_0 + j\omega C_0)}, \quad (3.44)$$

din care reiese prin ridicare la pătrat că:

$$\alpha^2 - \beta^2 + 2j\alpha\beta = R_0G_0 - \omega^2L_0C_0 + j\omega(R_0C_0 + L_0G_0)$$

sau:

$$\begin{aligned} \alpha^2 - \beta^2 &= R_0G_0 - \omega^2L_0C_0; \\ 2\alpha\beta &= \omega(R_0C_0 + L_0G_0). \end{aligned} \quad (3.45)$$

Rezolvând acest ultim sistem de ecuații se obțin constantele de atenuare și de fază:

$$\begin{aligned}\alpha &= \pm \sqrt{\frac{1}{2}(R_0 G_0 - \omega^2 L_0 C_0) + \frac{1}{2}\sqrt{(R_0^2 + \omega^2 L_0^2)(G_0^2 + \omega^2 C_0^2)}} = \\ &= \pm \sqrt{\frac{1}{2}(R_0 G_0 - X_0 B_0) + \frac{1}{2}Z_0 Y_0};\end{aligned}\quad (3.46)$$

$$\begin{aligned}\beta &= \pm \sqrt{\frac{1}{2}(\omega^2 L_0 C_0 - R_0 G_0) + \frac{1}{2}\sqrt{(R_0^2 + \omega^2 L_0^2)(G_0^2 + \omega^2 C_0^2)}} = \\ &= \pm \sqrt{\frac{1}{2}(X_0 B_0 - R_0 G_0) + \frac{1}{2}Z_0 Y_0},\end{aligned}\quad (3.47)$$

în care s-au notat cu  $X_0$  și  $B_0$  reactanța inductivă lineică și susceptanța capacitivă lineică și cu  $Z_0$  și  $Y_0$  modulele impedanței și admitanței lineice.

Conform ecuației a doua a sistemului (3.45), mărimile  $\alpha$  și  $\beta$  au simultan același semn, deoarece produsul lor este totdeauna pozitiv. Valorile *pozitive* corespund deplasării undelor de la sursă către consumator, iar cele *negative* corespund deplasării undelor în sens invers.

Viteza de propagare a undelor pe linie diferă de viteza luminii, avînd valoarea:

$$\begin{aligned}\frac{1}{v^2} &= \frac{\beta^2}{\omega^2} = \frac{1}{2}\left(L_0 C_0 - \frac{R_0 G_0}{\omega^2}\right) + \frac{1}{2}\sqrt{\left(L_0^2 + \frac{R_0^2}{\omega^2}\right)\left(C_0^2 + \frac{G_0^2}{\omega^2}\right)} = \\ &= \frac{1}{2}\left(L_0 C_0 - \frac{R_0 G_0}{\omega^2}\right) + \frac{1}{2}\sqrt{\left(L_0 C_0 + \frac{R_0 G_0}{\omega^2}\right)^2 + \left(\frac{R_0 G_0 - L_0 C_0}{\omega}\right)^2}.\end{aligned}\quad (3.48)$$

Limita inferioară a acestei viteze se poate aprecia neglijînd termenul al doilea de sub semnul radical a cărui valoare este totdeauna pozitivă. În aceste condiții rezultă că:

$$\frac{1}{v^2} = \frac{\beta^2}{\omega^2} \geq \frac{1}{2}\left(L_0 C_0 - \frac{R_0 G_0}{\omega^2}\right) + \frac{1}{2}\left(L_0 C_0 + \frac{R_0 G_0}{\omega^2}\right) = L_0 C_0,$$

din care se constată că:

$$v^2 \leq \frac{1}{L_0 C_0} \text{ sau } v \leq \sqrt{\frac{1}{L_0 C_0}},$$

adică viteza de propagare a undelor pe linia considerată prin toți parametrii săi lineici este mai mică decît viteza luminii.

Impedanța caracteristică se poate pune sub forma:

$$Z_c = \frac{Z_0}{Y} = \sqrt{\frac{R_0 + j\omega L_0}{G_0 + j\omega C_0}} = a + jb, \quad (3.49)$$

în care partea reală și partea imaginară se determină printr-un calcul algebric.

Astfel, ridicînd la pătrat și separînd partea reală de cea imaginară, rezultă că:

$$a^2 - b^2 = \frac{R_0 G_0 + X_0 B_0}{G_0^2 + B_0^2} \text{ și } 2ab = \frac{G_0 X_0 - R_0 B_0}{G_0^2 + B_0^2}. \quad (3.50)$$

În loc de a rezolva acest sistem de două ecuații cu două necunoscute este mai comod să se folosească în locul celei de-a doua ecuații, o a treia dedusă prin egalarea pătratului modulului celor doi membri ai expresiei impedanței caracteristice, adică:

$$a^2 + b^2 = \sqrt{\frac{R_0^2 + X_0^2}{G_0^2 + B_0^2}}. \quad (3.51)$$

Rezultă:

$$a = \sqrt{\frac{1}{2} \frac{R_0 G_0 + X_0 B_0}{G_0^2 + B_0^2} + \frac{1}{2} \sqrt{\frac{R_0^2 + X_0^2}{G_0^2 + B_0^2}}} = \frac{1}{Y_0} \sqrt{\frac{Z_0 Y_0 + R_0 G_0 + X_0 B_0}{2}}; \quad (3.52)$$

$$b = \sqrt{\frac{1}{2} \frac{R_0^2 + X_0^2}{G_0^2 + B_0^2} - \frac{1}{2} \sqrt{\frac{R_0 G_0 + X_0 B_0}{G_0^2 + B_0^2}}} = \frac{1}{Y_0} \sqrt{\frac{Z_0 Y_0 - R_0 G_0 - X_0 B_0}{2}}.$$

În mod analog se poate determina mărimea:

$$\frac{1}{Z_c} = \frac{Y}{Z_0} = \sqrt{\frac{G_0 + j\omega C_0}{R_0 + j\omega L_0}} = c + jd. \quad (3.53)$$

Trebuie observat însă că:

$$\frac{1}{Z_c} = \frac{1}{a + jb} = \frac{a}{a^2 + b^2} - j \frac{b}{a^2 + b^2} = c + jd.$$

În aceste condiții rezultă:

$$c = \frac{1}{Z_0} \sqrt{\frac{1}{2} (Z_0 Y_0 + R_0 G_0 + X_0 B_0)}; \quad (3.54)$$

$$d = -\frac{1}{Z_0} \sqrt{\frac{1}{2} (Z_0 Y_0 - R_0 G_0 - X_0 B_0)}.$$

Ținînd seama de aceste rezultate se pot determina, fără dificultate, coeficienții  $\underline{A}$ ,  $\underline{B}$ ,  $\underline{C}$ ,  $\underline{D}$  ai liniilor pentru o lungime  $l$ , scriind funcțiile hiperbolice sub forma:

$$\text{ch } \sqrt{Z_0 Y_0} l = \text{ch } (\alpha' + j\beta') = \text{ch } \alpha' \cos \beta' + j \text{sh } \alpha' \sin \beta'; \quad (3.55)$$

$$\text{sh } \sqrt{Z_0 Y_0} l = \text{sh } (\alpha' + j\beta') = \text{sh } \alpha' \cos \beta' + j \text{ch } \alpha' \sin \beta'.$$

În cazurile particulare, indicate mai jos și întîlnite în practică, relațiile obținute se scriu sub forme mai simple, care permit punerea în evidență a unor fenomene fizice importante.



### a. Linii electrice fără pierderi ( $R_0 \approx 0$ ; $G_0 \approx 0$ )

Această situație ideală nu se poate întâlni în mod practic, însă sensul unor fenomene fizice se păstrează și se pot pune mai ușor în evidență, decât dacă s-ar considera cei patru parametri lineici. Rezultatele care se obțin sînt următoarele:

$$\gamma = j\beta = j\omega \sqrt{L_0 C_0}; \quad \underline{\gamma} l = j\omega l \sqrt{L_0 C_0}; \quad v = \frac{\omega}{\beta} = \frac{1}{\sqrt{L_0 C_0}}; \quad Z_c = Z_{c0} = \sqrt{\frac{L_0}{C_0}}$$

$$A = \cos \frac{2\pi l}{\lambda}; \quad B = \sqrt{\frac{L_0}{C_0}} \sin \frac{2\pi l}{\lambda}; \quad C = \sqrt{\frac{C_0}{L_0}} \sin \frac{2\pi l}{\lambda}.$$

Ele pun în evidență faptul că undele de tensiune și de curent sînt în fază ( $\psi = 0$ ) și se propagă neatenuate pe linie ( $\alpha = 0$ ) și cu o aceeași viteză egală cu viteza luminii (pentru linii neferomagnetice aeriene). Ecuațiile de funcționare a liniilor care corespund relațiile (3.34) se exprimă cu ajutorul funcțiilor trigonometrice.

### b. Linii electrice aeriene industriale

Este de menționat că, de obicei, aceste linii aeriene au rezistența și conductanța laterală mici în raport cu reactanța inductivă, respectiv cu susceptanța capacitivă. Acest fapt permite unele simplificări:

*Constanta de propagare* se poate pune sub forma:

$$\underline{\gamma} = \alpha + j\beta = j\omega \sqrt{L_0 C_0} \sqrt{\left(1 - j \frac{R_0}{\omega L_0}\right) \left(1 - j \frac{G_0}{\omega C_0}\right)}. \quad (3.56)$$

Dezvoltînd în serie radicalii și considerînd numai primii doi termeni, se obține:

$$\begin{aligned} \underline{\gamma} &\approx j\omega \sqrt{L_0 C_0} \left[ \left(1 - j \frac{R_0}{2\omega L_0}\right) \left(1 - j \frac{G_0}{2\omega C_0}\right) \right] = \\ &= j\omega \sqrt{L_0 C_0} \left[ 1 - \frac{j}{\omega} \left( \frac{R_0 + G_0}{2} \right) - \frac{R_0 G_0}{4\omega^2 L_0 C_0} \right], \end{aligned}$$

din care reiese că:

$$\alpha \approx \frac{R_0}{2} \sqrt{\frac{C_0}{L_0}} + \frac{G_0}{2} \sqrt{\frac{L_0}{C_0}}; \quad \beta \approx \omega \sqrt{L_0 C_0} - \frac{R_0 G_0}{4\omega^2 L_0 C_0} = \sqrt{X_0 B_0} - \frac{R_0 G_0}{4X_0 B_0}.$$

Dacă se neglijează conductanța laterală  $G_0$ , relațiile mărimilor  $\alpha$  și  $\beta$  se pot scrie sub forma simplificată:

$$\alpha \approx \frac{R_0}{2} \sqrt{\frac{C_0}{L_0}}; \quad \beta \approx \omega \sqrt{L_0 C_0}; \quad v \approx \frac{1}{\sqrt{L_0 C_0}},$$

iar *impedanța caracteristică* și inversul acesteia devin:

$$Z_c \approx \sqrt{\frac{Z_0 + X_0}{2B_0}} + j \sqrt{\frac{Z_0 - X_0}{2B_0}}; \quad \frac{1}{Z_c} \approx \sqrt{\frac{B_0}{2Z_0} \left(1 + \frac{X_0}{Z_0}\right)} - j \sqrt{\frac{B_0}{2Z_0} \left(1 - \frac{X_0}{Z_0}\right)}.$$

Dezvoltarea calculului pentru aceste două mărimi permite să se observe că se pot face și alte simplificări. Astfel ele se pot scrie și sub forma:

$$\begin{aligned} Z_c &= \sqrt{\frac{X_0 \left(1 + \frac{R_0^2}{2X_0^2}\right) + X_0}{2B_0}} + j \sqrt{\frac{X_0 \left(1 + \frac{R_0^2}{2X_0^2}\right) - X_0}{2B_0}} \approx \\ &\approx \sqrt{\frac{X_0}{B_0}} + j \frac{R_0}{2\sqrt{X_0 B_0}}, \end{aligned} \quad (3.57)$$

în care s-a dezvoltat în serie expresia:

$$Z_0 = \sqrt{R_0^2 + X_0^2} = X_0 \sqrt{1 + \frac{R_0^2}{X_0^2}} \approx X_0 \left(1 + \frac{R_0^2}{2X_0^2}\right)$$

și s-au considerat numai primii doi termeni, neglijându-se în același timp, în partea reală, termenul  $\frac{R_0^2}{2X_0^2} \ll 2X_0$ .

Procedînd în mod analog se determină și expresia inversului impedanței caracteristice, obținîndu-se:

$$\begin{aligned} \frac{1}{Z_c} &= c - jd \approx \frac{1}{Z_0} \left[ \sqrt{\frac{X_0 \left(1 + \frac{R_0^2}{2X_0^2}\right) B_0 + X_0 B_0}{2}} - \right. \\ &- j \sqrt{\frac{X_0 \left(1 + \frac{R_0^2}{2X_0^2}\right) B_0 - X_0 B_0}{2}} \left. \right] \approx \frac{\sqrt{X_0 B_0}}{Z_0} - j \frac{R_0}{2Z_0} \sqrt{\frac{B_0}{X_0}} = \\ &= \frac{2\pi}{Z_0 \lambda} - j \frac{R_0}{2Z_0} \sqrt{\frac{C_0}{L_0}}. \end{aligned} \quad (3.58)$$

Ținînd seama de aceste determinări și de relațiile (3.55) se poate scrie că:

$$A = \operatorname{ch} \frac{R}{2} \sqrt{\frac{C_0}{L_0}} \cos \frac{2\pi l}{\lambda} + j \operatorname{sh} \frac{R}{2} \sqrt{\frac{C_0}{L_0}} \sin \frac{2\pi l}{\lambda};$$

$$B = \left( \sqrt{\frac{X_0}{B_0}} + j \frac{R_0}{2\sqrt{X_0 B_0}} \right) \left( \operatorname{sh} \frac{R}{2} \sqrt{\frac{C_0}{L_0}} \cos \frac{2\pi l}{\lambda} + j \operatorname{ch} \frac{R}{2} \sqrt{\frac{C_0}{L_0}} \sin \frac{2\pi l}{\lambda} \right); \quad (3.59, a)$$

$$\underline{C} = \left( \frac{2\pi}{Z_0\lambda} - \frac{R_0}{2Z_0} \sqrt{\frac{C_0}{L_0}} \right) \left( \operatorname{sh} \frac{R}{2} \sqrt{\frac{C_0}{L_0}} \cos \frac{2\pi l}{\lambda} + j \operatorname{ch} \frac{R}{2} \sqrt{\frac{C_0}{L_0}} \sin \frac{2\pi l}{\lambda} \right),$$

în care s-a ținut seama că  $R_0 l = R$ ;  $\omega l \sqrt{L_0 C_0} = \frac{2\pi l}{\lambda}$ ;  $\lambda = \frac{v}{f} = \frac{1}{f \sqrt{L_0 C_0}}$ .

Considerînd în aceste relații că  $\sqrt{\frac{L_0}{C_0}} \approx Z_c$  ( $Z_c = 250 \div 400 \Omega$ ) și ținînd seama că  $\frac{R}{2} \sqrt{\frac{C_0}{L_0}} \approx \frac{R}{2Z_c} \ll 1$  se poate scrie că:

$$\operatorname{sh} \alpha \approx \alpha \text{ și } \operatorname{ch} \alpha \approx 1.$$

În aceste condiții, mărimile,  $\underline{A}$ ,  $\underline{B}$  și  $\underline{C}$  se pun sub forma:

$$\begin{aligned} \underline{A} &= \cos \frac{2\pi l}{\lambda} + j \frac{R}{2Z_c} \sin \frac{2\pi l}{\lambda}; \\ \underline{B} &\approx \frac{R}{2} \cos \frac{2\pi l}{\lambda} - \frac{R_0 \lambda}{4} \sin \frac{2\pi l}{\lambda} + j Z_c \left( \sin \frac{2\pi l}{\lambda} + \frac{R_0^2 \lambda}{8\pi Z_c^2} \cos \frac{2\pi l}{\lambda} \right); \\ \underline{C} &\approx \frac{\pi R}{Z_0 Z_c \lambda} \cos \frac{2\pi l}{\lambda} + \frac{R_0}{2Z_0 Z_c} \sin \frac{2\pi l}{\lambda} + j \left( \frac{2\pi}{Z_0 \lambda} \sin \frac{2\pi l}{\lambda} - \frac{R_0^2}{4Z_c^2 Z_0} \cos \frac{2\pi l}{\lambda} \right). \end{aligned} \quad (3.59, b)$$

Rezultatele obținute se pot încă simplifica. Astfel, dacă se neglijează termenul al doilea al părții imaginare din expresiile coeficienților  $\underline{B}$  și  $\underline{C}$ , care este mult prea mic în raport cu primul, se obține:

$$\begin{aligned} \underline{B} &\approx \frac{R}{2} \cos \frac{2\pi l}{\lambda} - \frac{R_0 \lambda}{4\pi} \sin \frac{2\pi l}{\lambda} + j Z_c \sin \frac{2\pi l}{\lambda}; \\ \underline{C} &\approx \frac{\pi R}{Z_0 Z_c \lambda} \cos \frac{2\pi l}{\lambda} + \frac{R_0}{2Z_0 Z_c} \sin \frac{2\pi l}{\lambda} + j \frac{2\pi}{Z_c \lambda} \sin \frac{2\pi l}{\lambda}. \end{aligned} \quad (3.59, c)$$

În consecință, ecuațiile liniilor electrice lungi, cînd se cunosc mărimile de ieșire, se pot scrie sub forma:

$$\begin{aligned} U_1 &= U_2 \left( \cos \frac{2\pi l}{\lambda} + j \frac{R}{2Z_c} \sin \frac{2\pi l}{\lambda} \right) + I_2 \left( \frac{R}{2} \cos \frac{2\pi l}{\lambda} - \frac{R_0 \lambda}{4\pi} \sin \frac{2\pi l}{\lambda} + j Z_c \sin \frac{2\pi l}{\lambda} \right); \\ I_1 &= U_2 \left( \frac{\pi R}{Z_0 Z_c \lambda} \cos \frac{2\pi l}{\lambda} + \frac{R_0}{2Z_0 Z_c} \sin \frac{2\pi l}{\lambda} + j \frac{2\pi}{Z_0 \lambda} \sin \frac{2\pi l}{\lambda} \right) + \\ &\quad + I_2 \left( \cos \frac{2\pi l}{\lambda} + j \frac{R}{2Z_c} \sin \frac{2\pi l}{\lambda} \right). \end{aligned} \quad (3.59, d)$$

### 3.2.2. METODE GRAFICE DE CALCUL A LINIILOR ELECTRICE LUNGI

Uneori, pentru calculul și studierea regimurilor de funcționare ale liniilor electrice lungi, se pot utiliza anumite grafice, cu ajutorul cărora se exprimă legătura dintre mărimile de intrare și cele de ieșire — tensiune, curenți, puteri.

#### a. Diagrama tensiunilor (diagrama cu un pol)

Un prim grafic folosește diagramele fazoriale ale tensiunilor și curenților, completate cu anumite topograme. În acest scop, se folosesc ecuațiile generale ale liniilor electrice sub forma:

$$\underline{U}_1 = \underline{A}\underline{U}_2 + \underline{B}\underline{I}_2; \quad \underline{I}_1 = \underline{C}\underline{U}_2 + \underline{D}\underline{I}_2,$$

în care se notează:

$$\underline{A} = A|\underline{\alpha}; \quad \underline{B} = B|\underline{\beta}; \quad \underline{C} = C|\underline{\eta}; \quad \underline{D} = D|\underline{\delta}; \quad \underline{I}_2 = I_2|-\varphi_2;$$

$$\underline{U}_2 = U_2|0.$$

Pentru întocmirea diagramelor fazoriale din figura 3.7 se procedează astfel:

— se alege tensiunea  $\underline{U}_2 = \overline{OU}_2$  ca origine de fază și ca unitate de măsură a tensiunii; fazorul  $\underline{AU}_2 = \overline{OO_1}$  face cu axa reală unghiul  $\alpha$  și reprezintă mărimea și faza tensiunii, când sistemul funcționează în gol la extremitatea receptoare;

— curențul  $\underline{I}_2$  la sosire este decalat inductiv cu unghiul  $\varphi_2$ ; fazorul  $\underline{BI}_2$  determinat de segmentul  $\overline{O_1M}$ , face cu axa reală unghiul  $\beta - \varphi_2$ ;

— fazorul  $\underline{CU}_2$  corespunde segmentului  $\overline{OO'_1}$  care face cu axa reală unghiul  $\eta$ , iar fazorul  $\underline{DI}_2$  reprezentat prin segmentul  $\overline{O'_1M'_1}$  face cu axa reală unghiul  $\delta - \varphi_2$ . Pentru trasarea direcției fazorului  $\underline{DI}_2$  se consideră  $\delta < \varphi_2$ , ceea ce corespunde realității;

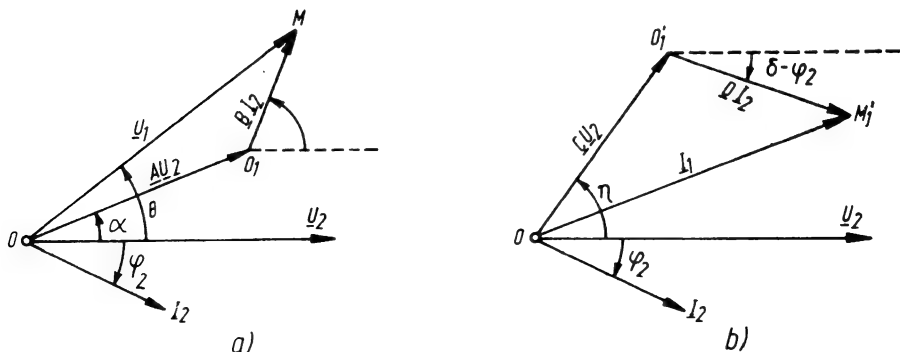


Fig. 3.7. Diagramele fazoriale ale liniilor lungi:

a — diagrama tensiunilor; b — diagrama curenților.

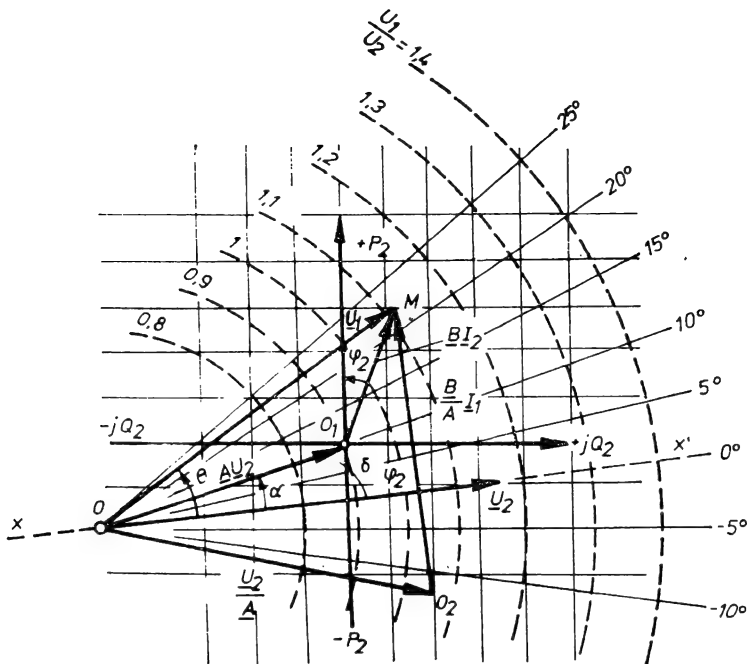


Fig. 3.8. Topogramele liniilor electrice lungi.

— segmentele  $\overline{OM}$  și  $\overline{OM'_1}$  reprezintă, la o anumită scară, tensiunea și curentul la intrarea în linie, care pot fi determinate fără dificultate pentru fiecare regim în parte.

Unghiul de defazaj dintre tensiunea de la ieșirea și cea de la intrarea în linie a fost notat cu  $\theta$  și valoarea lui are mare importanță în aprecierea stabilității de funcționare în paralel a instalațiilor electrice.

Diagramele date în figura 3.7 pot fi completate cu anumite topograme, astfel încât să permită determinarea tuturor condițiilor de funcționare ale unei linii, în diferite regimuri de funcționare, corespunzătoare punctelor  $M$  și  $M'_1$ .

În figura 3.8 s-a considerat diagrama tensiunilor și s-au trasat, prin punctul  $O_1$ , axele puterilor active și reactive, în așa fel încât axa puterilor active să facă cu dreapta  $O_1M$  unghiul  $\varphi_2$ , iar axa puterilor reactive să fie perpendiculară pe prima. Pe aceeași figură s-a reprezentat tensiunea  $U_1$  a liniei, în funcție de tensiunea  $U_2$  și de curentul  $I_1$ . În acest scop, din ecuația generală a curentilor s-a determinat  $I_2 = \varphi(U_2, I_1)$  sub forma:

$$I_2 = \frac{I_1}{D} - \frac{C}{D} U_2,$$

care s-a introdus în ecuația tensiunilor, obținându-se:

$$U_1 = AU_2 + \frac{B}{D} I_1 - \frac{BC}{D} U_2 = \frac{U_2}{D} + \frac{B}{D} I_1.$$

Termenul  $\frac{U_2}{D}$  reprezintă fazorul  $\underline{OO}_2$  care face cu axa reală unghiul  $-\delta = -\alpha$  ( $D = A$ ), iar termenul  $\frac{B}{D} \cdot I_1$ , corespunde fazorului  $\underline{O_2M}$  care face cu axa reală unghiul  $\beta - \delta - \varphi_1$ .

Mărimile  $\frac{B}{D} = \frac{B}{A}$  și  $\frac{C}{D} = \frac{C}{A}$  constituie *impedanța* și *admitanța aparentă*, măsurate la intrarea în linie, când capătul de ieșire este scurtcircuitat sau în gol.

În figura 3.8 s-au trasat și următoarele topograme:

— topograma puterilor active și reactive la capătul de ieșire din linie, care reprezintă curbe de puteri constante, determinate prin carioajul de drepte paralele la cele două axe. Dreptele paralele la  $\underline{O_1Q_2}$  reprezintă puteri active constante, iar cele paralele la  $\underline{O_1P_2}$ , puteri reactive constante;

— topograma tensiunilor la extremitatea cu tensiunea necunoscută, formată dintr-o familie de cercuri concentrice de tensiune egală la plecare, cu centrul în  $O$ , notate fie direct în volți, fie prin rapoartele dintre tensiunile de intrare și de ieșire din linie,  $\frac{U_1}{U_2} = k$ ;

— topograma defazajelor tensiunii necunoscute, alcătuită dintr-un fascicul de drepte concentrice în punctul  $O$ , gradate în grade, cu ajutorul căreia se determină direct unghiul  $\theta$  dintre cele două tensiuni;

— topograma pierderilor de putere activă și reactivă, reprezentate prin familii de cercuri concentrice ale căror centre sînt situate pe axa tensiunii la sosire (netrasate pe figura 3.8).

Orice regim de funcționare la extremitatea receptoare, definit prin puterea activă  $P_2$  și cea reactivă  $Q_2$ , absorbite sub o tensiune constantă  $U_2$  este reprezentat printr-un punct  $M$  prin care trec:

— un cerc de egală tensiune care fixează valoarea relativă sau absolută a tensiunii  $U_1$  la plecare, în modul;

— o dreaptă de egal defazaj care dă valoarea unghiului  $\theta$  dintre tensiunea de la ieșirea și cea de la intrarea în linie;

— un cerc al pierderilor de putere activă care corespunde unor valori  $p = \text{const.}$  și un cerc al pierderilor de putere reactivă, care corespunde unor valori  $q = \text{const.}$

Puterile la intrarea în linie, pentru un anumit regim de funcționare, vor fi date de relațiile:

$$P_1 = P_2 + p \text{ și } Q_1 = Q_2 + q.$$

Cunoscînd  $P_1$ ,  $Q_1$  și  $U_1$  se poate calcula  $I_1$  și factorul de putere corespunzător,  $\cos \varphi$ . De asemenea, se pot calcula randamentul de funcționare al transportului de putere, precum și căderile de tensiune în linie.

După cum se vede din figura 3.8 se carioiază toate cele patru cadrane ale puterilor. Prin convenție, puterile active și reactive sînt pozitive cînd ele au sensul de curgere către extremitatea unde regimul este cunoscut.

### b. Diagramele circulare ale liniilor (diagramele cu doi poli)

În cazurile mai complicate ale unor instalații de transport reprezentate prin cuadripoli nesimetrice sau când, de exemplu, se dau puterile  $P_2$  și  $Q_2$  la extremitatea de ieșire și  $U_1$  la extremitatea de intrare în linie, este avantajos să se utilizeze *diagramele cu doi poli* sau *diagramele circulare*.

Pentru trasarea acestora se folosesc relațiile de definiție ale puterilor monofazate, la intrarea și la ieșirea din linie:

$$S_1 = \underline{U}_1 I_1^* = P_1 + jQ_1 \quad \text{și} \quad S_2 = \underline{U}_2 I_2^* = P_2 + jQ_2, \quad (3.60)$$

în care  $I_1$  și  $I_2$  se exprimă ca funcții de tensiunile  $\underline{U}_1$  și  $\underline{U}_2$  considerate cunoscute, sub forma:

$$I_1 = \frac{D}{B} \underline{U}_1 - \frac{U_2}{B} \quad \text{și} \quad I_2 = \frac{U_1}{B} - \frac{A}{B} \underline{U}_2. \quad (3.61)$$

Folosind relația (3.61) în (3.60) se poate scrie că:

$$S_1 = \underline{U}_1^2 \frac{D^*}{B^*} - \frac{\underline{U}_1 U_2^*}{B^*} C_1 |\underline{\beta} - \underline{\delta} - R| \underline{\beta} + \underline{\theta}; \quad (3.62)$$

$$S_2 = -\underline{U}_2^2 \frac{A^*}{B^*} + \frac{\underline{U}_1^* U_2}{B^*} = -C_2 |\underline{\beta} - \underline{\alpha} + R| \underline{\beta} - \underline{\theta},$$

în care s-a considerat  $\underline{U}_2$  ca origine de fază și  $\underline{U}_1 = U_1 |\underline{\theta}$  și s-au făcut notațiile generale:

$$C_1 = U_1^2 \frac{D}{B}; \quad C_2 = U_2^2 \frac{A}{B} \quad \text{și} \quad R = \frac{U_1 U_2}{B}.$$

Din aceste relații se pot determina analitic și reprezenta grafic puterile active și reactive la bornele de intrare și de ieșire ale liniei, ale căror valori sînt:

$$P_1 = C_1 \cos(\beta - \delta) - R \cos(\beta + \theta) = U_1 \frac{D}{B} \cos(\beta - \delta) - \frac{U_1 U_2}{B} \cos(\beta + \theta);$$

$$Q_1 = C_1 \sin(\beta - \delta) - R \sin(\beta + \theta) = U_1^2 \frac{D}{B} \sin(\beta - \delta) - \frac{U_1 U_2}{B} \sin(\beta + \theta); \quad (3.63)$$

$$P_2 = -C_2 \cos(\beta - \alpha) + R \cos(\beta - \theta) = -U_2^2 \frac{A}{B} \cos(\beta - \alpha) + \frac{U_1 U_2}{B} \cos(\beta - \theta);$$

$$Q_2 = -C_2 \sin(\beta - \alpha) + R \sin(\beta - \theta) = -U_2^2 \frac{A}{B} \sin(\beta - \alpha) + \frac{U_1 U_2}{B} \sin(\beta - \theta).$$

Aceste relații arată că dacă  $U_1$  și  $U_2$  sînt constante, singura variabilă este unghiul  $\theta$ . În consecință, ele exprimă grafic locul geometric după care variază puterile active și reactive la intrarea și la ieșirea din linie, în funcție de unghiul  $\theta$ . Trasarea acestui loc geometric este făcută în figura 3.9 pentru care s-au folosit ecuațiile fazoriale ale puterilor (3.62), în care fazorii  $\underline{C}_1$  și  $\underline{C}_2$  sînt constanți ca mărime și fază, în timp ce fazorii  $\underline{R}_1$  și  $\underline{R}_2$  sînt constanți ca mărime, însă cu fază variabilă. După cum se observă din figură, fazorii  $\underline{S}_1$  și  $\underline{S}_2$  se deplasează pe cercuri de rază  $R = \frac{U_1 U_2}{B}$ , care constituie diagramele circulare de putere ale liniei.

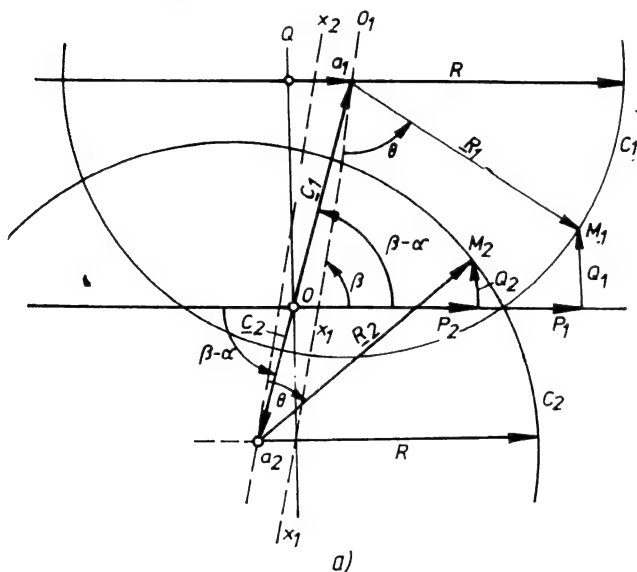
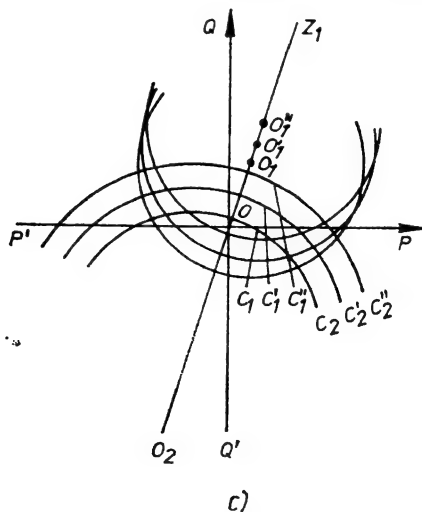
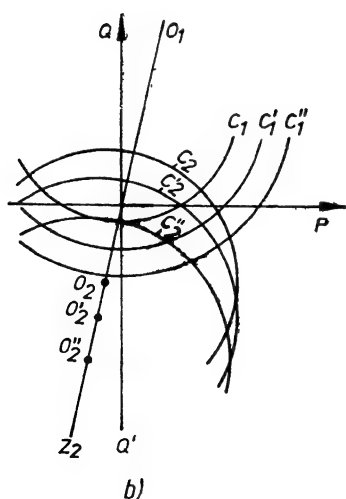


Fig. 3.9. Diagramele circulare ale liniilor electrice lungi:

$a - U_1$  și  $U_2$  constante;  $b - U_1 =$   
 $=$  constant și  $U_2 =$  variabil;  $c - U_1 =$   
 $=$  variabil și  $U_2 =$  constant.





La creșterea unghiului  $\theta$  fazorul  $R$  se rotește în sens contrar acelor unui ceasornic pe cercul mărimilor de intrare și în același sens cu acele unui ceasornic, pe cercul mărimilor de ieșire din linie. Coordonatele centrelor cercurilor  $c_1$  și  $c_2$ , corespund punctelor  $O_1$  și  $O_2$  care sînt fixate de fazorii  $\underline{C}_1$  și  $\underline{C}_2$ .

Regimul de funcționare la extremitatea de intrare este determinat de punctul  $M_1$  de pe cercul  $c_1$ , iar cel de la extremitatea de ieșire corespunde punctului  $M_2$  de pe cercul  $c_2$ . Puterile active și reactive reprezintă proiecțiile fazorilor  $\underline{S}_1$  și  $\underline{S}_2$  pe axa reală și imaginară și, dacă diagrama este întocmită în unități de măsură, ele se măsoară direct. Dreptele  $\overline{O_1x_1}$  și  $\overline{O_2x_2}$  fac unghiul  $\beta$  cu axa  $\overline{OP}$ , iar unghiurile  $\widehat{x_1O_1M_1}$  și  $\widehat{x_2O_2M_2}$  reprezintă defazajul dintre tensiunile de intrare și de ieșire din linie.

Diagramele circulare trasate în figura 3.9 permit să se tragă următoarele concluzii.

1. Centrele  $O_1$  și  $O_2$  ale cercurilor sînt coliniare numai dacă  $\beta - \alpha = \beta - \delta$ , adică dacă  $\underline{A} = \underline{D}$  (cuadripol simetric).

2. Puterile active și reactive la intrarea și la ieșirea din linie cresc cu unghiul  $\theta$  și ating valorile maxime cînd fazorul  $R$  se află în poziție orizontală. Dacă se notează cu  $a_1$  și  $a_2$  coordonatele după axa reală ale centrelor  $O_1$  și  $O_2$  (părțile reale ale fazorilor  $\underline{C}_1$  și  $\underline{C}_2$ ), rezultă că:

$$P_{1\max} = a_1 + R = U_1^2 \frac{D}{B} \cos(\beta - \delta) + \frac{U_1 U_2}{B}; \quad (3.64)$$

$$P_{2\max} = -a_2 + R = -U_2^2 \frac{A}{B} \cos(\beta - \alpha) + \frac{U_1 U_2}{B}.$$

3. Poziția centrului  $O_1$  este fixată de valoarea tensiunii  $U_1$  și aceea a centrului  $O_2$  de valoarea tensiunii  $U_2$ . Dacă mărimea  $U_1$  este fixată și se variază  $U_2$ , se obține o dublă familie de cercuri: cercurile  $c_1, c_1', c_1'' \dots$  sînt concentrice, în timp ce centrele  $O_2, O_2', O_2''$  ale cercurilor  $c_2, c_2', c_2''$  se deplasează pe o dreaptă fixă  $\overline{OZ_2}$ , ca în figura 3.9, b. Reciproc, dacă  $U_2$  este menținută constantă și  $U_1$  se variază, cercurile  $c_2, c_2', c_2'' \dots$  sînt concentrice, în timp ce centrele  $O_1, O_1', O_1''$  ale cercurilor  $c_1, c_1', c_1'' \dots$  sînt situate pe dreapta fixă  $\overline{OZ_1}$ , ca în figura 3.9, c.

4. Dacă liniile sînt considerate fără pierderi, partea reală a cantităților complexe  $C$  este nulă. În consecință, centrele diagramelor circulare sînt situate pe axa mărimilor imaginare, iar valoarea puterilor transmise este egală cu raza diagramelor circulare. În cazul unor astfel de linii, puterea la ieșire este egală cu puterea la intrarea în linie.

### 3.3. REGIMURI DE FUNCȚIONARE A LINIILOR ELECTRICE LUNGI

Regimurile de funcționare ale liniilor electrice lungi se pot studia ținînd seama de unul din următorii trei factori: *gradul de încărcare cu putere activă și reactivă, nivelul tensiunilor la cele două capete și lungimea lor în raport cu lungimea de undă.*

### 3.3.1. FUNCȚIONAREA LINIILOR LUNGI ÎN DIFERITE REGIMURI DE ÎNCĂRCARE

În acest caz se va studia *funcționarea liniilor în regim caracteristic*, când închiderea acestora se face pe o impedanță egală cu impedanța caracteristică și *funcționarea liniilor în gol*, când impedanța de închidere este practic infinită. Aceste două regimuri prezintă un interes practic, deoarece pun în evidență anumite aspecte fizice, care sînt legate de elemente de proiectare și de exploatare a liniilor.

*Funcționarea liniilor în regim de scurtcircuit*, când impedanța de închidere este teoretic nulă, nu prezintă un interes practic, deoarece această situație este întîlnită în mod excepțional în cazul unor încercări de recepție. De aceea, vor fi amintite numai anumite rezultate care vor permite interpretarea unor fenomene fizice.

3.3.1.1. *Funcționarea liniilor electrice în regim caracteristic*. Se reiau ecuațiile de funcționare ale unei linii electrice sub forma:

$$\underline{U} = \underline{U}_2 \operatorname{ch} \underline{\gamma} x' + \underline{Z}_c \underline{I}_2 \operatorname{sh} \underline{\gamma} x';$$

$$\underline{I} = \frac{\underline{U}_2}{\underline{Z}_c} \operatorname{sh} \underline{\gamma} x' + \underline{I}_2 \operatorname{ch} \underline{\gamma} x'$$

și se consideră că linia alimentează un consumator, a cărui impedanță  $\underline{Z} = \underline{Z}_c$ . Evident că tensiunea liniei la capătul de alimentare al consumatorului are valoarea  $\underline{U}_2 = \underline{Z}_c \underline{I}_2$ . Luînd  $\underline{U}_2$  ca origine de fază rezultă că  $\varphi_2 = -\psi$ , adică argumentul impedanței caracteristice este egal și de semn contrar cu argumentul curentului absorbit de consumator. În aceste condiții, ecuațiile de funcționare ale liniei devin:

$$\underline{U} = \underline{U}_2 (\operatorname{ch} \underline{\gamma} x' + \operatorname{sh} \underline{\gamma} x') = \underline{U}_2 e^{\underline{\gamma} x'};$$
(3.65)

$$\underline{I} = \frac{\underline{U}_2}{\underline{Z}_c} (\operatorname{ch} \underline{\gamma} x' + \operatorname{sh} \underline{\gamma} x') = \underline{I}_2 e^{\underline{\gamma} x'},$$

care arată că există un *regim particular* pentru care tensiunea și curenții *conservă în lungul liniei același raport* egal cu impedanța caracteristică. Defazajul dintre acestea este de asemenea constant și egal cu argumentul impedanței caracteristice.

Valoarea efectivă a tensiunii și curentului se determină scriind modulul ecuațiilor (3.65), adică:

$$U = U_2 e^{\alpha x'} \text{ și } I = I_2 e^{\alpha x'}$$
(3.66)

și arată că variază exponențial în lungul liniei.

Pentru capătul de intrare al liniei ( $x' = l$ ) relațiile (3.65) devin:

$$\underline{U}_1 = \underline{U}_2 e^{\underline{\gamma} l} = \underline{Z}_c \underline{I}_2 e^{\underline{\gamma} l};$$
(3.67)

$$\underline{I}_1 = \underline{I}_2 e^{\underline{\gamma} l} = \frac{\underline{U}_2}{\underline{Z}_c} e^{\underline{\gamma} l}$$

și raportul dintre cele două mărimi este evident egal cu impedanța caracteristică.

Dacă se exprimă tensiunea și curentul pe linie în funcție de mărimile de intrare, se poate pune în evidență un fenomen important și anume că, în cazul când linia funcționează în regim caracteristic, de-a lungul acesteia nu există unde reflectate, ceea ce are influență asupra pierderilor de putere.

Într-adevăr, se poate scrie că:

$$\begin{aligned} U &= U_1 e^{-\gamma(l-x)} = e^{-\alpha(l-x)} \cdot U_1 |_{-\beta(l-x)}; \\ I &= \frac{U_1}{Z_c} e^{-\gamma(l-x)} = e^{-\alpha(l-x)} \cdot \frac{U_1}{Z_c} |_{-\beta(l-x) - \psi} \end{aligned} \quad (3.68)$$

adică, cele două mărimi, tensiunea și curentul, pot fi reprezentate printr-un singur fazor al cărui modul scade exponențial cu distanța de la sursă la consumator; fazorul de curent este defazat cu unghiul  $\psi$  în urma tensiunii, acest argument variind proporțional cu distanța respectivă.

Dacă se exprimă relațiile (3.68) în valori instantanee se determină că:

$$\begin{aligned} u &= \sqrt{2} U_1 e^{-\alpha(l-x)} \cdot \cos [\omega t - \beta(l-x)]; \\ i &= \sqrt{2} \frac{U_1}{Z_c} e^{-\alpha(l-x)} \cdot \cos [\omega t - \beta(l-x) - \psi], \end{aligned} \quad (3.69)$$

adică tensiunea și curentul sînt reprezentate numai prin unda directă, unda reflectată anulîndu-se. În aceste condiții linia se comportă ca o linie de lungime infinită, transmiterea de putere în lungul ei de la sursă la consumator, efectuîndu-se numai prin unde directe, fapt care conduce la micșorarea pierderilor de putere.

Puterea monofazăată într-un punct oarecare al liniei se determină cu relația:

$$S_c = P_c + jQ_c = U \cdot I^* = \frac{U^2}{Z_c} (\cos \psi + j \sin \psi), \quad (3.70)$$

care reprezintă o putere aparentă caracteristică, cu componentele ei, activă și reactivă.

Conform acestei ultime relații rezultă:

— pentru intrarea în linie ( $x' = l$ ):

$$P_{1c} = \frac{U_1^2}{Z_c} \cos \psi; \quad Q_{1c} = \frac{U_1^2}{Z_c} \sin \psi; \quad (3.71)$$

— pentru ieșirea din linie ( $x' = 0$ ):

$$P_{2c} = \frac{U_2^2}{Z_c} \cos \psi; \quad Q_{2c} = \frac{U_2^2}{Z_c} \cdot \sin \psi. \quad (3.72)$$

Puterea activă de la extremitatea receptoare a liniei din relația (3.72) se numește *puterea caracteristică* sau *puterea naturală a liniei*. Conform celor arătate mai sus ea se transportă numai prin unde directe de curent și de tensiune.

În cazul liniei ideale fără pierderi  $R_0 = G_0 = 0$ , evident că  $\psi = 0^*$ , impedanța caracteristică reprezintă o mărime reală de natura unei rezistențe ohmice, iar tensiunea și curentul sînt în fază pe linie, adică maximele și minimele undelor de tensiune și de curent coincid în spațiu și timp. Aceste unde se deplasează în lungul liniei cu viteza  $\frac{\omega}{\beta}$ , egală cu viteza luminii.

Partea reală a constantei de propagare  $\gamma$ , din relațiile (3.67) se anulează, iar modulele tensiunii și curentului sînt constante în lungul liniei, adică cele două mărimi își conservă valorile. În aceste condiții, puterea naturală a liniei are valoarea:

$$P_{nat} = \frac{U_2^2}{Z_c}. \quad (3.73)$$

Cînd se realizează acest regim, în fiecare punct al liniei, energia electrostatică,  $\frac{1}{2} C_0 dx U^2$  și energia electromagnetică,  $\frac{1}{2} L_0 dx I^2$ , se compensează reciproc, adică punctele în care intensitățile cîmpurilor, magnetic și electric, sînt maxime sau minime coincid. Transportul de energie se face ca și în curent continuu; în acest caz se zice că linia este *autocompensată*.

Puterea naturală a unei linii electrice reprezintă o dată foarte importantă, cu ajutorul căreia se poate indica, orientativ, în fiecare caz particular, tensiunea de serviciu, care trebuie acceptată în condiții tehnice și economice avantajoase, pentru a transporta o putere determinată. Ținînd seama că impedanța caracteristică a liniilor aeriene cu un singur conductor pe fază este practic independentă de tipul liniei și egală aproximativ cu 400  $\Omega$ , iar impedanța caracteristică a liniilor subterane este de circa 10 ori mai mică, rezultă că puterea naturală depinde aproape exclusiv de tensiunea nominală. În general, se pot estima următoarele puteri naturale ale liniilor electrice aeriene (cablu), calculate cu relația (3.73):

- pentru tensiunea de 110 kV:  $P_{nat} = 30$  MW (300 MW);
- pentru tensiunea de 220 kV:  $P_{nat} = 120$  MW (1200 MW);
- pentru tensiunea de 400 kV:  $P_{nat} = 400$  MW.

Cifrele din paranteze corespund liniilor electrice subterane. În cazul liniilor electrice aeriene echipate cu conductoare fasciculate, ținînd seama că impedanța caracteristică este mai mică cu 25 ÷ 40 % în raport cu valoarea de mai sus, puterea naturală crește corespunzător. De exemplu, pentru tensiunile de 220 kV și 400 kV, puterile naturale cresc în funcție de numărul conductoarelor folosite pe fiecare fază, pînă la valori de ordinul a 160 ÷ 170 MW, respectiv 550 ÷ 600 MW.

---

\* Aceeași condiție  $\psi = 0$  există și în cazul cînd se îndeplinește condiția lui Heaviside pentru linii lungi:  $\frac{R_0}{L_0} = \frac{G_0}{C_0}$ .

3.3.1.2. *Funcționarea liniilor electrice în gol.* Uneori, liniile electrice de înaltă tensiune funcționează cu capătul de la receptor deschis, ceea ce face ca ele să se comporte ca o capacitate, generând o anumită putere reactivă și contribuind la îmbunătățirea nivelului de tensiune în rețele.

În aceste condiții ( $I_2 = 0$  și  $Z_2 = \infty$ ), condițiile generale de funcționare ale liniei, devin:

$$\underline{U}_{10} = \underline{A} \underline{U}_{20} = \underline{U}_{20} \operatorname{ch} \underline{\gamma} l;$$

$$\underline{I}_{10} = \underline{C} \underline{U}_{20} = \frac{\underline{U}_{20}}{\underline{Z}_c} \operatorname{sh} \underline{\gamma} l = \frac{\underline{C}}{\underline{A}} \underline{U}_{10}.$$

Deoarece la o linie în gol tensiunea crește către capătul deschis, este interesant de urmărit variația raportului dintre tensiuni și de pus în evidență anumite aspecte fizice. Astfel, ținând seama de valoarea coeficienților liniilor lungi, se pot scrie următoarele relații:

$$\frac{\underline{U}_{10}}{\underline{U}_{20}} = \underline{A} = \cos \frac{2\pi l}{\lambda} + j \frac{R}{2Z_c} \sin \frac{2\pi l}{\lambda};$$

$$\left| \frac{\underline{U}_{10}}{\underline{U}_{20}} \right| = \sqrt{\cos^2 \frac{2\pi l}{\lambda} + \frac{R^2}{4Z_c^2} \sin^2 \frac{2\pi l}{\lambda}};$$

$$\operatorname{tg} \theta = \frac{R}{2Z_c} \operatorname{tg} \frac{2\pi l}{Z_c}.$$
(3.74)

Raportul  $\frac{R}{2Z_c}$  este foarte mic, astfel încît se poate considera că raportul modulelor tensiunilor  $\frac{U_{10}}{U_{20}} \approx \cos \frac{2\pi l}{\lambda}$ . În aceste condiții reies următoarele aspecte importante.

a. Pentru lungimi de linii apropiate de  $\frac{\lambda}{4}$  și  $3 \frac{\lambda}{4}$ , raportul dintre cele două tensiuni este foarte mic. Altfel spus, dacă la plecare tensiunea este constantă și are o anumită valoare, la sosire valoarea acesteia crește foarte mult. Această creștere este diminuată numai de rezistența conductoarelor și de pierderile corona, care, datorită tensiunii critice, cresc foarte mult.

b. Cînd lungimea liniilor este apropiată de  $\frac{\lambda}{2}$  sau  $\lambda$ , tensiunile la cele două capete rămîn aproximativ egale, ceea ce nu înseamnă că pe linie tensiunea rămîne aceeași.

c. Unghiul  $\theta$  de stabilitate, care reprezintă defazajul dintre  $U_1$  și  $U_2$ , crește continuu cu lungimea liniei, ajungînd la valoarea de  $360^\circ$ , pentru  $l = \lambda$  și de  $180^\circ$  (în opoziție de fază), pentru  $l = \frac{\lambda}{2}$ .

Curentul la intrarea în linie are valoarea:

$$I_{10} = CU_{20} = U_{10} \cdot \frac{C}{A} = \frac{Y \cdot U_{10}}{1 + \frac{ZY}{2!} + \frac{Z^2 Y^2}{4!} + \dots}$$

sau, considerînd numai primii doi termeni ai dezvoltării în serie și neglijînd pierderile:

$$I_{10} = jU_{10}\omega l C_0 \frac{1 - \frac{\omega^2 L_0 C_0}{2} l^2}{1 - \frac{\omega^2 L_0 C_0}{2} l^2} = j\omega l C_0 U_{10} F(l^2), \quad (3.75)$$

în care:

$$F(l^2) = \frac{1 - \frac{\omega^2 L_0 C_0}{2} l^2}{1 - \frac{\omega^2 L_0 C_0}{2} l^2} > 1.$$

Relația (3.75) pune în evidență faptul că curentul de mers în gol al unei linii electrice se poate considera *aproximativ egal cu curentul de încărcare al unui condensator, a cărui capacitate corespunde capacității totale a liniei*, căruia i se aplică tensiunea  $U_{10}$ , multiplicată printr-un factor care este funcție de pătratul lungimii liniei respective. Acest factor se poate neglija pentru lungimi de linie pînă la 500 km, deoarece valoarea lui depășește cu pînă la 10÷11% valoarea unitară. În cazul unor lungimi de ordinul a 1 000 km, el nu se mai poate neglija, deoarece valoarea lui este mai mare decît unitatea cu peste 80%.

Puterile monofazate activă și reactivă, cînd linia funcționează în gol, reies din relația generală:

$$S_{10} = P_{10} + j Q_{10} = U_{10} \cdot I_{10}^* = AC^* \cdot U_{20}^2 = \frac{C^*}{A^*} U_{10}^2,$$

din care se poate scrie că:

$$\begin{aligned} P_{10} &= AC U_{20}^2 \cos(\alpha - \eta) = \frac{C}{A} U_{10}^2 \cos(\alpha - \eta); \\ Q_{10} &= AC U_{20}^2 \sin(\alpha - \eta) = \frac{C}{A} U_{10}^2 \sin(\alpha - \eta), \end{aligned} \quad (3.76)$$

unde s-a ținut seama că:

$$A = A|_{\alpha} \text{ și } C = C|_{\eta}.$$

În general însă,  $\alpha$  este foarte mic și pozitiv, iar  $\eta$  este apropiat de  $90^\circ$ . În aceste condiții, puterea activă  $P_{10}$  este foarte redusă și corespunde numai pierderilor de putere prin efect Joule la trecerea curentului capacitiv prin linie și pierderilor prin conductanța laterală. Acceptându-se aceleași dezvoltări în serie ale constantelor  $A$  și  $C$ , se determină pentru puterea reactivă următoarea valoare:

$$Q_{10} = -\omega C_0 l U_{10}^2 \frac{1 - \frac{\omega^2 L_0 C_0}{2} l^2}{1 - \frac{\omega^2 L_0 C_0}{6} l^2} = -\omega C_0 l U_{10}^2 F(l^2) \quad (3.77)$$

adică, puterea reactivă a unei linii electrice care funcționează în gol este negativă, fiind îndreptată spre capătul de alimentare. Cu alte cuvinte, o linie electrică funcționând în gol, se comportă ca un generator de putere reactivă (un condensator de capacitate  $C_0 l$ ) pe care o furnizează sistemului de alimentare.

3.3.1.3. *Funcționarea liniilor electrice în scurtcircuit.* În acest caz, ecuațiile de funcționare ale liniei sînt:

$$U_{1k} = \underline{B} I_2 = \underline{Z}_c I_2 \operatorname{sh} \gamma l; \quad I_{1k} = \underline{A} I_2 = I_2 \operatorname{ch} \gamma l.$$

Folosind ultimele relații, dezvoltînd în serie coeficienții  $\underline{A}$  și  $\underline{B}$ , din care se consideră numai primii doi termeni și neglijînd pierderile, se poate scrie că:

$$I_{1k} = \frac{U_{1k}}{j\omega L_0 l} \frac{1 - \frac{\omega^2 L_0 C_0}{2} l^2}{1 - \frac{\omega^2 L_0 C_0}{6} l^2} = -j \frac{U_{1k}}{\omega L_0 l} F^{(-1)}(l^2),$$

adică curentul absorbit de linie în regim de scurtcircuit este pur inductiv și are intensitatea proporțională cu pătratul lungimii liniei. Cu alte cuvinte, linia se comportă ca un receptor de putere reactivă, pe care o absoarbe din sistemul de alimentare.

Puterile, activă și reactivă, de scurtcircuit reies din relația generală:

$$S_{1k} = \underline{U}_{1k} \cdot \underline{I}_{1k}^* = P_{1k} + jQ_{1k} = \underline{A}^* \cdot \underline{B} I_2^2 = \frac{\underline{B}}{\underline{A}} I_{1k}^2$$

sub forma:

$$\begin{aligned} P_{1k} &= A B I_2^2 \cos(\beta - \alpha) = \frac{B}{A} I_{1k}^2 \cdot \cos(\beta - \alpha); \\ Q_{1k} &= A B I_2^2 \sin(\beta - \alpha) = \frac{B}{A} I_{1k}^2 \cdot \sin(\beta - \alpha), \end{aligned} \quad (3.78)$$

în care s-a considerat:

$$\underline{A} = A|_{\underline{\alpha}} \text{ și } \underline{B} = B|_{\underline{\beta}}.$$

Deoarece  $\alpha$  este foarte mic și pozitiv și  $\beta$  este apropiat de  $90^\circ$ , rezultă că puterea activă a liniei în regim de scurtcircuit este foarte redusă și corespunde numai pierderilor în conductanța laterală și celor prin efect Joule determinate de trecerea curentului inductiv prin linie.

### 3.3.2. FUNCȚIONAREA LINIILOR CU DIFERITE LUNGIMI

În acest caz, se vor prezenta liniile cu lungimea egală cu un sfert de lungime de undă  $\left(l = \frac{\lambda}{4}\right)$  și cele cu lungimea egală cu jumătate de lungime de undă  $\left(l = \frac{\lambda}{2}\right)$ .

3.3.2.1. *Linii sfert de undă.* Dacă se ține seama de coeficienții  $A$ ,  $B$ , și  $C$  exprimați prin relațiile (3.59, b) atunci ecuațiile de funcționare ale unei astfel de linii, devin:

$$\begin{aligned} U_1 &= j \frac{R_0}{8Z_c} U_2 + \left( j Z_c - \frac{R_0 \lambda}{4\pi} \right) I_2; \\ I_1 &= \left( -\frac{R_0}{2Z_0 Z_c} + j \frac{2\pi}{Z_0 \lambda} \right) U_2 + j \frac{R_0 \lambda}{8Z_c} I_2. \end{aligned} \quad (3.79)$$

Pentru valorile practice care intervin în definirea coeficienților  $B$  și  $C$ , se constată că părțile reale sînt mult mai mici decît cele imaginare și, ca urmare, ele se pot neglija, ceea ce este echivalent cu neglijarea rezistenței liniei. În aceste condiții  $X_0 \approx Z_0$ , partea imaginară a coeficientului  $C$  devine egală cu  $\frac{1}{Z_c}$ , iar ecuațiile (3.79) sînt de forma:

$$U_1 \approx j Z_c I_2 \text{ și } I_1 = j \frac{U_2}{Z_c}. \quad (3.80)$$

care reprezintă condiții de funcționare neașteptate. Tensiunea  $U_1$  este independentă de  $U_2$ , însă direct proporțională cu curentul  $I_2$  de la ieșirea din linie, iar curentul  $I_1$  este independent de  $I_2$ , însă este direct proporțional cu tensiunea de la ieșirea din linie. Dacă tensiunea  $U_2$  este menținută constantă la receptor, curentul la sursă trebuie să fie constant și invers, dacă tensiunea sursei  $U_1$  se menține constantă, atunci curentul la receptor este constant. În consecință, o linie cu lungimea egală cu un sfert de lungime de undă și cu pierderi neglijabile transformă transportul de energie cu tensiune constantă într-unul cu curent constant și invers.

Îndeplinirea acestor condiții ridică unele dificultăți tehnice principale de funcționare, menționate în cele ce urmează.

a. Cînd tensiunea  $U_1$  este menținută constantă printr-un procedeu de reglare oarecare, rezultă că curentul  $I_2 = \text{const.}$ , oricare ar fi impedanța de sarcină  $Z_2$ . Dacă, din întîmplare, linia este întreruptă la capătul receptor ( $Z_2 = \infty$ ), tensiunea  $U_{20} = Z_2 I_{20}$  din acest punct crește foarte mult (efectul



Ferranti). Concluzia practică imediată este că deschiderea bruscă a unei linii la extremitatea receptoare, cînd ea se află sub sarcină, constituie un fapt foarte periculos, deoarece linia funcționează ca un circuit în gol cu o tensiune considerabil crescută în acest punct.

b. În condițiile date, puterea la intrare este egală cu puterea la ieșirea din linie. Considerînd, de exemplu, factorul de putere al consumatorului egal cu unitatea, rezultă:

$$S_2 = P_2 = U_2 I_2 = U_2 \frac{U_1}{Z_c}. \quad (3.81)$$

Dacă  $U_2 = \text{const.}$  și  $I_1 = \text{const.}$ , atunci puterea transmisă se poate regla numai prin variația tensiunii  $U_1$ . Practic, aceste condiții s-ar putea asigura printr-o conectare în serie a înfășurărilor secundare ale transformatoarelor ridicătoare și prin reglarea în limite largi a tensiunii înfășurărilor primare, ceea ce constituie soluții neuzuale. Pentru creșterea puterii transmise este necesară reducerea impedanței caracteristice, care se poate asigura prin mărirea capacității sau micșorarea inductanței liniei, montînd condensatoare sau bobine în paralel pe linie. Această operație este cunoscută sub numele general de *compensare a parametrilor liniei*.

Acest lucru prezintă însă o serie de dezavantaje, printre care și micșorarea randamentului sursei, ca urmare a creșterii intensității curentului care trebuie menținut constant.

c. Dacă sarcina liniei este egală cu puterea naturală, atunci tensiunile  $U_1$  și  $U_2$  sînt egale în valoare absolută însă defazate cu  $90^\circ$ , adică  $U_1 = = j U_2 = j \sqrt{P_{nat}/Z_c}$ . Cînd puterea transportată este mai mică decît puterea naturală, tensiunea la intrare și în orice punct de pe linie este mai mică decît tensiunea de la ieșire. Dimpotrivă, cînd puterea transportată este mai mare decît puterea naturală, atunci tensiunea la intrare și în orice punct pe linie este mai mare decît tensiunea la ieșire, ceea ce impune condiții speciale de alegere a nivelului de izolație.

d. Cînd unghiul  $\theta$  de stabilitate dintre tensiunile  $U_1$  și  $U_2$  tinde către  $90^\circ$ , factorul de putere crește și poate atinge teoretic, valoarea unitară. În aceste condiții, *linia funcționează la limita stabilității statice, indiferent de valoarea puterii transportate*. Într-adevăr, din expresia:

$$S_1 = U_1 I_1^* = \frac{U_1 U_2}{Z_c} |\theta - 90^\circ|,$$

rezultă imediat că:

$$P_1 = \frac{U_1 U_2}{Z_c} \cos (\theta - 90^\circ) = \frac{U_1 U_2}{Z_c} \sin \theta, \quad (3.82)$$

care arată că pentru  $\theta = 90^\circ$ , *puterea transportată reprezintă o limită superioară* \*. În acest caz, oricît de mici ar fi reactanțele generatoarelor și transformatoarelor, care condiționează unghiul  $\theta$ , stabilitatea funcționării în paralel a sursei generatoare și consumatorului, sau a celor două sisteme

---

\* Vezi și capitolul 9 de stabilitate a sistemelor electrice

interconectate printr-o linie lungă, poate fi compromisă. Această stabilitate poate fi îmbunătățită numai în cazul când  $I_2$  are o componentă reactivă mare, fapt care impune utilizarea unor instalații de producere de putere reactivă — compensatoare sincrone sau condensatoare.

Din cele relatate rezultă că o linie lungă cu lungimea egală cu un sfert de lungime de undă are multe dezavantaje. Ea *nu poate fi utilizată pentru interconexiunea sistemului și nu permite executarea unor derivații pentru eventuale distribuții de putere de-a lungul traseului ei*. În consecință, un astfel de sistem de transport nu trebuie folosit, conducând la condiții de funcționare inacceptabile din punct de vedere tehnic.

3.3.2.2. *Linii jumătate de lungime de undă.* În acest caz, conform relațiilor (3.59, b), coeficienții  $A$ ,  $B$ ,  $C$  au valorile:

$$A = -1; \quad B \approx -\frac{lR_0}{2} = -\frac{\lambda R_0}{4}; \quad C = -\frac{\pi R_0 l}{Z_0 Z_c \lambda} = -\frac{\pi R_0}{2Z_0 Z_c},$$

iar ecuațiile de funcționare a liniilor devin:

$$U_1 = -U_2 - \frac{lR_0}{2} I_2 \quad \text{și} \quad I_1 = -\frac{\pi R_0}{2Z_0 Z_c} U_2 - I_2. \quad (3.83, a)$$

Dacă se neglijează pierderile:

$$U_1 = -U_2 \quad \text{și} \quad I_1 = -I_2, \quad (3.83, b)$$

ceea ce arată că pentru orice sarcină a liniei, *atât tensiunile, cât și curenții la cele două capete ale acesteia sînt aproximativ egali și în opoziție de fază*. Analiza rezultatelor permite să se pună în evidență următoarele rezultate.

a. Dacă tensiunea  $U_2$  se menține constantă (deci și  $U_1 = \text{const.}$ ), tensiunea la mijlocul liniei, la mersul în gol, va fi nulă. La mersul în sarcină, tensiunea din acest punct va crește cu sarcina și va atinge o valoare egală cu tensiunea la receptor, când puterea transportată devine egală cu puterea naturală a liniei; la mijlocul acesteia totul se petrece ca în originea liniei sfert de undă, ceea ce permite să se considere că o astfel de linie este formată din două linii sfert de undă înseriate. În cadrul unei diagrame, mărimile electrice variază în funcție de lungimea liniei, ca în figura 3.10, din care se observă că la capătul deschis nu apar supratensiuni, ca în cazul studiat la punctul 3.1, iar punctul de tensiune nulă se poate deplasa către extremitatea de intrare a liniei pe măsură ce sarcina crește.

b. O astfel de linie nu creează dificultăți nici din punctul de vedere al stabilității, deoarece unghiul  $\theta_L = 180^\circ$  dintre tensiunile  $U_1$  și  $U_2$ , nu intervine în expresia puterii active transportate.

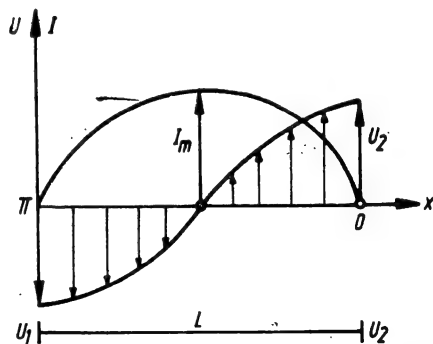


Fig. 3.10. Variația tensiunilor și curenților pe o linie fără pierderi cu  $R_0 = G_0 = 0$ , lungimea egală cu jumătate de lungime de undă.

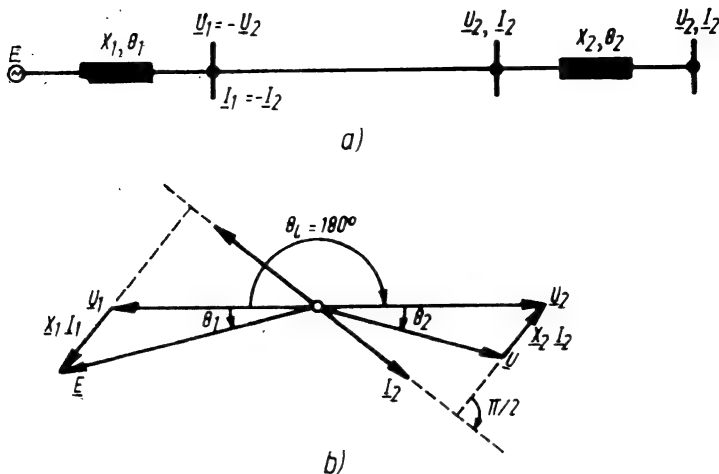


Fig. 3.11. Sistem de transport cu linie cu lungimea  $l = \frac{\lambda}{2}$ :

a - schema echivalentă; b - diagrama fazorială a tensiunilor.

Dacă se presupune, de exemplu, sistemul de transport a cărui schemă echivalentă este dată în figura 3.11,a, se poate arăta că, dacă lungimea liniei  $l = \frac{\lambda}{2}$ , el se comportă ca și când lungimea liniei ar fi zero.

Într-adevăr, pentru sistemul respectiv se pot scrie următoarele relații:

$$U_2 = U + \underline{X}_2 I_2 \text{ și } \underline{E} = U_1 + \underline{X}_1 I_1, \quad (3.84)$$

în care:  $E$  reprezintă tensiunea electromotoare a generatorului;

$X_1$  — reactanța totală a sursei și transformatorului ridicător de tensiune;

$X_2$  — reactanța transformatorului coborîtor de tensiune.

Ținînd seama de relațiile (3.83, b) în (3.84), se obține:

$$\underline{E} = U_1 + \underline{X}_1 I_1 = -U_2 - \underline{X}_1 I_2 = -(U + I_2 \underline{X}_2) - \underline{X}_1 I_2 = -U - I_2 (\underline{X}_1 + \underline{X}_2),$$

din care rezultă curentul sub forma:

$$I_2 = - \frac{\underline{E} + U}{\underline{X}_1 + \underline{X}_2},$$

ceea ce arată că în aprecierea curentului de la consumator, linia nu intervine prin impedanța ei.

Puterea la consumator are valoarea:

$$S_2 = U I_2^* = - \frac{\underline{U} \underline{E}^* + U^2}{\underline{X}_1^* + \underline{X}_2} = - \frac{EU}{X_1 + X_2} |90 - \theta_L - \frac{U^2}{X_1 + X_2} |90,$$

din care reiese că:

$$\begin{aligned} P_2 &= -\frac{EU}{X_1+X_2} \cos(90 - \theta_1) = -\frac{EU}{X_1+X_2} \sin \theta_1 = \\ &= \frac{EU}{X_1+X_2} \sin(\theta_1 + \theta_2); \end{aligned} \quad (3.85)$$

$$\begin{aligned} Q_2 &= -\frac{EU}{X_1+X_2} \sin(90 - \theta_1) - \frac{U^2}{X_1+X_2} \sin 90^\circ = \\ &= \frac{EU}{X_1+X_2} \cos(\theta_1 + \theta_2) - \frac{U^2}{X_1+X_2}, \end{aligned}$$

în care, conform diagramei fazoriale din figura 3.11, b:

$\theta_1$  — reprezintă defazajul dintre tensiunea electromotoare  $\underline{E}$  a generatorului și tensiunea  $\underline{U}_1$  a liniei;

$\theta_2$  — reprezintă defazajul dintre tensiunea  $\underline{U}_2$  și tensiunea  $\underline{U}$ ;

$\theta_t = \theta_1 + \theta_2 + 180^\circ$  — defazajul total dintre tensiunea electromotoare  $\underline{E}$  a generatorului și tensiunea  $\underline{U}$  de la consumator.

Conform primei relații din (3.85), puterea activă transportată pe linie depinde numai de caracteristicile generatoarelor și transformatoarelor  $X_1$ ,  $\theta_1$  și  $X_2$ ,  $\theta_2$ , fiind independentă de caracteristicile liniei.

În concluzie, *liniile cu lungimea egală cu jumătate de lungime de undă, nu prezintă dificultăți din punct de vedere al stabilității și al funcționării în gol*. Prezintă totuși dezavantajul că nu poate fi folosită în sisteme în care urmează să se facă o distribuție de energie de-a lungul ei.

### 3.3.3. FUNCȚIONAREA LINIILOR ELECTRICE LUNGI ÎNCHISE PE O SARCINĂ OARECARE

În regim normal de funcționare liniile electrice de transport sînt închise pe o sarcină oarecare, avînd tensiunile la capete diferite ca modul și ca fază. Uncori, mai ales în cazul liniilor de foarte înaltă tensiune este util să se funcționeze cu tensiunile egale în modul la cele două capete, însă diferite ca fază. În aceste condiții se micșorează pierderile de energie, iar reglarea tensiunii la consumator se poate realiza mai ușor.

O astfel de funcționare impune însă un anumit regim de circulație a puterii reactive pe linii, a cărei valoare va depinde de puterea activă transportată. Analiza acestui mod de funcționare a liniilor se va face mai întîi pentru cazul particular, cînd se vor neglija pierderile și apoi pentru cazul general, cînd se vor lua în considerare pierderile.

**3.3.3.1. Funcționarea liniilor lungi fără pierderi cu tensiuni egale la capete.** Pentru a pune în evidență condițiile tehnice de funcționare a liniilor electrice lungi cu tensiunile la capete egale în modul, se vor considera ecuațiile (3.34), scrise cînd se neglijează constantele  $R_0$  și  $G_0$ ; în acest fel se ușurează analiza calitativă a fenomenelor.

Să presupunem, de exemplu, că se cunosc condițiile de funcționare la consumator, adică tensiunea  $U_2$ , egală în modul cu  $U_1$ , și curentul  $I_2$ . Dacă unghiul de defazaj dintre tensiuni este  $\theta$  și se ia ca origine de fază tensiunea de la consumator, se poate scrie că:

$$U_2 = U_2|_0 \text{ și } U_1 = U_1|_{-\theta} = U_2|_{-\theta} = U_2 (\cos \theta + j \sin \theta).$$

În aceste condiții prima ecuație din (3.34) devine:

$$U_2 (\cos \theta + j \sin \theta) = U_2 \cos \frac{2\pi l}{\lambda} + j Z_c \frac{P_2 - j Q_2}{U_2} \sin \frac{2\pi l}{\lambda}, \quad (3.86)$$

în care s-a ținut seama că:

$$I_2 = \frac{S_2^*}{U_2^*} = \frac{P_2 - j Q_2}{U_2}.$$

Separînd părțile, reală și imaginară, și efectuînd calculele, rezultă:

$$\begin{aligned} U_2^2 \cos \theta &= U_2^2 \cos \frac{2\pi l}{\lambda} + Z_c Q_2 \sin \frac{2\pi l}{\lambda}; \\ U_2^2 \sin \theta &= Z_c P_2 \sin \frac{2\pi l}{\lambda}. \end{aligned} \quad (3.87)$$

Rezolvarea acestui sistem de ecuații în raport cu puterea reactivă  $Q_2$  permite să se determine valoarea acesteia la capătul de ieșire al liniei, astfel încît cele două tensiuni  $U_1$  și  $U_2$  să fie egale în modul. Efectuînd calculele, rezultă:

$$\begin{aligned} Q_2 &= U_2^2 \frac{\sqrt{1 - \frac{P_2^2 Z_c^2}{U_2^4} \sin^2 \frac{2\pi l}{\lambda}} - \cos \frac{2\pi l}{\lambda}}{Z_c \sin \frac{2\pi l}{\lambda}} = \\ &= U_2^2 \frac{\sqrt{1 - \frac{P_2^2}{P_{nat}^2} \sin^2 \frac{2\pi l}{\lambda}} - \cos \frac{2\pi l}{\lambda}}{Z_c \sin \frac{2\pi l}{\lambda}}, \end{aligned} \quad (3.88)$$

în care s-a ținut seama că:

$$\frac{Z_c^2}{U_2^4} = \frac{1}{P_{nat}^2}.$$

Puterea reactivă la intrarea în linie se determină în mod analog. De data aceasta însă se consideră cunoscute mărimile de la intrarea în linie, iar tensiunea  $U_1$  origine de fază, obținîndu-se:

$$U_1 = U_1|_0; \quad U_2 = U_2|_{-\theta} = U_1|_{-\theta} = U_1 (\cos \theta - j \sin \theta);$$

$$U_1 (\cos \theta - j \sin \theta) = U_1 \cos \frac{2\pi l}{\lambda} - j Z_c \frac{P_1 - j Q_1}{U_1} \sin \frac{2\pi l}{\lambda};$$

în care:

$$I_1 = \frac{S_1^*}{U_1^*} = \frac{P_1 - jQ_1}{U_1}.$$

Separînd părțile, reală și imaginară, și rezolvînd în raport cu  $Q_1$ , rezultă:

$$Q_1 = -U_1^2 \frac{\sqrt{1 - \frac{P_1^2}{P_{nat}^2} \sin^2 \frac{2\pi l}{\lambda}} - \cos \frac{2\pi l}{\lambda}}{Z_c \sin \frac{2\pi l}{\lambda}}. \quad (3.89)$$

Ținînd seama că în condițiile date  $P_1 = P_2$  ( $R_0 = G_0 = 0$ ), rezultă din compararea relațiilor (3.88) și (3.89) că  $Q_1 = -Q_2$ , adică pe o linie fără pierderi, transportul de energie electrică se realizează cu tensiuni la cele două capete egale în valoare absolută, dacă puterile reactive corespunzătoare sînt de asemenea egale, însă de sensuri contrarii.

Analiza relațiilor (3.88) și (3.89) permite studierea variației puterii reactive în funcție de puterea activă transportată și punerea în evidență a unor aspecte fizice importante indicate mai jos.

a. Dacă linia funcționează în gol ( $P_1 = P_2 = 0$ ), puterile reactive necesare pentru îndeplinirea condiției de egalitate a tensiunilor la capete au valoarea:

$$Q_{20} = -Q_{10} = U_2^2 \frac{\sqrt{1 - \cos \frac{2\pi l}{\lambda}}}{Z_c \sin \frac{2\pi l}{\lambda}}, \quad (3.90)$$

care se poate încă transforma, dezvoltînd în serie funcțiile trigonometrice și considerînd un anumit număr de termeni. Pentru o linie scurtă, de exemplu, se pot lua numai primii doi termeni din seria  $\cos \frac{2\pi l}{\lambda}$  și un

termen din seria  $\sin \frac{2\pi l}{\lambda}$ , obținînd:

$$Q_{20} = -Q_{10} = U_2^2 \frac{\pi l}{Z_c \lambda} = \frac{1}{2} C \omega U_2^2. \quad (3.91)$$

Această ultimă relație permite să se tragă concluzia că pentru menținerea egalității tensiunilor la cele două capete ale unei astfel de linii, aceasta are nevoie de o putere reactivă egală cu jumătate din puterea ei capacitivă.

b. Cînd puterea de transport crește, evident că puterile reactive la cele două capete necesare pentru menținerea egalității tensiunilor scad și la limită ( $P_2 = P_{nat}$ ) devin egale cu zero. Într-adevăr, dacă  $P_2 < P_{nat}$  și  $\sqrt{1 - \frac{P_2^2}{P_{nat}^2} \sin^2 \frac{2\pi l}{\lambda}} > \cos \frac{2\pi l}{\lambda}$ , puterea reactivă  $Q_2$  este pozitivă, adică la consumator corespunde o putere reactivă inductivă. Dacă însă  $0 < \sqrt{1 - \frac{P_2^2}{P_{nat}^2} \sin^2 \frac{2\pi l}{\lambda}} < \cos \frac{2\pi l}{\lambda}$ , atunci  $Q_2$  este negativ și real, adică la consumator corespunde o putere reactivă capacitivă.

Cînd  $P_2 = P_{nat}$  conform relațiilor (3.34) se poate scrie că:

$$U_1 = U_2 e^{j \frac{2\pi l}{\lambda}} \text{ și } I_1 = I_2 e^{j \frac{2\pi l}{\lambda}}.$$

adică unghiul de defazaj dintre cele două tensiuni este  $\theta = \frac{2\pi l}{\lambda}$ . În aceste

condiții  $\sqrt{1 - \frac{P_2^2}{P_{nat}^2} \sin^2 \frac{2\pi l}{\lambda}} = \cos \theta = \cos \frac{2\pi l}{\lambda}$ , iar puterile reactive la cele două capete sînt egale cu zero.

c. Dacă puterea activă de transportat crește și devine mai mare decît puterea naturală ( $P_2 > P_{nat}$ ), puterile reactive schimbă sensul. Într-adevăr, cînd expresia:

$$\sqrt{1 - \frac{P_2^2}{P_{nat}^2} \sin^2 \frac{2\pi l}{\lambda}} < 0,$$

puterea reactivă  $Q_2$  de la consumator reprezintă o mărime complexă; acest lucru este echivalent cu injectarea la capătul receptor al liniei a unei puteri active suplimentare ce corespunde părții imaginare a puterii reactive. În consecință, în acest caz, pentru un  $P_2$  dat care face expresia de sub semnul radical negativă, nu se poate efectua transportul cu tensiuni egale în modul la cele două capete, fără injectarea unei puteri reactive suplimentare. Această constatare permite să se tragă concluzia că, pentru o anumită lungime dată, există o putere activă limită pentru care linia poate funcționa cu tensiuni egale la capete. Ea se determină punînd condiția ca termenul de sub semnul radical din relația (3.88) să fie mai mare decît zero, adică:

$$P_{2max} \leq \frac{P_{nat}}{\sin \frac{2\pi l}{\lambda}}. \quad (3.92)$$

În aceste condiții, puterile reactive la cele două capete ale liniei, pentru ca tensiunile să fie egale în modul, au valoarea:

$$Q_{2max} = -Q_{1max} \leq -\frac{U_2^2}{Z_c \operatorname{tg} \frac{2\pi l}{\lambda}}. \quad (3.93)$$

Deși în condițiile de circulație a puterii reactive impuse mai sus se realizează condiția de egalitate a tensiunilor la cele două capete, tensiunea de-a lungul liniei variază atît ca modul, cît și ca fază.

Într-adevăr, fie  $U_x$  tensiunea într-un punct al unei linii fără pierderi, exprimată în funcție de mărimile de ieșire:

$$\begin{aligned} U_x &= U_2 \cos \frac{2\pi x}{\lambda} + jZ_c I_2 \sin \frac{2\pi x}{\lambda} = \\ &= U_2 \cos \frac{2\pi x}{\lambda} + \frac{Q_2 Z_c}{U_2} \sin \frac{2\pi x}{\lambda} + j \frac{Z_c P_2}{U_2} \sin \frac{2\pi x}{\lambda}. \end{aligned}$$

Din această relație se determină modulul și defazajul tensiunii în punctul respectiv sub forma:

$$U_x = \sqrt{U_2^2 \cos^2 \frac{2\pi x}{\lambda} + 2Q_2 Z_c \sin \frac{2\pi x}{\lambda} \cos \frac{2\pi x}{\lambda} + \frac{Q_2^2 Z_c^2}{U_2^2} \sin^2 \frac{2\pi x}{\lambda} + \frac{Z_c^2 P_2^2}{U_2^2} \sin^2 \frac{2\pi x}{\lambda}}; \quad (3.94)$$

$$\operatorname{tg} \theta_x = \frac{P_2}{P_{nat} \operatorname{ctg} \frac{2\pi x}{\lambda} + Q_2},$$

relații care sînt valabile pentru cazul general în care tensiunile la cele două capete pot fi oarecare.

Relația tensiunii din sistemul (3.94) se poate pune și sub forma:

$$\frac{U_x}{U_2} = \sqrt{\frac{P_2^2 + Q_2^2}{P_{nat}^2} \sin^2 \frac{2\pi x}{\lambda} + \cos^2 \frac{2\pi x}{\lambda} + \frac{Q_2}{P_{nat}} \sin \frac{4\pi x}{\lambda}}, \quad (3.95)$$

care permite să se calculeze valoarea tensiunii în diferite puncte ale liniei.

În mod analog se poate exprima și curentul într-un punct oarecare al liniei, determinîndu-se:

$$I_x = \sqrt{\frac{P_2^2 + Q_2^2}{U_2^2} \cos^2 \frac{2\pi x}{\lambda} + \frac{U_2^2}{Z_c^2} \sin^2 \frac{2\pi x}{\lambda} - \frac{Q_2}{Z_c} \sin \frac{4\pi x}{\lambda}};$$

$$\operatorname{tg} \varphi_x = \frac{P_{nat} \operatorname{tg} \frac{2\pi x}{\lambda} - Q_2}{P_2}. \quad (3.96)^*$$

Prima relație din (3.96) se poate pune și sub forma:

$$\frac{I_x}{I_2} = \sqrt{\frac{P_2^2 + Q_2^2}{P_{nat}^2} \cos^2 \frac{2\pi x}{\lambda} + \sin^2 \frac{2\pi x}{\lambda} - \frac{Q_2}{P_{nat}} \sin \frac{4\pi x}{\lambda}}, \quad (3.97)$$

cu ajutorul căreia se calculează valoarea curentului în diferite puncte ale liniei.

Pentru a constata calitativ variația tensiunii pe linie, se efectuează derivata primei expresii din (3.94) în punctul  $x = 0$  și se obține următoarea ecuație:

$$\left| \frac{d(U_x^2)}{dx} \right|_{x=0} = \frac{4\pi}{\lambda} Z_c Q_2, \quad (3.98)$$

care arată că tensiunea pe linie depinde de puterea reactivă.

Astfel, dacă  $Q_2 > 0$  derivata este pozitivă, iar tensiunea are o alură crescătoare de la receptor către mijlocul liniei, atinge un maximum, după

---

\* Aceste relații generale pentru linii cu tensiuni inegale la capete vor fi utilizate în aplicația (3.1), unde se dau și anumite interpretări fizice.



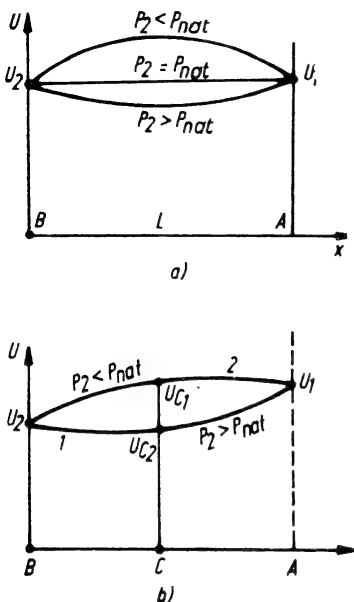


Fig. 3.12. Variația tensiunii de-a lungul unei linii electrice lungi: a - linia cu tensiuni egale la capete și fără pierderi; b - linia cu tensiuni inegale la capete în cazul general.

care începe să descrească către capătul de intrare în linie. În acest caz, puterea transportată este mai mică decât puterea naturală (\$P\_2 < P\_{nat}\$).

Dacă \$Q\_2 < 0\$ derivata este negativă, iar tensiunea descrește către mijlocul liniei, unde atinge un minimum, după care începe să crească către capătul de intrare al liniei.

În aceste condiții puterea transportată pe linie este mai mare decât puterea naturală (\$P\_2 > P\_{nat}\$).

Dacă \$Q\_2 = 0\$ derivata este nulă, tensiunea rămâne constantă ca valoare absolută de-a lungul liniei, iar puterea transportată pe linie este egală cu puterea naturală (\$P\_2 = P\_{nat}\$). Aceste constatări sînt arătate pe figura 3.12. Punctul de pe linie, în care apare valoarea maximă sau minimă a tensiunii, se determină în mod obișnuit, adică anulînd derivata primei relații din (3.94), obținîndu-se:

$$\begin{aligned} \operatorname{tg} \frac{4\pi x_m}{\lambda} &= \frac{2Q_2 Z_c U_2^2}{U_2^4 - Z_c^2 (P_2^2 + Q_2^2)} = \\ &= \frac{2Q_2}{P_{nat} - \frac{P_2^2 + Q_2^2}{P_{nat}}}, \end{aligned} \quad (3.99)$$

unde: \$x\_m\$ reprezintă distanța măsurată de la ieșirea către intrarea în linie; \$Q\_2\$ — puterea reactivă determinată de relația (3.88).

Din cauza simetriei liniei cu tensiuni egale la cele două capete, valoarea maximă sau minimă a tensiunii are loc la mijlocul liniei. Pentru \$P\_2 = 0\$ și \$Q\_2\$ exprimată prin relația (3.90,) se obține cea mai mare valoare a tensiunii la mijlocul liniei sub forma:

$$\left| U_{max} \right|_{\frac{l}{2}} = \frac{U_2}{\cos \frac{2\pi l}{\lambda}}. \quad (3.100)$$

Studierea variației curentului pe linie se efectuează în mod analog celor arătate în cazul tensiunii. Astfel, efectuînd derivata primei expresii din (3.96) în punctul \$x = 0\$, se obține:

$$\left| \frac{d(I_x^2)}{dx} \right|_{x=0} = -\frac{Q_2 \lambda}{\pi Z_c}. \quad (3.101)$$

Analizînd această ultimă relație se constată că dacă \$Q\_2 > 0\$, derivata este negativă, iar curentul scade de la receptor către mijlocul liniei, unde atinge un minim, după care începe să crească spre capătul de intrare. Dacă \$Q\_2 < 0\$ derivata este pozitivă, curentul crește de la receptor către mijlocul liniei, unde atinge un maxim, după care începe să descrească spre

capătul de intrare. Când  $Q_2 = 0$ , derivata se anulează, iar curentul rămîne constant de-a lungul liniei. Avînd în vedere că în acest caz și tensiunea rămîne constantă de-a lungul liniei, se verifică faptul că puterea, în orice secțiune a liniei, este egală cu puterea naturală.

Se constată deci că pentru  $Q_2 \neq 0$  variația curentului pe linie este opusă variației de tensiune.

3.3.3.2. *Funcționarea liniilor lungi cu pierderi și tensiuni egale la capete.* În cazul real al unei linii electrice cu pierderi, regimul de circulație al puterii reactive necesare pentru ca tensiunile la cele două capete să fie egale se determină analog cazului studiat la punctul 3.3.3.1., considerînd sistemul de ecuații generale:

$$U_1 = \underline{A}U_2 + \underline{B}I_2; \quad I_1 = \underline{C}U_2 + \underline{D}I_2,$$

în care:  $\underline{A}$ ,  $\underline{B}$ ,  $\underline{C}$ ,  $\underline{D}$  corespund relațiilor (3.59, c).

Într-adevăr, ținînd seamă, de exemplu, de condițiile:

$$U_2 = U_2|_0; \quad U_1 = U_2|_0; \quad \underline{A} = A_1 + jA_2;$$

$$\underline{B} = B_1 + jB_2; \quad \underline{C} = C_1 + jC_2,$$

se obține ecuația tensiunilor sub forma:

$$U_2^2(\cos \theta + j \sin \theta) = A_1 U_2^2 + (B_1 P_2 + B_2 Q_2) + j(A_2 U_2^2 + B_2 P_2 - Q_2 B_1)$$

sau separînd părțile, reală și imaginară:

$$\begin{aligned} U_2^2 \cos \theta &= A_1 U_2^2 + B_1 P_2 + B_2 Q_2; \\ [U_2^2 \sin \theta] &= A_2 U_2^2 + B_2 P_2 - B_1 Q_2. \end{aligned} \quad (3.102)$$

Ridicînd la pătrat și adunînd aceste ultime două ecuații se poate arăta că:

$$U_2^4(1 - A^2) = B^2 Q_2^2 + 2U_2^2(A_1 B_2 - A_2 B_1) Q_2 + B^2 P_2^2 + 2U_2^2(A_1 B_1 + A_2 B_2) P_2,$$

din care rezultă:

$$Q_2 = U_2^2 \frac{A_2 B_1 - A_1 B_2 + \sqrt{B^2 - (A_1 B_2 + A_2 B_1)^2 - 2B^2 \frac{P_2}{U_2^2} (A_1 B_1 + A_2 B_2) - B^4 \frac{P_2^2}{U_2^4}}}{B^2}. \quad (3.103)$$

Această relație permite aceleași interpretări făcute în cazul liniilor fără pierderi.

Dacă linia se află în gol, atunci este evident că:

$$Q_{20} = U_2^2 \frac{A_2 B_1 - A_1 B_2 + \sqrt{B^2 - (A_1 B_2 + A_2 B_1)^2}}{B^2}, \quad (3.104)$$

care pentru valorile uzuale ale parametrilor liniilor reprezintă o putere reactivă capacitivă.

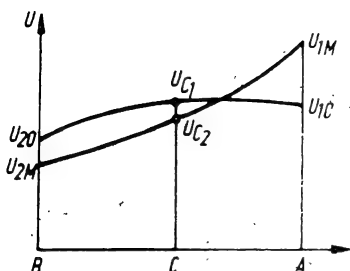


Fig. 3.13. Variația tensiunii pe linia lungă cu tensiuni inegale la capete exploatare cu pantă variabilă.

Pe măsură ce sarcina crește, puterea reactivă  $Q_2$  se micșorează, ajungând să se anuleze pentru o anumită valoare a puterii  $P_2$ , care rezultă din ecuația:

$$B^2 P_2^2 + 2U_2^2 P_2 (A_1 B_1 + A_2 B_2) + U_2^4 (A^2 - 1) = 0$$

sau:

$$P_{2nat} = U_2^2 \frac{\sqrt{B^2 - (A_1 B_2 - A_2 B_1)^2 - A_1 B_1 + A_2 B_2}}{B^2}, \quad (3.105)$$

unde  $P_{2nat}$  s-a identificat cu puterea naturală a liniei în cazul când linia se consideră fără pierderi.

Dacă puterea transportată este mai mare decât  $P_{nat}$ , puterea reactivă  $Q_2$  schimbă de semn, adică linia consumă la sosire o putere reactivă inductivă.

Variația tensiunii este similară cu cea indicată la punctul 3.3.3.1, cu observația că maximum și minimum acestora nu mai au loc la mijlocul liniei.

Când tensiunile la cele două capete sînt diferite ca modul și fază, variația tensiunii de-a lungul liniei arată ca în figura 3.12, b. Dacă tensiunile sînt menținute constante la cele două extremități, oricare ar fi puterea tranzitată pe linie, atunci variația tensiunii într-un punct intermediar C se produce între limitele  $U_{c1}$  și  $U_{c2}$ . Pentru a reduce această diferență se poate exploata linia cu pantă variabilă; în acest caz, variația tensiunii la plină sarcină și la gol corespunde curbelor 1 și 2 din figura 3.13, care arată restrîngerea variației tensiunii în punctul intermediar C.

### Aplicația 3.1

Se consideră o linie electrică aeriană de tensiune nominală 400 kV, echipată pe fiecare fază cu două conductoare de oțel-aluminiu cu secțiunea de 450/75 mm<sup>2</sup>. Fazele sînt dispuse în același plan orizontal, avînd distanța între ele de 15 m, distanța dintre conductoarele aceleiași faze fiind de 400 mm. Considerînd linia fără pierderi, să se studieze variația tensiunii și curentului de-a lungul ei pentru diferite încărcări cu puteri active și reactive. Lungimea maximă a liniei este de 1 200 km.

### Rezolvare

Se aplică relațiile (3.95) și (3.97).

Valorile considerate pentru puterile active și reactive, precum și punctele în care se evaluează și valorile tensiunii și curentului sînt cele din tabelele 3.1 și 3.2.

Tabela 3.1

Valorile tensiunii și curentului în diverse puncte ale liniei pentru diferite încărcări cu putere activă și o încărcare constantă cu putere reactivă inductivă

| Puterea reactivă transportată, raportată la puterea naturală a liniei | Puterea activă transportată, raportată la puterea naturală a liniei | Distanța $x$ de capătul receptor al liniei | Tensiunea punctului $x$ , raportată la tensiunea nominală a liniei | Curentul în punctul $x$ , raportat la curentul nominal al liniei | Puterea aparentă, raportată la puterea naturală $\frac{U_x - I_x}{P_{nat}}$ |
|---|---|--|--|--|---|
| 1   | 2   | 3  | 4  | 5  | 6   |
| $\frac{Q_2}{P_{nat}}$   | $\frac{P_2}{P_{nat}}$   | $x[\text{km}]$                             | $\frac{U_x}{U_2}$  | $\frac{I_x}{I_2}$  | Puterea aparentă $\frac{P_{nat}}$   |
| 0,25  | 1,25  | 0  | 1  | 1,274  | 1,224   |
|   |   | 400  | 1,135  | 1,155  | 1,311   |
|   |   | 800  | 1,262  | 1,014  | 1,2796  |
|   |   | 1177                                       | 1,31 M   | 0,954 m  | 1,2492  |
|   |   | 1200                                       | 1,309  | 1,053  | 1,3783  |
|   | 1   | 0  | 1  | 1,03   | 1,03  |
|   |   | 400  | 1,093  | 0,93   | 1,0164  |
|   |   | 800  | 1,1328 M   | 0,882  | 1,999   |
|   |   | 808  | 1,1328   | 0,881 m  | 0,9979  |
|   |   | 1200                                       | 1,097  | 1,027  | 1,1266  |
|   | 0,75  | 0  | 1  | 0,79   | 0,79  |
|   |   | 400  | 0,060  | 0,707  | 0,749   |
|   |   | 441  | 1,061  | 0,706 m  | 0,749   |
|   |   | 800  | 1,028 M  | 0,763  | 0,748   |
|   |   | 1200                                       | 0,899  | 1,006  | 0,904   |
|   | 0,5   | 0  | 1  | 0,558  | 0,5   |
|   |   | 354  | 1,037 M  | 0,481 m  | 0,498   |
|   |   | 400  | 1,016  | 0,489  | 0,497   |
|   |   | 800  | 0,932  | 0,665  | 0,619   |
|   |   | 1200                                       | 0,725  | 1,05   | 0,761   |

Se calculează impedanța caracteristică și puterea naturală a liniei obținându-se:

$$Z_c = \sqrt{\frac{L_0}{C_0}} = \sqrt{\frac{4,6 \lg \frac{15\,000 \sqrt[3]{2}}{\sqrt{2 \cdot 200 \cdot 14,625}}}{0,02412}} = 333,9269 \, \Omega;$$

$$P_{nat} = \frac{U_n^2}{Z_c} = \frac{400^2}{333,9269} = 480 \text{ MW}.$$

Tabela 3.2

Valorile tensiunii și curentului în diverse puncte ale liniei pentru diferite încărcări cu putere activă și o încărcare constantă cu putere reactivă capacitivă

| 1     | 2    | 3    | 4      | 5       | 6      |
|-------|------|------|--------|---------|--------|
| -0,25 | 1,25 | 0    | 1      | 1,274   | 1,274  |
|       |      | 318  | 0,955  | 1,306 M | 2,74   |
|       |      | 400  | 0,958  | 1,305   | 1,25   |
|       |      | 800  | 1,047  | 1,235   | 1,293  |
|       |      | 1200 | 1,1918 | 1,003   | 1,1953 |
|       | 1    | 0    | 1      | 1,03    | 1,03   |
|       |      | 400  | 0,907  | 1,111   | 1,0076 |
|       |      | 690  | 0,858  | 1,131 M | 0,97   |
|       |      | 800  | 0,886  | 1,128   | 0,994  |
|       |      | 1200 | 0,954  | 0,976   | 0,931  |
|       | 0,75 | 0    | 1      | 0,79    | 0,79   |
|       |      | 400  | 0,867  | 0,833   | 0,809  |
|       |      | 800  | 0,737  | 1,308 M | 0,765  |
|       |      | 1056 | 0,705  | 1,059   | 0,746  |
|       |      | 1200 | 0,715  | 0,954   | 0,682  |
|       | 0,5  | 0    | 1      | 0,558   | 0,558  |
|       |      | 400  | 0,759  | 0,781   | 0,592  |
|       |      | 800  | 0,609  | 0,969   | 0,590  |
|       |      | 1140 | 0,48 m | 1,050 m | 0,504  |
|       |      | 1200 | 0,481  | 0,939   | 0,459  |

Se exemplifică aplicarea relațiilor (3.95) și (3.97) pentru  $x = 400$  km,  
 $\frac{Q_2}{P_{nat}} = 0,25$  și  $\frac{P_2}{P_{nat}} = 1,25$  și se obține:

$$\frac{2\pi x}{\lambda} = \frac{360^\circ \cdot 400}{6\,000} = 24^\circ;$$

$$Q_2 = 0,25 \cdot 480 = 120 \text{ Mvar};$$

$$P_2 = 1,25 \cdot 480 = 600 \text{ MW};$$

$$\frac{U_x}{U_2} = \sqrt{\frac{600^2 + 120^2}{480^2} \sin^2 24^\circ + \cos^2 24^\circ + \frac{120}{480} \sin 48^\circ} = 1,135;$$

$$\frac{I_x}{I_2} = \sqrt{\frac{600^2 + 120^2}{480^2} \cos^2 24^\circ + \sin^2 24^\circ - \frac{120}{480} \sin 48^\circ} = 1,155.$$

Pentru lungimile liniei de 800 și 1 200 km și pentru alte valori ale puterilor, calculele se efectuează în mod similar.

Valoarea unghiului pentru care tensiunea și curentul au valoarea maximă, respectiv minimă, se determină cu relația (3.99):

$$\operatorname{tg} 2 \frac{2\pi x}{\lambda} = \frac{2 \cdot 120}{480 - \frac{600^2 + 120^2}{480}} = -0,8;$$

$$2 \cdot \frac{2\pi x}{\lambda} = 141^\circ 20'; \quad \frac{2\pi x}{\lambda} = 70^\circ 40';$$

$$\frac{360 \cdot x}{6\,000} = 70^\circ 40'; \quad x = 1\,177 \text{ km.}$$

Calculule se repetă în mod analog pentru alte încărcări ale liniei și sînt sintetizate în tabela 3.1, iar reprezentarea grafică corespunzătoare este dată în figura 3.14, *a*.

În cazul în care pe linie se transportă o putere reactivă capacitivă, calculele sînt sintetizate în tabela 3.2, iar reprezentarea grafică este dată în figura 3.14, *b*.

În tabelele 3.1 și 3.2 indicele  $M$  reprezintă valoarea maximă, iar indicele  $m$  valoarea minimă.

Din reprezentările grafice rezultă:

— în cazul în care pe linie se transportă o putere reactivă inductivă, tensiunea atinge o valoare maximă de-a lungul liniei, iar curentul o valoare minimă;

— în cazul în care se transportă o putere reactivă capacitivă, tensiunea atinge o valoare minimă de-a lungul liniei, iar curentul o valoare maximă;

— dacă pe linie se transportă o putere activă egală cu puterea naturală și o putere reactivă inductivă, tensiunea la începutul liniei nu este egală cu tensiunea de la sfîrșitul ei, deși linia s-a considerat fără pierderi. În cazul considerat pentru care puterea reactivă este  $0,25 P_{nat}$ , tensiunea la începutul liniei este de 1,097 ori mai mare decît tensiunea de la sfîrșitul ei. Această valoare crește pînă la  $1,309 U_2$  cînd puterea activă transportată este de  $1,25 P_{nat}$ , și scade sub valoarea  $U_2$  cînd puterea activă transportată devine mai mică decît puterea naturală. Astfel, în cazul cînd  $P_2 = 0,75 P_{nat}$ , la începutul liniei trebuie să se plece cu o valoare a tensiunii de  $0,899 U_2$ , pentru ca la sfîrșitul liniei tensiunea să aibă valoarea  $U_2$ ;

— valoarea curentului reprezintă o variație continuă de-a lungul liniei. În cazul în care puterea activă transportată este egală cu puterea naturală a liniei, avînd în vedere faptul că curentul  $I_2$ , definit de relația  $I_2 = \frac{U_2}{Z_c}$ ,

reprezintă valoarea curentului corespunzătoare puterii naturale, deoarece pe linie se transportă și putere reactivă inductivă, la sfîrșitul liniei trebuie să ajungă un curent mai mare ca  $I_2$ . Într-adevăr, în acest caz (tabela 3.1) la sfîrșitul liniei valoarea curentului este egală cu  $1,027 I_2$ . La distanța de 1 177 km de sfîrșitul liniei cînd tensiunea atinge valoarea maximă, curentul atinge valoarea minimă de  $0,954 I_2$ ;

— dacă pe linie se transportă o putere activă egală cu puterea naturală și o putere reactivă capacitivă (tabela 3.2), tensiunea la începutul liniei

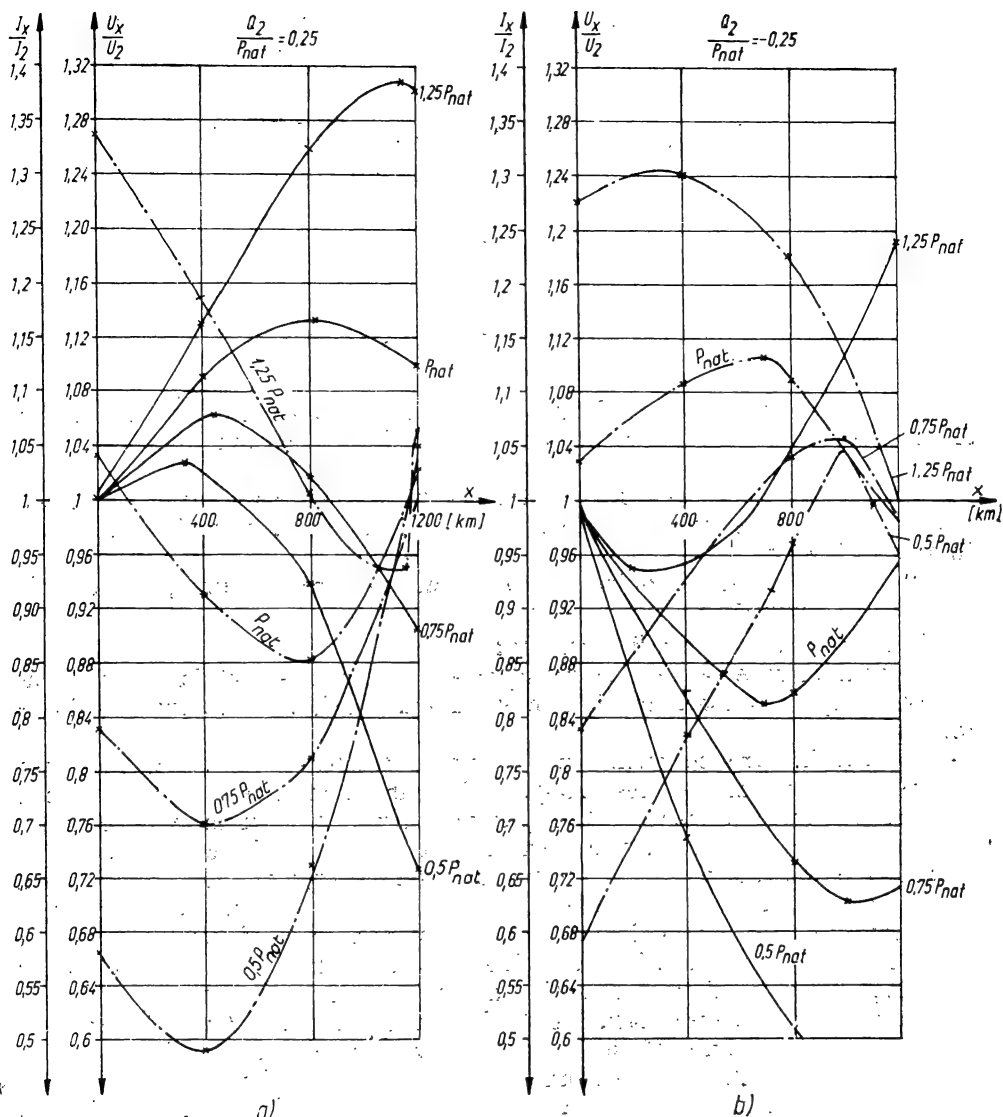


Fig. 3.14. Variația mărimilor  $\frac{U_x}{U_2}$  (—) și  $\frac{I_x}{I_2}$  (---) pe liniile electrice lungi pentru  $P_2 = 1,25 P_{nat}$ ;  $P_2 = P_{nat}$ ;  $P_2 = 0,75 P_{nat}$ ;  $P_2 = 0,5 P_{nat}$ :  
a —  $Q_2$  reprezintă puterea reactivă inductivă; b —  $Q_2$  reprezintă puterea reactivă capacitivă.

reprezintă  $0,954 U_2$ . În regimul de sarcină reactivă capacitivă dacă pe lini se transportă o putere activă egală cu jumătate din puterea naturală a liniei, pentru ca la sfîrșitul liniei să existe tensiunea  $U_2$ , la începutul liniei trebuie să se plece cu o tensiune de  $0,481 U_2$ , adică cu o tensiune de aproximativ două ori mai mică.

Revenind la regimul de putere reactivă capacitivă la consumator, în care puterea activă transportată este egală cu puterea naturală, se constată că la începutul liniei trebuie să se plece și cu un curent mai mic decât  $I_2$ , și anume cu  $0,976 I_2$ .

În figura 3.15 s-au reprezentat căderile de tensiune relative procentuale în funcție de lungimea liniei.  $\Delta U$  reprezintă diferența între modulul tensiunii într-un punct oarecare  $x$  și modulul tensiunii de la capătul receptor al liniei, adică  $\Delta U = |U_x| - |U_2|$ . Din aceste reprezentări rezultă:

— în domeniul lungimilor mici (aproximativ 300 km) pentru o aceeași lungime  $x$ , căderile de tensiune variază aproximativ liniar cu lungimea  $x$  și pentru un același  $x$  sînt cu atît mai mari cu cît puterea activă transportată este mai mare;

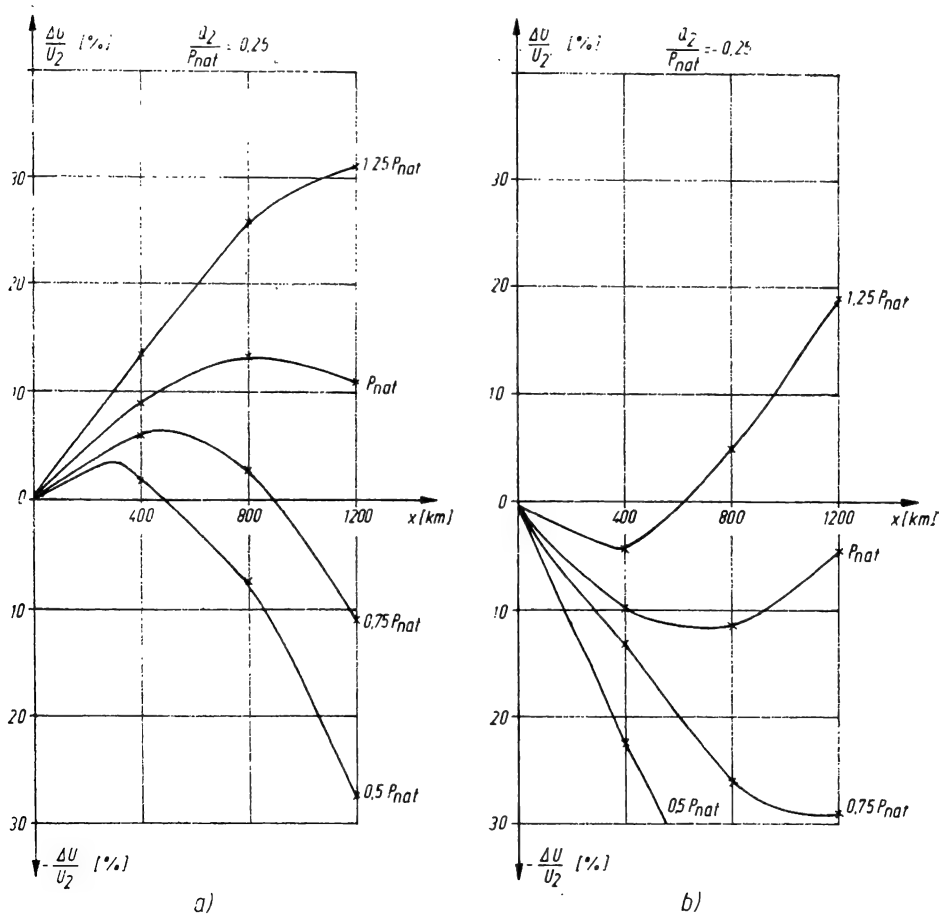


Fig. 3.15. Variația căderilor de tensiune pe liniile electrice lungi în funcție de lungime pentru  $P_2 = 1,25 P_{nat}$ ;  $P_2 = P_{nat}$ ;  $P_2 = 0,75 P_{nat}$ ;  $P_n = 0,5 P_{nat}$ :

a —  $Q_2$  reprezintă puterea reactivă inductivă; b —  $Q_2$  reprezintă puterea reactivă capacivă.



— dacă pe linie se transportă o putere reactivă inductivă se ajunge la căderi de tensiuni negative numai în domeniul puterilor active transportate mai mici decât puterea naturală a liniei;

— dacă pe linie se transportă o putere reactivă capacitivă se ajunge la căderi de tensiuni negative pentru toate cazurile de puteri active luate în considerație.

Valoarea produsului  $U_x I_x$  reprezintă valoarea puterii aparente în punctul situat la distanța  $x$  față de capătul receptor al liniei. Se observă că această valoare are mici fluctuații în jurul valorii puterii aparente consumate egală cu  $S_2 = \sqrt{P_2^2 + Q_2^2}$ . De exemplu, în cazul transportului unei puteri active  $P_2 = 1,25 P_{nat}$  și a unei puteri reactive inductive  $Q_2 = 0,25 P_{nat}$ , în punctul  $x = 800$  km față de capătul receptor al liniei, valoarea puterii aparente este  $U_x I_x = 1,262 \cdot 1,014 = 1,2796$  MVA, iar valoarea puterii aparente la  $x = 0$ , adică la receptor este  $\sqrt{1,24^2 + 0,25^2} = 1,2736$ . Se menționează faptul că valoarea curentului din coloana 5, reprezintă o valoare de 3 ori mai mare decât valoarea curentului pe fază și de aceea, produsul  $U_x I_x$  reprezintă valoarea puterii aparente trifazate în punctul  $x$ .

## Capitolul 4

### ÎNCĂLZIREA CONDUCTOARELOR LINIILOR ELECTRICE

Curenții electrici care circulă prin conductoare produc, prin efect Joule-Lenz, pierderi de energie din care cauză acestea se încălzesc. Această încălzire constituie una din condițiile restrictive ale transportului de energie, care poate avea consecințe asupra liniilor, atât de natură mecanică, cât și de natură electrică.

Astfel, când temperatura conductoarelor liniilor electrice aeriene depășește o anumită valoare, rezistența mecanică a acestora se micșorează, iar fenomenul de fluaj se accentuează \*. Ca urmare, săgețile pot crește peste anumite valori, fapt care conduce la reducerea distanțelor dintre conductoare și pământ sau a distanțelor între faze.

În cazul liniilor electrice subterane, încălzirea conductoarelor solicită dielectricul și alte elemente componente ale cablurilor, producând modificări structurale de natură fizică sau chimică, care pun în pericol buna funcționare a instalațiilor și durata lor de viață.

În condiții de execuție necorespunzătoare, în locurile de îmbinare a conductoarelor, la clemele de înădărire sau la manșoanele de legătură, pot avea loc supraîncălziri, ca urmare a creșterii rezistențelor de trecere dintre suprafețele de contact supuse oxidării, care provoacă pierderi suplimentare de energie și, uneori, defecte grave în liniile electrice aeriene sau în cablu.

Din aceste motive, calculul la încălzire al conductoarelor liniilor electrice este indispensabil; cu ajutorul lui *trebuie să se verifice intensitățile admisibile ale curentului electric*, în diferite regimuri de funcționare ale rețelelor electrice și în anumite condiții de răcire, astfel încât temperaturile maxime admisibile ale conductoarelor și izolației acestora să rămână sub limitele periculoase, care ar duce la degradarea sau distrugerea lor.

#### 4.1. TEMPERATURI MAXIME ADMISIBILE ÎN CONDUCTOARELE LINIILOR ELECTRICE

*Temperaturile maxime admisibile* reprezintă limite termice pînă la care conductoarele și materialele izolante își păstrează proprietățile fizice și chimice pentru care au fost produse. Deoarece aceste temperaturi depind, prin-

---

\* Aceste fenomene pot avea loc și la temperaturi relativ joase, sub 100°C, în cazul unor încălziri de lungă durată.

tre altele, de durată și de modul de funcționare a liniilor în regimul considerat, ele poartă denumirea și de *temperaturi de regim de funcționare*. Valoarea lor este verificată experimental și indicată apoi prin norme și recomandări.

Astfel, pentru conductoarele liniilor electrice aeriene neizolate temperatura maximă admisibilă în țara noastră este de 70°C. Limita aceasta a fost fixată în scopul evitării încălzirilor puternice a conductoarelor în locurile de îmbinare, ca urmare a creșterii rezistențelor de trecere dintre suprafețele de contact supuse oxidării. Aceeași temperatură maximă este indicată și pentru conductoarele neizolate instalate în încăperi închise.

Pentru *conductoare cu izolație de cauciuc*, temperatura maximă admisibilă, din motive de conservare a cauciucului, este de numai 55°C.

În regim permanent de funcționare, *temperatura maximă admisibilă pentru cabluri*, depinde de *tensiunea nominală* și de *natura izolației*.

Astfel, cablurile cu izolație de hârtie cu tensiunea nominală pînă la 3 kV au o temperatură maximă admisibilă de 80°C, în timp ce cele cu tensiunea nominală de 6 kV nu trebuie să depășească, în nici un punct al instalației, temperatura maximă admisibilă de 65°C; cele cu tensiunea nominală de 10 kV — 60°C, iar cele cu tensiunile nominale de 20 și 35 kV — 50°C. Aceste temperaturi sînt impuse atît de stabilitatea termică a izolației, cît și de necesitatea evitării formării unor goluri în masa izolației care favorizează ionizarea, ca urmare a unei încălziri prea puternice. De asemenea, se menționează că pentru toate cablurile cu izolație de hârtie impregnată cu materiale viscoase, care pot migra sub influența diferențelor de nivel la montaj sau din cauza ciclurilor de sarcină la care sînt supuse, temperatura maximă nu trebuie să depășească 50°C.

Pentru alte tipuri de cabluri cu hârtie impregnată cu un izolant nemigrant sau cele cu izolație uscată, se dau informativ, următoarele temperaturi maxime admisibile, indicate de STAS 8778-70:

- cabluri de joasă și medie tensiune, cu izolație de hârtie impregnată cu materie nemigrantă: .....60°C
- cabluri cu izolație de polietilen (PE).....65°C
- cabluri cu izolație de policlorură de vinil (PVC) cu  
 $U_n \leq 6$  kV .....70°C
- cabluri PVC cu  $U_n = 10$  kV .....60°C
- cabluri cu izolație cu butyl sau polietilen reticulat chimic (PRC) de joasă tensiune .....75°C
- cabluri cu izolație de butyl sau polietilen reticulat chimic (PRC) de medie tensiune.....85°C
- cabluri de înaltă tensiune cu izolație impregnată cu ulei sub presiune .....80°C

În cazul unui regim forțat de lucru cu supraîncărcări admisibile de  $10 \div 15\%$ , apreciat la 100 h/an, temperaturile maxime admisibile se iau mai mari cu circa  $20 \div 25^\circ\text{C}$ , în raport cu cele indicate mai sus, în funcție de tipul de izolație și de tensiunea nominală a cablului.

Pentru regimul de scurtă durată, care nu depășește, în general, un timp de 5 s, dar care se caracterizează prin intensități de curenți mari, ca în cazul scurtcircuitelor, temperatura maximă admisibilă a conductoarelor indicată de norme este mult crescută.

Astfel, pentru liniile electrice aeriene cu conductoare neizolate de cupru se admite temperatura maximă de 300°C, pentru cele de aluminiu — 200°C și pentru cele de oțel — 400°C.

În cablurile liniilor electrice subterane, în aceleași condiții ale regimului de scurtă durată, se admit următoarele temperaturi maxime:

- cu izolație cu hârtie impregnată ..... 150°C
- cu izolație de polietilen ..... 120°C
- cu izolație de PVC ..... 140°C
- cu izolație de cauciuc vulcanizat ..... 180°C
- cu izolație de polietilen reticulat chimic (PRC) ..... 180°C
- cu izolație de butyl ..... 180°C
- cu izolație de policloropren ..... 180°C

Deoarece temperatura maximă a conductoarelor aeriene și a cablurilor depinde de condițiile de răcire, adică de modul de montare și de temperatura mediului înconjurător, se indică următoarele temperaturi inițiale:

- pentru cablurile pozate în pământ la adâncimea de 70 cm, câte un singur cablu în șanț, temperatura solului se consideră 20°C;
- pentru cele pozate în apă, indiferent de numărul lor în paralel, temperatura acestuia se ia 15°C;
- pentru cele pozate în aer, temperatura inițială se consideră de 20°C;
- temperatura maximă a aerului, considerată în țara noastră, în cazul conductoarelor liniilor electrice aeriene, este de 40°C.

## 4.2. ÎNCĂLZIREA CONDUCTOARELOR ÎN REGIM PERMANENT

În condiții normale de răcire, legea creșterii temperaturii conductoarelor în funcție de durata trecerii curentului este reprezentată în figura 4.1 prin curba *OB*. Răcirea conductoarelor încălzite pînă la temperatura  $\theta_{max}$ , în funcție de timpul măsurat de la întreruperea curentului, se produce după curba *AC* din aceeași figură.

Regimul termic este determinat în fiecare moment de echilibrul care se poate stabili între pierderile de energie, căldura acumulată în conductor și schimbul de căldură cu exteriorul. Ecuația de bilanț a acestui regim este definită sub forma generală:

$$W_1 = W_2 + W_3 + W_4 + W_{5r} \quad (4.1)$$

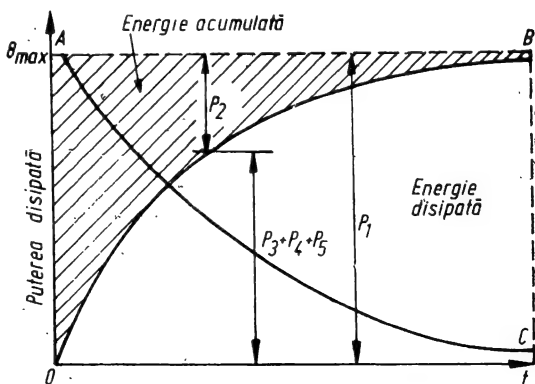


Fig. 4.1. Variația în timp a temperaturii conductoarelor în condiții normale de răcire și a energiilor, absorbită și cedată mediului exterior.

în care:  $W_1$  reprezintă pierderile de energie transformată în căldură prin efect Joule-Lenz în conductor, în unitatea de timp;  
 $W_2$  — cantitatea de căldură înmagazinată în conductor, în unitatea de timp;  
 $W_3$  — cantitatea de căldură transmisă mediului exterior prin convecție, în unitatea de timp;  
 $W_4$  — cantitatea de căldură transmisă mediului exterior prin radiație, în unitatea de timp;  
 $W_5$  — cantitatea de căldură transmisă prin conductibilitate în lungul conductorului și transversal pe acesta (în aer), către părțile mai reci, în unitatea de timp.

Pentru analiza calitativă a fenomenului se poate neglija cantitatea de căldură transmisă prin conductibilitate\*, considerînd în același timp că valoarea rezistenței conductorului nu s-a modificat datorită încălzirii. În aceste condiții, cantitatea de energie degajată de conductor rămîne constantă.

După cum se observă din figura 4.1, deși cantitatea totală de energie degajată în conductor în unitatea de timp este constantă, repartiția acesteia între energia acumulată în conductor și cea transmisă mediului exterior se modifică în timpul procesului de încălzire astfel:

— în primele momente, cea mai mare parte a căldurii degajate este acumulată în conductor, care își ridică temperatura aproximativ liniar;

— apoi treptat conductorul încălzindu-se, crește cantitatea de căldură cedată mediului exterior, astfel încît temperatura conductorului crește neliniar, mai încet decît în prima etapă;

— după un anumit interval de timp, care depinde de condițiile de răcire și de materialul conductor, întreaga cantitate de căldură este cedată mediului exterior, stabilindu-se un echilibru termic și atingîndu-se temperatura de regim a conductorului,  $\theta_{max}$ . În aceste condiții ecuația de bilanț energetic devine:

$$W_1 = W_3 + W_4. \quad (4.2)$$

Cu ajutorul acestei relații se pot calcula intensitățile maxime de curent, în anumite condiții de răcire, astfel încît temperaturile maxime de regim ale conductoarelor și ale izolației acestora să rămînă sub limitele periculoase, care ar duce la degradarea lor și la compromiterea funcționării liniilor electrice respective.

Considerînd că toate punctele conductorului au aceeași temperatură de regim staționar și mediul exterior are aceiași parametri termodinamici — temperatura, viteza vîntului, coeficienții de transfer ai căldurii etc. — ecuația (4.2) se poate scrie sub forma:

$$RI_{max}^2 = (\tau_c + \tau_r) (\theta_{max} - \theta_i) S, \quad (4.3)$$

în care:  $R$  reprezintă valoarea rezistenței conductorului, în  $\Omega$ ;

$I_{max}$  — intensitatea maximă admisibilă a curentului prin conductor, în A;

---

\* Căldura transmisă prin conductibilitate este neglijabil de mică, ținînd seama că aerul are o conductibilitate termică redusă.

|                |   |   |
|----------------|---|---|
| $\theta_{max}$ | — | temperatura maximă admisibilă a conductorului, în °C;   |
| $\theta_i$     | — | temperatura inițială a mediului exterior, în °C;  |
| $S$            | — | suprafața laterală a conductorului, prin care se face transferul de căldură cu exteriorul, în cm <sup>2</sup> ; |
| $\tau_r$       | — | coeficientul de transfer al căldurii prin radiație, în $\left[ \frac{W}{^{\circ}C \cdot cm^2} \right]$ ;        |
| $\tau_c$       | — | coeficientul de transfer al căldurii prin convecție, în $\left[ \frac{W}{^{\circ}C \cdot cm^2} \right]$ .       |

Ținând seama de valoarea rezistenței, în funcție de temperatura și de dimensiunile conductorului, expresia (4.3) aplicată pentru conductoare cilindrice neizolate, permite să se determine intensitatea maximă a curentului:

$$I_{max} = I_{adm} = \sqrt{\frac{\pi d \gamma \cdot s (\tau_c + \tau_r) (\theta_{max} - \theta_i)}{1 + \alpha (\theta_{max} - 20^{\circ})}} = \sqrt{k \gamma d^3 (\theta_{max} - \theta_i)}, \quad (4.4)$$

unde:  $k = \frac{\pi^2}{4} \cdot \frac{\tau_c + \tau_r}{1 + \alpha (\theta_{max} - 20^{\circ})}$  reprezintă o constantă;

$d = \sqrt{\frac{4s}{\pi}}$  — diametrul conductorului, în mm;

$s$  — secțiunea conductorului, în mm<sup>2</sup>;

$\gamma$  — conductivitatea electrică a conductorului la 20°C, în  $\left[ \frac{m}{\Omega \cdot mm^2} \right]$ .

Relația (4.4) arată că intensitatea curentului admisibil în conductoare depinde de condițiile de răcire ( $\tau$ ), de natura materialului ( $\gamma$ ) și de dimensiunile geometrice ale conductoarelor.

Coeficientul de transfer al căldurii prin convecție  $\tau_c$  se poate determina pentru liniile electrice aeriene, în două situații și anume în *regimul convecției libere*, când mediul înconjurător se consideră fără vînt și în *regimul convecției forțate*, când se consideră vînt cu viteze de  $(0,5 \div 0,6) \frac{m}{s}$ .

În calculul încălzirii conductoarelor interesează ambele regimuri. Astfel, pentru a se verifica încălzirea maximă admisibilă la o funcționare critică cu suprasarcină, se va considera conductorul fără vînt. În aceste condiții coeficientul de transfer al căldurii se poate calcula cu relația:

$$\tau_c = \left( k' \frac{0,185}{d} + k'' 0,342 \sqrt[4]{\frac{\theta_{max} - \theta_i}{d}} \right) 10^{-3} \left[ \frac{W}{^{\circ}C \cdot cm^2} \right], \quad (4.5)$$

în care constantele  $k'$  și  $k''$  sînt indicate în tabela 4.1, în funcție de valoarea medie  $\theta_m$ , a temperaturilor conductorului și mediului ambiant.

Valorile coeficienților de corecție  $k'$  și  $k''$ 

| $\theta_m$<br>[°C] | 0     | 20    | 30   | 40    | 60    | 80    | 100   | 200  |
|--------------------|-------|-------|------|-------|-------|-------|-------|------|
| $k'$               | 0,92  | 0,973 | 1,00 | 1,026 | 1,080 | 1,13  | 1,19  | 1,46 |
| $k''$              | 1,040 | 1,015 | 1,00 | 1,990 | 1,972 | 0,950 | 0,940 | 0,88 |

În cazul funcționării conductoarelor liniilor electrice cu încărcare sub limita normală de sarcină, se consideră coeficientul de transfer al căldurii corespunzător regimului *convecției forțate*. Valoarea acestuia este dată de diverse relații, dintre care se indică două, cu ajutorul cărora se obțin rezultate apropiate:

$$\tau_c = \left( \frac{0,784}{d} + 7,7 \sqrt{\frac{v}{d}} \right) 10^{-3} \left[ \frac{W}{^{\circ}\text{C} \cdot \text{cm}^2} \right], \quad (4.6)$$

sau

$$\tau_c = 9 \sqrt{\frac{p \cdot v}{d}} \cdot 10^{-3} \left[ \frac{W}{^{\circ}\text{C} \cdot \text{cm}^2} \right], \quad (4.7)$$

unde viteza de circulație a aerului (fluidului) este dată în m/s, iar presiunea atmosferică  $p$  este foarte apropiată de unitate.

Pentru informare, se dau în tabela 4.2 valorile coeficientului  $\tau_c$  de transfer al căldurii prin convecție, pentru câteva situații caracteristice, care nu se referă numai la liniile electrice.

Tabela 4.2

Valorile coeficientului  $\tau_c \left[ \frac{W}{^{\circ}\text{C} \cdot \text{cm}^2} \right]$  de transfer al căldurii prin convecție

| Elementul   | Răcire în aer              |  |    |     | Răcire în ulei |
|---|----------------------------|--|----|-----|----------------|
|   | Ventilație naturală în aer | Ventilație forțată cu viteza aerului, în m/s |    |     |                |
|   |                            | 3  | 10 | 50  |                |
| Conductor de cupru rotund cu diametrul $d = 2$ cm | 10 ÷ 15                    | —  | —  | —   | —              |
| Bară de cupru $(1 \times 5)$ cm <sup>2</sup>      | 9 ÷ 10                     | —  | —  | —   | —              |
| Bobinaj izolat cu bumbac                          | 10 ÷ 12                    | 20 ÷ 40                                      |    |     | 70 ÷ 80        |
| Cap de bobină izolat                              | 10 ÷ 12                    | 35   | 70 | 200 | —              |
| Miez de tablă silicioasă pentru transformatoare   | 10 ÷ 12                    | 30   | 70 | 110 | 70 ÷ 90        |

Se constată că ventilația forțată la transformatoare activează foarte mult cedarea de căldură către exterior și răcirea acestora.

Coeficientul de transfer al căldurii prin radiație  $\tau_r$ , exprimat în  $[W/cm^2 \cdot ^\circ C]$ , arată cantitatea de energie transmisă într-o secundă, printr-o suprafață de  $1\text{ cm}^2$ , când diferența de temperatură dintre conductor (corpul cald) și mediul înconjurător este de  $1^\circ C$ .

Pentru temperaturi importante mai mari decât  $1200^\circ C$ , valoarea coeficientului  $\tau_r$  crește cu puterea a patra a temperaturii și se calculează cu relația:

$$\tau_r = \frac{\varepsilon_i 5,77}{\Delta \theta} \left[ \left( \frac{273 + \theta_c}{100} \right)^4 - \left( \frac{273 + \theta_0}{100} \right)^4 \right] 10^{-4} \left[ \frac{W}{cm^2 \cdot ^\circ C} \right], \quad (4.8)$$

în care:  $\theta_c$  reprezintă temperatura conductorului, în  $^\circ C$ ;

$\theta_0$  — temperatura mediului înconjurător, în  $^\circ C$ ;

$\Delta \theta = \theta_c - \theta_0$ ;

$\varepsilon_i$  coeficientul de emisie radiantă a suprafeței conductorului, ale cărui valori sînt indicate în tabela 4.3.

Tabela 4.3

Valoarea coeficientului  $\varepsilon_i$  în cazul temperaturilor joase, pentru liniile electrice aeriene

| Starea suprafeței conductoarelor | Materialul conductor |                 |
|----------------------------------|----------------------|-----------------|
|                                  | Cupru                | Aluminiu-Aldrey |
| Polizată                         | 0,15                 | 0,08            |
| Alb-opac                         | 0,24                 | 0,23            |
| Oxidată                          | 0,50                 | 0,35            |
| Oxidată și ușor murdară          | 0,60                 | 0,50            |
| Foarte oxidată                   | 0,73                 | 0,70            |
| Foarte oxidată și murdărită      | 0,88—0,92            | 0,88—0,93       |

La temperaturi joase de circa  $100^\circ C$  sau mai mici, întâlnită în mod curent în instalațiile electrice, coeficientul de radiație  $\tau_r$  se poate calcula cu relația:

$$\tau_r = 2,8 (100 + 0,6 \theta_{max}) 10^{-6} \left[ \frac{W}{^\circ C \cdot cm^2} \right]. \quad (4.9)$$

În general, valoarea energiei cedată prin radiație în cazul conductoarelor din instalațiile electrice de energie este redusă, transferul de căldură către exterior realizîndu-se în principal, prin convecție. Este de menționat însă că coeficientul  $\tau_r$  depinde mult și de aspectul (culoarea și luciul) suprafeței care radiază. Culoarele închise și mate radiază bine căldură, în timp ce culorile deschise și lucioase radiază puțin căldura. De exemplu, pentru o bară de cupru la temperatura de  $120^\circ C$ , coeficientul de radiație are valorile:

$$\tau_r = 0,38 \cdot 10^{-4} \left[ \frac{W}{^\circ C \cdot cm^2} \right], \text{ în cazul unei suprafețe polizate;}$$

$$\tau_r = 7,41 \cdot 10^{-4} \left[ \frac{W}{^\circ C \cdot cm^2} \right], \text{ în cazul unei suprafețe negre, oxidate.}$$



Se constată că în ultimul caz, energia cedată prin radiație este de 20 ori mai mare decât pentru suprafețele polizate. Din această cauză, în instalațiile electrice de distribuție a energiei barele colectoare se vopsesc, îmbunătățindu-se sensibil răcirea acestora. Din cele menționate mai sus se trag următoarele concluzii.

a. Relația (4.4) este generală, fiind valabilă pentru orice temperatură a mediului exterior. Astfel, dacă se notează cu indicii 1 și 2 două stări termice inițiale ale mediului și se presupune că  $\theta_1 = 25^\circ\text{C}$  și  $\theta_2 \neq 25^\circ\text{C}$ , atunci legătura între intensitățile maxime admisibile de curent în cele două stări, este dată de relația:

$$I_{2 adm} = I_{1 adm} \sqrt{\frac{\Delta\theta_2}{\Delta\theta_1}}, \quad (4.10)$$

în care:  $\Delta\theta_1 = \theta_{max} - 25$  și  $\Delta\theta_2 = \theta_{max} - \theta_2$ .

Informativ, în tabela 4.4 se dau intensitățile admisibile de curent în regim permanent de funcționare a conductoarelor liniilor electrice aeriene, pentru  $\theta_{max} = 70^\circ\text{C}$  și  $\theta_i = 25^\circ\text{C}$ . În tabela 4.5 se indică coeficienții de corecție în funcție de variația temperaturii mediului exterior.

Tabela 4.4

**Încărcări admisibile de curent ale conductoarelor în regim permanent de funcționare**

| Secțiunea nominală [mm <sup>2</sup> ] |       | 10 | 16  | 25  | 35  | 50  | 70  | 95  | 120 | 150 | 185 | 240 | 300 |
|---------------------------------------|-------|----|-----|-----|-----|-----|-----|-----|-----|-----|-----|-----|-----|
| Intensitatea curentului [A]           | Cu    | 10 | 120 | 170 | 205 | 255 | 320 | 380 | 455 | 535 | 605 | 725 | 850 |
|                                       | Al    | —  | 100 | 125 | 160 | 200 | 250 | 305 | 355 | 415 | 470 | 575 | 665 |
|                                       | OL-Al | —  | 100 | 125 | 160 | 205 | 260 | 315 | 360 | 420 | 485 | 575 | 665 |

Tabela 4.5

**Coeficienți de corecție ai încărcărilor din tabela 4.4 în funcție de variația temperaturii mediului**

| Temperatura mediului exterior [°C]  | 10   | 15    | 20   | 25   | 30   | 35   | 40   |
|-------------------------------------|------|-------|------|------|------|------|------|
| Valoarea coeficientului de corecție | 1,11 | 1,075 | 1,04 | 1,00 | 0,96 | 0,92 | 0,88 |

b. Intensitatea curentului admisibil de durată este funcție de produsul dintre diametrul conductorului și secțiunea acestuia ( $ds$ ). Considerînd două conductoare cilindrice cu secțiunile  $s_1$  și  $s_2$  și ținînd seamă că diametrul se poate exprima în funcție de secțiune prin relația:

$$d = \sqrt{\frac{4s}{\pi}},$$

rezultă că:

$$\frac{I_{1 adm}}{I_{2 adm}} = \sqrt[4]{\frac{s_1^3}{s_2^3}}$$

sau:

$$\frac{\delta_{1 adm}}{\delta_{2 adm}} = \sqrt[4]{\frac{s_2}{s_1}}, \quad (4.11)$$

în care  $\delta_{1 adm}$  și  $\delta_{2 adm}$  reprezintă densitățile de curent în cele două cazuri.

Dacă  $s_2 > s_1$  atunci  $\delta_{2 adm} < \delta_{1 adm}$ , ceea ce arată că creșterea secțiunii conductorului atrage după sine micșorarea densității de curent admisibilă.

Într-adevăr, pornind de la relația (4.3) se poate scrie că:

$$\rho \frac{l}{s} I^2 = \tau S \Delta \theta = \tau p l \Delta \theta,$$

din care rezultă:

$$\delta = \sqrt{\frac{\tau}{\rho} \cdot \frac{\Delta \theta}{l} \cdot \frac{S}{s}} = \sqrt{\frac{\tau}{\rho} \cdot \frac{p}{s} \Delta \theta}, \quad (4.12)^*$$

unde:  $p$  reprezintă perimetrul conductorului;  
 $\tau = \tau_r + \tau_c$  — coeficientul total de transfer al căldurii către mediul exterior;  
 $\Delta \theta = \theta_{max} - \theta_i$  — diferența dintre temperatura maximă și temperatura inițială.

Din ultima relație se constată că la creșterea diametrului conductorului, suprafața de răcire care revine unității de secțiune transversală  $\frac{S}{s}$  devine

din ce în ce mai mică și condițiile de evacuare a căldurii în exterior sînt mai defavorabile. Această constatare teoretică are o mare importanță din punct de vedere economic, deoarece arată că în cazul alegerii unor secțiuni mari, materialul conductor poate să nu fie totdeauna bine utilizat. De aceea, în astfel de situații este rațional să se folosească mai multe cabluri în paralel la liniile electrice subterane sau mai multe conductoare pe fază la liniile electrice aeriene, mai ales cînd și alte condiții nu sînt satisfăcute (de exemplu, fenomenul corona).

c. Relația (4.4) arată că intensitatea admisibilă de curent în conductoare este proporțională cu rădăcina pătrată din conductivitatea  $\gamma$ . Ținînd seama

---

\* Relația (4.12) poate fi particularizată pentru diferite forme geometrice de conductoare:

— pentru conductoare cu secțiuni cilindrice:  $\delta = \sqrt{4 \frac{\tau}{\rho} \frac{\Delta \theta}{d}}$ ;

— pentru conductoare cu secțiuni pătrate:  $\delta = \sqrt{4 \frac{\tau}{\rho} \cdot \frac{\Delta \theta}{l}}$ ;

— pentru conductoare cu secțiuni dreptunghiulare:  $\delta = \sqrt{2 \frac{\tau}{\rho} \frac{L+l}{Ll} \cdot \Delta \theta}$ .

că în construcția rețelelor electrice materialele conductoare sînt cuprul și aluminiu, pentru aceeași secțiune rezultă că:

$$I_{adm\ Al} = I_{adm\ Cu} \sqrt{\frac{\gamma_{Al}}{\gamma_{Cu}}} \approx 0,77 I_{adm\ Cu}. \quad (4.13)$$

d. În practică, pentru cunoașterea intensităților de curent admisibile în condiții normale de răcire, se utilizează tabele cu încărcări date în prescripții. Cînd apar abateri importante ale condițiilor reale, în raport cu cele normale, încărcările se corectează cu coeficienți, indicați în prescripții (v. tabela 4.5), care țin seama de temperatură mediului — aer, pămînt — în perioada sarcinii maxime.

În cazul cablurilor, poate să intervină un al doilea coeficient care se aplică încărcărilor admisibile tabelate, determinat de *condițiile de montare* ale acestora. Astfel, dacă în același șanț se instalează mai multe cabluri în paralel la distanțe mai mici decît cele indicate în prescripții și norme, se aplică coeficienți de corecție, deoarece se înrăutățesc condițiile de răcire a lor. Acești coeficienți sînt de asemenea tabelați.

Dacă se notează cei doi coeficienți, de temperatură și de montaj, cu  $\alpha_t$  și  $\alpha_m$ , rezultă că curenții reali admisibili în conductoare, în aceste condiții trebuie recalculați, cu relația:

$$I'_{adm} = \alpha_t \cdot \alpha_m I_{adm}. \quad (4.14)$$

În cazul instalării în apă a mai multor cabluri paralele nu se folosesc coeficienți de corecție.

Pentru porțiunile pozate în tuburi fără ventilație artificială, cînd lungimea acestora este mai mare decît 10 m., sarcinile de calcul admisibile se adoptă conform tabelelor pentru cabluri instalate în aer. Cînd se pozează mai multe cabluri în paralel, se introduc suplimentar anumiți coeficienți tabelați; în acest caz, drept distanță între cabluri se consideră distanța între axele tuburilor, minus diametrul cablului.

Dacă instalarea cablului se face pe trasee cu diferite condiții de răcire, atunci intensitatea admisibilă de curent se determină sau se alege pentru porțiunea cu cele mai nefavorabile condiții de răcire.

e. În cazul cablurilor ce funcționează în regim permanent, cantitatea de căldură ce trebuie evacuată este mai mare decît la liniile electrice aeriene, deoarece în afara pierderilor de energie în conductoare, mai au loc pierderi de energie, transformate în căldură în dielectric (în conductanța laterală a acestora) și în învelișurile protectoare ale cablurilor, datorită curenților induși în acestea de către curentul de conducție din conductoare. De aceea, intensitățile admisibile de curenți în cabluri diferă într-o oarecare măsură de cele din conductoarele liniilor electrice aeriene, iar supraîncărcările de lungă durată ale acestora sînt interzise. Se admit supraîncărcări pe perioade de cel mult două ore, pentru condiții normale de funcționare, care sînt de 10 % din sarcina admisibilă, pentru cabluri cu tensiuni nominale pînă la 3 kV și 15 % pentru cablurile cu tensiuni nominale de 6 și 10 kV.

### 4.3. ÎNCĂLZIREA CONDUCTOARELOR ÎN REGIM INTERMITENT

În anumite cazuri, consumatorii prezintă un regim intermitent, care se caracterizează prin perioade scurte de funcționare, urmate de pauze, de asemenea scurte. În aceste condiții, dacă conductoarele sînt parcurse un timp  $t$  de un curent cu aceeași intensitate, însă în mod intermitent, atunci încălzirea lor va fi mai mică

și variația temperaturii corespunde curbei frînte dată în figura 4.2. În intervalul de timp  $t_1$ , cînd conductorul este parcurs de curent, încălzirea lui se produce după legea reprezentată de curba  $OB$  din figura 4.1, fără a fi atinsă temperatura  $\theta_{max}$ . Cînd curentul este întrerupt, în intervalul de timp  $t_2$ , răcirea conductorului se face după legea reprezentată prin curba  $AC$  din figura 4.1, fără a se reveni la temperatura inițială. Pentru intervalele următoare  $t_3, t_4, \dots, t_{n-1}, t_n$  variația temperaturii se produce analog, stabilindu-se în final o temperatură care este mai mică decît aceea pe care ar atinge-o conductorul, dacă ar fi parcurs permanent de un curent de aceeași intensitate. Această constatare are o importanță practică deosebită, deoarece curenții admisibili în conductoare în cazul unor sarcini intermitente, pot avea intensități mai mari decît la sarcini permanente.

Într-un regim intermitent de funcționare oarecare, curentul echivalent \*, pentru care trebuie alese conductoarele și verificate din punct de vedere termic, se determină cu relația:

$$I_e = \sqrt{\frac{I_1^2 t_1 + I_2^2 t_2 + \dots + I_n^2 t_n}{t_1 + t_2 + \dots + t_n}}, \quad (4.15)$$

în care:  $I_1, I_2, \dots, I_n$  reprezintă intensitățile de curent în perioadele de funcționare;

$t_1, t_2, \dots, t_n$  — timpii de funcționare.

În cazul cînd se presupun regimuri ciclice de lucru, curentul echivalent, care pe timpul unui ciclu (sau a  $n$  cicluri) ar produce aceeași ridicare de temperatură ca și curenții reali  $I$  din figura 4.3, se determină cu relația (4.15) pusă sub forma:

$$I_e = \sqrt{\frac{n I^2 t_1}{n(t_1 + t_2)}} = I \sqrt{\frac{t_1}{t_1 + t_2}} = I \sqrt{D_A} \quad (4.16)$$

\* Acest curent ar produce aceeași creștere a temperaturii conductoarelor ca și curenții reali.

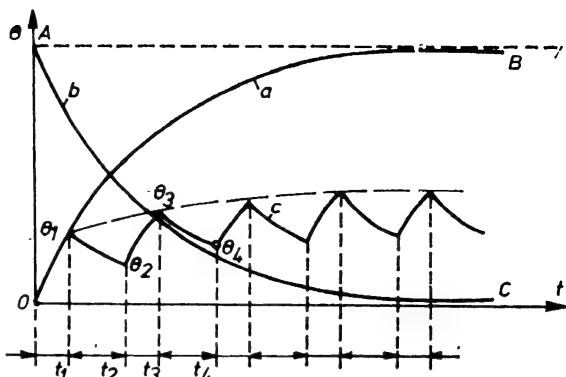
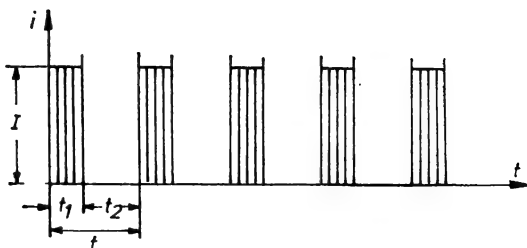


Fig. 4.2. Încălzirea conductoarelor în regim intermitent: a — curba de încălzire; b — curba de răcire; c — curba de încălzire intermitentă.

Fig. 4.3. Determinarea duratei active de lucru pentru regimuri ciclice de lucru.



în care:  $t_1$  reprezintă timpul activ de lucru al ciclului;

$t_2$  — timpul de pauză al ciclului;

$n$  — numărul de cicluri;

$D_A = \frac{t_1}{t_1 + t_2}$  — durata activă relativă a ciclului.

Din relația (4.16) se determină că:

$$I = I_e \sqrt{\frac{1}{D_A}} = I_e \sqrt{\frac{100}{D_A \%}}. \quad (4.17)$$

Deoarece  $\frac{1}{D_A}$  este totdeauna un număr supraunitar, rezultă că inten-

sitatea curentului  $I$  al ciclului este mai mare decât intensitatea curentului echivalent de durată sub sarcină constantă, care ar produce aceeași temperatură a conductorului.

În calculul efectuat trebuie făcută și o verificare a încălzirii în timpul duratei de conectare. Pentru secțiuni mici de conductoare, de exemplu de  $6 \text{ mm}^2$ , din cauza constantei mari de răcire a conductorului, se limitează timpul activ de lucru la circa 4 min.

#### 4.4. ÎNCĂLZIREA CONDUCTOARELOR ÎN REGIM TRANZITORIU

Regimul termic tranzitoriu al conductoarelor parcurse de curenți electrice este caracterizat prin aceeași ecuație generală de bilanț (4.1) care se poate explicita în funcție de caracteristicile de material, de dimensiunile geometrice și de condițiile de răcire ale acestora.

Fie conductorul de rezistență  $r$ , căldură specifică volumică  $c$  și volum de material  $V$ , care este alimentat cu o tensiune alternativ sinusoidală  $\hat{U} \sin \omega t$  de la rețeaua de impedanță  $\underline{Z} = R + j \omega L$ , așa cum se arată în figura 4.4.

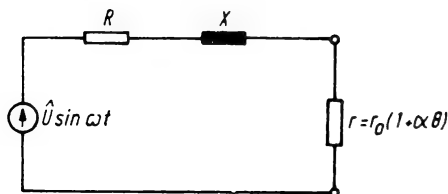


Fig.4.4. Schema electrică principală de alimentare a unui conductor de rezistență  $r$ .

Dacă se consideră că schimbul de căldură cu mediul exterior se face prin suprafața laterală  $S$ , cu un coeficient total de transmisie  $\tau$  și se neglijează căldura pierdută prin conductibilitate, ecuația (4.1) a echilibrului termic în conductor este:

$$cV d\theta + \tau S \theta dt = r_0(1 + \alpha \theta) I^2 dt, \quad (4.18)^*$$

în care:  $cV d\theta$  reprezintă căldura acumulată în conductor pentru o variație a temperaturii  $d\theta$ ;

$\tau S \theta dt$  — căldura transmisă mediului prin radiație și convecție în intervalul de timp  $dt$ ;

$r_0(1 + \alpha \theta) I^2 dt$  — energia electrică pierdută ca urmare a trecerii curentului prin conductor în intervalul de timp  $dt$ .

Ordonând termenii, ecuația (4.18) se poate scrie sub forma:

$$\frac{d\theta}{dt} + \frac{\tau S}{cV} \left(1 - \alpha \frac{r_0 I^2}{\tau S}\right) \theta = \frac{r_0 I^2}{cV}, \quad (4.19)$$

cu ajutorul căreia se pot pune în evidență următoarele mărimi fizice:

*Constanta de timp a încălzirii*  $T = \frac{cV}{\tau S}$  care depinde de condițiile de răcire ( $\tau$ ), de caracteristica de material ( $c$ ) și de dimensiunile geometrice ale conductoarelor ( $S, V$ ). În cazul conductoarelor cilindrice, de exemplu, constanta de timp a încălzirii este definită de relația:

$$T = \frac{c}{\tau} \cdot \frac{a}{2}, [s] \quad (4.20)$$

în care  $a$  reprezintă raza conductoarelor.

*Viteza inițială de creștere a temperaturii*  $v_0 = \frac{r_0 I^2}{cV}$ , care caracterizează starea termică a conductoarelor, când temperatura lor este încă redusă. Ea depinde de caracteristicile de material ( $\rho_0, c$ ) și de pătratul densității curentului în conductor, adică:

$$v_0 = \frac{\rho_0}{c} \cdot \frac{I^2}{s^2} = \frac{\rho_0}{c} \delta^2 \left[ \frac{^\circ\text{C}}{s} \right]. \quad (4.21)$$

*Intensitatea procesului electrotermic*  $H = \frac{r_0 I^2}{\tau S}$ , care reprezintă temperatura fictivă finală stabilizată în conductor, dacă rezistența acestuia nu ar varia cu temperatura. Ea depinde de dimensiunile geometrice ale conductoarelor, de condițiile de răcire ( $\tau$ ), de constanta de material ( $\rho_0$ ) și de pătratul intensității curentului. Pentru un conductor cilindric, de exemplu, această mărime se poate pune sub forma:

$$H = \frac{a}{2} \cdot \frac{\rho_0}{\tau} \delta^2 [^\circ\text{C}]. \quad (4.22)$$

\* În această ecuație și în cele care vor fi deduse cu ajutorul ei,  $\theta$  are semnificația unei diferențe de temperaturi  $\theta = (\theta_1 - \theta_2)$ , respectiv  $d\theta = d(\theta_1 - \theta_2)$ .

Cele trei mărimi fizice definite mai sus, între care există relația de legătură:

$$H = v_0 T \quad (4.23)$$

permit scrierea ecuației (4.19) sub forma:

$$\frac{d\theta}{dt} + \frac{1-H}{T} \theta = v_0, \quad (4.24)$$

a cărei soluție generală va fi dată ținând seama de condițiile de alimentare a conductoarelor, reieșite din variația pierderilor de putere în funcție de temperatură.

#### a. Stabilirea funcției pierderilor de putere electrică în conductoare

Dacă rezistența conductorului din figura 4.4 variază liniar cu temperatura, atunci pierderile de putere sînt date de relația:

$$p = \frac{r_0 (1 + \alpha \theta) U^2}{[R + r_0(1 + \alpha \theta)]^2 + X^2} = p_0 \frac{m (1 + \alpha \theta)}{[1 + m (1 + \alpha \theta)]^2 + n^2}, \quad (4.25)$$

în care:  $p_0 = \frac{U^2}{R}$  reprezintă pierderile de putere în rezistența rețelei de alimentare;

$m = \frac{r_0}{R}$  — raportul dintre rezistența inițială a conductorului și cea a rețelei de alimentare;

$n = \frac{X}{R} = \operatorname{tg} \varphi_0$  — parametru caracteristic rețelei de alimentare.

Ecuația (4.25) se poate scrie sub forma:

$$y = \frac{p}{p_0} = \frac{z}{(1+z)^2 + n^2}, \quad (4.26)$$

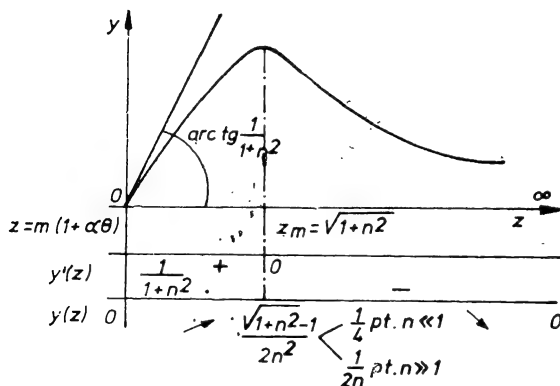


Fig. 4.5. Variația funcției pierderilor de putere cu temperatura.

în care  $z = m(1 + \alpha \theta) \in [0, \infty)$

sau  $\alpha \theta \in [-1, \infty)$ .

Funcția  $y(z)$  reprezintă funcția pierderilor de putere, care poate fi reprezentată printr-un fascicol de curbe, a căror variație generală este redată în figura 4.5. Atît panta în origine, cît și valoarea maximă a curbelor depind

numai de parametrii rețelei de alimentare, fiind determinate prin relațiile:

$$\operatorname{tg} \beta = \frac{1}{1 + n^2} \quad (4.27)$$

și

$$y_{\max} = \frac{z_m - 1}{2n^2} = \frac{\sqrt{1 + n^2} - 1}{2n^2}, \quad (4.28)$$

în care s-a ținut seama că:

$$z_m = \sqrt{1 + n^2}.$$

Conform figurii 4.5 variația funcției pierderilor de putere prezintă anumite zone caracteristice, care corespund unor condiții de alimentare a conductoarelor bine definite. Aceste zone se vor pune în evidență făcînd următoarele interpretări și aproximații.

1. *Asupra valorilor maxime ale variabilei și funcției*

Dacă  $n \ll 1$  ( $R \gg X$ ), adică rețeaua de alimentare este puternic rezistivă, atunci:

$$z_m = \sqrt{1 + n^2} \approx 1 + \frac{n^2}{2} \quad (4.29)$$

și

$$y_{\max} = \frac{1}{4} = \text{const.} \quad (4.30)$$

Dacă  $n \gg 1$  ( $R \ll X$ ), adică rețeaua de alimentare este puternic inductivă, atunci:

$$z_m = \sqrt{1 + n^2} \approx n + \frac{1}{2n} \quad (4.31)$$

și

$$y_{\max} \approx \frac{1}{2n}.$$

2. *Asupra funcției pierderilor de putere*

Dacă parametrul  $m \ll 1$  ( $r_0 \ll R$ ) la temperaturi mici, se poate scrie că:

$$z = m(1 + \alpha \theta) \ll 1 \quad (4.32)$$

și

$$y = \frac{z}{(1 + z)^2 + n^2} \approx \frac{z}{1 + n^2} = \frac{m(1 + \alpha \theta)}{1 + n^2}, \quad (4.33)$$

adică funcția pierderilor de putere se poate aproxima printr-o dreaptă. În aceste condiții, alimentarea conductoarelor se face cu *curent practic constant*, egal cu curentul inițial din circuit:

$$I^2 = \frac{U^2}{R^2} \cdot \frac{1}{(1 + z)^2 + n^2} \approx \frac{U^2}{R^2 + X^2} = I_0^2. \quad (4.34)$$



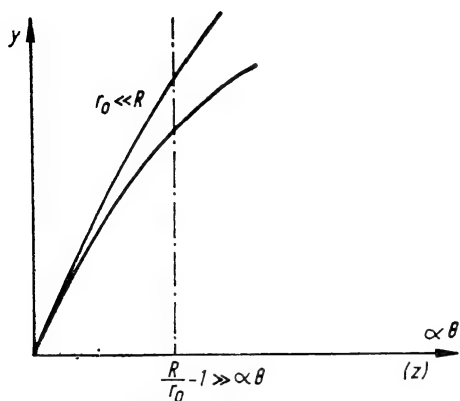


Fig. 4.6. Variația pierderilor de putere cu temperatura cînd rezistența conductorului este mult mai mică decît cea a rețelei de alimentare.

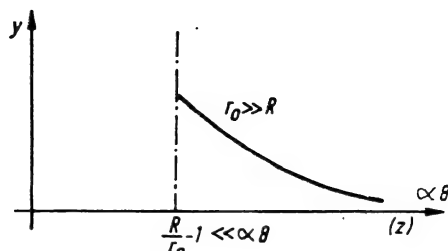


Fig. 4.7. Variația pierderilor de putere cu temperatura, cînd rezistența inițială a conductorului este mult mai mare decît cea a rețelei de alimentare.

Din punct de vedere fizic, rezultă că în această zonă *variația pierderilor de putere este determinată mai ales de creșterea rezistenței cu temperatura*. Micșorarea intensității curentului cu rezistența este practic neînsemnată.

Pe măsură ce temperatura conductorului crește, variația pierderilor de putere nu mai este liniară, însă continuă să aibă o alură crescătoare, ca în figura 4.6, ceea ce pune în evidență faptul că influența creșterii rezistenței este predominantă.

Panta curbelor date în figurile 4.5 și 4.6 reprezintă viteza creșterii pierderilor de putere în conductor cu temperatura și constituie un indiciu cu privire la capacitatea de evacuare a căldurii în mediul înconjurător și de realizare a unui echilibru termic.

La temperaturi foarte scăzute, pierderile de putere scad și devin teoretic nule pentru  $z = 0$  ( $\alpha\theta = 1$ ). Dacă se ține seama că pentru conductoare de cupru  $\alpha \approx 0,0042 \text{ grad}^{-1}$ , rezultă că pierderile sînt nule la o temperatură  $\theta \approx -235^\circ\text{C}$ . Acest fapt constatat la scară microscopică este aproximativ, deoarece trebuie avute în vedere fenomenele fizice care se petrec în conductoare la temperaturi foarte scăzute. Într-adevăr, condiția pierderilor nule asociate descreșterii rezistivității electrice, deci modificărilor proprietăților metalelor, se realizează la o temperatură critică diferită de cea de mai sus și pentru o intensitate de cîmp magnetic suficient de redusă. Aceste condiții oferă metalelor *proprietatea de supraconductibilitate*, a cărei folosire în tehnica transportului de energie electrică, permite creșterea capacității de transport și reducerea apreciabilă a pierderilor de putere.

Dacă parametrul  $n \gg 1$  ( $r_0 \gg R$ ) *alimentarea conductorului se face sub tensiune practic constantă*. Curentul din conductor scade rapid cu creșterea temperaturii, iar funcția pierderilor de putere variază conform relației:

$$y = \frac{z}{(1+z)^2 + n^2} = \frac{z}{z^2 + n^2} = \frac{n(1+\alpha\theta)}{1+n^2}. \quad (4.36)$$

Alura ei este aproximativ hiperbolică și corespunde figurii 4.7, din care rezultă că intensitatea curentului absorbit inițial este mare, după care se

micșorează, pe măsura creșterii temperaturii. În acest caz, influența descreșterii curentului asupra pierderilor de putere este mai neînsemnată decât cea a creșterii rezistenței cu temperatura, iar  $z_m \Rightarrow n$  și  $y_{max} \Rightarrow \frac{1}{2n^2}$ .

În jurul valorii sale maxime, variația funcției pierderilor de putere se poate determina dezvoltînd în serie Taylor ecuația (4.26) obținîndu-se:

$$y(z) = y[(z - z_m) + z_m] = y(z_m) + \frac{z - z_m}{1!} y'(z_m) + \frac{(z - z_m)^2}{2!} y''(z_m) + \dots \quad (4.37)$$

Considerînd numai primii trei termeni ai dezvoltării în serie și ținînd seama că  $y'(z_m) = 0$ , rezultă că:

$$y(z) \approx y(z_m) + \frac{(z - z_m)^2}{2!} y''(z_m) = y_{max} - \frac{(z - z_m)^2}{4z_m(1 + z_m)^2}, \quad (4.38)$$

în care s-a ținut seama că:

$$y''(z_m) = -\frac{1}{2z_m(1 + z_m)^2}. \quad (4.39)$$

Funcția pierderilor de putere din jurul valorii sale maxime reprezintă o parabolă, dată de ecuația (4.38), cu vîrful în punctul de coordonate  $(z_m, y_m)$  așa cum se arată în figura 4.8. Se constată că pentru  $z \approx 1 (r_0 \approx R)$ , în această zonă, funcția pierderilor de putere rămîne aproximativ constantă, ceea ce poate constitui un indiciu cu privire la posibilitatea realizării unui echilibru termic al conductoarelor. Din punct de vedere fizic, rezultă că creșterea rezistenței cu temperatura este echilibrată de descreșterea curentului de alimentare. În aceste condiții *alimentarea conductoarelor se face cu pierderi aproximativ constante*.

Valoarea cea mai mare a funcției pierderilor de putere se obține scriind:

$$y'_{max}(n) = \frac{2\sqrt{1+n^2} - 2 - n^2}{2n^3\sqrt{1+n^2}}, \quad (4.40)$$

care se anulează pentru  $n = 0$ . În aceste condiții se constată că:

$$\begin{aligned} (y_{max})_{max} &= \lim_{n \rightarrow 0} \frac{\sqrt{1+n^2} - 1}{2n^2} = \\ &= \lim_{n \rightarrow 0} \frac{n}{1+n^2} = \frac{1}{4}, \end{aligned} \quad (4.41)$$

adică cele mai mari pierderi de putere în conductor au loc cînd rețeaua de alimentare este puternic ohmică.

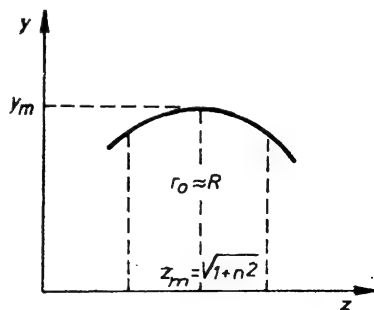


Fig. 4.8. Variația pierderilor de putere cu temperatura, în jurul valorii lor maxime.

## b. Integrarea ecuației generale a încălzirii în regim tranzitoriu

Regimul termic al conductoarelor electrice este mult influențat de condițiile de alimentare cu energie electrică. Dacă *alimentarea se face cu curent practic constant*, adică  $m \ll 1$  și  $r_0 \ll R$ , regimul termic al conductoarelor poate fi sau nu stabil, acest lucru depinzând în mare măsură de panta curbei pierderilor de putere. Dacă *alimentarea se face cu pierderi aproximativ constante* ( $r_0 \approx R$ ) sau cu *tensiune practic constantă* ( $r_0 \gg R$ ), atunci regimul termic al conductoarelor poate deveni totdeauna stabil.

În cele ce urmează, se analizează cele trei cazuri de alimentare a conductoarelor și se constată că variația temperaturii și temperaturile de regim obținute sînt mult diferite între ele.

### 4.4.1. CONDUCTOARE ALIMENTATE CU CURENT PRACTIC CONSTANT

În acest caz, ecuația (4.24) are soluția:

$$\theta = \theta_{\infty}(1 - e^{-\frac{t}{T_e}}), \quad (4.42)$$

în care:  $\theta_{\infty} = \frac{H}{1 - \alpha H} = \frac{v_0 T}{1 - \alpha v_0 T}$  reprezintă temperatura finală efectivă a conductorului;

$T_e = \frac{T}{1 - \alpha H} = \frac{H}{v_0(1 - \alpha v_0 T)}$  — constanta de timp exponențială a încălzirii.

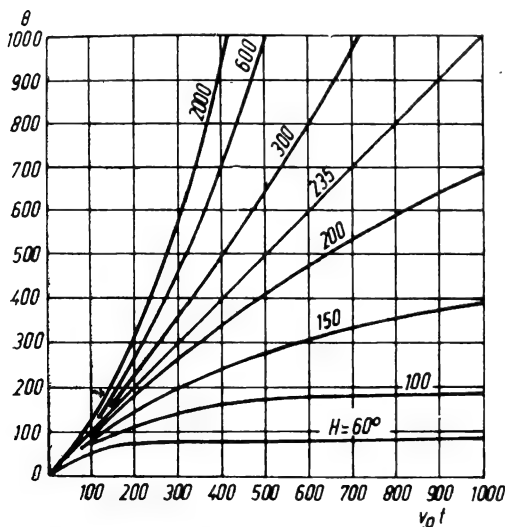


Fig. 4.9. Variația în timp a temperaturii conductoarelor, considerînd diferite intensități ale procesului electrotermic.

Mărimile  $\theta$ ,  $\theta_{\infty}$  și  $T_e$  depind de intensitatea procesului electrotermic. De aceea, în reprezentarea grafică a soluției (4.42) dată în figura 4.9 pentru conductoare de cupru, intensitatea procesului electrotermic a fost considerată ca un parametru.

În interpretarea curbelor de variație a temperaturii conductoarelor trebuie să se țină seama de următoarele procese fizice:

- creșterea rezistenței cu temperatura, care condiționează o creștere suplimentară de putere în conductor;

- răcirea conductoarelor determinată de transferul de căldură către mediul exterior și de dimensiunile geometrice ale acestora;

— pierderile de putere în conductor.

Dacă intensitatea procesului electrotermic  $H < \frac{1}{\alpha} = 235^\circ\text{C}$ , atunci constanta de timp exponențială  $T_e > 0$ , iar exponentul din paranteza soluției (4.42) devine negativ. Temperatura conductoarelor tinde asimptotic către o valoare finită, ceea ce arată că se realizează totdeauna un echilibru termic.

Dacă intensitatea procesului electrotermic  $H > \frac{1}{\alpha} = 235^\circ\text{C}$ , atunci constanta de timp exponențială  $T_e < 0$ , iar exponentul din paranteza soluției (4.42) devine pozitiv. În aceste condiții, nu se poate realiza un echilibru termic, temperatura conductoarelor ia valori importante care conduc la topirea sau volatilizarea acestora. În regim de scurtcircuit încălzirea conductoarelor se produce după o lege asemănătoare acestui caz.

Dacă intensitatea procesului electrotermic  $H = \frac{1}{\alpha} = 235^\circ\text{C}$ , apare un regim critic, când ecuația de încălzire ia forma particulară:

$$\frac{d\theta}{dt} = v_0, \quad (4.43)$$

care arată că temperatura conductoarelor crește liniar în timp, pînă la topirea sau volatilizarea acestora. Încălzirea suplimentară datorită creșterii rezistenței cu temperatura este compensată total prin transferul de căldură proporțional cu coeficientul  $\tau$  și diferența de temperatură, iar creșterea temperaturii conductoarelor este determinată numai de termenul din partea dreaptă a ecuației (4.19), proporțional cu energia pierdută în conductor.

#### 4.4.2. CONDUCTOARE ALIMENTATE ÎN CONDIȚII DE PIERDERI APROXIMATIV CONSTANTE

În aceste condiții, puterea pierdută în conductoare care se transformă în căldură, rămîne aproximativ constantă, adică:

$$r_0 I_0^2 \approx r_\infty I_\infty^2, \quad (4.44)$$

iar ecuația încălzirii se poate scrie sub forma:

$$\frac{d\theta}{dt} + \frac{\theta}{T} = v_0. \quad (4.45)$$

Soluția acestei ecuații este:

$$\theta = v_0 T \left( 1 - e^{-\frac{t}{T}} \right) = \theta_\infty \left( 1 - e^{-\frac{t}{T}} \right), \quad (4.46)$$

care arată că temperatura finală a conductorului are totdeauna o valoare finită, egală cu intensitatea procesului electrotermic ( $v_0 T = H$ ). Pierderile de putere fiind aproximativ constante, rezultă că în cazul unui proces sta-

bilizat efectul creșterii rezistenței cu temperatura este compensat de reducerea intensității curentului, iar între curentul absorbit inițial și cel de regim permanent există relația:

$$I_{\infty} = \frac{I_0}{\sqrt{1 + \alpha \bar{H}}} = \frac{I_0}{\sqrt{1 + \alpha \theta_{\infty}}}, \quad (4.47)$$

adică intensitatea curentului de regim permanent scade invers proporțional cu rădăcina pătrată a intensității procesului electrotermic.

#### 4.4.3. CONDUCTOARE ALIMENTATE CU TENSIUNE APROXIMATIV CONSTANTĂ

În acest caz, ecuația (4.19) a echilibrului electrotermic al conductorului se poate scrie sub forma:

$$cV \frac{d\theta}{dt} + \tau S \theta \approx \frac{r_0 I_0^2}{1 + \alpha \theta}$$

sau:

$$\frac{d\theta}{dt} + \frac{\theta}{T} = \frac{v_0}{1 + \alpha \theta} \quad (4.48)$$

a cărei soluție se obține separînd variabilele și integrînd parte cu parte.

Astfel, ecuația (4.48) se poate scrie, după transformări, sub forma:

$$\begin{aligned} \frac{1}{2} \int_0^{\theta} \frac{2\alpha\theta + 2}{\alpha\theta^2 + \theta - H} d\theta &= \frac{1}{2} \int_0^{\theta} \frac{d(\alpha\theta^2 + \theta - H)}{\alpha\theta^2 + \theta - H} d\theta + \frac{1}{2} \int_0^{\theta} \frac{d\theta}{\alpha\theta^2 + \theta - H} = \\ &= - \int_0^{\theta} \frac{dt}{T}. \end{aligned} \quad (4.49)$$

Integrala primului termen este evidentă, adică:

$$\frac{1}{2} \int_0^{\theta} \frac{d(\alpha\theta^2 + \theta - H)}{\alpha\theta^2 + \theta - H} d\theta = \frac{1}{2} \ln \left| \alpha\theta^2 + \theta - H \right|_0^{\theta}. \quad (4.50)$$

Integrala celui de-al doilea termen va fi pusă sub forma:

$$\begin{aligned} \frac{1}{2} \int_0^{\theta} \frac{d\theta}{\alpha\theta^2 + \theta - H} &= \frac{1}{2} \int_0^{\theta} \frac{d\theta}{(\theta - \theta_1)(\theta - \theta_2)} = \frac{1}{2\alpha(\theta_1 - \theta_2)} \left[ \int_0^{\theta} \frac{d\theta}{\theta - \theta_1} - \right. \\ &\quad \left. - \int_0^{\theta} \frac{d\theta}{\theta - \theta_2} \right] = \frac{1}{2\alpha(\theta_1 - \theta_2)} \ln \left| \frac{\theta - \theta_1}{\theta - \theta_2} \right|_0^{\theta}, \end{aligned} \quad (4.51)$$

în care:  $\theta_1$  și  $\theta_2$  reprezintă rădăcinile trinomului  $(\alpha\theta^2 + \theta - H)$ , care au valorile:

$$\theta_1 = \frac{1}{2\alpha} (\sqrt{1 + 4\alpha\bar{H}} - 1) \text{ și } \theta_2 = -\frac{1}{2\alpha} (\sqrt{1 + 4\alpha\bar{H}} + 1). \quad (4.52)$$

Soluția generală a ecuației diferențiale (4.49) rezultă din adunarea soluțiilor (4.50) și (4.51), adică:

$$\ln |\alpha \theta^2 + \theta - H|_0^\theta + \frac{1}{\alpha (\theta_1 - \theta_2)} \ln \left| \frac{\theta - \theta_1}{\theta - \theta_2} \right|_0^\theta = -\frac{2t}{T}, \quad (4.53)$$

care se poate încă transforma. Astfel, dezvoltind termenii din partea stângă:

$$\begin{aligned} \ln |\alpha \theta^2 + \theta - H|_0^\theta &= \ln \alpha |(\theta - \theta_1)(\theta - \theta_2)|_0^\theta = \\ &= \ln \left| \frac{\theta - \theta_1}{\theta_1} \right| - \ln \left| \frac{\theta - \theta_2}{\theta_2} \right| \end{aligned} \quad (4.54)$$

și

$$\ln \left| \frac{\theta - \theta_1}{\theta - \theta_2} \right|_0^\theta = \ln \left| \frac{\theta - \theta_1}{\theta - \theta_2} \right| - \ln \frac{\theta_1}{\theta_2} = \ln \left| \frac{\theta - \theta_1}{\theta_1} \right| - \ln \left| \frac{\theta - \theta_2}{\theta_2} \right| \quad (4.55)$$

și introducând în soluția (4.53) se obține:

$$\begin{aligned} \ln \left| \frac{\theta - \theta_1}{\theta_1} \right| + \ln \left| \frac{\theta - \theta_2}{\theta_2} \right| + \frac{1}{\alpha (\theta_1 - \theta_2)} \ln \left| \frac{\theta - \theta_1}{\theta_1} \right| - \\ - \frac{1}{\alpha (\theta_1 - \theta_2)} \ln \left| \frac{\theta - \theta_2}{\theta_2} \right| = -\frac{2t}{T} \end{aligned}$$

sau:

$$\left(1 + \frac{1}{\alpha (\theta_1 - \theta_2)}\right) \ln \left| \frac{\theta - \theta_1}{\theta_1} \right| + \left(1 - \frac{1}{\alpha (\theta_1 - \theta_2)}\right) \ln \left| \frac{\theta - \theta_2}{\theta_2} \right| = -\frac{2t}{T}. \quad (4.56)$$

Dacă se notează:

$$\begin{aligned} A = 1 + \frac{1}{\alpha (\theta_1 - \theta_2)} &= 1 + \frac{1}{\sqrt{1 + 4\alpha H}}; B = 1 - \frac{1}{\alpha (\theta_1 - \theta_2)} = \\ &= 1 - \frac{1}{\sqrt{1 + 4\alpha H}}, \end{aligned}$$

soluția (4.56) se poate pune sub forma:

$$A \ln \left| \frac{\theta - \theta_1}{\theta_1} \right| + B \ln \left| \frac{\theta - \theta_2}{\theta_2} \right| = -\frac{2t}{T} \quad (4.57)$$

sau:

$$\left| \frac{\theta - \theta_1}{\theta_1} \right|^A \cdot \left| \frac{\theta - \theta_2}{\theta_2} \right|^B = e^{-\frac{2t}{T}}. \quad (4.58)$$

Sub această formă, soluția (4.58) se studiază cu dificultate. De aceea pentru trasarea unor curbe universale se determină temperatura regimului staționar  $\theta_\infty$  și se studiază variația abaterilor de temperatură față de acest regim.

Regimul staționar se studiază considerînd  $t \Rightarrow \infty$  în soluția (4.58), adică:

$$\left| \frac{\theta_\infty - \theta_1}{\theta_1} \right|^A \cdot \left| \frac{\theta - \theta_2}{\theta_2} \right|^B = 0, \quad (4.59)$$

din care rezultă:

$$\theta_\infty = \theta_1 = \frac{1}{2\alpha} \left( \sqrt{1 + 4\alpha H} - 1 \right), \quad (4.60)$$

care arată că temperatura finală are totdeauna o valoare finită, cu atît mai ridicată cu cît viteza inițială de creștere a temperaturii este mai mare și constanta de timp este mai mică. Ea este mult diferită de soluțiile obținute în cazurile studiate la paragrafele 4.4.1 și 4.4.2. De exemplu, considerînd  $\alpha H = 1$ , care în paragraful 4.4.1 reprezenta o condiție critică, se obține  $\theta_\infty < \frac{1}{\alpha}$ .

Pentru intensități electrotermice ridicate,  $H > \frac{1}{\alpha}$ , soluția (4.60) poate fi scrisă și sub forma aproximativă:

$$\theta_\infty \approx \sqrt{\frac{H}{\alpha}}, \quad (4.61)$$

adică temperatura finală, în aceste condiții, este aproximativ proporțională cu rădăcina pătrată din intensitatea procesului electrotermic.

Pentru trasarea curbelor universale ale încălzirii, în unități relative, se va deduce o ecuație generală, a abaterilor temperaturilor față de temperatura regimului stabilizat. În acest scop se determină, prin transformarea ecuației (4.60):

$$2(\alpha \theta_\infty + 1) = \sqrt{1 + 4\alpha H} + 1$$

sau:

$$\frac{\alpha \theta_\infty + 1}{\alpha} = \theta_\infty + \frac{1}{\alpha} = \frac{\sqrt{1 + 4\alpha H} + 1}{2\alpha}. \quad (4.62)$$

Înlocuind (4.60) și (4.62) în ecuația (4.57) și ținînd seama că:

$$\begin{aligned} A &= 1 + \frac{1}{\sqrt{1 + 4\alpha H}} = 1 + \frac{1}{1 + 2\alpha \theta_\infty}; \quad B = 1 - \frac{1}{\sqrt{1 + 4\alpha H}} = \\ &= 1 - \frac{1}{1 + 2\alpha \theta_\infty} \end{aligned}$$

se obține:

$$\begin{aligned} &\left( 1 + \frac{1}{1 + 2\alpha \theta_\infty} \right) \ln \left| \frac{\theta - \theta_\infty}{\theta_\infty} \right| + \\ &+ \left( 1 - \frac{1}{1 + 2\alpha \theta_\infty} \right) \ln \left| \frac{1 + \alpha(\theta - \theta_\infty) + 2\alpha \theta_\infty}{1 + \alpha \theta_\infty} \right| = -\frac{2t}{T} \end{aligned}$$

sau:

$$\frac{1}{2+k} \left[ \ln \left| \frac{1+k}{x+k+2} \right| - (1+k) \ln |x| \right] = \beta, \quad (4.63)$$

în care s-au făcut următoarele notații:

$$k = \frac{1}{\alpha \theta_{\infty}}; \quad x = \frac{\Delta \theta}{\theta_{\infty}} = \frac{|\theta - \theta_{\infty}|}{\theta_{\infty}}; \quad \beta = \frac{t}{T}.$$

Funcția (4.63) permite trasarea unor curbe  $\beta = f(x)$  în intervalul  $(-1, 0)$  pentru diferite valori ale parametrului  $k = \frac{1}{\alpha \theta_{\infty}} = \varphi(H)$ . În punctele limită ale domeniului de definiție, funcția are următoarele valori:

$$[\beta]_{x=-1} = \frac{1}{k+2} \left[ \ln \left| \frac{1+k}{1+k} \right| - (1+k) \ln |-1| \right] = 0$$

și

$$[\beta]_{x=0-} = \infty.$$

Derivata funcției:

$$\frac{d\beta}{dx} = -\frac{1}{k+2} \left[ \frac{1}{x+k+2} + \frac{1+k}{x} \right] \quad (4.64)$$

se anulează pentru  $x = -(1+k) \notin (-1, 0)$ .

Rezultă de asemenea că:

$$\left[ \frac{d\beta}{dx} \right]_{x=0-} = \infty; \quad \left[ \frac{d\beta}{dx} \right]_{x=-1} = \frac{k}{1+k} > 0$$

și

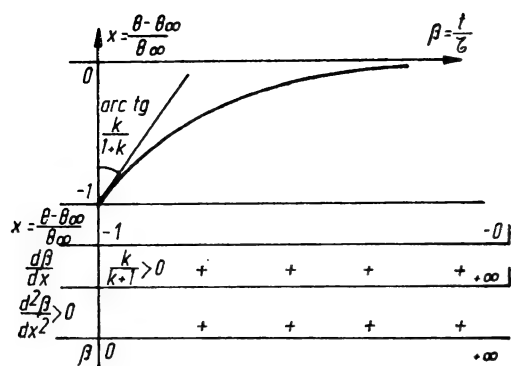
$$\frac{d^2\beta}{dx^2} = \frac{1}{k+2} \left[ \frac{1}{(x+k+2)^2} + \frac{1+k}{x^2} \right] > 0 \quad (4.65)$$

În figura 4.10, *a* este dată alura generală a funcției (4.63), iar în figura 4.10, *b* sînt trasate curbele de variație ale aceleiași funcții pentru parametrul  $k = \frac{1}{\alpha \theta_{\infty}}$ , variabil în limitele de  $(0, 1 \div 2)$ .

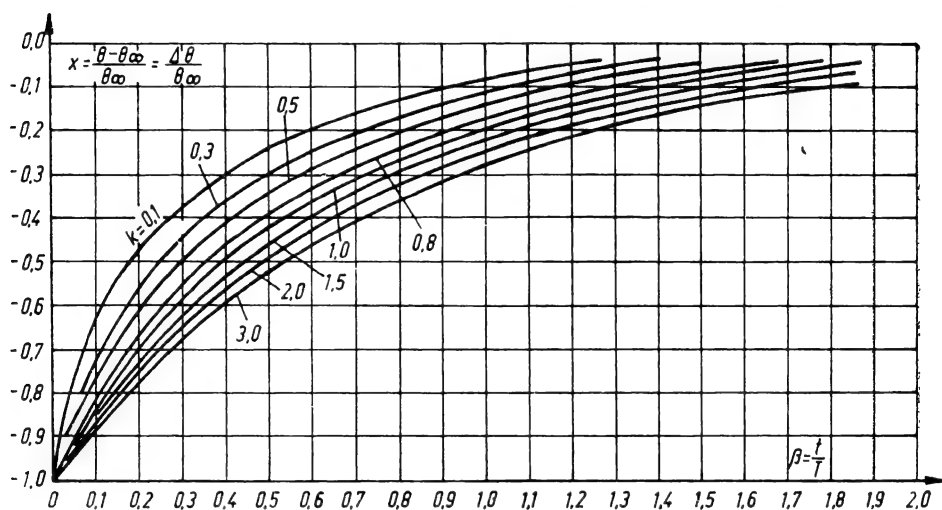
Rezultatele obținute permit să se tragă concluzia că în cazul conductoarelor alimentate cu tensiune aproximativ constantă, temperatura finală are totdeauna o valoare finită, iar creșterea rezistenței  $r$  cu temperatura este predominantă în stabilirea pierderilor de putere. Intensitatea curentului variază invers proporțional cu această rezistență, astfel încît se poate scrie că:

$$\frac{r_0 I_0^2}{r_0 (1 + \alpha \theta_{\infty}) I_{\infty}^2} = \frac{U^2}{r_0} : \frac{r_0 (1 + \alpha \theta_{\infty})}{U^2} = 1 + \alpha \theta_{\infty}, \quad (4.66)$$





a)



b)

Fig. 4.10. Variația generală a temperaturii conductoarelor alimentate cu tensiuni aproximativ constante:

a - curba generală; b - curbe trasate pentru  $0,1 \leq k \leq 3$ .

din care rezultă că:

$$I_0 = I_\infty (1 + \alpha \theta_\infty) = I_\infty \frac{1 + \sqrt{1 + 4\alpha H}}{2}, \quad (4.67)$$

adică curentul absorbit inițial este mare în raport cu curentul de regim permanent. Dacă se presupune de exemplu că temperatura de regim staționar a filamentului unei surse de lumină cu incandescență este de  $2350^\circ\text{C}$ , rezultă că curentul inițial absorbit este de 11 ori mai mare decât cel de regim permanent. Curba pierderilor de putere va avea o viteză inițială de creștere de asemenea foarte mare.

## Aplicația 4.1

Să se studieze încălzirea conductoarelor de cupru cu diametrul de 12 mm și de aluminiu cu diametrul de 20 mm ale căror constante electrotermice sînt: rezistivitatea în stare caldă,  $\rho_{Cu} = 2,22 \cdot 10^{-2}$ ,  $\Omega \text{ mm}^2/\text{m}$  și  $\rho_{Al} = 3,7 \cdot 10^{-2}$   $\Omega \text{ mm}^2/\text{m}$ ; coeficientul de transmitere a căldurii  $\tau = 15$   $[\text{W}/^\circ\text{C} \cdot \text{cm}^2]$ ; căldura specifică volumică  $c_{Cu} = 3,76$   $[\text{Ws}/^\circ\text{C} \cdot \text{cm}^3]$  și  $c_{Al} = 3,5$   $[\text{Ws}/^\circ\text{C} \cdot \text{cm}^3]$ ; coeficienții de dilatație  $\alpha_{Cu} = 1/235$   $\text{grd}^{-1}$  și  $\alpha_{Al} = 1/230$   $\text{grd}^{-1}$ . Densitățile de curent considerate în conductoare sînt: 1,2; 2 și 10  $\text{A}/\text{mm}^2$  pentru aluminiu și 2; 3; 15  $\text{A}/\text{mm}^2$  pentru cupru. Primele valori reprezintă densități economice de curent.

## Rezolvare

### A. Alimentarea cu curent practic constant

Se calculează intensitatea de încălzire, viteza inițială de creștere a temperaturii, constanta de timp și constanta de timp exponențială, cu ajutorul relațiilor (4.20), (4.21), (4.22), (4.46). Rezultatele obținute sînt cuprinse în tabela 4.6.

Tabela 4.6

| Mărimea calculată                                | Relația de definiție   | Unitatea de măsură                               | Valoarea mărimii pentru densitatea de curent |                      |       |                          |                      |       |
|--|--|--|--|----------------------|-------|--------------------------|----------------------|-------|
|  |  |  | conductoare din cupru                        |                      |       | conductoare din aluminiu |                      |       |
|  |  |  | 2  | 3                    | 15    | 1,2                      | 2                    | 10    |
| Intensitatea de încălzire $H$                    | $10^4 \cdot \frac{a}{2} [\text{cm}] \cdot \frac{\rho_0 \left[ \frac{\Omega \text{ mm}^2}{\text{m}} \right]}{\tau \left[ \frac{\text{W}}{^\circ\text{C} \cdot \text{m}^2} \right]} \cdot \delta^2 \left[ \frac{\text{A}^2}{\text{mm}^4} \right]$                                    | $[\text{C}^\circ]$                               | 18   | 40                   | 1 005 | 18                       | 50                   | 1 250 |
| Viteza inițială de creștere a temperaturii $v_0$ | $-\rho_0 \left[ \frac{\Omega \text{ mm}^2}{\text{m}} \right] \cdot \delta^2 \left[ \frac{\text{A}^2}{\text{mm}^4} \right] \cdot \frac{c \left[ \frac{\text{Ws}}{^\circ\text{C} \cdot \text{cm}^3} \right]}{\tau \left[ \frac{\text{W}}{^\circ\text{C} \cdot \text{cm}^2} \right]}$ | $\left[ \frac{^\circ\text{C}}{\text{s}} \right]$ | $2,36 \cdot 10^{-2}$                         | $5,32 \cdot 10^{-2}$ | 1,33  | $1,52 \cdot 10^{-2}$     | $4,23 \cdot 10^{-2}$ | 1,06  |
| Constanta de timp a încălzirii, $T$              | $\frac{c \left[ \frac{\text{Ws}}{^\circ\text{C} \cdot \text{cm}^3} \right]}{\tau \left[ \frac{\text{W}}{^\circ\text{C} \cdot \text{cm}^2} \right]} \cdot \frac{a}{2} [\text{cm}]$  | $[\text{s}]$                                     | 750  | 750                  | 750   | 1 170                    | 1 170                | 1 170 |
| Constanta de timp exponențială, $T_e$            | $\frac{T}{1 - \alpha H}$   | $[\text{s}]$                                     | 810  | 905                  | -229  | 1 270                    | 1 490                | -264  |

Primele două situații ale conductoarelor corespund cazului în care intensitatea procesului electrotermic  $H$  este mai mică decât  $\frac{1}{\alpha}$ .

Temperatura de regim permanent și cea atinsă după 60 de minute sînt calculate cu ajutorul ecuației (4.46) și redate în tabela 4.7. Ele reprezintă supratemperaturi în raport cu temperatura inițială propusă. Se constată că, admitînd temperatura inițială de 15°C, numai în cazul conductoarelor de aluminiu la o densitate  $\delta = 2\text{A/mm}^2$  se depășește temperatura admisibilă pentru linii aeriene.

În cazul densităților mari de curent de  $15[\text{A/mm}^2]$  și  $10[\text{A/mm}^2]$ , regimul termic al conductoarelor este instabil, deoarece  $H > \frac{1}{\alpha}$ . Supratemperatura atinsă de conductoarele de cupru după un minut este de 92°C, iar cea a conductoarelor de aluminiu de 72°C. După două minute, aceste supratemperaturi

Tabela 4.7

| Mărimea calculată                    | Relația de definiție              | Valoarea mărimii calculate pentru densitățile de curent |    |                          |    |
|--------------------------------------|-----------------------------------|---|----|--------------------------|----|
|                                      |                                   | conductoare din cupru                                   |    | conductoare din aluminiu |    |
|                                      |                                   | 2   | 3  | 1,2                      | 2  |
| Temperatura de regim permanent       | $\frac{H}{1 - \alpha H}$          | 19  | 48 | 19,5                     | 64 |
| Temperatura atinsă după 60 de minute | $\theta_{\infty}(1 - e^{-t/T_0})$ | 16,8  | 39 | 18,3                     | 58 |

au valorile de 210°C și respectiv, 626°C, adică se apropie rapid de temperaturile de topire. Pentru ca temperatura de 70°C să nu fie depășită, ar trebui ca, în cazul conductoarelor de cupru, durata suprasarcinii să nu depășească 30 s, iar în cazul conductoarelor de aluminiu, să nu depășească 60 s.

#### B. Alimentarea cu pierderi aproximativ constante

În acest caz, temperatura crește treptat, cu constanta de timp  $T$ , care este independentă de densitatea de curent.

Pentru cele două situații analizate, rezultatele calculate sînt sintetizate în tabela 4.8, în care este indicat și curentul absorbit inițial, calculat cu relația (4.47).

În cazul unor densități de curent foarte mari este evident că, deși regimul termic se poate stabili, temperatura  $\theta_{\infty}$  atinge, în cazul cuprului, temperatura de topire, iar în cazul aluminiului, o depășește. Pentru ca temperatura conductoarelor să nu depășească 300°C, în ambele situații, este necesar ca timpul de supraîncărcare să nu depășească 4 minute. În acest caz temperatura conductoarelor din cupru este de 276°C și a celor din aluminiu de 232°C. Temperaturile ridicate se explică fizic cu ajutorul curbei pierderilor de putere, care prezintă pante mari.

Tabela 4.8

| Mărimea de calculat                     | Relația de definiție                   | Valoarea mărimii calculate pentru densitățile de curent |      |                         |      |
|---|--|---|------|-------------------------|------|
|   |  | conductoare de cupru                                    |      | conductoare de aluminiu |      |
|   |  | 2   | 3    | 1,2                     | 2    |
| Temperatura de regim permanent          | $v_0 T = H$                            | 18  | 40   | 18                      | 50   |
| Temperatura atinsă după 60 minute       | $\theta_\infty (1 - e^{-t/T})$         | 18  | 40   | 18                      | 50   |
| Densitatea de curent de regim permanent | $\frac{\delta_0}{\sqrt{1 + \alpha H}}$ | 1,92  | 2,76 | 1,15                    | 1,81 |

### C. Alimentarea conductorului sub tensiune aproximativ constantă

În acest caz, temperatura de regim permanent se poate calcula fie cu relația (4.60) pentru intensități termice mici, fie cu relația (4.61) pentru intensități termice mari. Densitățile de curent corespunzătoare se calculează cu relația (4.67).

În tabela 4.9 se indică datele calculate pentru situațiile de mai sus, din care se constată că temperaturile de regim permanent scad mult în raport cu primele două ipoteze de alimentare, mai ales în cazul unor intensități

Tabela 4.9

| Mărimea de calculat                     | Relația de definiție  | Valoarea mărimii calculate pentru constanta de curent |      |                   |                         |      |                   |
|---|---|---|------|-------------------|-------------------------|------|-------------------|
|   |   | conductoare de cupru                                  |      |                   | conductoare de aluminiu |      |                   |
|   |   | 2   | 3    | 15                | 1,2                     | 2    | 10                |
| Temperatura de regim permanent          | $\theta_\infty = \frac{-1 + \sqrt{1 + 4\alpha H}}{2\alpha}$<br>sau<br>$\theta_\infty \approx \sqrt{\frac{H}{\alpha}}$ | 16,5  | 35   | $\frac{382}{434}$ | 17                      | 41,5 | $\frac{486}{544}$ |
| Densitatea de curent de regim permanent | $\delta_\infty = \frac{2\delta_0}{1 + \sqrt{1 + 4\alpha H}}$  | 1,87  | 2,61 | 5,72              | 1,11                    | 1,69 | 3,47              |

termice mari. Din punct de vedere fizic, acest lucru se explică cu ajutorul curbei de variație a pierderilor de putere, care în acest domeniu are un caracter pronunțat descrescător.

Temperaturile de regim s-au calculat atât cu relația exactă, cât și cu cea aproximativă și s-au înscris în tabela 4.9 sub formă de raport. Diferența rezultatelor este de circa 10 %.

Spre deosebire de cazurile studiate la punctele  $A$  și  $B$ , temperaturile de regim obținute pentru densitățile mari de curent considerate au valori sub  $500^{\circ}\text{C}$ , iar densitățile de curent scad aproximativ la 40% din cea a curentului inițial.

Studierea regimului termic tranzitoriu al conductoarelor se poate face cu ajutorul curbelor  $\beta = \varphi(x)$  trasate în figura 4.10.

Tabela 4.10

| Regimul de alimentare                                     | Temperatura stabilizată<br>a conductoarelor |     |           |     | Raportul densităților<br>de curent |      |           |       |
|---|---|-----|-----------|-----|------------------------------------|------|-----------|-------|
|   | cupru                                       |     | aluminiiu |     | cupru                              |      | aluminiiu |       |
|   | 100   | 150 | 100       | 150 | 100                                | 150  | 100       | 150   |
| Zona I a curbei de variație a pierderilor de putere       | 174   | 417 | 177       | 427 | 1                                  | 1    | 1         | 1     |
| Zona a II-a a curbei de variație a pierderilor de putere  | 100   | 150 | 100       | 150 | 1,19                               | 1,28 | 1,2       | 1,285 |
| Zona a III-a a curbei de variație a pierderilor de putere | 76  | 103 | 75        | 103 | 1,325                              | 1,44 | 1,38      | 1,45  |

Pentru compararea celor trei stări se indică în tabela 4.10 creșterea stabilizată a temperaturii conductoarelor, față de temperatura mediului ambiant și raportul densităților de curent, în cazuri concrete și anume, pentru intensități termice ale procesului de  $100$  și  $150^{\circ}\text{C}$ , situate în domeniul în care  $H < \frac{1}{\alpha}$ ,

în ambele situații studiate (cupru și aluminiiu).

Se constată deci că unul și același conductor, alimentat în condiții corespunzătoare celor trei domenii ale curbei variației pierderilor de putere, cu una și aceeași densitate inițială de curent, are temperaturi și densități de curent finale mult diferite.

## Capitolul 5

### CALCULUL ELECTRIC AL REȚELELOR ÎN REGIM PERMANENT DE FUNCȚIONARE

Calculul electric al rețelelor în regim permanent de funcționare are ca scop determinarea circulației curenților sau puterilor în fiecare ramură componentă a acestora, a variațiilor de tensiune în nodurile de racordare a consumatorilor și a pierderilor de putere și de energie. Pe baza acestor determinări se poate aprecia dacă:

- instalațiile componente ale rețelelor electrice sînt încărcate astfel încît să se realizeze un regim economic de funcționare cu pierderi minime de putere și de energie și cu consum minim de combustibil;

- alimentarea consumatorilor se face, în funcție de importanța lor, cu gradul de siguranță și rezerva în alimentare necesare. În aceste condiții, consumatorii pot prelua din rețea puterea și energia necesară, la frecvență și tensiune cu variații în limite admisibile;

- echipamentul electric funcționează în banda favorabilă a tensiunilor, în care se realizează cele mai bune condiții din punct de vedere al solicitărilor electrice și mecanice. De exemplu, pentru treptele de tensiune înaltă de 110, 220 și 400 kV, benzile favorabile sînt cuprinse în limitele de  $110 \div 121$ ,  $220 \div 242$  și  $400 \div 420$  kV.

În cele ce urmează se face calculul electric al rețelelor, urmărindu-se determinarea căderilor și pierderilor de tensiune, a circulației curenților sau puterilor și a pierderilor de putere și de energie. În același timp, pentru rețelele electrice de distribuție, se vor indica metodele uzuale de alegere a secțiunilor conductoarelor, pe baza criteriului de pierdere de tensiune, precum și metode de reducere a pierderilor de energie și de putere\*. Calculele se vor efectua pe diverse configurații — linii alimentate la un capăt, linii alimentate la două capete și rețele buclate — folosindu-se *metode tehnice de calcul* și *metode analitice*, care necesită un volum mai mare de lucru.

#### 5.1. DETERMINAREA CĂDERILOR ȘI PIERDERILOR DE TENSIUNE ÎN REȚELELE ELECTRICE ALIMENTATE LA UN CAPĂT

Funcționarea consumatorilor la caracteristicile constructive prescrise și realizarea unui nivel minim al pierderilor de energie impun anumite valori maxime ale pierderilor de tensiune, care reprezintă abateri admisibile ale tensiunilor

---

\* Pierderile de energie electrică și măsurile de reducere a acestora sînt tratate separat în capitolul 6.

de la valoarea lor nominală. Aceste abateri se stabilesc prin normative și nu trebuie depășite în exploatare, deoarece în acest caz funcționarea consumatorilor se înrăutățește; ele sînt funcție de *tensiunea nominală a rețelei*, de *tipul constructiv* al acesteia și de *importanța consumatorilor*.

Astfel, pentru rețelele electrice de distribuție de curent alternativ cu tensiunile nominale de 380/220, 660 și 1 000 V, pierderile procentuale admisibile de tensiune sînt indicate în tabela 5.1, iar pentru tensiunile de transport

Tabela 5.1

**Abateri admisibile ale tensiunilor de distribuție de curent alternativ**

| Tensiunea nominală a rețelei [V] | Tipul rețelei sau al consumatorului alimentat |  | Limitele admisibile ale abaterilor procentuale (din tensiunea nominală) |
|----------------------------------|---|--|---|
| 380/220                          | aeriană                                       | care alimentează aglomerații cu mai puțin de 1 000 locuitori   | $\pm 10$  |
|                                  |   | care alimentează aglomerații cu mai mult de 1 000 de locuitori | $\pm 7$   |
| 660                              | aeriană și subterană                          |  | $\pm 5$   |
| 1 000                            | alimentează consumatori industriali           |  | $\pm 10$  |
|                                  | distribuție publică                           |  | Nu se normează  |

Tabela 5.2

**Abateri admisibile ale tensiunilor rețelelor cu**

$$U_n = 110 \div 400 \text{ kV}$$

| Tensiunea nominală $U_n$ [kV] | Limitele admisibile ale abaterilor procentuale |
|-------------------------------|--|
| 110                           | $\pm 10$                                       |
| 220                           | $\pm 10$                                       |
| 400                           | $\pm 5; -10$                                   |

de 110, 220 și 400 kV, în tabela 5.2. În cazul rețelelor cu alte tensiuni nominale decît cele standardizate, însă mai mari decît 1 kV, limitele admisibile ale pierderilor de tensiune procentuale admisibile nu se normează decît atunci cînd la ele sînt racordați consumatorii de energie în mod direct, nemijlocit. În aceste condiții, limitele admisibile procentuale se fixează la  $\pm 5\%$  din tensiunea nominală.

### 5.1.1. REPREZENTAREA LINIILOR ȘI CONSUMATORILOR ÎN SCHEMELE ECHIVALENTE DE CALCUL

Liniile electrice se vor reprezenta în cadrul schemelor echivalente de calcul, fie prin impedanțe, pentru tensiuni pînă la valori maxime de 110 kV, fie prin impedanțe și admitanțe în cazul tensiunilor înalte și foarte înalte ( $U_n \geq 110$  kV).

Consumatorii se echivalează prin *curenți de sarcină*, *puteri de sarcină*, sau *impedanțe*. În calcule mai exacte, necesare mai ales pentru studierea stabilității statice, consumatorii se pot reprezenta și prin *caracteristicile lor de sarcină*.

Reprezentarea consumatorilor prin curenți de sarcină consideră că aceștia absorb de la rețea *curenți activi și reactivi cu valori constante*, adică:

$$I_a = k_1 \text{ și } I_r = k_2.$$

În acest caz, puterile consumatorilor absorbite din rețea sînt proporționale cu tensiunea de alimentare:

$$P_c = k_1 U \text{ și } Q_c = k_2 U.$$

Al doilea mod de reprezentare, consideră că consumatorii absorb de la rețea *puteri active și reactive constante și independente de tensiunea de alimentare și de curenți*. În consecință, în acest caz se poate scrie că:

$$P_c = k'_1; Q_c = k'_2 \text{ și } I_a = \frac{k'_1}{U}; I_r = \frac{k'_2}{U}.$$

Al treilea mod de reprezentare, cunoscut de la cursul de electrotehnică, reprezintă consumatorii prin *impedanțe constante*, adică printr-un ansamblu de rezistențe, bobine de inductanță și capacități, cu valori constante în timp și independente de tensiunea de la borne și de curenții care le străbat. Puterea și curenții absorbiți de consumatori sînt de forma:

$$I_a = k''_1 U; I_r = k''_2 U \text{ și } P_c = k''_1 U^2 \text{ și } Q_c = k''_2 U^2.$$

Cînd consumatorii se reprezintă prin *caracteristicile lor de sarcină*, atunci puterile active și reactive absorbite de la rețea variază cu tensiunea. Aceste caracteristici se ridică experimental, pe categorii de consumatori și pe trepte de tensiuni.

În cele ce urmează consumatorii se vor reprezenta fie prin curenți de sarcină, fie prin puteri de sarcină, specificîndu-se în fiecare caz ipotezele de calcul.

### 5.1.2. LINIE ELECTRICĂ REPREZENTATĂ PRINTR-O IMPEDANȚĂ

Liniile electrice alimentate la un capăt și reprezentate printr-o impedanță, constituie cele mai simple rețele cu configurație radială, în care distribuția curenților sau a puterilor rezultă fără dificultate, prin aplicarea primei teoreme a lui Kirchhoff, plecînd de la ultimii consumatori către sursa de alimentare. Dacă se întocmesc schemele echivalente, căderile de tensiune se



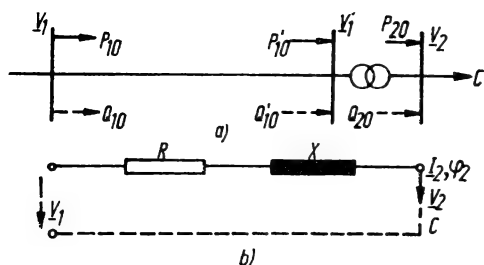


Fig. 5.1. Rețea electrică radială:  
a - schema inițială; b - schema echivalentă.

pot determina cu ajutorul diagramei fazoriale, care exprimă legătura dintre valorile tensiunilor, curenților și argumentele acestora.

Fie de exemplu, rețeaua electrică monofazată din figura 5.1, echivalată prin impedanța  $Z = R + jX$ , care alimentează consumatorul C, reprezentat prin curentul absorbit și factorul său de putere. Deoarece s-a neglijat admitanța, intensitatea curentului absorbit în fiecare punct

al instalației este aceeași, în timp ce puterile active și reactive sînt diferite.

Dacă tensiunea pe fază,  $V_1$ , la capătul de alimentare al rețelei este menținută constantă, printr-o intervenție convenabilă a unui mijloc oarecare de reglaj, conectat în locul respectiv și tensiunea pe fază,  $V_2$ , la consumator este luată ca origine de fază, atunci legătura între aceste două mărimi este stabilită cu ajutorul fazorului  $\underline{AB}$  și a componentelor sale  $\underline{AD}$  și  $\underline{BD}$ , din figura 5.2. În această diagramă curentul corespunzător consumatorului C este considerat inductiv.

Fazorul  $\underline{AB}$ , reprezintă *diferența geometrică sau fazorială* dintre tensiunea de la începutul liniei și cea de la finele acesteia, adică:

$$\underline{AB} = \underline{V}_1 - \underline{V}_2 = \underline{\Delta V} = \underline{ZI}_2 \quad (5.1)$$

și din această cauză se numește *cădere de tensiune geometrică* sau simplificat, *cădere de tensiune*. Proiecțiile ei pe cele două axe corespund segmentelor  $\underline{AD} = \underline{\Delta V}$  și  $\underline{BD} = \underline{\delta V}$  și reprezintă *componentele longitudinală și transversală* ale căderii de tensiune, ale căror valori rezultă prin proiecția pe cele două axe, reală și imaginară, a fazorilor  $\underline{AC}$  și  $\underline{CB}$ :

$$\underline{\Delta V} = RI_2 \cos \varphi_2 + XI_2 \sin \varphi_2 = RI_{2a} + XI_{2r}; \quad (5.2)$$

$$\underline{\delta V} = -RI_2 \sin \varphi_2 + XI_2 \cos \varphi_2 = -RI_{2r} + XI_{2a},$$

unde:  $\varphi_2$  reprezintă defazajul curentului  $I_2$  în raport cu originea de fază,  $V_2$ ;

$I_{2a}$  și  $I_{2r}$  — componentele activă și reactivă ale curentului  $I_2$ .

Fie arcul de cerc trasat cu o rază egală tensiunii de alimentare  $V_1$ , care intersectează axa orizontală în punctul E. *Diferența algebrică* între tensiunea de alimentare și cea de la consumator, reprezentată prin segmentul:

$$\overline{AE} = V_1 - V_2 = DV \quad (5.3)$$

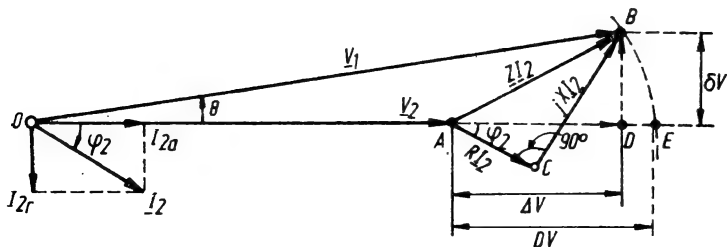


Fig. 5.2. Stabilirea căderii de tensiune pe o linie care o alimentează o singură sarcină.

se numește *cădere de tensiune algebrică* sau *pierdere de tensiune*. Deoarece ea este definită de diferența valorilor efective ale celor două tensiuni, valoarea ei este măsurabilă cu ajutorul unui voltmetru.

Unghiul  $\theta$ , care reprezintă defazajul dintre cele două tensiuni  $\underline{V}_1$  și  $\underline{V}_2$ , se numește *unghi de stabilitate* și valoarea lui influențează funcționarea în paralel a rețelelor. Când acesta are valori mici, componenta transversală a căderii de tensiune se poate neglija, iar componenta longitudinală se identifică cu pierderea de tensiune ( $\underline{DV} \approx \Delta V$ ).

Dacă unghiul  $\theta$  are valori mai mari, eroarea introdusă prin identificarea celor două mărimi este de  $3 \div 5\%$ . În acest caz, pierderea de tensiune se poate determina direct, scriind că:

$$\underline{DV} = V_1 - V_2 = \sqrt{(V_2 + \Delta V)^2 + (\delta V)^2} - V_2 \approx \Delta V + \frac{1}{2} \frac{(\delta V)^2}{V_2 + \Delta V}, \quad (5.4)$$

în care s-au considerat numai primii doi termeni din dezvoltarea în serie a expresiei de sub semnul radical.

Ținând seama de expresiile (5.2) și de faptul că  $V_2 \gg \Delta V$ , expresia (5.4) se poate pune sub forma:

$$\underline{DV} \approx RI_2 \cos \varphi_2 + XI_2 \sin \varphi_2 + \frac{(XI_2 \cos \varphi_2 - RI_2 \sin \varphi_2)^2}{2V_2}, \quad (5.5)$$

în care tensiunea de la consumator este necunoscută. De aceea, se introduce tensiunea pe fază corespunzătoare tensiunii nominale a liniei, pierderea de tensiune fiind definită de relația:

$$\underline{DV} \approx RI_2 \cos \varphi_2 + XI_2 \sin \varphi_2 + \frac{(XI_2 \cos \varphi_2 - RI_2 \sin \varphi_2)^2}{2V_n}. \quad (5.6)$$

În rețelele electrice, consumatorii de energie sînt reprezentați, în general, prin puterile lor active și reactive. În cazul figurii 5.1, dacă se notează cu  $P_{20}$  și  $Q_{20}$  puterile monofazate, activă și reactivă, absorbite de consumator \* expresiile (5.2) și (5.6) se pun sub forma:

$$\begin{aligned} \Delta V &= \frac{RP_{20} + XQ_{20}}{V_n}; \quad \delta V = \frac{XP_{20} - RQ_{20}}{V_n}; \\ \underline{DV} &= \frac{RP_{20} + XQ_{20}}{V_n} + \frac{(XP_{20} - RQ_{20})^2}{2V_n^3}. \end{aligned} \quad (5.7)$$

Dacă se consideră puterile trifazate, activă  $P_2$  și reactivă  $Q_2$  și tensiunea nominală a liniei, corespunzătoare tensiunii între faze, se obține:

$$\begin{aligned} \Delta U &= \frac{P_2 R + Q_2 X}{U_n}; \quad \delta U = \frac{P_2 X - Q_2 R}{U_n}; \\ \underline{DU} &= \frac{P_2 R + Q_2 X}{U_n} + \frac{(P_2 X - Q_2 R)^2}{2U_n^3}. \end{aligned} \quad (5.8)$$

---

\* În acest caz, se neglijează pierderile de putere în linie.

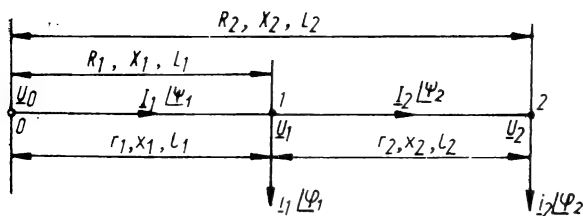


Fig. 5.3. Schema electrică monofază a unei linii care alimentează mai multe sarcini.

exactă corespunde figurii 5.4, *a*, unde defazajele curenților se consideră față de fazorii de tensiune care corespund sarcinilor. Expresiile analitice ale căderilor de tensiune deduse din această diagramă sînt complicate, greu de aplicat și nu sînt necesare pentru scopuri practice. De aceea, se va utiliza diagrama fazorială aproximativă dată în figura 5.4, *b*, în care unghiurile de defazaj ale curenților se măsoară în raport cu fazorul de tensiune de la capătul liniei (în cazul fig. 5.4, fazorul  $\vec{U}_2$ ). Folosind proiecțiile pe cele două axe, reală și imaginară, din diagrama corespunzătoare figurii 5.4, *b* se obțin următoarele expresii ale căderilor de tensiune:

$$\Delta U = \sqrt{3}[(R_1 \cos \varphi_1 + X_1 \sin \varphi_1) i_1 + (R_2 \cos \varphi_2 + X_2 \sin \varphi_2) i_2];$$

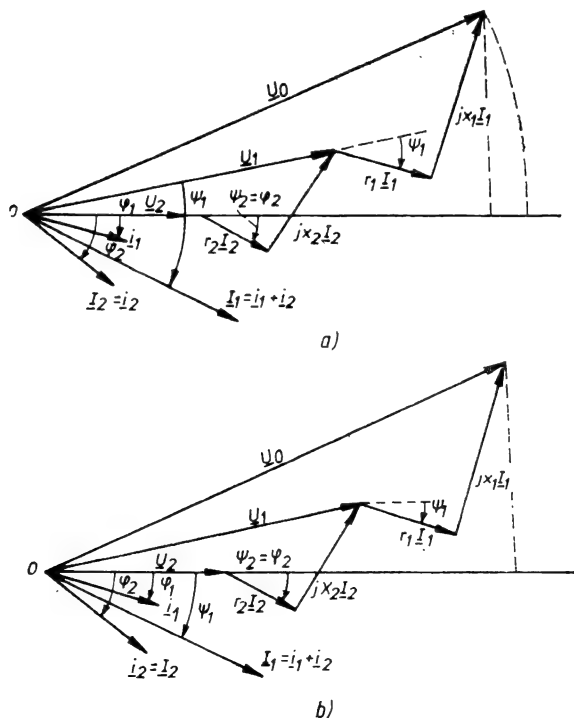


Fig. 5.4. Diagramele fazoriale ale căderilor de tensiune în cazul unei linii cu două sarcini:

*a* — construcția exactă; *b* — construcția aproximativă.

$$\begin{aligned}\delta U &= \sqrt{3} [(X_1 \cos \varphi_1 - R_1 \sin \varphi_1) i_1 + (X_2 \cos \varphi_2 - R_2 \sin \varphi_2) i_2]; \\ DU &= \sqrt{3} \left\{ (R_1 \cos \varphi_1 + X_1 \sin \varphi_1) i_1 + (R_2 \cos \varphi_2 + X_2 \sin \varphi_2) i_2 + \right. \\ &\quad \left. + \frac{[(X_1 \cos \varphi_1 - R_1 \sin \varphi_1) i_1 + (X_2 \cos \varphi_2 - R_2 \sin \varphi_2) i_2]^2}{2 U_n} \right\}. \quad (5.9)\end{aligned}$$

În aceste expresii mărimile  $R_1, R_2$  și  $X_1, X_2$  corespund rezistențelor și reactanțelor măsurate de la capătul de alimentare al liniei (punctul de origine) pînă la punctele de conectare a sarcinilor, iar  $i_1$  și  $i_2$  reprezintă curenții de sarcină. Dacă se ține seama de curenții de linie,  $I_1, I_2$  și de rezistențele și reactanțele corespunzătoare ale tronsoanelor liniei  $r_1, r_2, x_1, x_2$ , expresiile (5.9) devin:

$$\begin{aligned}\Delta U &= \sqrt{3} [(r_1 \cos \psi_1 + x_1 \sin \psi_1) I_1 + (r_2 \cos \psi_2 + x_2 \sin \psi_2) I_2]; \\ \delta U &= \sqrt{3} [(x_1 \cos \psi_1 - r_1 \sin \psi_1) I_1 + (x_2 \cos \psi_2 - r_2 \sin \psi_2) I_2]; \quad (5.10) \\ DU &= \sqrt{3} \left\{ (r_1 \cos \psi_1 + x_1 \sin \psi_1) I_1 + (r_2 \cos \psi_2 + x_2 \sin \psi_2) I_2 + \right. \\ &\quad \left. + \frac{[(x_1 \cos \psi_1 - r_1 \sin \psi_1) I_1 + (x_2 \cos \psi_2 - r_2 \sin \psi_2) I_2]^2}{2 U_n} \right\}.\end{aligned}$$

Relațiile (5.9) și (5.10) se pot generaliza pentru cazul cînd linia alimentează  $n$  sarcini și are aceeași secțiune:

$$\begin{aligned}\Delta U &= \sqrt{3} \sum_1^n (R_k \cos \varphi_k + X_k \sin \varphi_k) i_k = \sqrt{3} \sum_1^n (r_k \cos \psi_k + x_k \sin \psi_k) I_k; \\ \delta U &= \sqrt{3} \sum_1^n (X_k \cos \varphi_k - R_k \sin \varphi_k) i_k = \sqrt{3} \sum_1^n (x_k \cos \psi_k - r_k \sin \psi_k) I_k; \\ DU &= \sqrt{3} \left\{ \sum_1^n (R_k \cos \varphi_k + X_k \sin \varphi_k) i_k + \frac{\left[ \sum_1^n (X_k \cos \varphi_k - R_k \sin \varphi_k) i_k \right]^2}{2 U_n} \right\} = \\ &= \sqrt{3} \left\{ \sum_1^n (r_k \cos \psi_k + x_k \sin \psi_k) I_k + \frac{\left[ \sum_1^n (x_k \cos \psi_k - r_k \sin \psi_k) I_k \right]^2}{2 U_n} \right\}. \quad (5.11)\end{aligned}$$

Ținînd seama că consumatorii din rețelele electrice sînt exprimați prin puterile lor, activă și reactivă, componentele căderii de tensiune se pot exprima cu relațiile \*:

$$\Delta U = \frac{\sum_1^n (P_k r_k + Q_k x_k)}{U_n} = \frac{\sum_1^n (p_k R_k + q_k X_k)}{U_n}; \quad (5.12)$$

\* S-a considerat că puterile de linie sau de sarcină corespund tensiunii nominale a liniei de alimentare și s-au neglijat pierderile de putere activă și reactivă.

$$\delta U = \frac{\sum_1^n (P_k x_k - Q_k r_k)}{U_n} = \frac{\sum_1^n (p_k X_k - q_k R_k)}{U_n}; \quad (5.12)$$

$$\begin{aligned} \mathbf{D}U &= \sum_1^n \left( \frac{P_k r_k + Q_k x_k}{U_n} \right) + \frac{\left[ \sum_1^n (P_k x_k - Q_k r_k) \right]^2}{2 U_n^3} = \\ &= \sum_1^n \left( \frac{p_k R_k + q_k X_k}{U_n} \right) + \frac{\left[ \sum_1^n (p_k X_k - q_k R_k) \right]^2}{2 U_n^3}. \end{aligned}$$

Dacă rețeaua este construită cu conductoare cu aceeași secțiune, din același material și dacă prin construcție se asigură o simetrie perfectă între conductoare, precum și între acestea și pământ, atunci ea se numește *omogenă*. În acest caz, relațiile (5.11) și (5.12) se pot pune sub forma:

$$\begin{aligned} \Delta U &= \sqrt{3} \left[ r_0 \sum_1^n L_k i_k \cos \varphi_0 + x_0 \sum_1^n L_k i_k \sin \varphi_k \right] = \\ &= \sqrt{3} \left[ r_0 \sum_1^n l_k I_k \cos \psi_k + x_0 \sum_1^n l_k I_k \sin \psi_k \right]; \\ \delta U &= \sqrt{3} \left[ x_0 \sum_1^n L_k i_k \cos \varphi_k - r_0 \sum_1^n L_k i_k \sin \varphi_k \right] = \\ &= \sqrt{3} \left[ x_0 \sum_1^n l_k I_k \cos \psi_k - r_0 \sum_1^n l_k I_k \sin \psi_k \right]; \end{aligned} \quad (5.13)$$

$$\begin{aligned} \mathbf{D}U &= \sqrt{3} \left[ r_0 \sum_1^n L_k i_k \cos \varphi_k + x_0 \sum_1^n L_k i_k \sin \varphi_k \right] + \\ &+ \frac{\sqrt{3} \left[ x_0 \sum_1^n L_k i_k \cos \varphi_k - r_0 \sum_1^n L_k i_k \sin \varphi_k \right]^2}{2 U_n} = \\ &= \sqrt{3} \left[ r_0 \sum_1^n l_k I_k \cos \psi_k + x_0 \sum_1^n l_k I_k \sin \psi_k \right] + \\ &+ \frac{\sqrt{3} \left[ x_0 \sum_1^n l_k I_k \cos \psi_k - r_0 \sum_1^n l_k I_k \sin \psi_k \right]^2}{2 U_n} \end{aligned}$$

sau dacă sarcinile sînt exprimate prin puteri:

$$\Delta U = \frac{r_0 \sum_1^n P_k l_k + x_0 \sum_1^n Q_k l_k}{U_n} = \frac{r_0 \sum_1^n p_k L_k + x_0 \sum_1^n q_k L_k}{U_n};$$

$$\begin{aligned} \delta U &= \frac{x_0 \sum_1^n P_k l_k - r_0 \sum_1^n Q_k l_k}{U_n} = \frac{x_0 \sum_1^n p_k L_k - r_0 \sum_1^n q_k L_k}{U_n}; \\ DU &= \frac{r_0 \sum_1^n P_k l_k + x_0 \sum_1^n Q_k l_k}{U_n} + \frac{\left[ x_0 \sum_1^n P_k l_k - r_0 \sum_1^n Q_k l_k \right]^2}{2 U_n^3} = \\ &= \frac{r_0 \sum_1^n p_k L_k + x_0 \sum_1^n q_k L_k}{U_n} + \frac{\left[ x_0 \sum_1^n p_k L_k - r_0 \sum_1^n q_k L_k \right]^2}{2 U_n^3}, \end{aligned} \quad (5.14)$$

în care:  $p_k, q_k$  reprezintă puterile active și reactive corespunzătoare sarcinilor;

$P_k, Q_k$  — puterile active și reactive pe tronsoanele liniei;  
 $r_0, x_0$  — rezistența și reactanța lineică, raportată la unitatea de lungime.

Relațiile (5.13) și (5.14) permit să se tragă următoarele concluzii:

a) circulația puterilor active și reactive pe liniile electrice este însoțită totdeauna de căderi de tensiune și de defazajul  $\theta$ , între tensiunile corespunzătoare punctelor de injecție și de consum a puterilor în linie sau rețea. Ca urmare, puterile activă și reactivă, care circulă în linie și tensiunea acesteia, nu sînt independente unele de altele;

b) valoarea căderilor de tensiune depinde de termenii generali  $i_k \cdot L_k$ ,  $p_k \cdot L_k$ ,  $q_k \cdot L_k$  sau  $I_k \cdot l_k$ ,  $P_k \cdot l_k$ ,  $Q_k \cdot l_k$ , care reprezintă momentele electrice ale curenților sau puterilor exprimate în raport cu capătul de alimentare (postul de transformare, stația sau centrala electrică) al liniilor, sau în raport cu fiecare nod de conectare a sarcinilor electrice;

c) deducerea relațiilor s-a făcut ținînd seama numai de parametrii longitudinali ai liniei (rezistența și reactanța inductivă), considerînd curenții constanți de-a lungul liniilor sau neglijînd pierderile de putere pe diferite tronsoane. Acest lucru este posibil în toate cazurile în care capacitatea și conductanța liniilor au o influență redusă în circulația puterilor sau curenților, ceea ce se poate admite totdeauna în liniile aeriene cu tensiuni nominale mai mici decît 110 kV.

Pentru liniile aeriene de joasă tensiune de 220÷380 V, sau pentru liniile subterane cu tensiuni pînă la 10 kV, relațiile căderilor de tensiune se pot încă simplifica, în sensul că acestea se consideră ca fiind determinate, în cea mai mare măsură, fie de circulația puterilor active și de rezistențe, fie de circulația puterilor reactive și de reactanțe.

Astfel se pot lua căderile de tensiune legate de puterile active și de rezistență în următoarele cazuri:

— pentru linii aeriene care alimentează sarcini cu  $\cos \varphi \approx 1$  (cazul rețelilor de iluminat incandescent);

— pentru linii subterane pînă la 10 kV care alimentează sarcini cu  $\cos \varphi \geq 0,95$  și cu secțiuni ale conductoarelor  $s \leq 35 \text{ mm}^2$ ;

— pentru rețelele interioare montate în tuburi de protecție;

— pentru rețelele interioare executate cu conductoare neizolate, montate pe role, cu secțiuni de conductoare  $s \leq 6 \text{ mm}^2$ .

Pentru linii electrice aeriene cu tensiuni nominale mai mari, influența termenului legat de puterea reactivă și de reactanță, începe să fie comparabilă cu cea a termenului legat de puterea activă și de rezistență sau să fie preponderentă față de aceasta. De aceea, pentru astfel de linii, valoarea componentei longitudinale a căderii de tensiune, care se poate identifica cu pierderea de tensiune (căderea de tensiune algebrică), va fi determinată în principal de circulația puterilor reactive, în timp ce componenta transversală va depinde mai ales de circulația puterilor active. Condițiile transportului de putere către consumatori, nu vor fi influențate de circulația puterilor active, atâta timp cât unghiul de stabilitate  $\theta$  are valori reduse.

### 5.1.3. DETERMINAREA CĂDERILOR DE TENSIUNE ÎN REȚELELE ARBORESCENTE DE JOASĂ TENSIUNE

Rețelele electrice de joasă tensiune alimentate la un capăt au formă arborescentă (ramificată), ca în figura 5.5, datorită amplasării geografice a consumatorilor. În acest caz, căderile de tensiune se determină însumând căderile de tensiune din sectoarele situate pe calea parcursă de curenți, de la punctul de alimentare pînă la sarcina terminală a fiecărei ramuri care se ia în considerare.

Pentru rețeaua examinată, dată în figura 5.5 se va calcula mai întâi căderea de tensiune pe tronsonul principal  $OA$ , pînă la punctul de ramificație, care se adună căderilor de tensiune din fiecare ramură, adică:

$$\begin{aligned}\Delta V_{O1} &= \Delta V_{OA} + \Delta V_{A1}; \quad \Delta V_{O2} = \Delta V_{OA} + \Delta V_{A2}; \\ \dots \Delta V_{On} &= \Delta V_{OA} + \Delta V_{An},\end{aligned}\quad (5.15)$$

unde valorile mărimilor  $\Delta V_{OA}$ ,  $\Delta V_{A1}$ ,  $\dots$ ,  $\Delta V_{An}$  se calculează cu relațiile determinate anterior. Secțiunile ramurilor pot fi aceleași sau diferite, iar echivalarea lor se face fie printr-o impedanță, fie numai printr-o rezistență sau printr-o reactanță inductivă.

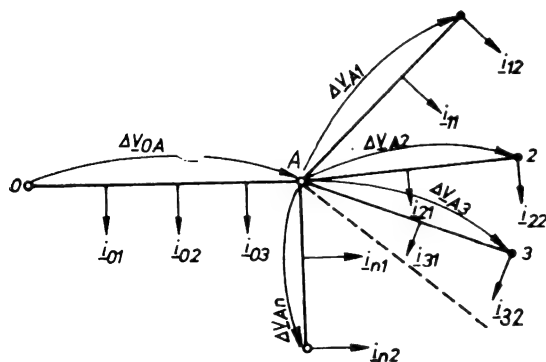


Fig. 5.5. Stabilirea căderilor de tensiune într-o rețea arborescentă.

### 5.1.4. DETERMINAREA CĂDERILOR DE TENSIUNE ÎN SITUAȚII PARTICULARE DE FUNCȚIONARE A LINIILOR ELECTRICE DE JOASĂ TENSIUNE

Căderile de tensiune determinate în paragrafele precedente s-au referit la linii trifazate de curent alternativ cu încărcări echilibrate pe faze, fapt care a permis să se studieze comportarea unei singure

faze, rezultatele obținute putînd fi generalizate. De asemenea, s-a considerat că sarcinile electrice sînt concentrate în anumite puncte din rețea, ceea ce a permis calculul căderilor de tensiune, folosind ecuația momentelor electrice în raport cu punctul de alimentare.

Există situații cînd încărcarea fazelor unei linii nu este egală pe cele trei faze sau cînd consumatorii pot fi considerați ca sarcini uniform repartizate.

De exemplu, instalațiile de iluminat sau consumatorii casnici determină uneori încărcări inegale a celor trei faze și pot fi considerați ca sarcini uniform repartizate. În aceste cazuri, liniile electrice sînt construite cu patru conductoare și anume, trei conductoare active și un conductor neutru.

5.1.4.1. *Linie trifazată cu sarcini dezechilibrate.* Căderea de tensiune geometrică pe fiecare fază se va obține însumînd fazorial căderea de tensiune în faza respectivă, cu căderea de tensiune în conductorul neutru:

$$\underline{\Delta V}_K = \underline{Z} \underline{I}_K + \underline{Z}_0 \underline{I}_0, \quad (5.16)$$

în care:  $\underline{I}_K$  este curentul în faza activă ( $A, B, C$ );

$\underline{I}_0$  — curentul în firul neutru;

$\underline{Z}$  și  $\underline{Z}_0$  — impedența fazei și impedența firului neutru (a nu se confunda cu impedența de secvență homopolară).

Diagrama fazorială corespunzătoare unei linii trifazate cu sarcină dezechilibrată este dată în figura 5.6, în care s-au reprezentat sistemul tensiunilor de alimentare pe faze ( $\underline{V}_A, \underline{V}_B, \underline{V}_C$ ), sistemul curenților de alimentare ( $\underline{I}_A, \underline{I}_B, \underline{I}_C$ ) și sistemul tensiunilor pe faze aplicate receptorului ( $\underline{V}'_A, \underline{V}'_B, \underline{V}'_C$ ). În conductorul neutru circulă curentul  $\underline{I}_0$  corespunzător sumei geometrice a celor trei curenți din fazele active.

Căderile de tensiune pe cele patru conductoare notate pe figură au valorile:

$$\begin{aligned} \underline{\Delta V}_A &= \underline{Z}_A \underline{I}_A; \quad \underline{\Delta V}_B = \\ &= \underline{Z}_B \underline{I}_B; \quad \underline{\Delta V}_C = \underline{Z}_C \underline{I}_C; \\ \underline{\Delta V}_0 &= \underline{Z}_0 \underline{I}_0. \end{aligned} \quad (5.17)$$

Punctul neutru la consumatori își va schimba poziția din  $O$  în  $O'$  și va avea un potențial\* care corespunde căderii de tensiune  $\underline{\Delta V}_0$ .

Căderile de tensiune în fazele active exprimate prin relația generală, micșorează tensiunile de alimentare ale receptoarelor. Valoarea lor se poate explicita folosind rela-

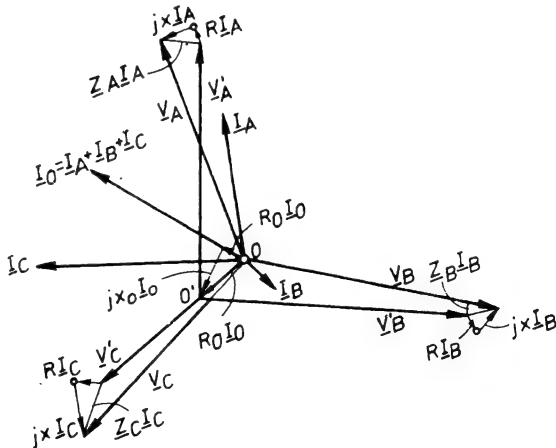


Fig. 5.6. Diagrama căderilor de tensiune la o linie trifazată cu sarcină dezechilibrată:  $\underline{V}_A, \underline{V}_B, \underline{V}_C$  — sistemul tensiunilor de alimentare  $\underline{V}'_A, \underline{V}'_B, \underline{V}'_C$  — sistemul tensiunilor aplicate consumatorului.

\* Căderea de tensiune în conductorul neutru  $\underline{Z}_0 \underline{I}_0$ , corespunzătoare segmentului  $OO'$  se numește *deplasarea neutrului*.



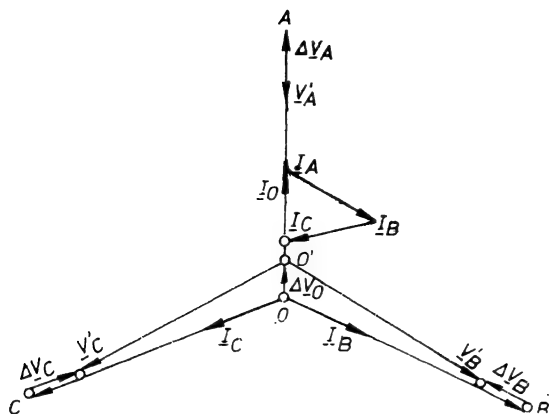


Fig. 5.7. Diagrama căderilor de tensiune la o linie trifazată cu sarcină dezechilibrată și  $\cos \varphi = 1$ :  $V_A, V_B, V_C$  — sistemul tensiunilor de alimentare;  $V'_A, V'_B, V'_C$  — sistemul tensiunilor aplicate consumatorului.

țiile (5.13) sau relațiile (5.14), în cazul când sarcinile sînt exprimate prin puteri, în care trebuie să se țină seama și de căderea de tensiune în conductorul neutru.

Obișnuit, liniile trifazate dezechilibrate alimentează consumatori care au factori de putere apropiați de unitate. Dacă se consideră, de exemplu,  $I_B = I_C \neq I_A$ , atunci diagrama fazorială corespunde figurii 5.7, căderile de tensiune în cele trei faze sînt date de relația generală;

$$\Delta V_m = r_0 \sum_1^n L_k i_k \quad (m = A, B, C), \quad (5.18)$$

iar căderea de tensiune în conductorul neutru:

$$\Delta V_0 = r'_0 L_0 I_0, \quad (5.19)$$

unde  $r_0$  și  $r'_0$  reprezintă rezistențele specifice corespunzătoare conductoarelor active și conductorului neutru\*.

Căderea de tensiune totală este

$$\Delta V_m = r_0 \sum_1^n L_k i_k + r'_0 L_0 I_0. \quad (5.20)$$

Dacă sarcinile sînt exprimate prin puteri, relația (5.20) devine:

$$\Delta V_m = r_0 \sum_1^n \frac{l_k P_k^0}{V_n} + r'_0 L_0 \frac{P_0}{V_n}, \quad (5.21)$$

în care:  $P_k^0$  corespunde puterii active monofazate care circulă pe tronsoanele fazelor  $A, B, C$ ;

$P_0$  — puterea activă care circulă prin conductorul neutru;  
 $V_n$  — tensiunea pe fază corespunzătoare tensiunii nominale a liniei.

5.1.4.2. *Linie cu două conductoare active și conductor neutru.* Aceste linii reprezintă ramificații dintr-o linie trifazată cu patru conductoare care alimentează consumatori monofazați sau consumatori de iluminat. Căderea de tensiune rezultă din cazul anterior, în care curentul din faza a treia devine zero.

\* Secțiunea conductorului neutru este egală cu 30÷50% din secțiunea conductoarelor active.

Diagrama fazorială a liniei bifazate cu sarcini active echilibrate este dată în figura 5.8.

Fiind încărcate numai fazele  $B$  și  $C$  cu curenți egali și în fază cu tensiunile ( $\cos \varphi = 1$ ), rezultă căderile de tensiune  $\Delta V_C = R_C I_C$  și  $\Delta V_B = R_B I_B$ , care se scad din tensiunile de alimentare.

Curentul care trece prin conductorul neutru corespunde sumei geometrice a curenților de pe fazele  $B$  și  $C$  și determină o cădere de tensiune  $\Delta V_0 = R_0 I_0$ , care reprezintă și tensiunea de deplasare a punctului neutru din  $O$  în  $O'$ . Deoarece unghiurile

$\widehat{O'OV_C}$  și  $\widehat{O'OV_B}$  sînt egale cu  $60^\circ$ , rezultă că valoarea efectivă a curentului în conductorul neutru este egală cu cea a curenților din celelalte două faze, adică  $I_0 = I_B = I_C$ . Ținînd seama de acest lucru, căderea de tensiune totală pe faza  $C$ , egală cu cea de pe faza  $B$ , are valoarea:

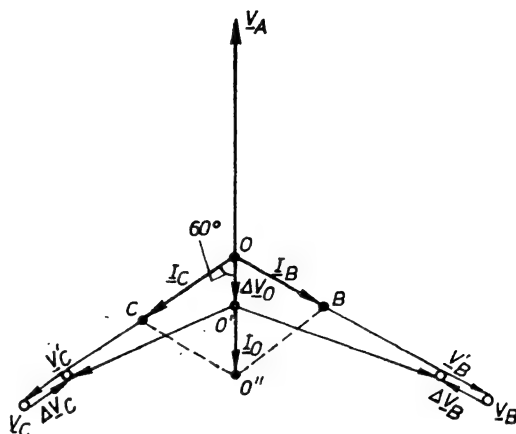


Fig. 5.8. Diagrama căderilor de tensiune a unei linii bifazate.

$$\Delta V = \Delta V_A + \Delta V_0 \cos 60^\circ = r_0 \sum_1^n l_k I_k + \frac{r'_0 L_0 I_0}{2} \quad (5.22)$$

sau dacă sarcinile sînt exprimate prin puteri:

$$\Delta V = r_0 \sum_1^n \frac{l_k P_k^0}{V_n} + r'_0 \frac{L_0 P_0}{2 V_n}. \quad (5.23)$$

Cînd conductorul neutru are aceeași secțiune ca și conductoarele active, căderea de tensiune crește cu 50%, în comparație cu cazul sarcinilor trifazate echilibrate, adică:

$$\Delta V = 1,5 r_0 \sum_1^n l_k I_k. \quad (5.24)$$

5.1.4.3. *Linie monofazată cu conductor neutru.* Aceste ramificații constituie racorduri la rețeaua trifazată cu patru conductoare, pentru instalații interioare. În acest caz, conductorul activ și cel neutru au aceeași secțiune, deoarece curentul care le parcurge este același. Căderea de tensiune se calculează cu o relație analoagă unei linii de curent continuu, adică:

$$\Delta V = 2 r_0 \sum_1^n l_k I_k = 2 r_0 \frac{\sum_1^n l_k P_k}{V_n}, \quad (5.25)$$

iar căderea de tensiune totală de la sursa de alimentare a unei linii trifazate cu patru conductoare, pînă la consumatorul cel mai îndepărtat, alimentat printr-o ramificație bifazată sau monofazată, se determină prin însumare geometrică sau algebrică a căderilor de tensiune pe diferite porțiuni.

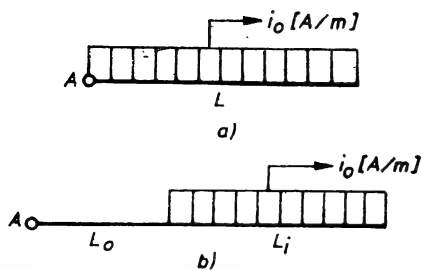


Fig. 5.9. Linie trifazată de curent alternativ cu sarcină uniform repartizată:  
a — pe toată lungimea; b — pe o parte din lungime.

5.1.4.4. *Linie electrică trifazată cu sarcină uniform repartizată.* De obicei, rețelele pentru iluminat public și cele care alimentează consumatori casnici, se pot considera uneori ca fiind echilibrate și cu sarcină uniform repartizată. Ele au aceeași secțiune pe toată lungimea lor și factor de putere egal aproximativ cu unitatea. În acest caz, conform notațiilor din figura 5.9, a, căderea de tensiune se poate scrie sub forma:

$$\Delta U = \sqrt{3} r_0 i_0 \int_0^L l \, dl = \sqrt{3} r_0 I \frac{L}{2}, \quad (5.26)$$

în care:  $i_0$  reprezintă sarcina uniform repartizată, în A/m;

$r_0$  — rezistența activă a unității de lungime a conductorului cu o secțiune dată, în  $\Omega/\text{m}$ ;

$I = i_0 L$  — curentul total din linie, în A.

Cînd factorul de putere este diferit de unitate se ia în considerație și reacțanța rețelei, iar expresia căderii de tensiune geometrică este:

$$\begin{aligned} \underline{\Delta U} &= \Delta U + j \delta U = \sqrt{3} Z_0 (i_{0a} - j i_{0r}) \int_0^L L \, dL = \\ &= \sqrt{3} \left[ \frac{R I_a + x I_r}{2} + j \frac{X I_a - R I_r}{2} \right], \end{aligned} \quad (5.27)$$

în care:  $Z_0$  reprezintă impedanța unității de lungime a conductorului cu o secțiune dată, în  $\Omega/\text{km}$ ;

$R, X$  — rezistența ( $r_0 L$ ) și reactanța ( $x_0 L$ ) corespunzătoare întregului tronson de linie;

$I_a, I_r$  — curenții de linie, activ —  $i_{0a} L$  și reactiv —  $i_{0r} L$ .

Relațiile (5.26) și (5.27) arată că, în cazul sarcinilor uniform repartizate, căderile de tensiune se calculează înlocuindu-le pe acestea cu sarcini concentrate, conectate în centrul de greutate al tronsonului respectiv.

Dacă sarcina uniform repartizată se află numai pe o porțiune din lungimea liniei, ca în cazul figurii 5.9, b atunci expresia generală a căderii de tensiune devine:

$$\underline{\Delta U'} = \sqrt{3} [(r_0 I'_a + x_0 I'_r) + j (x_0 I'_a - r_0 I'_r)] \left( L_0 + \frac{L_i}{2} \right), \quad (5.28)$$

în care  $L_0$  reprezintă lungimea tronsonului de linie fără sarcină.

De obicei, la astfel de linii sarcina uniform repartizată are  $\cos \varphi \approx 1$  și ca urmare căderile de tensiune se exprimă numai prin termenul activ din componenta longitudinală, conform relației (5.26).

Cînd sarcina uniformă este exprimată prin puterile active, se obține:

$$\Delta U = \frac{P}{U_n} r_0 \frac{L}{2} \text{ și } \Delta U' = \frac{P'}{U_n} r_0 \left( L_0 + \frac{L_i}{2} \right), \quad (5.29)$$

în care sarcinile totale  $P = p_0 L$  și  $P' = p'_0 L_i$  sînt situate în centrele de greutate ale tronsoanelor încărcate uniform cu sarcina  $p_0$  sau  $p'_0$ .

#### 5.1.5. DETERMINAREA CĂDERILOR DE TENSIUNE ÎN LINIILE ELECTRICE REPREZENTATE PRIN SCHEMELE ECHIVALENTE ALE CUADRIPOLILOR ÎN $\pi$ SAU T

În cazul liniilor electrice de înaltă tensiune cu tensiuni nominale mai mari sau egale cu 110 kV, căderile de tensiune se pot determina utilizînd schemele echivalente ale cuadripolilor în  $\pi$  sau T.

Considerînd schema echivalentă  $\pi$  cu impedanța  $Z$  concentrată la mijlocul liniei și susceptanța capacitivă egal repartizată la cele două extremități (cuadripol în  $\pi$  simetric) ca în figura 5.10 (perdanța se neglijează), căderea de tensiune (pe fază) este dată de relația:

$$\underline{\Delta V} = \underline{V}_1 - \underline{V}_2 = Z I_l, \quad (5.30)$$

în care  $I_l$  reprezintă curentul de linie a cărei valoare rezultă din sumarea geometrică a curentului  $I_2$  și  $I_{02} = \underline{V}_2 \frac{Y}{2}$ .

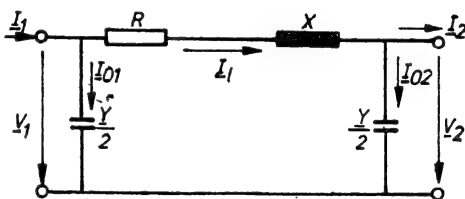
Ținînd seama de cei doi curenți care produc căderea de tensiune se obține:

$$\underline{\Delta V} = Z (I_2 + I_{02}) = Z \left( I_2 + \frac{Y}{2} \underline{V}_2 \right). \quad (5.31)$$

În cazul utilizării schemei echivalente T, dată în figura 5.11 cu susceptanța capacitivă  $\underline{Y}$  concentrată la mijlocul liniei și impedanța  $Z$  repartizată egal pe cele două tronsoane (cuadripol în T simetric) căderea de tensiune este:

$$\underline{\Delta V} = \underline{V}_1 - \underline{V}_2 = \underline{\Delta V}_{02} + \underline{\Delta V}_{10}, \quad (5.32)$$

în care:  $\underline{\Delta V}_{02}$  reprezintă căderea de tensiune pe fază pe tronsonul O—2 al cuadripolului;  
 $\underline{\Delta V}_{10}$  — căderea de tensiune pe fază pe tronsonul 1—O al cuadripolului.



a)

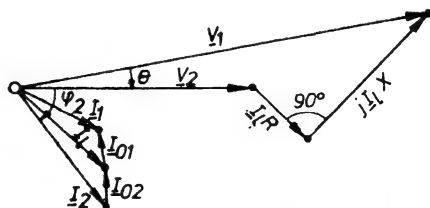


Fig. 5.10. Stabilirea căderilor de tensiune pentru o linie electrică lungă reprezentată prin schema echivalentă a unui cuadripol în  $\pi$ .

Aceste căderi de tensiune parțiale se determină cu aceeași schemă echivalentă și au valorile:

$$\underline{\Delta V}_{10} = \frac{Z}{2} (I_2 + \underline{V}_0 \underline{Y}) = \frac{Z}{2} \left[ I_2 \left( 1 + \frac{ZY}{2} \right) + \underline{V}_0 \right]; \quad \underline{\Delta V}_{02} = \frac{Z}{2} I_2.$$

În acest caz relația (5.32) devine:

$$\underline{\Delta V} = Z \left[ 1 + \frac{ZY}{4} \right] I_2 + \underline{V}_0 \frac{ZY}{2}, \quad (5.33)$$

unde s-a ținut seama că tensiunea nodului  $O$ , în care se conectează admitanța  $\underline{Y}$ , este dată de relația:

$$\underline{V}_0 = \underline{V}_2 + \frac{Z}{2} I_2.$$

Diagrama fazorială a fost întocmită în mod asemănător calculului, adică ținând seama de mărimile care afectează fiecare tronson.

Relațiile (5.31) și (5.33) se pot aplica aproximativ pentru linii de 110 kV cu lungimi pînă la 150 km și de 220 kV cu lungimi pînă la 250 km. Valoarea exactă a căderilor de tensiune se obține utilizînd coeficienții de corecție ai lui Kennelly pentru impedanță și admitanță, dați de relațiile (3.39) sau (3.40).

## 5.2. ALEGEREA SECȚIUNII CONDUCTOARELOR LINIILOR ELECTRICE RADIALE PE BAZA CRITERIULUI PIERDERII DE TENSIUNE ADMISIBILE

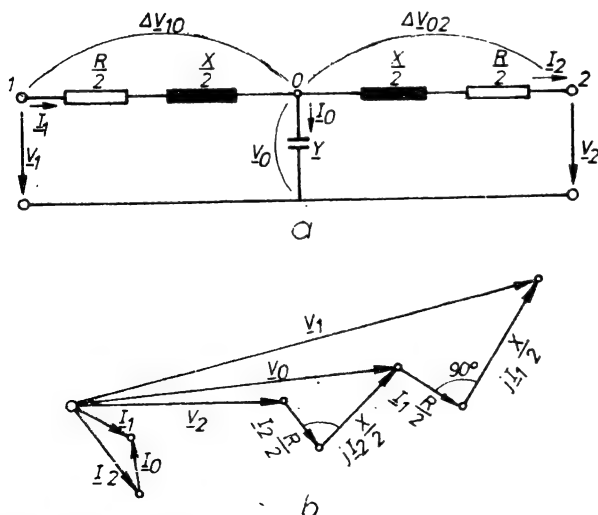


Fig. 5.11. Stabilirea căderilor de tensiune pentru o linie electrică lungă reprezentată prin schema echivalentă a unui cuadripol în  $T$ .

Relațiile căderilor de tensiune stabilite în paragraful precedent pentru liniile electrice de distribuție permit alegerea secțiunii conductoarelor luînd ca bază ecuația corespunzătoare condiției restrictive impusă pierderii de tensiune maxime admisibile pe linie. În acest caz, dacă  $\Delta U_a$  reprezintă pierderea de tensiune maximă admisibilă pe linie, secțiunea conductoarelor se poate alege ținînd seama ca:

$$\Delta U \leq \Delta U_a, \quad (5.34)$$

în care  $\Delta U$  este pierderea de tensiune reală pe linie.

Pentru această primă alegere a secțiunii conductoarelor se consideră că, pentru o anumită tensiune nominală, reactanța inductivă lineică a liniei este practic independentă de secțiunea conductorului, avînd o valoare cunoscută\*. În afara acestei condiții simplificatoare, la alegerea secțiunii conductoarelor trebuie să se țină seama de una din următoarele ipoteze suplimentare:

- ipoteza secțiunii constante în toate tronsoanele liniei calculate ( $s = \text{const.}$ );
- ipoteza densității de curent constante în toate tronsoanele liniei calculate ( $\delta = \text{const.}$ );
- ipoteza volumului minim de material conductor.

Cele trei ipoteze se pot utiliza pentru alegerea secțiunilor conductoarelor rețelelor cu tensiuni pînă la 35 kV. Pentru tensiuni mai înalte se utilizează metode tehnico-economice de alegere a secțiunilor, verificîndu-se ca pierderile de tensiune să nu depășească valorile maxime admisibile.

**Observație.** În cele ce urmează pentru alegerea secțiunii conductoarelor s-a acceptat noțiunea de „pierdere de tensiune” deoarece această mărime este măsurabilă și poate fi calculată prin identificarea aproximativă cu componenta longitudinală a căderii de tensiune. Prin aceasta însă nu se modifică conținutul teoretic dat mărimilor definite la paragraful 5.1.1.

### 5.2.1. IPOTEZA SECȚIUNII CONSTANTE

La alegerea secțiunii unei linii electrice, folosindu-se această ipoteză, trebuie să se aibă în vedere dacă linia considerată are sau nu ramificații.

**5.2.1.1. Linii electrice radiale fără ramificații.** În cazul unor linii electrice radiale, fără ramificații, care alimentează mai mulți consumatori de puteri relativ mici, în scopul simplificării construcției acestora, ele pot fi echipate cu un singur tip de conductor, avînd pe toate tronsoanele dintre consumatori aceeași secțiune, respectiv aceeași impedanță lineică  $Z_0$ , în  $\Omega/\text{km}$ . În consecință, pentru cele  $n$  tronsoane ale liniei din figura 5.12 se pot scrie ( $n-1$ ) relații de forma:

$$s_1 = s_2 = \dots = s_n = s. \quad (5.35)$$

Presupunînd cunoscută reactanța lineică, condiția restrictivă (5.34) constituie a  $n$ -a relație, care, în cazul figurii 5.12 de exemplu, se poate scrie sub forma:

$$\begin{aligned} DU_{AB} &\approx \Delta U_{AB} \leq \frac{\varepsilon}{100} U_n = \\ &= \Delta U_a, \end{aligned} \quad (5.36)$$

în care s-a identificat pierderea de tensiune cu componenta longitudinală a căderii de tensiune și s-a considerat  $\frac{\varepsilon}{100}$ .

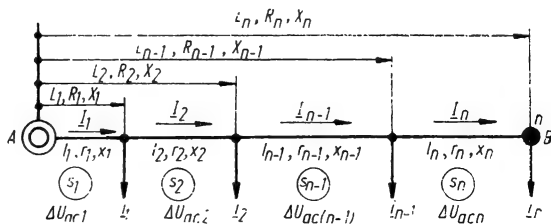


Fig. 5.12. Schemă electrică de calcul a unei linii radiale alimentată la un capăt.

\* Pentru liniile electrice de joasă tensiune  $X_0 = (0,34 \div 0,36) \Omega/\text{km}$ .

pierderea de tensiune procentuală admisibilă pînă la ultimul consumator al liniei, raportată la tensiunea nominală a acesteia.

Conform relației (5.11), condiția (5.36) se poate scrie și sub forma:

$$\Delta U_{AB} = \Delta U_{ac} + \Delta U_r \leq \Delta U_a, \quad (5.37)$$

în care:  $\Delta U_{ac} = \Delta\sqrt{3} \sum_1^n R_k i_{ka} = \sqrt{3} \sum_1^n r_k I_{ka}$  reprezintă componenta activă a pierderii de tensiune;

$$\Delta U_r = \sqrt{3} \sum_1^n X_k i_{kr} = \sqrt{3} \sum_1^n x_k I_{kr} \quad - \quad \text{componenta reactivă a pierderii de tensiune.}$$

Ținînd seama că pentru linii reactanța lineică nu variază practic cu secțiunea, mărimea  $\Delta U_r$  se poate considera cunoscută, astfel încît condiția restrictivă (5.34) devine:

$$\Delta U_{ac} \leq \Delta U_a - \Delta U_r. \quad (5.38)$$

Secțiunea conductoarelor se va exprima în funcție de condiția (5.38) prin relația:

$$s = \sqrt{3} \rho \frac{\sum_1^n I_{ka} l_k}{\Delta U_{ac}} = \sqrt{3} \rho \frac{\sum_1^n i_{ka} L_k}{\Delta U_{ac}}, \quad (5.39)$$

în care s-a ținut seama că conductorul este format din același material pe toată lungimea liniei electrice.

Dacă se consideră relațiile (5.14) în care sarcinile sînt exprimate prin puteri, atunci secțiunea conductoarelor este:

$$s = \rho \frac{\sum_1^n P_k l_k}{U_n \Delta U_{ac}} = \rho \frac{\sum_1^n p_k L_k}{U_n \Delta U_{ac}}. \quad (5.40)$$

În cazul rețelelor electrice monofazate de curent alternativ, expresiile (5.39) și (5.40) devin:

$$s = 2 \rho \sum_1^n \frac{I_{ka} l_k}{\Delta U_{ac}} = 2 \rho \frac{\sum_1^n i_{ka} L_k}{\Delta U_{ac}} \quad (5.41)$$

sau:

$$s = 2 \rho \sum_1^n \frac{P_k l_k}{U_n \Delta U_{ac}} = 2 \rho \sum_1^n \frac{p_k L_k}{U_n \Delta U_{ac}}, \quad (5.42)$$

care sînt valabile și în curent continuu, cu observația că la numitor se înlocuiește  $\Delta U_{ac}$  prin  $\Delta U_a$ .

**5.2.1.2. Linii electrice cu ramificații.** Dacă liniile electrice alimentate la un capăt au ramificații, alegerea secțiunilor se poate face numai după ce s-au determinat componentele active ale pierderilor de tensiune în fiecare latură.

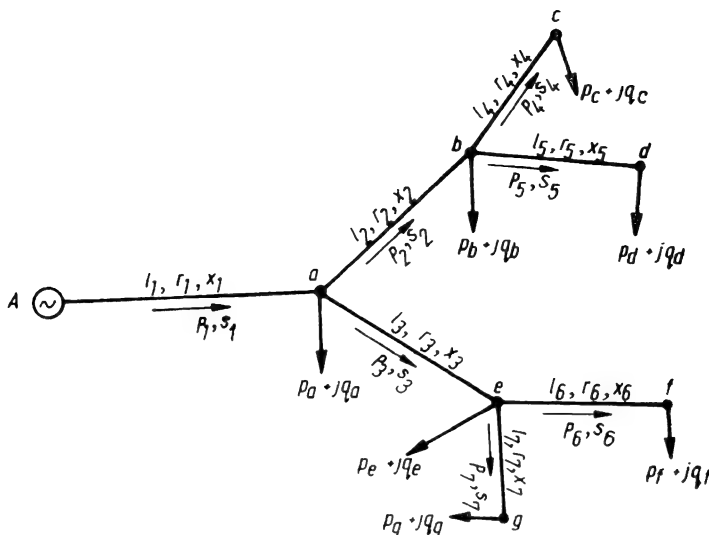


Fig. 5.13. Schemă electrică de calcul a unei linii electrice cu derivații alimentată la un capăt.

Fie, de exemplu, rețeaua arborescentă prezentată în figura 5.13, alimentată la un capăt, care are ramificații în trei noduri  $a$ ,  $b$  și  $e$ . Pentru simplificare se presupune că sarcinile sînt conectate numai în noduri și la capetele terminale ale laturilor. Determinarea pierderilor de tensiune în toate laturile rețelei necesită mai întîi scrierea condiției restrictive a componentei active de tensiune (5.38), în care componenta reactivă a pierderii de tensiune  $\sum \frac{Qx}{U_n}$ , corespunzătoare unui punct terminal al rețelei, are valoarea cea mai mare. Valoarea componentei active rezultată din condiția (5.38) trebuie să se considere aceeași pentru toate punctele terminale ale rețelei, ceea ce permite să se scrie următoarele relații între componentele active ale pierderilor de tensiune în diferite ramuri:

$$\begin{aligned} \Delta U_{ac} &= \Delta U_{ac1} + \Delta U_{ac2} + \Delta U_{ac4} = \Delta U_{ac1} + \Delta U_{ac2} + \Delta U_{ac5}; \\ \Delta U_{ac4} &= \Delta U_{ac5}; \quad \Delta U_{ac6} = \Delta U_{ac7}. \end{aligned} \quad (5.43)$$

Pentru a obține încă trei ecuații, care să permită determinarea celor șapte componente  $\Delta U_{acn}$ , se pune o condiție suplimentară și anume ca în fiecare nod secțiunea laturii principale să fie egală cu suma secțiunilor ramurilor derivate. Ținînd seama de acest lucru, pentru rețeaua din figura 5.13 se poate scrie că:

$$s_1 = s_2 + s_3; \quad s_2 = s_4 + s_5; \quad s_3 = s_6 + s_7 \quad (5.44)$$

sau exprimate prin relații de forma (5.40):

$$\rho \frac{P_1 l_1}{U_n \Delta U_{ac1}} = \rho \frac{P_2 l_2}{U_n \Delta U_{ac2}} + \rho \frac{P_3 l_3}{U_n \Delta U_{ac3}}; \quad (5.45)$$



$$\rho \frac{P_2 l_2}{U_n \Delta U_{ac2}} = \rho \frac{P_4 l_4}{U_n \Delta U_{ac4}} + \rho \frac{P_5 l_5}{U_n \Delta U_{ac5}} ;$$

$$\rho \frac{P_3 l_3}{U_n \Delta U_{ac3}} = \rho \frac{P_6 l_6}{U_n \Delta U_{ac6}} + \rho \frac{P_7 l_7}{U_n \Delta U_{ac7}} .$$

Rezolvarea sistemului de șapte ecuații (5.43) și (5.45) permite determinarea componentelor active ale pierderilor de tensiune în toate laturile rețelei în funcție de pierderea activă totală, ale căror valori sînt:

$$\Delta U_{ac1} = \frac{\Delta U_{ac}}{k_1} ; \Delta U_{ac2} = \Delta U_{ac} \frac{k_1 - 1}{k_1 \cdot k_2} ; \Delta U_{ac3} = \Delta U_{ac} \frac{k_1 - 1}{k_1 \cdot k_3} ;$$

$$\Delta U_{ac4} = \Delta U_{ac5} = \Delta U_{ac} \frac{(k_1 - 1)(k_2 - 1)}{k_1 \cdot k_2} ; \quad (5.46)$$

$$\Delta U_{ac6} = \Delta U_{ac7} = \frac{(k_1 - 1)(k_3 - 1)}{k_1 \cdot k_3} ,$$

în care:

$$k_1 = \frac{P_1 l_1 + P_2 l_2 + P_3 l_3 + P_4 l_4 + P_5 l_5 + P_6 l_6 + P_7 l_7}{P_1 l_1} ; \quad (5.47)$$

$$k_2 = \frac{P_2 l_2 + P_4 l_4 + P_5 l_5}{P_2 l_2} ; \quad k_3 = \frac{P_3 l_3 + P_6 l_6 + P_7 l_7}{P_3 l_3} .$$

Cunoscînd componentele active ale pierderilor de tensiune, se pot determina secțiunile conductoarelor cu ajutorul ecuațiilor (5.40), obținîndu-se:

$$s_1 = \rho \frac{P_1 l_1}{U_n \Delta U_{ac1}} = \rho \frac{P_1 l_1 k_1}{U_n \Delta U_{ac}} =$$

$$= \rho \frac{P_1 l_1 + P_2 l_2 + P_3 l_3 + P_4 l_4 + P_5 l_5 + P_6 l_6 + P_7 l_7}{U_n \Delta U_{ac}} ;$$

$$s_2 = \rho \frac{P_2 l_2}{U_n \Delta U_{ac2}} = \rho \frac{P_2 l_2}{U_n \Delta U_{ac}} \cdot \frac{k_1 k_2}{k_1 - 1} ;$$

$$s_3 = \rho \frac{P_3 l_3}{U_n \Delta U_{ac3}} = \rho \frac{P_3 l_3}{U_n \Delta U_{ac}} \cdot \frac{k_1 k_3}{k_1 - 1} ;$$

$$s_4 = \rho \frac{P_4 l_4}{U_n \Delta U_{ac4}} = \rho \frac{P_4 l_4}{U_n \Delta U_{ac}} \cdot \frac{k_1 k_2}{(k_1 - 1)(k_2 - 1)} ; \quad (5.48)$$

$$s_5 = \rho \frac{P_5 l_5}{U_n \Delta U_{ac5}} = \rho \frac{P_5 l_5}{U_n \Delta U_{ac}} \cdot \frac{k_1 k_2}{(k_1 - 1)(k_2 - 1)} ;$$

$$s_6 = \rho \frac{P_6 l_6}{U_n \Delta U_{ac6}} = \rho \frac{P_6 l_6}{U_n \Delta U_{ac}} \cdot \frac{k_1 k_3}{(k_1 - 1)(k_3 - 1)} ;$$

$$s_7 = \rho \frac{P_7 l_7}{U_n \Delta U_{ac7}} = \rho \frac{P_7 l_7}{U_n \Delta U_{ac}} \cdot \frac{k_1 k_3}{(k_1 - 1)(k_3 - 1)} .$$

Sub această formă calculul secțiunilor conductoarelor este laborios. De aceea, calculul pentru alegerea secțiunilor se poate face mai ușor, dacă se observă că rețeaua poate fi redusă prin transformări la o formă mai simplă. Astfel, din relațiile:

$$\Delta U_{ac4} = \Delta U_{ac5} \text{ și } \Delta U_{ac6} = \Delta U_{ac7}$$

scrise sub forma:

$$\rho \frac{P_4 l_4}{U_n \cdot s_4} = \rho \frac{P_5 l_5}{U_n \cdot s_5} \text{ și } \rho \frac{P_6 l_6}{U_n \cdot s_6} = \rho \frac{P_7 l_7}{U_n \cdot s_7}$$

rezultă prin adunarea numărărilor și numitorilor că:

$$\rho \frac{P_4 l_4}{U_n s_4} = \rho \frac{P_4 l_4 + P_5 l_5}{U_n (s_4 + s_5)} \text{ și } \rho \frac{P_6 l_6}{U_n s_6} = \rho \frac{P_6 l_6 + P_7 l_7}{U_n (s_6 + s_7)}. \quad (5.49)$$

Conform condițiilor puse inițial prin ecuațiile (5.43) și (5.44), rezultă că laturile 4 și 5 din nodul  $b$ , se pot înlocui printr-o latură echivalentă de lungime  $\lambda_{45}$  cu secțiunea  $s_2$ , care are la capăt sarcina  $P_4 + P_5$ ; în același mod se pot înlocui laturile 6 și 7 corespunzătoare nodului  $e$  printr-o latură echivalentă de lungime  $\lambda_{67}$  cu secțiunea  $s_3$ , avînd la capăt sarcina  $P_6 + P_7$ . Lungimile se pot determina din relațiile date de legea momentelor electrice:

$$\lambda_{45} = \frac{P_4 l_4 + P_5 l_5}{P_4 + P_5} \text{ și } \lambda_{67} = \frac{P_6 l_6 + P_7 l_7}{P_6 + P_7}. \quad (5.50)$$

Aceste expresii, care exprimă lungimea echivalentă a derivațiilor unui nod al rețelei, se pot pune sub forma generală:

$$\lambda_e = \frac{\sum_1^n P_k l_k}{\sum_1^n P_k} = \frac{\sum_1^n p_k L_k}{\sum_1^n p_k}, \quad (5.51)$$

în care  $p_k$  reprezintă puterile active de sarcină, iar  $P_k$  puterile active de linie.

În continuare, se obține prin transformare, latura echivalentă care pleacă din nodul  $a$ , de lungime  $\lambda_{23}$  și secțiunea  $s_1 = s_2 + s_3$ , care are la capăt sarcina  $P_2 + P_3$ . Conform relațiilor (5.50) și figurii 5.14, lungimea echivalentă  $\lambda_{23}$  poate fi exprimată sub forma:

$$\lambda_{23} = \frac{P_2 l_2 + (P_4 + P_5) \lambda_{45} + P_3 l_3 + (P_6 + P_7) \lambda_{67}}{P_2 + P_3}. \quad (5.52)$$

În final, se va obține o linie fără derivații cu două sarcini active, de secțiune constantă  $s_1$ , a cărei valoare se poate calcula cu relația:

$$s_1 = \rho \frac{P_1 l_1 + (P_2 + P_3) \lambda_{23}}{U_n \Delta U_{ac}}. \quad (5.53)$$

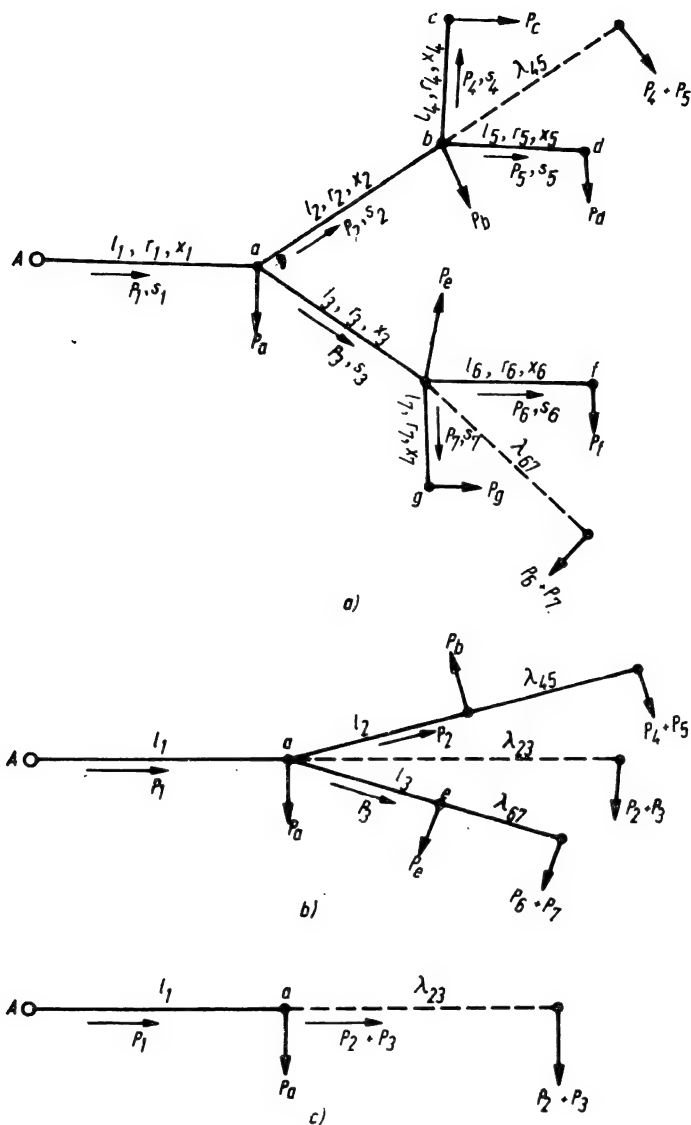


Fig. 5.14. Transfigurarea rețelei din figura 5.13.

Se alege o secțiune standardizată, pentru care se calculează  $\Delta U_{ac1}$ , pe lungimea  $l_1$  a rețelei, rezultând pierderea de tensiune disponibilă pentru restul ramurilor rețelei,  $\Delta U_{ac} - \Delta U_{ac1}$ , cu ajutorul căreia se află secțiunile ramurilor 2 și 3:

$$s_2 = \rho \frac{P_2 l_2 + (P_4 + P_5) \lambda_{45}}{U_n (\Delta U_{ac} - \Delta U_{ac1})}; \quad s_3 = \rho \frac{P_3 l_3 + (P_6 + P_7) \lambda_{67}}{U_n (\Delta U_{ac} - \Delta U_{ac1})}. \quad (5.54)$$

Alegînd apoi secțiuni standardizate, se calculează asemănător secțiunile ramurilor 4, 5, 6, 7 ale rețelei, adică:

$$s_4 = \rho \frac{P_4 l_4}{U_n (\Delta U_{ac} - \Delta U_{ac1} - \Delta U_{ac2})} ; \quad s_5 = \rho \frac{P_5 l_5}{U_n (\Delta U_{ac} - \Delta U_{ac1} - \Delta U_{ac2})} ; \quad (5.55)$$

$$s_6 = \rho \frac{P_6 l_6}{U_n (\Delta U_{ac} - \Delta U_{ac1} - \Delta U_{ac3})} ; \quad s_7 = \rho \frac{P_7 l_7}{U_n (\Delta U_{ac} - \Delta U_{ac1} - \Delta U_{ac3})} .$$

Se aleg apoi și pentru aceste ultime laturi secțiuni standardizate, după care se poate verifica pierderea de tensiune corespunzătoare traseului celui mai încărcat.

În consecință, alegerea secțiunii într-o rețea arborescentă se bazează pe transformarea rețelei, pînă la aducerea acesteia la forma din figura 5.12. Această transformare presupune înlocuirea derivațiilor din fiecare nod, printr-o singură latură echivalentă, a cărei lungime se determină cu ajutorul momentelor electrice. Din această cauză, se zice că alegerea secțiunilor conductoarelor se face prin *metoda momentelor electrice*.

### 5.2.2. IPOTEZA DENSITĂȚII DE CURENT CONSTANT

În acest caz secțiunile tronsoanelor liniei din figura 5.12 sînt diferite. Condiția de a avea aceeași densitate de curent în toate tronsoanele se exprimă prin relația:

$$\frac{I_1}{s_1} = \frac{I_2}{s_2} = \dots = \frac{I_n}{s_n} = \delta, \quad (5.56)$$

în care:  $I_1, I_2, \dots, I_n$  reprezintă intensitatea curenților din fiecare tronson al liniei;

$s_1, s_2, \dots, s_n$  — secțiunea fiecărui tronson al liniei.

Pentru linia trifazată de curent alternativ, ținînd seama de relațiile (5.39), (5.40) și (5.56) se poate scrie că:

$$\Delta U_{ac} = \sqrt{3} \rho \sum_1^n \frac{I_k}{s_k} l_k \cos \varphi_k = \sqrt{3} \rho \delta \sum_1^n l_k \cos \varphi_k \quad (5.57)$$

din care reiese că:

$$\delta = \frac{\Delta U_{ac}}{\sqrt{3} \rho \sum_1^n l_k \cos \varphi_k} \quad (5.58)$$

și respectiv:

$$s_n = \frac{I_n}{\delta} = \frac{\sqrt{3} \rho I_n}{\Delta U_{ac}} \sum_1^n l_k \cos \varphi_k = \frac{\rho P_n \sum_1^n l_k \cos \varphi_k}{U_n \Delta U_{ac} \cos \varphi_n} . \quad (5.59)$$

În cazul liniilor monofazate de curent alternativ, ținând seama de relațiile (5.41) și (5.56) se determină:

$$s_n = \frac{2\rho I_n}{\Delta U_{ac}} \sum_1^n l_k \cos \varphi_k, \quad (5.60)$$

care este valabilă și pentru rețelele de curent continuu, dacă în acest ultim caz se face abstracție de factorul de putere. În aceste condiții rezultă:

$$s_n = \frac{2\rho I_n}{\Delta U_a} \sum_1^n l_k = 2\rho \frac{I_n L}{\Delta U_a},$$

în care:  $\sum_1^n l_k = L$  reprezintă lungimea totală a rețelei;

$\Delta U_a$  — pierderea admisibilă totală de tensiune.

### 5.2.3. IPOTEZA MINIMULUI DE MATERIAL

Această ipoteză are caracter tehnico-economic și va fi aplicată atât pentru rețelele radiale fără ramificații, cât și pentru cele cu ramificații.

5.2.3.1. *Linii electrice radiale fără ramificații.* Se calculează secțiunile tronsoanelor liniei fără ramificații prezentată în figura 5.12, astfel încât volumul de material conductor să fie minim. Admițând componenta activă a pierderilor de tensiune cunoscută și considerînd conductoarele din același material, conform relației (5.39) rezultă următoarele secțiuni:

$$s_1 = \sqrt{3}\rho \frac{I_{a1}l_1}{\Delta U_{ac1}}; s_2 = \sqrt{3}\rho \frac{I_{a2}l_2}{\Delta U_{ac2}}; \dots; s_n = \sqrt{3}\rho \frac{I_{an}l_n}{\Delta U_{ac} - \sum_1^{n-1} \Delta U_{ack}}, \quad (5.61)$$

în care:  $\Delta U_{ac} = \sum_1^n \Delta U_{ack}$  rezultă din condiția (5.38).

Volumul de material conductor necesar pentru construcția liniei trifazate este:

$$\begin{aligned} V &= 3 \sum_1^n l_k s_k = 3 \sqrt{3}\rho \left[ \frac{I_{a1}l_1^2}{\Delta U_{ac1}} + \frac{I_{a2}l_2^2}{\Delta U_{ac2}} + \dots + \frac{I_{an}l_n^2}{\Delta U_{ac} - \sum_1^{n-1} \Delta U_{ack}} \right] = \\ &= \varphi(\Delta U_{ac1}, \Delta U_{ac2}, \dots, \Delta U_{ac(n-1)}). \end{aligned} \quad (5.62)$$

Se observă că volumul de material depinde de pierderile active de tensiune, care sînt variabile. Minimul funcției (5.62) se determină efectuînd derivatele parțiale în raport cu fiecare variabilă și egalîndu-le cu zero, adică:

$$\frac{\partial V}{\partial(\Delta U_{ac1})} = - \frac{I_{a1}l_1^2}{(\Delta U_{ac1})^2} + \frac{I_{an}l_n^2}{\left(\Delta U_{ac} - \sum_1^{n-1} \Delta U_{ack}\right)^2} = 0; \quad (5.63)$$

$$\frac{\partial V}{\partial(\Delta U_{ac2})} = -\frac{I_{a2}l_2^2}{(\Delta U_{ac2})^2} + \frac{I_{an}l_n^2}{\left(\Delta U_{ac} - \sum_1^{n-1} \Delta U_{ack}\right)^2} = 0;$$

$$\frac{\partial V}{\partial(\Delta U_{ack})} = -\frac{I_{ak}l_k^2}{(\Delta U_{ack})^2} + \frac{I_{an}l_n^2}{\left(\Delta U_{ac} - \sum_1^{n-1} \Delta U_{ack}\right)^2} = 0,$$

din care rezultă:

$$\frac{I_{a1}l_1^2}{(\Delta U_{ac1})^2} = \frac{I_{a2}l_2^2}{(\Delta U_{ac2})^2} = \dots = \frac{I_{ak}l_k^2}{(\Delta U_{ack})^2} = \dots = \frac{I_{an}l_n^2}{\left(\Delta U_{ac} - \sum_1^{n-1} \Delta U_{ack}\right)^2}. \quad (5.64)$$

Înlocuind în aceste ultime relații, valorile pierderilor active de tensiune reieșite din (5.61), se obține:

$$\frac{s_1^2}{I_{a1}} = \frac{s_2^2}{I_{a2}} = \dots = \frac{s_k^2}{I_{ak}} = \dots = \frac{s_n^2}{I_{an}}. \quad (5.65)$$

Secțiunea unui tronson de rețea se poate exprima în funcție de secțiunile și curenții de circulație a celorlalte tronsoane. Considerînd, de exemplu, mărimile tronsonului  $n$ , ca tronson de referință, rezultă:

$$s_1 = s_n \sqrt{\frac{I_{a1}}{I_{an}}}; \quad s_2 = s_n \sqrt{\frac{I_{a2}}{I_{an}}}; \quad \dots, \quad s_k = s_n \sqrt{\frac{I_{ak}}{I_{an}}}. \quad (5.66)$$

Revenind la expresia pierderii active totale de tensiune care reprezintă o mărime cunoscută determinată din condiția restrictivă (5.38) și înlocuind secțiunile date de expresiile (5.66), se poate determina secțiunea de referință, adică:

$$\begin{aligned} \Delta U_{ac} &= \sqrt{3}\rho \sum_1^n \frac{I_{ak}l_k}{s_k} = \sqrt{3}\rho \left[ \frac{I_{a1}l_1}{s_n \sqrt{\frac{I_{a1}}{I_{an}}}} + \frac{I_{a2}l_2}{s_n \sqrt{\frac{I_{a2}}{I_{an}}}} + \dots + \frac{I_{an}l_n}{s_n} \right] = \\ &= \frac{\sqrt{3}\rho\sqrt{I_{an}}}{s_n} \sum_1^n l_k \sqrt{I_{ak}}, \end{aligned} \quad (5.67)$$

de unde reiese că:

$$s_n = \frac{\sqrt{3}\rho\sqrt{I_{an}}}{\Delta U_{ac}} \sum_1^n l_k \sqrt{I_{ak}}, \quad (5.68)$$

în care pentru a obține secțiunea în  $[\text{mm}^2]$ , se consideră  $\Delta U_{ac}$  în  $[\text{V}]$ ,  $I_{ak}$  în  $[\text{A}]$  și  $l_k$  în  $[\text{m}]$ .

Cînd sarcinile sînt exprimate prin puteri, expresiile (5.66) și (5.68) se pot scrie sub forma:

$$s_1 = s_n \sqrt{\frac{P_1}{P_n}}; s_2 = s_n \sqrt{\frac{P_2}{P_n}}; \dots; s_k = s_n \sqrt{\frac{P_k}{P_n}} \quad (5.69)$$

și

$$s_n = \frac{\rho \sqrt{P_n}}{\Delta U_{ac} U_n} \sum_1^n l_k \sqrt{P_k}. \quad (5.70)$$

Din analiza relațiilor (5.68) și (5.70) rezultă că numai mărimile de sub semnul radical (curenți sau puteri) din afara sumei sînt variabile, ele corespunzînd tronsonului a cărui secțiune se alege. În consecință, rezultă că:

$$s_n = k_1 \sqrt{I_{an}} = k_2 \sqrt{P_n}, \quad (5.71)$$

în care:

$$k_1 = \frac{\sqrt{3}\rho}{\Delta U_{ac}} \sum_1^n l_k \sqrt{I_{ak}} \text{ și } k_2 = \frac{\rho}{U_n \Delta U_{ac}} \sum_1^n l_k \sqrt{P_k}. \quad (5.72)$$

5.2.3.2. *Linii electrice radiale cu ramificații (rețele arborescente).* Aplicarea ipotezei minimului de material la linii cu ramificații se face analog celor indicate la ipoteza secțiunii constante. Calculul analitic necesită determinarea, în prealabil, a termenului  $\sum \frac{Qx}{U_n}$  din expresia pierderii de tensiune, pe traseul cel mai încărcat al rețelei, considerînd reactanța lineică ca o mărime dată, practic independentă de secțiune. În aceste condiții, se poate

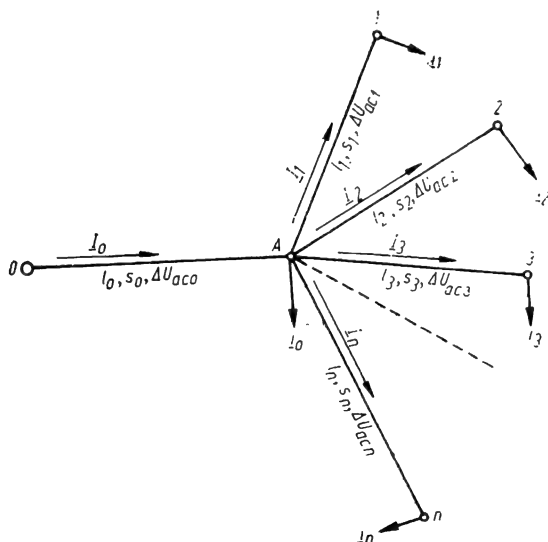


Fig. 5.15. Schemă electrică pentru alegerea secțiunii conductoarelor unei rețele arborescente, în ipoteza minimului de material.

determina, pe baza condiției restrictive (5.38) componenta activă totală a pierderii de tensiune, care se consideră aceeași pentru toți consumatorii terminali ai rețelei.

Cu notațiile corespunzătoare figurii 5.15, de exemplu, rezultă:

$$\begin{aligned} (\Delta U_a - \Delta U_r) &\geq \Delta U_{ac} = \Delta U_{ac0} + \Delta U_{ac1} = \Delta U_{ac0} + \Delta U_{ac2} = \dots = \\ &= \Delta U_{ac0} + \Delta U_{acn}, \end{aligned} \quad (5.73)$$

din care reiese că:

$$\Delta U_{ac1} = \Delta U_{ac2} = \dots = \Delta U_{acn}. \quad (5.74)$$

Volumul de material necesar construcției rețelei este

$$V = 3 \sum_0^n l_k s_k = 3\sqrt{3}\rho \left[ \frac{l_0^2 I_{a0}}{\Delta U_{ac0}} + \frac{l_1^2 I_{a1}}{\Delta U_{ac1}} + \dots + \frac{l_n^2 I_{an}}{\Delta U_{acn}} \right], \quad (5.75)$$

în care pierderile active de tensiune constituie necunoscutele problemei. Dacă se notează

$$\begin{aligned} \Delta U_{ac1} &= \Delta U_{ac2} = \dots = \Delta U_{acn} = x; \\ \Delta U_{ac0} &= \Delta U_{ac} - x, \end{aligned}$$

atunci relația (5.75) devine:

$$V = 3\sqrt{3}\rho \left[ \frac{l_0^2 I_{a0}}{\Delta U_{ac} - x} + \frac{l_1^2 I_{a1} + l_2^2 I_{a2} + \dots + l_n^2 I_{an}}{x} \right] = \varphi(x) \quad (5.76)$$

a cărei derivată în raport cu  $x$ , egalată cu zero, permite obținerea condiției de extremă:

$$\frac{x}{\Delta U_{ac} - x} = \frac{\Delta U_{acn}}{\Delta U_{ac0}} = \frac{1}{l_0} \sqrt{\frac{\sum_1^n l_k^2 I_{ak}}{I_{a0}}} = \frac{1}{l_0} \sqrt{\frac{\sum_1^n l_k^2 I_{ak}}{\sum_1^n I_{ak}}}. \quad (5.77)$$

Se observă că mărimea de sub semnul radical este de dimensiunea unei lungimi, fiind lungimea echivalentă a ramurilor  $l_1, l_2, \dots, l_n$  reieșită din condiția minimului de material:

$$\lambda = \sqrt{\frac{\sum_1^n l_k^2 I_{ak}}{\sum_1^n I_{ak}}}. \quad (5.78)$$

Înlocuirea derivațiilor printr-o lungime fictivă, echivalentă permite obținerea secțiunilor tronsoanelor pe două căi.

O primă cale constă în determinarea pierderilor active în fiecare tronson, cu ajutorul cărora, folosind relațiile (5.39), se calculează secțiunile. În acest scop, expresia (5.77) se scrie sub forma:

$$\frac{\Delta U_{ac0} + \Delta U_{acn}}{\Delta U_{ac0}} = \frac{\Delta U_{ac}}{\Delta U_{ac0}} = \frac{l_0 + \lambda}{l_0}, \quad (5.79)$$



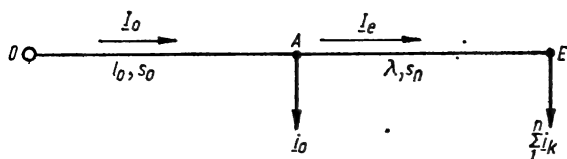


Fig. 5.16. Schemă echivalentă simplificată de calcul a unei linii cu ramificații, în ipoteza minimului de material.

din care reiese pierderea de tensiune pe tronsonul principal de lungime  $l_0$ :

$$\Delta U_{ac0} = \Delta U_{ac} \frac{l_0}{l_0 + \lambda} = \frac{\Delta U_{ac}}{1 + \frac{1}{l_0} \sqrt{\frac{\sum_1^n l_k^2 I_{ak}}{\sum_1^n I_{ak}}}} \quad (5.80)$$

Pierderile de tensiune în celelalte tronsoane se vor determina cu relațiile (5.73) și (5.74), iar secțiunile conductoarelor cu relația (5.39).

A doua cale presupune transformarea rețelei ca în figura 5.16, în care derivațiile au fost înlocuite printr-o lungime echivalentă. În acest caz, secțiunile  $s_n$  și  $s_0$  se calculează folosind relațiile (5.68) și (5.66), adică:

$$s_n = \frac{\sqrt{3}\rho \sqrt{I_{ac}}}{\Delta U_{ac}} \sum_1^n l_k \sqrt{I_{ak}} = \frac{\sqrt{3}\rho \sqrt{I_{ac}}}{\Delta U_{ac}} (l_0 \sqrt{I_{a0}} + \lambda \sqrt{I_{ae}})$$

și

$$s_0 = s_n \sqrt{\frac{I_{a0}}{I_{ae}}}.$$

Dacă ramurile derivate ale rețelei sînt încărcate aproximativ în aceleași condiții, se poate accepta pentru acestea o singură secțiune  $s_n$ . În caz contrar, se alege numai secțiunea  $s_0$  a tronsonului principal, cu ajutorul căreia se recalculează  $\Delta U_{ac0}$ . Pierderea activă de tensiune pe celelalte ramuri se calculează cu relațiile (5.73) și (5.74), iar secțiunile, cu relația (5.39).

În cazul rețelei studiate în ipoteza minimului de material s-a considerat că consumatorii sînt racordați în noduri sau la capetele derivațiilor. Cînd conectarea consumatorilor are loc și în lungul ramurilor, atunci se pot aplica aceleași procedee de calcul cu relații puțin modificate.

Astfel, pentru rețeaua din figura 5.17, de exemplu, acceptînd o singură secțiune pe fiecare tronson, se poate scrie:

$$s_0 = \sqrt{3}\rho \sum_1^n \frac{i_{ack} L_{0k}}{\Delta U_{ac0}}; \quad s_1 = \sqrt{3}\rho \sum_1^n \frac{i_{a1k} L_{1k}}{\Delta U_{ac} - \Delta U_{ac0}}; \quad (5.81)$$

$$s_2 = \sqrt{3}\rho \sum_1^n \frac{i_{a2k} L_{2k}}{\Delta U_{ac} - \Delta U_{ac0}}; \quad \dots; \quad s_n = \sqrt{3}\rho \frac{\sum_1^n i_{ank} L_{nk}}{\Delta U_{ac} - \Delta U_{ac0}};$$

în care:  $i_{a0k}, i_{a1k}, \dots, i_{ank}$  reprezintă curenții activi de sarcină;  
 $L_{0k}, L_{1k}, \dots, L_{nk}$  — distanțele sarcinilor de pe laturi, măsurate în raport cu capătul de intrare al acestora, respectiv cu punctul O de alimentare sau cu nodul A;

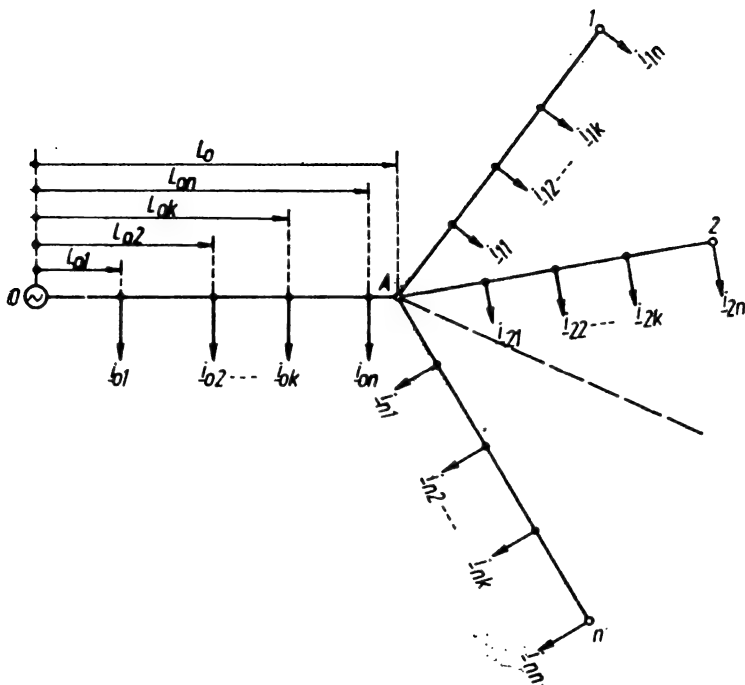


Fig. 5.17. Schema rețelei arborescente cu  $n$  derivații și cu consumatori racordați de-a lungul tronsoanelor.

$\Delta U_{ac0}, (\Delta U_{ac} - \Delta U_{ac0})$  — pierderile active de tensiune pe tronsonul principal și pe derivații.

Expresia volumului de material este:

$$V = 3 \sum_1^n L_k S_k = 3 \sqrt{3} \rho \left[ \frac{L_0 \sum_0 i_{a0k} L_{0k}}{\Delta U_{ac0}} + \frac{L_1 \sum_1 i_{a1k} L_{1k}}{\Delta U_{ac} - \Delta U_{ac0}} + \dots + \frac{L_n \sum_n i_{ank} L_{nk}}{\Delta U_{ac} - \Delta U_{ac0}} \right] = \varphi(\Delta U_{ac0}), \quad (5.82)$$

în care:  $L_0, L_1, \dots, L_n$  reprezintă lungimea fiecărui tronson al rețelei;  
 $\sum_0 i_{a0k} L_{0k}, \sum_1 i_{a1k} L_{1k}, \dots, \sum_n i_{ank} L_{nk}$  — suma momentelor electrice ale sarcinilor active de pe fiecare latură 0, 1, 2, ...,  $n$  în raport cu capătul de intrare, adică, în raport cu punctul 0 de alimentare și cu punctul A.

Efectuînd derivata volumului de material în raport cu singura necunoscută a problemei  $\Delta U_{ac0}$  și egalînd-o cu zero, rezultă:

$$\frac{dV}{d(\Delta U_{ac0})} = - \frac{L_0 \sum_1^n i_{a0k} L_{0k}}{(\Delta U_{ac0})^2} + \frac{L_1 \sum_1 i_{a1k} L_{1k} + L_2 \sum_2 i_{a2k} L_{2k} + \dots + L_n \sum_n i_{ank} L_{nk}}{(\Delta U_{ac} - \Delta U_{ac0})^2} = 0$$

sau

$$\frac{\Delta U_{ac} - \Delta U_{ac0}}{\Delta U_{ac0}} = \frac{\Delta U_{ac}}{1 + \sqrt{\frac{L_1 \sum_1 i_{a1k} L_{1k} + L_2 \sum_2 i_{a2k} L_{2k} + \dots + L_n \sum_n i_{ank} L_{nk}}{L_0 \sum_0 i_{a0k} L_{0k}}}}. \quad (5.83)$$

Această ultimă relație permite să se determine pierderea activă de tensiune pe tronsonul principal de lungime  $L_0$ , adică:

$$\Delta U_{ac0} = \frac{\Delta U_{ac}}{1 + \sqrt{\frac{L_1 \sum_1 i_{a1k} L_{1k} + L_2 \sum_2 i_{a2k} L_{2k} + \dots + L_n \sum_n i_{ank} L_{nk}}{L_0 \sum_0 i_{a0k} L_{0k}}}} \quad (5.84)$$

cu ajutorul căreia se calculează pierderea activă pe celelalte tronsoane și secțiunile  $s_0, s_1, \dots, s_n$ , urmînd același procedeu indicat mai înainte. În relațiile (5.82), (5.83) și (5.84) s-a notat cu semnul  $\sum_k$ , suma momentelor curenților de pe latura  $k$ .

### 5.3. CALCULUL CIRCULAȚIEI DE CURENȚI ȘI AL CĂDERILOR DE TENSIUNE ÎN REȚELELE BUCLATE

Pentru creșterea siguranței în alimentarea cu energie electrică a consumatorilor, precum și din considerente tehnico-economice care se referă la reducerea pierderilor de energie, se folosesc scheme de conexiuni de rețele buclate. În acest caz, calculul căderilor de tensiune, presupune totdeauna cunoașterea repartiției curenților sau a puterilor în fiecare tronson sau ramură a rețelei.

În liniile alimentate la un singur capăt circulația curenților sau a puterilor s-a făcut fără dificultăți (mai ales dacă s-au neglijat pierderile), prin adunarea succesivă a sarcinilor, parcurgînd rețeaua de la finele ei către punctul de alimentare.

În rețelele buclate acest lucru este mai dificil de făcut și pentru efectuarea calculelor se pot aplica, fie *metode tehnice* cu ajutorul cărora se simplifică rețeaua din punctul de vedere al schemei de conexiuni, fie *metode analitice*, care permit și utilizarea tehnicii moderne de calcul.

### 5.3.1. LINIE ALIMENTATĂ LA DOUĂ CAPETE

Linia alimentată la două capete constituie cel mai simplu element de rețea buclată, care prezintă avantajul alimentării consumatorilor cu energie electrică în condiții de siguranță sporită. Ea se poate reprezenta, de fapt, sub forma unei rețele inelare alimentată de la o singură sursă, ca în figura 5.18, *a* care prin secționare în dreptul sursei, se transformă într-o linie alimentată la două capete ca în figura 5.18, *b*.

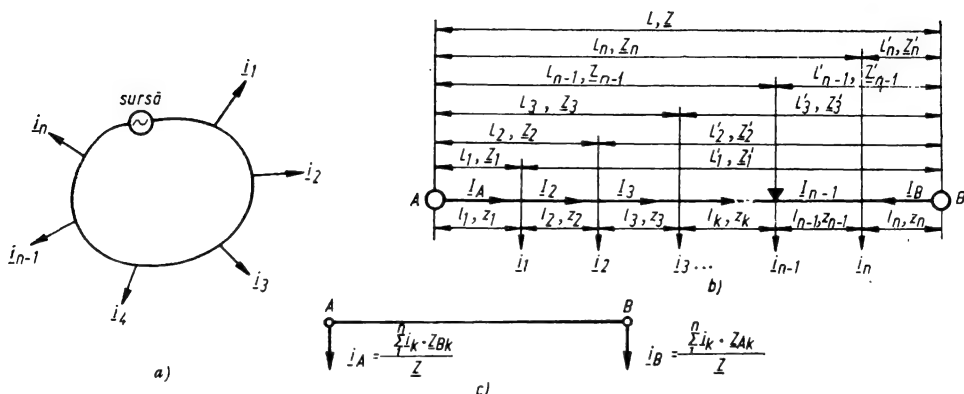


Fig. 5.18. Scheme electrice pentru calculul circulației curenților sau puterilor în linii alimentate la două capete.

Calculul electric al acestor linii presupune determinarea circulației curenților sau a puterilor în fiecare ramură sau tronson și a nodului în care consumatorul este alimentat de la ambele surse. În acest nod linia va avea tensiunea minimă și va putea fi secționată astfel încât ea se va reprezenta sub forma a două linii radiale, alimentată fiecare de la o singură sursă de tensiune, ca în figura 5.19. Alegerea secțiunii conductoarelor va fi făcută punând condiția ca pierderea totală de tensiune, de la una din surse pînă la nodul de secționare, să nu depășească limita maximă admisibilă.

Pentru determinarea circulației curenților sau puterilor și a nodului de tensiune minimă în linia alimentată la două capete din figura 5.18, *b* se consideră următoarele ipoteze:

a) tensiunile surselor de alimentare sînt cunoscute și diferite atît ca modul, cît și ca fază ( $U_A \neq U_B$ );

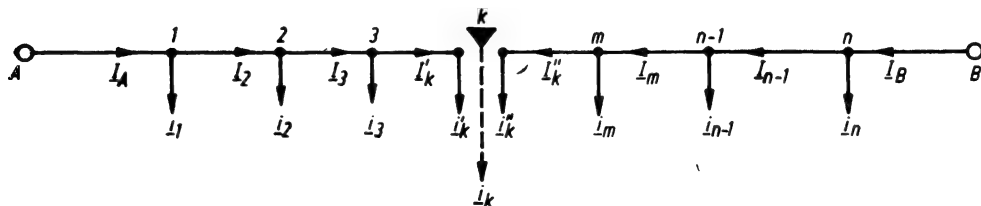


Fig. 5.19. Reprezentarea liniei alimentată la două capete sub forma a două linii radiale cu indicarea nodului de separație.

- b) sarcinile consumatorilor au factori de putere diferiți;  
 c) linia este reprezentată printr-o impedanță;  
 d) în cazul cînd consumatorii sînt reprezentați prin puteri se calculează circulația puterilor neglijîndu-se pierderile.

Dacă se acceptă sensul de circulație al curenților cel indicat în figura 5.18, b aplicînd a doua teoremă a lui Kirchhoff, se poate scrie că:

$$\Delta U_{AB} = U_A - U_B = \sqrt{3}[I_A z_1 + I_2 \cdot z_2 + I_3 \cdot z_3 + \dots - I_{n-1} \cdot z_{n-1} - I_B \cdot z_n], \quad (5.85)$$

în care:

$$I_2 = I_A - i_1; \quad I_3 = I_A - i_1 - i_2; \dots; \quad I_B = \sum_1^n i_n - I_A. \quad (5.86)$$

Ținînd seama de relațiile (5.86) în (5.85) și de notațiile din figura 5.18, b se obține, prin gruparea termenilor, curentul debitat de sursa de alimentare din punctul A:

$$\begin{aligned} I_A &= \frac{U_A - U_B}{\sqrt{3}Z} + \frac{i_1 Z'_1 + i_2 Z'_2 + \dots + i_k Z'_k + \dots + i_n Z'_n}{Z} = \\ &= \frac{U_A - U_B}{\sqrt{3}Z} + \frac{\sum_1^n i_k Z'_k}{Z}, \end{aligned} \quad (5.87)$$

unde  $Z = \sum_1^n z_k$  reprezintă impedanța totală a liniei;

$Z'_k$  — impedanțele considerate de la sursa de alimentare din punctul B, pînă la diferite noduri 1, 2, 3, ..., n, în care sînt conectate sarcinile reprezentate prin curenți.

În mod analog, se determină și curentul debitat de sursa din punctul B, adică:

$$I_B = \frac{U_B - U_A}{\sqrt{3}Z} + \frac{\sum_1^n i_k Z_k}{Z}, \quad (5.88)$$

unde  $Z_k$  reprezintă impedanța diferitelor tronsoane ale rețelei, considerate de la sursa din punctul A pînă la nodurile diferiților consumatori.

Primul termen al ecuațiilor (5.87) sau (5.88) determinat de diferența tensiunilor de alimentare reprezintă *curentul de circulație*, care există și cînd linia funcționează în gol. Din această cauză el se mai numește și *curent de mers în gol* și poate fi interpretat ca fiind produs de o sursă electromotoare fictivă, fără impedanță internă, și cu valoarea egală cu căderea de tensiune pe fază,  $\Delta V_{AB}$ , care se conectează între punctele de alimentare A și B cînd rețeaua se buclează. Dacă  $Z = R + jX$  reprezintă impedanța totală a liniei și presupunînd toate celelalte tensiuni electromotoare nule, se poate scrie curentul de mers în gol sub forma:

$$I_{0AB} = \frac{\Delta V_{AB}}{Z} = \frac{\Delta V + j\delta V}{R + jX} = \frac{R\Delta V + X\delta V}{R^2 + X^2} + j \frac{R\delta V - X\Delta V}{R^2 + X^2} \quad (5.89)$$

sau separînd cele două componente, activă și reactivă:

$$(I_{0AB})_a = \frac{\delta V + \frac{R}{X} \Delta V}{X \left[ 1 + \left( \frac{R}{X} \right)^2 \right]}; \quad (I_{0AB})_r = \frac{\Delta V - \frac{R}{X} \delta V}{X \left[ 1 + \left( \frac{R}{X} \right)^2 \right]}, \quad (5.90)$$

în care:  $\Delta V$  reprezintă componenta longitudinală a căderii de tensiune;  
 $\delta V$  — componenta transversală a căderii de tensiune.

Din aceste ultime relații se constată că pentru o linie electrică alimentată la două capete ( $\underline{U}_A \neq \underline{U}_B$ ), care funcționează în gol, în ipoteza că  $R \ll X$ , circulația de curenți activi depinde mai ales de componenta transversală a căderii de tensiune, în timp ce circulația de curenți reactivi este determinată mai ales de componenta longitudinală a căderii de tensiune. Conform figurii 5.20 componenta  $\delta V$  produce un curent aproximativ în fază cu tensiunea  $\underline{V}_B$  al cărui sens de circulație va fi de la capătul  $A$  la capătul  $B$ , deoarece  $\underline{V}_A$  este în avans față de  $\underline{V}_B$ . Componenta  $\Delta V$  produce un curent defazat aproximativ cu  $\frac{\pi}{2}$  în urmă față de tensiunea  $\underline{V}_B$  și va circula

de la capătul  $A$  la capătul  $B$ , deoarece  $\underline{V}_A > \underline{V}_B$ . Această constatare fizică pune în evidență faptul că, în cazul folosirii unor mijloace de reglaj al tensiunii în rețea, se poate acționa asupra celor două componente  $\Delta V$  și  $\delta V$ , pentru modificarea circulației de curenți sau puteri active și reactive din rețeaua electrică respectivă.

În cazul liniilor electrice de joasă sau de medie tensiune, alimentate la două capete, este necesar ca, la funcționarea în gol circulația de curenți să fie nulă, pentru ca astfel pierderile de energie să fie minime. Din această cauză se recomandă ca  $\underline{U}_A = \underline{U}_B$ .

Termenul al doilea din ecuațiile (5.87) și (5.88) reprezintă o sumă a curenților debitați de fiecare sursă pentru alimentarea consumatorilor și depinde de valoarea și de locul de conectare a acestora. El poate fi reprezentat prin doi curenți de sarcină  $\underline{i}_A$  și  $\underline{i}_B$ , ca în figura 5.18, c, echivalenți curenților de sarcină  $\underline{i}_k$ , care se conectează în punctele de alimentare  $A$  și  $B$ . Regula de „aruncare” a curenților de sarcină  $\underline{i}_k$  la cele două capete  $A$  și  $B$  este analoagă cu cea din rezistența materialelor, care se referă la determinarea reacțiunilor pe reazeme, pentru o grindă simplu rezemată, încărcată cu sarcini verticale concentrate. Astfel, pentru determinarea curenților  $\underline{i}_A$  se va lua suma momentelor electrice  $\underline{Z}'_k \underline{i}_k$  în raport cu punctul  $B$ , divizîndu-se această sumă prin impedanța totală a liniei,  $\underline{Z}$ . În mod asemănător, pentru determinarea curenților  $\underline{i}_B$  se va lua suma momentelor

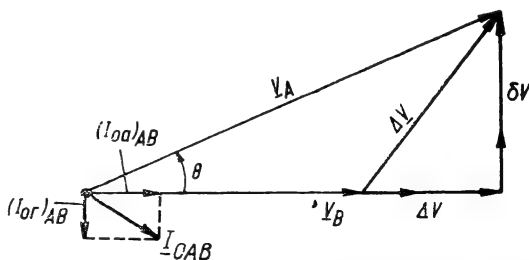


Fig. 5.20. Diagrama fazorială a căderilor de tensiune la o linie alimentată la două capete care funcționează în gol ( $V_A \neq V_B$ ).

electrice  $Z_k i_k$  în raport cu punctul  $A$  și se va divide această sumă prin impedanța totală a liniei,  $Z$ .

Dacă sarcinile sînt exprimate prin puteri, repartitia aproximativă a acestora, făcîndu-se abstracție de pierderile de putere, se obține prin înmulțirea relațiilor (5.87) și (5.88) cu  $\sqrt{3} U_n^*$ , care se pot pune sub forma:

$$\begin{aligned} S_A &= \frac{U_A - U_B}{Z} U_n^* + \frac{\sum_1^n s_k Z'_k}{Z}; \\ S_B &= \frac{U_B - U_A}{Z} U_n^* + \frac{\sum_1^n s_k Z_k}{Z}, \end{aligned} \quad (5.91)$$

unde  $U_n^* = U_n \cos \theta - j U_n \sin \theta$  reprezintă tensiunea nominală conjugată a liniei.

Relațiile (5.87), (5.88) sau (5.91) permit determinarea distribuției curenților sau puterilor în diferitele tronsoane ale liniei. Urmărind această circulație de la punctele de alimentare spre consumatori, se constată că în general, o parte din consumatori sînt alimentați de la sursa din capătul  $A$ , iar o altă parte de la sursa din capătul  $B$ . Există un consumator (în cazul figurii 5.18 s-a considerat consumatorul  $n-1$ ), care este alimentat de la ambele capete. Nodul în care este conectat acest consumator are tensiunea cea mai scăzută (căderea de tensiune maximă) și poartă denumirea de *nod de separație a curenților* sau *a puterilor*. În acest nod, notat obișnuit cu semnul  $\blacktriangledown$ , linia se poate secționa obținîndu-se două linii radiale  $A, 1, 2, \dots, k$  și  $B, n, n-1, \dots, k$ , ca în figura 5.19, în care căderile de tensiune și alegerea secțiunilor conductoarelor se face cu relațiile stabilite în cazul liniilor radiale sau arborescente.

Este posibilă obținerea a două noduri de separație, unul pentru curenții sau puterile active și celălalt pentru curenții sau puterile reactive. În acest caz, se recomandă să se calculeze căderile de tensiune corespunzătoare ambelor noduri de separație a curenților sau a puterilor, comparînd rezultatele și marcînd nodul în care tensiunea consumatorului are valoarea minimă.

5.3.1.1. *Linie cu tensiuni egale la ambele capete* ( $U_A = U_B$ ). Curenții de circulație provoacă, independent de modificarea valorii sarcinilor, supraîncărcarea unei surse de alimentare față de cealaltă, mărind astfel pierderile de energie. De aceea, în exploatare se tinde, pe cît posibil, să existe aceeași tensiune la punctele de alimentare, folosindu-se, de exemplu, în rețelele de joasă tensiune, comutarea prizelor transformatoarelor sau dispozitive speciale de reglare a tensiunii.

Dacă tensiunile la capetele de alimentare ale liniei sînt egale în modul și fază, atunci curenții și puterile corespunzătoare surselor de alimentare corespund relațiilor următoare:

$$\begin{aligned} I_A &= \frac{\sum_1^n i_k Z'_k}{Z}; \quad I_B = \frac{\sum_1^n i_k Z_k}{Z}; \\ S_A &= \frac{\sum_1^n s_k Z'_k}{Z}; \quad S_B = \frac{\sum_1^n s_k Z_k}{Z}, \end{aligned} \quad (5.92)$$

din care se constată că curentul sau puterea de egalizare este nulă.

Relațiile (5.92) se pot scrie și sub forma generală:

$$\begin{aligned} I_A &= (G - jB) \sum_1^n (i_{ak} - j i_{rk})(R'_k + jX'_k); \\ I_B &= (G - jB) \sum_1^n (i_{ak} - j i_{rk})(R_k + jX_k), \end{aligned} \quad (5.93)$$

în care:  $\frac{1}{Z} = Y = G - jB$  reprezintă admitanța totală a liniei cu componentele ei:

$$\begin{aligned} G &= \frac{R}{R^2 + X^2} & - & \text{conductanța liniei;} \\ B &= \frac{X}{R^2 + X^2} & - & \text{susceptanța liniei;} \\ R_k \text{ și } R'_k & & - & \text{rezistențele tronsoanelor liniei considerate în raport cu punctul de alimentare } B, \text{ respectiv } A; \\ X_k \text{ și } X'_k & & - & \text{reactanțele tronsoanelor liniei considerate în raport cu aceleași puncte de alimentare.} \end{aligned}$$

Efectuînd calculele și separînd mărimile reale de cele imaginare, se deduc separat componentele, activă și reactivă, ale curenților debitați de sursele din punctele  $A$  și  $B$ :

$$\begin{aligned} I_{aA} &= G \sum_1^n (i_{ak} R'_k + i_{rk} X'_k) + B \sum_1^n (i_{ak} X'_k - i_{rk} R'_k); \\ I_{rA} &= -G \sum_1^n (i_{ak} X'_k - i_{rk} R'_k) + B \sum_1^n (i_{ak} R'_k + i_{rk} X'_k); \\ I_{aB} &= G \sum_1^n (i_{ak} R_k + i_{rk} X_k) + B \sum_1^n (i_{ak} X_k - i_{rk} R_k); \\ I_{rB} &= -G \sum_1^n (i_{ak} X_k - i_{rk} R_k) + B \sum_1^n (i_{ak} R_k + i_{rk} X_k). \end{aligned} \quad (5.94)$$

Dacă sarcinile sînt exprimate în puteri, atunci expresiile (5.94) devin:

$$\begin{aligned} P_A &= G \sum_1^n (p_k R'_k + q_k X'_k) + B \sum_1^n (p_k X'_k - q_k R'_k); \\ Q_A &= -G \sum_1^n (p_k X'_k - q_k R'_k) + B \sum_1^n (p_k R'_k + q_k X'_k); \\ P_B &= G \sum_1^n (p_k R_k + q_k X_k) + B \sum_1^n (p_k X_k - q_k R_k); \\ Q_B &= -G \sum_1^n (p_k X_k - q_k R_k) + B \sum_1^n (p_k R_k + q_k X_k), \end{aligned} \quad (5.95)$$

în care  $p_k$  și  $q_k$  reprezintă puterile active și reactive ale sarcinilor.



5.3.1.2. *Linie omogenă.* De cele mai multe ori tronsoanele liniei considerate sînt constituite din conductoare cu aceeași secțiune și din același material, astfel că impedanța pe unitatea de lungime este aceeași. În acest caz, ecuațiile care determină repartitia curenților sau a puterilor în linie, devin:

$$\begin{aligned} I_A &= \frac{\sum_1^n i_k L'_k}{L}; \quad I_B = \frac{\sum_1^n i_k L_k}{L}; \\ S_A &= \frac{\sum_1^n s_k L'_k}{L}; \quad S_B = \frac{\sum_1^n s_k L_k}{L} \end{aligned} \quad (5.96)$$

sau, separînd părțile reale și cele imaginare

$$\begin{aligned} I_{aA} &= \frac{\sum_1^n i_{ak} L'_k}{L}; \quad I_{aB} = \frac{\sum_1^n i_{ak} L_k}{L}; \\ I_{rA} &= \frac{\sum_1^n i_{rk} L'_k}{L}; \quad I_{rB} = \frac{\sum_1^n i_{rk} L_k}{L}; \\ P_A &= \frac{\sum_1^n p_k L'_k}{L}; \quad P_B = \frac{\sum_1^n p_k L_k}{L}; \\ Q_A &= \frac{\sum_1^n q_k L'_k}{L}; \quad Q_B = \frac{\sum_1^n q_k L_k}{L}, \end{aligned} \quad (5.97)$$

în care produsele de sub semnul  $\Sigma$  reprezintă momentele electrice ale curenților sau puterilor față de punctele de alimentare.

Relațiile (5.97) arată că repartitia sarcinilor active și reactive se poate determina independent una de alta, ca și cum ar exista separat două linii: una cu sarcini active și alta cu sarcini reactive. Distribuția totală a puterilor rezultă din suprapunerea rezultatelor obținute în cele două cazuri, totalizînd geometric sarcinile active și reactive din tronsoane.

5.3.1.3. *Linie cu sarcini pur active.* În acest caz circulația curenților sau puterilor reiese utilizînd relațiile (5.96) sub forma:

$$\begin{aligned} I_A &= \frac{\sum_1^n i_k L'_k}{L}; \quad I_B = \frac{\sum_1^n i_k L_k}{L}; \\ P_A &= \frac{\sum_1^n p_k L'_k}{L}; \quad P_B = \frac{\sum_1^n p_k L_k}{L}, \end{aligned} \quad (5.98)$$

în care s-a presupus că rețeaua este omogenă.

Aceleași relații corespund și cazului în care nu se ține seama de reacțanța liniei, cu mențiunea că intervin numai componentele active ale curenților de sarcină.

**Observație.** Se poate indica următorul mod de efectuare a calculelor pentru determinarea căderilor de tensiune în liniile alimentate la două capete:

- se determină circulația curenților sau a puterilor și punctul de separare al acestora, în care linia poate fi artificial secționată, obținându-se două linii radiale simple, independente una de alta;

- se determină căderea de tensiune maximă în timpul funcționării normale, a oricăreia din liniile radiale și cu tensiuni egale în punctul de alimentare. Dacă tensiunile din punctele de alimentare sînt diferite, căderea de tensiune maximă se va produce în acea linie radială, care va fi alimentată de la sursa cu tensiunea mai înaltă;

- dacă există două puncte de separare, corespunzătoare curenților sau puterilor active și reactive, este necesar să se calculeze căderea de tensiune pînă la ambele puncte și să se compare rezultatele;

- se poate determina și căderea de tensiune maximă în rețea, în cazul cel mai grav, cînd la unul din punctele de alimentare dispăre tensiunea sau cînd se deconectează un sector dintr-un cap al liniei.

### 5.3.2. Rețele buclate

De cele mai multe ori alimentarea consumatorilor se face de la rețele buclate cu configurații complexe, care prezintă noduri și bucle. Unele dintre noduri reprezintă puncte de injecție (surse de energie), iar altele, puncte de consum. În astfel de rețele electrice, determinarea circulației puterilor se face fie prin aplicarea *metodei transfigurărilor*, fie prin *rezolvarea unui număr de ecuații egal cu numărul necunoscutelor*, deduse cu ajutorul legilor cunoscute din electrotehnică.

**5.3.2.1. Metoda transfigurării rețelei.** Aplicarea acestei metode presupune transformarea schemei rețelei buclate date, pînă se ajunge la cele mai simple scheme, de exemplu, la o linie alimentată la două capete sau la un singur capăt, pentru care determinarea distribuției curenților nu întîmpină dificultăți. După determinarea acestei distribuții, se determină prin transformări inverse, distribuția curenților atît în schemele intermediare, cît și în cea inițială. Nodurile de separație a curenților reprezintă puncte de tensiune minimă, în care rețeaua se poate secționa, obținînd mai multe rețele radiale sau arborescente, în care determinarea căderilor de tensiune și alegerea secțiunii tronsoanelor se face conform celor indicate în subcapitolele 5.1 și 5.2.

Avantajul acestei metode constă în eliminarea unor calcule laborioase, ceea ce face ca ea să se folosească pe scară largă, atît în calculul calculației curenților din rețelele buclate, cît și la rezolvarea problemelor legate de determinarea curenților de scurtcircuit. Aplicarea ei se bazează pe utilizarea unor reguli de reducere a rețelilor, care se indică mai jos.

### A. Compunerea ramurilor cu tensiuni de alimentare diferite

Se consideră ramurile  $A$ ,  $B$ ,  $C$  ale rețelei din figura 5.21 care au un punct comun  $O$  și tensiuni diferite  $\underline{V}_A$ ,  $\underline{V}_B$ ,  $\underline{V}_C$  la capete. Aceste ramuri se pot înlocui printr-o singură ramură echivalentă, care are admitanța  $\underline{Y}_E$

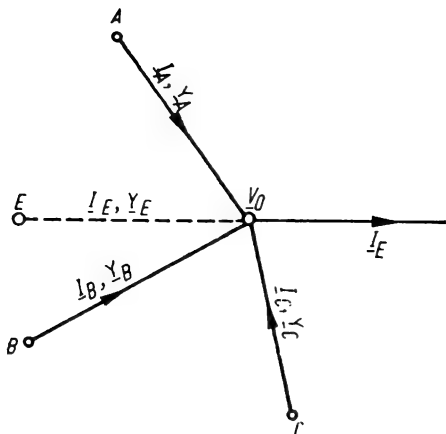


Fig. 5.21. Rețea ramificată cu trei surse de alimentare.

și tensiunea  $\underline{V}_E$  la capătul  $E$ . Pentru a determina mărimile echivalente  $\underline{V}_E$  și  $\underline{Y}_E$ , se scriu relațiile de echivalență între schema reală cu trei ramuri și cea echivalentă cu o singură ramură, adică:

$$\begin{aligned} \underline{I}_E &= \underline{I}_A + \underline{I}_B + \underline{I}_C; \\ (\underline{V}_E - \underline{V}_O)\underline{Y}_E &= (\underline{V}_A - \underline{V}_O)\underline{Y}_A + \\ &+ (\underline{V}_B - \underline{V}_O)\underline{Y}_B + (\underline{V}_C - \underline{V}_O)\underline{Y}_C. \end{aligned} \quad (5.99)$$

Din aceste relații rezultă că:

$$\begin{aligned} \underline{Y}_E &= \underline{Y}_A + \underline{Y}_B + \underline{Y}_C; \\ \underline{V}_E &= \frac{\underline{V}_A \cdot \underline{Y}_A + \underline{V}_B \cdot \underline{Y}_B + \underline{V}_C \cdot \underline{Y}_C}{\underline{Y}_A + \underline{Y}_B + \underline{Y}_C} \end{aligned} \quad (5.100)$$

sau, în general, în cazul mai multor ramuri:

$$\underline{Y}_E = \sum_1^n \underline{Y}_k; \quad \underline{V}_E = \frac{\sum_1^n \underline{V}_k \underline{Y}_k}{\sum_1^n \underline{Y}_k}. \quad (5.101)$$

La transformări inverse însă, se cunoaște curentul echivalent și se cere să se determine curenții care trec prin ramurile rețelei inițiale, netransfigurare.

În acest caz, se scriu expresiile căderilor de tensiune:

$$\underline{V}_A - \underline{V}_O = \frac{\underline{I}_A}{\underline{Y}_A}; \quad \underline{V}_B - \underline{V}_O = \frac{\underline{I}_B}{\underline{Y}_B}; \quad \underline{V}_C - \underline{V}_O = \frac{\underline{I}_C}{\underline{Y}_C}; \quad \underline{V}_E - \underline{V}_O = \frac{\underline{I}_E}{\underline{Y}_E}.$$

Din ultima relație se poate determina tensiunea nodului  $O$ , sub forma:

$$\underline{V}_O = \underline{V}_E - \frac{\underline{I}_E}{\underline{Y}_E},$$

care înlocuită în celelalte trei ecuații, permite determinarea curenților din ramuri:

$$\begin{aligned} \underline{I}_A &= \underline{I}_E \frac{\underline{Y}_A}{\underline{Y}_E} + (\underline{V}_A - \underline{V}_E)\underline{Y}_A; \quad \underline{I}_B = \underline{I}_E \frac{\underline{Y}_B}{\underline{Y}_E} + (\underline{V}_B - \underline{V}_E)\underline{Y}_B; \\ \underline{I}_C &= \underline{I}_E \frac{\underline{Y}_C}{\underline{Y}_E} + (\underline{V}_C - \underline{V}_E)\underline{Y}_C. \end{aligned} \quad (5.102)$$

Evident că dacă tensiunile ramurilor sînt egale, relațiile (5.99) și (5.101) rămîn valabile, cu observația că tensiunea ramurii echivalente este egală cu cea a ramurilor componente. În acest caz, în relațiile (5.102) dispăre termenul al doilea al părții din dreapta.

Dacă sarcinile sînt exprimate prin puteri, ecuațiile pentru determinarea repartiției acestora se obțin din (5.102) prin înmulțirea acestora cu  $3 \underline{V}_0$ , adică:

$$\begin{aligned} S_A &= S_E \frac{\underline{Y}_A}{\underline{Y}_E} + 3 \underline{V}_0 (\underline{V}_A - \underline{V}_E) \underline{Y}_A; \quad S_B = S_E \frac{\underline{Y}_B}{\underline{Y}_B} + 3 \underline{V}_0 (\underline{V}_B - \underline{V}_E) \underline{Y}_B; \\ S_C &= S_E \frac{\underline{Y}_C}{\underline{Y}_E} + 3 \underline{V}_0 (\underline{V}_C - \underline{V}_E) \underline{Y}_C. \end{aligned} \quad (5.103)$$

Aceste ecuații nu permit însă cunoașterea puterilor  $S_A$ ,  $S_B$  și  $S_C$  decît dacă este dată mărimea  $\underline{V}_0$ . În practică, pentru calcularea tensiunii  $\underline{V}_0$  a nodului  $O$ , se utilizează metode de aproximație sau se consideră că aceasta corespunde tensiunii nominale a rețelei.

### B. Aruncarea sarcinilor la noduri

Compunerea ramurilor în paralel este posibilă numai dacă de-a lungul acestora nu există derivații cu sarcini suplimentare, sarcinile fiind situate numai la capete. Dacă ele sînt conectate oriunde de-a lungul ramurilor, se procedează mai întîi la aruncarea lor la capete, cu condiția menținerii aceleiași căderi de tensiune, atît în schema inițială, cît și în schema transformată.

În figura 5.18, *c*, de exemplu, curenții de sarcină  $i_k$  au fost aruncați la capete, folosind regula momentelor din rezistența materialelor, obținîndu-se că:

$$\underline{i}_A = \frac{\sum_1^n \underline{i}_k \underline{Z}_{Ek}}{\underline{Z}} \quad \text{și} \quad \underline{i}_B = \frac{\sum_1^n \underline{i}_k \underline{Z}_{Ak}}{\underline{Z}}, \quad (5.104)$$

în care  $\underline{Z}_{Ek}$  și  $\underline{Z}_{Ak}$  reprezintă impedanțele măsurate de la cele două capete  $B$  și  $A$ , pînă la punctele de conectare a curenților de sarcină  $i_k$ .

Trebuie observat că, transfigurarea rețelei prin mutarea sarcinilor la noduri nu conservă pierderile de putere activă și reactivă din rețea. Dacă se consideră, de exemplu, schema din figura 5.18, *c*, echivalentă celei din figura 5.18, *b*, în ipoteza că  $\underline{U}_A = \underline{U}_B$ , pe artera electrică  $AB$ , nu mai circulă nici un curent, adică în acest caz, pierderile de putere în rețeaua considerată sînt nule. Această situație nu corespunde schemei inițiale din figura 5.18, *b*, unde pe artera considerată între nodurile  $A$  și  $(n-1)$  și  $B$  și  $(n-1)$ , circulă curenți, care produc pierderi de putere activă și reactivă.

Trebuie menționat însă că puterea injectată din exterior în linia electrică este constantă pentru cele două scheme electrice considerate în figura 5.18, *b* și 5.18, *c*, deoarece intensitățile curenților și tensiunilor de la borne rămîn neschimbate. Compensarea bilanțului puterilor din schema finală, față de

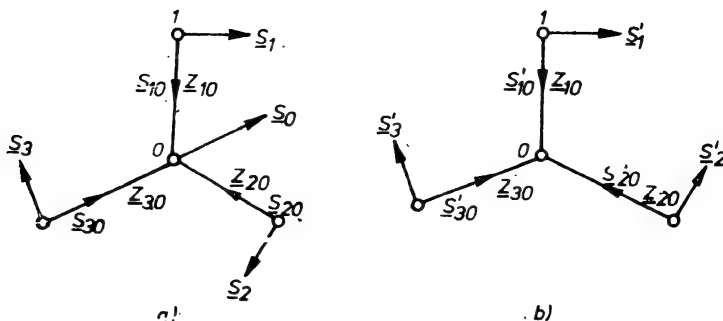


Fig. 5.22. Rețea sub formă de stea cu sarcină în nodul stelei:  
a — rețeaua inițială; b — rețeaua transfigurată.

cea inițială este determinată de faptul că mutarea consumatorilor din nodurile  $k$ , în nodurile  $A$  și  $B$  se face respectând condițiile  $U_A \neq U_k (U_A > U_k)$  și  $U_B \neq U_k (U_B > U_k)$ .

Ținând seama de aceste precizări și de condiția egalității căderilor de tensiune în ramurile inițiale și transfigurare, se pot arunca sarcinile la capetele ramurilor unei rețele mai complexe.

Fie, de exemplu, rețeaua sub forma unei stele cu trei brațe, ca în figura 5.22, care are o sarcină conectată în nodul  $O$ , ce trebuie aruncată la capete, în vederea transfigurării rețelei.

Se presupune că în rețeaua inițială, prin laturile acestuia treceau puterile  $S_{10}$ ,  $S_{20}$ ,  $S_{30}$ , care erau condiționate, pe de o parte de sarcina  $S_0$ , conectată în punctul  $O$ , iar pe de altă parte de diferența dintre tensiunile punctelor 1, 2, 3.

Ținând seama de condiția de menținere a căderilor de tensiune constante, în rețeaua inițială și în cea transformată, reiese că:

$$\begin{aligned} S_{10} \cdot Z_{10} - S_{20} \cdot Z_{20} &= S'_{10} \cdot Z_{10} - S'_{20} \cdot Z_{20}; \\ S_{20} \cdot Z_{20} - S_{30} \cdot Z_{30} &= S'_{20} \cdot Z_{20} - S'_{30} \cdot Z_{30}; \\ S_{30} \cdot Z_{30} - S_{10} \cdot Z_{10} &= S'_{30} \cdot Z_{30} - S'_{10} \cdot Z_{10} \end{aligned} \quad (5.105)$$

sau:

$$S_{1n} \cdot Z_{10} = S_{2n} \cdot Z_{20} = S_{3n} \cdot Z_{30}, \quad (5.106)$$

în care  $S_{1n}$ ,  $S_{2n}$ ,  $S_{3n}$  reprezintă sarcinile suplimentare din punctele 1, 2, 3 rezultate prin mutarea sarcinii  $S_0$ , egale cu diferența puterilor din laturile rețelei inițiale și a celei transformate.

Din relațiile (5.106) se determină:

$$S_{2n} = S_{1n} \cdot \frac{Z_{10}}{Z_{20}}; \quad S_{3n} = S_{1n} \cdot \frac{Z_{10}}{Z_{30}} \quad (5.107)$$

și ținând seama că:

$$S_{1n} + S_{2n} + S_{3n} = S_0 \quad (5.108)$$

rezultă:

$$S_{1n} = S_0 \frac{Y_{10}}{\sum_1^n Y_{k0}}; \quad S_{2n} = S_0 \frac{Y_{20}}{\sum_1^n Y_{k0}}; \quad S_{3n} = S_0 \frac{Y_{30}}{\sum_1^n Y_{k0}}. \quad (5.109)$$

La același rezultat se ajunge dacă se aplică direct ecuațiile (5.92), în care numitorul reprezintă impedanța totală a rețelei, la capătul căreia se află conectată sarcina  $S_0$ . În acest caz, ecuațiile (5.106) ale căderilor de tensiune se completează sub forma:

$$S_{1n} \cdot Z_{10} = S_{2n} \cdot Z_{20} = S_{3n} \cdot Z_{30} = S_0 \cdot Z_E \quad (5.110)$$

și deci:

$$S_{1n} = S_0 \frac{Z_E}{Z_{10}}; \quad S_{2n} = S_0 \frac{Z_E}{Z_{20}}; \quad S_{3n} = S_0 \frac{Z_E}{Z_{30}}, \quad (5.111)$$

în care  $Z_E$  este impedanța rezultată din punerea în paralel a impedanțelor  $Z_{10}$ ,  $Z_{20}$ ,  $Z_{30}$  ale brațelor rețelei. Se determină că:

$$\begin{aligned} S_{1n} &= S_0 \frac{Z_{20} \cdot Z_{30}}{Z_{10} \cdot Z_{20} + Z_{10} \cdot Z_{30} + Z_{20} \cdot Z_{30}}; \\ S_{2n} &= S_0 \frac{Z_{10} \cdot Z_{30}}{Z_{10} \cdot Z_{20} + Z_{10} \cdot Z_{30} + Z_{20} \cdot Z_{30}}; \\ S_{3n} &= S_0 \frac{Z_{10} \cdot Z_{20}}{Z_{10} \cdot Z_{20} + Z_{10} \cdot Z_{30} + Z_{20} \cdot Z_{30}}, \end{aligned} \quad (5.112)$$

relații care, după transformări devin identice cu (5.109).

Cînd rețeaua este omogenă, adică conductoarele sînt confecționate din același material și au aceeași secțiune, în relațiile de transformare impedanțele se înlocuiesc prin lungimile corespunzătoare. Dacă laturile rețelelor nu au aceeași secțiune, atunci se raportează diferitele secțiuni la o singură secțiune (mai frecventă). Acest lucru se face punînd condiția menținerii constante a valorilor rezistenței (se consideră reactanța inductivă aceeași).

Conductorul care are rezistența  $R_1 = \rho \frac{l_1}{s_1}$  se înlocuiește printr-un conductor cu aceeași rezistență, însă care are secțiunea  $s$  și lungimea  $l$ , adică:

$$R_1 = \rho \frac{l_1}{s_1} = \rho \frac{l}{s},$$

de unde rezultă lungimea raportată a conductorului:

$$l = l_1 \frac{s}{s_1}.$$

*C. Transfigurarea unei rețele cu conexiunea stea într-una cu conexiunea triunghi.* Din electrotehnică se cunoaște că o rețea formată din trei impe-

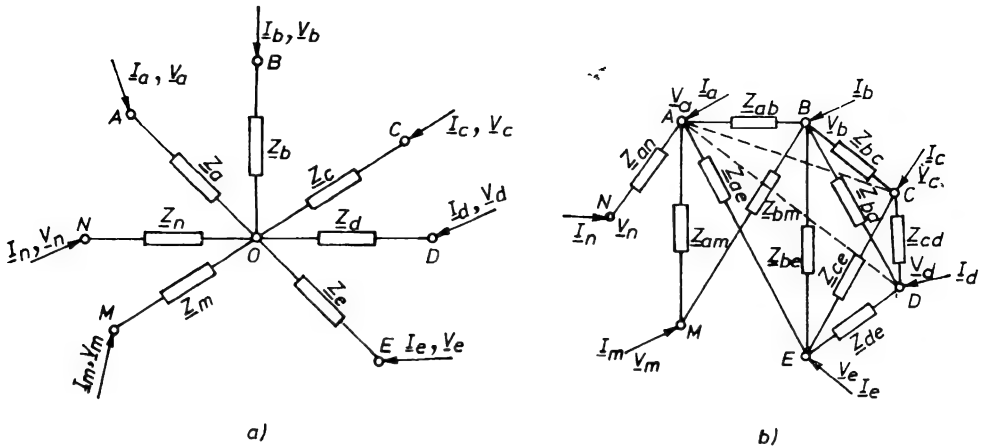


Fig. 5.23. Rețea stelată cu  $n$  brațe și transformată în poligon.

danțe conectate în stea, poate fi înlocuită prin trei impedanțe conectate în triunghi și reciproc. Prima proprietate poate fi extinsă la un număr oarecare de laturi.

Într-adevăr, fie rețeaua din figura 5.23 cu  $n$  borne  $A, B, C, \dots, N$ , care conține  $n$  impedanțe conectate în stea. Rețeaua poate fi transformată într-un poligon cu  $\frac{n(n-1)}{2}$  impedanțe, legând două câte două toate bornele sale.

Deoarece cele două rețele, inițială și transformată, sînt echivalente, rezultă că tensiunile aplicate la capete  $V_a, V_b, \dots, V_n$  și curenții  $I_a, I_b, \dots, I_n$  care pătrund în bornele respective, trebuie să aibă aceleași valori în cele două cazuri. Dacă  $V_0$  reprezintă tensiunea nodului corespunzător centrului stelei, atunci curenții din laturile acestuia sînt exprimați prin relația generală:

$$I_k = \frac{V_k - V_0}{Z_k} \quad (5.113)$$

și se pot determina numai dacă se cunoaște  $V_0$ .

Conform primei teoreme a lui Kirchhoff se poate scrie:

$$\sum_1^n I_k = \sum_1^n \frac{V_k}{Z_k} - V_0 \sum_1^n \frac{1}{Z_k} = 0, \quad (5.114)$$

de unde rezultă că:

$$V_0 = Z_e \sum_1^n \frac{V_k}{Z_k}, \quad (5.115)$$

în care  $\sum_1^n \frac{1}{Z_k} = \frac{1}{Z_e}$  este impedanța echivalentă rezultată prin punerea în paralel a tuturor brațelor stelei.

Introducînd relația (5.115) în (5.113) se determină:

$$I_k = \frac{V_k}{Z_k} - \frac{Z_e}{Z_k} \sum_1^n \frac{V_k}{Z_k}. \quad (5.116)$$

În ultima ecuație se poate izola în semnul  $\Sigma$  termenul care corespunde bornei  $k$ . Astfel se poate scrie că:

$$\sum_1^n \frac{V_k}{Z_k} = \frac{V_k}{Z_k} + \sum' \frac{V_j}{Z_j}, \quad (5.117)$$

în care  $\Sigma'$  este extinsă la toți indicii  $j \neq k$ .

Expresia generală (5.113) a curentului care intră în borna  $k$  a rețelei cu  $n$  brațe conectate în stea, devine:

$$I_k = V_k \left( \frac{1}{Z_k} - \frac{Z_e}{Z_k^2} \right) - \frac{Z_e}{Z_k} \sum_1^n \frac{V_j}{Z_j}. \quad (5.118)$$

În rețeaua transfigurată dată în figura 5.23,  $b$  curenții din laturi se pot exprima prin relația generală:

$$I_{kj} = \frac{V_k - V_j}{Z_{kj}}. \quad (5.119)$$

În nodul  $k$  al acestei rețele pătrunde curentul  $I_k$  a cărui valoare este:

$$I_k = \Sigma' \frac{V_k - V_j}{Z_{kj}} = V_k \Sigma' \frac{1}{Z_{kj}} - \Sigma' \frac{V_j}{Z_{kj}}, \quad (5.120)$$

unde sumele  $\Sigma'$  se extind la toți indicii  $j \neq k$ .

Identificînd relațiile (5.118) și (5.120) deduse pentru rețeaua inițială și cea transfigurată, rezultă că trebuie să fie îndeplinite simultan condițiile:

$$\Sigma' \frac{1}{Z_{kj}} = \frac{1}{Z_k} - \frac{Z_e}{Z_k^2}; \quad \Sigma' \frac{V_j}{Z_{kj}} = \frac{Z_e}{Z_k} \Sigma' \frac{V_j}{Z_j}. \quad (5.121)$$

Este evident că ultima condiție este îndeplinită numai dacă pentru fiecare valoare a lui  $j$  este satisfăcută relația:

$$\frac{1}{Z_{kj}} = \frac{Z_e}{Z_k \cdot Z_j}. \quad (5.122)$$

Se poate constata că prima condiție din (5.121) este o consecință a condiției a doua din (5.121) și a ecuației (5.122).

Într-adevăr, calculînd  $\Sigma' \frac{1}{Z_{kj}}$ , plecînd de la ecuația (5.122), se obține:

$$\Sigma' \frac{1}{Z_{kj}} = \frac{Z_e}{Z_k} \left( \frac{1}{Z_1} + \frac{1}{Z_2} + \dots + \frac{1}{Z_n} - \frac{1}{Z_k} \right) = \frac{Z_e}{Z_k} \left( \frac{1}{Z_e} - \frac{1}{Z_k} \right) = \frac{1}{Z_k} - \frac{Z_e}{Z_k^2},$$

adică tocmai prima condiție din (5.121).

Din cele enunțate, rezultă că o schemă în stea poate fi totdeauna înlocuită printr-o schemă în poligon, valoarea impedanțelor  $Z_{kj}$  care leagă două noduri ale poligonului fiind definită de relația (5.122).



Transformarea inversă a unei rețele în poligon într-o schemă în stea nu este în general posibilă. În acest caz există  $\frac{n(n-1)}{2}$  relații de forma (5.122) pentru determinarea celor  $n$  impedanțe  $Z_k$ , adică numărul ecuațiilor este mai mare decât al necunoscutelor. Condiția  $\frac{n(n-1)}{2} = n$  este satisfăcută numai în poligonul cu trei laturi, adică transformarea inversă este posibilă numai în cazul unei rețele în triunghi.

#### Aplicații ale condiției generale (5.122)

a. *Transfigurarea stea-triunghi*. Fie cele două rețele din figura 5.24, una formată din trei impedanțe montate în stea și alta formată din trei impedanțe montate în triunghi. Aplicând condiția (5.122) rezultă că cele două scheme vor fi echivalente, dacă:

$$\frac{1}{Z_{12}} = \frac{Z_e}{Z_1 Z_2}; \quad \frac{1}{Z_{13}} = \frac{Z_e}{Z_1 Z_3}; \quad \frac{1}{Z_{23}} = \frac{Z_e}{Z_2 Z_3}.$$

Ținând seama că:

$$Z_e = \frac{Z_1 \cdot Z_2 \cdot Z_3}{Z_1 \cdot Z_2 + Z_1 \cdot Z_3 + Z_2 \cdot Z_3},$$

rezultă:

$$\begin{aligned} Z_{12} &= Z_1 + Z_2 + \frac{Z_1 Z_2}{Z_3}; & Z_{23} &= Z_2 + Z_3 + \frac{Z_2 Z_3}{Z_1}; \\ Z_{31} &= Z_3 + Z_1 + \frac{Z_3 Z_1}{Z_2}. \end{aligned} \quad (5.123)$$

Dacă se dau impedanțele rețelei în triunghi, atunci se determină impedanțele rețelei transfigurate în stea, cu relațiile:

$$\begin{aligned} Z_1 &= \frac{Z_{12} \cdot Z_{13}}{Z_{12} + Z_{13} + Z_{23}}; & Z_2 &= \frac{Z_{23} \cdot Z_{21}}{Z_{12} + Z_{13} + Z_{23}}; \\ Z_3 &= \frac{Z_{31} \cdot Z_{32}}{Z_{12} + Z_{13} + Z_{23}}. \end{aligned} \quad (5.124)$$

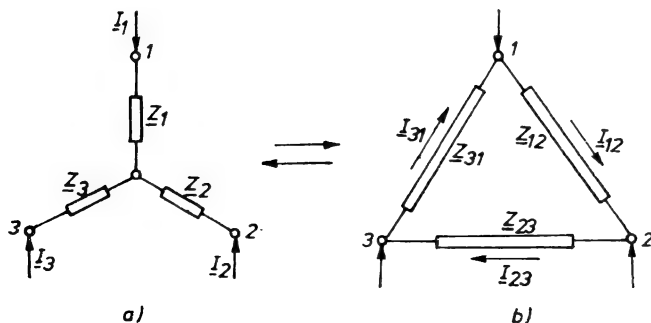


Fig. 5.24. Rețea stelată cu trei brațe, transfigurată în rețea sub formă de triunghi.

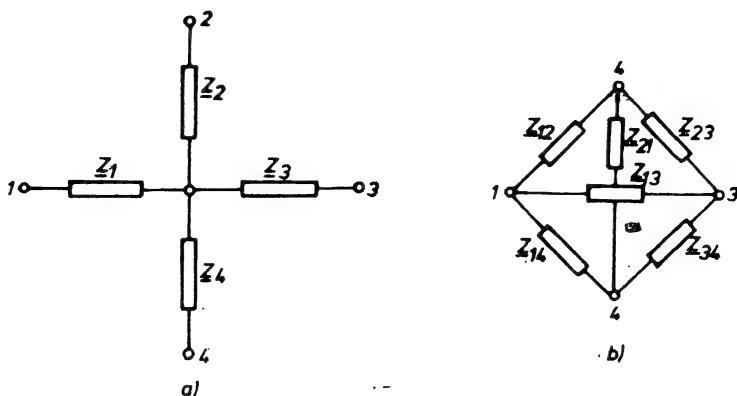


Fig. 5.25. Rețea stelară cu patru brațe transfigurată în poligon.

La același rezultat sintetizat în relațiile (5.123) și (5.124) s-ar fi ajuns, dacă se punea condiția de echivalență a celor două scheme, adică impedențele măsurate la cele trei perechi de borne 1—2, 2—3 și 3—1 ale rețelei în formă de stea, să fie egale cu impedențele măsurate, la aceleași perechi de borne, ale rețelei în formă de triunghi. Cu notațiile din figura 5.24 se pot scrie relațiile:

$$\begin{aligned} Z_1 + Z_2 &= (Z_{23} + Z_{31}) \parallel Z_{12}; \quad Z_2 + Z_3 = (Z_{31} + Z_{12}) \parallel Z_{23}; \\ Z_3 + Z_1 &= (Z_{21} + Z_{23}) \parallel Z_{13}, \end{aligned} \quad (5.125)$$

a căror rezolvare permite obținerea relațiilor (5.123) și (5.124). Curenții din ramurile rețelei în formă de stea și din cele ale rețelei în formă de triunghi sînt legați prin relațiile:

$$I_1 = I_{12} - I_{31}; \quad I_2 = I_{23} - I_{12}; \quad I_3 = I_{31} - I_{23}$$

și

$$\begin{aligned} I_{12} &= \frac{Z_1 I_1 - Z_2 I_2}{Z_{12}}; \quad I_{23} = \frac{Z_2 I_2 - Z_3 I_3}{Z_{23}}; \\ I_{31} &= \frac{Z_3 I_3 - Z_1 I_1}{Z_{31}}. \end{aligned}$$

**b. Transfigurarea unei stele cu patru laturi.** Rețeaua cu patru ramuri montate în stea, ca în figura 5.25, se poate transforma într-un poligon, ale cărui impedențe conform condiției (5.122) sînt date de relațiile:

$$\begin{aligned} Z_{12} &= \frac{Z_1 \cdot Z_2}{Z_e} = Z_1 + Z_2 + Z_1 \cdot Z_2 / (Z_3 \parallel Z_4); \\ Z_{23} &= \frac{Z_2 \cdot Z_3}{Z_e} = Z_2 + Z_3 + Z_2 \cdot Z_3 / (Z_1 \parallel Z_4); \\ Z_{34} &= \frac{Z_3 \cdot Z_4}{Z_e} = Z_3 + Z_4 + Z_3 \cdot Z_4 / (Z_1 \parallel Z_2); \end{aligned} \quad (5.126)$$

$$\begin{aligned} Z_{14} &= \frac{Z_1 \cdot Z_4}{Z_e} = Z_1 + Z_4 + Z_1 \cdot Z_4 / (Z_2 \parallel Z_3); \\ Z_{13} &= \frac{Z_1 \cdot Z_3}{Z_e} = Z_1 + Z_3 + Z_1 \cdot Z_3 / (Z_2 \parallel Z_4); \\ Z_{24} &= \frac{Z_2 \cdot Z_4}{Z_e} = Z_2 + Z_4 + Z_2 \cdot Z_4 / (Z_1 \parallel Z_3). \end{aligned} \quad (5.126)$$

Aplicînd condiția (5.122), orice stea cu  $n$  laturi se poate transfigura într-un poligon cu  $\frac{n(n-1)}{2}$  laturi, transformarea inversă nefiind posibilă decît în cazul triunghiului.

**5.3.2.2. Metoda curenților ciclici și a tensiunilor nodale.** Se cunoaște din electrotehnică că circulația de curenți prin laturile unei rețele de curent alternativ care conține  $l$  laturi și  $N$  noduri se poate afla prin *metoda curenților ciclici* sau prin *metoda tensiunilor nodale*.

În *metoda curenților ciclici* se alege un număr de  $l - N + 1$  circuite independente. Fiecare circuit sau contur independent se consideră parcurs de un curent de contur al cărui sens ales arbitrar determină sensul pozitiv al conturului respectiv. Suma tuturor tensiunilor electromotoare care intră în conturul  $k$  se notează cu  $\underline{E}_{kk}$ . În această sumă tensiunile electromotoare al căror sens coincide cu sensul conturului intră cu semnul plus, iar cele al căror sens nu coincide cu sensul conturului intră cu semnul minus. Suma tuturor impedanțelor care intră în conturul  $k$  se notează cu  $\underline{Z}_{kk}$  și constituie impedanța proprie a conturului, iar suma impedanțelor comune conturilor  $j$  și  $k$  se notează cu  $\underline{Z}_{jk}$  și constituie impedanța de transfer între conturile  $j$  și  $k$ . Impedanța de transfer  $\underline{Z}_{jk}$  se consideră cu semnul plus dacă curenții conturilor  $j$  și  $k$  o parcurg în același sens și cu semnul minus dacă cei doi curenți o parcurg în sensuri contrare.

În rețeaua din figura 5.26, alegînd ca circuite independente circuitele 2012, 1301, 3023 și aplicînd regulile de mai sus, se obține următorul sistem de ecuații în metoda curenților ciclici:

$$\begin{aligned} (\underline{z}_{10} + \underline{z}_{20} + \underline{z}_{12}) I_{c1} + \underline{z}_{10} I_{c2} - \underline{z}_{20} I_{c3} &= \underline{E}_{10} \\ \underline{z}_{10} I_{c1} + (\underline{z}_{10} + \underline{z}_{30} + \underline{z}_{13}) I_{c2} + \underline{z}_{30} I_{c3} &= \underline{E}_{10} - \underline{E}_{30}; \\ -\underline{z}_{20} I_{c1} + \underline{z}_{30} I_{c2} + (\underline{z}_{30} + \underline{z}_{20} + \underline{z}_{23}) I_{c3} &= -\underline{E}_{30} \end{aligned} \quad (5.127)$$

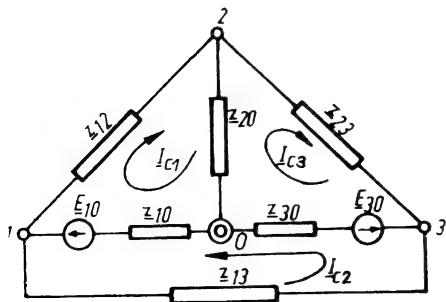


Fig. 5.26. Schema electrică a unei rețele.

sau sub formă matricială:

$$[\underline{Z}_{cc}] [\underline{I}_c] = [\underline{E}_c], \quad (5.128)$$

în care:  $\underline{Z}_{cc}$  reprezintă matricea impedanțelor circuitelor independente, pătratică și simetrică:

$$\underline{Z}_{cc} = \begin{array}{c} \begin{array}{c} c_1 \\ c_2 \\ c_3 \end{array} \begin{array}{|c|c|c|} \hline \begin{array}{c} c_1 \\ c_2 \\ c_3 \end{array} & \begin{array}{c} c_2 \\ c_3 \end{array} & \begin{array}{c} c_3 \end{array} \\ \hline \begin{array}{c} \underline{z}_{11} = \underline{z}_{10} + \underline{z}_{20} + \underline{z}_{12} \\ \underline{z}_{21} = \underline{z}_{10} \\ \underline{z}_{31} = -\underline{z}_{20} \end{array} & \begin{array}{c} \underline{z}_{12} = \underline{z}_{10} \\ \underline{z}_{22} = \underline{z}_{10} + \underline{z}_{30} + \underline{z}_{13} \\ \underline{z}_{32} = \underline{z}_{30} \end{array} & \begin{array}{c} \underline{z}_{13} = \underline{z}_{20} \\ \underline{z}_{23} = \underline{z}_{30} \\ \underline{z}_{33} = \underline{z}_{30} + \underline{z}_{20} + \underline{z}_{23} \end{array} \\ \hline \end{array} \end{array}; \quad (5.129, a)$$

$[\underline{I}_c]$  — matricea coloană a curenților ciclici sau de contur:

$[\underline{E}_c]$  — matricea coloană a tensiunilor electromotoare de contur:

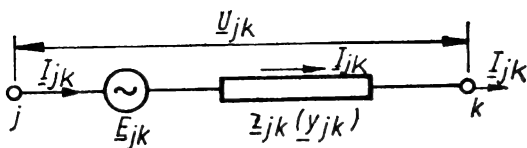
$$[\underline{I}_c] = \begin{bmatrix} \underline{I}_{c1} \\ \underline{I}_{c2} \\ \underline{I}_{c3} \end{bmatrix}; \quad (5.129, b) \quad [\underline{E}_c] = \begin{bmatrix} \underline{E}_{c1} = \underline{E}_{10} \\ \underline{E}_{c2} = -\underline{E}_{30} + \underline{E}_{10} \\ \underline{E}_{c3} = -\underline{E}_{30} \end{bmatrix} \cdot \quad (5.129, c)$$

Se rezolvă ecuația matricială (5.128) în raport cu necunoscutele  $[\underline{I}_c]$ . Se determină apoi curenții din laturi, știind că curentul dintr-o latură oarecare rezultă din însumarea algebrică a curenților ciclici care parcurg latura respectivă. Cunoșcând curenții ce străbat impedanțele diverselor laturi, se pot afla și căderile de tensiune corespunzătoare, respectiv tensiunile la bornele laturilor.

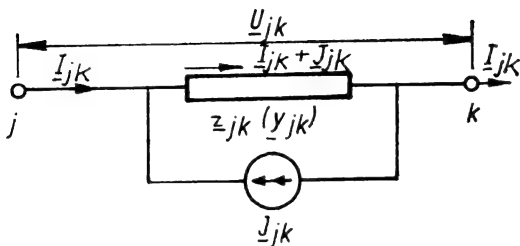
Într-o rețea electrică, tensiunile nodurilor se definesc față de un nod oarecare ales ca nod de referință și notat cu indicele zero. În rețeaua ce conține  $N$  noduri, prin alegerea unui nod de referință și a valorii corespunzătoare a tensiunii acestuia, rezultă  $n$  noduri independente, respectiv  $n$  tensiuni independente, astfel încât  $N = n \cup 0$ . Pentru determinarea circulației de curenți prin laturi este suficient să se cunoască tensiunile nodurilor independente. Tensiunea dintre două noduri oarecare  $j$  și  $k$  sau căderea de tensiune pe latura  $j - k$  se determină din relația  $\underline{U}_{jk} = \underline{U}_{j0} - \underline{U}_{k0}$ , iar curentul din latura  $j - k$ , în cazul mai general în care latura conține și o sursă de tensiune electromotoare (fig. 5.27, a) se determină din relația:

$$\underline{I}_{jk} = \frac{\underline{E}_{jk} + \underline{U}_{jk}}{\underline{z}_{jk}} = \underline{y}_{jk} (\underline{E}_{jk} + \underline{U}_{jk}) = \underline{y}_{jk} (\underline{E}_{jk} + \underline{U}_{j0} - \underline{U}_{k0}), \quad (5.130)$$

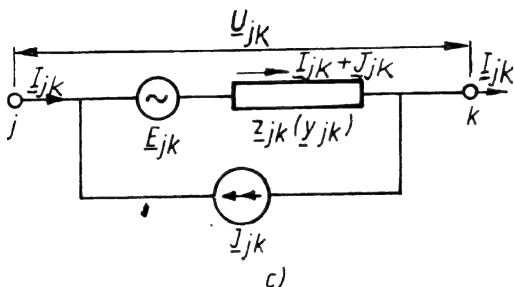
în care:  $\underline{y}_{jk} = \frac{1}{\underline{z}_{jk}}$  reprezintă admitanța laturii  $jk$ , iar  $\underline{E}_{jk}$  tensiunea electromotoare din latura  $jk$ .



a)



b)



c)

Fig. 5.27. Reprezentarea laturilor unei rețele electrice:

a – latură cu o sursă ideală de tensiune; b – latură cu o sursă ideală de curent; c – latură generalizată cu surse ideale de curent și de tensiune.

În metoda tensiunilor la noduri, tensiunile nodurilor independente față de nodul de referință se determină din sistemul de ecuații rezultat prin scrierea teoremei I Kirchhoff la nodurile independente. Pentru rețeaua din figura 5.26 acest sistem este:

$$\underline{y}_{12}(\underline{U}_{10} - \underline{U}_{20}) + \underline{y}_{10}(\underline{E}_{10} + \underline{U}_{10}) + \underline{y}_{13}(\underline{U}_{10} - \underline{U}_{30}) = 0;$$

$$\underline{y}_{21}(\underline{U}_{20} - \underline{U}_{10}) + \underline{y}_{20}\underline{U}_{20} + \underline{y}_{23}(\underline{U}_{20} - \underline{U}_{30}) = 0;$$

$$\underline{y}_{30}(\underline{E}_{30} + \underline{U}_{30}) + \underline{y}_{31}(\underline{U}_{30} - \underline{U}_{10}) + \underline{y}_{32}(\underline{U}_{30} - \underline{U}_{20}) = 0.$$

Grupînd termenii după tensiunile nodurilor se obține:

$$(\underline{y}_{10} + \underline{y}_{12} + \underline{y}_{13})\underline{U}_{10} - \underline{y}_{12}\underline{U}_{20} - \underline{y}_{13}\underline{U}_{30} = -\underline{y}_{10}\underline{E}_{10};$$

$$-\underline{y}_{21}\underline{U}_{10} + (\underline{y}_{21} + \underline{y}_{20} + \underline{y}_{23})\underline{U}_{20} - \underline{y}_{23}\underline{U}_{30} = 0;$$

$$-\underline{y}_{31}\underline{U}_{10} - \underline{y}_{32}\underline{U}_{20} + (\underline{y}_{30} + \underline{y}_{31} + \underline{y}_{32})\underline{U}_{30} = -\underline{y}_{30}\underline{E}_{30}$$

sau sub formă matriceală:

$$[Y_{nn}] [U_n] = [I_n] \quad (5.131)$$

în care:  $[Y_{nn}]$  reprezintă matricea admitanțelor la noduri, pătratică și simetrică:

$$[Y_{nn}] = \begin{matrix} & \begin{matrix} 1 & 2 & 3 \end{matrix} \\ \begin{matrix} 1 \\ 2 \\ 3 \end{matrix} & \begin{bmatrix} \underline{Y}_{11} = \underline{y}_{10} + \underline{y}_{12} + \underline{y}_{13} & \underline{Y}_{12} = -\underline{y}_{12} & \underline{Y}_{13} = -\underline{y}_{13} \\ \underline{Y}_{21} = -\underline{y}_{21} & \underline{Y}_{22} = \underline{y}_{21} + \underline{y}_{20} + \underline{y}_{23} & \underline{Y}_{23} = -\underline{y}_{23} \\ \underline{Y}_{31} = -\underline{y}_{31} & \underline{Y}_{32} = -\underline{y}_{32} & \underline{Y}_{33} = \underline{y}_{30} + \underline{y}_{31} + \underline{y}_{32} \end{bmatrix} \end{matrix}; \quad (5.132, a)$$

$[U_n]$  — matricea coloană a tensiunilor independente față de nodul de referință:

$$[U_n] = \begin{bmatrix} \underline{U}_1 \\ \underline{U}_2 \\ \underline{U}_3 \end{bmatrix}; \quad (5.132, b)$$

$[I_n]$  — matricea coloană a curenților injectați în noduri datorită existenței surselor de tensiune;

$$[I_n] = \begin{bmatrix} \underline{I}_1 = -\underline{y}_{10} \underline{E}_{10} \\ \underline{I}_2 = 0 \\ \underline{I}_3 = -\underline{y}_{30} \underline{E}_{30} \end{bmatrix}. \quad (5.132, c)$$

Asupra acestor matrice se fac următoarele precizări:

— orice termen diagonal  $\underline{Y}_{ii}$  din matricea  $[Y_{nn}]$  reprezintă suma admitanțelor laturilor conectate la nodul  $i$  și orice termen nediagonal  $\underline{Y}_{ik}$  reprezintă admitanța laturii  $i - k$  luată cu semnul minus. Dacă între nodurile  $i$  și  $k$  nu există laturi de legătură, termenul  $\underline{Y}_{ik} = 0$ ;

— în termenii matricei  $[U_n]$  se omite indicele zero din notația tensiunilor nodurilor, astfel că în loc de notația  $\underline{U}_{i0}$  pentru nodul  $i$ , se folosește notația  $\underline{U}_i$ , care reprezintă, de fapt, tensiunea nodului  $i$  în raport cu tensiunea nodului de referință.

Prin rezolvarea sistemului (5.131) se determină tensiunile nodurilor, căderile de tensiune prin laturi și curenții care parcurg diferitele laturi.

Pentru rețelele electrice cu număr redus de laturi și noduri, sistemele de ecuații din metoda curenților ciclici și a tensiunilor la noduri se scriu ușor după regulile enunțate. Pentru rețelele electrice complexe corespunzătoare sistemelor electroenergetice actuale, în care există sute de noduri și mii de laturi este necesară o cale sistematică de scriere a acestor ecuații. Aceasta se realizează cu ajutorul *matricelor de incidență* din teoria grafurilor.

*A. Utilizarea matricelor de incidență în metoda curenților ciclici și a tensiunilor nodale.*

O rețea electrică este constituită din următoarele elemente: surse de tensiune, surse de curent și un ansamblu de rezistențe, inductivități și capacități, care în regim permanent de funcționare intervin sub formă de impedanțe sau admitanțe.

Se numește *graf topologic* al rețelei figura care rezultă din înlocuirea fiecărui element al acesteia printr-o linie. Se consideră sistemul electroenergetic din figura 5.28, *a* în care la barele 1 este conectat generatorul  $G_1$  la barele 3 — generatorul  $G_3$ , la barele 2 — consumatorul  $C_2$ , iar liniile de legătură între sistemele de bare sînt  $L_{12}$ ,  $L_{13}$  și  $L_{23}$ . Graful acestei rețele este reprezentat în figura 5.28, *b* sau 5.28, *c* în care nodul zero este nodul comun generatoarelor și consumatorilor, care reprezintă nulul rețelei. Schemele *a*, *b* sau *c* au același număr de linii și noduri, iar legăturile dintre acestea se realizează în același mod, cu alte cuvinte, structura rețelei sau arhitectura acesteia este redată de grafurile ei. Teoria grafurilor utilizează calculul matriceal pentru traducerea unor concepte geometrice în concepte analitice, pentru cuantificarea anumitor proprietăți de structură. Se constată din figura 5.28, *b* și *c* că un graf conține două mulțimi numărabile  $n = \{n_1, n_2, n_3\}$  și  $a = \{a_{12}, a_{23}, a_{31}\}$ , astfel încît fiecare element din  $a$  se asociază cu o pereche de elemente din  $n$ : elementele  $n_i$  ale mulțimii  $n$  se reprezintă prin puncte și se numesc *noduri*; elementele  $a_{jk}$  ale mulțimii  $a$  se reprezintă prin linii și se numesc *arce*. *Latura*  $l_{jk}$  este mulțimea arcelor conectate în paralel între nodurile  $j$  și  $k$ . O latură și un nod se consideră *incidente reciproc* dacă nodul este o extremitate a laturii. Se spune că o latură este incidentă cu un circuit independent sau un ciclu, dacă latura face parte din circuitul independent respectiv. *Arborele complet* este acea parte din graf care nu prezintă nici un circuit închis și cuprinde toate nodurile grafului. Dacă se notează cu  $N$  numărul de noduri, atunci numărul de laturi ale arborelui complet este egal cu  $N - 1$ . Un graf poate avea mai mulți arbori compleți diferiți (fig. 5.29, *a*, *b* și *c*) în care laturile arborelui s-au indicat prin linii duble. *Coarda* este o latură dintr-un graf, care nu face parte dintr-un arbore complet al acestuia; mulțimea laturilor unui graf care sînt complementare unui arbore complet a grafului formează *subgraful coardelor* corespunzător arborelui complet.

Comparînd figurile 5.26 și 5.28, *a*, se constată că ele au aceeași configurație geometrică, cu condiția ca generatoarele din figura 5.28, *a* să fie reprezentate printr-o sursă de tensiune și o impedanță, iar consumatorii și liniile — prin impedanțe. Dacă valorile tensiunilor electromotoare și ale impedanțelor laturilor sînt egale în cele două figuri, acestea reprezintă aceeași rețea, care în cursul de electrotehnică a fost reprezentată ca în figura 5.26, iar în cursul de rețele electrice — ca în figura 5.28, *a*.

Configurația geometrică a unei rețele poate fi descrisă complet fie de relațiile dintre curenții din laturi și curenții circuitelor independente, fie de relațiile dintre căderile tensiunilor din laturi și tensiunile nodurilor independente. Relațiile respective pot fi redată cu ajutorul unor matrici, numite *matrici de incidență* sau *matrici de conexiune*. Elementele acestor matrici sînt constituite din cifrele 1, — 1 și 0.

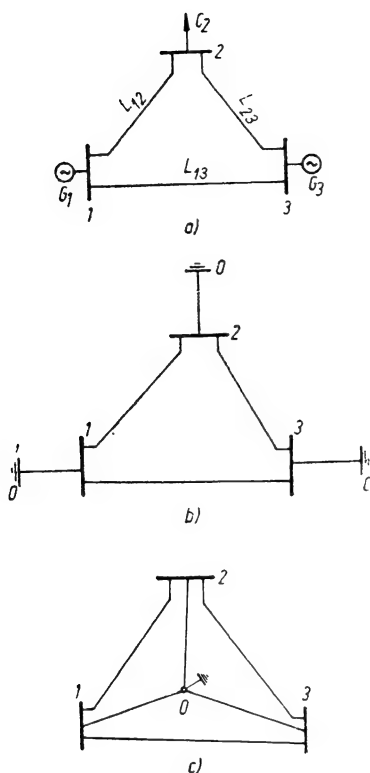
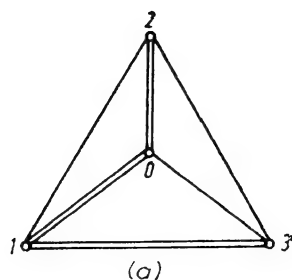
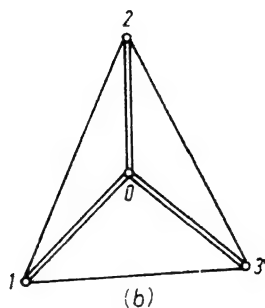


Fig. 5.28. Scheme electrice topologic echivalente:

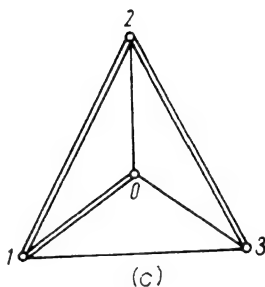
*a* — schema electrică inițială; *b* și *c* — forme de reprezentare a grafului schemei inițiale.



(a)



(b)



(c)

Fig. 5.29. Arbori compleți aparținând unui graf dat.

Astfel se consideră graful din figura 5.29, *b* în care *nodul de referință al grafului*, care coincide cu *nodul de referință al tensiunilor*, reprezintă nodul zero. Sensul curenților din laturi coincide cu sensul de orientare a acestora — de la nodul de indice mai mic către nodul de indice mai mare — iar sensul curenților circuitelor independente coincide cu sensul laturilor coardă (fig. 5.30). Între curenții din laturi și curenții circuitelor

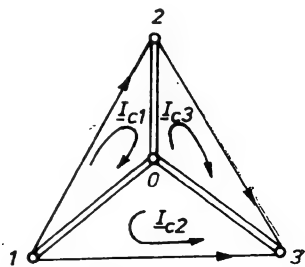


Fig. 5.30. Representarea orientării laturilor și a curenților ciclici asociați cu laturile coardă.



independente există următoarele relații de legătură:

$$\begin{aligned} I_{01} &= I_{c1} + I_{c2}; I_{02} = -I_{c1} + I_{c3}; I_{03} = -I_{c2} - I_{c3}; \\ I_{12} &= I_{c1}; I_{13} = I_{c2}; I_{23} = I_{c3}. \end{aligned} \quad (5.133)$$

Relațiile (5.133) pot fi exprimate sub formă matriceală:

$$\begin{array}{c} \begin{array}{c} \boxed{I_{01}} \\ \boxed{I_{02}} \\ \boxed{I_{03}} \\ \boxed{I_{12}} \\ \boxed{I_{13}} \\ \boxed{I_{23}} \end{array} = \begin{array}{c} 0-1 \\ 0-2 \\ 0-3 \\ 1-2 \\ 1-3 \\ 2-3 \end{array} \begin{array}{c} c_1 \quad c_2 \quad c_3 \\ \boxed{\begin{array}{ccc} 1 & 1 & \\ -1 & & 1 \\ & -1 & -1 \\ 1 & & \\ & 1 & \\ & & 1 \end{array}} \end{array} \begin{array}{c} \boxed{I_{c1}} \\ \boxed{I_{c2}} \\ \boxed{I_{c3}} \end{array} \\ [I_l] \qquad \qquad \qquad [\Gamma] \qquad \qquad \qquad [I_c] \end{array}$$

sau sub formă sintetizată:

$$\begin{array}{ccc} [I_l] & = & [\Gamma] \quad [I_c], \\ (l \times 1) & & (l \times c) \quad (c \times 1) \end{array} \quad (5.134)$$

în care:  $[I_l]$  reprezintă matricea coloană a curenților din laturi, de dimensiuni  $(l \times 1)$ ;

$[\Gamma]$  — matricea de incidență sau de conexiune a laturilor cu circuitele independente, de dimensiuni  $(l \times c)$ ;

$[I_c]$  — matricea coloană a curenților circuitelor independente, de dimensiuni  $(c \times 1)$ ;

$c$  — numărul circuitelor independente egal cu numărul laturilor coardă.

Coloana 1 din matricea de incidență  $\Gamma$  corespunde circuitului independent  $c_1$  și arată legătura dintre curenții laturilor rețelei și curentul circuitului independent  $c_1$  sau incidența laturilor grafului asociat rețelei respective cu circuitul independent  $c_1$ . Cifra 1 dintr-un rând oarecare arată că curentul laturii din acel rând este orientat în același sens cu curentul circuitului independent  $c_1$ ; cifra  $-1$  arată că curentul laturii din rândul corespunzător este orientat în direcție opusă curentului circuitului independent  $c_1$ , iar cifra zero arată

că latura corespunzătoare acestui rând nu face parte din circuitul independent  $c_1$ . Astfel, semnificațiile termenilor din coloana 1 sînt următoarele:

|       | $c_1$ |  |
|-------|-------|--|
| 0 — 1 | 1     | latura 0 — 1 este incidentă la circuitul $c_1$ și orientată în același sens; |
| 0 — 2 | -1    | latura 0 — 2 este incidentă la circuitul $c_1$ și orientată în sens opus;    |
| 0 — 3 |       | latura 0 — 3 nu este incidentă la circuitul $c_1$ ;                          |
| 1 — 2 | 1     | latura 1 — 2 este incidentă la circuitul $c_1$ și orientată în același sens; |
| 1 — 3 |       | latura 1 — 3 nu este incidentă la circuitul $c_1$ ;                          |
| 2 — 3 |       | latura 2 — 3 nu este incidentă la circuitul $c_1$ .                          |

Semnificații similare au elementele coloanelor 2 și 3 corespunzătoare circuitelor independente  $c_2$  și  $c_3$ .

Relațiile dintre căderile de tensiune din laturi și tensiunile nodurilor sînt:

$$U_{01} = U_0 - U_1 = -U_1; \quad U_{02} = U_0 - U_2 = -U_2;$$

$$U_{03} = U_0 - U_3 = -U_3; \quad U_{12} = U_1 - U_2;$$

$$U_{13} = U_1 - U_3; \quad U_{23} = U_2 - U_3$$

sau

$$\begin{array}{c}
 \begin{array}{|c|} \hline U_{01} \\ \hline U_{02} \\ \hline U_{03} \\ \hline U_{12} \\ \hline U_{13} \\ \hline U_{23} \\ \hline \end{array}
 \end{array}
 =
 \begin{array}{c}
 \begin{array}{|c|c|c|} \hline 0-1 & -1 & \\ \hline 0-2 & & -1 \\ \hline 0-3 & & & -1 \\ \hline 1-2 & 1 & -1 & \\ \hline 1-3 & 1 & & -1 \\ \hline 2-3 & & 1 & -1 \\ \hline \end{array}
 \end{array}
 \begin{array}{c}
 \begin{array}{|c|} \hline U_1 \\ \hline -2 \\ \hline -3 \\ \hline \end{array}
 \end{array}
 \quad (5.135)$$

$[U_l] \qquad \qquad [A] \qquad \qquad [U_n]$

sau sub formă sintetizată:

$$[U_l] = [A] [U_n], \quad (5.136)$$

$(l \times 1) \quad (l \times n) \quad (n \times 1)$

în care:  $[U_l]$  reprezintă matricea coloană a căderilor de tensiune din laturi, de dimensiuni  $(l \times 1)$ ;

$[A]$  — matricea din incidentă a laturilor cu nodurile independente, de dimensiuni  $(l \times n)$ ;

$[U_n]$  — matricea coloană a tensiunilor nodurilor independente, de dimensiuni  $(n \times 1)$

Coloana 1 din matricea de incidență  $A$  arată legătura dintre căderile de tensiune din laturile rețelei și tensiunea nodului 1 sau incidența laturilor grafului cu nodul 1. Cifra 1 dintr-un rând oarecare arată că latura corespunzătoare acelui rând este incidentă la nodul 1 și orientată de la nodul 1 spre exterior; cifra  $-1$  arată că latura din rândul corespunzător este incidentă la nodul 1 și orientată către acest nod; cifra 0 arată că latura nu este conectată cu nodul 1. Astfel, semnificațiile termenilor din coloana 1 sînt următoarele:

|       | 1  |  |
|-------|----|--|
| 0 — 1 | -1 | Latura 0 — 1 este incidentă cu nodul 1 și orientată către nod;               |
| 0 — 2 |    | Latura 0 — 2 nu este incidentă cu nodul 1;                                   |
| 0 — 3 |    | Latura 0 — 3 nu este incidentă cu nodul 1;                                   |
| 1 — 2 | 1  | Latura 1 — 2 este incidentă cu nodul 1 și orientată de la nod spre exterior; |
| 1 — 3 | 1  | Latura 1 — 3 este incidentă cu nodul 1 și orientată de la nod spre exterior; |
| 2 — 3 |    | Latura 2 — 3 nu este incidentă cu nodul 1.                                   |

Semnificații similare au elementele coloanelor 2 și 3 corespunzătoare nodurilor independente 2 și 3.

Matricea completă  $[A_0]$ , adică matricea de incidență a tuturor nodurilor grafului cu laturile acestuia este:

|                 | 1  | 2  | 3  | 0 |
|-----------------|----|----|----|---|
| 0 — 1           | -1 |    |    | 1 |
| 0 — 2           |    | -1 |    | 1 |
| $[A_0] = 0 — 3$ |    |    | -1 | 1 |
| 1 — 2           | 1  | -1 |    |   |
| 1 — 3           | 1  |    | -1 |   |
| 2 — 3           |    | 1  | -1 |   |

Se constată că matricea completă  $[A_0]$  conține pe fiecare rând sau linie cîte doi termeni diferiți de zero și anume  $+1$  și  $-1$ . În consecință, în matricea  $[A_0]$  suma termenilor din fiecare linie este nulă. Avînd în vedere acest fapt, matricea  $[A_0]$  poate fi reconstituită atunci cînd lipsește oricare din coloanele sale. Se spune că matricea  $[A_0]$  este *redondantă*, deoarece conține mai multe informații decît cele necesare pentru constituirea grafului. De aceea, se elimină o coloană din matricea  $[A_0]$  și se lucrează numai cu matricea  $[A]$ . Nodul corespunzător acestei coloane se numește *nod de referință* al grafului. În figurile 5.28,  $a$ ,  $b$  și  $c$  nodul de referință al grafului s-a considerat nodul 0

și coincide cu nodul de referință a tensiunilor. Dacă se cunoaște matricea  $[A]$  grafului rețelei se determină în felul următor: Se numerotează coloanele matricei  $[A]$  de la 1 la  $n$  și se reprezintă grafic  $n + 1$  noduri. Liniile matricei  $[A]$  arată nodurile între care există legături care se reprezintă grafic prin linii. Matricele  $[A]$  și  $[\Gamma]$  conțin toate informațiile necesare pentru construirea grafului rețelei cu condiția ca în cazul în care este cunoscută matricea  $[A]$  să nu existe între două noduri mai mult decât o latură, iar în cazul în care este cunoscută matricea  $[\Gamma]$ , toate nodurile grafului să fie esențiale\*. Dar în laturile rețelei electrice există surse de tensiune electromotoare și surse de curenți. În schema din figura 5.27, *a* în latura  $j - k$  acționează sursa de tensiune electromotoare  $\underline{E}_{jk}$  ideală, adică presupusă independentă de intensitatea curentului  $I_{jk}$  care o străbate și de tensiunea la borne  $U_{jk}$ . În schema din figura 5.27, *b* se consideră că în latură există o sursă ideală de curent  $\underline{J}_{jk}$ , adică independentă de curentul total care străbate latura și de tensiunea la bornele acesteia. Sursa ideală (negativă) de curent reprezintă curentul absorbit de consumator în ipoteza reprezentării acestuia printr-un curent absorbit constant. Dacă la bornele unui generator există și un consumator, reprezentarea acestora se face ca în figura 5.27, *c*, în care generatorul s-a înlocuit printr-o impedanță și o sursă ideală de tensiune, iar consumatorul printr-o sursă ideală de curent. Dacă și generatoarele ar fi reprezentate prin surse ideale de curent reprezentarea nu ar fi corespunzătoare studierii problemelor de reglaj de tensiune și de stabilitate. Din această cauză pentru studiul general al rețelelor electrice se adoptă latura generalizată din figura 5.27, *c*.

Mărimile electrice ale laturii generalizate  $L_{jk}$  sînt legate între ele prin legea lui Ohm care poate fi scrisă sub cele două forme cunoscute:

$$U_{jk} + \underline{E}_{jk} = z_{jk} (I_{jk} + J_{jk}); \quad (5.137)$$

$$I_{jk} + J_{jk} = y_{jk} (U_{jk} + \underline{E}_{jk}). \quad (5.138)$$

Relațiile 5.137 și 5.138 scrise pentru toate laturile unei rețele se pot pune sub forma matriceală.

$$[U_l] + [E_l] = [z_l] \{[I_l] + [J_l]\}; \quad (5.139)$$

$$[I_l] + [J_l] = [y_l] \{[U_l] + [E_l]\}, \quad (5.140)$$

în care:

$[U_l]$ ,  $[E_l]$ ,  $[I_l]$ ,  $[J_l]$  reprezintă matrici coloană cu  $l$  rînduri corespunzătoare celor  $l$  laturi ale rețelei;  
 $[z_l]$  și  $[y_l]$  — matricile impedanțelor, respectiv admitanțelor laturilor rețelei.

Matricile  $[z_l]$  și  $[y_l]$  sînt matrici diagonale de ordinul  $l$ ; termenii ne-diagonali sînt nuli deoarece se consideră că nu există influențe mutuale între elementele rețelei din diversele laturi ale acesteia, iar un termen diagonal oarecare reprezintă impedanța, respectiv admitanța unei laturi.

Prin înmulțirea la stînga a ecuației (5.139) cu forma transpusă a matricei  $[\Gamma]$  și prin gruparea termenilor se obține:

$$[\Gamma]_t [U_l] = [\Gamma]_t \{[z_l] [I_l] + [z_l] [J_l] - [E_l]\} \quad (5.141)$$

\* În cadrul teoriei grafurilor, un nod esențial reprezintă intersecția a cel puțin trei laturi.

Deoarece o coloană a matricei  $[\Gamma]$  indică incidența laturilor dintr-un circuit independent, produsul  $[\Gamma]_t [U_t]$  exprimă căderea de tensiune rezultantă în circuitele independente ale rețelei, adică valoarea nulă pentru fiecare circuit independent. Prin urmare produsul  $[\Gamma]_t [U_t]$  înseamnă aplicarea teoremei a doua a lui Kirchhoff fiecărui circuit independent. Avînd în vedere acest fapt, ecuația (5.141) devine:

$$[\Gamma]_t [z_{tt}] [I_t] = [\Gamma]_t \{ [E_t] - [z_{tt}] [J_t] \}. \quad (5.142)$$

În ecuația (5.142) se introduce relația (5.134) și se obține:

$$[\Gamma]_t [z_{tt}] [\Gamma] [I_c] = [\Gamma]_t \{ ([E_t] - [z_{tt}] \cdot [J_t]) \}, \quad (5.143)$$

care poate fi scrisă sub forma:

$$[Z_{cc}] [I_c] = [E_c], \quad (5.144)$$

în care:  $[Z_{cc}]$  reprezintă matricea de impedanță a circuitelor independente:

$$[Z_{cc}] = [\Gamma]_t [Z_{tt}] [\Gamma]; \quad (5.145)$$

$[E_c]$  — matricea coloană a tensiunilor independente provenite din sursele de tensiune și de curent:

$$[E_c] = [\Gamma]_t \{ [E_t] - [z_{tt}] [J_t] \}. \quad (5.146)$$

Pentru rețeaua din figura 5.28, *a* al cărei graf este reprezentat în figura 5.30 se scrie detaliat relația (5.145):

$$[Z_{cc}] = \begin{matrix} & \begin{matrix} 0-10-20-31-21-32-3 \end{matrix} \\ \begin{matrix} c_1 \\ c_2 \\ c_3 \end{matrix} & \begin{bmatrix} 1 & -1 & & 1 & & \\ & & & & & \\ 1 & & -1 & & 1 & \\ & & & & & \\ & 1 & -1 & & & 1 \end{bmatrix} \end{matrix} \cdot \begin{matrix} \begin{matrix} 0-10-20-31-21-32-3 \end{matrix} \\ \begin{matrix} 0-1 \\ 0-2 \\ 0-3 \\ 1-2 \\ 1-3 \\ 2-3 \end{matrix} \end{matrix} \begin{bmatrix} z_{01} & & & & & \\ & z_{02} & & & & \\ & & z_{03} & & & \\ & & & z_{12} & & \\ & & & & z_{13} & \\ & & & & & z_{23} \end{bmatrix} \begin{matrix} \begin{matrix} 0-10-20-31-21-32-3 \end{matrix} \\ \begin{matrix} 0-1 \\ 0-2 \\ 0-3 \\ 1-2 \\ 1-3 \\ 2-3 \end{matrix} \end{matrix} \begin{bmatrix} 1 & 1 & & \\ -1 & & & 1 \\ & & -1 & -1 \\ 1 & & & \\ & 1 & & \\ & & 1 & \\ & & & 1 \end{bmatrix} = \quad (5.147)$$

$$= \begin{matrix} & c_1 & c_2 & c_3 \\ \begin{matrix} c_1 \\ c_2 \\ c_3 \end{matrix} & \begin{bmatrix} z_{01} + z_{02} + z_{12} & z_{01} & -z_{02} \\ z_{01} & z_{01} + z_{03} + z_{13} & z_{03} \\ -z_{02} & z_{03} & z_{02} + z_{03} + z_{23} \end{bmatrix} \end{matrix} \cdot$$

Se constată că matricea  $[Z_{cc}]$ , obținută cu ajutorul matricelor de incidență din teoria grafurilor, este aceeași cu cea redată în relația (5.129, *a*), scrisă direct pentru o rețea identică. De asemenea, matricea  $[E_c]$  din (5.146) are aceeași formă cu (5.129, *c*), cu condiția ca sursele de curent să fie nule.

Prin înmulțirea la stînga ecuației (5.140) cu matricea de incidență transpusă,  $[A]_t$ , se obține:

$$[A]_t \{ [I_n] + [J_n] \} = [A]_t \{ [\underline{y}_{nn}] [U_n] + [\underline{y}_{nn}] [\underline{E}_n] \} \quad (5.148)$$

Deoarece un vector coloană al matricei  $[A]$  indică incidența laturilor într-un nod, produsul  $[A]_t [I_n]$  reprezintă curentul rezultat în nodurile independente, adică valoarea nulă pentru fiecare nod. Prin urmare, produsul  $[A]_t [I_n]$  înseamnă aplicarea teoremei I Kirchhoff fiecărui nod independent. Avînd în vedere acest fapt ecuația (5.148) devine:

$$[A]_t [\underline{y}_{nn}] [A] [U_n] = [A]_t \{ [J_n] - [\underline{y}_{nn}] [\underline{E}_n] \} \quad (5.149)$$

sau sub forma sintetizată:

$$[\underline{Y}_{nn}] [U_n] = [I_n], \quad (5.150)$$

unde:  $[\underline{Y}_{nn}]$  reprezintă matricea admitanțelor nodale:

$$[\underline{Y}_{nn}] = [A]_t [\underline{y}_{nn}] [A]; \quad (5.151)$$

$I_n$  — matricea coloană a curenților injectați în noduri proveniți din sursele de curent și de tensiune:

$$[I_n] = [A]_t \{ [J_n] - [\underline{y}_{nn}] [\underline{E}_n] \}. \quad (5.152)$$

Pentru rețeaua din figura 5.28,  $a$  al cărui graf este reprezentat în figura 5.28,  $b$  și  $c$  se scrie detaliat relația (5.151) și se obține:

$$[\underline{Y}_{nn}] = \begin{matrix} & \begin{matrix} 1 & 2 & 3 \end{matrix} \\ \begin{matrix} 1 \\ 2 \\ 3 \end{matrix} & \begin{bmatrix} -1 & & & 1 & 1 \\ & -1 & & -1 & 1 \\ & & -1 & & -1 \\ & & & -1 & -1 \end{bmatrix} \end{matrix} = \begin{matrix} & \begin{matrix} 1 & 2 & 3 \end{matrix} \\ \begin{matrix} \underline{y}_{01} \\ \underline{y}_{02} \\ \underline{y}_{03} \\ \underline{y}_{12} \\ \underline{y}_{13} \\ \underline{y}_{23} \end{matrix} & \begin{bmatrix} -1 & & \\ & -1 & \\ & & -1 \\ 1 & -1 & \\ 1 & & -1 \\ & 1 & -1 \end{bmatrix} \end{matrix} = \quad (5.153)$$

$$= \begin{matrix} & \begin{matrix} 1 & 2 & 3 \end{matrix} \\ \begin{matrix} 1 \\ 2 \\ 3 \end{matrix} & \begin{bmatrix} \underline{y}_{10} + \underline{y}_{12} + \underline{y}_{13} & -\underline{y}_{12} & -\underline{y}_{13} \\ -\underline{y}_{21} & \underline{y}_{21} + \underline{y}_{20} + \underline{y}_{23} & \underline{y}_{23} \\ -\underline{y}_{31} & -\underline{y}_{32} & \underline{y}_{30} + \underline{y}_{31} + \underline{y}_{32} \end{bmatrix} \end{matrix}$$

Se constată că matricea  $[\underline{Y}_{nn}]$  din (5.153), obținută cu ajutorul matricelor de incidență, este aceeași cu cea redată în relația (5.132,  $a$ ) scrisă direct pentru o rețea identică. De asemenea matricea  $[I_n]$  din (5.152) este aceeași

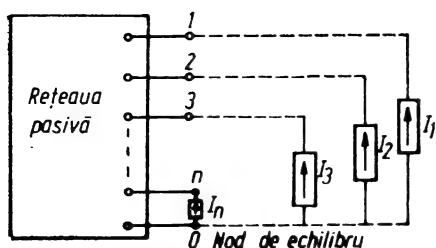


Fig. 5.31. Reprezentarea unui sistem electroenergetic cu curenți injectați la nodurile independente.

cu cea exprimată prin relația (5.132, c), cu condiția ca sursele de curent să fie nule.

Sistemul algebric linear (5.150) se poate rezolva prin diverse metode printre care și aceea a inversării matricei  $[Y_{nn}]$ . Se obține astfel:

$$[U_n] = [Z_{nn}] [I_n], \quad (5.154)$$

unde:  $[Z_{nn}]$  reprezintă matricea impedanțelor la noduri, avînd expresia:

$$[Z_{nn}] = [Y_{nn}]^{-1}. \quad (5.155)$$

Pentru a vedea ce interpretare fizică se poate da termenilor matricei impedanțelor nodale, se consideră un sistem electroenergetic cu  $n$  noduri independente și nodul 0 ca nod de referință (fig. 5.31). Rețeaua electrică corespunzătoare liniilor și transformatoarelor constituie rețeaua pasivă. La nodurile independente numerotate de la 1 la  $n$  corespunzătoare generatoarelor și consumatorilor se injectează curenții  $[I_n]$ . Prin urmare figura 5.31 constituie correspondentul fizic al relației (5.154).

Relația (5.154) se scrie detaliat după cum urmează:

$$\begin{bmatrix} U_1 \\ U_2 \\ \vdots \\ U_n \end{bmatrix} = \begin{bmatrix} Z_{11} & Z_{12} & \dots & Z_{1n} \\ Z_{21} & Z_{22} & & Z_{2n} \\ \vdots & \vdots & & \vdots \\ Z_{n1} & Z_{n2} & & Z_{nn} \end{bmatrix} \begin{bmatrix} I_1 \\ I_2 \\ \vdots \\ I_n \end{bmatrix}. \quad (5.156)$$

Din figura 5.31 rezultă că termenul  $Z_{11}$  din matricea  $[Z_{nn}]$  poate fi definit ca fiind o mărime egală numeric cu tensiunea nodului 1 față de nodul de referință, cînd la nodul 1 se injectează curentul unitar, iar curenții injectați la celelalte noduri sînt nuli sau sursele de tensiuni electromotoare corespunzătoare sînt scurtcircuitate (fig. 5.32, a).

Acest fapt rezultă analitic și din ecuația matriceală (5.156) în care se face  $I_1 = 1, I_2 = \dots = I_n = 0$ .

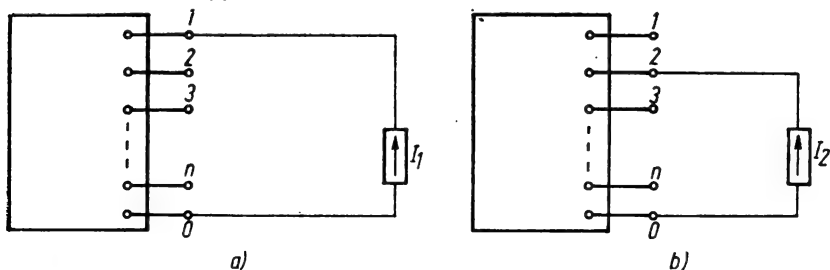


Fig. 5.32. Reprezentarea unui sistem electroenergetic în care la un singur nod se injectează curent:

a — curentul se injectează în nodul 1; b — curentul se injectează în nodul 2.

$Z_{12}$  se definește ca fiind o mărime egală numeric cu tensiunea nodului 1 cînd la nodul 2 se injectează un curent unitar, iar toți ceilalți curenți injectați sînt nuli (fig. 5.32, b). Aceasta rezultă și din ecuația matriceală (5.156) cînd  $I_2 = 1$ ,  $I_1 = I_3 = \dots = I_n = 0$ .

Se observă din figura 5.32, a că în cazul injectării curentului unitar la nodul 1 se stabilesc anumite tensiuni la toate nodurile rețelei, ale căror valori complexe sînt egale numeric cu valorile corespunzătoare ale impedanțelor primei coloane. În acest caz, ecuația matriceală (5.156) devine:

|   |     |  |   |
|---|-----|--|---|
| $\begin{bmatrix} U_1 \\ U_2 \\ \vdots \\ U_n \end{bmatrix}$ | $=$ | $\begin{bmatrix} Z_{11} \\ Z_{21} \\ \vdots \\ Z_{n1} \end{bmatrix}$ | tensiunea nodului 1 cînd la nodul 1 se injectează un curent unitar ;  |
|   |     |  | tensiunea nodului 2 cînd la nodul 1 se injectează un curent unitar ;  |
|   |     |  | .....   |
|   |     |  | tensiunea nodului $n$ cînd la nodul 1 se injectează un curent unitar. |

Prin injectarea curentului unitar în nodul 2 se determină termenii coloanei a doua din matricea  $[Z_{nn}]$  etc.

Plecînd de la această semnificație fizică a termenilor matricei  $[Z_{nn}]$ , în literatura de specialitate se deduc relații pentru construirea matricei  $[Z_{nn}]$ , prin metode de sinteză, plecînd de la impedanțele diverselor elemente ale rețelei, fără a fi necesară inversarea matricei  $[Y_{nn}]$ . Construirea prin sinteză a matricei  $[Z_{nn}]$  prezintă o deosebită importanță pentru sistemele de dimensiuni mari, la care inversarea matricei admitanțelor nodale cu ajutorul programelor de calcul pe calculatoarele numerice ar necesita un timp ridicat.

Studiînd figura 5.31 și avînd în vedere legăturile existente între nodurile independente prin intermediul rețelei pasive, termenul  $Z_{11}$  din matricea  $[Z_{nn}]$  reprezintă impedanța proprie a nodului 1 sau impedanța totală a rețelei văzută din nodul 1.

În cazul în care rețeaua pasivă nu are o structură prea complexă, această impedanță se poate determina prin operații de transfigurare realizate pînă cînd între nodul 1 și nodul 0 se obține o impedanță unică, care reprezintă de fapt impedanța  $Z_{11}$ .

Impedanța  $Z_{21}$  reprezintă impedanța echivalentă între nodul 2 și nodul 0, atunci cînd se injectează curentul unitar numai în nodul 1 etc. Ea se mai numește impedanță de transfer între nodurile 2 și 1. Evaluarea acestor impedanțe echivalente prin operații de transfigurare permite determinarea termenilor complecși ai matricei  $[Z_{nn}]$ .

Deducerea pe cale matriceală a ecuațiilor din metoda tensiunilor nodale și a ecuațiilor din metoda curenților ciclici este utilizată în alcătuirea programelor de calcul pentru determinarea regimurilor permanente a sistemelor electroenergetice cu ajutorul calculatoarelor numerice.

Se realizează programe pentru stabilirea automată a sistemului de ecuații și pentru rezolvarea acestuia cu ajutorul calculatorului numeric. Astfel, calculatorul numeric are posibilitatea să construiască rapid un arbore complet al unui graf dat, cu coarboarele corespunzător și să stabilească deci sistemul de ecuații din metoda curenților ciclici, în care fiecare ecuație se asociază cu un singur circuit independent, adică cu o singură latură coardă.



De asemenea, calculatorul numeric poate construi ușor matricea impedanțelor nodale, prin metode de sinteză.

S-au considerat pînă acum, rețele electrice în care au acționat surse de tensiune constantă sau surse de curenți constanți și s-au obținut sisteme de ecuații liniare cu mărimi complexe. Rezolvarea acestor sisteme de ecuații duce la determinarea regimului permanent de funcționare în *ipoteza liniară*. În cadrul acestei ipoteze, opțiunea pentru metoda curenților ciclici sau pentru metoda tensiunilor la noduri este hotărîtă de cel mai mic dintre numerele  $(l - N + 1)$  și  $(N - 1)$ .

#### B. Ipoteze și metode numerice de calcul pentru determinarea regimului permanent al rețelelor electrice.

În mod frecvent, se spune că regimul permanent de funcționare a unui sistem electroenergetic este cunoscut atunci cînd în toate nodurile lui se cunosc valorile a patru mărimi: *tensiunea în modul și argument, puterea activă și puterea reactivă*. Aceste mărimi se numesc *parametrii regimului*.

Dacă se cunosc parametrii regimului se pot deduce valorile curenților care circulă prin diferitele elemente, pierderile de tensiune prin acestea, pierderile de putere sau pierderile de energie. Se pot verifica astfel condițiile de funcționare sigură, economică și de calitate a sistemului electroenergetic.

Determinarea regimului permanent de funcționare a unui sistem electroenergetic presupune rezolvarea următoarelor grupe de probleme:

- alegerea modelului matematic sau a schemei echivalente pentru fiecare element de bază a sistemului, precum și determinarea parametrilor schemelor echivalente;

- determinarea modului de legătură între elementele sistemului sau a schemei echivalente de calcul pentru întregul sistem;

- alegerea metodei ce descrie starea electrică a sistemului: metoda curenților ciclici, a tensiunilor la noduri sau a perechilor de noduri (ultima metodă fiind folosită mai rar, nu a mai fost prezentată);

- alegerea metodei numerice de calcul;

- îmbunătățirea soluției de bază prin modificarea rapoartelor de transformare reale sau complexe, a injecțiilor de puteri reactive etc.

Primele trei grupe de probleme au fost prezentate în cadrul unor capitole anterioare, precum și în cadrul acestui capitol. Se mai subliniază totuși următoarele: în calculele de regimuri permanente generatorul electric se înlocuiește la bornele sale printr-o *putere activă constantă* și printr-o *tensiune constantă în modul*. Această reprezentare corespunde realității fizice, știut fiind că în regim permanent de funcționare generatoarele debitează puteri active bine precizate (rezultate în general în urma unor calcule economice) la tensiuni la borne ce se mențin constante în modul cu ajutorul reglajului automat.

Dar, în anumite situații generatorul electric se reprezintă prin *puteri active și reactive constante* la bornele sale.

Puterea reactivă a generatorului sincron nu poate deveni mai mică decît o anumită valoare notată cu  $Q_{min}$  determinată din condiții de stabilitate și nu poate deveni mai mare decît o anumită valoare notată cu  $Q_{max}$  determinată de limita curentului rotoric. Astfel, în cadrul calculelor de regim permanent în urma determinării tensiunilor tuturor nodurilor în modul și argu-

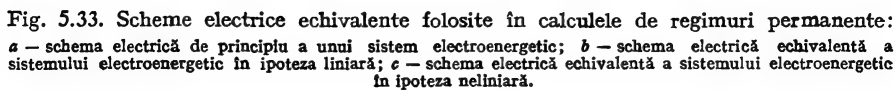
ment se calculează puterile reactive debitate de generatoare. Dacă la unul din generatoare puterea reactivă depășește una din limite, se fixează la limita respectivă și se reia calculul regimului permanent considerînd generatorul respectiv reprezentat printr-o putere activă și reactivă constante. Consumatorii se reprezintă în calculele de regimuri permanente prin *puteri active și reactive constante*, deoarece această ipoteză de reprezentare a lor este acoperitoare din punct de vedere al pierderilor de tensiuni și de puteri. Liniile și transformatoarele electrice se înlocuiesc prin schemele echivalente în  $\pi$  și  $\Gamma$ . În mod frecvent ramurile transversale ale acestor scheme adică susceptanțele capacitive ale liniilor și admitanțele transformatoarelor se înlocuiesc prin puterile reactive pe care le generează, respectiv prin pierderile de putere activă și reactivă din fier. Aceste puteri se înglobează în general în puterile generatoarelor sau consumatorilor conectați la nodurile respective.

Se accentuează faptul că între elementele trifazate care intervin în schemele electrice, generatoare, transformatoare, linii și consumatori nu există cuplaje magnetice. Există cuplaje electrice și magnetice între fazele aceluiași element trifazat.

Deoarece regimul permanent este un regim echilibrat și simetric, tensiunile și curenții sînt de secvență directă și deci schemele echivalente ale elementelor sînt scheme monofilare în care nu intervin impedanțe mutuale. Așadar, în schemele echivalente ale liniilor și transformatoarelor intervin *impedanțele directe* ale acestora.

Deoarece generatoarele se reprezintă prin puteri active constante la borne și prin tensiuni constante în modul, iar pierderile de putere activă și reactivă prin elementele rețelei (linii și transformatoare) sînt necunoscute este necesar ca puterea activă a unuia dintre generatoare să nu fie fixată, adică să fie lăsată liberă. Acest generator se numește *generator de echilibru*, iar puterea activă debitată de el este egală cu diferența dintre puterea activă totală consumată (puterile active ale tuturor consumatorilor plus pierderile de putere activă din rețea) și puterea activă totală produsă de celelalte generatoare din sistem. Prin urmare puterea activă a generatorului din nodul de echilibru este o mărime adaptabilă la variațiile de puteri active din sistem.

Rezultă că puterea activă debitată de generatorul de echilibru poate fi evaluată în final după ce se evaluează pierderile din rețea, deci după ce s-au determinat tensiunile tuturor nodurilor. Din punct de vedere al calculelor, existența generatorului din nodul de echilibru este echivalentă cu menținerea constantă a frecvenței, deoarece datorită acestuia, în orice moment consumul de putere activă este egal cu generarea de putere activă. Se poate considera deci că fazorul de tensiune al nodului de echilibru se rotește continuu cu viteză sinconă și are un argument constant în timp. Pentru simplificarea calculelor se consideră acest *argument*  $\theta_0$  egal cu zero, adică, se admite că *nodul de echilibrare a puterilor active* este și *nod de referință a argumentelor*  $\theta_i$  a *tensiunilor*  $U_i$  ( $i = 1, 2, \dots, n$ ). Deoarece prin reprezentarea generatoarelor și consumatorilor prin puteri la borne dispăre din graf noul rețelei, deci dispăre nodul zero considerat pînă acum nod de referință al grafului și al tensiunilor, este necesară considerarea altui nod ca nod de referință al tensiunilor și al grafului rețelei. Pentru simplificarea calculelor acest nod se consideră tot nodul de echilibru, care prin fixarea modulului tensiunii devine și nod de referință al tensiunilor. De această dată, nodul de referință al tensiunilor fiind considerat nodul de la bornele generatorului de echilibru,



tensiunea acestuia nu mai poate fi considerată nulă ca în cazul în care nodul de referință al tensiunilor era considerat nulul rețelei. Tensiunea nodului de referință se consideră în aceste condiții egală în general cu tensiunea nominală a rețelei, tensiune la care se calculează parametrii rețelei. În această situație, *tensiunea unui nod oarecare*  $U_i$  este egală cu *căderea de tensiune între nodul  $i$  și nodul de echilibru plus tensiunea nodului de echilibru*.

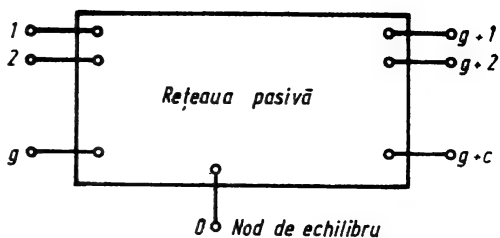


Fig. 5.34. Reprezentarea unui sistem electroenergetic cu  $g$  noduri generatoare, cu  $c$  noduri consumatoare și un nod de echilibru.

Se consideră sistemul electroenergetic din figura 5.33, *a*. Se presupune că la bornele generatorului  $G_1$  există consumatorul  $C_1$ . Înlocuind generatoarele și consumatorii cu schemele echivalente din ipoteza liniară, iar transformatoarele prin schemele echivalente în  $\Gamma$  și liniile prin schemele echivalente în  $\pi$  se obține schema echivalentă a întregului sistem în figura 5.33, *b*. Înlocuind generatoarele prin puteri active constante și tensiuni constante la borne, consumatorii prin puteri active și reactive constante la borne, ramurile transversale ale liniilor și transformatoarelor prin puterile corespunzătoare se obține schema din figura 5.33, *c*. Aceasta este o schemă constituită numai din impedanțe longitudinale și puteri la borne. În această schemă nodul de echilibru poate fi ales fie la bornele generatorului 1, fie la bornele general torului 3. În figura 5.33, *c*, nodul de echilibru a fost ales nodul 6.

Pentru cazul general, în figura 5.34 se reprezintă un sistem electroenergetic cu  $g$  noduri generatoare numerotate de la 1 la  $g$ , cu  $c$  noduri consumatoare numerotate de la  $g+1$  la  $g+c$  și cu un nod de echilibru numerotat cu indicele zero. În interiorul dreptunghiului se află impedanțele longitudinale ale liniilor și transformatoarelor conectate între ele conform schemei reale. Deoarece în studiile de regimuri permanente generatoarele și consumatorii se reprezintă prin puteri la noduri, starea electrică a sistemului se descrie ușor cu metoda tensiunilor nodale.

Considerînd  $g+c=n$ , metoda tensiunilor nodale se scrie după cum urmează:

$$[Y_{nn0}] [U_{n0}] = [I_{n0}], \quad (5.157)$$

unde:  $[Y_{nn0}]$  reprezintă matricea admitanțelor nodale a tuturor nodurilor;  
 $[U_{n0}]$  — matricea coloană a tensiunilor nodurilor independente față de nodul de echilibru, și tensiunea nodului de echilibru. Tensiunea nodului de echilibru este tensiunea acestui nod față de nul, multiplicată cu  $\sqrt{3}$ ;  
 $[I_{n0}]$  — matricea coloană a curenților injectați la nodurile independente și la nodul de echilibru.

În relația (5.157) se separă nodurile independente de nodul de echilibru:

$$\begin{array}{c} n \\ 0 \end{array} \begin{array}{c} n \quad 0 \\ \begin{bmatrix} \underline{Y}_{nn} & \underline{Y}_{n0} \\ \underline{Y}_{0n} & \underline{Y}_{00} \end{bmatrix} \end{array} \cdot \begin{array}{c} \begin{bmatrix} \underline{U}_n \\ \underline{U}_0 \end{bmatrix} \end{array} = \begin{array}{c} \begin{bmatrix} \underline{I}_n \\ \underline{I}_0 \end{bmatrix} \end{array} \quad (5.158)$$

Efectuînd în relația (5.158) produsele pe submatrici se obține:

$$[\underline{Y}_{nn}] [\underline{U}_n] + [\underline{Y}_{n0}] \underline{U}_0 = [\underline{I}_n] \quad (5.159)$$

$$[\underline{Y}_{0n}] [\underline{U}_n] + \underline{Y}_{00} \underline{U}_0 = \underline{I}_0 \quad (5.160)$$

Din relația (5.159) se scot valorile tensiunilor nodurilor independente:

$$[\underline{U}_n] = -[\underline{Y}_{nn}]^{-1} [\underline{Y}_{n0}] \underline{U}_0 + [\underline{Y}_{nn}]^{-1} [\underline{I}_n]. \quad (5.161)$$

Avînd în vedere faptul că în matricea  $[\underline{Y}_{nn}]$  suma admitanțelor unei linii sau coloane este nulă, se deduce din relația precedentă:

$$[\underline{U}_n] = [\underline{Z}_{nn}] [\underline{I}_n] + [\underline{U}_0], \quad (5.162)$$

în care:  $[\underline{Z}_{nn}] [\underline{I}_n]$  reprezintă matricea căderilor de tensiune între nodurile independente și nodul de echilibru

$[\underline{U}_0]$  — o matrice coloană cu  $n$  rînduri cu toți termenii egali cu tensiunea nodului de echilibru.

În ecuația (5.155) matricea coloană  $[\underline{U}_0]$  avea valoarea nulă. În ecuația (5.162) matricea  $[\underline{U}_0]$  are toți termenii egali cu tensiunea nominală a rețelei sau cu o valoare cu cîteva procente mai mare ca  $\underline{U}_n$ .

Relațiile (5.159) și (5.160) mai pot fi scrise în felul următor:

$$\underline{I}_i = \sum_{k=0}^n \underline{Y}_{ik} \underline{U}_k; \quad i = 1, \dots, n \quad (5.163)$$

$$\underline{I}_0 = \sum_{k=0}^n \underline{Y}_{0k} \underline{U}_k. \quad (5.164)$$

Dar așa cum s-a mai menționat la nodurile  $g + c$  trebuie injectate puteri și nu curenți.

Într-un nod oarecare al sistemului între putere, tensiune și curent există relația:

$$\underline{S}_i = P_i + jQ_i = \underline{U}_i \underline{I}_i^* = \text{Re } \underline{S}_i + j \text{Im } \underline{S}_i \quad (5.165)$$

Avînd în vedere relația (5.163), relația (5.165) devine:

$$P_i + jQ_i = \text{Re } \underline{U}_i \sum_{k=0}^n \underline{Y}_{ik}^* \underline{U}_k^* + j \text{Im } \underline{U}_i \sum_{k=0}^n \underline{Y}_{ik}^* \underline{U}_k^*, \quad (5.166)$$

În care:  $S_i$  reprezintă puterea aparentă trifazată injectată în nodul  $i$ , exprimată în mărimi complexe. Dacă în nodul  $i$  se consumă puterea  $S_i$ , aceasta se reprezintă ca o putere injectată negativă, adică  $S_i = -(P_i + jQ_i)$ ;

Re, Im — partea reală, respectiv partea imaginară a puterii complexe;

$U_i$  — fazorul tensiunii compuse din nodul  $i$ ;

$I_i$  — fazorul curentului pe fază din nodul  $i$ , multiplicat cu  $\sqrt{3}$ .

În calculele de regimuri permanente se operează cu puteri trifazate, cu tensiuni compuse și cu valori de curenți de  $\sqrt{3}$  ori mai mari decât curenții pe fază, pentru a face să dispară factorul  $\sqrt{3}$  din expresia puterii trifazate.

Dacă în nodul  $i$  este conectat un consumator pentru care puterile activă și reactivă sînt cunoscute curentul absorbit de acesta se deduce din relația:

$$I_{i \text{ consumat}} = \frac{S_i^*}{U_i^*} = \frac{P_i - jQ_i}{U_i^*}.$$

Dar un curent consumat poate fi considerat ca un curent injectat negativ. Deci:

$$I_i \text{ injectat} = - \left( \frac{P_i - jQ_i}{U_i^*} \right). \quad (5.167)$$

Se procedează astfel, deoarece în metoda tensiunilor nodale toți curenții proveniți de la surse de tensiune sau surse de curent se consideră curenți injectați.

Dacă în nodul  $i$  este conectat un generator, deoarece puterea reactivă a acestuia este necunoscută se folosește pentru expresia ei relația (5.166) obținându-se:

$$I_i = \frac{P_i - j \operatorname{Im} U_i^* \sum_{k=0}^n Y_{ik} U_k}{U_i^*}. \quad (5.168)$$

Se consideră că generatorul furnizează o putere reactivă pur inductivă (fig. 5.35, a). Considerînd argumentul tensiunii nul, se obțin următoarele expresii pentru curentul și puterea reactivă:

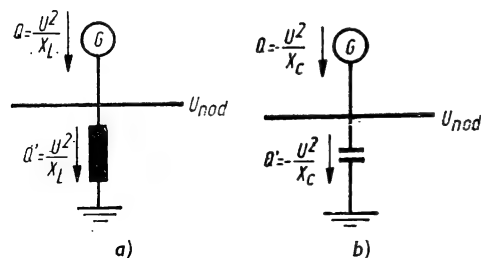


Fig. 5.35. Generatorul furnizează o putere reactivă:

a — inductivă; b — capacitivă.

$$U_{nod} = U \angle 0;$$

$$I_L = \frac{U}{X_L} \angle -90^\circ;$$

$$S = U_{nod} I_L^* = j \frac{U^2}{X_L} = jQ;$$

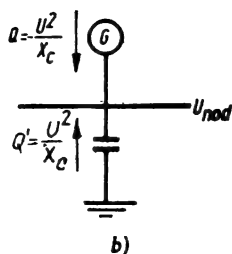
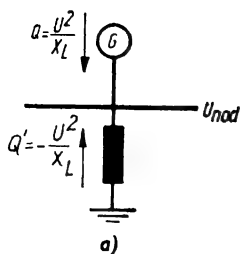


Fig. 5.36. Sarcina furnizează o putere reactivă:  
a) — inductivă; b) — capacitivă.

$Q = + \frac{U^2}{X_L}$  reprezintă putere reactivă inductivă furnizată de generator;

$Q = + \frac{U^2}{X_L}$  — putere reactivă inductivă primită de consumator.

Considerînd că generatorul furnizează o putere reactivă pur capacitivă (fig. 5.36, a), se obține

$$U_{nod} = U \mid 0$$

$$I_C = \frac{U}{X_C} \mid 90^\circ; S = U_{nod} I_C^* = -j \frac{U^2}{X_C} = P + jQ;$$

$Q = - \frac{U^2}{X_C}$  reprezintă puterea reactivă capacitivă furnizată de generator;

$Q = - \frac{U^2}{X_C}$  — puterea reactivă capacitivă primită de consumator.

Se poate spune astfel:

— generatorul furnizează putere reactivă inductivă în sistem dacă  $Q$  este pozitiv și putere reactivă capacitivă dacă  $Q$  este negativ;

— consumatorul consumă putere reactivă inductivă dacă  $Q$  este pozitiv și putere reactivă capacitivă dacă  $Q$  este negativ. Figurile 5.35, a și 5.35, b pot fi redesenat ca în figurile 5.36, a și 5.36, b în care sarcina este considerată ca o sursă de putere reactivă.

În figura 5.36, a,  $Q' = - \frac{U^2}{X_L}$  reprezintă puterea reactivă inductivă furnizată de către bobină;

În figura 5.36, b,  $Q' = \frac{U^2}{X_C}$  reprezintă puterea reactivă capacitivă furnizată de condensator.

Aceste relații sînt adevărate din cauză că o putere capacitivă consumată este identică cu o putere inductivă generată (furnizată) și o putere inductivă consumată este identică cu o putere capacitivă generată (fig. 5.35, b cu 5.36, a și 5.35, a cu 5.36, b).

Se introduc relațiile (5.167) și (5.168) în ecuațiile (5.163) și ținându-se seama că  $g + c = n$  se obține:

$$\frac{P_i - j \operatorname{Im} U_i^* \sum_{k=0}^{g+c} \underline{Y}_{ik} U_k}{U_i^*} = \sum_{k=0}^{g+c} \underline{Y}_{ik} U_k \quad (i = 1, \dots, g); \quad (5.169)$$

$$- \frac{P_i - j Q_i}{U_i^*} = \sum_{k=0}^{g+c} \underline{Y}_{ik} = U_k \quad (i = g + 1, \dots, g + c).$$

În sistemul (5.169) se separă tensiunea nodului  $i$ :

$$U_i = \frac{1}{\underline{Y}_{ii}} \left[ \frac{P_i - j \operatorname{Im} U_i^* \sum_{k=0}^{g+c} \underline{Y}_{ik} U_k}{U_i^*} - \sum_{k=0}^{g+c} \underline{Y}_{ik} U_k \right] \quad (i = 1, \dots, g); \quad (5.170)$$

$$U_i = \frac{1}{\underline{Y}_{ii}} \left[ - \frac{P_i - j Q_i}{U_i^*} - \sum_{k=0}^{g+c} \underline{Y}_{ik} U_k \right] \quad (i = g + 1, \dots, g + c).$$

Se constată că sistemul (5.170) este un sistem algebric neliniar în raport cu tensiunile nodurilor. Deci, regimul permanent de funcționare în ipoteza reprezentării generatoarelor și consumatorilor prin puteri, este descris de un sistem neliniar de ecuații algebrice. Soluționarea sistemului de ecuații neliniare duce la determinarea regimului permanent în ipoteza neliniară.

Rezolvarea sistemului neliniar nu se poate face decât prin aproximații succesive. Se utilizează următoarele procedee numerice.

1. Pentru puteri la borne date și pentru o anumită estimare a valorilor tensiunilor, deci pentru curenți injectați cunoscuți, din sistemul (5.159), tensiunile se află fie folosind o metodă directă, fie folosind o metodă indirectă. În cadrul metodei directe se utilizează fie procedeul de eliminare (Gauss, Jordan), fie se inversează matricea  $[\underline{Y}_{nn}]$ , așa cum s-a procedat pentru obținerea soluției sub forma (5.162). În cadrul metodelor directe necunoscutele se află după un număr determinat de operații.

În cadrul metodelor indirecte, necunoscutele se află după un număr nedeterminat de operații. Aceste metode se mai numesc și *metode iterative*.

În cadrul *metodelor iterative* se atribuie anumite valori, estimate aproximativ în funcție de experiența calculatorului tensiunilor din membrul drept al ecuațiilor (5.170) și se determină astfel valorile tensiunilor din membrul stâng. Se introduc apoi aceste valori în membrul drept și se determină noi valori ale tensiunilor din membrul stâng etc. Procesul continuă pînă cînd diferența maximă a valorilor necunoscutele din două iterații consecutive este mai mică decât o valoare impusă. Notînd astfel cu  $U_i^{(v)}$  tensiunea nodului  $i$  din iterația  $(v)$  și cu  $U_i^{(v-1)}$  — tensiunea nodului  $i$  din iterația  $(v - 1)$ , calculele se opresc atunci cînd  $|U_i^{(v)}| - |U_i^{(v-1)}| \leq \varepsilon$ , unde  $\varepsilon$  este toleranța admisă.

2. Se liniarizează ecuațiile (5.170) și se rezolvă cu ajutorul unei metode directe sau indirecte.



## Capitolul 6

### CALCULUL PIERDERILOR DE PUTERE ȘI DE ENERGIE ÎN REȚELELE ELECTRICE

Alimentarea consumatorilor cu energie electrică este însoțită totdeauna de pierderi, care se produc atât în liniile de transport și de distribuție, cât și în transformatoarele stațiilor și posturilor de transformare. În rețelele electrice cu tensiuni nominale mai mici decât 110 kV, aceste pierderi se datoresc aproape în exclusivitate încălzirii liniilor și transformatoarelor la trecerea curentului electric. În cazul rețelor cu tensiuni nominale de 110 kV și mai înalte au loc pierderi suplimentare de energie electrică, determinate de scurgerile laterale de curent și de fenomenul corona. Acestea din urmă trebuie să aibă valori reduse, ca urmare a alegerii corespunzătoare a secțiunii conductoarelor și a nivelului de tensiune și de izolație.

Valoarea pierderilor de energie, de la barele centralelor electrice până la locurile de consum, poate atinge uneori  $10 \div 15\%$  din energia electrică produsă. Acoperirea lor necesită instalarea unor grupuri suplimentare în centrale, fapt care determină creșterea investițiilor și a cheltuielilor de exploatare. Se menționează, de exemplu, că pentru fiecare 1 000 MW la vârful curbei de sarcină, trebuie instalată o putere suplimentară pentru acoperirea pierderilor de cel puțin  $100 \div 150$  MW. În aceste condiții, reducerea pierderilor de energie în fiecare instalație și loc de muncă constituie sarcina cea mai importantă a celor care proiectează și exploatează instalațiile electrice de producere, transport și distribuție și cele din întreprinderile consumatoare.

În cele ce urmează, se va face calculul pierderilor de energie și se vor indica metodele de reducere a acestora, care au în vedere atât măsuri de ordin constructiv, tehnologic, cât și măsuri de exploatare.

#### 6.1. ELEMENTE FUNDAMENTALE DE CALCUL A PIERDERILOR DE ENERGIE ÎN REȚELELE ELECTRICE

##### 6.1.1. PARAMETRI SPECIFICI AI CURBELOR DE SARCINĂ

Pentru determinarea pierderilor de energie electrică în linii și transformatoare, trebuie să se țină seama de variația în timp a sarcinii consumatorilor. Utilizarea calculului impune cunoașterea *duratei de utilizare a puterii maxime* și a *duratei pierderilor maxime*.

Fig. 6.1. Curbă de sarcină clasată anuală și curba pierderilor anuale pentru determinarea duratei de utilizare a puterii maxime  $T$  și a duratei pierderilor  $\tau$ .

$$\int_0^t I dt = I_{max} T,$$
$$T = \frac{\int_0^t Idt}{I_{max}}. \quad (6.1)$$

Dacă se consideră intervalul de timp corespunzător unui an, atunci relația (6.1) devine:

$$T = \frac{\int_0^{8760} I dt}{I_{max}} = \frac{\int_0^{8760} P dt}{P_{max}} = \frac{W_{an}}{P_{max}}. \quad (6.2)$$

243

stante, iar pierderile de energie corespund dreptunghiului  $O f g h$ , a cărui bază este  $\tau$ . Conform figurii 6.1, timpul  $\tau$  se poate determina grafic din egalitatea celor două suprafețe, iar analitic scriind că:

$$\int_0^t I^2 dt = I_{max}^2 \tau,$$

de unde rezultă:

$$\tau = \frac{\int_0^t I^2 dt}{I_{max}^2} \quad (6.3)$$

Mărimea  $\tau$  se numește *timpul* sau *durata pierderilor maxime* (sau prescurtat timpul pierderilor) și reprezintă, convențional, numărul de ore în care instalația funcționând la sarcină maximă constantă are aceleași pierderi de energie ca și în cazul în care ar funcționa după curba de sarcină reală.

Este evident că dacă regimul încărcării este cunoscut sub forma unei curbe care poate fi exprimată printr-o serie de dreptunghiuri, atunci timpul pierderilor se poate calcula cu relația:

$$\tau = \frac{I_1^2 t_1 + I_2^2 t_2 + \dots + I_n^2 t_n}{I_{max}^2} = \frac{\sum_1^n I_k^2 t_k}{I_{max}^2} \quad (6.4)$$

în care:  $I_1, I_2, \dots, I_n$  reprezintă diferitele valori ale curentului cerut (ordonatele dreptunghiurilor);

$t_1, t_2, \dots, t_n$  — numărul de ore corespunzător funcționării la sarcinile cerute.

Dacă se determină timpul pierderilor maxime corespunzător unui an, atunci integrala din ecuația (6.3) sau suma timpilor din ecuația (6.4) se extinde în mod corespunzător ( $t = \Sigma t_k = 8760$  h).

Pierderile de energie se mai pot calcula cu ajutorul *curentului mediu pătratic*, în intervalul de timp  $t$ . Acesta reprezintă un *curent fictiv*, care în intervalul de timp  $t$  produce aceleași pierderi de energie ca și în cazul real de funcționare al consumatorului. Conform figurii 6.1 rezultă că suprafața  $O f l c$  este egală cu suprafața dreptunghiului  $O m n c$ , sau analitic:

$$\int_0^t I^2 dt = I_{mp}^2 t$$

de unde rezultă:

$$I_{mp} = \sqrt{\frac{\int_0^t I^2 dt}{t}} = \sqrt{\frac{\int_0^{8760} I^2 dt}{8760}} \quad (6.5)$$

(în ultima egalitate, timpul  $t$  corespunde unui an).

Valoarea curentului mediu pătratic se poate determina, în lipsa curbei de sarcină, cu ajutorul curentului maxim și al timpului pierderilor. Acest

lucru reiese imediat din egalitatea suprafețelor dreptunghiulare  $O f g h$  și  $O m n c$ :

$$I_{max}^2 \tau = I_{mp}^2 t,$$

de unde reiese:

$$\frac{\tau}{t} = \frac{I_{mp}^2}{I_{max}^2} = \frac{S_{mp}^2}{S_{max}^2} \quad (6.6)$$

sau:

$$\begin{aligned} I_{mp} &= I_{max} \sqrt{\frac{\tau}{t}} = \\ &= I_{max} \sqrt{\frac{\tau}{8760}}. \end{aligned} \quad (6.7)$$

Între timpul de utilizare a puterii maxime  $T$  și timpul pierderilor  $\tau$  este stabilită o legătură prin intermediul curbelor de sarcină. Integrând o serie de curbe de sarcină, care diferă între ele prin numărul de ore de utilizare a maximumului în funcție de caracterul consumatorilor (forță, iluminat, sarcină mixtă) și de curbele pătratice corespunzătoare acestora, se poate stabili pentru fiecare dependența dintre  $T$ ,  $\tau$  și  $\cos \varphi$ . Cu ajutorul acestor date se construiesc curbe de utilitate practică, cu ajutorul cărora se determină timpul pierderilor anuale  $\tau$ , în funcție de timpul de utilizare anuală a sarcinii maxime și de factorul de putere. Astfel de curbe sînt reprezentate în figura 6.2, din care se observă că pentru timpii  $T$  uzuali,  $\tau$  este cu atît mai mic cu cît factorul de putere al consumatorilor este mai bun.

În afara acestor mărimi, care reprezintă parametrii specifici curbelor de sarcină a consumatorilor și curbelor de pierderi de energie, se mai pot defini și alte elemente necesare în calculul pierderilor de energie.

Astfel, *coeficientul de aplatizare al curbei de sarcină* definit de relația:

$$k_a = \frac{I_{med}}{I_{max}} = \frac{\int_0^t I dt}{t I_{max}} = \frac{T}{t} \quad (6.8)$$

constituie un indicator orientativ asupra mărimii pierderilor de energie pentru diferite tipuri de curbe de sarcină.

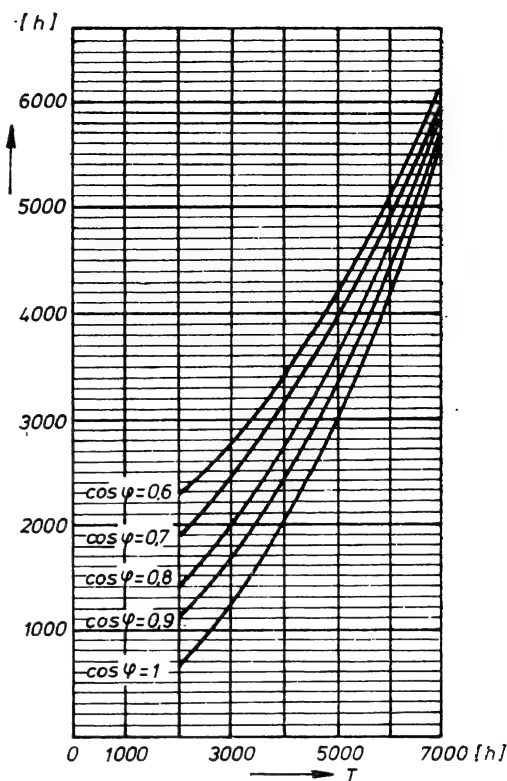


Fig. 6.2. Variația duratei pierderilor  $\tau$ , în funcție de durata de utilizare a puterii maxime  $T$ .

*Factorul de formă al curbei de sarcină* este determinat de raportul dintre curentul mediu pătratic și curentul mediu, într-un anumit interval de timp:

$$k_f = \frac{I_{mp}}{I_{med}} = \frac{\sqrt{\frac{1}{t} \int_0^t I^2 dt}}{\frac{1}{t} \int_0^t I dt} = \frac{\sqrt{\tau t}}{T}. \quad (6.9)$$

*Factorul de pierderi al curbei de sarcină* reprezintă raportul dintre pătratul curentului mediu pătratic și pătratul curentului maxim, într-un anumit interval de timp:

$$k_p = \frac{I_{mp}^2}{I_{max}^2} = \frac{\frac{1}{t} \int_0^t I^2 dt}{\frac{I_{max}^2}{t}} = \frac{\tau}{T}. \quad (6.10)$$

Între acești trei factori există relația:

$$k_p = k_f^2 \cdot k_a^2. \quad (6.11)$$

Evident că acești coeficienți se pot exprima și prin rapoarte de puteri active, reactive sau aparente.

*Observație.* În exploatarea rețelelor electrice, integralele  $\int_0^t I dt$  sau  $\int_0^t I^2 dt$  pot fi determinate direct, cu ajutorul contoarelor de energie și a unor „contoare de pierderi”. În general însă, atât în exploatare, cât și în proiectare, integralele respective se calculează folosind curbele de sarcină, fie ale puterilor active și reactive, fie ale celor aparente. Informații asupra acestor curbe de sarcină se obțin, de obicei, în exploatare prin generalizarea statistică a rezultatelor unor măsurători efectuate pe grupuri caracteristice de consumatori, iar în proiectare prin prognoză. Aceste informații se pot sintetiza însă suficient de exact prin parametrii  $T$  și  $\tau$  ai curbelor definite pentru curbele de sarcină activă, reactivă sau pentru sarcina aparentă.

#### 6.1.2. CALCULUL PIERDERILOR DE PUTERE ȘI DE ENERGIE ÎN LINIILE ELECTRICE

Pierderile de putere activă în liniile electrice trifazate de curent alternativ, neglijând pierderile laterale, se determină cu relația cunoscută din electrotehnică:

$$\Delta P = 3RI^2 \cdot 10^{-3} = R \frac{P^2 + Q^2}{U^2} 10^{-3} [\text{kW}], \quad (6.12)$$

în care:  $R$  — reprezintă rezistența unei faze la temperatura efectivă, în  $\Omega$ ;  
 $I$  — valoarea efectivă a curentului de calcul corespunzător puterii cerute, în A;  
 $P, Q$  — puterile trifazate, activă și reactivă cerute, în kW, respectiv în kvar;  
 $U$  — tensiunea rețelei, care poate fi identificată cu tensiunea nominală, în kV.

Pierderile de putere reactivă în liniile electrice aeriene și subterane se calculează cu relațiile:

$$\Delta Q = 3XI^2 \cdot 10^{-3} = X \frac{P^2 + Q^2}{U^2} 10^{-3} \text{ [kvar]}, \quad (6.13)$$

în care  $X$  reprezintă reactanța inductivă pe fază, în  $\Omega$ .

Pierderile de putere aparentă se vor determina cu relația:

$$\Delta S = \Delta P + j\Delta Q = (R + jX) \frac{P^2 + Q^2}{U^2} \cdot 10^{-3} \text{ [kVA]}. \quad (6.14)$$

În calculul pierderilor de energie, efectuat mai jos, se va considera numai primul termen din ecuația (6.14), adică pierderile de energie activă. Pentru un interval de timp  $t$ , dacă pierderile de putere activă  $\Delta P$  sînt constante, atunci pierderile corespunzătoare de energie au valoarea:

$$\Delta W = \Delta P t = 3RI^2 t \cdot 10^{-3} = R \frac{P^2 + Q^2}{U^2} 10^{-3} \text{ [kWh]}. \quad (6.15)$$

În mod obișnuit însă, sarcina consumatorului variază permanent, astfel că pierderile de energie se scriu sub forma generală:

$$\Delta W = 3 \cdot 10^{-3} RI_{max}^2 \int_0^t \frac{I^2}{I_{max}^2} dt \text{ [kWh]}. \quad (6.16)$$

Utilizarea ultimei relații, pentru calculul pierderilor de energie pe o linie electrică, presupune efectuarea integralei (6.16) care nu se poate face decît grafic, deoarece funcția  $\frac{I^2}{I_{max}^2} = \varphi(t)$  nu corespunde unei relații algebrice.

Pentru a evita această operație dificilă, se folosește timpul pierderilor, observînd că expresia (6.16) se exprimă mai simplu sub forma:

$$\Delta W = \Delta P_{max} \tau, \quad (6.17)$$

unde  $\tau$  reiese din diagrama dată în figura 6.2.

În cazul cînd linia are mai mulți consumatori, atunci pierderile de energie se calculează cu relația:

$$\Delta W = \sum_1^n r_k \left( \frac{S_{kmax}}{U_k} \right)^2 \tau_k \approx \sum_1^n r_k \left( \frac{S_{kmax}}{U_n^2} \right)^2 \tau_k, \quad (6.18)$$

în care  $S_{kmax}$  reprezintă puterile maxime aparente pe fiecare tronson de linie;

$r_k$  — rezistențele fiecărui tronson de linie;

$\tau_k$  — timpii pierderilor corespunzătoare puterilor  $S_{kmax}^2$ .

În calculele aproximative, se poate determina o valoare medie a factorului de putere și o durată medie de utilizare  $T_{med}$  a puterilor active maxime a celor  $n$  consumatori, pe baza relațiilor:

$$\cos \varphi_{med} = \frac{\sum_1^n P_k}{\sum_1^n S_k}; \quad T_{med} = \frac{\sum_1^n P_{kmax} T_k}{\sum_1^n P_{kmax}}. \quad (6.19)$$

Cu aceste valori medii se determină o durată medie a pierderilor  $\tau_{med}$ , pentru toată rețeaua, cu ajutorul căreia se calculează apoi pierderile de energie  $\Delta W$ .

### 6.1.3. CALCULUL PIERDERILOR DE PUTERE ȘI DE ENERGIE ÎN TRANSFORMATOARE

Pierderile de putere activă în transformatoare sînt de două categorii, și anume:

- pierderea de putere independentă de sarcina transformatorului;
- pierderea de putere care depinde de sarcina transformatorului.

Prima categorie se referă la pierderile la funcționarea în gol a transformatoarelor  $\Delta P_0$ , egale aproximativ cu pierderile în fier  $\Delta P_{Fe}$ , iar cea de-a doua categorie se referă la pierderile la funcționarea în scurtcircuit a acestora  $\Delta P_k$ , egale aproximativ cu pierderile în cupru  $\Delta P_{Cu}$ . Acestea din urmă sînt proporționale cu pătratul curentului.

Ținînd seama că în cataloagele de transformatoare sînt indicate pierderile în scurtcircuit pentru sarcina nominală a transformatorului  $(\Delta P_k)_n$  rezultă că valoarea lor, la o încărcare oarecare, se poate determina cu relația:

$$\Delta P_k = (\Delta P_k)_n \cdot \left( \frac{I}{I_n} \right)^2 = (\Delta P_k)_n \cdot \left( \frac{S}{S_n} \right)^2, \quad (6.20)$$

în care indicele  $n$  arată că pierderile se referă la sarcina nominală.

Pierderile totale de putere activă într-un transformator sînt exprimate de suma pierderilor indicate mai sus, adică:

$$\Delta P_T = \Delta P_0 + \alpha^2 (\Delta P_k)_n, \quad (6.21)$$

unde  $\alpha = \frac{S}{S_n} = \frac{I}{I_n}$  reprezintă coeficientul de încărcare al transformatorului.

Cînd sarcina este distribuită pe mai multe transformatoare conectate în paralel, pierderile totale de putere sînt:

$$(\Delta P_T)_N = N \Delta P_0 + \alpha^2 \frac{(\Delta P_k)_n}{N}, \quad (6.22)$$

unde coeficientul de încărcare corespunde curentului total, adică:

$$\alpha = \frac{I_{tot}}{I_n} = \frac{S_{tot}}{S_n}.$$

Pierderile de putere reactivă în transformatoarele electrice se calculează cu relația:

$$\Delta Q_T \approx \frac{i_0}{100} S_n + \frac{u_k}{100} \alpha^2 S_n, \quad (6.23)$$

în care:  $i_0$  reprezintă curentul de mers în gol al transformatorului, în %, considerat aproximativ egal cu curentul de magnetizare;

$u_k$  — tensiunea de scurtcircuit a transformatorului, în %;

$S_n$  — puterea nominală a transformatorului.

Primul termen din relația (6.23) reprezintă pierderile de putere reactivă în fierul transformatorului, iar cel de-al doilea termen, pierderile în scurt-circuit ale acestuia.

În cazul când nu se cunosc caracteristicile transformatoarelor, se poate considera că pierderile de putere activă reprezintă aproximativ 2% din puterea lor la bornele înfășurării secundare, iar pierderile de putere reactivă — 10%, adică:

$$\Delta P_T = 0,02 S_2; \Delta Q_T = 0,1 S_2. \quad (6.24)$$

Pierderile de energie într-un transformator în intervalul de timp  $t$ , pe baza celor arătate la paragraful 6.1.1 se determină cu relația:

$$\Delta W_T = \Delta P_0 t + \alpha_{max}^2 (\Delta P_k)_n \tau, \quad (6.25)$$

unde coeficientul de încărcare  $\alpha_{max}$  corespunde încărcării maxime a transformatorului, în funcție de care a fost considerat timpul pierderilor maxime  $\tau$ .

Dacă se ține seama de curentul mediu pătratic, definit analog celor arătate la paragraful 6.1.1 pierderile de energie într-un transformator, corespunzător ecuației (6.25) se pot exprima sub forma:

$$\Delta W_T = \Delta P_0 t + \alpha_{mp}^2 \frac{t}{\tau} (\Delta P_k)_n \tau = [\Delta P_0 + \alpha_{mp}^2 (\Delta P_k)_n] t, \quad (6.26)$$

unde coeficientul mediu pătratic de încărcare este determinat din (6.7) și are valoarea:

$$\alpha_{mp} = \alpha_{max} \sqrt{\frac{\tau}{t}}. \quad (6.27)$$

Evident că relațiile (6.25) și (6.26) se pot generaliza pentru cazul mai multor transformatoare conectate în paralel, fiind de forma:

$$\Delta W_T = N_1 \Delta P_0 t_1 + (\alpha_{max}^2)_{N_1} \frac{(\Delta P_k)_{n_1}}{N_1} \tau_1 + N_2 \Delta P_0 t_2 + \quad (6.28)$$

$$+ (\alpha_{max}^2)_{N_2} \frac{(\Delta P_k)_{n_2}}{N_2} \tau_2 + \dots + N_n \Delta P_0 t_n + (\alpha_{max}^2)_{N_n} \frac{(\Delta P_k)_{n_n}}{N_n} \tau_n$$

și

$$\Delta W_T = \left[ N_1 \Delta P_0 + (\alpha_{mp}^2)_{N_1} \frac{(\Delta P_k)_{n_1}}{N_1} \right] t_1 + \left[ N_2 \Delta P_0 + (\alpha_{mp}^2)_{N_2} \frac{(\Delta P_k)_{n_2}}{N_2} \right] t_2 + \quad (6.29)$$

$$+ \dots + \left[ N_n \Delta P_0 + (\alpha_{mp}^2)_{N_n} \frac{(\Delta P_k)_{n_n}}{N_n} \right] t_n,$$

în care:  $N_n$  este numărul de transformatoare identice care funcționează  $t_n$  [ore/an];

$(\alpha_{max})_{N_n}$  — coeficientul maxim de încărcare, corespunzător grupului  $N_n$  de transformatoare identice;

$(\alpha_{mp})_{N_n}$  — coeficientul mediu pătratic de încărcare corespunzător grupului  $N_n$  de transformatoare identice.



#### 6.1.4. CALCULUL PIERDERILOR DE PUTERE ÎNTR-O REȚEA COMPLEXĂ

Rețelele electrice conțin foarte multe noduri și laturi, ceea ce îngreunează calculul pierderilor de putere și de energie. În acest caz, pierderile totale de putere activă și reactivă se vor exprima în funcție de puterile active și reactive din nodurile independente (nodurile consumatoare și generatoare în afara nodului de echilibru), iar în cazul folosirii unor ipoteze simplificatoare, numai în funcție de puterile active din nodurile generatoare.

În cele ce urmează, se va utiliza prima cale evaluând așa-numiții *coeficienți de pierderi*, pornind de la constatarea evidentă că suma puterilor active și reactive produse de surse și cerute de consumatori este egală cu pierderea totală de putere activă și reactivă din rețea. Considerând o rețea electrică cu  $n$  noduri independente și cu nodul  $o$ , ca nod de echilibru, afirmația de mai sus se exprimă sintetic prin relația matriceală:

$$\underline{\Delta S} = [\underline{U}_n]_t [\underline{I}_n^*] + U_o I_o^*, \quad (6.30)$$

în care:  $\underline{\Delta S} = \Delta P + j \Delta Q$  reprezintă pierderea totală de putere activă și reactivă din rețea;

|                       |   |   |
|-----------------------|---|---|
| $[\underline{U}_n]_t$ | — | matricea coloană transpusă a tensiunilor nodurilor independente;  |
| $[\underline{I}_n^*]$ | — | matricea coloană a curenților conjugați injectați la nodurile independente (curenții absorbiți de nodurile consumatoare se consideră curenți injectați negativi); |
| $U_o, I_o^*$          | — | tensiunea, respectiv curentul nodului de echilibru.   |

Dacă în relația (6.30) se ține seama de relația (5.162) se obține:

$$\underline{\Delta S} = [\underline{I}_n]_t \cdot [\underline{Z}_{nn}] [\underline{I}_n^*] + [\underline{U}_o]_t [\underline{I}_n^*] + U_o I_o^*, \quad (6.31)$$

în care suma ultimilor doi termeni este nulă. Pentru a arăta acest lucru este suficient să se scrie că:

$$\begin{aligned} [\underline{U}_o]_t \cdot [\underline{I}_n^*] + U_o I_o^* &= \begin{array}{cccc} 1 & 2 & 3 & n & o \end{array} \\ &= \begin{array}{|c|c|c|c|c|c|} \hline U_o & U_o & U_o & \dots & U_o & U_o \\ \hline \end{array} \cdot \begin{array}{|c|} \hline I_1^* \\ I_2^* \\ \vdots \\ I_n^* \\ I_o^* \\ \hline \end{array} = \\ &= U_o (I_1^* + I_2^* + \dots + I_n^* + I_o^*) \equiv 0 \end{aligned}$$

deoarece, conform primei teoreme a lui Kirchhoff:

$$I_1^* + I_2^* + \dots + I_n^* + I_o^* \equiv 0.$$

Deci pierderile totale de putere activă și reactivă se exprimă prin relația:

$$\underline{\Delta S} = [\underline{I}_n]_t [\underline{Z}_{nn}] [\underline{I}_n^*], \quad (6.32)$$

care poate fi scrisă dezvoltat sub forma:

$$\begin{aligned}\underline{\Delta S} = \Delta P + j\Delta Q &= [I_1 \ I_2 \ \dots \ I_n] \begin{Bmatrix} Z_{11} & Z_{12} & \dots & Z_{1n} \\ Z_{21} & Z_{22} & & Z_{2n} \\ \vdots & \vdots & & \vdots \\ Z_{n1} & Z_{n2} & & Z_{nn} \end{Bmatrix} \begin{Bmatrix} I_1^* \\ I_2^* \\ \vdots \\ I_n^* \end{Bmatrix} = \\ &= Z_{11}I_1^2 + Z_{21}I_2I_1^* + \dots + Z_{n1}I_nI_1^* + Z_{12}I_1I_2^* + Z_{22}I_2^2 + \dots + Z_{n2}I_nI_2^* + \dots \\ &\quad \dots + Z_{1n}I_1I_n^* + Z_{2n}I_2I_n^* + \dots + Z_{nn}I_n^2. \quad (6.33)\end{aligned}$$

Ținând seama că:

$$Z_{ij} = Z_{ji}; \quad I_iI_j + I_iI_j^* = 2 \operatorname{Re} (I_iI_j^*) = 2 I_iI_j \cos \delta_{ij},$$

unde  $\delta_{ij}$  reprezintă unghiul relativ între fazorii de curent  $I_i$  și  $I_j$ , relația (6.33) devine:

$$\begin{aligned}\Delta P + j\Delta Q &= Z_{11}I_1^2 + Z_{22}I_2^2 + \dots + Z_{nn}I_n^2 + 2 Z_{12}I_1I_2 \cos \delta_{12} + \\ &\quad + 2 Z_{1n}I_1I_n \cos \delta_{1n} + 2 Z_{2n}I_2I_n \cos \delta_{2n} + \dots \quad (6.34)\end{aligned}$$

În relația (6.34) se separă părțile reale și imaginare și se obțin pierderile totale de putere activă și reactivă

$$\begin{aligned}\Delta P &= R_{11}I_1^2 + R_{22}I_2^2 + \dots + R_{nn}I_n^2 + 2 R_{12}I_1I_2 \cos \delta_{12} + \dots + \\ &\quad + 2 R_{1n}I_1I_n \cos \delta_{1n} + 2 R_{2n}I_2I_n \cos \delta_{2n} + \dots \quad (6.35)\end{aligned}$$

$$\begin{aligned}\Delta Q &= X_{11}I_1^2 + X_{22}I_2^2 + \dots + X_{nn}I_n^2 + 2 X_{12}I_1I_2 \cos \delta_{12} + \dots + \\ &\quad + 2 X_{1n}I_1I_n \cos \delta_{1n} + 2 X_{2n}I_2I_n \cos \delta_{2n} + \dots \quad (6.36)\end{aligned}$$

În nodurile rețelei se cunosc însă, în general, puterile și nu curenții. Puterile la toate nodurile independente ale rețelei se pot exprima printr-un vector al puterilor, rezultat din înmulțirea matricei tensiunilor nodale (matrice diagonală) cu matricea coloană a curenților nodali conjugați, adică:

$$\begin{Bmatrix} S_1 = U_1 I_1^* \\ S_2 = U_2 I_2^* \\ \vdots \\ S_n = U_n I_n^* \end{Bmatrix} = \begin{Bmatrix} U_1 & & & \\ & U_2 & & \\ & & \ddots & \\ & & & U_n \end{Bmatrix} \cdot \begin{Bmatrix} I_1^* \\ I_2^* \\ \vdots \\ I_n^* \end{Bmatrix} \quad (6.37)$$

sau concentrat:

$$[S_n] = [U_{nd}] [I_n^*], \quad (6.38)$$

de unde reiese că:

$$[I_n^*] = [U_{nd}]^{-1} \cdot [S_n] \text{ și } [I_n]_t = [S_n^*]_t \cdot [U_{nd}^*]^{-1}, \quad (6.39)$$

în care prin  $U_{nd}$  s-au notat tensiunile nodale.

Înlocuind relațiile (6.39) în relația (6.32) se obține relația pierderilor de putere:

$$[\underline{\Delta S}] = [S_n^*]_t [U_{nd}^*]^{-1} [Z_{nn}] \cdot [U_{nd}]^{-1} [S_n] \quad (6.40)$$

sau sub formă dezvoltată:

$$\begin{aligned} \underline{\Delta S} &= \\ &= [\underline{S}_1^* \underline{S}_2^* \dots \underline{S}_n^*] \begin{bmatrix} \frac{1}{\underline{U}_1^*} & & & \\ & \frac{1}{\underline{U}_2^*} & & \\ & & \ddots & \\ & & & \frac{1}{\underline{U}_n^*} \end{bmatrix} \begin{bmatrix} \underline{Z}_{11} & \underline{Z}_{12} & \dots & \underline{Z}_{1n} \\ \underline{Z}_{21} & \underline{Z}_{22} & \dots & \underline{Z}_{2n} \\ \vdots & \vdots & & \vdots \\ \underline{Z}_{n1} & \underline{Z}_{n2} & \dots & \underline{Z}_{nn} \end{bmatrix} \begin{bmatrix} \frac{1}{\underline{U}_1} & & & \\ & \frac{1}{\underline{U}_2} & & \\ & & \ddots & \\ & & & \frac{1}{\underline{U}_n} \end{bmatrix} \begin{bmatrix} \underline{S}_1 \\ \underline{S}_2 \\ \vdots \\ \underline{S}_n \end{bmatrix} \end{aligned} \quad (6.41)$$

Efectuînd înmulțirea matricelor rezultă:

$$\begin{aligned} \underline{\Delta S} &= \underline{Z}_{11} \frac{\underline{S}_1^2}{\underline{U}_1^2} + \underline{Z}_{22} \frac{\underline{S}_2^2}{\underline{U}_2^2} + \dots + \underline{Z}_{nn} \frac{\underline{S}_n^2}{\underline{U}_n^2} + \\ &+ \underline{Z}_{12} \frac{\underline{S}_1 \underline{S}_2^*}{\underline{U}_1 \underline{U}_2^*} + \underline{Z}_{21} \frac{\underline{S}_2 \underline{S}_1^*}{\underline{U}_2 \underline{U}_1^*} + \dots + \underline{Z}_{1n} \frac{\underline{S}_1 \underline{S}_n^*}{\underline{U}_1 \underline{U}_n^*} + \underline{Z}_{n1} \frac{\underline{S}_n \underline{S}_1^*}{\underline{U}_n \underline{U}_1^*} + \underline{Z}_{2n} \frac{\underline{S}_2 \underline{S}_n^*}{\underline{U}_2 \underline{U}_n^*} + \\ &+ \underline{Z}_{n2} \frac{\underline{S}_n \underline{S}_2^*}{\underline{U}_n \underline{U}_2^*}. \end{aligned} \quad (6.42)$$

Suma produselor complex conjugate se calculează după cum urmează:

$$\begin{aligned} \frac{\underline{S}_i \underline{S}_j^*}{\underline{U}_i \underline{U}_j^*} + \frac{\underline{S}_j^* \underline{S}_i}{\underline{U}_j^* \underline{U}_i} &= 2 \operatorname{Re} \frac{\underline{S}_i \underline{S}_j^*}{\underline{U}_i \underline{U}_j^*} = 2 \operatorname{Re} \frac{(P_i + j Q_i) (P_j - j Q_j)}{\underline{U}_i \underline{U}_j} (\cos \theta_{ij} - j \sin \theta_{ij}) = \\ &= 2 \frac{(P_i P_j + Q_i Q_j) \cos \theta_{ij} - (P_i Q_j - P_j Q_i) \sin \theta_{ij}}{\underline{U}_i \underline{U}_j}, \end{aligned} \quad (6.43)$$

unde  $\theta_{ij}$  reprezintă unghiul de decalaj între fazorii tensiunilor  $\underline{U}_i$  și  $\underline{U}_j$ .

Ținînd seama de relația (6.43) și separînd părțile reale și imaginare din relația (6.42) se obține:

$$\begin{aligned} \Delta P &= R_{11} \frac{P_1^2 + Q_1^2}{\underline{U}_1^2} + R_{22} \frac{P_2^2 + Q_2^2}{\underline{U}_2^2} + 2 \frac{P_1 P_2 + Q_1 Q_2}{\underline{U}_1 \underline{U}_2} R_{12} \cos \theta_{12} - \\ &- 2 \frac{P_1 Q_2 - Q_1 P_2}{\underline{U}_1 \underline{U}_2} R_{12} \sin \theta_{12} + \dots + R_{nn} \frac{P_n^2 + Q_n^2}{\underline{U}_n^2} + \\ &+ 2 \frac{P_1 P_n + Q_1 Q_n}{\underline{U}_1 \underline{U}_n} R_{1n} \cos \theta_{1n} - 2 \frac{P_1 Q_n - Q_1 P_n}{\underline{U}_1 \underline{U}_n} R_{1n} \sin \theta_{1n} + \\ &+ 2 \frac{P_2 P_n + Q_2 Q_n}{\underline{U}_2 \underline{U}_n} R_{2n} \cos \theta_{2n} - 2 \frac{P_2 Q_n - Q_2 P_n}{\underline{U}_2 \underline{U}_n} R_{2n} \sin \theta_{2n} \end{aligned} \quad (6.44)$$

$$\begin{aligned}
\Delta Q = & X_{11} \frac{P_1^2 + Q_1^2}{U_1^2} + X_{22} \frac{P_2^2 + Q_2^2}{U_2^2} + 2 \frac{P_1 P_2 + Q_1 Q_2}{U_1 U_2} X_{12} \cos \theta_{12} - \\
& - 2 \frac{P_1 Q_2 - Q_1 P_2}{U_1 U_2} X_{12} \sin \theta_{12} + \dots + X_{nn} \frac{P_n^2 + Q_n^2}{U_n^2} + \\
& + 2 \frac{P_1 P_n + Q_1 Q_n}{U_1 U_n} X_{1n} \cos \theta_{1n} - 2 \frac{P_1 Q_n - Q_1 P_n}{U_1 U_n} X_{1n} \sin \theta_{1n} + \\
& + 2 \frac{P_2 P_n + Q_2 Q_n}{U_2 U_n} X_{2n} \cos \theta_{2n} - 2 \frac{P_2 Q_n - Q_2 P_n}{U_2 U_n} X_{2n} \sin \theta_{2n} \quad (6.45)
\end{aligned}$$

Forma de scriere a relațiilor se simplifică dacă se fac notațiile:

$$\begin{aligned}
B_{ii} &= \frac{R_{ii}}{U_i^2}; \quad B_{ij} = \frac{R_{ij}}{U_i U_j} \cos \theta_{ij}; \quad C_{ij} = \frac{R_{ij}}{U_i U_j} \sin \theta_{ij}; \\
B'_{ii} &= \frac{X_{ii}}{U_i^2}; \quad B'_{ij} = \frac{X_{ij}}{U_i U_j} \cos \theta_{ij}; \quad C'_{ij} = \frac{X_{ij}}{U_i U_j} \sin \theta_{ij}. \quad (6.46)
\end{aligned}$$

Coefficienții (6.46) se numesc *coeficienți de pierderi*, cu ajutorul cărora se obțin, din relațiile (6.44) și (6.45), următoarele formule generale ale pierderilor de putere activă și reactivă:

$$\begin{aligned}
\Delta P = & \sum_1^n B_{ii} (P_i^2 + Q_i^2) + 2 \sum_{i=1}^{n-1} \sum_{j=2}^n B_{ij} (P_i P_j + Q_i Q_j) - \\
& - 2 \sum_{i=1}^{n-1} \sum_{j=2}^n C_{ij} (P_i Q_j - Q_i P_j); \quad (6.47)
\end{aligned}$$

$$\begin{aligned}
\Delta Q = & \sum_1^n B'_{ii} (P_i^2 + Q_i^2) + 2 \sum_{i=1}^{n-1} \sum_{j=2}^n B'_{ij} (P_i P_j + Q_i Q_j) - \\
& - 2 \sum_{i=1}^{n-1} \sum_{j=2}^n C'_{ij} (P_i Q_j - Q_i P_j). \quad (6.48)
\end{aligned}$$

Dacă unghiurile dintre fazorii tensiunilor nodale sînt foarte mici, atunci se obține:

$$B_{ij} \approx \frac{R_{ij}}{U_i U_j}; \quad C_{ij} = 0; \quad B'_{ij} \approx \frac{X_{ij}}{U_i U_j}; \quad C'_{ij} = 0 \quad (6.49)$$

și:

$$\Delta P = \sum_{i=1}^n \sum_{j=1}^n B_{ij} (P_i P_j + Q_i Q_j); \quad (6.50)$$

$$\Delta Q = \sum_{i=1}^n \sum_{j=1}^n B'_{ij} (P_i P_j + Q_i Q_j). \quad (6.51)$$

Aplicarea acestor relații se va face pe rețeaua din exemplul 6.1.

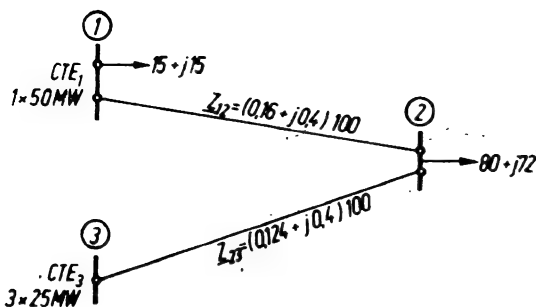


Fig. 6.3. Rețea electrică cu trei noduri corespunzătoare aplicației 6.1.

### Aplicația 6.1

Se consideră sistemul electroenergetic din figura 6.3.

Tensiunea nominală este 110 kV. Linia 1—2 are secțiunea de 185 mm<sup>2</sup> și lungimea de 100 km.

Linia 2—3 are secțiunea de 240 mm<sup>2</sup> și lungimea de 100 km. Sarcina consumatorului din nodul 2 este în cazul cos  $\varphi$  necompensat de 80 MW

și 72 Mvar, iar în cazul compensat cos  $\varphi = 0,95$  de 80 MW și 26 Mvar. În nodurile 1 și 3 sînt conectate centrale termoelectrice cu grupuri de puteri nominale reprezentate pe figură. Să se calculeze pierderile totale de putere activă și reactivă pentru cos  $\varphi$  necompensat și pentru cos  $\varphi$  compensat.

### Rezolvare

Se consideră nodul 3 ca nod de echilibru și se calculează matricea  $[Z_{nn}]$  a impedanțelor nodale, fie prin inversarea matricei  $[Y_{nn}]$  a admitanțelor nodale, fie prin metoda injectării curentului unitar.

În primul caz, se scrie că:

$$[Y_{nn}] = \begin{array}{c|c} \begin{array}{c} 1 \\ 2 \end{array} & \begin{array}{c} 1 \quad 2 \end{array} \\ \hline \begin{array}{c} Y_{11} \quad Y_{12} \\ Y_{21} \quad Y_{22} \end{array} & \begin{array}{c} \begin{array}{c} 8,62 - j 21,55 \\ -(8,62 - j 21,55) \end{array} \\ \begin{array}{c} -(8,62 - j 21,55) \\ \begin{array}{c} 8,62 - j 21,55 + \\ + 7,07 - j 22,8 \end{array} \end{array} \end{array} \cdot 10^{-3},$$

în care s-a ținut seama că:

$$\begin{aligned} Y_{11} &= y_{12}; \quad Y_{12} = -y_{12}; \quad Y_{21} = -y_{12}; \quad Y_{22} = y_{21} + y_{23}; \\ y_{12} &= \frac{1}{16 + j 40} = (8,62 - j 21,55)10^{-3}; \quad y_{23} = \frac{1}{12,4 + j 40} = \\ &= (7,07 - j 22,8)10^{-3}. \end{aligned}$$

Rezolvînd determinantul  $Y_{nn}$  se obține:

$$\begin{aligned} \text{Det. } [Y_{nn}] &= (8,62 - j 21,55) (15,69 - j 44,35) - (8,62 - j 21,55)^2 = \\ &= - (430,39 + j 348,9). \end{aligned}$$

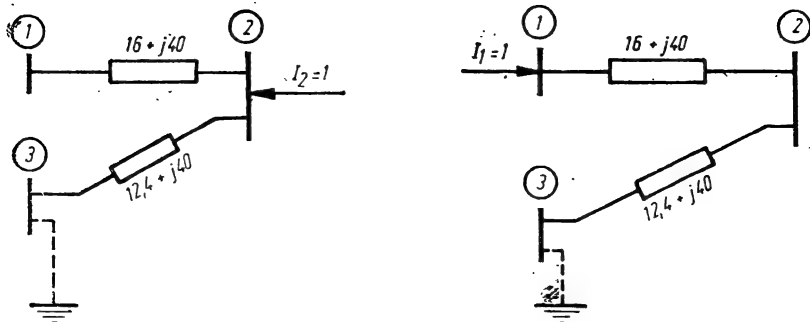


Fig. 6.4. Scheme pentru determinarea matricei  $[Z_{nn}]$  cu ajutorul curentului unitar de injecție, corespunzătoare aplicației 6.1.

Matricea  $[Z_{nn}]$  se obține scriind că:

$$\begin{aligned}
 [Z_{nn}] &= \begin{array}{c} 1 \\ 2 \end{array} \begin{array}{|c|c|} \hline R_{11} + jX_{11} & R_{12} + jX_{12} \\ \hline R_{21} + jX_{21} & R_{22} + jX_{22} \\ \hline \end{array} = \\
 &= \frac{1}{-(430,39 + j 348,9)} \begin{array}{|c|c|} \hline 15,69 - j 44,3 & 8,62 - j 21,55 \\ \hline 8,62 - j 21,55 & 8,62 - j 21,55 \\ \hline \end{array} = \\
 &= \begin{array}{|c|c|} \hline 28,4 + j 80 & 12,4 + j 39,99 \\ \hline 12,4 + j 39,99 & 12,4 + j 39,99 \\ \hline \end{array} .
 \end{aligned}$$

În cel de-al doilea caz, dacă se injectează un curent unitar, succesiv în nodurile 1 și 2 din figura 6.4, se obține:

$Z_{11} = 28,4 + j 80$  — egală numeric cu diferența de potențial (căderea de tensiune) dintre nodul 1 și nodul de echilibru, când se injectează curentul unitar la nodul 1;

$Z_{12} = 12,4 + j 40$  — egală numeric cu diferența de potențial (căderea de tensiune) dintre nodul 1 și nodul de echilibru, când se injectează curentul unitar la nodul 2;

$Z_{21} = 12,4 + j 40$  — egală numeric cu diferența de potențial (căderea de tensiune) dintre nodul 2 și nodul de echilibru, când se injectează curentul unitar la nodul 1;

$Z_{22} = 12,4 + j 40$  — egală numeric cu diferența de potențial (căderea de tensiune) dintre nodul 2 și nodul de echilibru, când se injectează curentul unitar la nodul 2.

Coefficienții de pierderi se vor calcula cu relațiile (6.46), considerînd tensiunile  $U_1$  și  $U_2$  egale între ele și egale cu 110 kV. Rezultă:

$$B_{11} = \frac{28,4}{110^2} = 2,347 \cdot 10^{-3}; \quad B_{12} = \frac{12,4}{110^2} = 1,024 \cdot 10^{-3};$$

$$B_{22} = \frac{12,4}{110^2} = 1,024 \cdot 10^{-3};$$

$$B'_{11} = \frac{80}{110^2} = 6,611 \cdot 10^{-3}; \quad B'_{12} = \frac{39,99}{110^2} = 3,305 \cdot 10^{-3};$$

$$B'_{22} = \frac{39,99}{110^2} = 3,305 \cdot 10^{-3}$$

Pentru calculul pierderilor se aplică relațiile (6.47) și (6.48) obținîndu-se:  
— *pentru cazul în care se consideră  $\cos\varphi$  necompensat:*

$$\begin{aligned} \Delta P &= B_{11}(P_1^2 + Q_1^2) + 2 B_{12}(P_1 P_2 + Q_1 Q_2) + B_{22}(P_2^2 + Q_2^2) = \\ &= 2,347 \cdot 10^{-3} [(50 - 15)^2 + (40 - 15)^2] + 2 \cdot 1,024 \cdot 10^{-3} [(-80) \cdot (50 - 15) + \\ &\quad + (-72) (40 - 15)] + 1,024 \cdot 10^{-3} [(-80)^2 + (-72)^2] = 6,714 \text{ MW}; \end{aligned}$$

$$\begin{aligned} \Delta Q &= B'_{11}(P_1^2 + Q_1^2) + 2 B'_{12}(P_1 P_2 + Q_1 Q_2) + B'_{22}(P_2^2 + Q_2^2) = \\ &= 6,611 \cdot 10^{-3} [(50 - 15)^2 + (40 - 15)^2] + 2 \cdot 3,305 \cdot 10^{-3} [(-80) (50 - 15) + \\ &\quad + (-72) (40 - 15)] + 3,305 \cdot 10^{-3} [(-80)^2 + (-72)^2] = 20,109 \text{ Mvar}; \end{aligned}$$

— *pentru cazul în care se consideră  $\cos\varphi$  compensat:*

$$\begin{aligned} \Delta P &= 2,347 \cdot 10^{-3} [(50 - 15)^2 + (40 - 15)^2] + 2 \cdot 1,024 \cdot 10^{-3} \cdot \\ &[(-80) (50 - 15) + (-26) (40 - 15)] + 1,024 \cdot 10^{-3} [(-80)^2 + (-26)^2] = \\ &= 4,421 \text{ MW}. \end{aligned}$$

$$\begin{aligned} \Delta Q &= 6,611 \cdot 10^{-3} [(50 - 15)^2 + (40 - 14)^2] + 2 \cdot 3,305 \cdot 10^{-3} \cdot \\ &[(-80) (50 - 15) + (-26) (40 - 15)] + 3,305 \cdot 10^{-3} [(80)^2 + (-26)^2] = \\ &= 12,812 \text{ Mvar}. \end{aligned}$$

## 6.2. REDUCEREA PIERDERILOR DE ENERGIE ÎN REȚELE ȘI SISTEME ELECTRICE

Reducerea pierderilor de energie în rețele ridică foarte mult eficiența economică a sistemelor electroenergetice și se asigură atît prin *măsurî tehnologice*, care privesc proiectarea și construcția instalațiilor, cît și prin *măsurî de exploatare*.

## 6.2.1. MĂSURI TEHNOLOGICE DE REDUCERE A PIERDERILOR DE ENERGIE ÎN REȚELELE ȘI SISTEMLILE ELECTRICE

În cele mai multe cazuri, măsurile tehnologice sau constructive au un rol mai important decât cele de exploatare și trebuie aplicate încă din faza de proiectare a instalațiilor. Ele implică însă investiții suplimentare, astfel încât aplicarea lor trebuie totdeauna bine justificată. Dintre aceste măsuri se amintesc următoarele: *micșorarea rezistențelor rețelelor electrice, ridicarea nivelului de tensiune, trecerea la tensiuni nominale de funcționare mai ridicate și compensarea puterii reactive, legată de îmbunătățirea factorului de putere în rețele și de optimizarea circulației acesteia.* Asupra acestei ultime măsuri se va insista în mod deosebit.

**6.2.1.1. Micșorarea rezistențelor rețelelor electrice.** Micșorarea rezistențelor rețelelor electrice se poate realiza prin întărirea lor, adică prin construirea de linii noi și montarea de transformatoare suplimentare, pentru transportul și distribuția energiei și prin înlocuirea conductoarelor de secțiuni mai mici, cu altele de secțiuni mai mari. Mărirea secțiunii este justificată numai dacă *densitatea efectivă* a curentului depășește *densitatea economică* și se realizează fie prin înlocuirea conductoarelor uzate sau a celor necorespunzătoare, care cresc pierderile, fie prin dublarea unor circuite, în cazul liniilor de înaltă tensiune.

Pentru evitarea unor astfel de lucrări care necesită investiții, este deosebit de importantă problema alegerii corecte a secțiunilor conductoarelor la proiectarea liniilor, care să țină seama totdeauna de perspectiva dezvoltării consumatorilor și a sistemului electroenergetic pe o perioadă de 5÷10 ani. Alegerea corectă a anului de calcul a secțiunii este tot atât de importantă, ca și alegerea densității economice de curent. Dacă anul de calcul este prea apropiat, depășirea densității economice de curent este foarte probabilă, iar dacă anul de calcul este prea îndepărtat, se vor face investiții suplimentare nejustificate pentru mai mulți ani. Însăși necesitatea schimbării secțiunilor conductoarelor cu unele mai mari, reprezintă o dovadă a alegerii incorecte a densității economice de curent, dacă montarea unui al doilea circuit paralel nu este economic justificată.

Instalarea transformatoarelor noi pentru întărirea rețelelor nu este justificată numai de reducerea pierderilor, ci și de crearea unei rezerve, în cazul deconectării forțate a unora din cele existente sau pentru descărcarea acestora, când sarcina depășește puterea lor nominală. Încărcarea transformatoarelor trebuie să fie cea optimă, adică să corespundă unui regim de funcționare cu pierderi minime.

**6.2.1.2. Creșterea nivelului de tensiuni în rețelele electrice.** Se poate demonstra că, în medie, pentru fiecare procent de ridicare a nivelului tensiunii de funcționare a instalațiilor, pierderile de putere, care sînt proporționale cu pătratul curentului, se reduc cu circa 2% din valoarea lor absolută. În schimb pierderile de putere în fierul transformatoarelor, care nu depind de sarcina acestora, ci numai de tensiunea de alimentare, cresc cu mai mult de 2% din valoarea lor absolută. Totodată, cresc \*) puterile active și reactive vehiculate în rețele, ceea ce conduce de asemenea la o mărire oarecare a pier-

---

\*) Această creștere a puterilor active și reactive pe linii cu creșterea nivelului de tensiune, se pune în evidență cu ajutorul caracteristicilor statice ale consumatorilor.



derilor. Cu toate acestea, pierderile în ansamblu scad simțitor, dacă nivelul tensiunilor crește.

Pentru a pune în evidență acest fapt și a evalua aproximativ acest efect, se va determina ordinul de mărime al variației pierderilor totale de putere activă, în raport cu tensiunea medie de alimentare.

Referindu-ne la expresia pierderilor în cuprul transformatoarelor, se poate scrie că:

$$\Delta P_{cu} = \sum_1^n \frac{P_k^2 + Q_k^2}{U_k^2} r_k.$$

Variația lor în raport cu o tensiune medie,  $U_{med}$  este:

$$\frac{\partial (\Delta P_{cu})}{\partial U_{med}} = \sum_1^n r_k \left[ \frac{2P_k}{U_k^2} \cdot \frac{\partial P_k}{\partial U_{med}} + \frac{2Q_k}{U_k^2} \cdot \frac{\partial Q_k}{\partial U_{med}} - 2 \frac{P_k^2 + Q_k^2}{U_k^3} \cdot \frac{\partial U_k}{\partial U_{med}} \right]. \quad (6.52)$$

Se admite în mod convențional, că pentru o variație cu 1% a tensiunii medii, puterile active variază cu 1%, cele reactive cu 3% iar variația tensiunii  $U_k$  este aceeași cu variația tensiunii  $U_{med}$ , adică:

$$\frac{\partial P_k}{\partial U_{med}} \approx \frac{1}{100} \cdot \frac{P_k}{U_{med}}; \quad \frac{\partial Q_k}{\partial U_{med}} \approx \frac{3}{100} \cdot \frac{Q_k}{U_{med}}; \quad \frac{\partial U_k}{\partial U_{med}} \approx 1,00 \quad (6.53)$$

Ținând seama de aceste variații rezultă:

$$\frac{\partial (\Delta P_{cu})}{\partial U_{med}} \approx -2 \frac{\Delta P_{cu}}{U_{med}} + \sum_1^n \frac{2}{U_{med}} r_k \left( \frac{1}{100} \cdot \frac{P_k^2}{U_{med}^2} + \frac{3}{100} \cdot \frac{Q_k^2}{U_{med}^2} \right) \quad (6.54)$$

Dacă se consideră raportul mediu dintre puterile reactivă și activă  $Q_k/P_k = 0,5$ , pierderile în cuprul transformatoarelor sînt definite de relația:

$$\Delta P_{cu} = 1,25 \sum_1^n r_k \frac{P_k^2}{U_{med}^2}, \quad (6.55)$$

iar variația acestor pierderi, exprimată de ecuația (6.54), devine:

$$\frac{\partial (\Delta P_{cu})}{\partial U_{med}} = -2 \frac{\Delta P_{cu}}{U_{med}} + \frac{1}{U_{med}} \cdot \frac{0,035}{1,25} \Delta P_{cu} = -1,972 \frac{\Delta P_{cu}}{U_{med}}. \quad (6.56)$$

Această relație, care poate fi aplicată și pentru liniile electrice, arată că pierderile de putere scad cu aproximativ 2% din valoarea lor absolută, cînd nivelul tensiunii crește cu 1%. Dacă raportul puterilor scade, atunci pierderile de putere se reduc și mai mult.

În transformatoare însă, pierderile de putere în fierul acestora crește. De obicei, pentru transformatoarele montate în rețelele electrice, aceste pierderi reprezintă aproximativ 15% din pierderile totale. Dacă se consideră că variația lor se produce cu puterea a treia a tensiunii din rețea, atunci se poate scrie că:

$$\begin{aligned} \left[ \frac{\partial (\Delta P_T)}{\partial U_{med}} \right]_T &= \frac{\partial (\Delta P_{cu} + \Delta P_0)}{\partial U_{med}} = (-0,85 \cdot 1,972 + 3 \cdot 0,15) \frac{\Delta P}{U_{med}} = \\ &= -1,21 \frac{\Delta P}{U_{med}}, \end{aligned} \quad (6.57)$$

adică, la o creștere a tensiunii de alimentare cu 1 %, pierderile totale de putere activă în transformatoare se reduc cu aproximativ 1,2 % din valoarea lor absolută.

În cazul scăderii sistematice a nivelului de tensiune în rețea cu  $3 \div 5 \%$ , ridicarea tensiunii pînă la nivelul normal poate reduce pierderile în ansamblu cu  $4 \div 6 \%$  din valoarea lor absolută, ceea ce reprezintă un aport important al eficienței funcționării rețelelor electrice.

6.2.1.3. *Trecerea rețelelor electrice la tensiuni mai ridicate.* Această măsură este justificată din punct de vedere economic, dacă izolația rețelelor electrice respective permite creșterea tensiunii de  $1,5 \div 2$  ori față de tensiunea actuală de serviciu. Asemenea rețele, care permit o astfel de creștere a tensiunii, sînt rețelele subterane de joasă și de medie tensiune, cele aeriene de joasă tensiune, iar în unele cazuri, și cele de medie tensiune. Este deci posibilă trecerea rețelelor de joasă tensiune de 220 V la 380 V, între faze, cu cheltuieli mici. În unele cazuri însă, chiar tensiunea 380/220 V s-a dovedit a fi prea mică, înlocuirea ei fiind avantajoasă din punct de vedere economic cu o tensiune mai ridicată, pentru care sînt necesare secțiuni de conductoare mai mici.

Introducerea unor tensiuni mai înalte, impune însă rezolvarea unor probleme tehnice și o justificare economică pentru fiecare caz în parte. Este suficient să se amintească, că introducerea tensiunii 380/220 V în rețeaua urbană, presupune rebobinări sau schimbarea conexiunilor motoarelor electrice asincrone din triunghi în stea, ceea ce le micșorează gradul de siguranță datorită solicitării crescute a izolației. De asemenea, este necesară înlocuirea unor transformatoare de alimentare a consumatorilor, a contoarelor de energie electrică, a unor aparate electrocasnice etc. De aceea, trecerea la tensiuni superioare este economică, mai ales în cazul unor întreprinderi mari sau alimentării unor zone cu consumuri mari de energie.

Teoretic, este posibilă trecerea rețelelor subterane de medie tensiune de la 5 la 6 kV și de la 30 la 35 kV. Întrucît gabaritele liniilor electrice aeriene cu tensiuni nominale de la 6 la 15 kV sînt identice, se poate trece de la tensiunea nominală de 6 la cea de 10 sau chiar 15 kV, dacă înlocuirea izolatoarelor este justificată din punct de vedere economic.

Pentru rețelele de înaltă tensiune se poate trece la tensiuni superioare prin instalarea de autotransformatoare la începutul și sfîrșitul liniilor. Rațiunea economică a unor astfel de ridicări a tensiunii trebuie însă verificată pentru condițiile concrete ale regimului de transport de energie electrică.

6.2.1.4. *Compensarea puterii reactive. Îmbunătățirea factorului de putere.* Sarcina reactivă a unui sistem electroenergetic se compune din puterea de magnetizare cerută de echipamentul electric al consumatorilor și cea necesară pentru transportul și distribuția energiei electrice prin linii și transformatoare. În general, ea se poate aprecia, considerînd că sarcina inductivă a consumatorilor este de circa 0,75 kvar/kW, iar pierderile de putere reactivă în instalațiile de transport și de distribuție sînt de 0,25 kvar/kW. În aceste condiții, rezultă că, în medie, necesarul de putere reactivă în sistemele electroenergetice este de același ordin de mărime cu sarcina activă.

Pentru acoperirea acestui necesar de putere reactivă există în principal următoarele mijloace: *generatoarele electrice din centrale, surse speciale de*

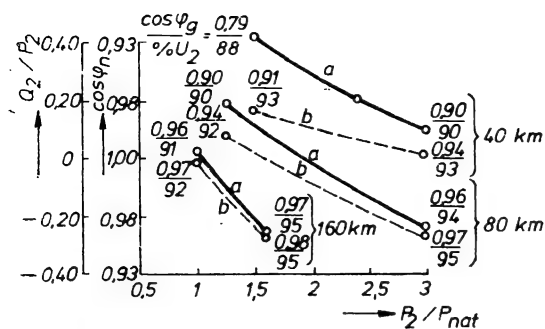


Fig. 6.5. Valorile optime ale puterilor reactive transportabile pe linii aeriene în funcție de puterea cerută la consumator pentru diferite încărcări ale acestora.

lungimii și a tensiunii de transport a liniilor, scade valoarea puterii reactive economic transportabile pe linii; în consecință, ponderea generatoarelor în balanța puterilor reactive trebuie redusă în favoarea celorlalte mijloace speciale de compensare.

Se menționează însă, că pentru funcționarea optimă a unui sistem electroenergetic, este necesar să se determine puterile reactive ce pot fi transmise economic pe liniile de înaltă tensiune, de la centralele mari spre zonele de consum. Diferența de putere reactivă va fi debitată local de alte surse. Cu titlu informativ, în figura 6.5 se dau valorile optime ale puterilor reactive transportabile pe liniile electrice aeriene, raportate la puterea activă  $P_2$  cerută de consumatori, pentru diferite stări de încărcare exprimate în fracțiuni din puterea naturală a liniei ( $P_2 = k P_{nat}$ ). Rezultatele sînt prezentate pentru anumite lungimi de linii existente *a* sau în fază de proiectare *b*, considerîndu-se transformatoare cu o reactanță de scurtcircuit medie de 10%. În aceeași figură sînt indicate și valorile factorilor de putere la generator, la sarcină maximă în regim normal și nivelul de tensiune la barele de joasă tensiune, corespunzător regimului optim de transport al puterii reactive, în procente din tensiunea de la capătul de alimentare al liniei.

Din interpretarea curbelor din figura 6.5, rezultă că odată cu creșterea lungimii și a puterii active transmise prin linii, scade puterea reactivă transmisibilă, crește factorul de putere al generatoarelor și scad căderile de tensiune în regim normal. Se constată, de exemplu că, la transportul unor puteri active egale cu  $1,5 P_{nat}$ , factorul de putere la generator crește la 0,97, iar tensiunea este 0,95  $U_2$ , pentru linii cu lungimi de ordinul a 160 km; în consecință, în acest caz, este economic să se transporte pe linie o putere reactivă redusă, deficitul urmînd a fi compensat prin surse locale la consumatori. Pentru sistemul energetic al țării noastre, de exemplu, este avantajos din punct de vedere al nivelului de tensiune, un factor de putere de 0,95÷0,96 la capătul dinspre centrale al liniilor de 220 kV și de 0,96÷0,99 la liniile de 400 kV.

putere reactivă (baterii de condensatoare și compensatoare sincrone) și liniile electrice.

### a. Generatoarele electrice

În sistemele electroenergetice mai slab dezvoltate, principala sursă de putere reactivă o constituie generatoarele centralelor electrice. Pentru sisteme electroenergetice mai dezvoltate însă, cu creșterea

## b — Baterii de condensatoare și compensatoare sincrone

În sistemele electroenergetice puternice, ponderea generatoarelor în balanța puterilor reactive scade\* în favoarea surselor speciale de putere reactivă — bateriile de condensatoare și compensatoarele sincrone — ca urmare a reducerii puterii reactive economic transportabile prin linii.

În cele ce urmează nu se face analiza funcționării tehnice a acestor surse, care se va efectua la capitolul de reglare a tensiunii, ci mai ales eficiența utilizării și criteriul de alegere a acestora.

Eficiența utilizării acestor surse se stabilește pe baza unui *indicator tehnico-economic* care se numește *echivalentul energetic al puterii reactive*  $\lambda$ ; el reprezintă raportul dintre reducerea pierderilor de putere activă într-o linie la instalarea unei surse speciale reactive și puterea acestei surse, adică:

$$\lambda = \frac{\Delta P_1 - \Delta P_2}{Q_k} = R \frac{2Q - Q_k}{U^2}, \quad (6.58)$$

în care:  $\Delta P_1 = R \frac{P^2 + Q^2}{U^2} 10^{-3}$

$$\Delta P_2 = R \frac{P^2 + (Q - Q_k)^2}{U^2} 10^{-3}$$

$Q_k$

reprezintă pierderile de putere activă în linie înainte de montarea sursei de putere reactivă la capătul de ieșire al acesteia;  
— pierderile de putere activă în linie după montarea sursei de putere reactivă;  
— puterea reactivă a sursei  $k$  instalate.

Analiza relației (6.58) pune în evidență următoarele două aspecte principale:

— eficiența montării unei surse de compensare a puterii reactive este cu atât mai mare, cu cât rezistența  $R$  a liniilor este mai mare, adică cu cât consumatorii la care se montează sînt mai îndepărtați de sursele producătoare de energie electrică; pe această bază, rezultă că amplasarea surselor de putere reactivă, trebuie să fie făcută, în primul rînd, la consumatorii cei mai depărtați de centralele electrice;

— dacă  $Q_k \ll Q$ , echivalentul energetic este de aproape două ori mai mare decît în cazul compensării totale, cînd  $Q_k \approx Q$ .

*Alegerea puterii optime* a unei surse de compensare a puterii reactive, trebuie să se facă pe baza *criteriului tehnico-economic al cheltuielilor anuale*

---

\* Informativ, se menționează că în anul 1966, în sistemul electroenergetic al țării noastre, ponderea generatoarelor din centrale în balanța puterii reactive era de 68%. În anul 1975, datorită dezvoltării sistemului, această pondere a fost de numai 33%. În aceeași perioadă, ponderea surselor de compensare a crescut de la 12% la 43,2%, pentru bateriile de condensatoare și de la 3% la 6%, pentru compensatoarele sincrone.

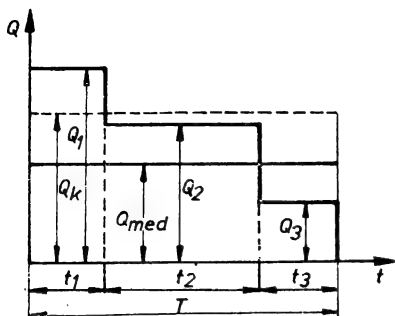


Fig. 6.6. Tip de curbă clasată de sarcina reactivă anuală.

*minime.* În acest scop, se stabilește curba clasată anuală a puterii reactive, în punctul în care se studiază compensarea, care poate fi de forma celei arătate în figura 6.6.

Aplicarea criteriului cheltuielilor minime anuale, presupune determinarea următoarelor elemente.

— *Cheltuielile anuale de montare și exploatare a bateriei de condensatoare în funcție de  $Q_k$ :*

$$A_1 = (p + C_e) k \cdot Q_k, \quad (6.59)$$

în care:  $p$  reprezintă suma dintre coeficientul normat de eficiență  $p_n$  și valoarea cotei anuale de amortizare,  $p = p_n + p_a$ ;  
 $C_e$  — valoarea cotei anuale de exploatare;  
 $Q_k$  — puterea reactivă a sursei de compensare, în kvar;  
 $k$  — costul unui kvar instalat.

— *Costul energiei pierdute în instalația de compensare*

$$A_2 = c T \Delta P_k = c T p_k Q_k, \quad (6.60)$$

în care:  $c$  reprezintă costul, în lei, al unei kilowattore de energie activă pierdută;

$\Delta P_k$  — pierderile de putere activă în condensatoare;  
 $T$  — timpul anual de funcționare a bateriei, care, în cazul când bateria nu se deconectează, este 8 760 h;  
 $p_k$  — raportul dintre pierderile de putere activă din condensatoare și puterea instalată  $Q_k$ .

— *Costul energiei pierdute în elementele situate în amonte de sursa de compensare, pentru graficul de sarcină considerat.* În cazul figurii 6.6, dacă consumatorul este alimentat radial printr-o linie cu rezistența  $R$ , costul acestei energii pierdute este:

$$A_3 = c \left[ \left( \frac{Q_1 - Q_k}{U} \right)^2 R \cdot t_1 + \left( \frac{Q_2 - Q_k}{U} \right)^2 R \cdot t_2 + \left( \frac{Q_3 - Q_k}{U} \right)^2 R \cdot t_3 \right]. \quad (6.61)$$

Din analiza ultimelor trei relații se constată că ele sînt funcție de puterea instalată  $Q_k$ . În consecință și *cheltuielile totale anuale*, reprezentate prin sumarea celor trei cheltuieli parțiale, vor reprezenta o funcție de puterea instalată, adică:

$$A = A_1 + A_2 + A_3 = \varphi(Q_k) \quad (6.62)$$

Puterea optimă a instalației de compensare se va obține prin metoda uzuală, adică derivînd expresia (6.62) în raport cu  $Q_k$  și egalînd-o cu zero. Se obține:

$$\begin{aligned} \frac{\partial A}{\partial Q_k} &= (p + C_e) k + c T p_k - \frac{2cR}{U^2} [(Q_1 - Q_k) t_1 + (Q_2 - Q_k) t_2 + (Q_3 - Q_k) t_3] = \\ &= (p + C_e) k + c T p_k - \frac{2cR}{U^2} T (Q_{med} - Q_k) = 0, \end{aligned} \quad (6.63)$$

din care rezultă:

$$Q_{k\ opt} = Q_{med} - \frac{U^2 (\phi + C_e) k + cT\phi_k}{2 R_c T}, \quad (6.64)$$

unde s-au făcut notațiile:

$$Q_1 t_1 + Q_2 t_2 + Q_3 t_3 = Q_{med} T; \quad Q_k t_1 + Q_k t_2 + Q_k t_3 = Q_k T. \quad (6.65)$$

Relația care determină  $Q_{k\ opt}$  se referă la instalarea unei surse de compensare la un consumator alimentat printr-o linie. În cazul cînd se consideră o rețea complexă, evident că ea se complică într-o oarecare măsură, mai ales dacă se ține seama și de scăderea investițiilor în centrale și pentru deschiderea de mine, ca urmare a îmbunătățirii factorului de putere și a reducerii pierderilor de putere activă în linii.

### c — Liniile electrice

Liniile electrice contribuie la balanța puterilor reactive prin efectul lor capacitiv și prin realizarea forțată a unei circulații de puteri în acestea, astfel încît pierderile să fie reduse. Acest ultim deziderat se realizează prin secționarea rețelei în anumite puncte (debuclarea acesteia), prin injecția unor tensiuni adiționale suplimentare și prin acordarea liniilor, care se efectuează montînd condensatoare în serie, pentru compensarea reactanței inductive. Modul în care se utilizează aceste mijloace este analizat în capitolul 7, în directă legătură cu reglarea tensiunii în rețelele electrice.

#### 6.2.2. MĂSURI DE EXPLOATARE PENTRU REDUCEREA PIERDERILOR DE ENERGIE ÎN REȚELELE ELECTRICE

Aceste măsuri nu necesită investiții suplimentare, însă presupun o exploatare a instalațiilor, astfel încît pierderea de energie să fie, pe cît posibil, minimă. Aplicarea lor trebuie să fie integrală, chiar dacă efectul obținut nu este totdeauna atît de important.

Dintre aceste măsuri se amintesc următoarele: *utilizarea unor scheme de conexiuni optime, aplatizarea curbei de sarcină, reducerea numărului de deconectări a liniilor de transport pentru reparații, alegerea corectă a prizelor de reglare a tensiunii la transformatoare și funcționarea transformatoarelor după graficul de sarcină optimă.*

*Utilizarea schemelor de conexiuni optime* pentru rețele, permite în foarte multe cazuri reducerea substanțială a pierderilor de putere. La baza acestei reduceri stă principiul funcționării simultane a tuturor elementelor unei rețele buclate. O astfel de funcționare conduce deseori la valori inadmisibile ale curenților de scurtcircuit. De aceea, rețeaua buclată se va descompune — prin secționarea ei în anumite puncte — într-o serie de rețele arborescente, grupate în jurul cîte unui punct de alimentare. Alegerea punctelor de secționare trebuie făcută pe baza calculelor de circulație a puterilor în rețeaua buclată, în scopul determinării elementelor cu sarcina cea mai redusă, a căror deconectare asigură o circulație de puteri apropiată de cea reală obținută în cazul funcționării buclate, cînd pierderile corespunzătoare din rețea sînt,

de obicei, minime \*. Pe măsură ce sarcinile în rețele variază, calculele trebuie repetate și, uneori, ele pot fi înlocuite prin măsurători efectuate în mod direct, la buclarea de scurtă durată a rețelelor. În aceste cazuri, este necesar să se asigure și schimbarea operativă a configurației rețelelor, sporindu-se numărul de plecări la liniile cu pierderi de tensiune ridicate sau folosindu-se alimentări duble, când lungimea liniilor de joasă tensiune este prea mare. Schemele de rețele trebuie să aibă o repartitie optimă a puterilor pe diferite linii de distribuție. De asemenea, puterile active și reactive trebuie transportate la consumatori pe distanțe minime și pe linii dimensionate corespunzător.

*Aplatizarea curbei de sarcină* determină creșterea duratei de utilizare a puterii maxime și reducerea pierderilor de energie. Dacă  $\Delta W$  reprezintă pierderile de energie și  $k_f$  factorul de formă al curbei de sarcină, atunci pierderile de energie minime sînt exprimate de relația:

$$\Delta W_{min} = \frac{\Delta W}{k_f^2}, \quad (6.66)$$

care corespund unei curbe de sarcină perfect aplatizate. Pentru orice alt coeficient de formă al curbei de sarcină, cît mai apropiat de unitate,  $k_{fn} < k_f$ , pierderile de energie au valoarea

$$\Delta W_n = \Delta W_{min} k_{fn}^2 = \left( \frac{k_{fn}}{k_f} \right)^2 \Delta W. \quad (6.67)$$

*Reducerea numărului de deconectări ale liniilor de transport pentru reparații* oferă posibilitatea reducerii simțitoare a pierderilor de energie. În acest scop, este foarte actuală aplicarea reparațiilor rapide, a reparațiilor sub tensiune și a reparațiilor pe fază ale liniilor de transport a căror deconectare provoacă o creștere destul de însemnată a pierderilor de energie în rețelele electrice. Repararea lor trebuie coordonată cu reparațiile tehnologice importante de la consumatori.

În același timp, evitarea funcționării dezechilibrate a fazelor în rețelele de distribuție contribuie la reducerea pierderilor de energie.

*Alegerea corectă a prizei la transformatoare* pentru reglajul de tensiune, elimină circulațiile inutile de putere reactivă în rețelele alimentate de la mai multe surse. În același timp, puterile active și reactive trebuie transportate pe parcursuri minime și pe linii dimensionate corespunzător, iar repartitia lor în sistem trebuie să fie optimă, din punct de vedere al pierderilor.

Un factor important care influențează mult pierderile de energie electrică într-o rețea de distribuție este repartizarea consumatorilor de diferite categorii pe înfășurările transformatoarelor și raportul dintre energia consumată de consumatori puternici și energia totală distribuită. Unii dintre acești consumatori sînt, de obicei, racordați direct la rețeaua de distribuție de medie tensiune, ceea ce face ca puterea respectivă să nu mai treacă prin rețeaua de joasă tensiune. Uneori, dacă racordarea lor se face direct la barele stațiilor de transformare, nu este utilizată nici rețeaua de distribuție de medie tensiune.

---

\* În unele cazuri, pentru o schemă de conexiuni buclată a rețelelor cu două tensiuni, deconectarea diferitelor elemente conduce la micșorarea pierderilor de energie.

Funcționarea transformatoarelor după graficul regimului optim presupune stabilirea numărului de transformatoare în funcțiune și încărcarea lor, astfel încât pierderile să fie minime. În același timp, se impune deconectarea transformatoarelor încărcate în medie cu mai puțin de 40% din sarcina nominală și distribuția corectă a puterilor între cele rămase în funcțiune, conform cu sarcinile consumatorilor alimentați, prin sectoarele de rețea corespunzătoare.

Pe baza datelor de pierderi în fier și cupru, trebuie întocmit un grafic de deconectare a unor transformatoare, în cazul reducerii sarcinii. Pentru ca prin aceasta să nu se micșoreze siguranța alimentării consumatorilor, este necesar să existe un dispozitiv AAR, care să asigure conectarea automată a rezervei, la deconectarea unui transformator aflat în funcțiune.

Stabilirea sarcinii optime a transformatorului din punct de vedere economic se determină cu ajutorul pierderii relative de energie. Astfel, folosind relația (6.25) se obține:

$$\begin{aligned} w_T &= \frac{\Delta W_T}{W} = \frac{\Delta P_0 t + \alpha_{max}^2 (\Delta P_k)_n \tau}{T P_{max}} = \\ &= \frac{1}{T S_n \cos \varphi} \left[ \frac{\Delta P_0 t}{\alpha_{max}} + \alpha_{max} (\Delta P_k)_n \tau \right], \end{aligned} \quad (6.68)$$

a cărei valoare este minimă pentru:

$$\alpha_{max} = \sqrt{\frac{\Delta P_0 t}{(\Delta P_k)_n \tau}} \quad (6.69)$$

sau:

$$S_{max} = S_n \sqrt{\frac{\Delta P_0 t}{(\Delta P_k)_n \tau}}. \quad (6.70)$$

În realitate însă, transformatoarele produc și pierderi în linii, ca urmare a puterii reactive absorbită de acestea, a căror valoare se determină cu expresia:

$$\Delta P = \lambda \Delta Q = \lambda (\Delta Q_0 + \Delta Q_s), \quad (6.71)$$

în care:

- $\Delta Q_0 = S_n \frac{i_0 \%}{100}$  este puterea reactivă de magnetizare a transformatorului la tensiune constantă;
- $\Delta Q_s = (\Delta Q_k)_n \left( \frac{S}{S_n} \right)^2$  — puterea reactivă absorbită de reactanțele înfășurărilor transformatorului;
- $(\Delta Q_k)_n = S_n \frac{u_k \%}{100}$  — puterea reactivă absorbită de reactanțele înfășurărilor transformatorului, la funcționarea în scurtcircuit;
- $u_k$  — tensiunea de scurtcircuit a transformatorului, în %;
- $\lambda$  — echivalentul energetic al puterii reactive, adică puterea activă pierdută în rețea pentru transportul puterii reactive, în kW/kvar, a cărei valoare depinde de locul în care sînt instalate transformatoarele, în raport cu sursele de energie și de regimul de încărcare al sistemului (tab. 6.1)



Valorile echivalentului energetic al puterii reactive  $\lambda$ 

| Locul de instalare a transformatorului în cadrul sistemului electroenergetic   | Valorile coeficientului, în kW/kvar  |                                      |
|--|--------------------------------------|--------------------------------------|
|  | La încărcările maxime ale sistemului | La încărcările minime ale sistemului |
| Transformatoare alimentate direct de la barele centralelor   | 0,02                                 | 0,02                                 |
| Transformatoarele întreprinderilor industriale și din rețelele urbane, alimentate la medie tensiune, care nu sînt alimentate direct de la barele centralelor | 0,15                                 | 0,10                                 |
| Transformatoare montate în stații a căror sarcină reactivă este compensată prin compensatoare sincrone   | 0,05                                 | 0,03                                 |
| Transformatoare coborîtoare din stațiile cu tensiune nominală de 35÷110 kV   | 0,10                                 | 0,06                                 |

Ținînd seama de relația (6.71) expresia pierderilor relative de energie se poate pune sub forma:

$$w'_T = \frac{1}{TS_n \cos \varphi} \left[ \frac{(\Delta P_0 + \lambda \Delta Q_0)t}{\alpha'_{max}} + (\Delta P_k + \lambda \Delta Q_k) \alpha'_{max} t \right], \quad (6.72)$$

a cărei valoare minimă se realizează, dacă:

$$\alpha'_{max} = \sqrt{\frac{\Delta P_0 + \lambda \Delta Q_0}{\Delta P_k + \lambda \Delta Q_k} \cdot \frac{t}{\tau}}. \quad (6.73)$$

sau

$$S'_{max} = S_n \sqrt{\frac{\Delta P_0 + \lambda \Delta Q_0}{\Delta P_k + \lambda \Delta Q_k} \cdot \frac{t}{\tau}}. \quad (6.74)$$

Deoarece:

$$\alpha_{max} = \alpha_{mp} \sqrt{\frac{t}{\tau}}$$

rezultă că funcționarea optimă a unui transformator, din punctul de vedere al pierderilor totale, corespunde sarcinii:

$$S_{opt} = S_n \sqrt{\frac{\Delta P_0 + \lambda \Delta Q_0}{\Delta P_k + \lambda \Delta Q_k}}. \quad (6.75)$$

Cînd sarcina postului de transformare care alimentează un consumator suferă variații mari, pentru obținerea unui regim de funcționare cît mai favorabil din punctul de vedere al pierderilor totale, este recomandabil să se

instaleze mai multe transformatoare. În acest caz, se pune problema conectării sau deconectării unora dintre transformatoare, la variațiile sarcinii totale, astfel încît să se urmărească în permanență graficul mersului economic.

Determinarea încărcării sau puterii optime se poate face pe cale grafică sau analitică, ținînd seama de pierderile totale în transformator și în rețea, adică:

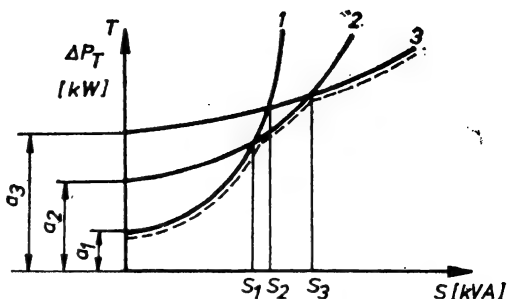


Fig. 6.7. Variația pierderilor de putere pentru un post de transformare cu două transformatoare care funcționează în paralel:

1 — curba pierderilor de putere în transformatorul  $T_1$ ;  
2 — curba pierderilor de putere în transformatorul  $T_2$ ;  
3 — curba pierderilor totale de putere  $\Delta P_{T12}$ .

$$\Delta P_T = (\Delta P_0 + \lambda \Delta Q_0)_n + (\Delta P_k + \lambda \Delta Q_k)_n \left( \frac{S}{S_n} \right)^2 = a + b S^2, \quad (6.76)$$

în care s-au făcut notațiile:

$$a = \Delta P_0 + \lambda \Delta Q_0; \quad b = \frac{1}{S_n^2} (\Delta P_k + \lambda \Delta Q_k)_n.$$

Pe cale grafică se trasează parabola reprezentată de relația (6.76), pentru fiecare transformator și pentru combinațiile de 2, 3, 4, ...  $n$  transformatoare. Punctele de intersecție a curbelor mai apropiate de axa absciselor corespund sarcinilor la care trebuie să fie conectate sau deconectate transformatoarele. Se va ține seama că nu este recomandabilă deconectarea unui transformator pentru un timp prea scurt (sub 2÷3 h). În figura 6.7 se indică graficul pierderilor pentru un post de transformare, care are două unități instalate.

Pe cale analitică se vor examina două cazuri particulare întâlnite des în practică.

— Cazul unui post cu două transformatoare de puteri inegale ( $S_1 < S_2$ ), în care pierderile corespunzătoare unui transformator sau ambelor transformatoare în funcțiune, sînt:

$$\Delta P_{T_1} = a_1 + b_1 S^2; \quad \Delta P_{T_2} = a_2 + b_2 S^2;$$

$$\Delta P_{T12} = a_{12} + b_{12} S^2.$$

Conectarea în paralel a transformatoarelor este avantajoasă din punct de vedere economic, de la sarcina pentru care pierderile  $\Delta P_{T_1}$  și  $\Delta P_{T12}$  sînt egale, în care caz se obține:

$$S = \sqrt{\frac{a_{12} - a_1}{b_1 - b_{12}}}. \quad (6.77)$$

— Cazul unui post cu  $n$  transformatoare de puteri egale, în care conectarea celei de-a  $(n + 1)$  unități, de aceeași putere cu fiecare dintre celelalte,

este avantajoasă începînd de la sarcina  $S$ , reieșită din condiția egalității pierderilor, în cele două situații de funcționare, adică:

$$na + \frac{1}{n} bS^2 = (n+1)a + \frac{1}{n+1} bS^2$$

și

$$S = \sqrt{n(n+1) \frac{a}{b}} = \sqrt{n(n+1) \frac{\Delta P_0 + \lambda \Delta Q_0}{\Delta P_k + \lambda \Delta Q_k}}. \quad (6.78)$$

Puterile optime trebuie determinate pentru fiecare dintre transformatoarele care funcționează în stațiile de transformare. În caz de nefuncționare, deconectarea transformatoarelor se va face pe partea primară, pentru a se evita pierderile la funcționarea în gol a acestora. Determinarea pierderilor de energie electrică datorate transformatoarelor se face ținînd seama de curba sarcinilor anuale clasate și de programul de conectare, stabilit pe baza datelor stabilite anterior. Se obține:

$$\Delta W_T = (\sum a_k + S_1^2 \sum b_k) T_1 + (\sum a_{k+1} + S_2^2 \sum b_{k+1}) T_2 + \dots +$$

$$+ (\sum a_{k+n} + S_{n+1}^2 \sum b_{k+n}) T_{n+1}, \quad (6.79)$$

unde:  $T_0 + T_1 + T_2 + T_{n+1} = 8760 \text{ h}$ ;

- $\sum a_k, \sum a_{k+1}, \dots, \sum a_{k+n}$  sînt pierderile de mers în gol a transformatoarelor conectate în paralel, timp de respectiv  $T_1, T_2, \dots, T_{n+1}$ , în [h];
- $\sum b_k, \sum b_{k+1}, \dots, \sum b_{k+n}$  — pierderile de scurtcircuit raportate la pătratul sarcinii nominale ale transformatoarelor conectate în paralel, timp de respectiv  $T_1, T_2, \dots, T_{n+1}$ , în [h];
- $S_1, S_2, \dots, S_{n+1}$  — sarcinile care corespund pe curba sarcinilor anuale clasate duratelor  $T_1, T_2, \dots, T_{n+1}$ , în [h];
- $T_0$  — timpul în care toate transformatoarele sînt deconectate, în [h].

## Capitolul 7

### REGLAREA TENSIUNII ÎN REȚELELE ELECTRICE

Într-o rețea electrică tensiunea prezintă, de la un moment la altul, variații cauzate atât de consumatorii de energie, cât și de rețeaua însăși.

Influența consumatorilor asupra nivelului de tensiune se datorează faptului că aceștia își modifică permanent sarcina și prin aceasta modifică circulația puterilor active și reactive din rețea. Variațiile de tensiune sînt cu atât mai mari, cu cît raportul dintre sarcina maximă și cea minimă, cerute de consumator, este mai mare. Influența rețelei electrice se manifestă prin modificarea tensiunii la bornele generatoarelor din centrale sau la barele stațiilor de transformare, prin materialul conductor din care sînt confecționate liniile electrice și prin distanța la care se racordează consumatorii.

Cînd aceste variații în raport cu tensiunea nominală sînt prea mari, funcționarea consumatorilor se înrăutățește.

Într-adevăr, consumatorii cei mai răspîndiți — sursele de lumină, motoarele electrice, aparatele electrocasnice — își modifică mult caracteristicile în funcție de tensiune. De exemplu, dacă tensiunea de alimentare a unei surse incandescente de lumină este mai mică decît tensiunea nominală, fluxul luminos al acesteia va scădea. Pentru o tensiune de alimentare  $U_x < U_n$  variația fluxului luminos are loc conform relației:

$$\left(\frac{U_x}{U_n}\right)^{3,6} = \frac{\Phi_x}{\Phi_n}, \quad (7.1)$$

care arată că pentru o scădere cu 5% a tensiunii față de tensiunea nominală, fluxul luminos se reduce cu aproape 15%.

Dinpotrivă, dacă tensiunea de alimentare crește, atunci durata de funcționare a sursei de lumină scade conform relației:

$$\left(\frac{U_x}{U_n}\right)^{14} = \frac{D_n}{D_x}, \quad (7.2)$$

care arată că pentru o creștere de 5% a tensiunii de alimentare față de tensiunea nominală, durata de funcționare se reduce la jumătate.

Alimentarea motoarelor electrice asincrone cu tensiuni diferite față de tensiunea nominală modifică cuplul activ al acestora, conform relației:

$$\left(\frac{U_x}{U_n}\right)^2 = \frac{C_x}{C_n}, \quad (7.3)$$

care arată că pentru o scădere cu 10% a tensiunii de alimentare față de tensiunea nominală, cuplul activ scade cu 19%. În plus, rotoarele mașinilor capătă alunecări și se încălzesc. Dacă tensiunea de alimentare este mai mare decât tensiunea nominală, fierul mașinilor se saturează și se încălzește, ceea ce determină solicitări termice ale izolației.

Din cele arătate rezultă că funcționarea consumatorilor în bune condiții, cere o exploatare corectă a rețelelor, prin care să se asigure în afară de o frecvență constantă, o tensiune reglabilă în anumite limite, în jurul valorii sale nominale. *Mentținerea frecvenței și reglarea tensiunii constituie elemente fundamentale ale oricărui sistem tehnic de exploatare a rețelelor electrice.*

Frecvența are aceeași valoare în toate punctele rețelei și depinde în mod direct de puterea activă. Într-un sistem electroenergetic, ea arată echilibrul între producerea și consumul de putere activă și, de aceea, menținerea ei se efectuează de către dispecerii sistemului, prin comenzi centralizate.

Spre deosebire de frecvență, tensiunea nu reprezintă un parametru unic al sistemului electroenergetic, deoarece în impedanțele rețelei se produc căderi de tensiune. Ca urmare, tensiunile în noduri vor avea valori diferite, cu atât mai mici, cu cât impedanțele rețelei și puterile vehiculate în acestea vor fi mai mari. Menținerea unui anumit nivel al tensiunii constituie o problemă a fiecărui sector de rețea și se poate asigura prin folosirea complexă a unor mijloace de reglare. În general, echilibrul dintre puterea reactivă produsă de generatoare, în funcție de tensiunea lor, și preluarea acesteia de către consumatori, constituie factorul principal care influențează nivelul tensiunilor.

## 7.1. MIJLOACE DE REGLARE A TENSIUNII ÎN REȚELELE ELECTRICE

Pentru reglarea tensiunii la consumatori, când tensiunea la plecarea într-o linie de transport se menține constantă, se dispune de următoarele procedee:

a) controlul circulației puterii reactive în rețea, care se realizează prin injecția sau consumul de putere reactivă, la extremitatea receptoare;

b) înserierea, într-un punct convenabil ales, a unei tensiuni adiționale;

c) modificarea reactanței liniilor cu ajutorul unui condensator serie.

Primele două mijloace sînt foarte frecvent asociate pe rețelele de transport.

## 7.2. REGLAREA TENSIUNII ÎN REȚELELE ELECTRICE PRIN INECȚIE SAU CONSUM DE PUTERE REACTIVĂ

### 7.2.1. INTERPRETAREA FIZICĂ

Reglarea tensiunii prin putere reactivă presupune că la stația de sosire se dispune de mașini și aparate care, urmînd regimul de transport, produc sau absorb o putere reactivă  $Q$  și se comportă fie ca o capacitate  $C'$ , fie ca o inductanță  $L'$ , conectate în derivație.

Dacă se neglijează rezistențele și se presupune că linia funcționează fără cădere de tensiune, atunci legarea în derivație a unei capacități  $C'$  la extremitatea receptoare, are ca efect modificarea impedanței caracteristice, care trece de la valoarea  $\sqrt{\frac{L}{C}}$ , la valoarea  $\sqrt{\frac{L}{C+C'}}$ . Ca urmare, puterea naturală sau caracteristică a liniei devine:

$$P_2 = U_2^2 \sqrt{\frac{C+C'}{L}}, \quad (7.4)$$

care, în condițiile de mai sus, poate fi transportată cu tensiune constantă pe linie.

Din punct de vedere fizic, reglajul de tensiune prin putere reactivă echivalează cu ajustarea impedanței caracteristice a liniei în funcție de puterea primită, după legea:

$$Z_c = \sqrt{\frac{L}{C+C'}} = \frac{U_2^2}{P_2}. \quad (7.5)$$

Mersul în gol al liniei corespunde la  $C' = -C$ , iar mersul la plină sarcină corespunde valorii maxime a capacității  $C'$ .

#### 7.2.2. INFLUENȚA CIRCULAȚIEI PUTERILOR REACTIVE ASUPRA NIVELULUI DE TENSIUNE ÎN REȚELELE ELECTRICE

Nivelul tensiunilor în rețelele electrice este determinat atât de valoarea impedanțelor liniilor și transformatoarelor, cât și de circulația puterilor active și reactive. Pentru o rețea cu o schemă de conexiuni dată, circulația puterilor active este condiționată numai de cererea consumatorilor și nu se poate modifica decât folosind mijloace adecvate în centralele electrice sau schimbând schema de conexiuni. În aceste condiții, singurul element care se poate varia în vederea menținerii unui anumit nivel al tensiunilor este circulația puterilor reactive. Acest lucru se poate pune în evidență sub forma cea mai simplă, folosind expresia componentei longitudinale a căderii de tensiune <sup>\*)</sup>, într-o rețea care alimentează un consumator:

$$\Delta U = \frac{P_2 R + Q_2 X}{U_2} \approx U_1 - U_2. \quad (7.6)$$

Dacă tensiunea  $U_1$  este menținută constantă printr-un mijloc oarecare de reglare și dacă este necesar ca și tensiunea  $U_2$  să rămână constantă ( $\Delta U = \text{const.}$ ), indiferent de regimul de circulație al puterii active, atunci este suficient ca puterea reactivă primită de consumator să varieze după legea:

$$Q_2 = \frac{\Delta U \cdot U_2 - P_2 R}{X} = k - \frac{R}{X} P_2. \quad (7.7)$$

<sup>\*)</sup> S-a identificat componenta longitudinală a căderii de tensiune cu pierderea de tensiune.

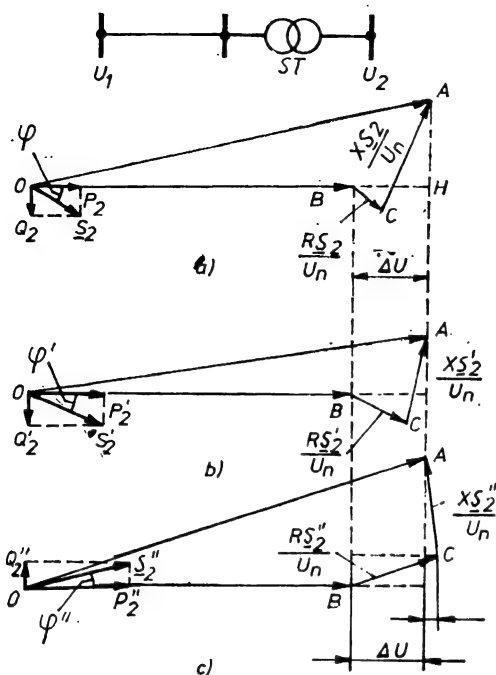


Fig. 7.1. Diagrama fazorială a căderilor de tensiune pentru  $\Delta U = \text{const.}$  și diferite regimuri de circulație a puterii reactive.

în linie la capătul de sosire crește și unghiul  $\varphi$  schimbă de semn; diagrama corespunde aceleia prezentată în figura 7.1, c.

În cele ce urmează se va generaliza influența injecției sau a prelevării de putere reactivă, într-un punct oarecare al unei rețele, asupra valorii tensiunii în acest punct, considerînd că tensiunile în alte locuri bine determinate, unde se efectuează reglarea, sînt menținute constante. În acest scop, se ține seama că între puterea activă, puterea reactivă și tensiune, în orice punct dintr-o rețea, există dependența funcțională:

$$F(P, Q, U) = 0. \quad (7.9)$$

Variațiile  $dP$ ,  $dQ$  și  $dU$  satisfac relația:

$$\frac{\partial F}{\partial P} dP + \frac{\partial F}{\partial Q} dQ + \frac{\partial F}{\partial U} dU = 0. \quad (7.10)$$

Ecuația (7.9) se poate considera ca definind o funcție implicită  $U$  de două variabile independente  $P$  și  $Q$ , care posedă două derivate parțiale  $\frac{\partial U}{\partial P}$  și  $\frac{\partial U}{\partial Q}$  astfel că:

$$\begin{aligned} \frac{\partial F}{\partial P} + \frac{\partial F}{\partial U} \cdot \frac{\partial U}{\partial P} &= 0; \\ \frac{\partial F}{\partial Q} + \frac{\partial F}{\partial U} \cdot \frac{\partial U}{\partial Q} &= 0. \end{aligned} \quad (7.11)$$

Pentru a preciza mecanismul reglării, se consideră diagrama fazorială a căderilor de tensiune din figura 7.1 și se presupune că, la o anumită sarcină, transportul de putere activă și reactivă,  $P_2$  și  $Q_2$ , produce o pierdere de tensiune admisibilă  $\Delta U$ . Dacă puterea activă crește și ia valoarea  $P'_2$  pentru ca pierderea de tensiune să conserve aceeași valoare, trebuie ca puterea reactivă la sosire să devină:

$$Q'_2 = k - \frac{R}{X} P'_2,$$

unde  $Q'_2 < Q_2$ , deoarece  $P'_2 > P_2$ .

Prin urmare, la capătul de sosire trebuie să fie debitată altă putere reactivă consumată de sarcină, diferența

$$\Delta Q_2 = Q_2 - Q'_2 = \frac{R}{X} (P_2 - P'_2) \quad (7.8)$$

fiind dirijată către capătul de alimentare al liniei.

Dacă puterea activă transportată va crește, puterea reactivă injectată

Introducînd în ecuația (7.10) valorile derivatelor parțiale  $\frac{\partial F}{\partial P}$  și  $\frac{\partial F}{\partial Q}$  rezultate din (7.11) și ținînd seama că  $\frac{\partial F}{\partial U}$  nu este nul, deoarece  $F$  depinde de  $U$ , rezultă că:

$$\frac{\partial U}{\partial P} dP + \frac{\partial U}{\partial Q} dQ = dU \quad (7.12) *$$

sau:

$$\frac{\frac{\partial P}{\partial U}}{\frac{\partial P}{\partial U}} + \frac{\frac{\partial Q}{\partial U}}{\frac{\partial Q}{\partial U}} = dU. \quad (7.13)$$

Aceste relații arată că variația tensiunii într-un punct oarecare din rețea, datorită variațiilor de putere activă și reactivă, este complet determinată dacă se cunosc coeficienții  $\frac{\partial P}{\partial U}$  și  $\frac{\partial Q}{\partial U}$  în acest punct.

În cazul unei rețele considerată fără admitanțe, de exemplu, funcția implicită (7.9) se scrie sub forma:

$$F(P, Q, U) = (U_1 - U_2)U_2 - RP_2 - XQ_2 = 0. \quad (7.14)$$

Utilizînd ecuațiile (7.11) și (7.14) se obțin coeficienții:

$$\frac{\partial P}{\partial U} = -\frac{\partial F}{\partial U} \bigg/ \frac{\partial F}{\partial P} = \frac{U_1 - 2U_2}{R} \text{ și } \frac{\partial Q}{\partial U} = -\frac{\partial F}{\partial U} \bigg/ \frac{\partial F}{\partial Q} = \frac{U_1 - 2U_2}{X}, \quad (7.15)$$

care introduși în (7.13) determină variația de tensiune în raport cu variațiile de putere activă și reactivă:

$$dU = \frac{RdP + XdQ}{U_1 - 2U_2}. \quad (7.16)$$

Pentru ca variația de tensiune  $dU$  să se anuleze, trebuie ca variația puterii active să fie însoțită de o variație a puterii reactive, astfel încît numărătorul expresiei (7.16) să fie egal cu zero, adică:

$$RdP + XdQ = 0,$$

de unde:

$$dQ = -\frac{R}{X} dP \quad (7.17)$$

rezultat deja obținut direct prin relația (7.8).

---

\* Această relație se putea scrie de la început rezolvînd ecuația (7.9) în raport cu  $U$ .



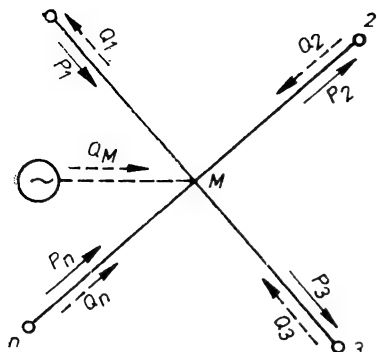


Fig. 7.2. Rețea electrică cu un nod de injecție de putere reactivă.

Dintre cei doi coeficienți  $\frac{\partial P}{\partial U}$  și  $\frac{\partial Q}{\partial U}$ , așa cum s-a menționat, numai cel de-al doilea prezintă interes deosebit în problema reglării tensiunii în rețelele electrice, deoarece puterea activă este impusă de regimul de funcționare al consumatorilor. El indică amplitudinea de variație a puterii reactive care trebuie să fie injectată sau prelevată într-un punct, pentru a provoca o variație de tensiune determinată, necesară sau impusă.

### 7.2.3. VARIATIA COEFICIENTULUI $\frac{\partial Q}{\partial U}$ CU CONFIGURAȚIA REȚELEI. SEMNIFICAȚIA FIZICĂ

Trebuie menționat că coeficientul  $\frac{\partial Q}{\partial U}$  într-un nod oarecare variază cu configurația rețelei și depinde de impedanțele de legătură a nodului cu punctele unde tensiunile sînt menținute la anumite valori fixe. Valoarea lui va fi cu atât mai mare, cu cît aceste impedanțe sînt mai mici, iar variația tensiunii cu o anumită cantitate este dificilă de efectuat, deoarece presupune o cheltuială mare de putere reactivă. Această constatare permite să se tragă concluzia imediată că reglarea tensiunii prin injecție de putere reactivă în astfel de puncte, prezintă un interes tehnic și economic cu atât mai mic, cu cît coeficientul  $\frac{\partial Q}{\partial U}$  corespunzător este mai ridicat.

Pentru o rețea oarecare, cu configurația prezentată în figura 7.2, calculul coeficientului  $\frac{\partial Q}{\partial U}$  se efectuează astfel:

— se consideră că în toate punctele 1, 2, 3, ..., n ale rețelei tensiunile sînt menținute constante, exceptîndu-se numai punctul M în care se cercetează valoarea coeficientului  $\frac{\partial Q}{\partial U}$ ;

— se alege arbitrar o tensiune a punctului M, cît mai apropiată de cea reală și se calculează puterea reactivă  $Q_M$ , care trebuie injectată în acest punct cu ajutorul unui generator fictiv G, astfel încît să se obțină tensiunea  $U_M$ ;

— se face un nou calcul al puterii injectate  $Q'_M$ , pentru o valoare a tensiunii  $U'_M$ , diferită cu 2÷5% în raport cu  $U_M$ ;

— raportul  $\frac{\Delta Q}{\Delta U} = \frac{Q_M - Q'_M}{U_M - U'_M}$  indică o valoare medie a coeficientului

$\frac{\Delta Q}{\Delta U}$ . El se evaluează în  $\left[ \frac{\text{Mvar}}{\text{kV}} \right]$  și arată numărul de megavari care trebuie injectați pentru compensarea unei anumite căderi de tensiune.

Dacă, de exemplu,  $\Delta U = 10 \text{ kV}$  și coeficientul  $\frac{\partial Q}{\partial U} = 3 \left[ \frac{\text{Mvar}}{\text{kV}} \right]$ ; ceea ce reprezintă o valoare relativ joasă, atunci puterea reactivă pusă în joc, este evident 30 Mvar; ea devine egală cu 150 Mvar pentru aceeași cădere de tensiune compensată, însă la un coeficient ridicat de  $15 \left[ \frac{\text{Mvar}}{\text{kV}} \right]$ .

Din punct de vedere fizic, coeficientul  $\frac{\partial Q}{\partial U}$  într-un punct are un sens bine determinat, fiind *proporțional cu intensitatea curentului de scurtcircuit trifazat al rețelei* în acel punct, dacă nici o sursă electromotoare nu este prevăzută cu regulator automat de tensiune. Această corespondență se stabilește cu ajutorul teoremei lui Thévenin, care arată că dacă între două puncte  $A$  și  $B$  ale unei rețele între care există o diferență de potențial  $\underline{V}$  și o impedanță  $\underline{Z}$  se leagă impedanța  $\underline{Z}'$ , atunci curentul care circulă prin această ultimă impedanță are expresia:

$$I_{Z'} = \frac{\underline{V}}{\underline{Z} + \underline{Z}'}.$$

Fie, de exemplu, o reactanță  $jX$  conectată în punctul  $M$ , unde se determină raportul  $\frac{\partial Q}{\partial U}$ , între neutrul rețelei și fiecare fază. Dacă  $\underline{V}_n$  reprezintă tensiunea stelată înaintea conectării reactanței, curentul  $I_x$  în aceasta, conform teoremei enunțate, are valoarea:

$$I_x = \frac{\underline{V}_n}{\underline{Z} + jX}, \quad (7.18)$$

unde  $\underline{Z}$  reprezintă impedanța rezultantă a rețelei măsurată din punctul  $M$ .

La conectarea reactanței, tensiunea scade de la valoarea  $\underline{V}_n$  la valoarea  $\underline{V}$ , realizându-se o cădere de tensiune:

$$\underline{\Delta V} = \frac{\underline{\Delta U}}{\sqrt{3}} = \underline{V}_n - \underline{V}$$

iar curentul  $I_x$  se poate exprima și prin relația:

$$I_x = \frac{\underline{V}}{jX}. \quad (7.19)$$

Puterea reactivă corespunzătoare care ar trebui injectată pentru anularea căderii de tensiune este:

$$\Delta Q = 3XI_x^2 = 3X \frac{|\underline{V}_n|^2}{|\underline{Z} + jX|^2}, \quad (7.20)$$

iar variația puterii reactive cu tensiunea se poate pune sub forma:

$$\frac{\Delta Q}{\Delta U} = 3 \frac{X}{|\underline{Z} + jX|^2} \cdot \frac{V_n^2}{\sqrt{3}(V_n - V)} = \sqrt{3} \frac{X}{|\underline{Z} + jX|^2} \frac{V_n^2}{V_n - V}. \quad (7.21)$$

Ținând seama de identitatea relațiilor (7.18) și (7.19) și aplicându-le o proprietate a rapoartelor, rezultă că:

$$\frac{V_n - V}{|Z|} = \frac{V_n}{|Z + jX|} \text{ sau } \frac{V_n - V}{V_n} = \left| \frac{Z}{Z + jX} \right|. \quad (7.22)$$

Introducînd acest raport în relația (7.21) se obține:

$$\frac{1}{\sqrt{3}} \cdot \frac{\Delta Q}{\Delta U} = \frac{X}{|Z + jX|^2} \cdot \left| \frac{Z + jX}{Z} \right| V_n = \frac{V_n}{Z} \frac{\left| j + \frac{Z}{X} \right|}{\left| j + \frac{Z}{X} \right|^2}. \quad (7.23)$$

Din ultima relație se constată că pentru ca  $\Delta U \Rightarrow 0$  trebuie ca  $X \Rightarrow \infty$ , astfel încît:

$$\lim_{\Delta U \rightarrow 0} \frac{1}{\sqrt{3}} \cdot \frac{\Delta Q}{\Delta U} = \frac{1}{\sqrt{3}} \cdot \frac{\partial Q}{\partial U} = \frac{V_n}{Z}. \quad (7.24)$$

Deoarece  $Z$  este impedanța rezultantă a rețelei văzută din punctul  $M$ , raportul  $\frac{V_n}{Z}$  reprezintă curentul de scurtcircuit trifazat corespunzător. Această corespondență arată acum rațiunea fizică a creșterii coeficientului  $\frac{\partial Q}{\partial U}$  cu importanța postului sau stației de transformare la care el se raportează. Altfel spus, în punctele unde curentul de scurtcircuit trifazat are intensități mari, reglarea tensiunii prin injecție de putere reactivă este neeconomic de efectuat, deoarece puterile reactive necesare au valori ridicate.

*Observație.* Dacă într-o rețea există puncte unde tensiunea este reglată la valori constante, atunci se poate presupune că în fiecare din aceste puncte sînt conectate tensiuni electromotoare constante. Ca urmare, trebuie să se facă abstracție de impedanțele situate în amonte de punctele de reglare și dacă ele nu intervin în calculul impedanței rezultante  $Z$ , ecuațiile (7.18) și (7.19) dau valorile corecte ale tensiunii  $V$  și curentului  $I_x$ .

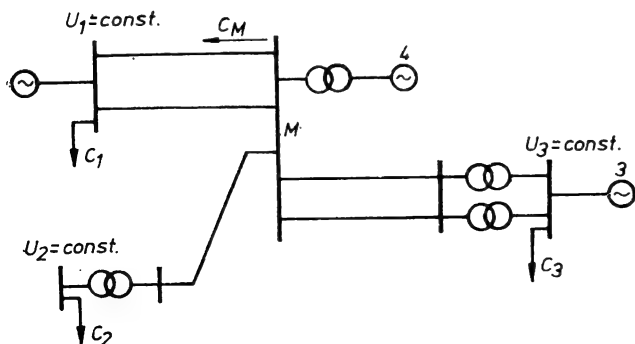


Fig. 7.3. Modul de considerare a elementelor pentru determinarea coeficientului  $\frac{\partial Q}{\partial U}$  într-o rețea cu noduri cu tensiuni constante.

De exemplu, pentru rețeaua dată în figura 7.3 se cercetează valoarea coeficientului  $\frac{\partial Q}{\partial U}$

pe bara  $M$ . Dacă tensiunile  $U_1$ ,  $U_2$  și  $U_3$  sînt reglate la valori constante și generatoarele din centrala 3 nu sînt prevăzute cu regulatoare automate de tensiune, atunci în calculul impedenței rezultante nu se vor considera impedențele centralei 1 și ale transformatoarelor corespunzătoare, ale generatoarelor centralelor 2 și 3 și nici impedențele receptoarelor  $C_2$  și  $C_3$ , deoarece funcționarea lor este fără influență asupra tensiunilor din punctele de conectare a lor.

Acest lucru este necesar de cunoscut mai ales cînd se efectuează un studiu al nivelului de tensiuni într-o rețea pe model, figurîndu-se numai impedențele elementelor în aval de punctele cu tensiuni reglate.

#### 7.2.4. APARATE ȘI MAȘINI ELECTRICE PENTRU PRODUCEREA SAU CONSUMUL DE PUTERE REACTIVĂ

Reglajul de tensiune prin injecție de putere reactivă presupune posibilitatea producerii sau consumului de putere reactivă în unele noduri dintr-o rețea electrică. Această funcție poate fi îndeplinită de următoarele mașini și aparate electrice:

- generatoare de curent alternativ, motoare sincrone și mașini comutatoare;
- compensatoare rotative sincrone și asincrone;
- compensatoare statice — baterii de condensatoare și bobine de inducțanță.

*a. Mașinile sincrone.* Aceste mașini sînt capabile să debiteze sau să absoarbă putere reactivă din rețea, conform regimului lor de excitație. Cînd curentul de excitație este mai mare decît curentul de excitație la mersul în gol, ele funcționează supraexcitate și se comportă ca niște condensatoare, adică produc putere reactivă în rețea; cînd funcționează subexcitate, adică cu curent de excitație mai mic decît cel de mers în gol, ele absorb de la rețea putere reactivă și se comportă ca niște bobine de inducțanță. Mașinile sincrone specializate în producerea de putere reactivă, care nu absorb și nu furnizează nici o putere activă utilă, se numesc *compensatoare sincrone*.

Variația puterii reactive a unui compensator sincron în funcție de curentul de excitație corespunde figurii 7.4. Segmentul  $\overline{OA}$  reprezintă curentul de excitație la mersul în gol, la tensiunea nominală a rețelei, iar segmentul  $\overline{OC}$  corespunde curentului maxim de excitație în regim supraexcitat, cînd compensatorul sincron debitează o putere reactivă capacitivă  $Q_c$ , proporțională cu segmentul  $\overline{CB}$ . Excitația minimă admisibilă este reprezentată prin segmentul  $\overline{OE}$ , căruia îi corespunde o putere reactivă inductivă  $Q_i$ , proporțională cu  $\overline{DE}$ .

Puterea reactivă a unui compensator sincron în funcționare supraexcitată este limitată numai de condiții de încălzire, în timp ce în funcționare subexcitată ea este limitată de condiții de menținere a stabilității. Reducerea excitației

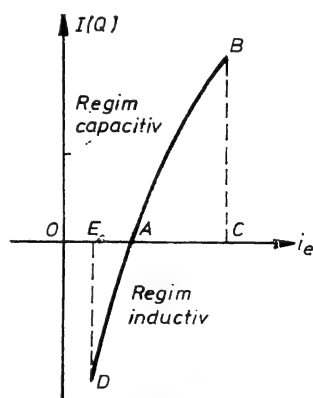


Fig. 7.4. Variația puterii reactive a compensatorului sincron în funcție de curentul de excitație.

este teoretic posibilă pînă cînd cuplul sincronizant devine inferior cuplului corespunzător pierderilor din mașină. Pentru o mașină sincronă care are poli aparenti, datorită variației reluctanței în lungul întrefierului, se poate admite că nu-și pierde stabilitatea chiar pentru curenți de excitație a căror intensitate este apropiată de zero.

Raportul dintre puterea maximă reactivă debitată  $Q_c$  și puterea maximă absorbită  $Q_i$ , depinde de construcția compensatoarelor sincrone și de repartiția amperspirelor între stator și rotor. Criteriul economic de construcție a acestora corespunde rapoartelor:

$$\frac{Q_c}{Q_i} = \frac{\overline{BC}}{\overline{DE}} \approx 1,7 \text{ și } \frac{\overline{OC}}{\overline{OA}} \approx 3,5,$$

iar costul lor crește cu atît mai mult, cu cît puterea reactivă absorbită se apropie, ca valoare, de puterea reactivă debitată, care se consideră ca putere nominală. În general, valoarea acesteia este cuprinsă între limitele de 15 și 60 Mvar, mașinile cu puteri nominale inferioare ne reprezentînd interes pentru rețelele electrice.

Pornirea compensatoarelor sincrone poate fi făcută fie cu motoare asincrone, dacă ele au prevăzute înfășurări de amortizare, fie prin cuplare cu un motor asincron sincronizat, cu ajutorul căruia este adus la turația de sincronism. Instalarea lor se face de obicei în exterior, în care caz ele se rotesc într-o atmosferă umplută cu hidrogen. Datorită acestui fapt, pierderile (în particular pierderile în gol) sînt foarte reduse, ceea ce este avantajos, mai ales în cazul mașinilor cu regim permanent de funcționare.

În caz de scurtcircuit în rețea, compensatorul sincron debitează în primul moment un curent de scurtcircuit și se comportă ca un alternator; el contribuie la creșterea curentului de scurtcircuit. Din punctul de vedere al menținerii stabilității în funcționare a sistemelor electroenergetice, el are un rol pozitiv în caz de deranjament. Cînd tensiunea în rețea scade, compensatorul sincron tinde să debiteze un curent de compensare mai mare, ceea ce conduce la îmbunătățirea nivelului de tensiune.

*b. Mașinile asincrone.* O mașină asincronă prevăzută cu o excitatrice cu colector (de exemplu, cu convertizor de frecvență) este capabilă să îndeplinească același rol ca cel al unui compensator sincron. Inelele rotorului compensatorului asincron  $A$  sînt legate de colectorul excitatricei  $B$ , ale cărei inele sînt alimentate de la rețea, prin intermediul unui organ de reglaj  $C$ , ca în figura 7.5.

Curba curentului sau puterii reactive a unei mașini asincrone, în funcție de curentul de excitație este dată în figura 7.6, în care abscisa  $\overline{OA}$  corespunde curentului de mers în gol. Puterea reactivă maximă pe care o poate absorbi este egală cu cea pe care o poate debita, aceasta fiind limitată numai de condițiile de încălzire ale mașinii. Acest fapt poate avea importanță, de exemplu, în cazul unei linii lungi de înaltă tensiune care alimentează o rețea de cabluri, care debitează o putere reactivă mare.

În majoritatea cazurilor însă, compensatorul asincron nu prezintă avantaje în raport cu cel sincron și de aceea este puțin întrebuintat. El este mai scump și are pierderi mai mari decît compensatorul sincron. De asemenea, nu contribuie la menținerea stabilității în caz de defect în rețea, deoarece cînd scade tensiunea, scade și curentul debitat de compensator,

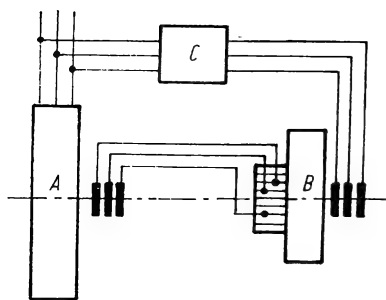


Fig. 7.5. Schema de principiu a unei instalații de compensare cu mașină asincronă.

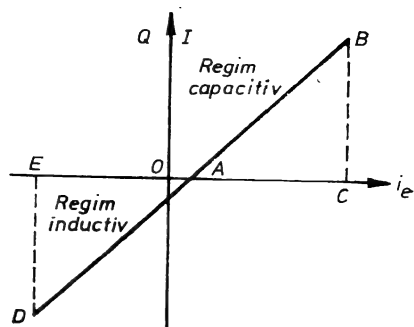


Fig. 7.6. Variația puterii reactive a compensatorului asincron în funcție de curentul de excitație.

iar organul de reglaj și excitatricea sînt mai delicate decît în cazul compensatorului sincron.

*c. Condensatoarele statice și bobinele de inductanță.* Reglarea tensiunii se poate efectua legînd în derivație, la stația de sosire, condensatoare statice cînd este necesar să se debiteze putere reactivă sau bobine de inductanță, cînd trebuie să se consume putere reactivă. În acest caz, reglarea tensiunii se face operînd asupra numărului de elemente grupate în paralel, care se pun sau se scot succesiv din serviciu. Aceste aparate sînt, în general, stabilite pentru tensiuni care nu depășesc 20 kV, ceea ce nu prezintă dificultăți din punct de vedere constructiv.

Condensatoarele statice sînt foarte răspîndite și se pot constitui în baterii de cîteva mii de kilovoltamperi, montate în stea sau în triunghi, ca în figura 7.7, capabile să compenseze total sau în parte căderea de tensiune în lungul rețelei de transport. Totodată ele sînt utilizate pentru îmbunătățirea factorului de putere al consumatorilor, fiind conectate fie la bornele aparatelor de utilizare — motoare, tuburi fluorescente —, fie la barele posturilor de transformare din rețeaua de distribuție de medie tensiune (5÷20 kV). Ultima dispoziție este adesea preferabilă primei, deoarece ea permite concentrarea în același nod a unui număr important de baterii, care pot fi exploatate mai ușor, pentru satisfacerea nevoilor de reglare a tensiunii.

Întrebuințarea condensatoarelor este economic avantajoasă, mai ales în cazul îmbunătățirii factorului de putere al sarcinilor mici sau mijlocii, cînd utilizarea mașinilor sincrone este nerațională, dacă puterea reactivă necesară este mai mică decît 50 Mvar. Ca urmare, condensatorul static se adaptează bine la compensarea rețelelor de distribuție, în timp ce compensatorul sincron este destinat compensării rețelei de transport.

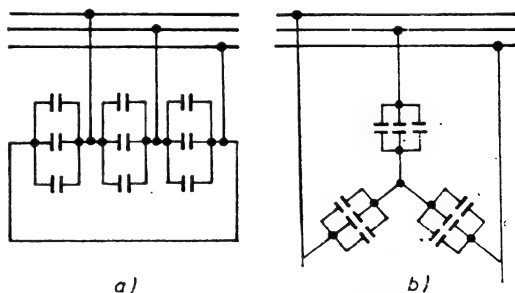


Fig. 7.7. Scheme pentru montarea condensatoarelor de compensare a puterii reactive într-o rețea electrică:

a — montarea în stea; b — montarea în triunghi.

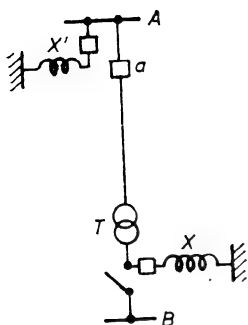


Fig. 7.8. Montarea bobinelor de compensare la liniile electrice de foarte înaltă tensiune.

*Bobinele de inductanță* sînt întrebuințate în unele cazuri, pentru a absorbi puterea reactivă debitată la orele de încărcare redusă a liniilor lungi de foarte înaltă tensiune sau a rețelilor importante de cabluri. În afara reglării tensiunii, ele permit punerea sub tensiune a unei linii lungi sau a unui cablu în gol, fără a provoca o absorbție importantă de putere reactivă de la mașinile generatoare.

Fie, de exemplu, linia lungă din figura 7.8, care trebuie menținută în gol prin stația de plecare A. Cînd se închide întreruptorul *a*, mașinile generatoare din A trebuie să absoarbă puterea reactivă produsă de capacitatea liniei. Din contră, dacă se conectează în prealabil o bobină de inductanță *X* în stația B, care absoarbă puterea reactivă a liniei, închiderea întreruptorului *a* nu va fi însoțită de nici un șoc pentru alternatoare.

În plus, nici tensiunea la capătul B, care crește datorită efectului Ferranti, nu atinge valori periculoase pe izolația liniei și aparataj. Dacă bobina de inductanță *X'* se conectează pe barele A, alternatoarele vor funcționa în aceleași condiții, însă tensiunea în B va fi puțin mai ridicată decît în prima dispunere.

Pentru a efectua reglarea tensiunii în diferite regimuri, se montează de obicei mai multe bobine în paralel. Uneori, cînd puterea reactivă absorbită de la rețea la orele de sarcină redusă trebuie să fie de același ordin de mărime ca și puterea reactivă debitată la orele de sarcină mare, bobinele de inductanță pot fi asociate compensatoarelor sincrone.

#### 7.2.5. DETERMINAREA PUTERII COMPENSATOARELOR SINCRONE

Puterea compensatoarelor sincrone sau a bateriilor de condensatoare se poate determina pe cale analitică sau grafică. În acest scop, se consideră că tensiunea  $U_1$  la începutul liniei este menținută permanent constantă printr-un mijloc oarecare de reglare. Dacă se ține seama că pentru regimul de sarcină maximă tensiunea la capătul liniei este  $U_{2\min}$ , iar pentru sarcină minimă este  $U_{2\max}$ , atunci relațiile între tensiuni se pot scrie sub forma:

— pentru sarcină maximă:

$$U_1 = U_{2\min} + \frac{P_{2\max} R + Q_{2\max} X}{U_{2\min}}; \quad (7.24)$$

— pentru sarcină minimă:

$$U_1 = U_{2\max} + \frac{P_{2\min} R + Q_{2\min} X}{U_{2\max}}; \quad (7.25)$$

în care s-a neglijat componenta transversală a căderii de tensiune.

În cazul cînd se montează un compensator sincron, tensiunea la capătul liniei trebuie menținută la o valoare constantă, dorită, indiferent de regimul de încărcare.

Dacă se notează această tensiune cu  $U_{2d}$ , atunci relațiile de mai sus devin:

— pentru sarcină maximă:

$$U_1 = U_{2d} + \frac{P_{2 \max} R + (Q_{2 \max} - Q_{cs})X}{U_{2d}}, \quad (7.26)$$

— pentru sarcină minimă:

$$U_1 = U_{2d} + \frac{P_{2 \min} R + (Q_{2 \min} + Q_{csb})X}{U_{2d}}, \quad (7.27)$$

în care:  $Q_{cs}$  reprezintă puterea capacitivă debitată în rețea de compensatorul sincron în regim de supraexcitare;

$Q_{csb}$  — puterea inductivă a compensatorului sincron absorbită din rețea în regim de subexcitare.

Ținând seama că tensiunea  $U_1$  rămîne constantă în ambele situații, rezultă din compararea relațiilor (7.24) cu (7.25) și (7.26) cu (7.27) că:

$$\frac{Q_{cs}X}{U_{2d}} = (U_{2d} - U_{2 \min}) + \frac{P_{2 \max} \cdot R + Q_{2 \max} \cdot X}{U_{2d}} - \frac{P_{2 \max} \cdot R + Q_{2 \max} \cdot X}{U_{2 \min}}; \quad (7.28)$$

$$\frac{-Q_{csb}X}{U_{2d}} = (U_{2d} - U_{2 \max}) + \frac{P_{2 \min} \cdot R + Q_{2 \min} \cdot X}{U_{2d}} - \frac{P_{2 \min} \cdot R + Q_{2 \min} \cdot X}{U_{2 \max}}. \quad (7.29)$$

În regim de sarcină maximă  $U_{2d} > U_{2 \min}$ , în regim de sarcină minimă  $U_{2d} < U_{2 \max}$ , iar diferența ultimilor doi termeni din relațiile (7.28) și (7.29) are o valoare foarte mică, practic, putîndu-se neglija. Ca urmare, puterea compensatoarelor sincrone în regim supraexcitat și subexcitat poate fi determinată cu următoarele relații aproximative:

$$Q_{cs} = \frac{U_{2d}(U_{2d} - U_{2 \min})}{X}; \quad (7.30)$$

$$-Q_{csb} = \frac{U_{2d}(U_{2d} - U_{2 \max})}{X}. \quad (7.31)$$

Relațiile acestea se pot folosi pentru o primă evaluare a puterilor compensatoarelor sincrone, deoarece în cazul liniilor de lungimi mari trebuie să se mai țină seama și de transformatoare. De aceea, în aprecierea puterii există o eroare, care pentru liniile de 220 kV, poate fi de ordinul  $20 \div 25\%$ . Totuși, folosirea acestor relații este justificată, ținînd seama de intervalele mari care există între puterile standardizate ale compensatoarelor sincrone.

De asemenea, trebuie menționat că în aprecierea puterii compensatoarelor sincrone trebuie să se țină seama și de valoarea raportului dintre puterea capacitivă  $Q_{cs}$  și puterea inductivă  $Q_{csb}$ , care nu depășește 1.7.



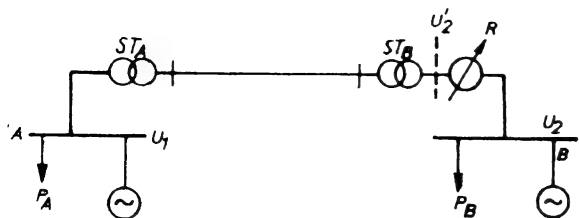


Fig. 7.9. Reglarea tensiunii prin injectia unei tensiuni aditionale.

## 7.2.6. LEGAREA APARATELOR DE COMPENSARE LA REȚEAUA DE TRANSPORT

S-a menționat că, în general, aparatele de compensare (compensatoare sincrone, condensatoare și bobine de inductanță) se grupează în stații de trans-

formare importante, care asigură legătura dintre rețeaua de transport și rețelele de distribuție. În principiu, este totdeauna posibil, de exemplu, ca aparatul de reglare să fie legat la terțiarul unui transformator cu un regulator de tensiune sensibil, fie pentru tensiunea rețelei primare, fie pentru tensiunea rețelei secundare. O analiză completă arată că puterile reactive debitate și variațiile de tensiune pe rețeaua nereglată sînt mai importante cînd reglarea este efectuată pe rețeaua separată de aparatul de compensare prin cea mai mare reactanță. Ca urmare, este mai avantajoasă reglarea tensiunii rețelei care este electric mai apropiată.

## 7.3. REGLAREA TENSIUNII PRIN INTRODUCEREA UNEI TENSIUNI ADIȚIONALE

În principiu, reglarea tensiunii prin introducerea unei tensiuni aditionale presupune un dispozitiv de reglare  $R$ , montat în serie ca în figura 7.9, care, adăugînd la tensiunea  $U_2$  aplicată bornelor sale în amonte, o tensiune reglabilă în fază cu  $U'_2$ , va readuce tensiunea  $U_2$  la o valoare constantă.

### 7.3.1. INFLUENȚA TENSIUNII ADIȚIONALE ASUPRA CIRCULAȚIEI DE PUTERE REACTIVĂ

Introducerea unei tensiuni aditionale pentru reglarea tensiunii — procedeu care pare cel mai natural — nu generează putere reactivă, însă modifică repartitia inițială a acesteia, deoarece tensiunea și puterile nu sînt mărimi independente între ele.

Se consideră, de exemplu, rețeaua dată în figura 7.10, în care tensiunile  $U_1$  și  $U_2$  sînt menținute constante. Dacă în punctul  $C$  se injectează o tensiune aditională  $\Delta U_a$ , în fază cu tensiunea  $U_3$  din acest punct, panta tensiunii dintre  $B$  și  $C$  va crește. Acest lucru impune o deplasare de putere reactivă  $\Delta Q$  de la  $C$  la  $B$ , care provine din punctul  $A$ . Deci, panta tensiunii între  $A$  și  $C$  a crescut și repartitia finală a tensiunilor este reprezentată prin linia întreruptă  $acc'b$  (fig. 7.10,  $b$ ). Situația este inversă, în cazul cînd  $\Delta U_a$  este negativ, așa cum se arată în figura 7.10,  $c$ .

Din această figură se constată un aspect fizic foarte important, și anume că variația tensiunii  $c''c'$  în punctul  $C$  este inferioară tensiunii aditionale injectate  $\Delta U_a$ , fiindcă panta tensiunii de transport între  $A$  și  $C$  se modifică,

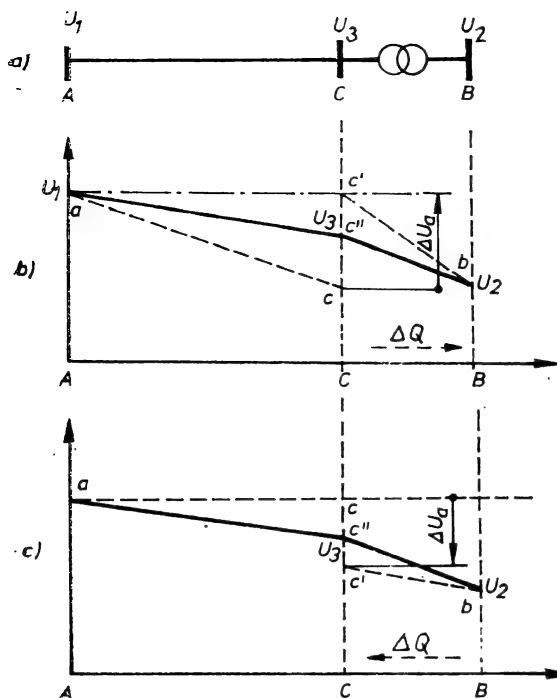


Fig. 7.10. Influența tensiunii adiționale asupra circulației de putere reactivă.

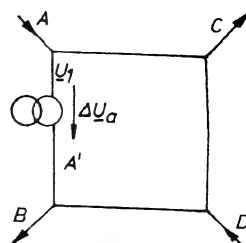


Fig. 7.11. Influența tensiunii adiționale asupra circulației de putere reactivă într-o rețea buclată.

ca urmare a raportului de putere reactivă. Acest efect este cu atât mai important cu cât  $\Delta U_a$  este mai mare. Ajustarea tensiunii la valoarea voită cu ajutorul unei tensiuni adiționale nu produce decât o deplasare de putere reactivă, fără a putea dispensa rețeaua de puterea reactivă necesară consumatorilor sau transportului.

Cele de mai sus se pot generaliza pentru rețeaua buclată, din figura 7.11, în care se introduce o tensiune adițională  $\Delta U_a$  pe linia  $AB$ , între punctele  $A$  și  $A'$ . Dacă  $Z = R + jX$  reprezintă impedanța totală a circuitului buclat, atunci curentul de circulație  $I_c$  determinat de tensiunea adițională injectată, care se suprapune peste curentul existent este:

$$I_c = \frac{\Delta U_a}{Z} = \frac{\Delta U_a}{R + jX} = \frac{\Delta U_{aa} + j\delta U_{ar}}{R + jX}, \quad (7.32)$$

în care:  $\Delta U_{aa}$  este componenta longitudinală a tensiunii injectate;

$\delta U_{ar}$  — componenta transversală a tensiunii injectate.

Puterea de circulație corespunzătoare acestui curent, care se suprapune peste cea inițială, are valoarea:

$$S_c = P_c + jQ_c = U_1 I_c^*. \quad (7.33)$$

Ținând seama de relația (7.32), rezultă că:

$$I_c^* = \frac{\Delta U_{aa} - j\delta U_{ar}}{R - jX}; \quad (7.34)$$

$$S_c = P_c + jQ_c = \frac{U_1}{Z^2} \left[ (R\Delta U_{aa} + X\delta U_{ar}) + j(X\Delta U_{aa} - R\delta U_{ar}) \right], \quad (7.35)$$

de unde se obține că:

$$P_c = U_1 \frac{R\Delta U_{aa} + X\delta U_{ar}}{Z^2}; \quad Q_c = U_1 \frac{X\Delta U_{aa} - R\delta U_{ar}}{Z^2}. \quad (7.36)$$

Aceste relații permit, pe de o parte, stabilirea variației puterii active și reactive într-un circuit buclat, datorită introducerii unei tensiuni adiționale, iar pe de altă parte, modificarea circulației acestor puteri în funcție de natura circuitului. Astfel pentru circuitele cu reactanța preponderentă ( $\frac{X}{R} \gg 1$ ), injectia unei tensiuni în fază (longitudinală) cu tensiunea de reglat în punctul de reglare modifică în special circulația puterii reactive, iar injectia unei tensiuni în cuadratură (transversală) cu tensiunea de reglat, modifică în special puterea activă. Efectul injectiei tensiunilor adiționale este invers, dacă rezistența circuitului este mult mai mare decât reactanța lui.

În rețelele electrice se utilizează mai ales procedeul injectiei unei tensiuni adiționale longitudinale, în fază cu tensiunea de reglat. Cel de-al doilea procedeu, care constă în injectia unei tensiuni adiționale în cuadratură cu tensiunea de reglare este costisitoare și presupune grupuri statice de transformatoare speciale. De aceea, se utilizează mai rar în cadrul sistemelor electroenergetice, contribuind într-o măsură determinată și la modificarea circulației puterilor active, când mijloacele naturale de repartiție a acestora nu sînt suficiente.

### 7.3.2. PRODUCEREA TENSIUNILOR ADIȚIONALE LONGITUDINALE. SCHIMBĂTOARELE DE PRIZE SUB SARCINĂ

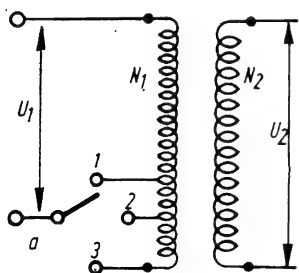


Fig. 7.12. Schema de principiu a transformatorului monofazat cu reglarea în gol a tensiunii:

1 - priză + 5%; 2 - priză mediană; 3 - priză - 5%; a - contact mobil de comutare a prizelor.

Tensiunile adiționale longitudinale pot fi produse cu ajutorul transformatoarelor prevăzute cu prize reglabile sub sarcină sau în gol. În ambele cazuri reglarea se realizează prin modificarea numărului de spire ale înfășurării cu tensiunea cea mai mare.

În figura 7.12 este reprezentat un transformator coborât de tensiune cu două înfășurări și trei prize de reglare pe partea primară, care asigură

pe partea secundară o variație de tensiune de  $\pm 5\%$ . Pentru un astfel de transformator se poate scrie că:

$$U_2 \approx U_1 \frac{N_2}{N_1}, \quad (7.37) *$$

în care:  $U_2$  este tensiunea la bornele secundare ale transformatorului;

$U_1$  — tensiunea la bornele primare ale transformatorului;

$N_2$  — numărul de spire ale înfășurării secundare;

$N_1$  — numărul de spire ale înfășurării primare.

Examinînd relația (7.37) și figura 7.12 se observă că, mărind numărul de spire  $N_1$ , prin deplasarea comutatorului de prize  $a$  de pe priza 2 pe priza 3, se obține în secundar o tensiune cu 5% mai mică decît tensiunea corespunzătoare prizei mediane. Invers, dacă se reduce numărul de spire  $N_1$ , prin deplasarea comutatorului de pe priza 2 pe priza 1, tensiunea în secundar crește cu 5% față de priza mediană.

Variația tensiunii secundare la transformatoare cu reglaj în gol impune deconectarea transformatorului de la rețea și, în plus, luarea unor măsuri speciale de protecție a muncii. De aceea, procedeul este folosit numai pentru reglarea sezonieră a tensiunii.

Reglarea tensiunii prin schimbarea prizelor se poate face *direct* sau *indirect*.

*a. Reglarea directă.* În acest caz, una din înfășurări este echipată cu prize care se utilizează succesiv. Cînd se trece de la o priză la alta vecină, nu trebuie să se taie nici un curent și nici să se pună în scurtcircuit spirele înfășurării.

În general, toate schemele de reglare directă derivă din schema dată în figura 7.13 în care 1, 2, 3, ..., 6 reprezintă schimbătoarele de prize, iar  $AT$  un mic auto-transformator, a cărui reactanță este suficient de mare, pentru ca curentul care o traversează cînd el este închis pe două prize consecutive, să nu pericliteze bobinajul transformatorului.

Funcționarea schemei se poate explica astfel: dacă toate schimbătoarele de prize, în afară de 1, de exemplu, sînt deschise, tensiunea la ieșire este maximă și corespunde prizei respective, diminuată de o mică cădere de tensiune în jumătatea autotransformatorului  $AT$ . Dacă schimbătoarele 1 și 2 sînt închise, totul se petrece ca și cînd ar exista o singură priză mediană pe bobinajul dintre 1 și 2. Dacă schimbătorul 2 este închis, atunci tensiunea la ieșire corespunde prizei 2, micșorată de o cădere de tensiune în jumătate din bobinajul autotransformatorului.

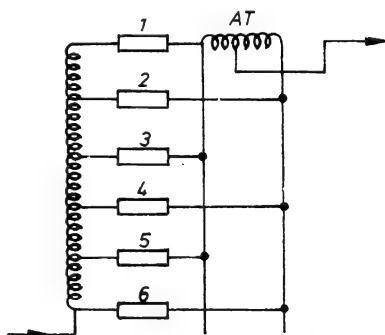


Fig. 7.13. Schema de principiu a schimbătoarelor de prize la un transformator cu două înfășurări cu reglare directă.

\* Relația (7.37) este aproximativă, fiind valabilă pentru un transformator ideal.

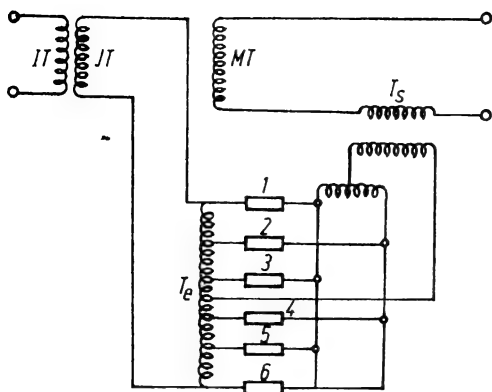


Fig. 7.14. Schema de principiu a schimbătoarelor de prize la un transformator cu reglare indirectă.

Manevra de trecere de la o priză la alta succesivă, de exemplu, de la 3 la 4, se face în ordinea următoare: toate schimbătoarele de prize în afară de 3 sînt deschise, se închide 4, apoi se deschide 3.

Dezavantajul unui astfel de mod de reglare constă în aceea că, în cazul unei avarii la schimbătorul de prize, se imobilizează transformatorul.

*b. Reglarea indirectă.* În acest caz, reglarea se efectuează de către un grup separat, eliminîndu-se posibilitatea imobilizării transformatorului. Grupul separat se compune dintr-un transformator  $T_e$ , zis de excitație, alimentat în joasă tensiune

sau de la înfășurarea terțiară a transformatorului principal. Secundarul autotransformatorului de excitație este echipat cu prize, injectînd o tensiune variabilă în serie cu înfășurarea tensiunii de reglat a transformatorului principal prin intermediul unui transformator serie  $T_s$ , așa cum se indică în figura 7.14. Pentru a reduce izolația transformatorului  $T_s$ , secundarul lui nu este dispus în conexiunea liniei, ci în conexiunea neutrului transformatorului principal.

Manevra schimbătoarelor de prize 1, 2, 3, ..., 6 este comandată, în general, prin motor electric, a cărui punere în mișcare poate fi făcută fie *automat*, dacă transformatorul este controlat prin regulator de tensiune, fie *manual*.

Prizele variabile permit să se obțină, cel mai adesea, o amplitudine totală de variație a tensiunii,  $\Delta U_a$ , cuprinsă între limitele de 10 și 15% din tensiunea nominală. Aceste limite sînt suficiente pentru a satisface reglarea de tensiune în rețelele electrice. O extindere mai mare a variației de tensiune antrenează o creștere importantă a prețului de cost al transformatorului.

Amplitudinea de variație a tensiunii corespunzătoare unei prize, depinde de puterea și de tipul transformatorului. În general, ea corespunde limitelor de  $0,75 \div 2,5\%$  din tensiunea nominală.

### 7.3.3. CALCULUL PRIZEI NECESARE UNEI REGLĂRI DE TENSIUNE

Problema principală care se pune la reglarea tensiunilor cu ajutorul transformatoarelor, constă în alegerea prizelor de lucru, în așa fel încît să se evite comutarea repetată a prizelor odată cu variația sarcinilor.

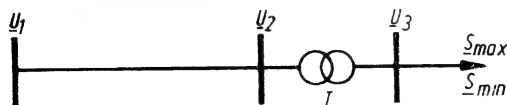


Fig. 7.15. Rețea electrică cu o singură sarcină și două regimuri de funcționare pentru reglarea tensiunii: maximum ( $S_{max}$ ) și minimum ( $S_{min}$ ).

Se presupune că sarcina consumatorului de pe barele de joasă tensiune a transformatorului din figura 7.15 variază între două limite:  $S_{max}$  și  $S_{min}$ . Dacă tensiunea  $U_1$  este menținută constantă

printr-un mijloc de reglare oarecare și circulația puterilor în rețea este cunoscută, atunci, calculând căderile de tensiune pe linie se obțin tensiunile pe barele primare ale transformatorului în regimurile de sarcină maximă și minimă, adică  $U_{2 \min}$  și  $U_{2 \max}$ .

Rapoartele de transformare se aleg în așa fel încât tensiunea  $U_3$  pe barele de joasă tensiune ale consumatorului să fie cuprinsă în limitele admisibile, adică să fie satisfăcute inegalitățile:

— pentru sarcina maximă:

$$U_{3 \min} = \frac{U_{2 \min} - \Delta U_{T \max}}{k_1} > U_{\min ad} \quad (7.38)$$

— pentru sarcina minimă:

$$U_{3 \max} = \frac{U_{2 \max} - \Delta U_{T \min}}{k_2} < U_{\max ad} \quad (7.39)$$

în care:  $\Delta U_T$  reprezintă pierderea de tensiune în transformator;

$$k = \frac{U_{20}}{U_{30}} = \frac{U_{p0} \pm n \cdot a\%}{U_{jt}} \quad \begin{array}{l} \text{— raportul de mers în gol al} \\ \text{transformatorului;} \\ U_{p0} \quad \text{— tensiunea prizei mediane a trans-} \\ \text{formatorului;} \\ n \quad \text{— numărul de prize;} \\ a \quad \text{— amplitudinea de variație a ten-} \\ \text{siunii pe priză, în \% din ten-} \\ \text{siunea nominală.} \end{array}$$

Diferențele  $(U_{2 \min} - \Delta U_{T \max})$  și  $(U_{2 \max} - \Delta U_{T \min})$  reprezintă tensiunile de calcul pe barele de joasă tensiune, raportate la înaltă tensiune.

Se presupune că există un anumit raport de transformare  $k_1 = k_2 = k_0$ , pentru care ambele inegalități (7.38) și (7.39) sînt satisfăcute. În acest caz, se poate scrie că:

$$(U_{2 \max} - U_{2 \min}) \frac{1}{k_0} + (\Delta U_{T \max} - \Delta U_{T \min}) \frac{1}{k_0} < U_{\max ad} - U_{\min ad}, \quad (7.40)$$

de unde rezultă:

$$k_0 < \frac{(U_{2 \max} - U_{2 \min}) + (\Delta U_{T \max} - \Delta U_{T \min})}{U_{\max ad} - U_{\min ad}}. \quad (7.41)$$

Dacă se face aproximația că termenul care reprezintă diferența căderilor de tensiune în transformator este neglijabil în expresia raportului de transformare  $k_0$ , se obține:

$$k_0 = \frac{U_{20}}{U_{30}} < \frac{U_{2 \max} - U_{2 \min}}{U_{\max ad} - U_{\min ad}} \quad (7.42)$$

sau:

$$\frac{U_{\max ad} - U_{\min ad}}{U_{30}} < \frac{U_{2 \max} - U_{2 \min}}{U_{20}}. \quad (7.43)$$

Alegînd priza de lucru corespunzătoare raportului menționat  $k_0$ , se asigură nivelul tensiunilor în limitele admisibile la bornele consumatorului, atît în cazul sarcinilor maxime, cît și în cazul sarcinilor minime.

Cînd inegalitatea (7.43) nu este îndeplinită, nu se poate găsi un raport de transformare care să satisfacă ambele condiții (7.38) și (7.39). În acest caz este necesar să se lucreze pe prize diferite atunci cînd sarcinile sînt minime sau maxime, iar rapoartele de transformare rezultă din inegalitățile (7.38) și (7.39). Se obține:

— pentru regimul de sarcină maximă:

$$U_{3 \min} = \frac{U_{2 \min} - \Delta U_{T \max}}{U_{p0} \pm n_1 \cdot a \% } U_{jt} > U_{\min \text{ ad}}; \quad (7.44)$$

— pentru regimul de sarcină minimă:

$$U_{3 \max} = \frac{U_{2 \max} - U_{T \min}}{U_{p0} \pm n_2 \cdot a \% } U_{jt} < U_{\max \text{ ad}}. \quad (7.45)$$

În aceste inegalități tensiunile  $U_{3 \min}$  și  $U_{3 \max}$  sînt alese în conformitate cu cererile consumatorilor, iar tensiunile  $U_{jt}$ , tensiunea prizei mediane  $U_{p0}$ , precum și amplitudinea de variație a tensiunii sînt cunoscute. Singurele necunoscute sînt prizele  $n_1$  și  $n_2$ , pe care trebuie să funcționeze transformatorul pentru a fi îndeplinite condițiile impuse.

Evident că din calcule numărul prizei nu va fi întreg. Prizele alese vor corespunde numerelor întregi, imediat superioare celor calculate. Cu aceste prize se recalculează tensiunile  $U'_{3 \min}$  și  $U'_{3 \max}$ , care nu trebuie să difere cu mai mult de 5% față de valorile inițial stabilite.

#### 7.4. REGLAREA PUTERILOR ACTIVE ȘI REACTIVE ÎNTR-O REȚEA BUCLATĂ CU AJUTORUL TENSIUNILOR ADIȚIONALE

Relațiile (7.35) și (7.36) arată că dacă se injectează într-un nod oarecare al unei rețele buclate, în care reactanța este predominantă, o tensiune reglabilă  $\delta V$  în cuadratură cu tensiunea  $\underline{V}$ , se provoacă circulația unui curent sensibil în fază cu  $\underline{V}$ . În acest mod se va putea regla valoarea puterii active care circulă din nodul respectiv.

Dacă însă se injectează o tensiune adițională longitudinală  $\Delta \underline{V}$ , în fază cu tensiunea  $\underline{V}$ , atunci este posibilă reglarea puterii reactive din acel nod. Trebuie menționat însă că puterile de circulație din buclele rețelelor, nu pot fi reglate simultan în mai multe puncte; regimul diferitelor elemente va fi determinat numai prin puterile prelevate sau debitate în noduri și prin acelea care trec prin nodul în care se injectează tensiunea adițională.

Cele menționate mai sus arată că orice aparat care poate produce o tensiune în fază (cazul transformatoarelor cu prize reglabile) sau în cuadratură cu tensiunea rețelei, poate fi folosit și pentru reglarea puterilor active și reactive într-o rețea buclată. Dintre aceste aparate se vor aminti următoarele:

- 1) regulatoarele de inducție;
- 2) transformatoarele speciale.

### 7.4.1. REGULATOARE DE INDUCȚIE

Regulatorul de inducție este un motor asincron cu rotorul fix, care funcționează ca un transformator. În consecință, prin alimentarea statorului se va obține la inelele colectoare o tensiune a cărei valoare efectivă depinde de raportul de transformare, iar defazajul  $\theta$  al acesteia, în raport cu tensiunea aplicată statorului, depinde de poziția de calare a rotorului. Pentru anularea cuplului la arborele regulatorului se asociază, de obicei, două regulatoare de inducție simple, ca în figura 7.16, *a*, cu rotoarele fixate pe un arbore comun și bobinate în așa fel încât cuplurile lor să fie antagoniste. Dacă tensiunile celor două regulatoare asociate  $\underline{V}_1$  și  $\underline{V}'_1$  sînt egale și unghiurile  $\theta_1$  și  $\theta'_1$  sînt de asemenea egale, dar de semn contrar, ca în figura 7.16, *b*, atunci suma geometrică a tensiunilor  $\underline{V}_1$  și  $\underline{V}'_1$  va varia între  $-2V_1$  și  $+2V_1$  și va fi totdeauna în fază cu tensiunea  $\underline{V}$  de reglat. În consecință, amplitudinea tensiunii rețelei în nodul de montare al regulatorului de inducție va fi cuprinsă între  $V - 2V_1$  și  $V + 2V_1$ , ceea ce va antrena variații corespunzătoare ale puterii reactive.

Dacă însă montajul celor două regulatoare asociate se face astfel încît tensiunea  $\underline{V}'_1$  a celui de-al doilea regulator să fie inversată în raport cu cazul precedent, ca în figura 7.17, atunci suma geometrică  $\underline{V}'$  va varia între  $-2V_1$  și  $+2V_1$  și va rămîne în cuadratură cu tensiunea  $\underline{V}$  de reglat. În consecință, amplitudinea și faza tensiunii de reglat vor fi modificate și, corespunzător, puterea activă care circulă între noduri.

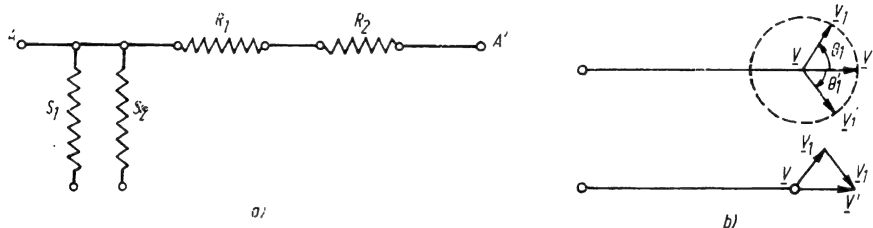


Fig. 7.16. Schema principală și diagrama tensiunilor în cazul folosirii a două regulatoare simple de inducție care inseriază o tensiune în fază cu tensiunea dereglat.

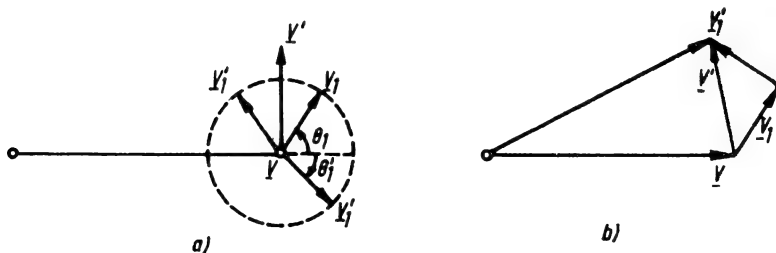


Fig. 7.17. Diagrama tensiunilor în cazul folosirii a două regulatoare simple de inducție care inseriază o tensiune în cuadratură cu tensiunea de reglat.



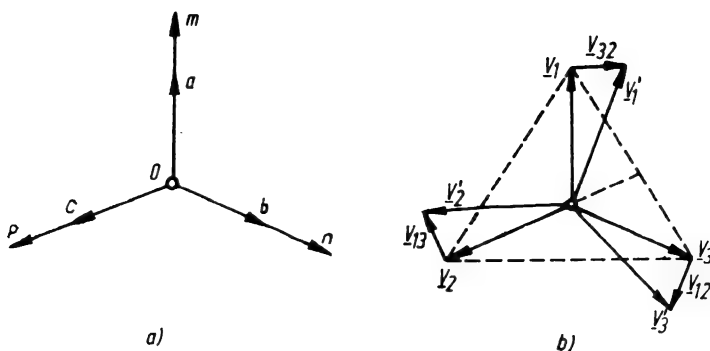


Fig. 7.18. Diagrammele fazoriale ale tensiunilor cînd se injectează:  
a — tensiuni adiționale longitudinale; b — tensiuni adiționale transversale

#### 7.4.2. TRANSFORMATORE SPECIALE

Introducerea unei tensiuni adiționale în fază sau în cuadratură cu tensiunea de reglat și, în consecință, modificarea practică a circulației puterilor active și reactive într-o buclă de rețea, se realizează cu ajutorul *transformatoarelor speciale*, denumite în mod curent *grupuri statice de reglare*.

În cazul transformatoarelor cu reglare longitudinală descrise anterior, elementele de reglare (prizele) erau alimentate de la faza la care erau conectate. Ele introduceau tensiuni adiționale în fază cu tensiunea de reglat, fapt care este indicat grafic în figura 7.18, a prin segmentele  $am$ ,  $bn$  și  $cp$ .

În rețelele electrice trifazate este ușor însă să se obțină și tensiuni adiționale în cuadratură cu tensiunea rețelei; astfel, trebuie observat, de exemplu, că diferența geometrică dintre tensiunile simple ale fazelor 2 și 3, din figura 7.18, b, este perpendiculară pe tensiunea simplă a primei faze.

Tensiunile  $V'_1$ ,  $V'_2$  și  $V'_3$  sînt mai mari și rotite față de tensiunile  $V_1$ ,  $V_2$  și  $V_3$ . În consecință, pentru introducerea unei tensiuni adiționale în cuadratură cu tensiunea de reglare, înfășurarea serie a transformatorului de reglare trebuie alimentată cu tensiunea dintre celelalte două faze. Acest aparat poate fi prevăzut cu un inversor care să modifice legăturile dintre transformatorul de excitație și transformatorul serie, deci și sensul defazajului din figura 7.18, b.

În cele ce urmează se vor descrie două scheme de transformatoare speciale.

O primă schemă este prezentată în figura 7.19, care are transformatorul de excitație  $T_e$  cu înfășurarea primară conectată în triunghi

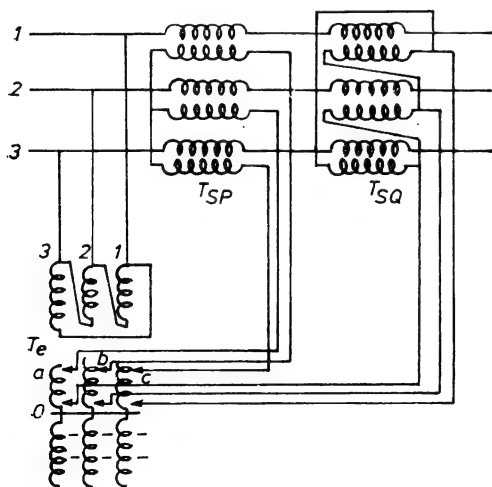


Fig. 7.19. Schemele de principiu ale grupurilor statice de reglare a puterilor active și reactive.



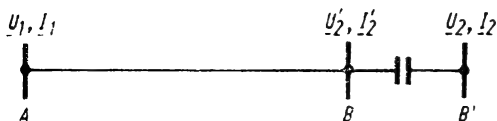


Fig. 7.21. Linie lungă prevăzută cu condensatoare serie.

În primul caz, în perioadele de sarcină mai redusă, tensiunea la barele consumatorului poate crește. Prin deconectarea unuia din circuitele unei linii duble, impedanța circuitului crește și, prin aceasta,

crește căderea de tensiune micșorându-se tensiunea la consumator. O astfel de operație trebuie aplicată ținând seama de funcționarea sigură a circuitelor rămase, pentru a nu provoca întreruperi în alimentarea consumatorilor.

Cel de-al doilea mod de schimbare a impedanței unui circuit constă în montarea de condensatoare statice în serie, pe fiecare fază a liniei. Capacitatea condensatoarelor compensează într-o măsură anumită reactanța inductivă a liniei, iar căderea de tensiune longitudinală este determinată mai ales de rezistența activă.

Fie, de exemplu, o linie lungă în care se montează în serie un condensator de capacitate  $C$  între punctele  $B$  și  $B'$ , la capătul de ieșire, ca în figura 7.21.

Reactanța rezultantă a liniei  $\left(X_i - \frac{1}{C\omega}\right)$  poate avea o valoare pozitivă,

nulă sau negativă, după cum gradul de compensare  $\lambda = \frac{X_c}{X_i} = \frac{1}{\omega CX_i}$  este inferior, egal sau superior valorii unitare.

Determinarea căderilor de tensiune în cazul simplu, când se neglijează admitanța liniei, se poate face plecând de la relațiile liniilor electrice de medie tensiune în care se înlocuiește reactanța prin valoarea ei echivalentă.

Cînd se ține seama și de admitanța liniilor, atunci ansamblul linie-condensator se poate înlocui printr-un cuadripol unic, care permite determinarea căderilor de tensiune. Cu notațiile din figura 7.21 se poate scrie pentru linie și condensator:

$$U_1 = U_2' \operatorname{ch} \underline{\gamma} l + Z_c I_2' \operatorname{sh} \underline{\gamma} l; \quad I_1 = \frac{U_2'}{Z_c} \operatorname{sh} \underline{\gamma} l + I_2' \operatorname{ch} \underline{\gamma} l; \quad (7.46)$$

$$U_2 = U_2' + j \frac{I_2'}{C\omega}; \quad I_2' = I_2.$$

Dacă se elimină mărimile intermediare  $U_2'$  și  $I_2'$  se obține:

$$U_1 = U_2 \operatorname{ch} \underline{\gamma} l + I_2 \left( Z_c \operatorname{sh} \underline{\gamma} l - \frac{j}{C\omega} \operatorname{ch} \underline{\gamma} l \right); \quad (7.47)$$

$$I_1 = \frac{U_2}{Z_c} \operatorname{sh} \underline{\gamma} l + I_2 \left( \operatorname{ch} \underline{\gamma} l - \frac{j}{Z_c \omega C} \operatorname{ch} \underline{\gamma} l \right).$$

Din aceste ultime relații reies coeficienții cuadripolului echivalent, format din ansamblul linie-condensator, cu ajutorul căruia se determină nivelul de tensiuni.

Dacă condensatorul este montat în lungul liniei la o distanță oarecare de capetele acesteia, atunci se calculează coeficienții cuadripolului corespunzător primei părți a liniei de lungime  $l_1$  și a condensatorului  $C$ , apoi se determină coeficienții rezultanți ai acestui cuadripol înseriați cu cea de-a doua parte a liniei.

Montarea condensatoarelor serie se poate face în orice loc din linie, când aceasta este încărcată numai la capete. Dacă însă linia este încărcată nu numai la capete ci și în alte puncte, trebuie să se aleagă un loc de montare în care căderea de tensiune să se mențină în limite acceptabile. Considerînd linia în sensul alimentării cu energie, tensiunea este crescută abia după locul de montare al condensatorului, spre consumator. Deci, dacă în locul de montare nu se află nici un consumator, condensatorul serie poate provoca ridicarea tensiunii în acest loc peste valoarea normală. De obicei, trebuie să se admită la capătul liniei o anumită cădere de tensiune, spre a nu suprasolicita consumatorii racordați pe traseu.

Dacă însă trebuie compensată longitudinal numai o linie avînd un consumator la capăt, se conectează condensatorul în serie de preferință la capătul liniei, deoarece astfel există cel mai mic pericol pentru condensatorul însuși.

Cînd montarea condensatorului se face la începutul liniei sau pe traseul acesteia, trebuie să se țină seama de posibilitatea scurtcircuitelor pe linie, care nu dispar imediat și contra cărora condensatorul trebuie protejat în mod eficace.

Într-adevăr, în regim normal, tensiunea maximă aplicată condensatorului serie este  $I_m/C\omega$ , unde  $I_m$  reprezintă curentul corespunzător puterii maxime transportate  $S_m$ . Condensatorul trebuie deci stabilit pentru o putere aparentă de circulație trifază egală cu  $3I_m^2/C\omega = \frac{S_m^2}{U_2^2 C\omega}$ , în care  $U_2$  reprezintă tensiunea compusă la sosire.

Cînd rețeaua este afectată de un defect, condensatorul este traversat de curentul de scurtcircuit și tensiunea la bornele sale devine  $I_k/C\omega$ , care poate depăși de cîteva ori tensiunea normală aplicată. Este greu de conceput condensatorul care să suporte o astfel de tensiune și, din această cauză, el se montează în cadrul unei scheme de protecție. O astfel de schemă este dată în figura 7.22, în care se montează în paralel un descărcător,  $E$ , care amorsează la tensiuni puțin mai ridicate decît tensiunea nominală a condensatorului. Deoarece descărcătorul trebuie protejat contra uzurii pentru a avea o amorsare precisă, condensatorul și descărcătorul se protejează prin șuntare, cu un întreruptor  $S$ , ceea ce face compensarea serie ineficăce, însă nu întrerupe fluxul de energie. Întreruptorul de șuntare  $S$  ameliorează funcționarea des-

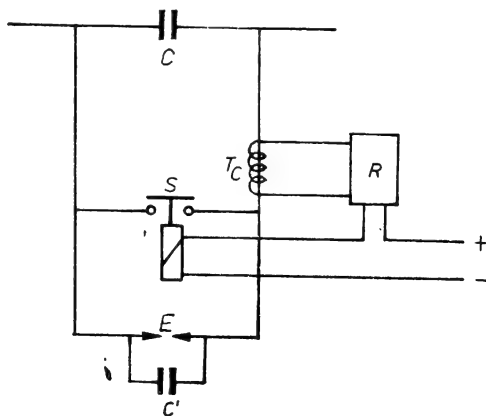


Fig. 7.22. Schemă de principiu de protecție a condensatorului montat în serie pentru compensarea unei linii electrice.

cărcătorului, ușurează deionizarea spațiului dintre electrozi și evită rearmarea lui în cazul reanclanșării rapide a liniei. El este acționat de obicei printr-un releu de curent  $R$ , montat în circuitul descărcătorului prin intermediul unui transformator de curent  $T_c$  și întrerupe circuitul de protecție imediat ce curentul care îl parcurge a devenit egal cu curentul nominal.

La bornele descărcătorului se poate monta și un condensator  $C'$ , cu scopul de a evita rearmarea acestuia în cazul unor supratensiuni tranzitorii.

Modul de funcționare a schemei din figura 7.22 este următorul: cînd curentul din linie devine mai mare decît curentul nominal și tensiunea la bornele condensatorului crește, descărcătorul  $E$  poate amorsa. În acest fel, curentul se scurge pe o cale derivată prin descărcător. Imediat însă se închide și întreruptorul  $S$  acționat de releul  $R$ , care scurtcircuitază atît descărcătorul, cît și condensatorul, linia continuînd să funcționeze fără condensator. Cînd scurtcircuitul a fost eliminat, întreruptorul  $S$  parcurs de curentul nominal al liniei este deconectat și condensatorul reîntră în circuitul normal.

În rețelele de medie tensiune, unde tensiunea la bornele condensatorului serie nu depășește de obicei 2 kV, întreruptorul de șuntare poate fi un contactor. Bobina contactorului este înlocuită cu una de curent, cu sîrmă de secțiune mai mare. Modul de funcționare a acestei scheme reiese din figura 7.23. Dacă acționează descărcătorul 1, curentul din linie se scurge de la electrodul 2 al condensatorului prin descărcător și bobina 3 a contactorului, la celălalt electrod 4 al condensatorului, care în acest fel este scurtcircuitat. Imediat se închid contactele 5 și 6 ale contactorului scurtcircuitînd descărcătorul. Al doilea contact 6 al contactorului conectează simultan, în paralel cu bobina lui, o impedanță auxiliară 7, care preia partea cea mai mare a curentului. Acest lucru este necesar, deoarece contactorul în stare anclanșată necesită numai  $\frac{1}{10}$  din numărul de amperspire necesare acționării. Impedanța auxi-

liară care trebuie să fie inductivă din considerente de încălzire, este în așa fel dimensionată, încît, după scăderea curentului la valoarea sa nominală, contactorul să se deschidă.

Există și alte scheme de protecție a condensatorului, la care impedanța auxiliară inductivă este înlocuită cu o bobină de reținere pentru contactor, parcursă în permanență de curentul liniei.

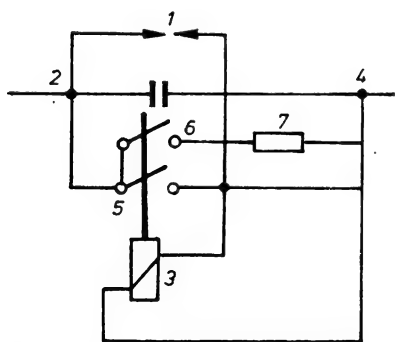


Fig. 7.23. Schemă de principiu de protecție a condensatorului montat în serie pentru compensarea unei linii electrice.

Asemenea scheme prezintă avantajul că condensatorul nu este scurtcircuitat direct, ci prin intermediul unei inductanțe. În acest fel, sarcina lui se scurge sub forma unor oscilații amortizate de frecvență mai mică. Ele lucrează complet automat și nu necesită surse de tensiune auxiliară sau de aer comprimat, astfel că izolația contactorului trebuie dimensionată numai pentru tensiunea lui nominală.

Folosirea condensatoarelor serie pentru reglarea tensiunii în rețelele electrice prezintă atît avantaje, cît și dezavantaje.

a) Prezența condensatoarelor-serie reduce reactanța rezultantă, ceea ce antrenează

creșterea curenților de scurt-circuit. Dacă însă gradul de compensare  $\lambda > 2$  sau  $X_c > 2X_i$ , atunci curentul de scurtcircuit scade.

b) Cu ajutorul unui condensator este posibil să se compenseze întreaga componentă longitudinală a căderii de tensiune, adică și cea legată de rezistența rețelei. Acest lucru este important, mai ales în cazul rețelelor în care rezistența este mai mare decât reactanța inductivă cum ar fi, de exemplu, rețelele de cabluri.

Dacă se utilizează diagrama fazorială a unei astfel de rețele și se trasează cercul de tensiune  $U_2$ , ca în figura 7.24, se constată că punctul  $A$  trebuie să fie adus în  $A'$ , ceea ce este posibil când condensatorul-serie este stabilit în așa fel încât reactanța de legătură să devină negativă. În aceste condiții căderea de tensiune  $\overline{CA}$  în reactanța liniei fără condensator este înlocuită prin  $\overline{CA'}$  și modulul tensiunii în  $A$  este egal cu modulul tensiunii în  $B$ .

c) Este ușor de constatat că rezultatul de la punctul b) s-ar fi putut obține și cu condensatoare montate în derivație. În acest caz însă, este necesară o capacitate mult mai mare pentru a decala curentul înaintea tensiunii, astfel încât punctul  $A$  să ajungă pe cercul de rază  $\overline{OB}$ , ca în figura 7.25. În plus, condensatorul-serie, care este stabilit pentru curentul total al liniei, nu suportă decât o diferență de potențial egală cu  $2 \div 3$  ori căderea de tensiune inductivă fără condensator-serie ( $0,2 U_n$ ), în timp ce condensatorul în derivație, stabilit pentru un curent mai mic, trebuie să suporte tensiunea simplă a rețelei.

d) Prezența condensatorului-serie favorizează producerea unor fenomene fizice, care pot influența exploatarea normală a rețelei. Astfel, conectarea unui transformator care funcționează în gol prin intermediul unui condensator-serie, în momentul cel mai dezavantajos, poate duce la o deformare suplimentară unilaterală a curentului de mers în gol, deoarece în condensator se produce o sarcină electrică care este eliminată numai prin mai multe semne cu orientare opusă și repetate apoi cu semn invers. Peste curentul de magnetizare se suprapune deci o oscilație de joasă frecvență, a cărei frecvență reprezintă un submultiplu întreg al frecvenței rețelei. Acest fenomen este numit *oscilație subarmonică feromagnetică*. Procesul este instabil și amortizat sau redus cu ajutorul unor rezistențe în paralel sau în serie. Atâta timp cât există chiar la anclanșare o sarcină activă sau există linii paralele necompensate, nu se produc oscilații de

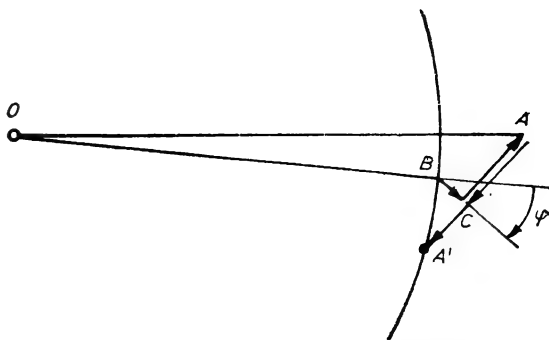


Fig. 7.24. Diagrama fazorială a tensiunii în cazul compensării totale a componentei longitudinale a căderii de tensiune cu ajutorul condensatoarelor serie.

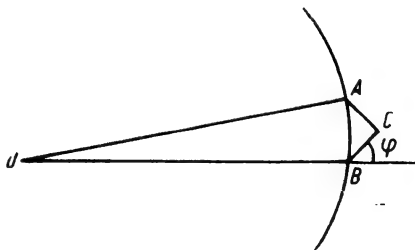


Fig. 7.25. Diagrama fazorială a tensiunii în cazul compensării totale a componentei longitudinale a căderii de tensiune cu ajutorul condensatoarelor montate în derivație pe linie.

acest fel. Dacă însă există acest pericol, iar condensatorul nu poate fi conectat decât abia după preluarea sarcinii, trebuie conectate la baterie rezistențe ohmice, în paralel, cu valori de  $(10 \div 30)X_C$ , în permanență sau în timpul procesului de anclanșare.

Un al doilea fenomen în rețea constă în apariția *subfrecvențelor* la pornirea motoarelor asincrone, care impun rotirea acestora la turații subsincrone. Prin modificarea continuă a reactanțelor inductive ale motorului se poate ajunge la o frecvență proprie a sistemului. Motorul lucrează în această stare concomitent ca transformator de frecvență și produce ca generator o frecvență mai joasă, care nu este într-un raport constant față de frecvența rețelei. Acest caz nu prezintă practic importanță în rețelele interconectate. În rețelele de tensiune joasă, această posibilitate trebuie totuși considerată și eliminarea fenomenului se poate face prin aceleași măsuri care au fost descrise pentru înlăturarea armonicilor feromagnetice.

## 7.6. CONTROLUL TENSIUNILOR ȘI PUTERILOR REACTIVE ÎNTR-O REȚEA

Într-o rețea electrică complexă este necesar să se urmărească permanent nivelul tensiunilor și circulația puterilor reactive, în următoarele scopuri:

a) să evite orice ridicare sau scădere prea importantă a tensiunii, care ar putea compromite buna funcționare a diverselor receptoare și stabilitatea transportului de energie sau ar face să iasă tensiunea din limitele de reglare a transformatoarelor cu reglare în sarcină;

b) să asigure tensiunea constantă în nodurile unde această condiție este impusă, în particular, la secundarul unor transformatoare coborîtoare cu raport fix sau variabil cu sarcina;

c) să reducă circulația puterilor reactive care însoțesc variațiile de tensiune datorite fluctuațiilor de putere activă și care pot lua valori importante și să devină jenante cînd coeficientul  $\frac{\partial Q}{\partial U}$  este ridicat. Fie, de exemplu, cazul

unei stații de transformare pentru care  $\frac{\partial Q}{\partial U} = 10 \text{ Mvar/kV}$ , care nu este

situată la plecarea liniilor, unde se injectează puterea activă. Dacă datorită unei variații a puterii transportate sau a unei schimbări a configurației rețelei, tensiunea pe fază scade de la  $V_0$  la  $V$ , va rezulta un nou regim de circulație a puterii reactive, astfel că suma algebrică a puterilor reactive, care se dirijează către barele acestei stații, este crescută cu  $10(V_0 - V) \text{ Mvar}$ , în raport cu situația inițială. Această putere reactivă suplimentară se repartizează între diferitele linii care ajung la stația de transformare respectivă, de o manieră care depinde de impedanța cuprinsă între stații și capetele liniilor unde tensiunea se menține constantă. Se poate întîmpla ca noua repartiziție a puterilor reactive să creeze în anumite locuri ale transportului o supratensiune, de exemplu, pe un transformator. Acest inconvenient se evită dacă se readuce tensiunea stației de transformare considerate la o valoare  $V'_0$  apropiată de tensiunea inițială, rezultînd pe bare numai  $10(V'_0 - V) \text{ Mvar}$ ;

d) să evite acțiunile de reglare incoerente, cum ar fi, de exemplu, acelea care ar consta în supraexcitarea mașinilor sincrone dintr-o stație de transformare și conectarea unor bobine de reactanță într-un punct relativ apropiat.

Realizarea unui control eficace al tensiunilor și puterilor reactive într-o rețea cere o alegere și o coordonare corespunzătoare a mijloacelor de reglare. În acest scop trebuie să se țină seama de următoarele considerații generale:

1) pentru o rețea cu o anumită configurație se fixează nodurile unde tensiunea trebuie menținută constantă. Cu cât aceste noduri sînt mai reduse ca număr, cu atît impedențele care le separă sînt mai ridicate, iar aparatele de reglare principale mai puține. Se va determina amplasarea organelor de reglare, natura și extinderea lor, dacă este vorba de transformatoare cu reglare sub sarcină, sau puterea lor, dacă este vorba de mașini învîrtitoare sau condensatoare statice; coordonarea acestor aparate se va efectua în așa fel încît să satisfacă condițiile impuse, punînd în funcție minimum de mijloace;

2) aparatele sau mașinile producătoare de putere reactivă se vor amplasa cît mai aproape de consumator, în așa fel încît să aibă loc transportul puterii reactive minime;

3) reglarea tensiunii prin injecție de putere reactivă încetează să fie avantajoasă în nodurile unde coeficientul  $\frac{\partial Q}{\partial U}$  este ridicat, adică la barele unde curentul de scurtcircuit trifazat are valori importante. În aceste cazuri este preferabil a se tolera variații mai mari ale tensiunii rețelelor de transport, reglînd tensiunea rețelelor de distribuție cu ajutorul transformatoarelor cu reglare sub sarcină. Puterea reactivă necesară consumatorilor poate fi asigurată de compensatoare sau de baterii de condensatoare, a căror putere este mai mică decît dacă ele ar trebui să asigure reglarea tensiunii. Concluzii analoge se aplică în cazul rețelelor pentru care raportul  $\frac{R}{X}$  nu are valori mici;

4) importanța aparatelor de producere a puterilor reactive de compensare se poate reduce, adoptînd căderi de tensiuni relativ mai ridicate, pînă la 10%. Acest lucru crește într-o oarecare măsură extinderea schimbătoarelor de prize sub sarcină a transformatoarelor, fără a determina repercursiuni importante. În acest caz se modifică puțin circulația puterii reactive care este necesară să fie prelevată de rețeaua de transport la orele de sarcină redusă. Poate fi avantajos să se adopte căderi de tensiuni variabile cu puterea activă transportată, crescînd cu aceasta, ceea ce antrenează o reducere a fluctuațiilor de tensiune a stațiilor situate în lungul rețelei de transport. Astfel, dacă de exemplu, se mențin tensiunile constante între două noduri ale unei rețele de transport, indiferent de puterea activă transportată, repartiția tensiunilor de-a lungul acesteia este reprezentată de curbele date în figura 3.12, b. Prima curbă notată cu indicele 1 corespunde funcționării în sarcină, iar cea de-a doua, notată cu indicele 2 — funcționării în gol. Conform figurii, tensiunea într-un nod (stație) intermediar C variază cu regimul de funcționare de la  $U_{c1}$  la  $U_{c2}$ . Dacă rețeaua se exploatează cu cădere de tensiune variabilă, în funcție de regimul de încărcare, atunci repartiția tensiunilor poate fi cea din figura 3.13, care arată restrîngerea limitelor de variație a tensiunilor în nodul C.

Variațiile de tensiune din nodul B sînt recuperate pe rețelele de distribuție alimentate din acest nod, cu ajutorul schimbătoarelor de prize sub sar-



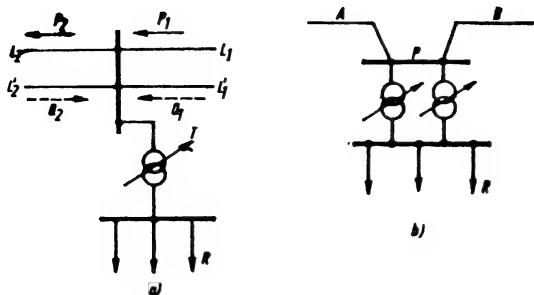


Fig. 7.26. Schemă de rețea de înaltă tensiune utilizată pentru compensarea puterii reactive.

ele o transportă este mai mică decât puterea naturală. De exemplu, în figura 7.26, *a*, dacă liniile  $L_1$ ,  $L_1'$ ,  $L_2$  și  $L_2'$  funcționează frecvent încărcate sub puterea lor naturală, rețeaua  $R$  poate prelua puterea reactivă din acestea, iar căderea de tensiune, datorită trecerii sale prin transformatorul  $T$  este compensată prin manevrarea schimbătorului de prize în sarcină al acestuia.

În cazul figurii 7.26, *b* rețeaua  $R$  este alimentată printr-o stație de transformare  $P$ , pe barele căreia sînt conectate liniile de înaltă tensiune corespunzătoare a două regiuni diferite  $A$  și  $B$ . Regiunea  $B$ , în timpul anumitor perioade din an, nu are excedent de energie și rețeaua  $R$  este alimentată atunci numai din regiunea  $A$ . În aceleași perioade se va facilita compensarea liniei  $AP$  și furnizarea de putere reactivă rețelei  $R$ , lăsînd închisă pe barele  $P$  linia  $PB$ , fără sarcină sau cu o sarcină foarte redusă.

cină ale transformatoarelor. Dacă în nodul  $B$  converg mai multe linii importante, pentru a evita modificările de putere reactivă dintre aceste linii, în cazul cînd acestea ar fi supărătoare, se poate menține tensiunea  $U_2$  constantă, variîndu-se numai tensiunea  $U_1$ ;

5) uneori este posibil să se utilizeze ca sursă de putere reactivă liniile de înaltă sau foarte înaltă tensiune, cînd funcționează

în gol sau cînd puterea pe care

## Capitolul 8

### SCURTCIRCUITE ÎN REȚELE ELECTRICE

Scurtcircuitele din rețelele electrice constituie defecte frecvente care reprezintă contacte accidentale de impedanță practic nulă (scurtcircuite metalice sau nete) sau de impedanță cu o anumită valoare, între conductoarele aflate sub tensiune sau între acestea și pământ.

După numărul de faze scurtcircuitate se deosebesc: *scurtcircuite trifazate*, cu și fără punere la pământ, *scurtcircuite bifazate*, cu și fără punere la pământ, *scurtcircuite monofazate*, în cazul rețelilor cu neutrul legat la pământ și *puneri simple la pământ*, când neutrul rețelilor este izolat. Deoarece la scurtcircuit trifazat toate fazele rețelei se află în condiții identice, defectul se consideră *simetric*. Celelalte defecte sînt *nesimetrice*.

Statistic, se constată că cele mai frecvente scurtcircuite în rețelele electrice de înaltă tensiune, sînt cele monofazate — peste 70 % din numărul total de avarii —, în timp ce scurtcircuitele trifazate, care sînt cele mai grave, au probabilitatea de apariție cea mai mică, reprezentînd sub 5 % din numărul total de avarii. Este de menționat faptul că dacă scurtcircuitele monofazate sau punerile la pământ nu sînt rapid eliminate, ele se pot transforma în scurtcircuite bifazate sau trifazate.

Apariția scurtcircuitelor este determinată de deteriorarea izolației sau a spațiului de izolare dintre faze sau dintre faze și pământ sau o parte pusă la pământ a unei instalații electrice, ca urmare a solicitărilor de durată la tensiunea nominală sau la supratensiuni.

În rețelele electrice aeriene, scurtcircuitele, în marea majoritate a lor, mai ales cele monofazate, sînt produse de cauze exterioare trecătoare — descărcări atmosferice, atingeri indirecte a unor faze prin intermediul unor corpuri străine — (crengi sau elemente căzute pe linie, păsări etc.), care conduc la conturnarea sau la străpungerea izolației. După un interval de timp relativ scurt, cauzele pot să dispară, iar izolația să revină la normal.

În cazul liniilor subterane, izolația cablurilor poate fi slăbită, fie ca urmare a unei îmbătrîniri naturale a acesteia, provocată de solicitări de durată a dielectricului la tensiunea nominală sau la supratensiuni temporare, fie ca urmare a unor defecțiuni de fabricație. Uneori, cablurile pot fi deteriorate și datorită unor lovituri mecanice produse prin săpăturile de pe anumite șantiere din localități. Aceste cauze, care conduc la străpungerea izolației și la scurtcircuite, persistă și după ce cablul defect a fost scos din funcțiune cu ajutorul protecției prin rele. Repunerea în funcțiune se va face numai după reparațiile necesare. Producerea scurtcircuitelor poate fi *lentă* sau *bruscă*. Primul caz se caracterizează printr-o evoluție lentă a curentului de la o intensitate ini-

țială la o intensitate maximă, care se menține cît timp condițiile care produc scurtcircuitul rămîn neschimbate. Astfel de scurtcircuite au loc, de obicei, în mod voit, în laboratoare, în timpul încercărilor echipamentului electric, a mașinilor electrice rotative prin creșterea progresivă a excitației, sau a transformatoarelor, după ce s-a realizat un contact de impedanță practic nulă. În rețelele electrice apare, de obicei, scurtcircuitul *brusc*, caracterizat printr-o evoluție rapidă a curentului, în intervalul tranzitoriu, de la o intensitate inițială mare la o intensitate finală mai mică, care se menține în perioada de stabilizare pînă la dispariția cauzei care l-a generat sau pînă la întreruperea alimentării cu energie, ca urmare a acționării protecției prin relee. Mai rar, în rețelele electrice pot să apară și *defecte evolutive*, care reprezintă scurtcircuite mono- sau bifazate, produse în timpul procesului de deconectare a unor curenți mici, inductivi sau capacitivi (transformatoare în gol sau linii electrice în gol). În aceste situații, scurtcircuitele apar ca urmare a unor supra-tensiuni legate de arcul electric, la contactele întreruptorului, care deconectează în prima etapă un curent cu intensitate redusă, iar în etapa a doua un curent de scurtcircuit cu intensitate mare.

Fenomenele caracteristice stării de scurtcircuit constau în apariția unor curenți cu intensități foarte mari, care depășesc mult intensitățile curenților de regim permanent. În intervalul tranzitoriu, de scurtă durată, care caracterizează trecerea rețelei de la un regim de funcționare normală, la un regim de funcționare în scurtcircuit, pot apărea vîrfuri de curent de  $10 \div 20$  ori mai mari decît curentul nominal al instalației, care produc efecte violente — șocuri de cuplu, forțe electrodinamice mari, pendulări mari ale surselor de energie etc. Aceste vîrfuri de curent sînt datorate în mare măsură fenomenelor fizice care au loc în generatoarele sincrone; după perioada tranzitorie, intensitatea curentului scade pînă la de trei ori curentul nominal, iar efectele scurtcircuitelor se manifestă, în special, prin încălziri mari ale instalațiilor și conductoarelor electrice ale liniilor. De asemenea, curenții de scurtcircuit sînt însoțiți totdeauna de scăderi apreciabile ale tensiunii, atît la locul defectului, unde teoretic tensiunea este nulă, cît și în nodurile în care sînt racordați consumatorii, a căror funcționare este perturbată sau chiar compromisă.

Scurtcircuitele nesimetrice cu punere la pămînt produse în rețelele electrice de energie influențează, în mare măsură, atît din punct de vedere electromagnetic, cît și electrostatic, orice rețea de telecomunicație situată în apropiere. În cazul cînd distanța de apropiere dintre acestea este sub o anumită limită, sînt necesare măsuri de protecție în rețeaua de telecomunicație și de limitare a curenților nesimetrice de scurtcircuit din rețeaua de energie.

În cele ce urmează se analizează, mai întîi, scurtcircuitul trifazat, scoțînd în evidență aspectele fizice și modul de determinare a curenților. În același mod, vor fi analizate și scurt-circuitele nesimetrice.

Pentru a exclude posibilitatea formării unor circuite oscilante și a simplifica procesul tranzitoriu al scurtcircuitelor, se vor lua în considerare numai parametrii longitudinali ai elementelor componente ale rețelei — rezistența și reactanța inductivă, făcîndu-se abstracție de parametrii transversali — capacitatea și conductanța laterală.

## 8.1. SCURTCIRCUITUL TRIFAZAT

Curenții de scurtcircuit trifazat se iau ca bază pentru alegerea aparatelor electrice de comutație și verificarea termică a conductoarelor, compararea, verificarea și alegerea schemelor de conexiuni ale centralelor și stațiilor electrice de transformare, alegerea caracteristicilor descărcătoarelor pentru protecția împotriva supratensiunilor, precum și pentru proiectarea și verificarea instalațiilor de protecție prin relee și automatizări. Intensitatea și variația lor în timp depind atât de locul de defect în raport cu sursa generatoare, cât și de faptul că aceasta este sau nu prevăzută cu regulator automat de tensiune.

Se va examina mai întâi cazul unui scurtcircuit trifazat într-o rețea electrică simplă alimentată de la o sursă generatoare de putere infinită. O asemenea sursă ipotetică se caracterizează prin aceea că impedanța sa proprie este nulă și tensiunea sa are, la frecvență constantă, o amplitudine constantă. Conectarea în schemă a unei astfel de surse, în general, corespunde limitei teoretice, când modificarea condițiilor exterioare nu influențează asupra funcționării sursei generatoare. Practic, aceste condiții se pot considera că au loc, când scurtcircuitul este situat la o distanță electrică relativ mare față de sursa generatoare sau când el se produce într-o instalație de putere mică sau într-o rețea întinsă, alimentate din sisteme electroenergetice puternice.

Când sursa generatoare este echipată cu regulator automat de tensiune, acțiunea acestuia se manifestă rapid și contribuie în plus ca această ipoteză să se apropie de realitate.

### 8.1.1. SCURTCIRCUITUL TRIFAZAT ALIMENTAT DE O SURSĂ DE PUTERE INFINITĂ

Se consideră rețeaua simplă dată în figura 8.1 alimentată de la o sursă de putere infinită, în care se produce un scurtcircuit trifazat  $k^{(3)}$ .

Apariția scurtcircuitului nu schimbă condițiile de simetrie ale rețelei și, în consecință, variația curentului se poate studia folosind schema electrică monofazată din figura 8.1, *b*, în care s-a ținut seama de inductanța totală de scurtcircuit a fazei  $L_k = L - M$ . În locul de defect, rețeaua s-a împărțit în două circuite independente notate pe figură cu 1 și 2; primul circuit rămâne conectat la sursa generatoare de putere infinită cu tensiunea alternativ sinusooidală și amplitudine practic constantă, iar cel de-al doilea circuit este închis,

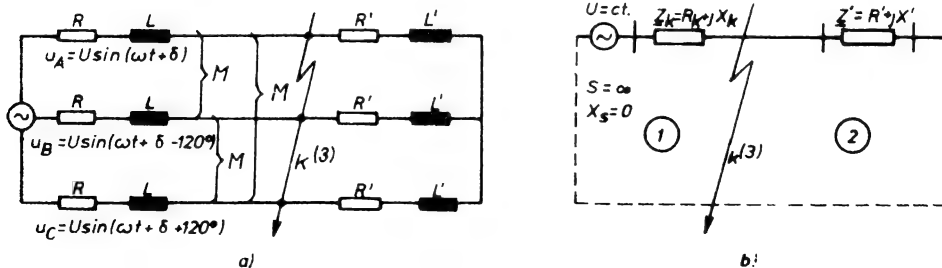


Fig. 8.1. Rețea electrică trifazată avariata de un scurtcircuit trifazat:

a — rețeaua trifazată; b — schema echivalentă monofazată.

fiind parcurs de curent pînă cînd energia corespunzătoare cîmpului electromagnetic se transformă în căldură care se disipă în rezistența  $R'$ .

În circuitul rămas conectat la sursa generatoare, datorită micșorării impedanței, curentul crește și atinge o valoare maximă în perioada tranzitorie; el se poate determina scriind ecuația diferențială de echilibru a tensiunii oricărei faze, sub forma generală:

$$u = R_K i_K + L_K \frac{di_K}{dt}, \quad (8.1)^*$$

unde  $u$  reprezintă valoarea instantanee a tensiunii de fază a sursei generatoare.

Soluția ecuației (8.1) este:

$$i_K = \frac{\hat{U}}{Z_K} \sin(\omega t + \delta - \varphi_K) + A e^{-\frac{R_K}{L_K} t} = i_p + i_a, \quad (8.2)$$

în care:  $Z_K$  reprezintă impedanța de scurtcircuit în valoare absolută;

$\varphi_K$  — argumentul impedanței de scurtcircuit sub formă complexă;

$\delta$  — unghiul de fază inițială a tensiunii;

$A$  — constantă de integrare a cărei valoare se deduce cu ajutorul condițiilor inițiale ale scurtcircuitului.

Primul termen din ecuația (8.2) reprezintă soluția particulară a ecuației diferențiale (8.1) și corespunde componentei periodice  $i_p$  a curentului de scurtcircuit. În condițiile considerate amplitudinea acestei componente este constantă, ca urmare a faptului că tensiunea la bornele circuitului rămîne constantă și după producerea scurtcircuitului. Al doilea termen reprezintă componenta aperiodică (liberă) a curentului de scurtcircuit, care se amortizează după o exponențială:

$$i_a = A e^{-\frac{R_K}{L_K} t} = i_{a0} e^{-\frac{t}{T_a}}, \quad (8.3)$$

în care:  $i_{a0} = A$  reprezintă valoarea inițială ( $t = 0$ ) a acestei componente;

$T_a$  — constanta de timp a amortizării, care este determinată de raportul  $\frac{L_K}{R_K} = \frac{X_K}{\omega R_K}$  dintre parametrii circuitului scurtcircuitat.

---

\* Ecuația generală (8.1) corespunde oricărei faze datorită faptului că rețeaua rămîne simetrică și în condiții de defect. Pentru faza  $A$ , de exemplu, se poate scrie:

$$u_A = R_K i_A + L \frac{di_A}{dt} + M \left( \frac{di_B}{dt} + \frac{di_C}{dt} \right) = R_K i_A + (L - M) \frac{di_A}{dt} = R_K i_A + L_K \frac{di_A}{dt},$$

în care s-a ținut seama că:  $i_A = -(i_B + i_C)$  și s-a notat cu  $L_K = (L - M)$  inductanța totală de scurtcircuit. Introducerea acestei inductanțe permite să se scrie ecuația diferențială de echilibru a tensiunilor în aceeași formă pentru toate fazele.

Valoarea inițială  $i_{a_0}$  a componentei aperiodice se află ținând seama că într-un circuit cu inductanță, curentul rămâne neschimbat în momentul apariției unei perturbații a regimului.

Dacă se consideră că înaintea producerii defectului valoarea instantanee a curentului era:

$$i = \hat{I} \sin (\omega t + \delta - \varphi)$$

și că în momentul producerii defectului apare componenta periodică a curentului de scurtcircuit trifazat:

$$i_p = \hat{I}_p \sin (\omega t + \delta - \varphi_k),$$

rezultă că pentru a respecta condiția de mai sus, simultan trebuie să apară și o componentă aperiodică a cărei valoare inițială reiese din relația:

$$i_{a_0} + \hat{I}_p \sin (\delta - \varphi_k) = \hat{I} \sin (\delta - \varphi),$$

de unde:

$$i_{a_0} = \hat{I} \sin (\delta - \varphi) - \hat{I}_p \sin (\delta - \varphi_k). \quad (8.4)$$

Rezultă că în perioada tranzitorie curentul de scurtcircuit trifazat este dat de relația:

$$i_k = \hat{I}_p \sin (\omega t + \delta - \varphi_k) + i_{a_0} e^{-\frac{t}{T_a}} = \hat{I}_p \sin (\omega t + \delta - \varphi_k) + \left[ \hat{I} \sin (\delta - \varphi) - \hat{I}_p \sin (\delta - \varphi_k) \right] e^{-\frac{t}{T_a}}. \quad (8.5)$$

Valoarea inițială a componentei aperiodice  $i_{a_0}$  (respectiv curentul total de scurtcircuit), depinde atât de faza inițială a tensiunii, cât și de momentul producerii scurtcircuitului. Pentru a pune în evidență influența fazei inițiale a tensiunii se consideră diagrama fazorială dată în figura 8.2, în care  $\underline{U}_A, \underline{U}_B, \underline{U}_C, \underline{I}_A, \underline{I}_B, \underline{I}_C$  și  $\underline{I}_{pA}, \underline{I}_{pB}, \underline{I}_{pC}$  reprezintă sistemul simetric de tensiune și sistemele simetrice de curenți înainte și după producerea scurtcircuitului. Verticala  $tt'$  din diagramă reprezintă axa fixă de timp, astfel încît valorile instantanee ale diferitelor mărimi electrice se determină prin proiecțiile fazorilor rotitori respectiv pe această axă, fapt care se poate verifica imediat.

Din analiza figurii 8.2 rezultă următoarele.

a. Componenta aperiodică  $i_{a_0}$  reprezintă în permanență diferența pro-

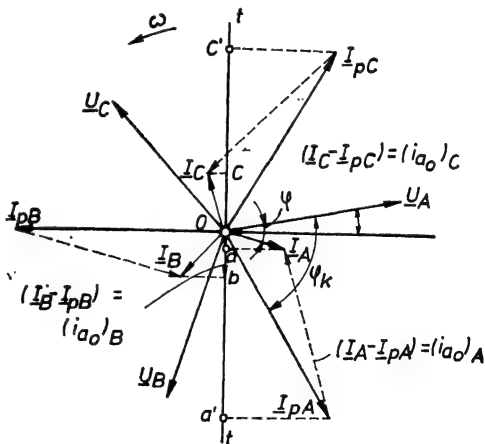


Fig. 8.2. Diagrama fazorială a tensiunilor și curenților în caz de scurtcircuit trifazat alimentat de o sursă generatoare de putere infinită.

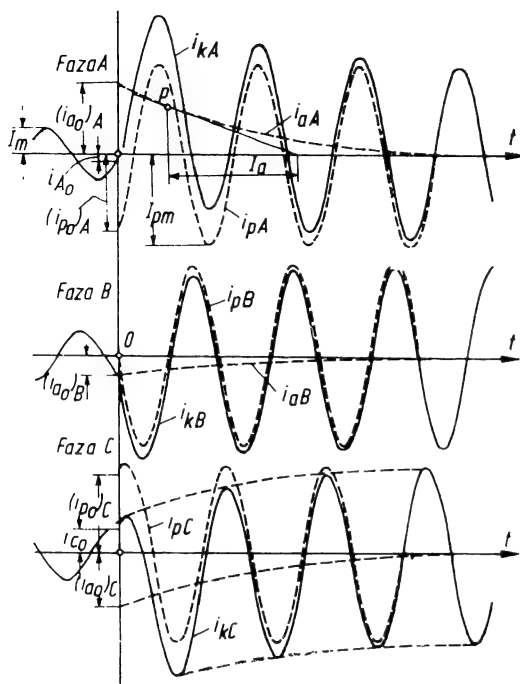


Fig. 8.3. Variația în timp a curenților de scurtcircuit trifazat, pentru condițiile date în figura 8.2.

limita sa superioară, în timp ce  $(i_{a0})_B$  este apropiat de limita inferioară. Variația în timp a curenților totali de scurtcircuit și a componentelor sale este redată în figura 8.3, în care condițiile inițiale ale scurtcircuitului corespund aproximativ poziției fazorilor din figura 8.2. Se constată că, conform valorii inițiale a componentelor aperiodice  $i_{a0}$ , în perioada tranzitorie, valoarea cea mai mare a curenților de scurtcircuit, în situația dată, corespunde fazei A.

b. Valoarea inițială a componentei aperiodice, respectiv valoarea curenților totali de scurtcircuit depinde și de momentul producerii scurtcircuitului, adică de valoarea instantanee a curenților de regim permanent la momentul  $t = 0$ . Dacă, de exemplu, acest curent trece prin zero în momentul producerii scurtcircuitului, atunci conform ecuațiilor (8.4) și (8.5), se poate scrie că:

$$i_{a0} = -\hat{I} \sin(\delta - \varphi_k); \quad i_a = -\hat{I}_p \sin(\delta - \varphi_k) e^{-\frac{t}{T_a}} \quad (8.6)$$

și

$$i_k = \hat{I}_p \left[ \sin(\omega t + \delta - \varphi_k) - \sin(\delta - \varphi_k) e^{-\frac{t}{T_a}} \right], \quad (8.7)$$

ieșirilor pe axa  $tt'$  a fazorilor  $I$  și  $I_p$  corespunzător curenților din fiecare fază, înaintea și după producerea scurtcircuitului, fapt care corespunde relației (8.4). În situația dată în figură s-au notat pentru fiecare fază:

$$(i_{a0})_A = \overline{Oa} - \overline{Oa'} = \overline{a'a''};$$

$$(i_{a0})_B = \overline{Ob} - \overline{Ob'} = \overline{b'b''};$$

$$(i_{a0})_C = \overline{Oc} - \overline{Oc'} = \overline{c'c''}.$$

Dacă sistemul de axe se rotește cu viteza unghiulară  $\omega$  și sistemul de fazori rămâne fix (sau invers), atunci se constată că valoarea componentei  $i_{a0}$  variază, în funcție de unghiul de fază al tensiunii  $\delta$ , între două limite: o limită superioară, când fazorul  $(I - I_p)$  corespunzător oricărei faze, este paralel cu axa  $tt'$  și o limită inferioară, egală cu zero, când același fazor este perpendicular pe axa  $tt'$ . Conform situației date în figura 8.2  $(i_{a0})_A$  este apropiat de

adică componenta  $i_{a_0}$  este maximă și corespunde numai proiecției pe axa  $tt'$  a componentei periodice a curentului de scurtcircuit. Această condiție reprodusă în diagrama fazorială din figura 8.4, *b* pentru o fază oarecare este posibilă și, în același timp, cea mai simplă de luat în considerație pentru calcule. Cu ajutorul ei se determină valoarea maximă instantanee a curentului total de scurtcircuit, care este numit curent de șoc la scurtcircuit.

Faza de conectare a tensiunii pentru care are loc valoarea maximă inițială a componentei aperiodice, predetermină și curentul de șoc la scurtcircuit. Într-adevăr, din ecuația (8.7) se constată că curentul total de scurtcircuit este o funcție sinusoidală în timp, care depinde de unghiul  $\delta$ . Efectuând derivatele parțiale în raport cu cele două variabile se obține:

$$\begin{aligned}\frac{\partial i_k}{\partial t} &= \omega \cos(\omega t + \delta - \varphi_k) + \frac{1}{T_a} \sin(\delta - \varphi_k) e^{-\frac{t}{T_a}} = 0; \\ \frac{\partial i_k}{\partial \delta} &= \cos(\omega t + \delta - \varphi_k) - \cos(\delta - \varphi_k) e^{-\frac{t}{T_a}} = 0.\end{aligned}\quad (8.8)$$

Rezolvarea acestui sistem de ecuații pentru momentul  $t = 0$ , permite să se scrie că:

$$\operatorname{tg}(\delta - \varphi_k) + \omega T_a = 0$$

sau:

$$\operatorname{tg}(\delta - \varphi_k) = -\omega T_a = -\omega \frac{X_K}{\omega R_K} = -\frac{X_K}{R_K} = \operatorname{tg}(-\varphi_k), \quad (8.9)$$

adică, în circuitul cu rezistență și reactanță, considerat în prealabil deschis ( $i = 0$ ), amplitudinea maximă a curentului total de scurtcircuit apare cu condiția ca în momentul scurtcircuitului tensiunea sursei să treacă prin zero

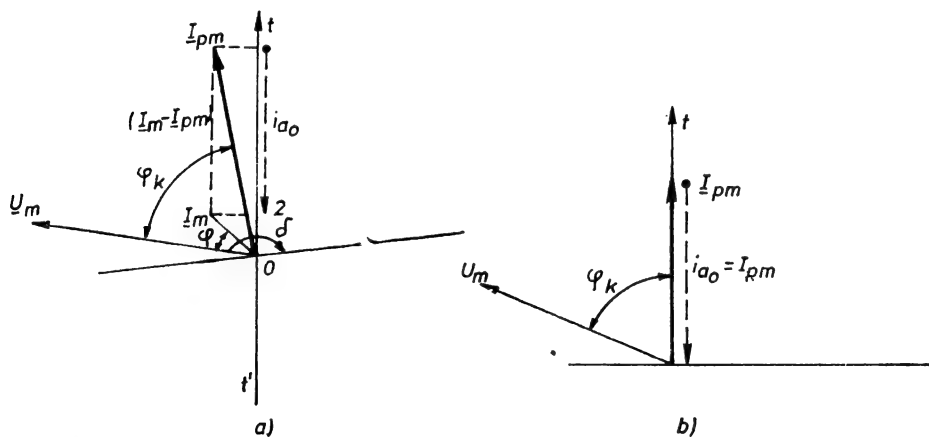


Fig. 8.4. Condițiile de apariție a valorii maxime a curentului de scurtcircuit trifazat: *a* — cazul general, cînd la apariția scurtcircuitului trifazat ( $t = 0$ ) curentul permanent are o valoare instantanee diferită de zero; *b* — cazul particular, cînd apariția defectului corespunde momentului trecerii prin zero a curentului de regim permanent.



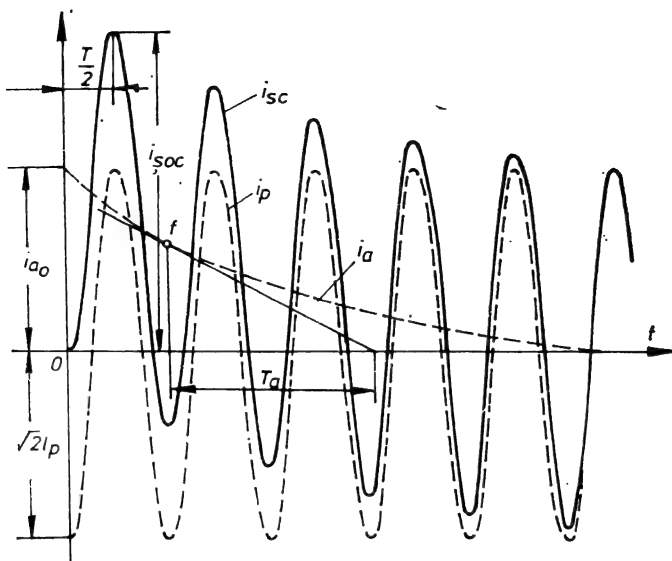


Fig. 8.5. Variația în timp a curentului de scurtcircuit trifazat pentru cazul componentei aperiodice maxime.

( $\delta = 0$ ). Acest caz este cel mai defavorabil, deoarece în cele mai multe situații, în circuitele scurtcircuitate  $\varphi_k \approx 90^\circ$ , iar momentele apariției valorii maxime a componentei aperiodice și a amplitudinii maxime a curentului total de scurtcircuit sînt foarte apropiate între ele\*. În calculele practice *curentul de șoc la scurtcircuit* se determină, de obicei, pentru valoarea maximă a componentei aperiodice. Conform figurii 8.5 se consideră că curentul de șoc apare după o semiperioadă, adică pentru frecvența industrială, după  $t = 0,01$  s de la apariția defectului.

În aceste condiții se pot scrie următoarele relații:

$$i_{a0} = \hat{I}_p; \quad i_k = \hat{I}_p \left[ e^{-\frac{t}{T_a}} + \sin \left( \omega t - \frac{\pi}{2} \right) \right] = \hat{I}_p \left[ e^{-\frac{t}{T_a}} - \cos \omega t \right];$$

$$i_{\text{șoc}} = \hat{I}_p \left( 1 + e^{-\frac{0,01}{T_a}} \right) = k_{\text{șoc}} \hat{I}_p, \quad (8.10)$$

în care  $k_{\text{șoc}} = \left( 1 + e^{-\frac{0,01}{T_a}} \right)$  se numește *coeficient de șoc la scurtcircuit* și indică raportul dintre curentul de șoc la scurtcircuit și amplitudinea componentei periodice a curentului de scurtcircuit.

\* La aceeași situație se ajunge dacă se pune direct condiția de maximum a valorii inițiale a componentei aperiodice  $i_{a0}$ . În acest caz, este necesar ca  $\delta - \varphi_k = \frac{\pi}{2}$ . Deoarece, în

condiții de scurtcircuit  $\varphi_k \approx 90^\circ$  rezultă că amplitudinea maximă a curentului total de scurtcircuit și valoarea maximă inițială a componentei aperiodice apar în momente foarte apropiate între ele.

Valoarea acestui coeficient de șoc variază în limitele  $1 \leq k_{\text{șoc}} \leq 2$ , care corespund valorilor limită ale constantei de amortizare a circuitului pentru  $T_a = 0$  ( $L_K = 0$ ) și  $T_a = \infty$  ( $R_K = 0$ ), așa cum se observă din figura 8.6. Cu cât constanta de timp a amortizării este mai mică, cu atât mai repede se amortizează componenta aperiodică și corespunzător, cu atât mai redusă este valoarea coeficientului de șoc la scurtcircuit.

Pentru liniile electrice de înaltă tensiune  $L_K$  este  $(1,2 \div 1,3) \left[ \frac{\text{mH}}{\text{km}} \right]$ ,

iar rezistența conductoarelor de

oțel-aluminiu, pentru secțiunile normal întrebuințate, variază în jurul valorii de  $0,2 \left[ \frac{\Omega}{\text{km}} \right]$ . În aceste condiții, constanta de amortizare variază în limitele de  $0,04 \div 0,07$  s, limita inferioară corespunzând conductoarelor cu secțiuni mai mici.

Conform figurii 8.6, pentru  $T_a = 0,05$ , coeficientul de șoc are o valoare egală cu 1,8, care se consideră, de obicei, în calcule. În aceste condiții, curentul de șoc la scurtcircuit dat de relația (8.10) se poate scrie sub forma explicită:

$$i_{\text{șoc}} = k_{\text{șoc}} \sqrt{2} I_p = 1,8 \cdot \sqrt{2} I_p = 2,55 I_p. \quad (8.11)$$

Această valoare este utilizată în mod curent pentru verificarea solicitărilor electrodinamice a barelor colectoare și aparatelor electrice.

Pentru verificarea solicitărilor termice a aparatelor și conductoarelor se folosește valoarea efectivă a curentului de șoc, care corespunde valorii efective a curentului de scurtcircuit în prima semiperioadă. În acest scop, se reamintește că valoarea efectivă a curentului de scurtcircuit ar trebui determinată pentru fiecare perioadă în parte, scriind că:

$$I_k = \sqrt{\frac{1}{T} \int_{t-\frac{T}{2}}^{t+\frac{T}{2}} i_k^2 dt}. \quad (8.12)$$

În cazul general, funcția  $i_k(t)$  este complicată; din această cauză, pentru simplificarea calculelor se admite că în perioada considerată, ambele componente ale curentului total de scurtcircuit nu se modifică, adică amplitudinea componentei periodice este aceeași, ceea ce în cazul de față corespunde ipotezelor de calcul, iar componenta aperiodică rămâne de asemenea aproximativ

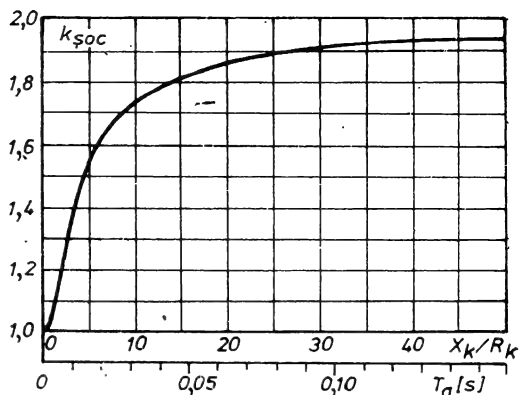


Fig. 8.6. Variația coeficientului de șoc la scurtcircuit trifazat în funcție de constanta de timp a amortizării.

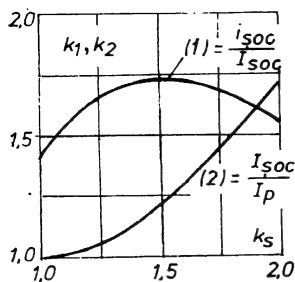


Fig. 8.7. Curbele de variație a rapoartelor

$$k_1 = \frac{i_{soc}}{I_{soc}} \text{ și } k_2 = \frac{I_{soc}}{I_p}.$$

constantă. În aceste condiții, se poate scrie că în orice moment  $t$  din cadrul unei perioade, valorile efective corespunzătoare sînt:

$$I_{p_t} = \frac{\hat{I}_{p_t}}{\sqrt{2}}; \quad I_{a_t} = i_{a_t}; \quad I_{k_t} = \sqrt{I_{p_t}^2 + I_{a_t}^2}, \quad (8.13)$$

valori care satisfac scopurile practice.

Pentru prima semiperioadă, de exemplu, dacă scurtcircuitul are loc cînd  $i = 0$  și  $\delta = 0$ , componenta aperiodică, conform relației (8.6) are valoarea:

$$\begin{aligned} (I_a)_{0,01} &= (i_a)_{0,01} = \sqrt{2} I_p e^{-\frac{0,01}{T_a}} = \\ &= \sqrt{2} I_p (k_{soc} - 1), \end{aligned} \quad (8.14)$$

iar valoarea efectivă a curentului de șoc este:

$$I_{soc} = \sqrt{I_p^2 + 2 I_p^2 (k_{soc} - 1)^2} = I_p \sqrt{1 + 2 (k_{soc} - 1)^2}. \quad (8.15)$$

Considerînd, valoarea uzuală a coeficientului de șoc,  $k_{soc} = 1,8$ , se obține:

$$(I_a)_{0,01} = \sqrt{2} \cdot 0,8 I_p = 1,13 I_p \quad (8.16)$$

și

$$I_{soc} = I_p \sqrt{2,28} = 1,52 I_p \quad (8.17)$$

valori care se utilizează curent în calculele practice.

În figura 8.7 sînt prezentate variația rapoartelor  $k_1 = \frac{i_{soc}}{I_{soc}}$  și  $k_2 = \frac{I_{soc}}{I_p}$  în funcție de coeficientul de șoc. Se constată că prima curbă variază în limite restrînse și atinge un maximum egal cu  $\sqrt{3}$  pentru  $k_{soc} = 1,5$ . Cea de-a doua curbă are o variație apropiată de cea liniară, fiind continuu crescătoare.

Se menționează că în relațiile definite mai sus, componenta periodică  $I_p$  a curentului de scurtcircuit se calculează cu relația:

$$I_p = I_{k\infty} = \frac{U_{med}}{\sqrt{3} \sqrt{(R_{k_t}^2 + X_{k_t}^2)}}, \quad (8.18)$$

în care:  $I_{k\infty}$  reprezintă curentul permanent de scurtcircuit;

$U_{med}$  — tensiunea prizei mediane a transformatorului în locul de scurtcircuit;

$R_{k_t}$  și  $X_{k_t}$  — rezistența, respectiv reactanța totală de scurtcircuit, de la sursa generatoare pînă la locul de defect.

În cazul scurtcircuitului studiat la paragraful 8.1.1 s-a considerat că sursa generatoare, care alimentează circuitul avariāt, are o impedanță nulă și o tensiune alternativ sinusoidală la borne cu amplitudine constantă. În aceste condiții nu s-a ținut seama nici de fenomenele complexe determinate de cuplarea magnetică dintre circuitele rotorului și statorului mașinii sincrone, nici de efectul de demagnetizare al mașinii care apare, ca urmare a reacției statorice la scurtcircuit. Din această cauză, procesul tranzitoriu în circuitul avariāt s-a caracterizat numai prin amortizarea componentei aperiodice a curentului de scurtcircuit, în timp ce componenta periodică de amplitudine constantă, la parametrii constanți ai circuitului, reprezintă un curent alternativ sinusoidal, a cărui valoare efectivă determinată de relația (8.18) depinde numai de impedanța de la sursă la locul de defect.

Ipoteza de studiu considerată este valabilă numai când scurtcircuitul este situat la o distanță electrică suficient de mare în raport cu sursa generatoare. Practic, acest lucru este aplicabil, când impedanța generatorului reprezintă cel mult o valoare de 15% din impedanța locului de scurtcircuit. În aceste condiții, reacția statorică la scurtcircuit este mică, fapt care face ca demagnetizarea mașinii generatoare să fie neglijabilă, iar tensiunea la bornele acesteia să rămână practic aceeași dinaintea momentului producerii defectului. Dacă distanța electrică scade atunci reacția statorică la scurtcircuit crește, conducând la demagnetizarea mașinii și, în consecință, la scăderea tensiunii sale pînă la un anumit nivel, care depinde numai de distanța de scurtcircuit și de parametrii fizici ai acesteia. Din această cauză, mașina nu mai poate fi caracterizată printr-o tensiune la borne cu amplitudine constantă, iar reacțanța ei de-a lungul procesului tranzitoriu de scurtcircuit variază în funcție de tipul constructiv al generatorului și de înfășurările dispuse pe rotor. Ea trebuie să fie definită prin alte mărimi, independente de condițiile exterioare, care să permită aprecierea trecerii bruște de la un regim la altul. Aceste mărimi, a căror semnificație fizică va fi pusă în evidență mai jos, sînt *reactanțele tranzitorii* sau *supratranzitorii*, în spatele cărora se conectează *tensiunile electromotoare tranzitorii* sau *supratranzitorii*.

8.1.2.1. *Tensiunea electromotoare tranzitorie și reactanța tranzitorie a mașinii sincrone fără înfășurări de amortizare.* În teoria mașinii sincrone, definirea acestor două mărimi se face, folosind axele de simetrie magnetice ale rotorului — longitudinală  $d$  și transversală  $q$  — ceea ce înseamnă, de fapt, înlocuirea înfășurărilor reale ale fazelor statorului cu înfășurări corespunzătoare dispuse pe cele două axe. În cazul mașinii fără înfășurare de amortizare, pe axa  $d$  sînt dispuse înfășurarea de excitație 1, conectată la o sursă de curent continuu

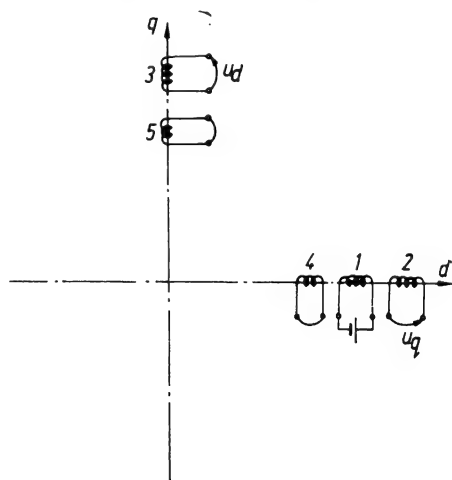


Fig. 8.8. Dispunerea înfășurărilor mașinii sincrone pe cele două axe de simetrie magnetică  $d$  și  $q$ .

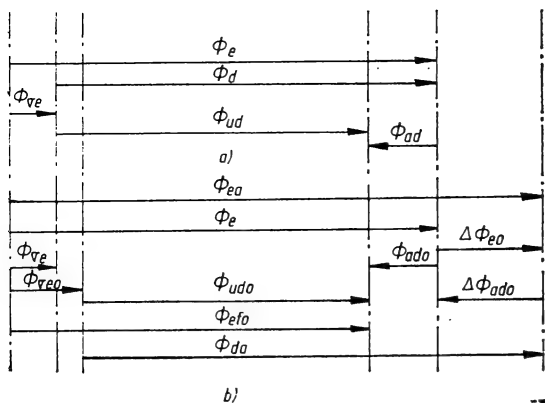


Fig. 8.9. Bilanțul fluxurilor magnetice după axa longitudinală a rotorului:

*a* — în regimul anterior defectului; *b* — în momentul variației bruște a regimului.

în momentul variației bruște a regimului de funcționare ( $t = 0$ ) a mașinii este prezentat în figura 8.9.

Înainte de producerea defectului, fluxul total al înfășurării de excitație care ar exista când înfășurarea statorică ar fi deschisă este notat cu  $\Phi_e$  și se compune dintr-un flux util  $\Phi_d$  de-a lungul axei  $d$  a rotorului și un flux de dispersie  $\Phi_{se}$ . Când circuitul statoric se închide pe o anumită sarcină, apare un flux de reacție statorică longitudinală  $\Phi_{ad}$ , care reduce fluxul util din întrefierul mașinii la o valoare notată pe figura 8.9, *a* cu  $\Phi_{ud}$ . Fluxul total care înălțuie înfășurarea de excitație este  $\Phi_{ea}$  și reprezintă suma fluxurilor  $\Phi_{ud}$  și  $\Phi_{se}$ .

În momentul producerii scurtcircuitului echilibrul fluxurilor magnetice se modifică, ca urmare a creșterii bruște a reacției statorice la scurtcircuit pe axa longitudinală, cu cantitatea notată în figura 8.9, *b* cu  $\Delta\Phi_{ado}$ . Fluxul magnetic care înălțuie înfășurarea rotorului trebuind să rămână nemodificat \* este necesar, pentru anularea efectului demagnetizant al statorului, să apară brusc o reacție de răspuns a înfășurării de excitație, materializată printr-o creștere a fluxului de excitație inițial cu cantitatea  $\Delta\Phi_{eo}$ , egal în mărime cu  $\Delta\Phi_{ado}$ . Altfel spus, conform legii inducției electromagnetice, în circuitul de excitație apar supracurenți aperiodici al căror flux, închis pe căile de dispersie este învîrtitor și induce curenți în stator. Cele două fluxuri se compensează reciproc, adică:

$$\Delta\Phi_{ado} + \Delta\Phi_{eo} = 0. \quad (8.19)$$

\* Studiul momentului inițial al regimului tranzitoriu de scurtcircuit al mașinii sincrone se efectuează sugestiv pe baza principiului inerției fluxului magnetic sau, mai exact, a conservării fluxului total inițial. În acest fel, condițiile momentului inițial ale procesului tranzitoriu, sînt analoage cu condițiile impuse transformatorului alimentat de la o sursă de tensiune sinusoidală. Ca urmare, curentul statorului mașinii care apare în regimul tranzitoriu, se compune din cel puțin două componente și anume o componentă periodică, determinată de t.e.m. indusă de fluxul înfășurării de excitație și o componentă aperiodică, determinată de variația fluxului statorului.

Considerînd mărimile rotorului raportate la stator, egalitatea (8.19) se poate scrie sub forma:

$$\Delta I_{a0} X_{ad} + \Delta I_{e0} (X_{ad} + X_{ae}) = 0. \quad (8.20)$$

în care:  $\Delta I_{a0}$  reprezintă modificarea curentului longitudinal statoric, în momentul apariției bruște a scurtcircuitului, legată de reacția statorică;

$\Delta I_{e0}$  — modificarea curentului în înfășurarea de excitație ca urmare a reacției de răspuns a acesteia;

$X_{ad}$  — reactanța de cuplaj magnetic dintre înfășurarea statorică și cea de excitație pe axa longitudinală;

$X_{ae}$  — reactanța de dispersie a înfășurării de excitație.

Ecuația (8.20) leagă creșterile de curenți  $\Delta I_{a0}$  și  $\Delta I_{e0}$  prin intermediul reactanței de dispersie a înfășurării de excitație.

Creșterea fluxului de excitație, în momentul producerii scurtcircuitului la valoarea  $\Phi_{e0}$ , atrage după sine o creștere proporțională a fluxului de dispersie a înfășurării de excitație la valoarea  $\Phi_{ae0}$ , fapt care conduce la micșorarea fluxului util rezultat de pe axa longitudinală la valoarea  $\Phi_{ad0}$ . În consecință, dispersia înfășurării de excitație nu permite caracterizarea mașinii în momentul inițial al procesului tranzitoriu prin reactanța de dispersie a statorului  $X_{\sigma}$  și tensiunea electromotoare  $E_{uq0}$  legată de fluxul magnetic  $\Phi_{ad0}$ , deoarece acesta din urmă suferă o modificare provocată de creșterea curentului statoric  $\Delta I_{a0}$ , a cărei valoare trebuie determinată.

Pentru a putea caracteriza mașina este necesară utilizarea unui flux magnetic a cărei valoare se conservă și acesta, conform figurii 8.9 este fluxul total cuplat cu înfășurarea de excitație  $\Phi_{e10}$ . Cunoscînd coeficientul de dispersie magnetică al acestei înfășurări  $\sigma_e$ , se poate determina acea parte din fluxul magnetic  $\Phi_{e10}$ , care este cuplată cu statorul  $\Phi'_d$  scriind că:

$$\Phi'_d = (1 - \sigma_e) \Phi_{e10} \quad (8.21)$$

care, împreună cu tensiunea electromotoare  $E'_q$  pe care o determină, păstrează în momentul inițial al procesului tranzitoriu valorile lor precedente. Această tensiune electromotoare reprezintă o mărime convențională de calcul și este denumită *tensiune electromotoare tranzitorie*.

Expresia (8.21) se poate explicita, ținînd seama că pentru o mașină nesaturată coeficientul de dispersie al înfășurării de excitație  $\sigma_e$  se determină ținînd seama că fluxul de dispersie corespunzător reprezintă o oarecare parte constantă a fluxului de excitație, adică:

$$\sigma_e = \frac{\Phi_{ae}}{\Phi_e} = \frac{X_{ae}}{X_{ae} + X_{ad}} = \frac{X_{ae}}{X_e}. \quad (8.22)$$

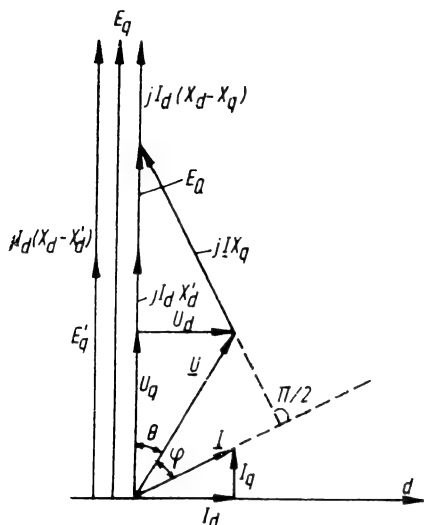


Fig. 8.10. Diagrama fazorială a mașinii sincrone cu poli aparenti.

Introducînd (8.22) în (8.21) se obține:

$$\begin{aligned}\Phi'_d &= \left[ 1 - \frac{X_{se}}{X_{se} + X_{ad}} \right] \Phi_{e0} = \\ &= \frac{X_{ad}}{X_{se} + X_{ad}} [I_e(X_{se} + X_{ad}) + I_d X_{ad}] = \\ &= I_e X_{ad} + I_d \frac{X_{ad}^2}{X_{se} + X_{ad}}. \quad (8.23)\end{aligned}$$

Tensiunea electromotoare  $E'_q$  legată de fluxul  $\Phi'_d$  este dată de relația:

$$\begin{aligned}\underline{E}_q' &= \underline{E}_q - \underline{I}_d \frac{X_{ad}^2}{X_{se} + X_{ad}} = \\ &= \underline{U}_q + \underline{I}_d \left( X_d - \frac{X_{ad}^2}{X_{se} + X_{ad}} \right) = \\ &= \underline{U}_q + \underline{I}_d X_d', \quad (8.24)\end{aligned}$$

în care:  $\underline{E}_q$  reprezintă tensiunea electromotoare legată de fluxul de excitație al mașinii la mersul în gol al acesteia;

$\underline{U}_q$  — tensiunea la bornele înfășurării statorice a mașinii rezultată din proiecția tensiunii  $\underline{U}$  pe axa  $q$  de simetrie a rotorului;

$X_d = X_{se} + X_{ad}$  — reactanța sincronă după axa longitudinală a mașinii;

$X_{se}$  — reactanța de scăpări a înfășurării statorice;

$X_d' = X_d - \frac{X_{ad}^2}{X_{se} + X_{ad}}$  — reactanța tranzitorie după axa longitudinală a mașinii, mărime caracteristică indicată în mod obișnuit de către fabrica constructoare.

În figura 8.10 s-a trasat o diagramă fazorială a tensiunilor unei mașini cu poli aparenti, la o sarcină inductivă, care corespunde ecuației (8.24). După cum se observă, tensiunea electromotoare  $\underline{E}_q'$  are aceeași direcție cu  $\underline{E}_2$ , fiind mai mică cu căderea de tensiune produsă de curentul statoric  $\underline{I}_d$  în reactanța  $X_d - X_d' = \frac{X_{ad}^2}{X_{se} + X_{ad}}$ .

Această tensiune electromotoare  $E_q'$  rămîne neschimbată în momentul inițial al modificării regimului de funcționare al mașinii și împreună cu reactanța tranzitorie  $X_d'$ , permite aprecierea variațiilor curentului statoric la scurtcircuit.

În figura 8.11 s-au indicat fluxurile magnetice care produc tensiunea electromotoare tranzitorie  $E_q'$  și reactanța tranzitorie  $X_d'$ . Prima mărime este determinată de totalitatea fluxurilor  $\Phi_d$  și  $(\Phi_{ad} - \Phi_{adse})$ , în care  $\Phi_{adse}$  reprezintă acea parte din fluxul de reacție, care, ca urmare a creșterii curentului de excitație în momentul inițial al procesului tranzitoriu,  $\Delta I_{e0}$ , respectiv a creșterii

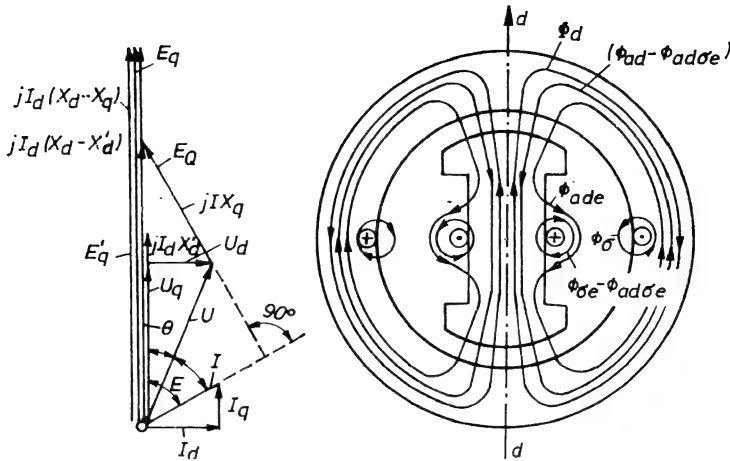


Fig. 8.11. Căile fluxurilor magnetice după axa longitudinală a rotorului, în cazul mașinii sincrone cu poli aparenti fără înfășurare de amortizare.

fluxului de dispersie al înfășurării de excitație de la valoarea  $\Phi_{\sigma e}$  la  $\Phi_{\sigma e 0}$ , este deplasată în afara rotorului. Cea de-a doua mărime,  $X'_d$  corespunde sumei fluxurilor,  $\Phi_{\sigma}$  al înfășurării statorice și  $\Phi_{ad\sigma e}$ . Expresiile acestor două mărimi se pot pune și sub forma:

$$\underline{E}'_q = \underline{E}_q + (1 - \sigma_e) \underline{E}_{aq} = \underline{E}_{aq} - \sigma_e \underline{E}_{aq} \quad (8.25)$$

și

$$X'_d = X_d - (1 - \sigma_e) X_{ad} = X_{\sigma} + \sigma_e X_{ad}, \quad (8.26)$$

în care:  $\underline{E}_{aq}$  reprezintă tensiunea electromotoare legată de fluxul  $\Phi_{ad}$  de pe axa longitudinală.

Ele permit înlocuirea mașinii sincrone cu dispersie a înfășurării de excitație, cu o mașină la care dispersia acestei înfășurări nu influențează statorul, însă, în compensare, este mărită corespunzător dispersia înfășurării statorice cu cantitatea  $\Phi_{ad\sigma e}$  sau, ceea ce este echivalent, cu  $\sigma_e X_{ad}$ .

Explicitarea fluxului  $\Phi_{ad\sigma e}$  pune în evidență unele aspecte fizice legate de reactanța tranzitorie. Astfel dacă se scrie valoarea acestuia în funcție de tensiunea magnetomotoare de reacție longitudinală  $\underline{F}_{ad}$  și de permeanțele prin care trece fluxul dat, se obține:

$$\Phi_{ad\sigma e} = \frac{\underline{F}_{ad}}{\frac{1}{\lambda_{ad}} + \frac{1}{\lambda_{\sigma e}}} = \underline{I}_d \frac{X_{\sigma e} X_{ad}}{X_{\sigma e} + X_{ad}}, \quad (8.27)$$

în care s-a notat cu  $\lambda_{ad}$  și  $\lambda_{\sigma e}$  permeanțele magnetice corespunzătoare inducției mutuale dintre stator și rotor și cea de dispersie a înfășurării de excitație și s-a ținut seama de proporționalitatea acestora cu reactanțele.



Adăugînd expresia (8.27) la fluxul total de dispersie statorică  $\Phi_\sigma$  se obține:

$$\begin{aligned}\Phi_\sigma + \Phi_{ad\sigma e} &= \underline{I}_d \cdot X_\sigma + \underline{I}_d \cdot \frac{X_{\sigma e} \cdot X_{ad}}{X_{\sigma e} + X_{ad}} = \\ &= \underline{I}_d \left( X_\sigma + \frac{X_{\sigma e} \cdot X_{ad}}{X_{\sigma e} + X_{ad}} \right) = \underline{I}_d \cdot X'_d, \quad (8.28)\end{aligned}$$

din care se constată că reactanța tranzitorie după axa longitudinală este reactanța echivalentă a înfășurării statorice corespunzătoare, în care este scurt-circuitată înfășurarea de excitație. Ea se poate interpreta ca fiind o cotă parte constantă din reactanța sincronă a mașinii, prin intermediul coeficientului total de dispersie a înfășurării statorice  $\sigma$ , adică:

$$\begin{aligned}X'_d &= X_\sigma + \frac{X_{\sigma e} \cdot X_{ad}}{X_{\sigma e} + X_{ad}} = X_d - \frac{X_{ad}^2}{X_{\sigma e} + X_{ad}} = \\ &= X_d \left[ 1 - \frac{X_{ad}^2}{(X_{\sigma e} + X_{ad}) X_d} \right] = \sigma \cdot X_d, \quad (8.29)\end{aligned}$$

unde s-a notat:

$$\sigma = 1 - \frac{X_{ad}^2}{(X_{\sigma e} + X_{ad}) X_d} = 1 - \frac{X_{ad}^2}{X_e \cdot X_{ad}}. \quad (8.30)$$

Relațiile (8.25) (8.26) și (8.28) permit întocmirea unei scheme echivalente a mașinii după axa longitudinală a rotorului, prezentată în figura 8.12 care este asemănătoare celei a unui transformator cu două înfășurări. Tensiunea electromotoare  $\underline{E}_{qe}$  corespunde fluxului rezultant  $\Phi_{et}$  și se introduce în schema

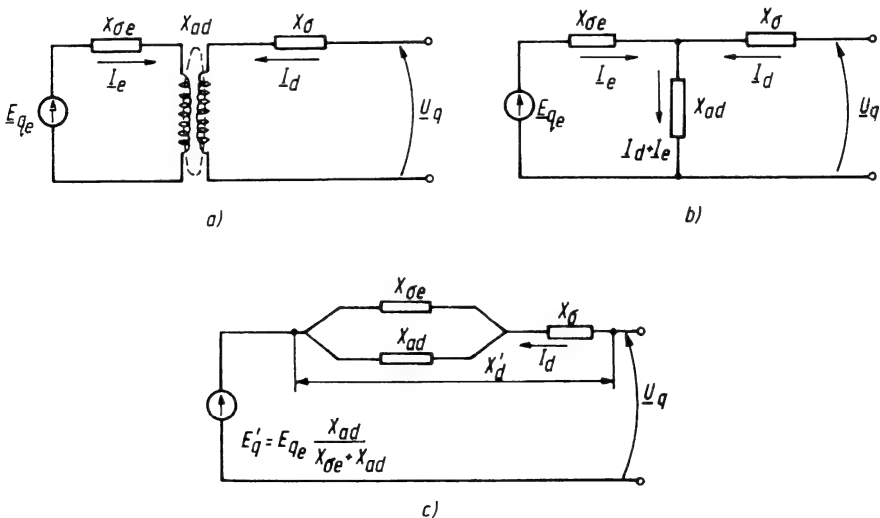


Fig. 8.12. Schema echivalentă a mașinii sincrone cu poli aparenti fără înfășurare de amortizare după axa longitudinală a rotorului.

echivalentă a mașinii în serie cu reactanța de scăpări a înfășurării de excitație. Tensiunea electromotoare tranzitorie  $\underline{E}'_q$  reprezintă o tensiune electromotoare echivalentă a ramurilor  $X_{\sigma e}$  și  $X_{ad}$ , adică:

$$\underline{E}'_q = \frac{\underline{E}_{qe} \underline{Y}_{\sigma e}}{\underline{Y}_{\sigma e} + \underline{Y}_{ad}} = \underline{E}_{qe} \frac{X_{ad}}{X_{\sigma e} + X_{ad}}, \quad (8.31)$$

în care s-au notat cu  $\underline{Y}_k$  admitanțele corespunzătoare celor două ramuri.

Reactanța tranzitorie corespunde relației (8.28) și reprezintă suma dintre reactanța de scăpări a înfășurării statorice și reactanța echivalentă a celorlalte două ramuri,  $X_{\sigma e}$  și  $X_{ad}$ , puse în paralel. Pe axa transversală a rotorului, conform figurii 8.8, rotorul nu are înfășurări închise. Ca urmare, fluxul de reacție statorică după axa transversală variază liber, iar modificarea bruscă a regimului de funcționare al mașinii se poate reprezenta numai prin căderea de tensiune determinată de componenta de curent  $\underline{I}_q$  în reactanța  $X_{aq}$ . La o asemenea mașină, pe axa transversală rezultă:

$$\underline{E}'_d = 0 \quad \text{și} \quad \underline{X}'_q = X_q, \quad (8.32)$$

relații care trebuie considerate aproximative la turbogeneratoare la care rotoarele masive ale acestora pot juca rolul unor înfășurări de amortizare.

8.1.2.2. *Tensiunea electromotoare supratranzitorie și reactanța supratranzitorie a mașinii sincrone prevăzută cu înfășurări de amortizare.* Existența înfășurării de amortizare, notată în figura 8.8 cu indicii 4 și 5 și dispusă după cele două axe ale rotorului, nu asigură simetria magnetică totală a acestuia, deși compensarea fluxului de reacție statorică la scurtcircuit se face mai complet decât atunci când ea lipsește. În consecință și în acest caz mașina poate fi caracterizată prin mărimi distincte după cele două axe, care trebuie să fie independente de condițiile exterioare.

Pe axa longitudinală, pentru simplificare, se va considera că înfășurarea de amortizare dispusă în figura 8.8 după cele două axe ale rotorului este cuplată cu înfășurarea statorică printr-un flux de inducție mutuală  $\Phi_{ad}$ , de care se leagă reactanța de reacție statorică  $X_{ad}$ .

La producerea scurtcircuitului, apariția bruscă a fluxului de reacție statorică  $\Delta\Phi_{ad0}$  provoacă reacții în ambele înfășurări, de excitație și de amortizare, dispuse pe rotor, manifestate prin creșterea fluxurilor inițiale cu cantitățile  $\Delta\Phi_{e0}$  și  $\Delta\Phi_{a0}$  și apariția unor curenți induși  $\Delta I_{e0}$  și  $\Delta I_{a0}$ . Aceste două fluxuri suplimentare compensează fluxul de reacție statorică la scurtcircuit, astfel încât ecuația de echilibru (8.20) se poate scrie separat, după cum urmează:

— pentru înfășurarea de excitație:

$$\Delta I_{d0} X_{ad} + \Delta I_{e0} (X_{\sigma e} + X_{ad}) + \Delta I_{a0} X_{ad} = 0; \quad (8.33)$$

— pentru înfășurarea de amortizare:

$$\Delta I_{d0} X_{ad} + \Delta I_{e0} X_{ad} + \Delta I_{a0} (X_{\sigma a} + X_{ad}) = 0, \quad (8.34)$$

în care:  $\Delta I_{a0}$  reprezintă curentul indus în înfășurarea de amortizare, în momentul inițial al procesului tranzitoriu;

$X_{\sigma ad}$  — reactanța de dispersie a înfășurării de amortizare după axa longitudinală.

Ultimele două relații permit stabilirea legăturii dintre creșterile curenților induși în înfășurările de excitație și de amortizare după axa longitudinală și reactanțele lor de dispersie corespunzătoare:

$$\Delta I_{e0} \cdot X_{\sigma e} = \Delta I_{a0} X_{\sigma ad}$$

sau

$$\Delta I_{a0} = \Delta I_{e0} \frac{X_{\sigma e}}{X_{\sigma ad}}, \quad (8.35)$$

care pune în evidență un fapt important, și anume, că participarea înfășurării de amortizare la compensarea reacției statorice la scurtcircuit este cu atât mai importantă cu cât reactanța ei de dispersie este mai redusă.

Reacția de răspuns a celor două înfășurări rotorice dispuse pe axa longitudinală, se poate înlocui, în general, printr-o reacție analoagă provocată de un curent total într-o înfășurare echivalentă, unică. În acest fel, este posibilă reducerea problemei analizate la cea studiată anterior.

Curentul total indus în momentul inițial al scurtcircuitului în înfășurarea echivalentă  $\Delta I_{td0}$ , ca urmare a reacției acesteia la scurtcircuit are valoarea:

$$\Delta I_{td0} = \Delta I_{e0} + \Delta I_{a0} = \Delta I_{e0} \left( 1 + \frac{X_{\sigma e}}{X_{\sigma ad}} \right) \quad (8.36)$$

și el compensează în întregime fluxul suplimentar  $\Delta \Phi_{ad0}$ . Ținând seama că fluxurile inițiale se conservă, conform relațiilor (8.19) sau (8.20) se poate scrie că:

$$\Delta I_{td0} (X_{\sigma td} + X_{ad}) + \Delta I_{a0} X_{ad} = 0, \quad (8.37)$$

în care s-a notat cu  $X_{\sigma td}$  reactanța totală de scăpări a înfășurării echivalente dispusă pe axa magnetică longitudinală a rotorului.

Determinarea acestei reactanțe se poate face cu ajutorul relațiilor (8.33) și (8.35), care permit exprimarea creșterii curentului de reacție statorică în momentul apariției scurtcircuitului,  $\Delta I_{d0}$ , în funcție de curentul indus în înfășurarea de excitație  $\Delta I_{e0}$ . Procedând astfel și introducând rezultatul în ecuația (8.37) se determină că:

$$X_{\sigma e} + X_{ad} + \frac{X_{\sigma e}}{X_{\sigma ad}} X_{ad} = \left( 1 + \frac{X_{\sigma e}}{X_{\sigma ad}} \right) (X_{\sigma td} + X_{ad}) \quad (8.38)$$

din care rezultă:

$$X_{\sigma td} = \frac{X_{\sigma e} \cdot X_{ad}}{X_{\sigma e} + X_{\sigma ad}}, \quad (8.39)$$

adică, reactanța totală de dispersie a înfășurării echivalente, dispusă pe axa de simetrie magnetică longitudinală a rotorului, corespunde celor două înfășurări puse în paralel.

Pentru determinarea reactanței supratranzitorii după axa longitudinală se poate aplica relația (8.29), în care se ține seama de reactanța corespunzătoare înfășurării echivalente, adică:

$$X_d'' = X_d - \frac{X_{ad}^2}{X_{\sigma td} + X_{ad}} = X_d \left[ 1 - \frac{X_{ad}^2}{X_d (X_{\sigma td} + X_{ad})} \right] = \sigma_d X_d, \quad (8.40)$$

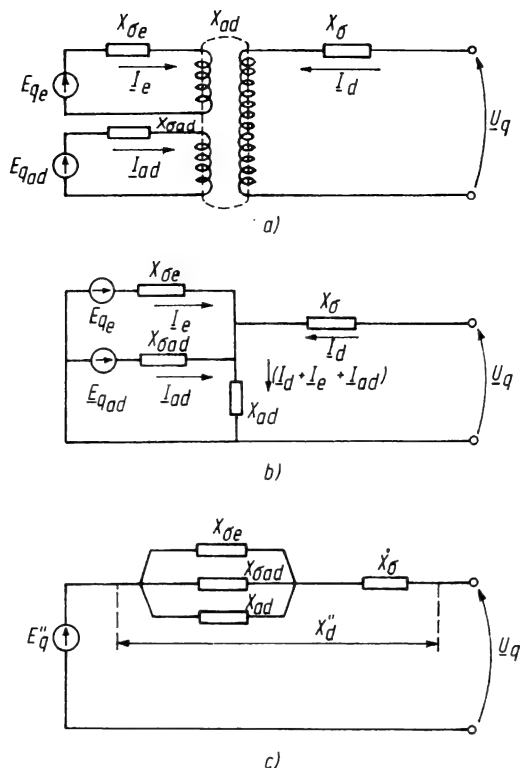


Fig. 8.13. Schema echivalentă după axa longitudinală a rotorului, pentru mașina sincronă cu poli aparenti și cu înfășurare de amortizare.

în care:  $\sigma_a = 1 - \frac{X_{ad}^2}{X_d(X_{\sigma ad} + X_{ad})}$  este coeficientul total de dispersie pe axa longitudinală a rotorului.

Ținînd seama de valoarea reactanței sincrone a statorului, relația (8.40) se poate pune sub forma:

$$X_d'' = X_\sigma + \frac{X_{\sigma e} \cdot X_{\sigma ad} \cdot X_{ad}}{X_{\sigma e} \cdot X_{\sigma ad} + X_{\sigma e} \cdot X_{ad} + X_{\sigma ad} \cdot X_{ad}} \quad (8.41)$$

relație care corespunde schemei echivalente a generatorului după axa longitudinală de forma celei din figura 8.13, analogă cu aceea a unui transformator cu trei înfășurări.

Tensiunea electromotoare supratranzitorie  $E_q''$ , a cărei valoare rămîne nemodificată în momentul inițial al variației bruște a regimului de funcționare al mașinii, se conectează în spatele reactanței  $X_d''$  și se obține din diagrama fazorială dată în figura 8.14, scriind că:

$$\underline{E}_q'' = \underline{U}_{q0} + j \underline{I}_{a0} X_d'' \quad (8.42)$$

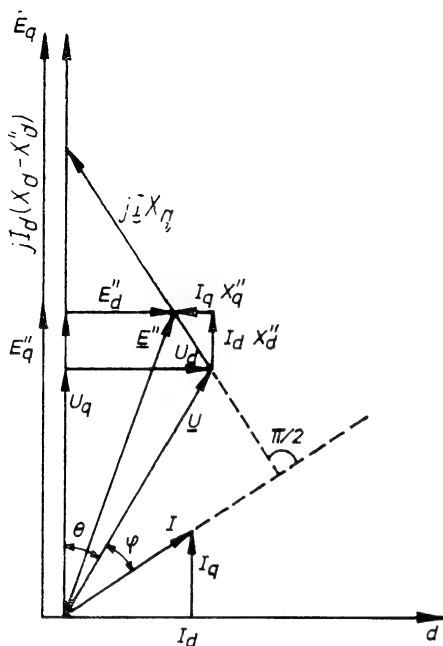


Fig. 8.14. Diagrama fazorială a mașinii sincrone cu poli aparenti prevăzută cu înfășurare de amortizare.

În figura 8.15 sînt redată fluxurile magnetice care determină tensiunea electromotoare  $E_q''$  și anume fluxul  $\Phi_d$  și  $(\Phi_{ad} - \Phi_{ad\sigma ead})$ . Fluxul de reacție al celor două înfășurări rotorice, de excitație și de amortizare,  $\Phi_{ad\sigma ead}$  are același drum cu fluxul de dispersie al înfășurărilor sale de pe axa longitudinală și se determină cu ajutorul relației (8.27), în care se consideră permeanța magnetică rezultantă de pe axa longitudinală a rotorului:

$$\lambda_{\sigma id} = \frac{1}{\frac{1}{\lambda_{\sigma e}} + \frac{1}{\lambda_{\sigma ad}}} = \frac{\lambda_{\sigma e} \cdot \lambda_{\sigma ad}}{\lambda_{\sigma e} + \lambda_{\sigma ad}}, \quad (8.43)$$

a cărei expresie exprimată în unități relative corespunde cu (8.39). Reactanța  $X_d''$  este determinată de totalitatea fluxurilor de scăpări ale statorului  $\Phi_{\sigma}$  și  $\Phi_{ad\sigma ead}$  corespunzător înfășurărilor rotorice. Pe axa transversală se află

dispuse înfășurarea statorică și înfășurarea de amortizare. Determinarea reactanței supratranzitorii  $X_q''$  se face folosind o relație analogă cu (8.29) în care se introduc mărimile corespunzătoare pe axa transversală, adică:

$$X_q'' = X_q - \frac{X_{aq}^2}{X_{\sigma aq} + X_{aq}} \quad (8.44, a)$$

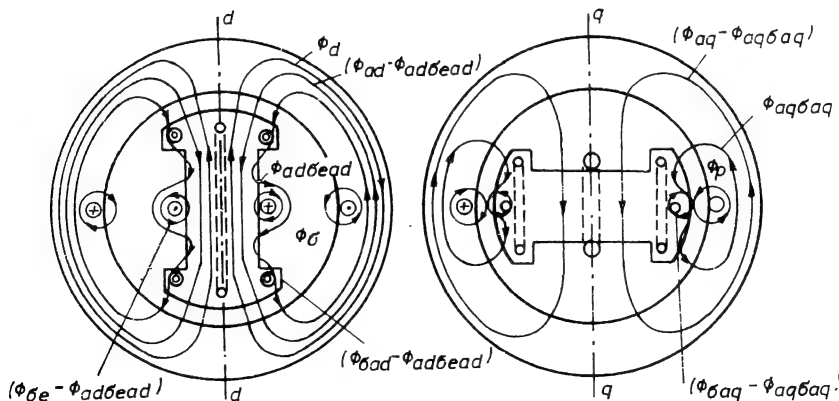


Fig. 8.15. Fluxurile magnetice ale mașinii cu poli aparenti și înfășurare de amortizare: a - după axa longitudinală; b - după axa transversală.

sau

$$X_q'' = X_\sigma + \frac{X_{aq} \cdot X_{\sigma aq}}{X_{aq} + X_{\sigma aq}}, \quad (8.44, b)$$

în care:  $X_q = X_\sigma + X_{aq}$  este reactanța sincronă după axa transversală a rotorului;

$X_{aq}$  — reactanța de reacție statorică după axa transversală a rotorului;

$X_{\sigma aq}$  — reactanța de dispersie a înfășurării de amortizare după axa transversală.

Tensiunea electromotoare  $\underline{E}_d''$ , montată în spatele acestei reactanțe, se determină cu ajutorul diagramei fazoriale din figura 8.14 \*, din care se poate scrie:

$$\underline{E}_d'' = \underline{U}_{d0} + j I_{q0} X_q''. \quad (8.45)$$

Relațiile (8.45) și (8.46) permit întocmirea unei scheme echivalente a mașinii după axa transversală, corespunzătoare unui cuplaj magnetic între înfășurarea statorului și înfășurarea de amortizare transversală, asemănătoare cu cea a unui transformator cu două înfășurări, care este redată în figura 8.16.

Cele două perechi de mărimi supratranzitorii determinate după cele două axe de simetrie magnetică ale rotorului, în cazul mașinii cu înfășurare de amortizare, permit trecerea de la un regim care se modifică brusc la un alt regim. Prefixul „supra” în denumirea generală de supratranzitoriu subliniază numai faptul că mașina este echipată cu înfășurarea de amortizare.

Tensiunile electromotoare nu sînt influențate de condițiile exterioare mașinii, ele reprezentînd niște mărimi convenționale, de calcul. De obicei, în schemele echivalente de scurtcircuit, mașina sincronă se va introduce prin mărimile corespunzătoare axei magnetice longitudinale a rotorului. În acest caz, tensiunea electromotoare supratranzitorie  $E_q''$  se poate considera, în funcție

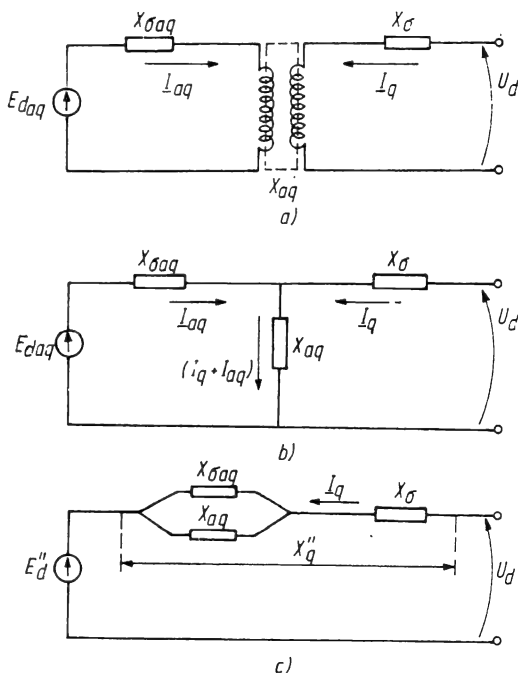


Fig. 8.16. Schema echivalentă după axa transversală a rotorului pentru mașina sincronă cu poli aparenti și înfășurare de amortizare.

\* În această figură sînt indicate t.e.m. supratranzitorii longitudinală și transversală și valoarea totală a t.e.m.  $E_q''$ .

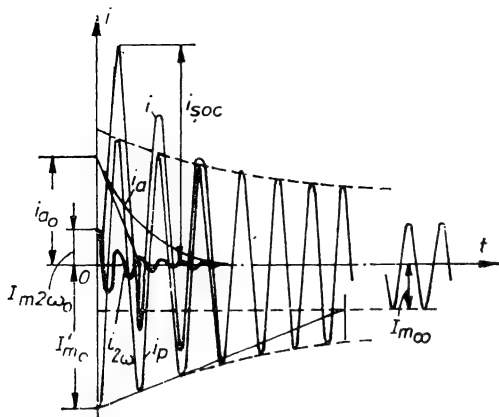


Fig. 8.17. Variația curentului de scurtcircuit trifazat alimentat de o sursă de putere finită.

fundamentală  $i_p$ , o componentă aperiodică sau liberă  $i_a$  și o componentă armonică de ordinul al doilea  $i_{2\omega}$ .

Componenta periodică are amplitudinea descrescătoare după linia punctată din figura 8.17, stabilizându-se după timpul corespunzător regimului tranzitoriu, la o valoare egală cu curentul de scurtcircuit permanent  $I_{\infty}$ , determinat de tensiunea electromotoare sincronă a generatorului, reacțanța lui sincronă și reacțanța rețelei pînă la locul de scurtcircuit. În prima semi-perioadă după apariția defectului valoarea efectivă a componentei periodice, care poartă numele de *curent tranzitoriu de scurtcircuit*, se determină cu relația:

$$I'_0 = \frac{E'}{X'_d + X_k} = \frac{\alpha U_{med}}{\sqrt{3}(X'_d + X_k)}, \quad (8.47)$$

în care:  $E'$  reprezintă tensiunea electromotoare tranzitorie după axa longitudinală a rotorului, conectată în spatele reacțanței tranzitorii  $X'_d$  a generatorului;

$X'_d$  — reacțanța tranzitorie după axa longitudinală a generatorului, care corespunde momentului inițial al defectului;

$X_k$  — reacțanța de scurtcircuit a rețelei pînă la locul de defect;

$\alpha \geq 1$  — coeficient a cărei valoare depinde de tipul generatorului și de locul de scurtcircuit, care se poate lua în medie egală cu 1,1.

Componenta aperiodică a curentului de scurtcircuit (statoric) se amortizează cu o anumită constantă de timp, determinată de constantele fizice ale mașinii și circuitului avariāt. Ea creează un flux magnetic, practic fix în spațiu, care induce în înfășurarea de excitație o tensiune electromotoare de

de tensiunea medie a rețelei, ca fiind mai mare cu  $5 \div 15\%$  în raport cu aceasta, pentru generatoarele cu poli aparenti. La generatoarele cu poli înnecați această creștere este mai mică.

8.1.2.3. *Variația curentului de scurtcircuit trifazat alimentat de la o sursă de putere finită.* În figura 8.17 este dată curba de variație a valorilor instantanee ale curentului total de scurtcircuit trifazat, alimentat de la o sursă generatoare de putere finită, fără înfășurare de amortizare, care a funcționat în prealabil în gol ( $i = 0$ )\*. După cum se observă, curentul de scurtcircuit are o componentă periodică de frecvență

\* Ca și în cazul sursei de putere infinită, valoarea maximă a curentului de scurtcircuit trifazat apare în condițiile în care defectul are loc cînd curentul de regim permanent trece prin valoarea zero.

frecvență sincronă și respectiv, un curent de aceeași frecvență. Stingerea componentei aperiodice a curentului statoric, evident că produce dispariția curenților alternativi din înfășurarea de excitație, ceea ce are ca urmare o micșorare importantă a curenților de scurtcircuit.

*Componenta armonică de ordinul al doilea* este determinată de nesimetria rotorului după cele două axe magnetice ( $X'_d \neq X_q$ ) și de componenta aperiodică a curentului statoric. Reprezentarea fizică a fenomenului se poate pune în evidență în felul următor: fluxul magnetic, legat de curentul alternativ de frecvență sincronă indus în înfășurarea de excitație de către fluxul magnetic al componentei aperiodice din cele trei faze ale statorului, apare ca un flux magnetic pulsatoriu, fix în spațiu în raport cu rotorul. El se poate descompune în două fluxuri magnetice care se rotesc în sensuri opuse și anume unul fix în raport cu statorul și celălalt, care se rotește cu o viteză sincronă dublă. Influența acestor două componente de flux asupra statorului se manifestă diferit. Astfel, prima componentă, fixă în raport cu statorul, compensează parțial fluxul magnetic provocat de acesta, în timp ce cea de-a doua componentă, conduce la apariția unui curent armonică de ordinul al doilea. Valoarea acestui curent scade odată cu creșterea distanței pînă la locul de scurtcircuit.

Conform figurii 8.17, în momentul inițial al producerii scurtcircuitului, suma dintre componenta aperiodică  $i_{a0}$  și componenta armonică de ordinul al doilea  $i_{m2\omega_0}$  trebuie să fie egală cu componenta periodică  $\hat{I}'_{m0}$ .

Cînd mașina este prevăzută și cu înfășurare de amortizare, aceasta contribuie în plus la anularea efectului demagnetizant al statorului. Într-adevăr, fluxul magnetic, care îmbrățișează cele două înfășurări dispuse pe rotor, de excitație și de amortizare, — trebuind să rămînă neschimbat în momentul producerii scurtcircuitului, — este necesar, pentru anularea reacției statorice, să apară brusc, în aceste circuite, supracurenți aperiodici al căror flux, închis pe căile de dispersie, este învîrtitor și induce curenți în stator.

Variația curentului de scurtcircuit trifazat este analoagă cu cea prezentată în figura 8.17, avînd aceleași componente: periodică fundamentală, aperiodică și periodică de pulsație dublă. Se menționează însă, că pe întreaga perioadă a regimului tranzitoriu, această variație este ceva mai mare, iar în etapa inițială, amortizarea se face mai repede, iar apoi mai încet, decît în cazul lipsei înfășurării de amortizare. Altfel spus, în perioada inițială panta de descreștere a componentei aperiodice este mai mare, iar vîrfurile curentului total de scurtcircuit sînt și ele mai crescute; acest lucru este determinat de prezența înfășurării de amortizare de care se leagă o componentă aperiodică, care se amortizează mai rapid, decît cea legată de înfășurarea de excitație, ținînd seama de constanta de timp mai redusă a circuitului corespunzător.

Armonica de ordinul al doilea este mai redusă în cazul cînd mașina este prevăzută cu înfășurare de amortizare. Acest fapt este explicat prin aceea că înfășurările de amortizare după cele două axe ale rotorului, micșorează de obicei nesimetria magnetică a rotorului în regim tranzitoriu, adică, diferența dintre reactanțele supratranzitorii după cele două axe,  $X''_d$  și  $X''_q$ , este mai mică decît cea dintre reactanțele  $X'_d$  și  $X_q$  ale mașinii fără înfășurare de amortizare. La turbogeneratoare, unde practic  $X''_d \approx X''_q$ , această armonică lipsește aproape cu desăvîrșire.



După producerea scurtcircuitului, desfășurarea procesului tranzitoriu are loc astfel: mai întâi se stinge componenta aperiodică a circuitului de amortizare, ceea ce are ca urmare micșorarea fluxului rotoric și, în consecință, o micșorare a componentelor alternative ale curenților statorului; urmează apoi stingerea componentelor aperiodice ale curenților statorici, care produce dispariția curenților alternativi din circuitele rotorului; după aceea se stinge componenta aperiodică a curenților rotorici, ceea ce are ca urmare o micșorare importantă a curenților din stator, iar fluxul acestuia nu mai urmează căile de dispersie, ci căile circuitului magnetic principal. În acest fel se stabilește curentul permanent de scurtcircuit, în care nu mai sînt prezenți decît curenții alternativi statorici (componenta periodică fundamentală și curentul continuu de excitație)\*.

Reactanța determinată de raportul dintre tensiunea electromotoare în gol, imediat înainte de scurtcircuit și componenta alternativă a curentului de scurtcircuit în stator, variază în decursul desfășurării procesului tranzitoriu. Într-adevăr, în momentul inițial, influența curentului înfășurării de amortizare fiind maximă, mașina se manifestă prin reactanța sa supratranzitorie  $X_d''$ , corespunzătoare dispersiei fluxului între stator, înfășurarea de excitație și cea de amortizare fiind reprezentată prin relația (8.41) sau schema echivalentă dată în figura 8.13. Valoarea efectivă a curentului din prima semiperioadă după apariția defectului, poartă denumirea de *curent supratranzitoriu de scurtcircuit*  $I_0''$  și se determină cu o relație analogă cu (8.47), în care însă intervin mărimile corespunzătoare, adică:

$$I_0'' = \frac{E''}{X_d'' + X_k} = \frac{\alpha U_{med}}{\sqrt{3}(X_d'' + X_k)}. \quad (8.48)$$

După dispariția componentei aperiodice a înfășurării de amortizare, la un anumit timp  $t$  care depinde de constanta de timp a circuitului respectiv, mașina se manifestă prin reactanța tranzitorie  $X_d'$  corespunzătoare căilor de dispersie între stator și înfășurarea de excitație rotorică, reprezentată prin relația (8.29) sau schema echivalentă din figura 8.12.

În sfîrșit, după trecerea regimului tranzitoriu și stabilirea curentului permanent de scurtcircuit, mașina se manifestă prin reactanța sa sincronă,  $X_d = X_\sigma + X_{ad}$ , corespunzătoare căilor de dispersie ale înfășurării statorice și reacției acesteia, care din punct de vedere fizic corespunde reactanțelor măsurate cînd înfășurările dispuse pe rotor sînt deschise.

Curenții de șoc la scurtcircuit și valoarea lor efectivă se calculează cu aceleași relații (8.11) și (8.17), deduse la paragraful 8.1.1, în care în locul componentei periodice  $I_p$ , intervin valorile efective ale curenților tranzitorii sau supratranzitorii.

---

\* În figura 8.17 s-a reprezentat numai variația curenților la scurtcircuit trifazat brusc, corespunzător înfășurării statorice, nu și cea a curenților din înfășurarea de excitație și de amortizare.

### 8.1.3. INFLUENȚA REGLAJULUI AUTOMAT ASUPRA CURENȚILOR DE SCURT-CIRCUIT

Cînd sursele generatoare sînt echipate cu reglatoare automate de tensiune, variația curenților de scurtcircuit are loc ca în figura 8.18.

În momentul inițial al scurtcircuitului, din cauza inerției fluxurilor magnetice cuplate cu înfășurările, evident că nu poate fi vorba de influența regulatorului automat de tensiune și, în consecință, procesul tranzitoriu se desfășoară asemănător cazului prezentat în figura 8.17. Intensitatea curentului supratranzitoriu, a curentului de șoc la scurtcircuit și a valorii sale efective rămîn aceleași și se determină cu ajutorul relațiilor (8.48), (8.11) și (8.17).

Regulatorul automat de tensiune intervine practic după dispariția componentei aperiodice de curent și a armonicii de ordinul al doilea, în funcție de constanta de timp a înfășurării de excitație și de tipul regulatorului. Acțiunea ulterioară a acestuia se manifestă prin creșterea curentului de excitație și a componentelor curenților din stator și din înfășurarea de amortizare longitudinală corespunzătoare. Acest proces se desfășoară însă relativ lent, din care cauză produce, practic, numai variația tensiunii electromotoare de rotație a statorului și prin urmare, a componentei periodice a curentului statorului provocată de aceasta\*. Tensiunea la bornele mașinii va varia

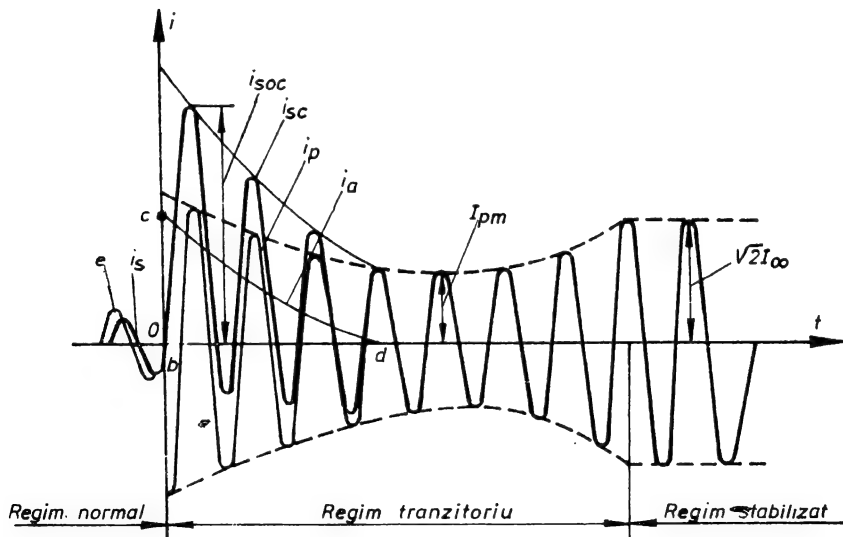


Fig. 8.18. Variația curentului de scurtcircuit trifazat alimentat de un generator echipat cu regulator automat de tensiune.

\* În înfășurarea de amortizare, curentul se datorește tensiunii electromotoare de transformare produsă de variația curentului de excitație.

și ea conform tensiunii electromotoare și va crește, tinzând către valoarea ei nominală, în funcție de distanța electrică a locului de scurtcircuit și de parametrii surselor generatoare.

Pentru un scurtcircuit relativ îndepărtat, readucerea tensiunii generatorului la valoarea nominală, necesită o creștere neînsemnată a curentului de excitație. Pe măsura apropierii locului de scurtcircuit de sursa generatoare pentru obținerea aceluiași rezultat, va fi necesară o creștere mai mare a excitației. Creșterea acesteia însă are o anumită limită, corespunzătoare *plafonului de excitație și curentului limită de excitație*  $I_{e_{lim}}$ , care are loc la scurtcircuitarea totală a reostatului de excitație al excitatricei.

Este posibil ca regulatorul automat de tensiune să nu reușească să readucă tensiunea la generator la valoarea ei nominală, chiar în cazul când se atinge plafonul excitației. Pentru o rețea oarecare avariata acest lucru se poate constata în funcție de impedanța exterioară corespunzătoare locului de scurtcircuit.

Într-adevăr, pentru fiecare valoare a argumentului  $\varphi_e$  al rețelei exterioare, se poate determina valoarea minimă a impedanței sale, la capătul căreia un scurtcircuit conduce la asigurarea tensiunii nominale la bornele generatorului, acesta fiind excitat la limită. Această impedanță reprezintă *impedanța critică*  $Z_{cr}$  la argumentul  $\varphi_e$ .

Dacă impedanța exterioară  $Z_e$ , la același argument  $\varphi_e$ , este mai mică sau cel mult egală cu cea critică ( $Z_e \leq Z_{cr}$ ), atunci generatorul, excitat la limită, va avea o tensiune mai mică sau cel mult egală cu cea nominală. Dimpotrivă, dacă impedanța exterioară, la același argument  $\varphi_e$ , este mai mare sau cel mult egală cu cea critică ( $Z_e \geq Z_{cr}$ ), generatorul funcționează în regim nominal de tensiune, când excitația sa este mai mică sau cel mult egală cu plafonul acesteia. Rezultă că în regim permanent de scurtcircuit, generatorul poate funcționa în funcție de impedanța rețelei pînă la locul de scurtcircuit, fie cu excitația limită, fie cu o excitație mai mică, dacă tensiunea sa are valoarea nominală, când  $Z_e = Z_{cr}$ .

Determinarea valorii impedanței critice se poate face scriind intensitatea curenților de scurtcircuit permanent în cele două situații.

Cînd  $Z_e \leq Z_{cr}$ , pentru același argument  $\varphi_e$ , generatorul funcționează în regim de excitație limită și debitează un curent de scurtcircuit de regim permanent dat de relația:

$$I_{\infty} = \frac{E_{q_{lim}}}{\sqrt{R_e^2 + (X_e + X_d)^2}}, \quad (8.49)$$

în care:  $E_{q_{lim}}$  reprezintă tensiunea electromotoare a generatorului după axa magnetică longitudinală corespunzătoare curentului limită de excitație;

$R_e, X_e$  — rezistența și reactanța circuitului exterior;  
 $X_d$  — reactanța sincronă după axa longitudinală a generatorului.

Cînd  $Z_e \geq Z_{cr}$  la același argument  $\varphi_e$ , generatorul funcționează în regim normal de tensiune și debitează un curent de scurtcircuit de regim permanent care poate fi determinat cu relația:

$$I_\infty = \frac{U_n}{\sqrt{R_e^2 + X_e^2}}. \quad (8.50)$$

Cînd impedanța exterioară este egală cu impedanța critică se pot respecta condițiile ambelor regimuri. Intensitatea curenților dați de relațiile (8.49) și (8.50) este egală și poate fi scrisă sub forma:

$$I_\infty = \frac{E_{qim}}{\sqrt{R_{cr}^2 + (X_d + X_{cr})^2}} = \frac{U_n}{\sqrt{R_{cr}^2 + X_{cr}^2}}. \quad (8.51)$$

Dacă se ține seama de notațiile:

$$R_e = R_{cr} = Z_{cr} \cos \varphi_e \text{ și } X_e = X_{cr} = Z_{cr} \sin \varphi_e,$$

atunci din relația (8.51) se determină valoarea impedanței critice sub forma:

$$\begin{aligned} Z_{cr} = X_d \frac{\sin \varphi_e + \sqrt{\sin^2 \varphi_e + \frac{E_{qim}^2}{U_n^2} - 1}}{\frac{E_{qim}^2}{U_n^2} - 1} = \\ = X_d \frac{U_n \sin \varphi_e + \sqrt{E_{qim}^2 + U_n^2 (\sin^2 \varphi_e - 1)}}{E_{qim}^2 - U_n^2} \cdot U_n. \end{aligned} \quad (8.52)$$

Din această ultimă relație se constată că deși impedanța critică caracterizează circuitul exterior al sursei generatoare, pentru o anumită valoare a argumentului  $\varphi_e$ , totuși ea este determinată exclusiv de parametrii generatorului. Prin analogie, se poate considera că ea definește un *curent critic de scurtcircuit* de regim permanent, pentru argumentul  $\varphi_e$  corespunzător rețelei avariate, care este definit prin relația:

$$I_{cr} = \frac{U_n}{Z_{cr}}, \quad (8.53)$$

Dacă circuitul exterior este pur inductiv, adică  $\varphi_e = 90^\circ$ , atunci:

$$Z_{cr} = \frac{X_d}{\frac{E_{qim}}{U_n} - 1} = U_n \frac{X_d}{E_{qim} - U_n} = X_{cr}. \quad (8.54)$$

Dacă circuitul exterior este practic rezistiv, adică  $\varphi_e = 0$ , atunci:

$$Z'_{cr} = \frac{X_d}{\sqrt{\frac{E_{qim}^2}{U_n^2} - 1}} = U_n \frac{X_d}{\sqrt{E_{qim}^2 - U_n^2}} = R_{cr}. \quad (8.55)$$

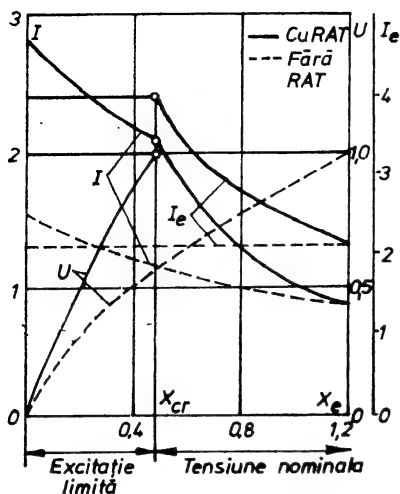


Fig. 8.19. Curbele de variație ale curenților și tensiunilor în funcție de reactanța circuitului exterior, pentru cazurile în care sursa este sau nu este prevăzută cu regulator automat de tensiune.

excitație limită, în regimul cu tensiune nominală. În același punct, există și diferența cea mai mare dintre mărimile corespunzătoare situațiilor în care generatorul are sau nu are regulator automat de tensiune, după care diferența scade, mărimile tinzînd către valori limită.

Pentru mai mare claritate a influenței regulatorului automat de tensiune se sintetizează în tabela 8.1 toate relațiile care caracterizează cele două regimuri de funcționare a generatoarelor, la o valoare cunoscută a argumentului  $\varphi_e$ , iar în figura 8.19 se reproduc curbele de variație ale curentului de excitație  $I_e$ , ale curentului statoric (de scurtcircuit) și ale tensiunii la borne în funcție de reactanța rețelei exterioare avariate. Pentru comparație, în aceeași figură sînt date curbele pentru un turbogenerator tip, fără regulator automat de tensiune.

Din analiza curbelor reiese că la generatoarele prevăzute cu regulator automat de tensiune, curbele prezintă un punct de discontinuitate, care corespunde condiției  $X_{cr} = X_e$ ; în acest punct generatorul trece din regimul cu

Tabela 8.1

### REGIMURI DE FUNCȚIONARE ALE GENERATOARELOR PREVĂZUTE CU RAT

| Mărimi caracteristice regimului de funcționare                     | Regimul de funcționare cu excitația limită                   | Regimul de funcționare cu tensiunea nominală   |
|--|--|--|
| Impedanța exterioară a rețelei avariate, $Z_e$                     | $Z_e \leq Z_{cr}$  | $Z_e \geq Z_{cr}$                              |
| Curentul de excitație al mașinii, $I_e$                            | $I_e = I_{e\lim}$  | $I_e \leq I_{e\lim}$                           |
| Tensiunea remanentă la bornele mașinii în caz de scurtcircuit, $U$ | $U \leq U_n$   | $U = U_n$                                      |
| Curentul debitat de mașină în caz de scurtcircuit permanent, $I$   | $\frac{E_{q\lim}}{\sqrt{R_e^2 + (X_d + X_e)^2}} \geq I_{cr}$ | $\frac{U_n}{\sqrt{R_e^2 + X_e^2}} \leq I_{cr}$ |

## 8.2. SCURTCIRCUITE NESIMETRICE

Scurtcircuitele nesimetrice fac parte din categoria nesimetriilor transversale, întâlnite frecvent în rețelele electrice. Ele se caracterizează prin aceea că fenomenele din fiecare fază se produc în mod diferit, ca urmare a faptului că impedențele pe faze nu mai sînt egale. Ceea ce rămîne neschimbat față de situația normală este sistemul de tensiuni electromotoare produse de generatoarele centralelor electrice, care chiar într-un regim nesimetric al rețelei constituie un sistem simetric, adică cei trei fazori ai tensiunilor electromotoare sînt egali ca modul și defazați cu  $120^\circ$  unul față de celălalt. Acest sistem de tensiuni electromotoare simetrice, aplicat unei rețele cu impedențele inegale pe faze (dezechilibrate), conduce la apariția în rețea a unui sistem nesimetric de curenți, care nu mai sînt egali între ei, iar defazajul diferă de  $120^\circ$ .

### 8.2.1. APLICAREA METODEI COMPONENTELOR SIMETRICE LA STUDIUL SCURTCIRCUITELOR NESIMETRICE

Studierea scurtcircuitelor nesimetrice se face utilizînd *metoda componentelor simetrice*, conform căreia orice sistem de tensiuni sau de curenți nesimetrici — sau, în general, de fazori nesimetrici — se poate descompune în trei sisteme simetrice și anume: un sistem de *succesiune directă* sau de *secvență 1*, un sistem de *succesiune inversă* sau de *secvență 2* și un sistem trifazat *homopolar* sau de *secvență 0*. Acest lucru trebuie înțeles în sensul că un fazor oarecare  $V_{in}$  al sistemului inițial dat, reprezintă permanent suma fazorilor de indice  $n$  ai sistemelor simetrice componente.

Cele trei sisteme simetrice componente sînt reprezentate în figura 8.20 în care succesiunea fazorilor pentru sistemul direct, este inversă acelor unui ceasornic. Dacă succesiunea fazorilor este inversă atunci se obține un sistem invers sau de secvență 2, denumire care se datorește faptului că pentru a se obține fazorii corespunzători sistemului invers dintr-un sistem direct, se parcurg fazorii sistemului direct în sensul pozitiv, trecînd din doi în doi. Sistemul trifazat homopolar este format din trei fazori egali și în fază.

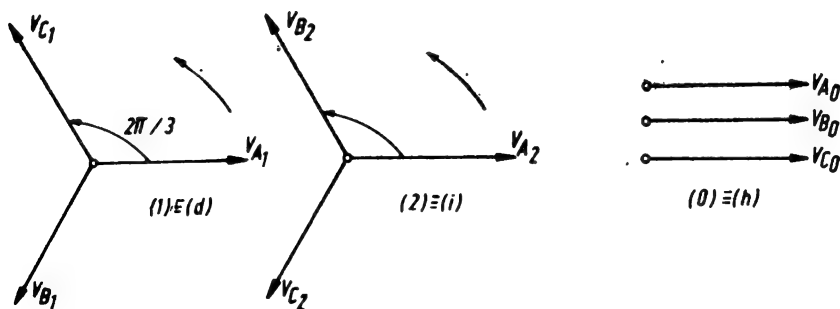


Fig. 8.20. Componentele simetrice ale unui sistem de tensiuni nesimetrice.

Relațiile dintre fazorii sistemelor simetrice se obțin, cu ajutorul operatorului de rotație  $a$ , care rotește în sens trigonometric și a cărei expresie complexă este:

$$a = e^{j\frac{2\pi}{3}} = \cos 120^\circ + j \sin 120^\circ = -\frac{1}{2} + j\frac{\sqrt{3}}{2}.$$

În același mod se pot scrie expresiile:

$$a^2 = -\frac{1}{2} - j\frac{\sqrt{3}}{2}; \quad a^3 = 1; \quad a^4 = a^3 \cdot a = -\frac{1}{2} + j\frac{\sqrt{3}}{2} \dots$$

și suma:

$$1 + a^2 + a = 0$$

Ținând seama de aceste precizări, dacă se consideră în fiecare sistem fazorii de indice  $A$ , ca origine de fază, rezultă:

— pentru sistemul direct:

$$\underline{V}_{A_1} = \underline{V}_{A_1}; \quad \underline{V}_{B_1} = a^2 \underline{V}_{A_1}; \quad \underline{V}_{C_1} = a \underline{V}_{A_1};$$

— pentru sistemul invers:

$$\underline{V}_{A_2} = \underline{V}_{A_2}; \quad \underline{V}_{B_2} = a \underline{V}_{A_2}; \quad \underline{V}_{C_2} = a^2 \underline{V}_{A_2};$$

— pentru sistemul homopolar:

$$\underline{V}_{A_0} = \underline{V}_{B_0} = \underline{V}_{C_0} = \underline{V}_{A_0}.$$

Tensiunea reală a fiecărei faze reprezintă suma fazorilor de indici  $A$ ,  $B$ ,  $C$  ai sistemelor simetrice componente, adică:

$$\begin{aligned} \underline{V}_A &= \underline{V}_{A_0} + \underline{V}_{A_1} + \underline{V}_{A_2}; \quad \underline{V}_B = \underline{V}_{B_0} + \underline{V}_{B_1} + \underline{V}_{B_2} = \underline{V}_{A_0} + a^2 \underline{V}_{A_1} + a \underline{V}_{A_2}; \\ \underline{V}_C &= \underline{V}_{C_0} + \underline{V}_{C_1} + \underline{V}_{C_2} = \underline{V}_{A_0} + a \underline{V}_{A_1} + a^2 \underline{V}_{A_2}. \end{aligned} \quad (8.56)$$

Pentru simplificarea scrierii se vor menține numai indicii de succesiune, renunțând la indicele fazei  $A$  de referință, astfel că ecuațiile (8.56) se vor utiliza, în continuare, sub forma:

$$\begin{aligned} \underline{V}_A &= \underline{V}_0 + \underline{V}_1 + \underline{V}_2; \quad \underline{V}_B = \underline{V}_0 + a^2 \underline{V}_1 + a \underline{V}_2; \\ \underline{V}_C &= \underline{V}_0 + a \underline{V}_1 + a^2 \underline{V}_2. \end{aligned} \quad (8.57)$$

Dacă se cunoaște sistemul de tensiuni nesimetrice  $\underline{V}_A$ ,  $\underline{V}_B$ ,  $\underline{V}_C$ , plecând de la relațiile (8.57) se pot determina componentele simetrice ale tensiunilor respective:

$$\begin{aligned} \underline{V}_0 &= \frac{1}{3} (\underline{V}_A + \underline{V}_B + \underline{V}_C); \quad \underline{V}_1 = \frac{1}{3} (\underline{V}_A + a \underline{V}_B + a^2 \underline{V}_C); \\ \underline{V}_2 &= \frac{1}{3} (\underline{V}_A + a^2 \underline{V}_B + a \underline{V}_C). \end{aligned} \quad (8.58)$$

Ecuatiile (8.57) și (8.58) se exprimă sub formă concentrată prin intermediul unor matrici de conexiuni:

$$\begin{bmatrix} \underline{V}_A \\ \underline{V}_B \\ \underline{V}_C \end{bmatrix} = [S] \cdot \begin{bmatrix} \underline{V}_0 \\ \underline{V}_1 \\ \underline{V}_2 \end{bmatrix} \quad \text{sau} \quad \begin{bmatrix} \underline{V}_0 \\ \underline{V}_1 \\ \underline{V}_2 \end{bmatrix} = [S'] \begin{bmatrix} \underline{V}_A \\ \underline{V}_B \\ \underline{V}_C \end{bmatrix}, \quad (8.59)$$

în care matricile de conexiuni  $[S]$  și  $[S']$  au valorile

$$[S] = \begin{bmatrix} 1 & 1 & 1 \\ 1 & a^2 & a \\ 1 & a & a^2 \end{bmatrix} \quad \text{și} \quad [S'] = \frac{1}{3} \begin{bmatrix} 1 & 1 & 1 \\ 1 & a & a^2 \\ 1 & a^2 & a \end{bmatrix}. \quad (8.60)$$

Utilizarea metodei componentelor simetrice simplifică în mare măsură analiza proceselor nesimetrice, deoarece în acest caz, componentele simetrice ale curenților sînt legate cu ajutorul legii lui Ohm numai de componentele de tensiune de aceeași succesiune. Cu alte cuvinte, dacă un element oarecare al unui circuit este simetric și prezintă în raport cu curenții de secvență directă  $I_1$ , inversă  $I_2$  și homopolară  $I_0$  impedanțele proprii  $Z_1$ ,  $Z_2$  și  $Z_0$ , atunci componentele simetrice ale căderilor de tensiune pe aceste elemente sînt:

$$\Delta \underline{V}_1 = Z_1 I_1; \quad \Delta \underline{V}_2 = Z_2 I_2; \quad \Delta \underline{V}_0 = Z_0 I_0, \quad (8.61)$$

în care impedanțele  $Z_1$ ,  $Z_2$ ,  $Z_0$  vor fi denumite prescurtat impedanțe de succesiune directă, inversă și homopolară, ale căror valori, pentru unul și același element, pot să nu fie egale.

Trebuie menționat de asemenea că în schemele echivalente se introduc numai tensiunile electromotoare de succesiune directă, care sînt cunoscute și nu depind de variația condițiilor exterioare surselor generatoare (tensiunile electromotoare supratranzitorii). Avînd în vedere cele arătate mai înainte, rezultă că pentru orice scurtcircuit nesimetric ecuațiile de bază ale teoremei a doua a lui Kirchhoff, scrise separat pentru fiecare succesiune, vor avea următoarea formă generală:

$$\begin{aligned} \underline{V}_1 &= \underline{E} - Z_1 I_1; \\ \underline{V}_2 &= 0 - Z_2 I_2; \\ \underline{V}_0 &= 0 - Z_0 I_0, \end{aligned} \quad (8.62)$$

în care:  $\underline{V}_1$ ,  $\underline{V}_2$ ,  $\underline{V}_0$ ,  $I_1$ ,  $I_2$ ,  $I_0$  reprezintă componentele simetrice ale tensiunilor pe fază și ale curenților la locul de scurtcircuit;

|                 |   |   |
|-----------------|---|---|
| $\underline{E}$ | — | tensiunea electromotoare rezultantă a surselor generatoare în raport cu locul de scurtcircuit;            |
| $Z_1, Z_2, Z_0$ | — | impedanțele echivalente ale schemelor de succesiune [corespunzătoare în raport cu locul de scurtcircuit]. |



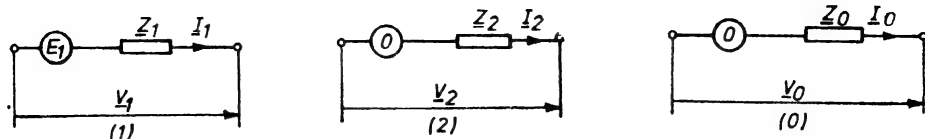


Fig. 8.21. Schemele echivalente ale sistemelor direct 1, invers 2 și homopolar 0.

Ecuatiile (8.62) se utilizează pentru fiecare tip de scurtcircuit nesimetric și corespund schemelor echivalente date în figura 8.21, în care reacția curenților de diferite succesiuni este considerată sub forma unor căderi de tensiune, luate cu semn schimbat, în impedanțele corespunzătoare. Ele conțin șase necunoscute și anume trei componente de curent și trei componente de tensiune. Pentru determinarea lor, mai sînt deci necesare încă trei ecuații, care se obțin ușor din condițiile la limită scrise pentru fiecare tip de scurtcircuit nesimetric. Necunoscutele problemelor vor fi notate la exponent cu cîte o cifră, după cum urmează:

(1) — pentru scurtcircuitul monofazat, (2) — pentru bifazat și (1.1.) — pentru bifazat cu punere la pămînt.

## 8.2.2. SCURT CIRCUITUL MONOFAZAT

Scurtcircuitul monofazat apare în rețelele al căror neutru este legat direct la pămînt, fiind determinat de legătura accidentală cu o rezistență foarte mică, între o fază și pămînt. Pentru simplificare se va considera că legătura la pămînt are o rezistență practic egală cu zero, așa cum se arată în figura 8.22, a.

Pentru determinarea curentului de scurtcircuit monofazat și a tensiunilor pe fazele sănătoase, se vor scrie condițiile la limită în locul de scurtcircuit, care sînt:

$$\underline{I}_B^{(1)} = \underline{I}_C^{(1)} = 0 \text{ și } \underline{V}_A^{(1)} = 0. \quad (8.63)$$

Ținînd seama și de relațiile generale (8.62), valabile pentru orice tip de defect, se obține un sistem de șase ecuații, care permit determinarea tuturor componentelor simetrice. Astfel, din primele două egalități (8.63) rezultă imediat legătura dintre componentele simetrice ale curenților:

$$I_0 = I_1 = I_2. \quad (8.64)$$

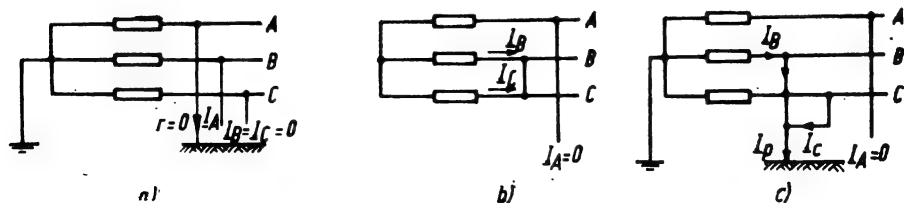


Fig. 8.22. Schemele inițiale de principiu ale scurtcircuitelor nesimetrice:

a — monofazat; b — bifazat; c — bifazat cu punere la pămînt.

Pentru faza legată la pământ, în conformitate cu ultima condiție din (8.63), se poate scrie:

$$\underline{V}_0 + \underline{V}_1 + \underline{V}_2 = \underline{E} - (\underline{Z}_1 + \underline{Z}_2 + \underline{Z}_0)I_1 = 0, \quad (8.65)$$

în care s-a ținut seama de ecuațiile generale (8.62) și (8.64).

Din această ultimă relație rezultă:

$$I_1 = I_2 = I_0 = \frac{\underline{E}}{\underline{Z}_1 + \underline{Z}_2 + \underline{Z}_0} \quad (8.66)$$

și

$$I_A^{(1)} = \frac{3\underline{E}}{\underline{Z}_1 + \underline{Z}_2 + \underline{Z}_0}. \quad (8.67)$$

Componentele simetrice de tensiune la locul de scurtcircuit (8.62), exprimate în funcție de componenta directă de curent sînt:

$$\begin{aligned} \underline{V}_1 &= \underline{E} - \underline{Z}_1 I_1 = I_1 (\underline{Z}_2 + \underline{Z}_0); \\ \underline{V}_2 &= -\underline{Z}_2 I_2; \quad \underline{V}_0 = -\underline{Z}_0 I_1, \end{aligned} \quad (8.68)$$

care permit determinarea tensiunilor pe fazele sănătoase:

$$\begin{aligned} \underline{V}_B^{(1)} &= \underline{V}_0 + a^2 \underline{V}_1 + a \underline{V}_2 = I_1 [(a^2 - a)\underline{Z}_2 + (a^2 - 1)\underline{Z}_0]; \\ \underline{V}_C^{(1)} &= \underline{V}_0 + a \underline{V}_1 + a^2 \underline{V}_2 = I_1 [(a - a^2)\underline{Z}_2 + (a - 1)\underline{Z}_0]. \end{aligned} \quad (8.69)$$

Cele două ecuații obținute pot fi reprezentate grafic fără dificultate, obținându-se atît modulul (valoarea efectivă) tensiunilor pe fazele sănătoase, cît și defazajul dintre ele. Totuși, avînd în vedere că dintre cele două componente, reală și imaginară, ale impedanțelor complexe  $\underline{Z}_1$ ,  $\underline{Z}_2$  și  $\underline{Z}_0$  componentele imaginare, respectiv reactanțele, au ponderea cea mai mare ca valoare \*, se aplică calculul analitic și se obține:

$$\begin{aligned} \underline{V}_B^{(1)} &= \underline{V}_C^{(1)} = I_1 \sqrt{3} \sqrt{X_0^2 + X_2^2 + X_0 X_2}; \\ \text{tg } \varphi_B &= -\text{tg } \varphi_C = \frac{2X_2 + X_0}{\sqrt{3} X_0}. \end{aligned} \quad (8.70)$$

Se observă că atît valoarea efectivă a tensiunilor, cît și defazajul dintre acestea, depind de raportul dintre reactanța de secvență inversă și cea de secvență homopolară.

Dacă  $X_0 \rightarrow \infty$ , ceea ce corespunde unei puneri simple la pământ într-o rețea electrică cu neutru izolat, atunci:

$$\begin{aligned} \underline{V}_B^{(1)} &= \underline{V}_C^{(1)} = \sqrt{3} \underline{E}; \\ \text{tg } \varphi_B &= -\text{tg } \varphi_C = \frac{1}{\sqrt{3}} \text{ și } \theta_u = \varphi_B - \varphi_C = 60^\circ, \end{aligned}$$

adică fazele sănătoase se supratensionează cu  $\sqrt{3}$ , iar unghiul de defazaj dintre acestea este  $60^\circ$ .

---

\* Eroarea care se introduce este neglijabilă și în același timp acoperitoare, deoarece reactanțele fiind mai mici în modul decît impedanțele, curenții de scurtcircuit care se obțin vor fi ceva mai mari decît cei reali.

Dacă  $X_0 = X_2$ :

$$\underline{V}_B^{(1)} = \underline{V}_C^{(1)} = \underline{E}^* ;$$

$$\operatorname{tg} \varphi_B = -\operatorname{tg} \varphi_C = \sqrt{3}$$

și

$$\theta_u = \varphi_B - \varphi_C = 120^\circ,$$

adică tensiunile fazelor rămân neschimbate atît ca modul cît și ca defazaj.

Dacă  $X_0 \Rightarrow 0$ , ceea ce corespunde numai unei situații teoretice, atunci considerînd  $X_1 = X_2$ , se constată:

$$\underline{V}_B^{(1)} = \underline{V}_C^{(1)} = \frac{\sqrt{3}}{2} \underline{E} ;$$

$$\operatorname{tg} \varphi_B = -\operatorname{tg} \varphi_C = \infty \text{ și } \theta_u = \varphi_B - \varphi_C = 180^\circ,$$

adică tensiunile fazelor sănătoase sînt în opoziție și egale fiecare cu  $0,865 E$ .

Determinarea curentului de scurtcircuit monofazat se face în scopul alegerii și reglării protecției homopolare a rețelelor, al dimensionării instalației de legare la pămînt din instalațiile electrice sau pentru studiul influenței liniilor de energie asupra liniilor de telecomunicație din apropiere. În anumite cazuri, curentul de scurtcircuit monofazat este utilizat și pentru dimensionarea instalațiilor electrice, în funcție de modul de tratare al neutrului rețelelor.

### 8.2.3. SCURTCIRCUITUL BIFAZAT

Acest tip de defect este determinat de legătura accidentală dintre două faze, ca în figura 8.22, *b*, fără atingere cu pămîntul, cu o rezistență foarte mică, care pentru simplificare va fi considerată zero. Mărimile necunoscute ale problemei sînt curenții din fazele avariate și tensiunea fazei sănătoase, care vor fi determinate în funcție de componentele simetrice. În acest scop, se scriu condițiile la limită ale problemei, care se adaugă ecuațiilor generale (8.62):

$$I_A^{(2)} = 0 ; I_B^{(2)} = -I_C^{(2)} \text{ și } \underline{V}_B^{(2)} - \underline{V}_C^{(2)} = 0. \quad (8.71)$$

Deoarece sistemul curenților este echilibrat,  $I_0 = 0$ . În consecință, prima condiție la limită permite să se determine:

$$I_1 = -I_2. \quad (8.72)$$

De asemenea, folosind ultima condiție la limită și relațiile generale (8.62) se obține:

$$\underline{V}_1 = \underline{V}_2 \text{ sau } \underline{E} - \underline{Z}_1 I_1 = -\underline{Z}_2 I_2 = \underline{Z}_2 I_1, \quad (8.73)$$

---

\* S-a considerat că și  $X_1 = X_2$

din care se determină intensitatea curentului de secvență directă sau inversă:

$$I_1 = \frac{\underline{E}}{\underline{Z}_1 + \underline{Z}_2} . \quad (8.74)$$

Această ultimă relație permite să se obțină toate celelalte componente simetrice, precum și curenții de scurtcircuit și tensiunea fazei sănătoase, după cum urmează:

$$\begin{aligned} \underline{V}_1 &= \underline{Z}_2 I_1 = -\underline{Z}_2 I_2 = \underline{V}_2; \\ \underline{V}_A^{(2)} &= \underline{V}_1 + \underline{V}_2 = 2\underline{V}_1 = 2\underline{Z}_2 I_1; \\ \underline{V}_B^{(2)} = \underline{V}_C^{(2)} &= (a^2 + a)\underline{V}_1 = -\underline{V}_1 = -\frac{\underline{V}_A^{(2)}}{2} = -\underline{Z}_2 I_1; \end{aligned} \quad (8.75)$$

$$\underline{I}_B^{(2)} = (a^2 - a)I_1 = -j\sqrt{3} I_1 = -j\sqrt{3} \frac{\underline{E}}{\underline{Z}_1 + \underline{Z}_2};$$

$$\underline{I}_C^{(2)} = (a - a^2)I_1 = j\sqrt{3} I_1 = j\sqrt{3} \frac{\underline{E}}{\underline{Z}_1 + \underline{Z}_2} .$$

Determinarea curentului de scurtcircuit bifazat se face în scopul reglării protecției prin relee și în unele cazuri, pentru verificarea stabilității dinamice a sistemului energetic.

#### 8.2.4. SCURTCIRCUITUL BIFAZAT CU PUNERE LA PĂMÎNT

Dacă legătura dintre fazele  $B$  și  $C$  studiată la paragraful 8.2.3 este pusă și la pământ, ca în figura 8.22,  $c$ , atunci rețeaua este afectată de un scurtcircuit bifazat cu punere la pământ.

Condițiile la limită în locul de defect, pentru acest caz, care se adaugă ecuațiilor generale (8.62) sînt:

$$\underline{I}_A^{(1,1)} = 0; \quad \underline{V}_B^{(1,1)} = \underline{V}_C^{(1,1)} = 0. \quad (8.76)$$

Folosind ultimele două condiții (8.76) se obține că:

$$\underline{V}_0 = \underline{V}_1 = \underline{V}_2. \quad (8.77)$$

Pe de altă parte, scriind prima condiție din (8.76) prin componente simetrice, exprimate conform ecuațiilor generale (8.62) și ținînd seama și de relația (8.77), rezultă:

$$\frac{\underline{E}}{\underline{Z}_1} - \underline{V}_1 \left[ \frac{1}{\underline{Z}_1} + \frac{1}{\underline{Z}_2} + \frac{1}{\underline{Z}_0} \right] = 0,$$

din care reiese:

$$\underline{V}_1 = \underline{E} \frac{\underline{Z}_2 \cdot \underline{Z}_0}{\underline{Z}_1 (\underline{Z}_2 + \underline{Z}_0) + \underline{Z}_2 \underline{Z}_0} = \underline{E} \frac{\frac{\underline{Z}_2 \underline{Z}_0}{\underline{Z}_2 + \underline{Z}_0}}{\underline{Z}_1 + \frac{\underline{Z}_2 \cdot \underline{Z}_0}{\underline{Z}_2 + \underline{Z}_0}} = \underline{E} \frac{\underline{Z}_2 \parallel \underline{Z}_0}{\underline{Z}_1 + \underline{Z}_2 \parallel \underline{Z}_0}. \quad (8.78)$$

Componenta de secvență directă a curentului se obține cu ajutorul primei ecuații generale din (8.62):

$$I_1 = \frac{\underline{E} - \underline{E} \frac{\underline{Z}_2 \parallel \underline{Z}_0}{\underline{Z}_1 + \underline{Z}_2 \parallel \underline{Z}_0}}{\underline{Z}_1} = \frac{\underline{E}}{\underline{Z}_1 + \underline{Z}_2 \parallel \underline{Z}_0}. \quad (8.79)$$

Folosind această ultimă relație și celelalte două ecuații generale din (8.62) se poate scrie că:

$$\underline{V}_1 = (\underline{Z}_2 \parallel \underline{Z}_0) I_1; I_2 = - \frac{\underline{Z}_0}{\underline{Z}_2 + \underline{Z}_0} I_1; I_0 = - \frac{\underline{Z}_2}{\underline{Z}_2 + \underline{Z}_0} I_1. \quad (8.80)$$

Curenții de scurtcircuit din fazele avariate și tensiunea fazei sănătoase, în locul de defect, au valorile:

$$I_B^{(1,1)} = \left[ a^2 - \frac{a\underline{Z}_0 + \underline{Z}_2}{\underline{Z}_0 + \underline{Z}_2} \right] I_1; I_C^{(1,1)} = \left[ a - \frac{a^2\underline{Z}_0 + \underline{Z}_2}{\underline{Z}_0 + \underline{Z}_2} \right] I_1; \\ \underline{V}_A = 3\underline{V}_1 = 3(\underline{Z}_2 \parallel \underline{Z}_0) I_1. \quad (8.81)$$

Relațiile obținute pot fi reprezentate grafic fără dificultate în funcție de componenta de curent  $I_1$ , obținându-se atât modulul, cât și defazajul curenților. Este mai comod însă aplicarea calculului analitic, neglijând rezistențele și identificând impedențele prin reactanțele echivalente inductive raportate la locul de scurtcircuit.

Deoarece cele două expresii ale curenților din (8.81) au modulele egale, se poate scrie că:

$$I_B^{(1,1)} = \left| a^2 - \frac{aX_0 + X_2}{X_0 + X_2} \right| I_1 = I_C^{(1,1)} = \\ = \left| a - \frac{a^2X_0 + X_2}{X_0 + X_2} \right| I_1 = \sqrt{3} \sqrt{1 - \frac{X_0X_2}{(X_0 + X_2)^2}} I_1$$

și

$$\operatorname{tg} \varphi_B = - \operatorname{tg} \varphi_C = \frac{2 X_0 + X_2}{\sqrt{3} X_2}.$$

Din aceste ultime relații se constată că atât valorile efective ale curenților de scurtcircuit, cât și defazajul dintre aceștia, depind de raportul  $\frac{X_2}{X_0}$ . Procedînd analog cazului studiat la paragraful 8.2.2, se poate scrie sub formă generală, că:

$$I_B^{(1,1)} = I_C^{(1,1)} = m^{(1,1)} I_1, \quad (8.82)$$

în care:

$$1,5 \leq m^{(1,1)} = \sqrt{3 \left( 1 - \frac{X_0X_2}{(X_0 + X_2)^2} \right)} \leq \sqrt{3},$$

iar defazajul:

$$60^\circ \leq \theta_u = \varphi_B - \varphi_C \leq 180^\circ,$$

după cum  $\frac{X_2}{X_0} \Rightarrow \infty$  sau  $\frac{X_2}{X_0} \Rightarrow 0$ .

Determinarea curenților de scurtcircuit bifazat cu punere la pământ se face pentru alegerea și reglarea protecției prin relee, verificarea prizelor de pământ în directă legătură și cu intensitatea curentului de scurtcircuit monofazat, verificarea influenței liniilor de energie asupra liniilor de telecomunicații, precum și verificarea stabilității dinamice a sistemelor electrice. Este de menționat, că în unele situații, când curenții de scurtcircuit bifazat cu punere la pământ în anumite puncte de defect depășesc curenții de scurtcircuit trifazat, ei servesc și pentru alegerea și verificările necesare aparatelor de comutație.

*Observații.* Rezultatele obținute la paragrafele 8.2.2, 8.2.3 și 8.2.4 sînt sintetizate în tabela 8.2 și permit să se tragă anumite concluzii importante privind calculul curenților de scurtcircuit nesimetrice.

Tabela 8.2

**Componentele simetrice de curent și de tensiune la locul scurtcircuitelor nesimetrice**

| Componente simetrice               | Notații           | Tipurile scurtcircuitelor nesimetrice                                       |   |   |
|------------------------------------|-------------------|---|---|---|
|                                    |                   | Monofazate<br>(fig. 8.22, a)  | Bifazate<br>(fig. 8.22, b)                                | Bifazate cu punere<br>la pământ<br>(fig. 8.22, c)                                   |
| Curentul de succesiune directă     | $\underline{I}_1$ | $\frac{\underline{E}}{\underline{Z}_1 + \underline{Z}_2 + \underline{Z}_0}$ | $\frac{\underline{E}}{\underline{Z}_1 + \underline{Z}_2}$ | $\frac{\underline{E}}{\underline{Z}_1 + \underline{Z}_2 \parallel \underline{Z}_0}$ |
| Curentul de succesiune inversă     | $\underline{I}_2$ | $\underline{I}_1$   | $-\underline{I}_1$  | $-\frac{\underline{Z}_0}{\underline{Z}_0 + \underline{Z}_2} \underline{I}_1$        |
| Curentul de succesiune homopolară  | $\underline{I}_0$ | $\underline{I}_1$   | 0   | $-\frac{\underline{Z}_2}{\underline{Z}_0 + \underline{Z}_2} \underline{I}_1$        |
| Tensiunea de succesiune directă    | $\underline{V}_1$ | $(\underline{Z}_2 + \underline{Z}_0) \underline{I}_1$                       | $\underline{Z}_2 \underline{I}_1$                         | $(\underline{Z}_2 \parallel \underline{Z}_0) \underline{I}_1$                       |
| Tensiunea de succesiune inversă    | $\underline{V}_2$ | $-\underline{Z}_2 \underline{I}_1$  | $\underline{Z}_2 \underline{I}_1$                         | $(\underline{Z}_2 \parallel \underline{Z}_0) \underline{I}_1$                       |
| Tensiunea de succesiune homopolară | $\underline{V}_0$ | $-\underline{Z}_0 \underline{I}_1$  | Valoarea anterioară introducerii defectului               | $(\underline{Z}_0 \parallel \underline{Z}_2) \underline{I}_1$                       |

a. Curentul de secvență directă, în funcție de care se pot exprima toate celelalte componente simetrice de curent și de tensiune, se poate pune sub forma generală:

$$I_1^{(n)} = \frac{E}{Z_1 + Z_e^{(n)}}, \quad (8.83)$$

în care  $Z_e^{(n)}$  reprezintă o impedanță suplimentară conectată în serie cu impedanța  $Z_1$ , a cărei valoare, pentru fiecare tip de scurtcircuit ( $n$ ), este dată în tabela 8.3.

Valorile impedanței echivalente  $Z_e^{(n)}$  și ale coeficientului  $m^{(n)}$ .

Tabela 8.3

| Tipul de scurtcircuit                        | Indicele<br>( $n$ ) | Impedanța echivalentă<br>suplimentară $Z_e^{(n)}$ | Coeficientul de amplificare<br>a curentului de secvență<br>directă $m^{(n)}$ |
|--|---------------------|---|--|
| monofazat                                    | (1)                 | $Z_0 + Z_2$                                       | 3  |
| bifazat                                      | (2)                 | $Z_2$   | $\sqrt{3}$   |
| bifazat cu punere la pământ                  | (1.1)               | $Z_0 \parallel Z_2$                               | $\left  a^2 - \frac{aZ_0 + Z_2}{Z_2 + Z_0} \right $                          |
| Idem, cu rezistența rețelei<br>egală cu zero | (1.1)               | $X_0 \parallel X_2$                               | $\sqrt{3 \left( 1 - \frac{X_2 X_0}{(X_0 + X_2)} \right)}$                    |
| trifazat                                     | (3)                 | 0   | 1  |

Relația (8.83) permite să se formuleze următoarea regulă generală \*:

*Curentul de succesiune directă pentru oricare tip de scurtcircuit nesimetric poate fi determinat ca un curent la un scurtcircuit trifazat într-un punct îndepărtat electric față de punctul de scurtcircuit, printr-o impedanță suplimentară echivalentă  $Z_e^{(n)}$ , care nu depinde de parametrii schemei echivalente pentru succesiunea directă și care se determină pentru fiecare tip de scurtcircuit cu ajutorul impedanțelor echivalente de succesiune inversă și homopolară în raport cu punctul considerat în schemă.*

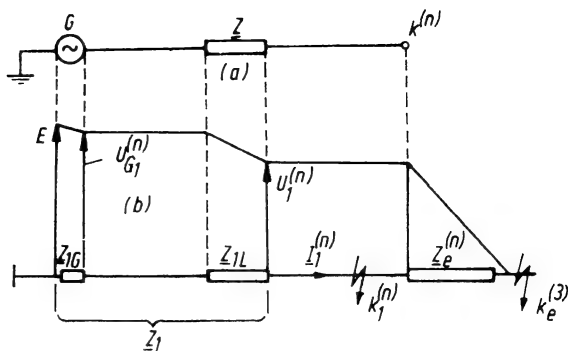
Această regulă, care poartă numele de *regula de succesiune directă* este valabilă numai pentru fundamentala curentului de scurtcircuit nesimetric.

b. Tensiunea de secvență directă la locul de scurtcircuit se poate exprima prin produsul dintre impedanța  $Z_e^{(n)}$  și curentul  $I_1^{(n)}$ , adică:

$$V_1^{(n)} = Z_e^{(n)} I_1^{(n)}. \quad (8.84)$$

\* Regula aceasta a fost enunțată de N. N. Scedrin „Probleme privind calculul curenților de scurtcircuit“ (Gosenergoizdat — 1955).

Fig. 8.23. Variația tensiunii de secvență directă în cazul:  
*a* — scurtcircuitului nesimetric; *b* — scurtcircuitului trifazat echivalent.



În figura 8.23 este dată semnificația fizică a scurtcircuitului trifazat echivalent, pentru care pot fi determinați curentul și tensiunea de succesiune directă la locul de scurtcircuit. Din figură, în care se trasează variația tensiunii de la generator pînă la locul de scurtcircuit trifazat echivalent, se pot deduce relațiile (8.83) și (8.84).

Identitatea dintre curentul de succesiune directă la un scurtcircuit nesimetric și cel de scurtcircuit trifazat echivalent, arată că toate expresiile obținute anterior pentru curentul de scurtcircuit trifazat și metodele de calcul ale acestuia, pot fi extinse pentru cazurile de scurtcircuit nesimetric.

c. Curenții de scurtcircuit pe fază la locul de defect sînt de asemenea proporționali cu curentul de secvență directă. Modulul lor la locul unde s-a produs defectul nesimetric poate fi scris sub forma generală:

$$I_k^{(n)} = m^{(n)} I_1^{(n)}, \quad (8.85)$$

unde  $m^{(n)}$  este un coeficient ale cărui valori, în funcție de tipul de scurtcircuit nesimetric, sînt indicate în tabela 8.2.

d. Dacă se compară valorile impedanțelor suplimentare echivalente din tabela 8.2, rezultă că:

$$Z_e^{(1)} > Z_e^{(2)} > Z_e^{(1,1)} > Z_e^{(3)} = 0. \quad (8.86)$$

În consecință, conform regulii schemei echivalente de succesiune directă, intensitățile curenților de succesiune directă și tensiunile de succesiune directă la locul de scurtcircuit, pentru diferite tipuri de scurtcircuite nesimetrice, se află în următoarele raporturi:

$$I^{(1)} < I^{(2)} < I^{(1,1)} < I^{(3)} \quad (8.87)$$

și

$$V_1^{(1)} > V_1^{(2)} > V_1^{(1,1)} > V_1^{(3)} = 0.$$

Pe baza relațiilor (8.83) și (8.85) se poate stabili și variația curenților de scurtcircuit nesimetric în comparație cu cea a curenților de scurtcircuit trifazat în același punct al sistemului.

e. Relațiile dintre componentele simetrice ale tensiunilor sau curenților la locul de scurtcircuit, permit ca schemele echivalente de diferite succesiuni, directă, inversă și homopolară, să fie conectate între ele și să alcătuiască în felul acesta, o schemă echivalentă pentru fiecare tip de defect



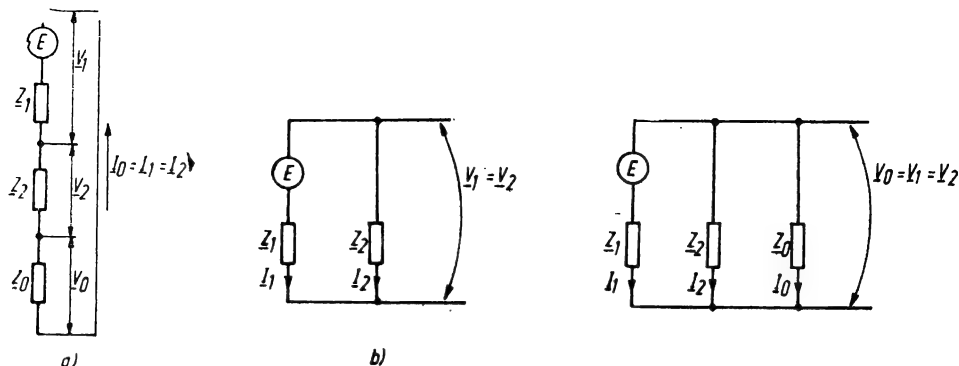


Fig. 8.24. Conectarea schemelor de succesiune directă, inversă și homopolară în cazul scurtcircuitelor nesimetrice.

a – scurtcircuit monofazat; b – scurtcircuit bifazat; c – scurtcircuit bifazat cu punere la pământ.

nesimetric. Aceste scheme date în figura 8.24 corespund fazei speciale de referință și respectă atât relațiile dintre componentele simetrice de tensiune, cât și cele dintre componentele simetrice de curent date în tabela 8.2. De exemplu, pentru scurtcircuitul monofazat se respectă relația  $I_0 = I_1 = I_2$ , pentru scurtcircuitul bifazat  $V_1 = V_2$ ; ( $I_1 = -I_2$ ), iar pentru cel bifazat cu punere la pământ  $V_1 = V_2 = V_0$  (și relațiile corespunzătoare pentru curenți).

#### 8.2.5. PUNEREA SIMPLĂ LA PĂMÎNT

Acest tip de defect este determinat de o legătură la pământ a unei faze într-o rețea cu neutrul izolat. Pentru simplificare se va considera că legătura la pământ este realizată printr-o rezistență practic egală cu zero (punere la pământ metalică).

Fie linia electrică conectată la o sursă de curent alternativ, în care, la capătul de intrare al uneia din faze, are loc o punere la pământ ca în figura 8.25, a. Capacitățile uniforme distribuite ale liniei față de pământ se presupun concentrate \* și se conectează la capătul de ieșire al acesteia.

La apariția defectului, deoarece neutrul rețelei este izolat, calea de închidere a curentului se realizează prin capacitățile fazelor sănătoase și pământ, așa cum se indică prin săgeți în figura 8.25, a. Capacitatea fazei pusă la pământ este scurtcircuitată, iar curenții în stînga și în dreapta locului de defect sînt reprezentați în diagrama fazorială respectivă. În dreapta, curentul de defect este nul, iar în stînga curentul de defect este dat de suma celor doi curenți limitați de capacitatea fazelor sănătoase și defazați între ei cu  $60^\circ$ , luată cu semn schimbat. Diagrama tensiunilor în locul de defect, este arătată în figura 8.25, b, din care se observă că fazele sănătoase se supratensionează, în regim permanent de funcționare, cu  $\sqrt{3}$ .

\* Pentru simplificare se neglijează capacitățile dintre faze, a căror influență asupra curentului de punere la pământ este foarte redusă.

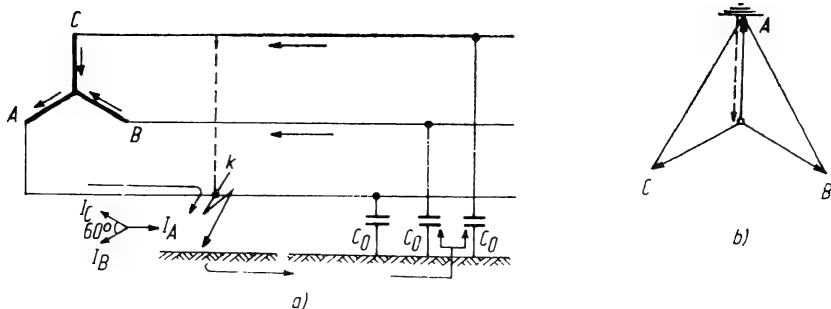


Fig. 8.25. Punerea simplă la pământ:

a — schema inițială a rețelei și diagramele curenților; b — diagrama tensiunilor în locul de defect.

Condițiile la limită pentru punerea simplă la pământ sînt aceleași ca și la un scurtcircuit monofazat. În consecință, toate expresiile obținute la paragraful 8.2.2 rămîn valabile și în cazul punerii la pământ. Se menționează însă, că în acest ultim caz, trebuie să se țină seama mai ales de reactanțele capacitive ale elementelor sistemului electric, a căror valoare este incomparabil mai mare decît cea a impedanțelor acestora. Acest fapt permite ca la determinarea curentului de punere la pământ să se neglijeze impedanțele și să se considere că valoarea curentului nu depinde practic de locul de punere la pământ în rețeaua electrică dată. Intensitatea curentului de defect fiind redusă, se poate aproxima că tensiunea sursei se menține constantă, adică se neglijază căderea de tensiune. În aceste condiții, aplicînd relațiile (8.66) și (8.67) rezultă:

$$I_p = 3 \frac{V_{med}}{-jX_{C0}} = 3j \frac{V_{med}}{X_{C0}}, \quad (8.88)$$

în care:  $V_{med}$  reprezintă tensiunea medie pe fază a treptei în care are loc defectul;

$X_{C0}$  — reactanța capacitivă echivalentă de succesiune homopolară a tuturor elementelor legate galvanic cu punctul de punere la pământ.

În același mod se pot determina și componentele simetrice de tensiuni, aplicînd relațiile (8.68), precum și tensiunile fazelor sănătoase. Se obține:

$$\underline{V}_1 = \underline{V}_{med}; \underline{V}_2 = 0; \underline{V}_0 = -\underline{V}_{med}$$

și

$$\underline{V}_B = \underline{V}_0 + a^2 \underline{V}_1 = (a^2 - 1) \underline{V}_{med}; \underline{V}_C = \underline{V}_0 + a \underline{V}_1 = (a - 1) \underline{V}_{med}. \quad (8.89)$$

Se constată ușor că valorile efective ale tensiunilor fazelor sănătoase sînt egale între ele și egale cu tensiunea compusă, iar defazajul dintre ele este de  $60^\circ$ , fapt ilustrat în figura 8.25, b.

Conform relației (8.88) intensitatea maximă a curentului de punere la pământ nu depășește de trei ori curentul capacitiv la pământ al unei faze în condițiile normale de funcționare.

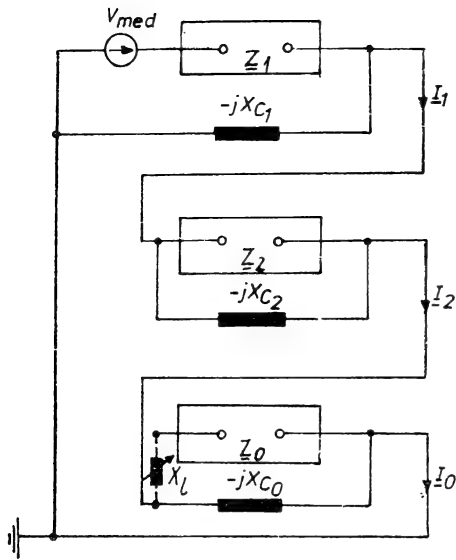


Fig. 8.26. Schema echivalentă a rețelei în cazul unei puneri simple la pământ.

În mod analog schemei complexe a unui scurtcircuit monofazat, reprezentată în figura 8.24, *a*, se poate alcătui și în acest caz o schemă echivalentă complexă. Întocmirea ei impune ca în schema de succesiune homopolară să se izoleze toate punctele neutre și în schemele fiecărei succesiuni să se introducă reactanțele capacitive corespunzătoare. În figura 8.26 se arată această schemă, luînd ca bază schema echivalentă din figura 8.24, *a* și schema inițială din figura 8.25.

Din această schemă rezultă că pentru limitarea curentului de punere la pământ este indicată legarea la pământ a neutrului rețelei printr-o bobină de reactanță, așa cum s-a indicat prin linie întreruptă. Pentru anularea curentului, inductanța bobinei trebuie să fie aleasă astfel încît să se asigure rezonanța circuitului de succesiune homopolară. Dacă impedanțele de diferite succesiuni se identifică cu reactanțele, atunci condiția de rezonanță este dată de relația:

$$(3X_L + X_0) = \frac{1}{C_0\omega} \text{ sau } (3X_L + X_0)C_0\omega = 1. \quad (8.90)$$

În general însă  $X_0 \ll X_L$  astfel încît relația (8.90) se poate pune sub forma aproximativă:

$$X_L \approx \frac{X_{C0}}{3} \text{ sau } 3 X_L C_0 \omega \approx 1. \quad (8.91)$$

Aceste bobine se numesc *bobine de stingere a arcului electric* și rolul lor va fi descris amănunțit în subcapitolul 8.4.

### 8.3. CALCULUL CURENȚILOR DE SCURTCIRCUIT

Într-o rețea electrică, predeterminarea curenților de scurtcircuit este necesară în scopul verificării aparatelor de comutație și de măsură din instalațiile de distribuție, alese pe baza tensiunilor și a curenților nominali, la anumite eforturi mecanice și termice. De asemenea, trebuie verificate acești curenți și secțiunile barelor colectoare, a conductoarelor etc.

În cazul unei rețele alimentată de la o singură sursă generatoare, calculul curenților de scurtcircuit, se poate face cu exactitate cu ajutorul relațiilor obținute în subcapitolul 8.1. Pentru o rețea cu mai multe surse generatoare însă, un asemenea calcul se complică foarte mult, deoarece ar trebui să se țină seama și de interdependența dintre variațiile curenților liberi din generatoare sau dintre creșterile curenților de excitație, ca urmare a forțării excitației, când mașinile sînt echipate cu reglatoare automate de tensiune. În același timp, orice scurtcircuit produce pendulații ale rotoarelor mașinilor în paralel, fapt care conduce de asemenea, la variații ale curenților de scurtcircuit. În același mod se poate pune problema și la determinarea curenților de scurtcircuit nesimetrice.

Dificultățile calculului cresc și datorită nesimetriei mașinilor după cele două axe magnetice ale rotoarelor.

Considerarea tuturor acestor factori, în perioada tranzitorie a scurtcircuitului, conduce la calcule foarte laborioase, rezultate din rezolvarea unor ecuații de grad superior, grad care poate crește cu numărul mașinilor generatoare. Folosirea practică a unei astfel de metode exacte de calcul este însă foarte limitată și ea ar putea fi considerată, cel mult, ca etalon în aprecierea rezultatelor obținute prin alte metode aproximative.

În cele ce urmează, în calculul curenților de scurtcircuit se va face abstracție de fenomenul tranzitoriu care urmează apariției defectului și care pune în joc frecvențe proprii ale rețelei. De asemenea, se va face abstracție și de componenta aperiodică a curențului, a cărei intensitate depinde de momentul la care are loc scurtcircuitul. De valoarea acesteia se ține seama numai în aprecierea curențului de șoc la scurtcircuit. Determinările vor fi deci limitate numai la componenta alternativă de frecvență fundamentală a curențului de scurtcircuit și la variația acesteia în timp. Pentru calcule se fac următoarele precizări.

a. Legea de variație a componentei aperiodice a curențului de scurtcircuit trifazat stabilită în cazul unui generator va fi utilizată și pentru aprecierea aproximativă a acestei componente într-un sistem cu mai multe surse generatoare.

b. Generatoarele electrice se vor considera simetrice din punct de vedere magnetic, adică parametrii acestora sînt aceiași, indiferent de poziția rotoarelor. O astfel de ipoteză permite să se utilizeze pentru calcule o tensiune electromotoare unică și o reactanță unică. În același timp, se elimină de la început orice influență a armonicilor de curenț de ordinul al doilea, provocată de componenta aperiodică a curențului de scurtcircuit în cazul mașinilor cu rotoare nesimetrice.

c. Sursele generatoare se consideră ca fiind nesaturate din punct de vedere magnetic, fapt care permite liniarizarea schemelor echivalente și

folosirea teoremei suprapunerii în aprecierea curenților de scurtcircuit, determină de mai multe sisteme sau surse generatoare de tipuri diferite.

d. La întocmirea schemelor echivalente se face abstracție de constantele transversale ale elementelor componente ale rețelei — transformatoare, linii — considerându-se că curenții care se derivă prin aceste admitanțe influențează puțin asupra valorilor curenților de scurtcircuit.

e. Rezistențele active ale elementelor rețelei se pot neglija dacă valoarea totală a acestora este mai mică decât o treime din reactanța echivalentă a schemei. Această condiție este practic acceptabilă pentru toate elementele rețelei de înaltă tensiune. Pentru rețelele de joasă tensiune sau pentru rețelele de cabluri de medie și de înaltă tensiune, condiția aceasta nu se mai respectă și, ca urmare, se va ține seama în calcule și de rezistență.

Trebuie menționat că rezistențele se neglijează numai la determinarea valorilor inițiale sau ale valorilor de regim permanent a curenților de scurtcircuit, însă ele vor fi introduse dacă este necesară determinarea unor constante de timp ale curenților aperiodici, liberi.

### 8.3.1. SISTEMUL UNITĂȚILOR RELATIVE

Determinarea curenților de scurtcircuit se poate face direct în unități absolute, folosind scheme echivalente corespunzătoare fiecărui tip de defect, în care elementele rețelei — generatoare, transformatoare, linii, bobine de reactanță — se introduc prin impedanțele lor exprimate în ohmi, raportate la tensiunea locului de scurtcircuit. Uneori însă, pentru simplificarea unor considerații teoretice și pentru generalizarea rezultatelor, diferitele mărimi fizice se reprezintă nu în unități absolute, ci în unități relative, fără dimensiuni. O asemenea reprezentare conferă rezultatelor un caracter mai intuitiv.

Prin *valoarea relativă a unei mărimi fizice oarecare* se înțelege *raportul acesteia față de valoarea unei alte mărimi fizice de aceeași natură, aleasă ca unitate de măsură*. Ca urmare, pentru exprimarea diferitelor mărimi în unități relative, trebuie alese în prealabil acele mărimi care se vor considera ca unități de măsură sau altfel spus, trebuie stabilite *unitățile de bază* la care se vor raporta toate celelalte mărimi.

În calculul curenților de scurtcircuit și, în general, în calculele electrice se operează cu curenți, tensiuni, puteri și impedanțe. În consecință, pentru toate aceste mărimi se pot alege unitățile de bază corespunzătoare și se obțin următoarele relații:

$$E_b^* = \frac{E}{U_b}; \quad U_b^* = \frac{U}{U_b}; \quad I_b^* = \frac{I}{I_b}; \quad S_b^* = \frac{S}{S_b}, \quad Z_b^* = \frac{Z}{Z_b}, \quad (8.92)$$

în care asteriscul arată că mărimea este exprimată în unități relative, iar indicele  $b$  — că ea este raportată la mărimile de bază.

Din cele patru mărimi de bază numai două sînt independente și pot fi alese arbitrar, celelalte două obținându-se din următoarele relații de legătură:

$$S_b = \sqrt{3} U_b I_b \text{ și } Z_b = \frac{U_b}{\sqrt{3} I_b} = \frac{U_b^2}{S_b}. \quad (8.93)$$

Impedanța relativă raportată la mărimea de bază se poate exprima formal prin relația:

$$Z_b^* = \frac{Z}{Z_b} = \frac{\sqrt{3} \cdot Z I_b}{U_b}, \quad (8.94)$$

care arată că ea este numeric egală cu căderea de tensiune relativă în elementul considerat, atunci cînd acesta este parcurs de curentul de bază (sau puterea de bază).

Deoarece alegerea condițiilor de bază este arbitrară, aceeași mărime reală poate avea valori numerice diferite, atunci cînd ea este exprimată în unități relative. De obicei, impedanțele relative ale elementelor din rețelele electrice — generatoare, transformatoare, bobine de reactanță etc. — sînt exprimate pentru condițiile nominale ale curenților, tensiunilor și puterilor. În acest caz, valorile lor se determină cu aceeași relație (8.94), în care unitățile de bază sînt înlocuite cu unitățile nominale corespunzătoare, adică:

$$Z_n^* = \frac{Z}{Z_n} = \frac{\sqrt{3} Z I_n}{U_n} = Z \frac{S_n}{U_n^2}. \quad (8.95)$$

Transformarea impedanțelor raportate la unitățile nominale, în impedanțe raportate la unitățile de bază, se face scriind legătura dintre relațiile (8.94) și (8.95) și obținîndu-se:

$$Z_b^* = Z_n^* \frac{I_b}{I_n} \cdot \frac{U_n}{U_b} = Z_n^* \frac{S_b}{S_n} \cdot \frac{U_n^2}{U_b^2}. \quad (8.96)$$

Alegerea mărimilor de bază trebuie făcută astfel încît operațiile de calcul să fie cît mai simple și ordinul de mărime să permită folosirea lor comodă. De obicei, pentru calcule se aleg ca mărimi de bază *puterea*  $S_b$  și *tensiunea*  $U_b$ . Se recomandă ca puterea de bază să reprezinte un multiplu de zece (100, 1 000 MVA), iar uneori poate fi luată egală cu puterea nominală, sumă a surselor generatoare. Tensiunea de bază, corespunde, în general, tensiunii nominale  $U_n$  a sectorului de rețea în care are loc scurtcircuitul sau o valoare apropiată de aceasta\*.

Ținînd seama de această ultimă recomandare, recalcularea impedanțelor relative se poate face cu relația:

$$Z_b^* = Z_n^* \frac{I_b}{I_n} = Z_n^* \frac{S_b}{S_n}, \quad (8.97)$$

în care  $Z_n^*$  poate reprezenta:

— pentru generatoare, reactanța relativă supratranzitorie după axa longitudinală,  $\frac{x_d''}{100}$ ;

---

\* În general condiția  $U_b = U_n$  se respectă numai pentru o parte a elementelor rețelei, deoarece tensiunile nominale ale acestora, în cadrul aceluiași circuit electric, pot fi diferite. Diferențele însă sînt relativ mici, de  $\pm 10\%$ , astfel încît, în calculele aproximative ele pot fi neglijate, considerînd că tensiunile nominale ale tuturor elementelor aceleiași trepte de tensiune dintr-o rețea sînt egale cu o valoare medie. Se exceptează de la această regulă bobinele de inductanță, a căror reactanță trebuie determinată în condiții mai exacte. Cînd acestea se folosesc la tensiuni mai scăzute decît tensiunea lor nominală, atunci este obligatorie recalcularea reactanțelor relative în condițiile de tensiune reale.

— pentru transformatoare, tensiunea relativă de scurtcircuit,  $\frac{u_k}{100}$ .

În cazul liniilor electrice aeriene sau în cablu, relația (8.97) se poate particulariza sub forma:

$$X_b^* = \frac{X_0 L}{Z_b} = X_0 L \frac{S_b}{U_{med}^2}, \quad (8.98)$$

în care:  $X_0 L$  reprezintă reactanța totală a liniei de lungime  $L$ , exprimată în ohmi;

$U_{med}$  — tensiunea medie a prizei transformatorului la care se conectează linia, considerată ca mărime de bază, în kV.

Pentru bobine de reactanță se va folosi relația (8.96), în care  $X_n^*$  este tabelată și se exprimă, ca și în cazul transformatorului, în procente.

*Observație.* În sistemul unităților relative se pot exprima și mărimile neelectrice. Una dintre acestea, care se întâlnește în studiile efectuate asupra stabilității sistemelor electrice, este viteza unghiulară, exprimată în unități relative considerind ca unitate de bază viteza unghiulară sincronă ( $\omega_0 = \omega_b$ ), adică:

$$\omega_b^* = \frac{\omega}{\omega_b} = \frac{\omega}{\omega_0}.$$

Corespunzător acestei viteze unghiulare sincrone, se pot alege unități de bază pentru inducțivitate și pentru fluxul magnetic sub forma:

$$L_b = \frac{X_b}{\omega_b} = \frac{X_b}{\omega_0} \quad \text{și} \quad \Phi_b = \frac{U_b}{\omega_b} = \frac{U_b}{\omega_0},$$

în care  $\Phi_b$  din ultima relație, de exemplu, reprezintă fluxul total care induce tensiunea de bază la viteza unghiulară de bază (sincronism).

Dacă se adoptă unitățile de bază indicate la viteza unghiulară de bază, nemodificată, și egală cu viteza de sincronism, se poate scrie că:

$$X_b^* = \omega_b^* L_b^* = L_b^*; \quad \Phi_b^* = I_b^* \cdot L_b^* = I_b^* X_b^*; \quad E_b^* = \omega_b^* \Phi_b^* = \Phi_b^*.$$

În același mod, poate fi exprimată în unități relative puterea electromagnetică a unei mașini generatoare sau timpul scriind că:

$$P_b^* = \omega_0^* M_b^* = M_b^*;$$

$$t_b^* = \frac{t}{t_b} = \omega_0 t = 314 t,$$

în care, pentru timp s-a considerat ca unitate de măsură timpul în care rotorul unei mașini, la viteza de sincronism, se rotește cu un radian electric, adică  $t_b = \frac{1}{\omega_0}$ , ceea ce la frecvența

industrială reprezintă  $\frac{1}{314}$  s.

Din aceste relații se constată că în condiții de menținere neschimbată a vitezei de sincronism, reactanța inductivă, fluxul magnetic total care induce o tensiune electromotoare sau puterea activă debitată de o mașină sînt numeric egale cu inductivitatea, tensiunea electromotoare și respectiv cuplul electromagnetic. Acest fapt constituie un avantaj important al sistemului unităților relative, care oferă posibilitatea înlocuirii unor mărimi relative cu altele, numeric egale cu primele.

### 8.3.2. VALORILE REACTANTELOR ELEMENTELOR REȚELEI CORESPUNZĂTOARE CURENȚILOR DE SCURTCIRCUIT

Valorile reactanțelor echivalente, rezultante,  $X_0$ ,  $X_1$ ,  $X_2$  care intervin în calculul curenților de scurtcircuit, se determină plecând de la reactanțele homopolară, directă și inversă ale fiecărui element component al rețelei — generator, transformator, linie etc. Pentru determinarea acestora se fac următoarele precizări.

a. Toate reactanțele prin care se caracterizează diferitele elemente ale rețelei în regim simetric normal sau în procesul tranzitoriu simetric sînt reactanțele de succesiune directă.

b. Pentru toate elementele componente ale rețelei care nu prezintă cuplaje magnetice între faze, reactanțele lor nu depind de ordinea de succesiune a fazelor curentului. În aceste condiții reactanțele de succesiune directă, inversă și homopolară sînt aceleași ( $X_1 = X_2 = X_0$ ).

c. Elementele componente ale rețelei ale căror circuite cuplate magnetic sînt imobile unul față de celălalt, au reactanțele directe și inverse identice, deoarece inducția mutuală între faze nu se modifică prin schimbarea ordinii de succesiune a fazelor unui sistem de curenți simetric trifazat. Acesta este cazul transformatoarelor, autotransformatoarelor, liniilor electrice aeriene și în cablu și bobinelor de reactanță, pentru care se poate scrie că:

$$R_1 = R_2; X_1 = X_2 \text{ și } Z_1 = Z_2.$$

d. În cazul mașinilor generatoare ale căror înfășurări prezintă cuplaje magnetice și nu sînt fixe una în raport cu cealaltă, reactanța de succesiune directă este diferită de cea de succesiune inversă ( $X_1 \neq X_2$ ), ultima fiind totdeauna mai mare decît prima.

e. Valoarea reactanțelor de succesiune homopolară depinde de modul în care punctele neutre sînt legate la pămînt sau la conductorul de întoarcere. Cînd punctele neutre sînt izolate și capacitatea conductoarelor în raport cu pămîntul este neglijabilă, reactanța homopolară este infinit de mare, sistemul curenților de succesiune homopolară neavînd pe unde să se închidă.

În general, reactanța homopolară a unui aparat sau a unui ansamblu de aparate, poate fi definită și măsurată, reunind în paralel, de o parte, cele trei borne de intrare, de altă parte, cele trei borne de ieșire și alimentînd ansamblul sub o tensiune alternativă  $V$ , de frecvență convenabilă, ca în figura 8.27. Reactanța homopolară pe fază\* este  $X_0 = V/I_0$ , în care  $I_0$  este curentul în fiecare fază. Ca exemplu, se aplică această metodă pentru determinarea reactanței homopolare a rețelei din figura 8.28, care alimentează un consumator echivalat prin reactanța  $X_c$ . Bornele de intrare ale sistemului s-au notat cu 1, 2, 3, iar cele de ieșire cu 1', 2', 3', de o parte și 1'', 2'', 3'', de cealaltă parte. Reactanța homopolară este privită din punctul  $M$ , iar liniile situate de

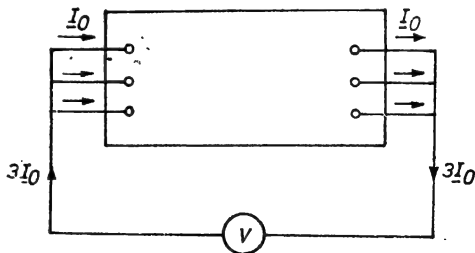


Fig. 8.27. Măsurarea impedanței homopolare a unui aparat electric.

\* S-a neglijat rezistența ohmică a elementului.



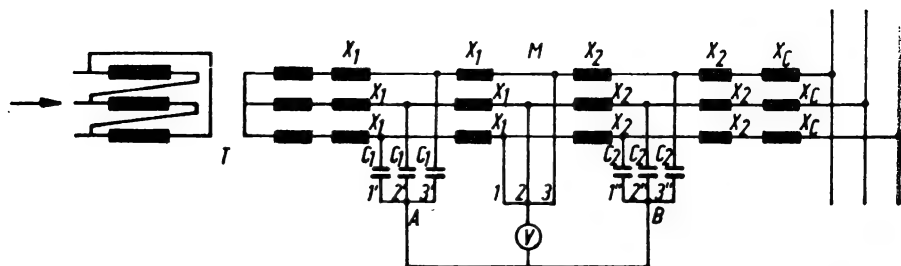


Fig. 8.28. Determinarea impedanței homopolare de succesiune homopolară a unei rețele electrice trifazate.

o parte și de cealaltă a acestui punct, sînt înlocuite prin doi cuadripoli echivalenți simetrici în  $T$  cu constantele  $X_1$ ,  $C_1$  și  $X_2$ ,  $C_2$ . Valoarea reactanței echivalente a rețelei este:

$$X_0 = \frac{\left(X_1 - \frac{1}{C_1\omega}\right)\left(X_2 - \frac{1}{C_2\omega}\right)}{X - \frac{1}{C\omega}}, \quad (8.99)$$

în care s-au folosit notațiile:

$$X = X_1 + X_2; \quad C = \frac{C_1 C_2}{C_1 + C_2}.$$

Din relația (8.99) se constată că reactanța  $X_c$  a consumatorului și cea a transformatorului  $T$  nu influențează valoarea reactanței homopolare datorită faptului că neutrul corespunzător este izolat.

f. În sistemele trifazate conductoarele neutre sînt parcurse de suma  $3I_0$  a curenților homopolari ai fiecărei faze. Dacă între punctul neutru și pămînt se înseriază impedanța  $Z_0$ , atunci căderea de tensiune la bornele acesteia este  $3Z_0 I_0$ , conform figurii 8.29, *a*. Această impedanță se poate înlocui prin trei impedanțe de valoare  $3Z_0$ , care se înseriază în fiecare din cele trei faze și care nu intervin decît în sistemul curenților de succesiune homopolară. Cele două scheme prezentate în figura 8.29, *a* și *b* sînt deci echivalente.

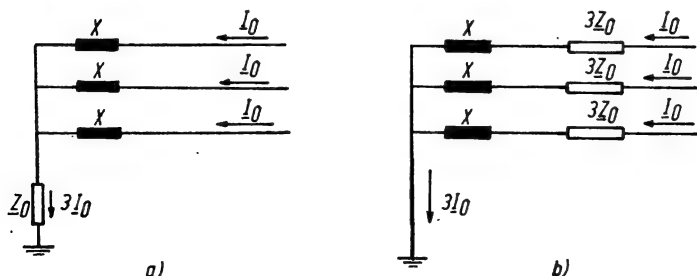


Fig. 8.29. Conectarea impedanței de legare la pămînt a unei rețele electrice trifazate în sistemul curenților de succesiune homopolară.

g. În general, cînd se calculează curenții de scurtcircuit în rețelele de înaltă tensiune, se neglijează rezistența arcului electric, la bornele căruia există o cădere de tensiune, care nu depășește valoarea de 2 kV. Aceasta este relativ mică, în raport cu tensiunea nominală a rețelei și, în consecință, se poate neglija. În rețelele de medie tensiune însă scurtcircuiturile cu pămîntul prezintă o cădere de tensiune pe rezistența arcului de defect, care uneori trebuie luată în considerare. Dacă se ține seama de această rezistență în calculul curenților de scurtcircuit, atunci calculul se va efectua, analog cazului general al alimentării unui receptor nesimetric. Rezistențele de luat în considerație depind de tipul de scurtcircuit și sînt prezentate în figura 8.30, care se referă la scurtcircuit bifazat (fig. 8.30, a), bifazat cu punere la pămînt (fig. 8.30, b) și trifazat cu punere la pămînt (fig. 8.30, c). În aceste condiții metoda componentelor simetrice nu se mai aplică sub forma sa simplă.

În același timp, se menționează că în cazul unui defect monofazat cu pămîntul, nu se introduc complicații teoretice dacă rezistența  $R$  din punctul corespunzător locului de defect se conectează în conexiunea neutrului față de pămînt. În aceste condiții, în fiecare fază se va introduce o rezistență  $3 R$ , care nu intervine decît în sistemul homopolar.

8.3.2.1. *Reactanțele mașinii sincrone. Impedanța directă* a unei mașin, sincrone se determină considerînd funcționarea acesteia în scurtcircuit simetric echilibrat. Ea se definește ca un raport între tensiunea electromotoare la funcționarea în gol dată de mașină înaintea punerii în scurtcircuit a statorului și componenta alternativă a curentului de scurtcircuit. Deoarece *componenta activă a acestui raport este foarte redusă, impedanța definită în aceste condiții se poate identifica aproximativ cu reactanța directă* a mașinii care variază începînd cu momentul producerii scurtcircuitului pînă la stabilirea regimului permanent. Pentru o mașină sincronă echipată și cu înfășurare de amortizare se consideră trei momente în variația acestei reactanțe.

În momentul inițial, așa cum s-a mai menționat, reactanța directă se identifică cu *reactanța supratranzitorie* după axa longitudinală,  $X_d''$ , variînd în raport invers cu curentul supratranzitoriu inițial,  $I_o''$ . Valoarea acestei reactanțe este legată de fluxul de scăpări dintre stator, înfășurarea de excitație și înfășurarea de amortizare, fiind definită prin relația (8.41) și schema echivalentă din figura 8.13, c. Ea se dă în unități relative, raportate la curentul și tensiunea nominală a generatorului. Informativ, pentru turbogeneratoare se indică o valoare medie  $x_d'' \approx 12,5\%$ , iar pentru hidrogeneratoare, prevăzute cu înfășurarea de amortizare,  $x_d'' \approx 20\%$ . Dacă hidrogene-

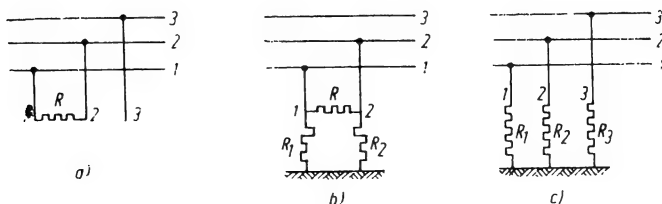


Fig. 8.30. Rezistențe ale arcului de defect în cazul scurtcircuitelor nesimetrice:

a — bifazat; b — bifazat cu pămînt; c — trifazat cu pămînt.

ratoarele nu sînt prevăzute special cu înfășurare de amortizare, reactanța relativă supratranzitorie crește, considerîndu-se o valoare medie  $x_d'' = 27\%$ .

Cu ajutorul acestor valori relative se poate calcula reactanța în unități absolute (ohmi), folosind relația:

$$X_1 = X_d'' = \frac{x_d''}{100} \cdot \frac{U_n^2 [\text{kV}]}{S_n [\text{MVA}]}, \quad (8.100)$$

în care  $U_n$  reprezintă tensiunea nominală a rețelei în care are loc defectul. Evident că pentru un scurtcircuit la bornele mașinii,  $U_n$  reprezintă tensiunea nominală a acesteia, iar pentru scurtcircuit pe partea de înaltă tensiune a transformatorului,  $U_n$  reprezintă tensiunea prizei de lucru a acestuia.

În momentul stingerii componentei aperiodice de curent din înfășurarea de amortizare, componenta alternativă a curentului de scurtcircuit scade. În consecință, valoarea reactanței directe corespunde *reactanței tranzitorii*  $X_d' > X_d''$ , care variază invers în raport cu curentul tranzitoriu  $I_0' < I_0''$ . Din punct de vedere fizic, ea reprezintă suma dintre reactanța de scăpări a statorului și o reactanță echivalentă formată din reactanța de reacție longitudinală și cea de scăpări a înfășurării de excitație, conectate în paralel. Schema echivalentă de definiție a acestora corespunde figurii 8.12, c, iar valoarea ei este determinată cu relația (8.30).

În general, se poate ține seama de influența înfășurării de amortizare, admitînd că  $X_d'' = (0,75 \div 0,9) X_d'$ . În aceste condiții, valoarea medie relativă a reactanței tranzitorii este aproximativ  $x_d' = 20\%$  pentru turbogeneratoare și  $x_d' = 30\%$  pentru hidrogeneratoare.

În momentul stingerii componentei aperiodice a curentului din înfășurarea de excitație regimul tranzitoriu s-a terminat, stabilindu-se un regim permanent de scurtcircuit. În acest caz, reactanța directă a mașinii corespunde *reactanței sincrone*  $X_d$ , determinată numai de fluxul de scăpări statoric și de reacția statorică după axa longitudinală. Valoarea medie relativă a reactanței sincrone este  $x_d = 100\%$  pentru hidrogeneratoare și  $x_d = 150\%$  pentru turbogeneratoare\*, putîndu-se măsura, pentru fiecare mașină, dacă înfășurările rotorului sînt deschise.

*Impedanța inversă* reprezintă prin definiție raportul, la frecvența normală, dintre componenta inversă a tensiunii aplicată la bornele mașinii și termenul fundamental al componentei inverse de curent produs astfel în stator. Ea se poate identifica cu reactanța inversă a mașinii, deoarece rezistența corespunzătoare rotorului este foarte mică.

Spre deosebire de reactanța directă determinată numai de mărimea corespunzătoare axei longitudinale a mașinii, reactanța inversă este legată de fluxul magnetic provocat de curenții de secvență inversă, care se rotește cu o viteză dublă în raport cu rotorul. Acesta întîlnește un circuit cu reluctanță permanent variabilă provocată de nesimetria magnetică a rotorului după cele două axe ale acestuia și de faptul că curenții induși în circuitele longitudinale produc reacții de răspuns diferite. În acest fel, la o tensiune electromotoare constantă, fluxul de succesiune inversă variază armonic,

\* Valorile medii relative indicate pentru reactanțele supratranzitorii, tranzitorii și sincrone se vor utiliza numai în cazul în care nu se dispune de caracteristicile exacte ale generatoarelor.

cu o viteză sincronă dublă, între o valoare maximă și una minimă, valori ce sînt funcție de gradul de nesimetrie al rotorului. În cazul general, acest flux produce în stator armonici impare, \* care deformează forma sinusoidală a cîmpului magnetic al statorului. Din această cauză există dificultăți în determinarea exactă a reactanței de succesiune inversă, ea nereprezentînd un parametru propriu-zis al mașinii, deoarece valoarea ei este dependentă de condițiile exterioare, ca de exemplu, de reactanța exterioară sau de gradul de nesimetrie al rotorului. Dacă reactanța exterioară este mare, influența armonicilor superioare este neglijabilă, acestea avînd valori foarte reduse. De asemenea, dacă mașina este bine amortizată, nesimetria dispăre și în aceste condiții reactanțele după cele două axe magnetice sînt aproximativ egale, iar reactanța de secvență inversă se poate considera egală cu cea directă, adică cu reactanța supratranzitorie după axa longitudinală.

Avînd în vedere că generatoarele centralelor electrice sînt echipate, în general, cu înfășurări de amortizare și că de cele mai multe ori, în cazul unor scurtcircuite, au conectate la borne reactanțe exterioare, de valori oarecare, reactanța inversă a acestora se poate calcula cu relația:

$$X_2 = \frac{X_d'' + X_q''}{2}, \quad (8.101)$$

care nu ține seama de influența armonicilor superioare.

Dacă însă se ține seama și de influența armonicilor superioare atunci reactanța de secvență inversă se calculează ca medie geometrică a reactanțelor mașinii după cele două axe ale sale:

$$X_2 = \sqrt{X_d'' \cdot X_q''}. \quad (8.102)$$

Uneori, cînd se ține seama și de influența armonicii de ordinul al treilea, se utilizează relația:

$$X_2 = \frac{2X_d'' \cdot X_q''}{X_d'' + X_q''}. \quad (8.103)$$

Evident, că în cazul cînd mașina nu este echipată cu înfășurare de amortizare, relațiile de mai sus își mențin valabilitatea, cu observația că intervin reactanțele  $X_d'$  și  $X_q'$  după cele două axe.

În calculele practice, ținînd seama că pentru mașinile cu înfășurare de amortizare diferențele dintre valorile reactanțelor  $X_d''$  și  $X_q''$  sînt mici, se poate considera:

$$X_2 = X_1 = X_d''. \quad (8.104)$$

Dacă sînt necesare determinări mai exacte atunci se recomandă să se considere  $X_2 \approx 1,22 X_d''$ , pentru mașinile cu înfășurare de amortizare și  $X_2 \approx 1,45 X_d''$ , pentru mașinile fără înfășurare de amortizare.

---

\* În cazul sursei de putere infinită în stator apare pe lîngă fundamentală și armonica de curent de ordinul trei. În condițiile unui regim nesimetric însă, pentru o sursă generatoare de putere finită, cîmpul de succesiune inversă de frecvență fundamentală, produce întregul spectru de armonici impare.

*Impedanța (reactanța) homopolară* a generatoarelor electrice nu intervine, în general, în calculul curenților de scurtcircuit, deoarece acestea sînt legate la înfășurarea de joasă tensiune a transformatoarelor cu conexiunea în triunghi, care constituie un tampon pentru curenții de succesiune homopolară. Totuși, cunoașterea ei este necesară mai ales pentru determinarea unor fenomene tranzitorii legate de scurtcircuite produse la bornele generatoarelor.

Se poate arăta ușor că reactanța homopolară este independentă de natura înfășurărilor de pe rotor, în particular, de prezența sau de absența înfășurării de amortizare, deoarece fluxul rezultat din rotor produs de curenții homopolari din înfășurarea statorică trifazată este nul. Ca urmare, valoarea acesteia este determinată numai de reactanța de scăpări statorică din părțile frontale și din creștăturile fiecărei faze a înfășurărilor statorului, variind în limite largi și anume între 15 și 60 % din  $X_d''$ .

8.3.2.2. *Reactanța homopolară a transformatoarelor. Reactanța de succesiune directă* a transformatoarelor este egală cu cea de succesiune inversă, fiind determinată din încercările în scurtcircuit și cu ajutorul relațiilor de calcul indicate în capitolul 2.

Reactanța homopolară a unui transformator care are un punct neutru legat la pămînt depinde în mare măsură de construcția și de conexiunea înfășurărilor acestuia. Astfel, transformatorul are o reactanță homopolară infinită dacă înfășurarea dinspre care este determinată este conectată în triunghi sau în stea cu neutru izolat, deoarece în aceste condiții este exclusă posibilitatea circulației curenților homopolari în transformatorul dat, independent de modul de conexiune ale celorlalte înfășurări. El poate avea o reactanță cu valoare finită numai dacă este privit dinspre partea înfășurării conectată în stea cu neutru legat la pămînt.

În figura 8.31 sînt reprezentate schemele de conexiuni posibile ale transformatoarelor cu două înfășurări, dintre care prima este cea mai utilizată. În aceeași figură s-au reprezentat și schemele echivalente corespunzătoare, în care tensiunea de succesiune homopolară  $U_0$  aplicată primei înfășurări, provoacă curenți de aceeași succesiune și în cealaltă înfășurare; ea echilibrează căderea de tensiune din reactanța  $X_I$  și tensiunea electromotoare a transformatorului, egală numeric cu căderea de tensiune provocată de curentul de magnetizare în reactanța corespunzătoare  $X_{\mu_0}$ .

Schema de conexiuni  $Y_0/\Delta$  are laturile înfășurării stea parcurse de curentul homopolar  $I_{0I}$ , care se regăsește într-un anumit raport în fiecare din laturile înfășurării triunghi. Curentul homopolar din această ultimă înfășurare  $I_{0II}$  nu iese din limitele acesteia, fapt care este pus în evidență prin scurtcircuitarea ramurii  $X_{II}$  din schema echivalentă. În consecință, reactanța homopolară este aceea care s-ar obține la încercarea în scurtcircuit a transformatorului, adică este egală cu reactanța simetrică de succesiune directă. Potențialul zero de la capătul înfășurării secundare, nu indică o transferare artificială a legăturii la pămînt, ci corespunde condiției că în acest punct al schemei echivalente se închide calea de circulație a curenților homopolari.

În schema  $Y_0/Y_0$  s-a asigurat o cale de închidere a curenților homopolari și reactanța  $X_0$  are o valoare finită, care trebuie determinată după schemă. Dacă această cale de închidere a curenților homopolari nu este asigurată, atunci schema echivalentă are înfășurarea secundară în gol și corespunde conexiunii  $Y_0/Y$ .

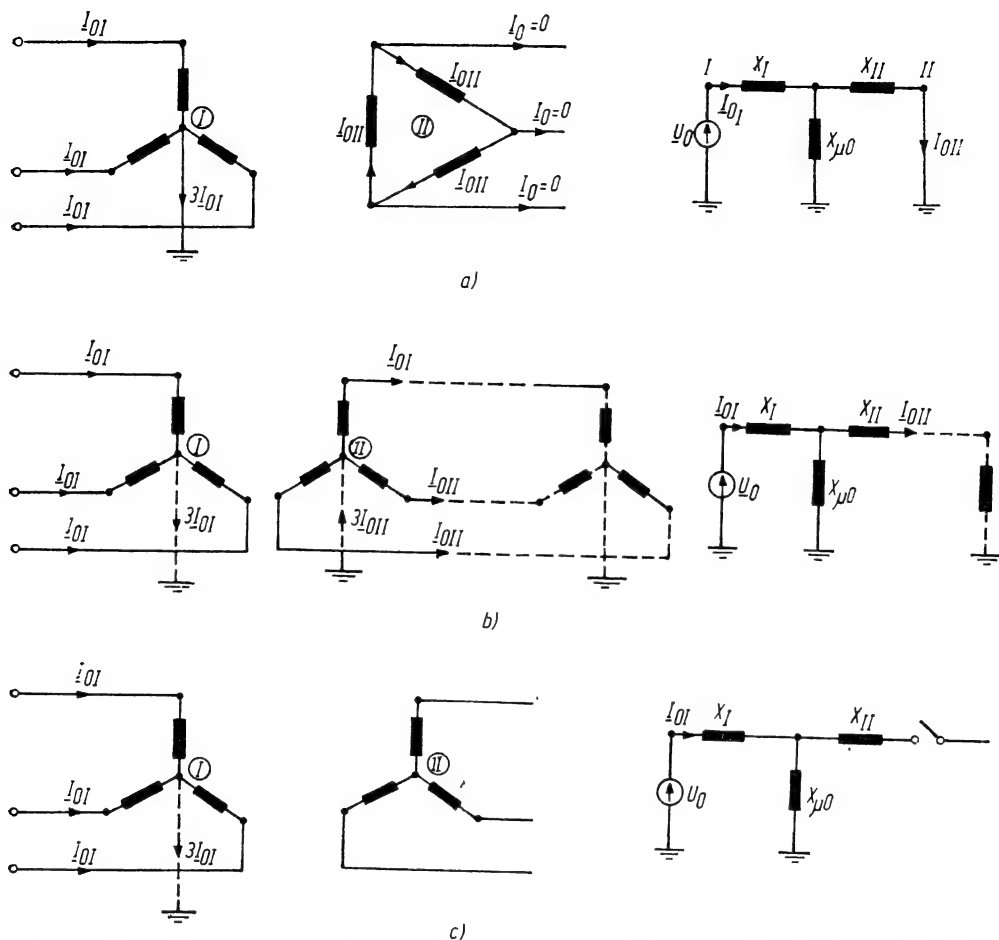


Fig. 8.31. Conexiuni ale transformatoarelor cu două înfășurări și schemele lor echivalente pentru curenții de succesiune homopolară.

Reactanța de magnetizare de succesiune homopolară introdusă în schemele echivalente, este funcție de construcția transformatoarelor.

Astfel, pentru transformatoare monofazate, curenții de magnetizare nu depind de sistemul simetric al tensiunilor aplicate la bornele acestora, deoarece fluxul magnetic al fiecărei faze are circuit magnetic separat. Intensitatea acestor curenți este tot atât de mică ca și a celor de magnetizare de succesiune directă, ceea ce permite neglijarea lor și considerarea reactanței  $X_{\mu 0} \Rightarrow \infty$ . Aceeași situație se întâlnește practic și la transformatoarele cu patru sau cinci coloane, la care fluxurile magnetice se închid prin coloanele circuitului magnetic, pe care nu sînt dispuse înfășurările (transformatoare cu flux liber).

Altfel se prezintă lucrurile la transformatoarele trifazate cu trei coloane, la care fluxurile magnetice sînt obligate să se închidă prin mediul izolant și cuva transformatoarelor, străbătînd circuite cu reluctanțe mari. Reactanța de magnetizare de succesiune homopolară  $X_{\mu 0}$  este mult mai mică decît cea

de succesiune directă,  $X_{\mu 1}$ , avînd o valoare relativă \* cuprinsă în limitele de 30 și 100%, în funcție de construcția transformatoarelor.

Ținînd seama de acest fapt se pot indica următoarele valori de reacțanțe homopolare ale transformatoarelor cu două înfășurări:

- pentru orice transformator cu conexiune  $Y_0/Y_0$ :  $X_0 = X_1$ ;
- pentru grupe trifazate, formate din unități monofazate de transformatoare sau transformatoare trifazate cu patru sau cinci coloane:
  - cu conexiunea  $Y_0/Y_0$ :  $X_0 = X_1$ ;
  - cu conexiunea  $Y_0/Y$ :  $X_0 = \infty$ ;
- pentru transformatoare trifazate cu trei coloane:
  - cu conexiunea  $Y_0/Y_0$ , conform schemei echivalente din figura 8.31, b;
  - cu conexiunea  $Y_0/Y$ :  $X_0 = X_1 + X_{\mu 0}$ .

În cazul transformatoarelor cu trei înfășurări, variantele principale de conexiuni sînt prezentate, împreună cu schemele lor echivalente, în figura 8.32. Una din înfășurări este totdeauna cu conexiunea în  $\Delta$ , fapt care permite să se considere reactanța de magnetizare  $X_{\mu 0} = \infty$ .

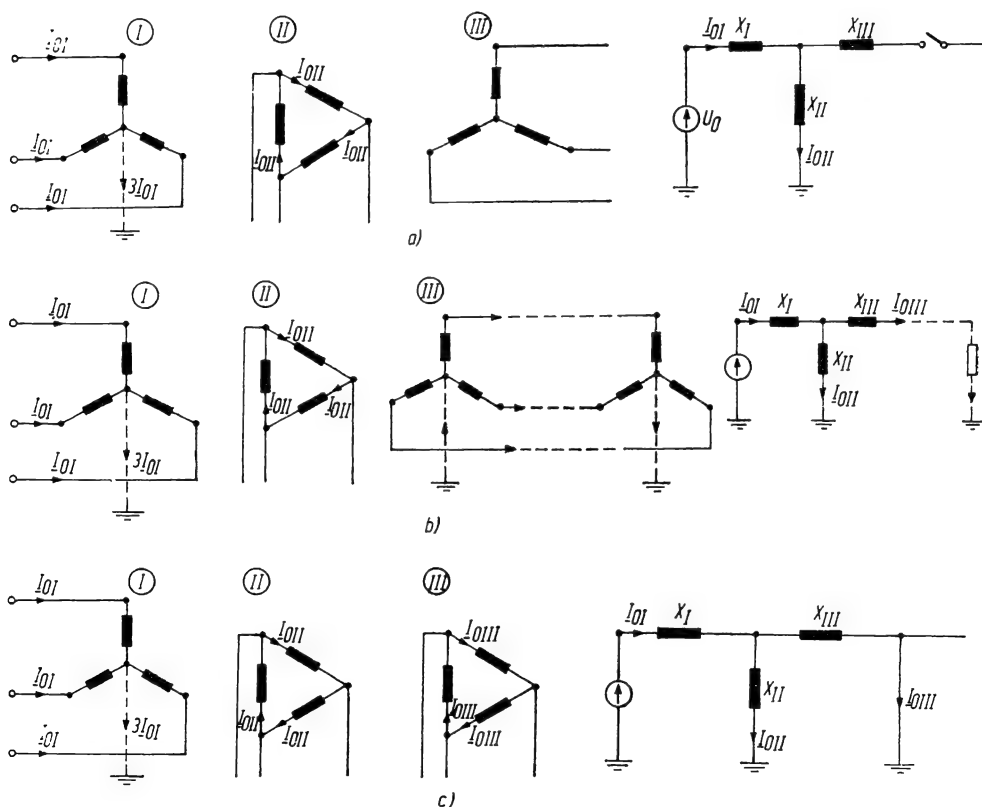


Fig. 8.32. Conexiuni ale transformatoarelor cu trei înfășurări și schemele lor echivalente pentru curenții de succesiune homopolară.

\* Valoarea ei exactă se poate determina în funcție de tipul de transformator, numai experimental.

Pentru varianta  $Y_0/\Delta/Y$ , înfășurarea a treia apare ca funcționînd în gol și în acest caz, se poate scrie că:

$$X_0 = X_I + X_{II}, \quad (8.105)$$

în care  $X_I$  și  $X_{II}$  reprezintă reactanțele de scurtcircuit ale înfășurărilor de înaltă și medie tensiune.

Pentru varianta  $Y_0/\Delta/Y_0$  transformatorul va fi introdus prin schema sa echivalentă, iar pentru varianta  $Y_0/\Delta/\Delta$  curenții de succesiune homopolară din înfășurarea  $I$  sînt compensați de cei induși în înfășurărilor  $II$  și  $III$ , astfel încît se poate scrie că:

$$X_0 = X_I + \frac{X_{II} X_{III}}{X_{II} + X_{III}}. \quad (8.106)$$

Se menționează însă că în cazul transformatoarelor cu trei înfășurări, una din reactanțele de scurtcircuit este foarte mică și se poate neglija, fapt de care trebuie să se țină seama în schema echivalentă generală a rețelei.

**8.3.2.3. Reactanța homopolară a autotransformatoarelor.** În cazul autotransformatoarelor, circulația curenților de succesiune homopolară prezintă unele particularități, determinate de faptul că înfășurărilor sînt cuplate între ele nu numai magnetic, ci și galvanic. Astfel, în anumite condiții, chiar dacă neutrul autotransformatorului este izolat, înfășurărilor acestuia pot fi parcurse de curenți homopolari. Atunci cînd autotransformatorul are neutrul legat direct la pămînt și practic, acesta este cazul general, schema echivalentă de succesiune homopolară este identică cu cea a unui transformator de același tip.

În figura 8.33, *a* se prezintă conexiunea autotransformatorului fără înfășurare terțiară, cu neutrul legat direct la pămînt, căruia i se asigură pe partea secundară o cale de întoarcere a curentului de succesiune homo-

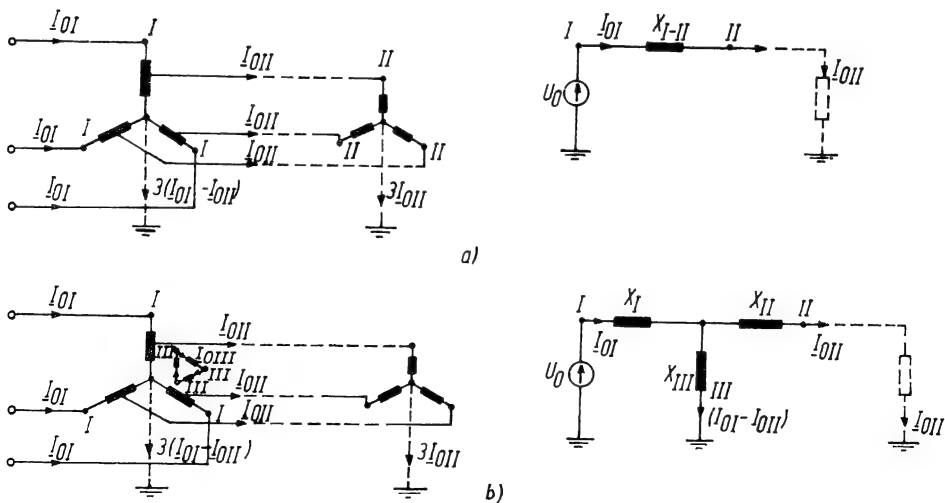


Fig. 8.33. Conexiunile autotransformatoarelor cu două și cu trei înfășurări și schemele lor echivalente, corespunzătoare curenților de succesiune homopolară.



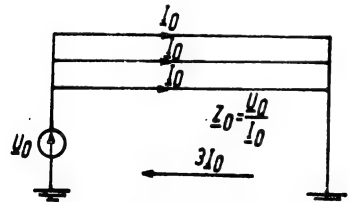
polară. În acest caz, schema echivalentă, neglijând curentul de magnetizare \* conține numai reactanța de scăpări totală  $X_{I-II}$ , fiind aceeași cu cea a unui transformator cu două înfășurări cu conexiunea  $Y_0/Y_0$ , pentru care se consideră  $X_{\mu 0} \Rightarrow \infty$ . Dacă neutrul autotransformatorului este izolat, schema de succesiune homopolară corespunde funcționării acestuia la mers în gol, fiind analogă cu cea a unui transformator cu conexiunea  $Y_0/Y$ .

În general însă, autotransformatoarele se construiesc și cu înfășurare terțiară conectată în triunghi, așa cum se arată în figura 8.33, *b*. În acest caz, schemele echivalente de succesiune homopolară au aceeași formă ca și a transformatoarelor cu trei înfășurări, de aceeași conexiune.

Trebuie menționat că curentul care circulă spre pământ se poate obține din schema homopolară a autotransformatorului, ținând seama de sensurile curenților din ambele înfășurări. El este egal cu de trei ori valoarea diferenței curenților de succesiune homopolară din înfășurarea primară și cea secundară, adică  $I_p = 3(I_{0I} - I_{0II})$ . Fiecare din acești curenți trebuie raportat la treapta de tensiune corespunzătoare și nu la cea treaptă unică pentru care a fost întocmită schema echivalentă.

**8.3.2.4. Impedanța homopolară a liniilor electrice aeriene.** Impedanța homopolară a liniilor electrice aeriene se determină ținând seama că întoarcerea curenților homopolari se efectuează prin pământ și prin circuitele legate la pământ, dispuse în paralel cu liniile (conductoarele de protecție, șinele de cale ferată existente de-a lungul liniilor etc.). Deoarece suma curenților homopolari în linie este diferită de zero, fluxul magnetic corespunzător induce în circuitele din apropierea acestuia, tensiuni electromotoare care produc curenți de compensație. În aceste condiții, impedanța homopolară a liniei diferă mult de impedanțele de succesiune directă sau inversă.

Dificultatea principală în determinarea impedanței homopolare a unei linii aeriene provine din considerarea distribuției curentului prin pământ; cunoașterea acestei distribuții reprezintă o problemă complicată. O primă soluție, din acest punct de vedere, a fost dată de Carson și Pollaczek, care au considerat conductibilitatea electrică a pământului constantă și dimensiunile acestuia infinite. Utilizând aceste rezultate se va determina impedanța homopolară a liniilor electrice aeriene la frecvența industrială, considerând figura 8.34, în care tensiunea de succesiune homopolară  $U_0$ , debitează în fiecare fază același curent  $I_0$ . Impedanța homopolară specifică a liniei pe fază este dată de relația:



$$Z_0 = \frac{U_0}{I_0} = Z_{L_0} + 2Z_{M_0} \left[ \frac{\Omega}{\text{km}} \right]. \quad (8.107)$$

în care:

$Z_{L_0}$  reprezintă impedanța specifică a circuitului format dintr-un conductor și pământ;

$Z_{M_0}$  — impedanța mutuală a celorlalte două circuite paralele conductor-pământ.

Fig. 8.34. Determinarea reactanței homopolare a unei linii trifazate cu simplu circuit.

\* Această aproximație este admisibilă deoarece autotransformatoarele trifazate, nu se construiesc cu circuite magnetice formate din trei coloane, fapt care face ca  $X_{\mu 0} \Rightarrow \infty$ .

Valoarea primului termen din relația (8.107) este:

$$\mathcal{Z}_{L_0} = R_0 + j\omega L_0 = r_c + \left[ \frac{\pi\omega}{2} + j\omega 4,6 \log \frac{D_p}{r_c} \right] 10^{-4} \left[ \frac{\Omega}{\text{km}} \right], \quad (8.108)$$

în care:

— partea reală corespunde rezistenței totale a circuitului de întoarcere a curentului, formată din rezistența specifică a conductorului  $r_c$  și rezistența pământului la frecvența industrială  $\frac{\pi\omega}{2} 10^{-4} = 0,05 \text{ } \Omega/\text{km}$ ;

— partea imaginară corespunde reactanței specifice a liniei conductor-pământ, echivalente unei linii cu două conductoare situate la distanța  $D_p$  și cu raza echivalentă  $r_e^*$ .

Valoarea celui de-al doilea termen din relația (8.107) este:

$$\mathcal{Z}_{M_0} = \left[ \frac{\pi\omega}{2} + j\omega 4,6 \log \frac{D_p}{D_{med}} \right] 10^{-4} \left[ \frac{\Omega}{\text{km}} \right], \quad (8.109)$$

în care:

— partea reală este determinată numai de rezistența pământului la frecvența industrială;

— partea imaginară corespunde reactanței mutuale dintre faze la întoarcere a curentului prin pământ; linia trifazată se consideră cu simplu circuit și cu un număr întreg de transpoziții a conductoarelor și distanța medie geometrică dintre acestea  $D_{med} = \sqrt[3]{\bar{d}_{12} \cdot \bar{d}_{13} \cdot \bar{d}_{23}}$ .

Distanța  $D_p$  care intervine în relațiile (8.108) și (8.109) este denumită adâncimea echivalentă de întoarcere a curentului prin pământ. Ea este funcție de conductibilitatea electrică a pământului  $\sigma \left( \frac{1}{\Omega\text{cm}} \right)$ , care variază mult cu natura acestuia și de frecvența curentului  $f$ , fiind calculată cu relația:

$$D_p = \frac{0,52}{\sqrt{\sigma \cdot f \cdot 10^{-9}}} \cdot 10^{-2} \text{ [m]}. \quad (8.110)$$

Pentru teren uscat  $\sigma = 10^{-5} \left[ \frac{1}{\Omega\text{cm}} \right]$  și  $D_p = 3\,000 \text{ m}$ , în timp ce pentru pământ umed  $\sigma = 10^{-4} \left[ \frac{1}{\Omega\text{cm}} \right]$  și  $D_p = 985 \text{ m}$ .

Rezistența solului care la frecvența industrială este  $0,05 \left[ \frac{\Omega}{\text{km}} \right]$ , este independentă de conductibilitatea acestuia. Acest fapt paradoxal, în aparență, se explică prin aceea că, la variația conductibilității electrice variază și densitatea curentului de întoarcere prin pământ. Altfel spus, curentul revine prin pământ străbătînd numai o zonă oarecare din terenul de sub conductor, care este cu atît mai extinsă cu cît rezistivitatea solului este mai ridicată;

---

\* Pentru conductoarele funie de oțel-aluminiu  $r_e = 0,95 r$ ,  $r$  fiind raza reală a conductorului.

în aceste condiții pierderile de putere activă, la frecvența dată a curentului rămân aproximativ constante, iar rezistența specifică a pământului se poate considera aceeași. Dependența liniară a acestora de frecvența  $f$  a curentului este o consecință a efectului pelicular în pământ.

Ținând seama de relațiile (8.108) și (8.109) în (8.107) și efectuând calculele necesare se determină că:

$$\begin{aligned} Z_0 &= r_{c0} + 3 \left[ \frac{\pi\omega}{2} + j\omega 4,6 \log \frac{D_p}{\sqrt[3]{r_e D_{med}^2}} \right] 10^{-4} = \\ &= \left( r_{c0} + 0,15 + j 0,435 \log \frac{D_p}{R_{mediu}} \right) \left[ \frac{\Omega}{\text{km}} \right], \end{aligned} \quad (8.111)$$

în care  $R_{mediu} = \sqrt[3]{r_e D_{med}^2}$  este raza medie geometrică a sistemului de trei conductoare ale liniei.

Impedanța homopolară a fiecărui circuit a unei linii cu dublu circuit crește suplimentar, datorită inducției mutuale dintre conductoarele circuitelor paralele. Impedanța mutuală dintre conductoarele unui circuit și cele trei conductoare ale celuilalt circuit, ambele circuite fiind realizate cu un număr complet de transpoziții ale conductoarelor, poate fi determinată cu relația (8.109), unde ambele componente trebuie mărite de trei ori și în loc de  $D_{med} = \sqrt[3]{d_{12}d_{13}d_{23}}$  trebuie introdusă distanța medie geometrică dintre conductoarele celor două circuite, determinată cu relația:

$$D_{I-II} = \sqrt[3]{d_{11'} \cdot d_{12'} \cdot d_{13'} \cdot d_{21'} \cdot d_{22'} \cdot d_{23'} \cdot d_{31'} \cdot d_{32'} \cdot d_{33'}}, \quad (8.112)$$

în care s-au notat conductoarele circuitului  $I$ , cu indicii  $1, 2, 3$  și ale circuitului  $II$ , cu  $1', 2', 3'$ .

Ținând seama de această observație, rezultă că:

$$Z_{I-II_0} = \left( 0,15 + j 0,435 \log \frac{D_p}{D_{I-II}} \right) \left[ \frac{\Omega}{\text{km}} \right]. \quad (8.113)$$

În cazul general al circuitelor neidentice, impedanța homopolară a liniei cu dublu circuit, se determină folosind schema echivalentă cunoscută a două circuite cuplate magnetic, dată în figura 8.35, în care reactanțele ramurilor paralele corespund inductanței de scăpări de succesiune homopolară corespunzătoare celor două circuite. Dacă cele două circuite sînt identice, adică

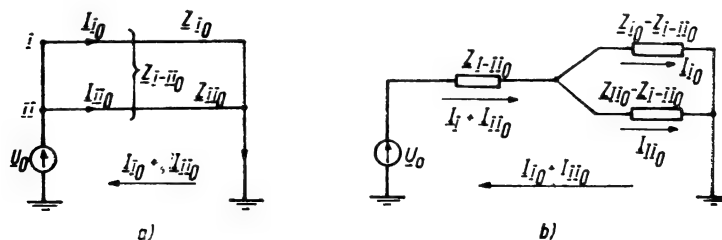


Fig. 8.35. Determinarea impedanței homopolare a unei linii cu dublu circuit:

a — schema inițială; b — schema echivalentă de succesiune homopolară.

$Z_{I_0} = Z_{II_0} = Z_0$ , atunci impedanța de succesiune homopolară a fiecăruia dintre acestea este:

$$Z'_0 = Z_0 + Z_{I-II_0}, \quad (8.114)$$

iar impedanța unei faze a liniei cu dublu circuit este:

$$Z''_0 = 0,5 Z'_0 = 0,5 (Z_0 + Z_{I-II_0}).$$

Influența inducției mutuale provocată de circuitul paralel depinde în mare măsură de distanța dintre circuite. Pentru distanțe uzuale dintre circuite sub  $10 \div 20$  m, cantitativ această influență se manifestă prin creșterea reactanței cu peste 25% față de reactanța unui singur circuit. Dacă liniile electrice aeriene sînt prevăzute cu conductoare de protecție din oțel sau oțel-aluminiu, legate direct la pămînt, acestea influențează valoarea reactanței homopolare. Aceste conductoare reprezintă de fapt înfășurarea secundară în scurtcircuit a unui transformator în aer, al cărui primar îl constituie conductoarele active ale liniei. Prezența conductoarelor de protecție conduce la reducerea reactanței homopolare a liniei, și anume într-o măsură mai mică, în cazul conductoarelor de protecție din oțel și mai mare, în cazul conductoarelor din oțel-aluminiu.

În general, pentru a ține seama de modul de construcție a liniei reactanța homopolară care intervine în impedanța corespunzătoare, se exprimă printr-un multiplu al reactanței directe și are aproximativ următoarele valori:

- linie cu simplu circuit fără conductoare de protecție:  $X_0 \approx 3,5 X_1$ ;
- linie cu simplu circuit cu conductoare de protecție din oțel:  $X_0 \approx 3 X_1$ ;
- linie cu simplu circuit cu conductoare de protecție din oțel-aluminiu:  $X_0 \approx 2 X_1$ ;
- linie cu dublu circuit fără conductoare de protecție:  $X_0 \approx 5,5 X_1$ ;
- linie cu dublu circuit cu conductoarele de protecție din oțel:  $X_0 \approx 4,7 X_1$ ;
- linie cu dublu circuit cu conductoare de protecție din oțel-aluminiu:  $X_0 \approx 3 X_1$ .

**8.3.2.5. Impedanța homopolară a cablurilor.** Impedanța homopolară a cablurilor este influențată în mare măsură de cămașa lor conductoare (mantaua de plumb și cea de protecție din oțel), care este, de regulă, legată la pămînt la capetele sale și în unele puncte intermediare (manșoane). Pentru curenții de succesiune homopolară, cămașa cablului constituie o cale de circulație (întoarcere) paralelă cu pămîntul, ea avînd același rol cu cel al conductoarelor de protecție de la liniile electrice aeriene. Repartiția curentului de întoarcere între cămașa cablului și pămînt depinde nu numai de impedanța proprie a cămășii, ci și de rezistența de legare la pămînt a acesteia, a cărei valoare depinde de rîndul ei de modul de pozare a cablului (în șanțuri blocuri etc.) și de alți factori care creează dificultăți în determinarea exactă a impedanței homopolare. În general, această repartiție se poate considera în următoarele două cazuri limită:

- curentul de întoarcere este maxim prin pămînt și minim în cămașa cablului, fapt care presupune o legare la pămînt a acestuia foarte bună;
- curentul se întoarce numai prin cămașa cablului.

Studiul teoretic al acestor două cazuri limită permite ca să se tragă următoarele concluzii:

- cînd curentul se întoarce mai mult prin pămînt, efectul de compensare provocat de curentul prin cămașe este mic și în consecință, reactanța de

succesiune homopolară va fi mare în comparație cu cazul în care curentul se întoarce numai prin cămașă; valoarea reală a reactanței homopolare a cablului se va plasa între valorile obținute pentru cele două situații limită indicate mai sus;

— distribuția curentului de întoarcere între pământ și cămașă influențează relativ puțin modulul impedanței homopolare  $Z_0$  a cablului și foarte mult valorile rezistenței și reactanței acestuia. De exemplu, pentru un cablu de 3 kV, cu secțiunile de 150 mm<sup>2</sup>, reactanța  $X_{0max} = 1,38 \Omega/\text{km}$  și  $X_{0min} = 0,12 \Omega/\text{km}$ , adică aceste valori diferă între ele de peste 11 ori. Din cele arătate mai sus rezultă că impedanța homopolară a cablurilor se poate determina precis numai pe bază de măsurători. Valoarea acesteia depinde mult de tensiunea nominală, de secțiunea și materialul conductorului activ și de tipul constructiv. De exemplu, pentru un cablu trifazat de 60 kV, compus din trei cabluri monofazate dispuse în vîrfurile unui triunghi echilateral, cu secțiunea conductoarelor de 150 mm<sup>2</sup> — și cu grosimea cămășii de plumb 2,5 mm, s-au măsurat următoarele valori ale impedanțelor directe și homopolare:

$$Z_1 = \left[ 0,125 + j 0,15 \right] \frac{\Omega}{\text{km}}; \quad Z_0 = \left[ 0,41 + j 0,23 \right] \frac{\Omega}{\text{km}}.$$

Același cablu, însă cu secțiunea de 250 mm<sup>2</sup> are impedanțele măsurate:

$$Z_1 = \left[ 0,081 + j 0,137 \right] \frac{\Omega}{\text{km}}; \quad Z_0 = \left[ 0,37 + j 0,215 \right] \frac{\Omega}{\text{km}}.$$

În cazul cînd nu se cunosc date măsurate, în calculele orientative se poate considera o valoare medie a reactanței homopolare  $X_0 \approx (3,5 \div 4,6) X_1$ ,  $X_1$  fiind reactanța de succesiune directă a cablului. În cazul rezistenței homopolare, coeficientul de multiplicare al rezistenței directe este mult mai mare, fiind aproximativ dublu față de cel al reactanțelor.

### 8.3.3. METODE PRACTICE DE CALCUL A CURENȚILOR DE SCURTCIRCUIT

Determinarea curenților de scurtcircuit se poate face fie direct în unități absolute sau relative, fie folosind anumite curbe speciale, care permit obținerea pentru un moment oarecare al procesului tranzitoriu de scurtcircuit, a intensității componentei periodice a curentului la locul de defect, în funcție de așa-numita reactanță *teoretică* sau reactanță *de calcul*.

Ținînd seama de regula de succesiune directă, aceste metode se pot aplica, atît pentru calculul curenților simetrici (trifazați) de scurtcircuit, cît și a curenților nesimetrici.

8.3.3.1. *Metoda directă.* Metoda directă este o metodă analitică care utilizează schemele echivalente corespunzătoare fiecărui tip de defect și relațiile de calcul prezentate anterior. Cu ajutorul acestei metode se calculează componenta periodică supratranzitorie a curentului de scurtcircuit în momentul inițial, cînd fiecare mașină generatoare și fiecare element al rețelei, care fac parte din schema echivalentă, sînt complet determinate prin reactanțele lor supratranzitorii și tensiunile electromotoare corespunzătoare. Chiar și mașinile

care nu au înfășurări speciale de amortizare, au un proces supratranzitoriu provocat de amortizarea naturală determinată de înfășurarea rotorului. Această amortizare poate fi considerată aproximativ, dacă se ia pentru aceste mașini  $X_d'' = (0,75 \div 0,9) X_d'$ ,  $X_d'$  reprezentînd reactanța tranzitorie tabelată.

Ținînd seama de aceste observații curentul supratranzitoriu inițial se poate calcula, pentru o schemă echivalentă cu impedanțele exprimate în ohmi, cu ajutorul relației (8.48). În cazurile în care se efectuează calcule aproximative, se pot folosi următoarele valori medii ale tensiunilor electromotoare supratranzitorii:

- pentru turbogeneratoare  $E'' = 1,08 U$ ;
- pentru hidrogeneratoare cu înfășurări de amortizare  $E'' = 1,13 U$ ;
- pentru hidrogeneratoare fără înfășurări de amortizare  $E'' = 1,18 U$ .

Dacă nu se cunosc suficient datele necesare ale tipului constructiv de mașină, se poate lua o valoare medie,  $E'' = 1,1 U$ . În particular, valoarea absolută a curentului supratranzitoriu inițial la locul de scurtcircuit se poate calcula și cu relația aproximativă:

$$I_0'' = \frac{U_{k0}}{\sqrt{3(X_d'' + X_k)}}, \quad (8.115)$$

în care  $U_{k0}$  reprezintă tensiunea între faze, anterioară defectului la locul de scurtcircuit.

Dacă mărimile sînt exprimate în unități relative, atunci se utilizează relația:

$$I_0'' = \frac{E''}{X_d'' + X_k} = \alpha \frac{U}{X_d'' + X_k}, \quad (8.116)$$

în care  $\alpha$  ia valorile indicate mai înainte sau o valoare medie egală cu 1,1.

Curentul de scurtcircuit trifazat exprimat în unități absolute se determină cu ajutorul relației (8.92) scrisă sub forma:

$$I_0'' = I_0'' \cdot I_b = \alpha \frac{U}{X_d'' + X_k} I_b \text{ [A]}. \quad (8.117)$$

Dacă tensiunea de bază se alege egală cu tensiunea medie a locului de scurtcircuit anterioară momentului de defect, atunci  $U = 1$  și relația (8.115) scrisă în unități relative devine:

$$I_0'' = \frac{1}{X_d'' + X_k} \text{ și } I_0'' = \frac{I_b}{X_d'' + X_k} \text{ [A]}. \quad (8.118)$$

Metoda analitică de calcul, în cazul scurtcircuitelor nesimetrice, ține seama de relațiile care există între componenta de succesiune directă a fiecărui

tip de defect și curentul de scurtcircuit. Sub formă sintetică, aceste relații, pentru momentul inițial al procesului de scurtcircuit, sînt:

$$I_k^{(1)} = 3 I_1^{(1)}; \quad I_k^{(2)} = \sqrt{3} I_1^{(2)}; \quad I_k^{(1,1)} = \sqrt{3} \sqrt{1 - \frac{X_0 X_2}{(X_0 + X_2)^2}} \cdot I_1^{(1,1)} = m^{(1,1)} I_1^{(1,1)}, \quad (8.119)$$

în care componentele de succesiune directă corespunzătoare fiecărui tip de defect sînt date de relațiile (8.66), (8.74) sau (8.79).

În majoritatea cazurilor, practic, pentru momentul inițial al defectului, schemele de succesiune inversă pot fi considerate identice cu cele de succesiune directă, eliminînd din acestea din urmă toate tensiunile electromotoare (adică  $Z'' = Z_1 \approx Z_2$  sau  $X'' = X_1 \approx X_2$ ).

În unități relative, pentru calculul curenților de scurtcircuit nesimetrice se utilizează următoarele relații:

— pentru scurtcircuitul monofazat:

$$I_1^{(1)} = \frac{I_b}{X_1^* + X_2^* + X_0^*}; \quad I_k^{(1)} = \frac{3 I_b}{X_1^* + X_2^* + X_0^*}; \quad (8.120)$$

— pentru scurtcircuitul bifazat:

$$I_1^{(2)} = \frac{I_b}{X_1^* + X_2^*} = -I_2^{(2)}; \quad (8.121)$$

$$I_k^{(2)} = \sqrt{3} \frac{I_b}{X_1^* + X_2^*};$$

— pentru scurtcircuitul bifazat cu punere la pămînt:

$$I_1^{(1,1)} = \frac{I_b}{X_1^* + \frac{X_2^* X_0^*}{X_2^* + X_0^*}}; \quad I_k^{(1,1)} = m^{(1,1)} \frac{I_b}{X_1^* + \frac{X_2^* \cdot X_0^*}{X_2^* + X_0^*}}. \quad (8.122)$$

În ultimele patru relații s-a considerat  $U^* = 1$ , adică s-a ales tensiunea de bază egală cu tensiunea medie a locului de scurtcircuit.

Determinarea curentului de șoc la scurtcircuit se face cu ajutorul relației (8.10), în care se consideră că amplitudinea curentului supratranzitoriu inițial își păstrează practic valoarea inițială în timpul unei semiperioade și se ține seama numai de amortizarea componentei aperiodice de curent.

*Observație.* În calculul curentului supratranzitoriu nu s-a ținut seama de sarcina electrică (motoare sincrone, asincrone) a cărei comportare în momentul inițial, depinde de valoarea tensiunii remanente în punctul de conectare al acesteia sau de depărtarea relativă față de locul de scurtcircuit.

*Motoarele sincrone* se caracterizează în momentul inițial al perturbării bruște a regimului ca și generatoarele sincrone, prin reactanțele supratranzitorii după cele două axe și prin tensiunile electromotoare corespunzătoare, aplicate în spatele acestora, valorile ultimelor mărimi depinzînd de regimul anterior de excitație. La motorul sincron supraexcitat sau la compensatorul

sincron, tensiunea electromotoare supratranzitoare  $E''$  este totdeauna mai mare decât tensiunea aplicată  $U$ . De aceea, la orice scădere bruscă a tensiunii, curentul reactiv debitat de motoare în rețea crește. Nu același lucru se petrece dacă motoarele sincrone funcționează subexcitat, când acestea consumă curent reactiv din rețea, deoarece  $E'' < U$ . În cazul particular  $E'' = U$  motoarele sincrone nu participă la scurtcircuit în momentul inițial.

Introducerea în schema echivalentă a motoarelor și compensatoarelor sincrone se poate face considerând următoarele valori ale parametrilor, exprimate în unități relative pentru condiții nominale:

- motoare sincrone:  $X_m'' = 0,20$ ;  $E_m'' = 1,10$ ;
- compensatoare sincrone:  $X_c'' = 0,20$ ;  $E_c'' = 1,20$ .

*Motoarele asincrone* în regim normal de funcționare au o alunecare redusă ( $2 \div 5\%$ ), fapt care face ca în momentul inițial al procesului de scurtcircuit ele să se comporte analog motoarelor sincrone subexcitate. Având în vedere simetria magnetică perfectă a rotoarelor acestora, ele se vor caracteriza printr-o reactanță supratranzitorie care reprezintă reactanța de scurtcircuit când alunecarea  $s = 100\%$  (motorul este frînat). Mărimea relativă a acestei reactanțe se determină practic în funcție de curentul relativ de pornire (la pornirea fără reostat), cu ajutorul relației

$$X_m'' = \frac{1}{I_p} \quad (8.123)$$

și este cuprinsă în limitele de  $0,2 \div 0,35$ , în funcție de tipul și de puterea nominală a motoarelor.

Tensiunea electromotoare supratranzitorie care trebuie conectată în spațele acestei reactanțe se poate considera egală cu o valoare medie relativă  $E'' = 0,9$ . Participarea motorului asincron în momentul inițial al perturbării bruște a regimului este determinată de raportul dintre  $E''$  și tensiunea care se modifică brusc de la locul de conectare al acestuia în rețea.

În calculele practice ale curentului supratranzitoriu inițial se consideră separat numai motoarele cu puteri nominale ridicate (de ordinul megawați), în funcție de extinderea rețelei avariate și de elementele componente ale acesteia. Toate celelalte motoare împreună cu alți consumatori de energie se introduc sub forma unor sarcini generalizate, caracterizate printr-o reactanță supratranzitorie și tensiunea electromotoare corespunzătoare, ale căror mărimi relative la puterea totală a sarcinii (MVA) și tensiunea nominală medie a treptei unde aceasta este conectată, au valorile aproximative:

$$X_{sarc}'' = 0,35 \quad \text{și} \quad E'' = 0,85.$$

Având în vedere aceste considerații, relațiile (8.48), (8.116) și (8.118) se pot completa cu un termen determinat de sarcina electrică. Creșterea maximă a curentului supratranzitoriu inițial are loc când reactanța interioară de scurtcircuit este egală cu zero. În aceste condiții curentul de șoc la scurtcircuit va fi calculat cu relația:

$$i_{\text{șoc}} = k_{\text{ș}} \sqrt{2} I_0'' + k_{\text{șm}} \sqrt{2} I_m'', \quad (8.124)$$

în care:  $I_m''$  reprezintă curentul supratranzitoriu inițial debitat de motoare;  $k_{\text{șm}}$  — coeficientul de șoc la scurtcircuit al acestor motoare, ale căror valori variază în funcție de tipul sarcinii. La motoarele asincrone



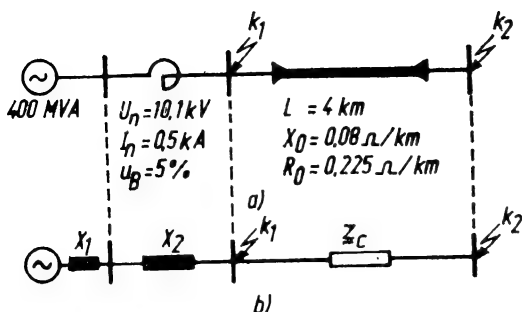


Fig. 8.36. Schema rețelei avariate de un scurtcircuit trifazat corespunzătoare aplicației 8.1:  
a — schema inițială; b — schema echivalentă

de supraalimentare provocat de motoarele asincrone sau de sarcina considerată în ansamblu la scurtcircuitele nesimetrice se manifestă în mică măsură, în raport cu scurtcircuitul trifazat. În acest caz, la calculul curentului de șoc, sarcina se poate neglija, exceptând cazurile unor motoare asincrone mari conectate direct în punctul de scurtcircuit.

**Aplicația 8.1.** Să se calculeze curenții de scurtcircuit trifazat în rețeaua de distribuție de 10 kV dată în figura 8.36 ținând seama că defectele se produc în punctele  $k_1$  și  $k_2$ . Puterea de scurtcircuit la barele sistemului care alimentează defectul este 400 MVA. Pe fider se află montată o bobină de inductanță cu caracteristicile indicate în figura 8.36, a.

**Rezolvare.** Se determină reactanțele și impedanțele elementelor circuitului, în ohmi și se obține:

— reactanța sistemului:  $X_1 = \frac{10,5^2}{400} = 0,276 \Omega$ ;

— reactanța bobinei de inductanță:  $X_2 = \frac{5}{100} \cdot \frac{10}{1,73 \cdot 0,5} = 0,578 \Omega$ ;

— impedanța fiderului:

$$Z_c = (0,225 + j 0,08) 4 = (0,9 + j 0,32) \Omega.$$

Reactanța și impedanța echivalentă punctelor de scurtcircuit au valorile:

$$X_{k_1} = 0,276 + 0,578 = 0,854 \Omega;$$

$$Z_{k_2} = (0,9 + j 1,174) \Omega,$$

iar curenții de scurtcircuit corespunzători punctelor  $k_1$  și  $k_2$  (componentele periodice):

$$I_{k_1} = \frac{10,5}{1,73 \cdot 0,854} = 7,107 \text{ kA}; \quad (i_{\text{șoc}})_{k_1} = \sqrt{2} \cdot 1,8 \cdot 7,107 = 18,03 \text{ kA};$$

$$(I_{\text{șoc}})_{k_1} = 1,52 \cdot 7,107 = 10,8 \text{ kA};$$

$$I_{k_2} = \frac{10,5}{1,73 \sqrt{0,9^2 + 1,174^2}} = 4,079 \text{ kA}.$$

mari  $k_{sm} \approx 1,8$  și scade la aproximativ 1,5—1,6 când puterea nominală a acestora se reduce sub 200 kW. La motoarele mici, sau în cazul unor sarcini generalizate,  $k_{sm} \approx 1$ , iar la motoarele și compensatoarele sincrone  $k_{sm}$  are aceleași valori ca la generatoarele sincrone de puteri similare.

În cazul scurtcircuitelor nesimetrice, tensiunea de succesiune directă este totdeauna mai mare decât la un scurtcircuit trifazat în același punct. De aceea, efectul

Pentru determinarea constantei de timp din relația de calcul a coeficientului de șoc se utilizează datele reale ale problemei. Astfel:

$$T_{k_2} = \frac{X_{k_2}}{R_{k_2} \omega} = \frac{1,174}{314 \cdot 0,9} = 0,0042 \text{ s};$$

$$(k_{\text{șoc}})_{k_2} = \left(1 + e^{-\frac{t}{T_{k_2}}}\right) = \left(1 + e^{-\frac{0,01}{0,0042}}\right) = 1,1;$$

$$(i_{\text{șoc}})_{k_2} = 1,1 \cdot \sqrt{2} \cdot 4,079 = 6,33 \text{ kA};$$

$$(I_{\text{șoc}})_{k_2} = \sqrt{1 + 2(1,1 - 1)^2} \cdot 4,079 = 4,12 \text{ kA}.$$

*Observație.* În calculele practice de scurtcircuit, considerarea sistemului electric se face aproximativ. În lipsa datelor necesare care să caracterizeze sistemul, acesta se consideră ca o sursă de putere infinită, a cărei participare la alimentarea scurtcircuitului este limitată numai de reactanțele acelor elemente-linii, bobine, transformatoare — care efectuează legătura dintre sistem și punctul de scurtcircuit. Dacă însă se cunoaște valoarea curentului supratranzitoriu inițial  $I''$  sau puterea corespunzătoare  $S_k''$  la un scurtcircuit trifazat oarecare al sistemului, se poate determina reactanța lui, în raport cu acest punct, cu relația:

$$X_s = \frac{U_{med}}{\sqrt{3}I''} = \frac{U_{med}^2}{S_k''} \quad \Omega]$$

sau în unități relative:

$$X_{s(b)}^* = \frac{I_b}{I''} = \frac{S_b}{S_k''},$$

unde:  $U_{med}$  reprezintă tensiunea medie a acelei trepte unde se cunoaște  $I''(S_k'')$ ;

$I_b$  — curentul de bază la aceeași treaptă la care s-a considerat  $I''$ .

Sursa de putere infinită se va considera conectată în spatele acestei reactanțe, așa cum s-a considerat și în această aplicație.

*Aplicația 8.2.* Să se determine curentul de șoc la scurtcircuit trifazat din rețeaua prezentată în figura 8.37, considerînd și influența sarcinilor. Caracteristicile elementelor rețelei sînt indicate în figură. Curentul de șoc va fi determinat pentru punctele de scurtcircuit din  $k_1$  și  $k_2$ . În punctul  $k_2$  se consideră că sarcina este formată din motoare asincrone mari, care sînt caracterizate prin următoarele elemente  $E''^* = 0,9$  și  $X_m''^* = 0,20$ . Sarcina conectată la bara centralei de 200 MW, a cărei valoare este de 80 MVA, se consideră ca o sarcină generalizată în care  $E''^* = 0,85$  și  $X_m''^* = 0,35$ . În ambele cazuri, se vor compara rezultatele cu situația în care se neglijează sarcinile.

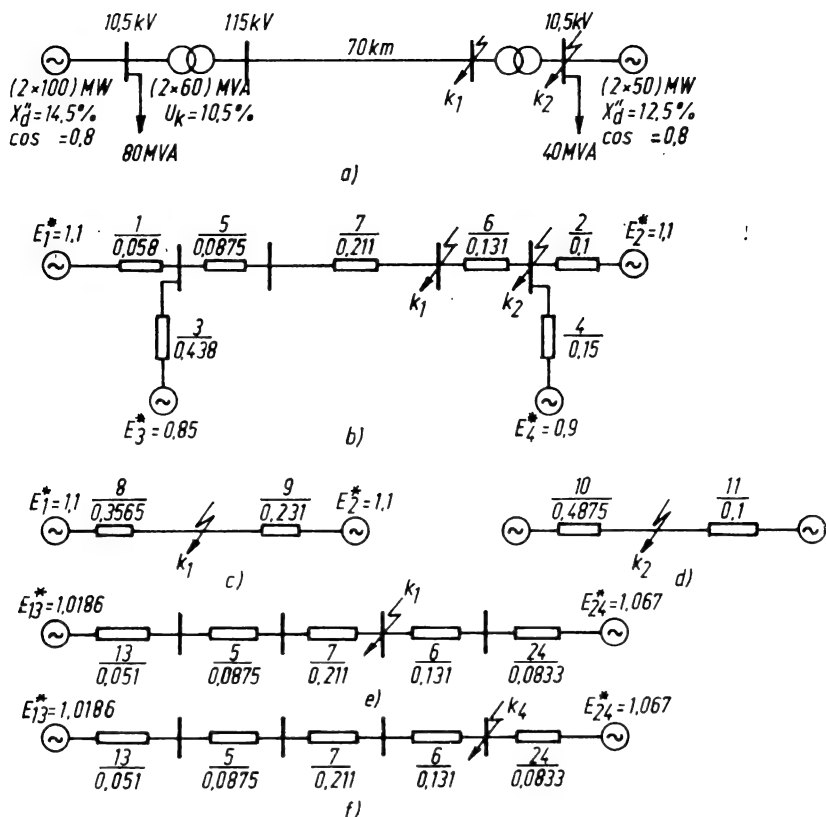


Fig. 8.37. Schema rețelei avariata de un scurtcircuit trifazat corespunzătoare aplicației 8.2:

a – schema inițială; b – schema echivalentă; c, d, e, f – scheme echivalente intermediare reduse.

### a. Determinarea curenților fără considerarea sarcinilor

Pentru calcularea reactanțelor se consideră  $S_b = 100$  MVA și  $U_b = U_{med} = 115$  kV. Tensiunile electromotoare supratranzitorii relative ale centralelor electrice se aleg, conform indicațiilor anterioare, egale cu o valoare medie de 1,1.

Reactanțele relative ale elementelor rețelei se calculează cu relația (8.96) și au valorile:

$$X_1^* = \frac{14,5}{100} \cdot \frac{100}{200} \cdot 0,8 = 0,058; \quad X_2^* = \frac{12,5}{100} \cdot \frac{100}{100} \cdot 0,8 = 0,1;$$

$$X_3^* = \frac{35}{100} \cdot \frac{100}{80} = 0,438; \quad X_4^* = \frac{20}{100} \cdot \frac{100}{40} = 0,5;$$

$$X_5^* = \frac{10,5}{100} \cdot \frac{100}{120} = 0,075; \quad X_6^* = \frac{10,5}{100} \cdot \frac{100}{80} = 0,131;$$

$$X_7^* = 0,4 \cdot 70 \frac{100}{115^2} = 0,211.$$

Schemele echivalente corespunzătoare celor două puncte de scurtcircuit sînt date în figurile 8.37, *c* și *d*, în care:

$$X_8^* = X_1^* + X_5^* + X_7^* = 0,3565;$$

$$X_9^* = X_2^* + X_6^* = 0,231;$$

$$X_{10}^* = X_8^* + X_6^* = 0,4875; \quad X_{11}^* = X_2^* = 0,10.$$

Reactanțele echivalente finale ale celor două scheme date în figurile 8.37, *c* și *d* au valorile:

$$(X_e^*)_{k_1} = X_8^* \parallel X_9^* = 0,14; \quad (X_e^*)_{k_2} = X_{10}^* \parallel X_{11}^* = 0,083.$$

Curenții supratranzitorii inițiali, curenții de șoc la scurtcircuit și valorile efective ale curenților de șoc sînt:

$$(I_0'')_{k_1} = (I_0'')_{k_1} \cdot I_b = \frac{1,1}{0,14} \cdot \frac{100}{\sqrt{3} \cdot 115} = 3,95 \text{ kA};$$

$$(i_{\text{șoc}})_{k_1} = 2,55 \cdot 3,95 = 10,073;$$

$$(I_{\text{șoc}})_{k_1} = 1,52 \cdot 3,95 = 6 \text{ kA};$$

$$(I_0'')_{k_2} = (I_0'')_{k_2} \cdot I_b = \frac{1,1}{0,083} \cdot \frac{100}{\sqrt{3} \cdot 10,5} = 72,96 \text{ kA};$$

$$(i_{\text{șoc}})_{k_2} = 2,55 \cdot 72,96 = 186 \text{ kA};$$

$$(I_{\text{șoc}})_{k_2} = 1,52 \cdot 72,96 = 110,9 \text{ kA}.$$

#### b. Determinarea curenților cu considerarea sarcinilor

În acest caz, se pun mai întîi în paralel tensiunile electromotoare  $E_1$  și  $E_3$ ,  $E_2$  și  $E_4$ , precum și reactanțele corespunzătoare obținînd următoarele rezultate:

$$E_{13}^* = E_1^* \parallel E_3^* = \frac{\frac{1,1}{0,058} + \frac{0,85}{0,438}}{\frac{1}{0,058} + \frac{1}{0,438}} = 1,0186;$$

$$X_{13}^* = X_1^* \parallel X_3^* = 0,051;$$

$$E_{24}^* = E_2^* \parallel E_4^* = \frac{\frac{1,1}{0,1} + \frac{0,9}{0,5}}{\frac{1}{0,1} + \frac{1}{0,5}} = 1,070;$$

$$X_{24}^* = X_2^* \parallel X_4^* = 0,0833.$$

Schemele echivalente corespunzătoare sînt date în figurile 8.37, *e* și *f*, din care reies următoarele rezultate:

— pentru schema din figura 8.37, *e*:

$$X_{12}^* = X_{13}^* + X_5^* + X_7^* = 0,051 + 0,0875 + 0,211 = 0,3495;$$

$$X_{14}^* = X_{24}^* + X_6^* = 0,0833 + 0,131 = 0,2143;$$

$$(E_e^*)_{k_1} = \frac{\frac{1,0186}{0,3495} + \frac{1,070}{0,2143}}{\frac{1}{0,3495} + \frac{1}{0,2143}} = 1,052;$$

$$(X_e^*)_{k_1} = X_{12}^* \parallel X_{14}^* = \frac{0,3495 \cdot 0,2143}{0,5638} = 0,1308.$$

Curentul supratranzitoriu inițial și curentul de șoc au valorile:

$$(I_0'')_{k_1} = (I_0^*)_{k_1} \cdot I_b = \frac{1,052}{0,1308} \cdot \frac{100}{\sqrt{3} \cdot 115} = 4,043 \text{ kA};$$

$$(i_{\text{șoc}})_{k_1} = 2,55 \cdot 4,043 = 10,31 \text{ kA};$$

$$(I_{\text{șoc}})_{k_1} = 1,52 \cdot 4,043 = 6,15 \text{ kA};$$

— pentru schema din figura 8.37, *f*:

$$X_{15}^* = X_{13}^* + X_5^* + X_7^* + X_6^* = 0,051 + 0,0875 + 0,211 + 0,131 = 0,4805.$$

$$X_{16}^* = X_{24}^* = 0,0833;$$

$$(E_e^*)_{k_2} = \frac{\frac{1,0186}{0,4805} + \frac{1,07}{0,0833}}{\frac{1}{0,4805} + \frac{1}{0,0833}} = 1,063;$$

$$(X_e^*)_{k_2} = X_{15}^* \parallel X_{16}^* = \frac{0,4805 \cdot 0,0833}{0,5638} = 0,071.$$

Curentul supratranzitoriu inițial și curentul de șoc au valorile:

$$(I_0'')_{k_2} = (I_0^*)_{k_2} \cdot I_b = \frac{1,063}{0,071} \cdot \frac{100}{\sqrt{3} \cdot 10,5} = 82,42 \text{ kA};$$

$$(i_{\text{șoc}})_{k_2} = 2,55 \cdot 82,42 = 210,17 \text{ kA};$$

$$(I_{\text{șoc}})_{k_2} = 1,52 \cdot 82,42 = 125,28 \text{ kA}.$$

*Observații.* 1. Curenții de șoc la scurtcircuit au fost determinați cu aproximație în plus, deoarece s-a acceptat un coeficient de șoc global (sursă + sarcină) egal cu 1,8.

2. Se constată că sarcina contribuie la creșterea curentului supratranzitoriu inițial și, indirect, a curenților de șoc la scurtcircuit. În cazul unor scurtcircuite care sînt îndepărtate electric, influența sarcinii este redusă și în consecință, considerarea ei se poate neglija. Pentru scurtcircuitul din punctul  $k_1$ , influența sarcinii este numai 2%. Dacă scurtcircuitele se produc la bare la care sînt conectate și motoare electrice, atunci influența acestora crește. Pentru precizia calculelor, dacă sarcina se compune din motoare asincrone și sincrone mari sau compensatoare sincrone, se poate ține seama de influența ei prin considerarea parametrilor indicați mai sus. În cazul scurtcircuitului din punctul  $k_2$  această influență este de aproximativ 13%.

**8.3.3.2. Metode grafo-analitice.** Metoda analitică de calcul aplicată fie în unități absolute, fie în unități relative, a permis determinarea curentului supratranzitoriu inițial (sau tranzitoriu inițial) și a curentului de șoc (amplitudinea și valoarea maximă a acestuia), care, în esență, reprezintă solicitările maxime la scurtcircuit trifazat ale rețelelor electrice. În unele cazuri însă, ca de exemplu, la reglarea timpilor de acționare a protecției prin relee a instalațiilor electrice sau la determinarea capacității de rupere a întreruptoarelor, este nevoie să se cunoască intensitatea curentului de scurtcircuit trifazat, în diferite momente după producerea defectului ( $t = 0$ ;  $t = 0,1$  s;  $t = 0,2$  s;  $t = \infty$ ). Acest lucru se poate efectua cu ajutorul unor metode grafo-analitice, cum ar fi *metoda caracteristicilor liniarizate* sau *metoda curbelor de calcul*.

În cele ce urmează va fi expusă numai metoda *curbelor de calcul* care este des utilizată la determinarea curenților de scurtcircuit, fiind relativ simplă de aplicat și, în majoritatea cazurilor, suficient de exactă. Această metodă folosește curbe speciale, care permit obținerea, pentru un moment oarecare al procesului de scurtcircuit, a intensității componentei periodice a curentului la locul de defect, în funcție de așa-numita *reactanță de calcul* sau *reactanța teoretică*. Trasarea curbelor de calcul este efectuată, de obicei, pentru o schemă echivalentă simplă ca cea din figura 8.38, în care reactanța de calcul formată din suma dintre reactanța supratranzitorie a generatorului  $X_d''$  și reactanța pînă la locul de scurtcircuit  $X_k$ , a fost variată în funcție de aceasta din urmă. Pentru valori medii ale parametrilor generatorului și pentru diferite distanțe de scurtcircuit, în schema echivalentă din figura 8.38, s-au calculat intensitățile componentelor periodice ale curenților de scurtcircuit trifazat pentru mai multe momente ale procesului de scurtcircuit. Rezultatele obținute au fost folosite pentru trasarea curbelor de calcul de forma celor prezentate în figura 8.39 corespunzătoare unor turbo și hidrogenatoare cu puteri medii de 50÷100 MW, în care curenții și reactanțele de calcul sînt exprimate în unități relative și raportate la condițiile nominale ale

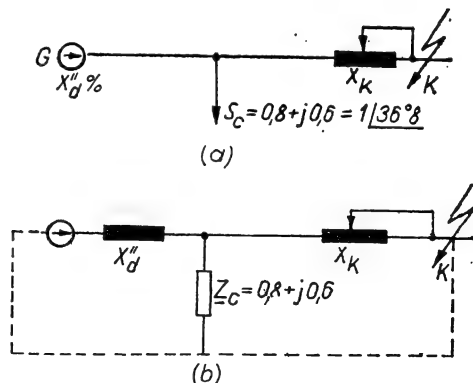


Fig. 8.38. Schema electrică pentru construirea curbelor de calcul:

a — schema inițială; b — schema echivalentă finală.

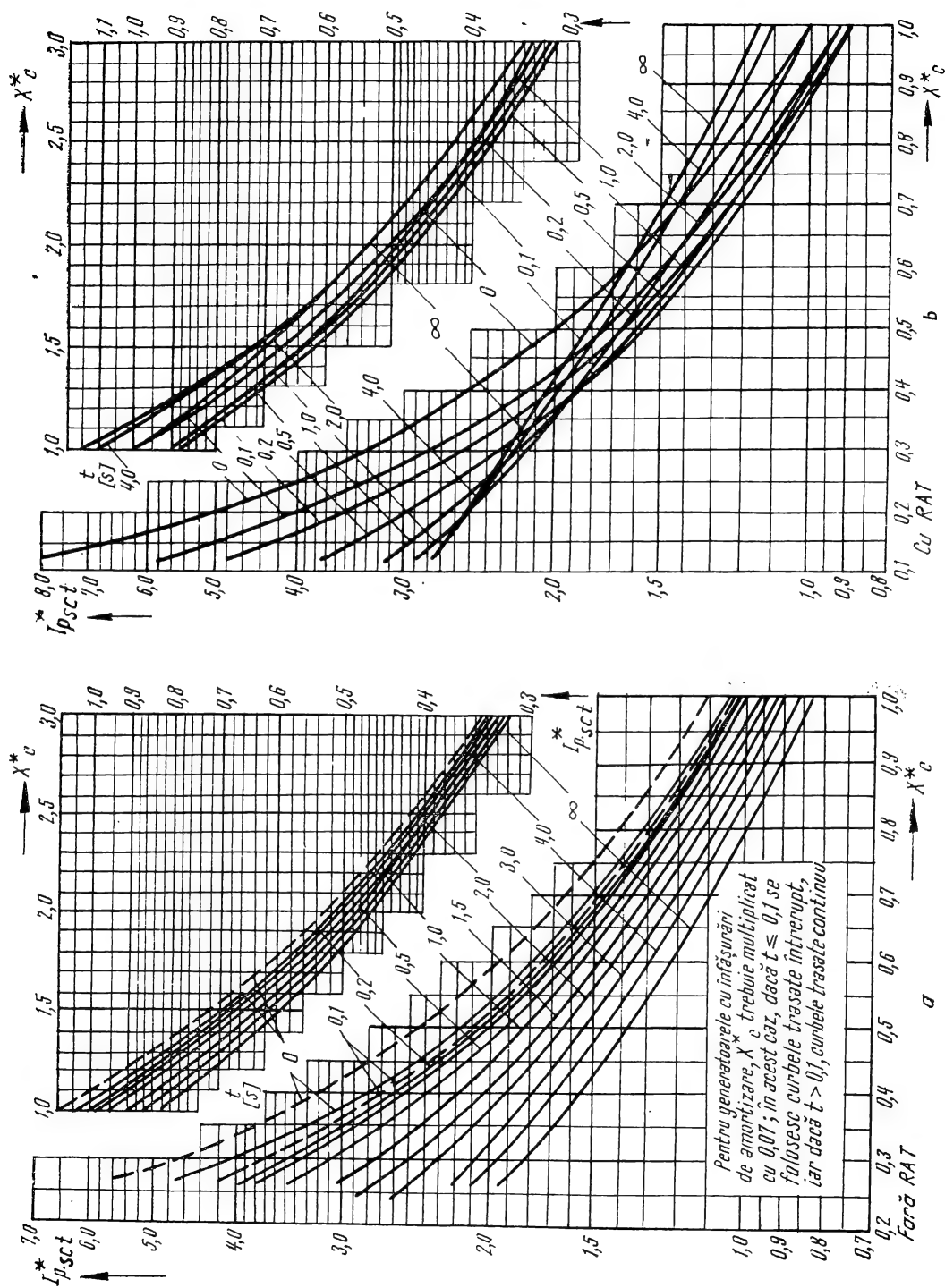


Fig. 8.39. Curbele de calcul ale curenților de scurtcircuit trifazat (componenta periodică):

a, b — pentru turbogeneratoare;

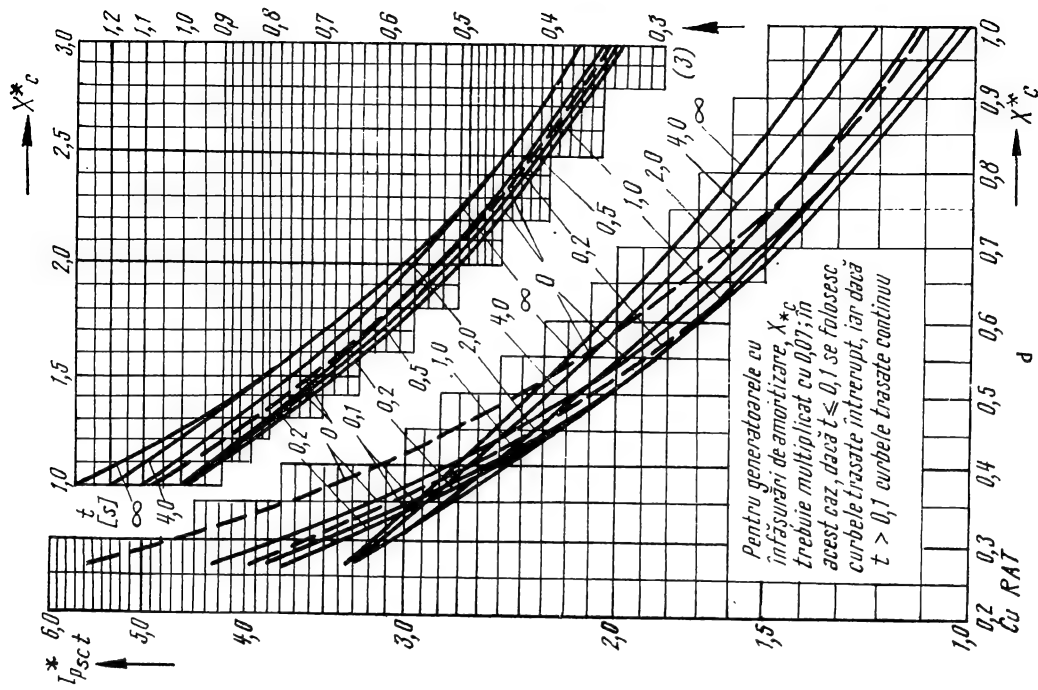
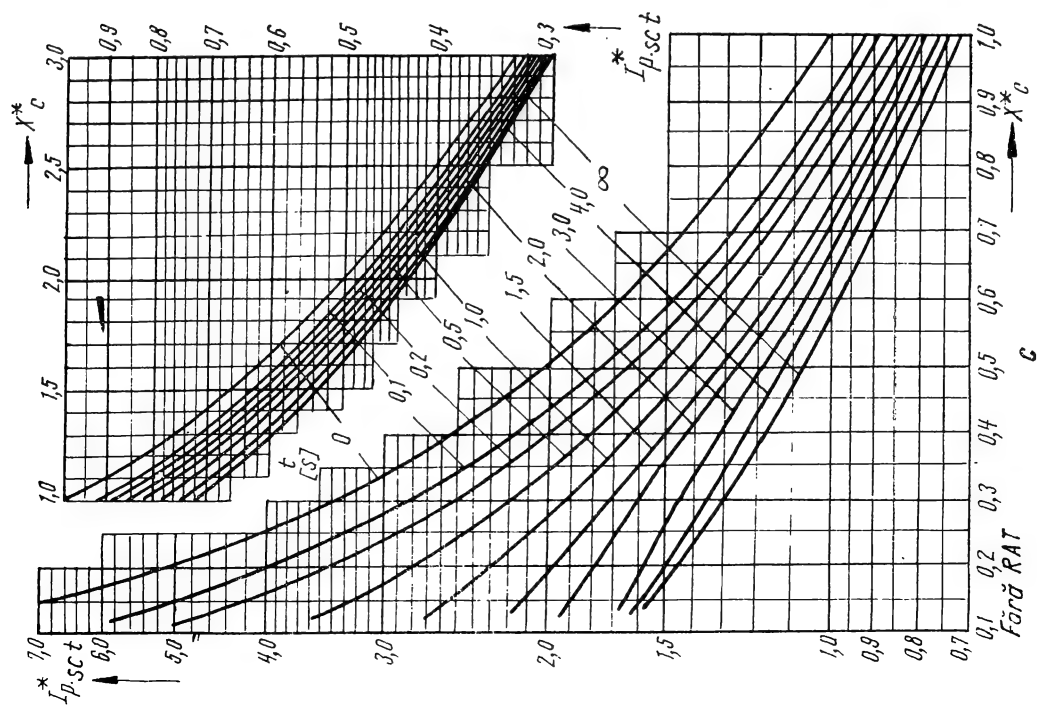


Fig. 8.39 (continuare)  
c, d — pentru hidrogenatoare.



generatoarelor. Trasarea unor curbe separate pentru turbo și hidrogenatoare a fost impusă de faptul că parametrii acestora se deosebesc mult între ei. La trasarea curbilor s-a considerat că generatorul a funcționat, înaintea producerii scurtcircuitului, la sarcină nominală cu  $\cos \varphi = 0,8$  și la tensiunea nominală, iar consumatorul s-a reprezentat printr-o impedanță de valoare relativă  $Z_c = 0,8 + j 0,6$ , considerată constantă în decursul întregului proces de scurtcircuit.

Curbele de calcul sînt construite pentru o reactanță de calcul pînă la valoarea  $X_c^* = 3$ . Pentru  $X_c^* > 3$  se consideră că scurtcircuitul este foarte îndepărtat electric de sursa generatoare, astfel că variația curentului în timp este atît de neînsemnată, încît el poate fi considerat practic constant pe parcursul procesului de scurtcircuit și egal cu valoarea sa inițială.

Din analiza figurii 8.39 se constată că pentru  $X_c^* \geq 1$  curbele de calcul ale generatoarelor de diferite tipuri coincid. Întreținerea lor pentru diverși timpi, mai ales în domeniul unor valori mici ale reactanțelor de calcul, este o consecință a acțiunii reglajului automat al tensiunii (forțarea excitației).

Pentru aflarea intensității componentei periodice a curentului de scurtcircuit trifazat cu ajutorul curbilor de calcul se recomandă următoarea succesiune a operațiilor de calcul.

a. Se întocmește schema echivalentă a sistemului dat, în care generatoarele se introduc prin reactanțele lor supratranzitorii; sarcinile nu se iau în considerație, cu excepția compensatoarelor sincrone și a motoarelor asincrone, mari, aflate în apropierea locului de scurtcircuit, care se pot reprezenta ca generatoare de putere egală.

b. Folosind diferite transfigurări ale schemei inițiale, se găsește reactanța echivalentă în raport cu locul de scurtcircuit, corespunzătoare celei mai simple scheme finale.

c. Se determină reactanța de calcul  $X_c^*$  în unități relative pentru puterea nominală totală a generatoarelor:  $S_N = S_{N1} + S_{N2} + \dots + S_{Nm}$ , care participă la alimentarea scurtcircuitului, cu ajutorul relației:

$$X_c^* = X_b^* \cdot \frac{S_N}{S_b}. \quad (8.125)$$

d. Pe diagramele din figurile 8.39, a, b, c, d se ia în abscisă valoarea reactanței de calcul și se trasează o verticală, care intersectează curbele în punctele de ordonate corespunzătoare valorilor efective ale componentei periodice a curentului de scurtcircuit  $I_{pkl}^*$ , la diferite momente:  $t = 0$  s;  $t = 0,1$  s;  $t = 0,2$  s;  $t = \infty$ .

Valoarea căutată a componentei periodice a curentului de scurtcircuit pentru fiecare moment este:

$$I_{pkl}^* = I_{pkl}^* \cdot I_N = I_{pkl} \frac{S_N}{\sqrt{3} U_{med}}, \quad (8.126)$$

în care curentul nominal al generatoarelor este raportat la tensiunea medie,  $U_{med}$ , corespunzătoare treptei de tensiune unde se consideră scurtcircuitul.

Dacă reactanța de calcul este mai mare decît 3, scurtcircuitul este departe de sursa generatoare și componenta periodică se calculează cu relația:

$$I_{pk} = \frac{I_N}{X_c^*} = \frac{I_b}{X_b^*}. \quad (8.127)$$

e. Deoarece pentru aceleași condiții de bază valorile relative ale curentului și ale puterii de scurtcircuit coincid, curbele de calcul permit, în același timp, determinarea puterilor relative de scurtcircuit la diferite momente ( $I_{pk_i}^* = kS_{ki}^*$ ), iar relațiile (8.126) și (8.127) își mențin valabilitatea.

*Observații. 1.* Calculul considerat la punctele *a—e* a presupus un generator echivalent și o variație comună a curentului de scurtcircuit pentru toate generatoarele care au compus schema echivalentă unică. El conduce la condiții medii pentru generatorul unic, apropiate de cele în care se găsesc generatoarele cele mai mari. Însă puterea unui generator nu indică și contribuția acestuia la valoarea curentului de scurtcircuit. Dacă un generator puternic este foarte îndepărtat de locul de scurtcircuit, participarea sa la curentul de scurtcircuit poate fi mult mai redusă decât a unui generator de putere mică care se află situat în apropierea locului de scurtcircuit. Prin urmare, variația reală a curentului de scurtcircuit este influențată, în principal, de variația curentului generatorului situat cel mai apropiat de locul de defect, fapt care nu se oglindește în suficientă măsură în calculul după regula variației comune.

Pentru a putea utiliza metoda curbelor de calcul cu precizie satisfăcătoare, cînd distanțele surselor sînt mult diferite față de locul de scurtcircuit, se calculează separat participarea fiecărei surse la curentul de defect. În cazul unei rețele ca cea dată în figura 8.40, scurtcircuitată în punctul  $K_1$ , de exemplu, se poate constata că reducerea schemei la o sursă echivalentă unică se face fără a comite erori, deoarece toate generatoarele se află în condiții similare care corespund, în particular, cu condițiile pentru care au fost construite curbele de calcul.

Aceeași reducere la o sursă unică se poate face și cînd scurtcircuitul este situat în punctele  $K_2$  sau  $K_3$  cu toate că în acest caz generatorul  $G_2$  este situat la o distanță electrică mai mare decât celelalte două. La scurtcircuit în punctul  $K_4$  generatoarele  $G_1$  și  $G_3$  se află în condiții mult diferite față de generatorul  $G_2$ . În acest caz, reducerea lor la o sursă echivalentă conduce la erori în aplicarea curbelor de calcul. Aici se impune soluția mai corectă, care constă în reducerea schemei la două surse echivalente și determinarea separată a curenților generatorului  $G_2$  și al celeilalte ramuri, formată din generatoarele  $G_1$  și  $G_3$ . Curentul de scurtcircuit va rezulta prin însumarea celor doi curenți care corespund surselor echivalente.

2. În cadrul sistemelor electrice, există, de obicei, atît turbogeneratoare, cît și hidrogeneratoare. În acest caz, pentru determinarea curentului de scurtcircuit într-un punct oarecare, este necesar să se reducă sistemul la cel puțin două surse echivalente, corespunzătoare centralelor termoelectrice și respectiv, celor hidroelectrice.

3. Dacă există scurtcircuite pentru care condițiile electrice sînt mult diferite și sistemul are

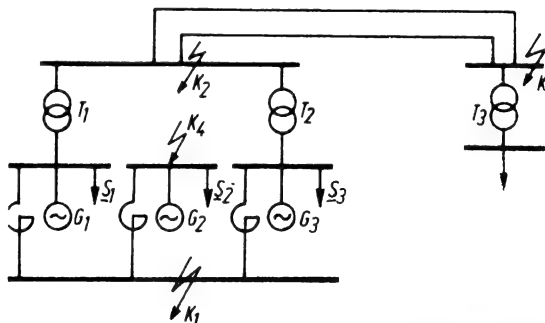


Fig. 8.40. Schema electrică a unui sistem redus la o sursă unică pentru anumite cazuri de scurtcircuit.

atît centrale hidro, cît și termoelectrice, atunci schema echivalentă poate fi redusă la mai multe surse generatoare independente între ele. În acest caz, se determină pentru fiecare dintre acestea reactanța de calcul, raportată la puterea nominală totală a generatoarelor ramurii date, și corespunzător, după curbele de calcul respective, pentru momentul  $t$  care interesează, valorile curenților relativi  $I_{p_{kt_1}}^*$ ,  $I_{p_{kt_2}}^*$ , ... Componenta periodică a curentului de scurtcircuit căutată la locul de defect va fi:

$$I_{p_{kt}} = I_{p_{kt_1}}^* \cdot I_{N1} + \dots + I_{p_{kt_k}}^* \cdot I_{Nk}, \quad (8.128)$$

unde  $I_{N_k}$  reprezintă curenții nominali ai diferitelor ramuri generatoare, raportați la tensiunea  $U_{m-d}$ , corespunzătoare sectorului de rețea în care s-a produs scurtcircuitul.

4. Dacă în sistem există și surse de putere infinită, acestea trebuie considerate în mod necesar într-o ramură independentă, pentru care curentul se poate determina cu relația (8.118), ținînd seama de reactanța relativă a acesteia. Valoarea curentului se consideră constantă în tot timpul procesului de scurtcircuit.

5. Metoda curbelor de calcul poate fi folosită și în cazul scurtcircuitelor nesimetrice pentru determinarea curentului de succesiune directă într-un moment oarecare al procesului de scurtcircuit. În acest scop, se va determina reactanța de calcul a schemei echivalente de succesiune directă, în care în punctul de scurtcircuit se conectează o reactanță suplimentară echivalentă  $X_e^{(n)}$  specifică fiecărui tip de scurtcircuit, indicată în tabela 8.2. Dacă la un scurtcircuit trifazat în punctul considerat, reactanța de calcul este  $X_c^{*(3)}$ , la un scurtcircuit nesimetric, în același punct, reactanța de calcul este:

$$X_c^{*(n)} = X_c^{*(3)} \left( 1 + \frac{X_e^{*(n)}}{X_{1e}^*} \right), \quad (8.129)$$

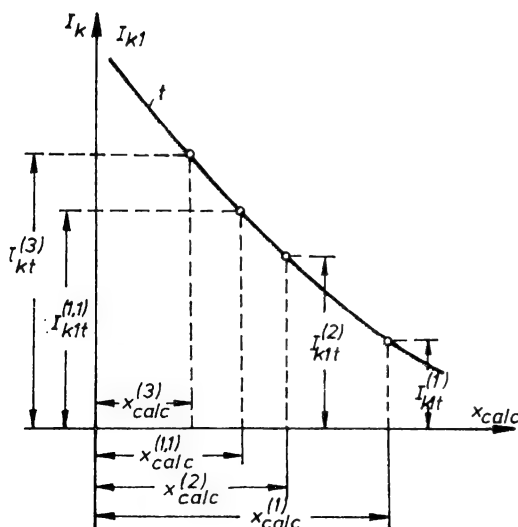


Fig. 8.41. Utilizarea curbelor de calcul pentru determinarea componentei periodice a curenților de scurtcircuit nesimetric.

în care  $X_{1e}^*$  reprezintă reactanța echivalentă a schemei de succesiune directă determinată în raport cu punctul de scurtcircuit și în raport cu cerințele acestei metode.

Relația (8.129) se poate aplica atît în cazul calculului în care se consideră variația pentru un generator echivalent, cît și în cazul calculului cu considerarea variației individuale a surselor. În acest ultim caz, prin  $X_c^{*(3)}$  se va înțelege reactanța de calcul a ramurii generatoare separată de sistem.

Folosind reactanța de calcul pentru tipul de scurtcircuit se determină valoarea relativă a curentului de succesiune directă din curbele de calcul, ca în figura 8.41.

Valoarea componentei periodice a curentului într-un anumit moment, la locul de scurtcircuit nesimetric este dată de relația:

$$I_{k_i}^{(n)} = m^{(n)} \cdot I_{1i}^{*(n)} \cdot I_N \quad (8.130)$$

sau cînd se calculează după variația individuală:

$$I_{k_i}^{(n)} = m^{(n)} [I_{1i_1}^{*(n)} \cdot I_{N_1} + I_{1i_2}^{*(n)} \cdot I_{N_2} + \dots + I_{1i_k}^{*(n)} \cdot I_{N_k}] \quad (8.131)$$

unde:  $m^{(n)}$  reprezintă coeficientul caracteristic fiecărui tip de scurtcircuit nesimetric dat în tabela 8.2 și în figura 8.41;

$I_N$  — curentul nominal total al generatoarelor, raportat la tensiunea acelei trepte unde s-a produs scurtcircuitul;

$I_{1i_k}^{*(n)}$  — curenții relativi de succesiune directă obținuți din curbele de calcul pentru sursele 1, 2, ...,  $n$ ;

$I_{N_k}$  — curenții nominali ai aceluiași surse, raportați la tensiunea acelei trepte unde se consideră scurtcircuitul.

Sursa de putere infinită va fi considerată în același mod ca și la calculul scurtcircuitului trifazat. Pentru aceasta trebuie determinată reactanța în raport cu punctul de scurtcircuit, considerînd acest punct la o distanță  $X_e^{(n)}$  față de punctul real de scurtcircuit, sau altfel spus, se va considera în calcule o reactanță compusă din reactanța sistemului de putere infinită  $X_s$ , calculată ca în aplicația 8.1, și reactanța echivalentă suplimentară  $X_e^{(n)}$  ( $X = X_s + X_e^{(n)}$ ). Apoi curentul de succesiune directă debitat calculat cu reactanța totală se va aduna la curenții de aceeași succesiune debitați de celelalte generatoare.

6. În calculul scurtcircuitelor nesimetrice se poate renunța adesea la considerarea variației individuale sau se poate efectua calculul pentru un număr mai mic de ramuri separate. Acest lucru este determinat de reactanța suplimentară  $X_e^{(n)}$ , care face ca condițiile pentru diferitele generatoare la scurtcircuite nesimetrice să difere mai puțin între ele decît la un scurtcircuit trifazat în același punct.

#### 8.4. TRATAREA NEUTRULUI ÎN REȚELELE ELECTRICE

În orice sistem trifazat echilibrat direct sau invers există un *neutru electric* situat în centrul de greutate al triunghiului echilateral din figura 8.42, *a*, format din tensiunile compuse 12, 23 și 31. Într-o rețea electrică alimentată prin secundarul unui transformator cu conexiunea triunghi, de exemplu, acest neutru există și definește cele trei tensiuni simple reprezentate prin fazorii  $N1$ ,  $N2$  și  $N3$ . El se poate verifica cu ajutorul montajului electric dat în figura 8.42, *b*. Dacă cele trei lămpi incandescente sînt identice, atunci ele au la borne o tensiune de 220 V și punctul comun al lor este la potențialul neutrului electric  $N$ .

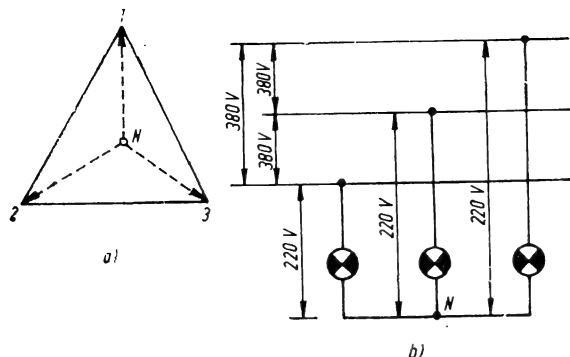


Fig. 8.42. Reprezentarea neutrului și determinarea experimentală a acestuia.

tensiunile identice. În aceste condiții, conductoarele neutre, în cazul când ele există, nu vor fi parcurse de curent, iar punctele neutre ale transformatoarelor cu înfășurările conectate în stea, vor avea potențialul față de pământ egal cu zero. În consecință, la funcționarea rețelelor în regimuri normale, simetrice, este indiferent dacă neutrul transformatoarelor este izolat sau legat la pământ.

În realitate, punctul neutru al unei rețele electrice este rar confundat cu pământul și are potențialul zero. În cele mai multe cazuri, el are un anumit potențial în raport cu pământul, creat de cele mai diverse cauze.

Astfel, dacă capacitățile față de pământ ale fazelor și rezistențele de izolație ale acestora nu sînt identice, atunci se creează o oarecare nesimetrie a rețelei care se caracterizează printr-o *deplasare* a punctului neutru în raport cu pământul.

Circuitele secundare, cu bobinele contactoarelor sau relele de protecție, sînt alimentate din ce în ce mai frecvent în curent continuu cu ajutorul unor redresoare simple, ca în figura 8.43, b. În acest caz, orice defect de izolație care se produce în aval de redresor, provoacă o creștere a potențialului rețelei de curent alternativ și în particular a neutrului acesteia. Acest potențial va fi de semn opus polarității din defect. În aceste condiții este posibil ca neutrul rețelelor de curent alternativ să aibă un *potențial continuu*, în raport cu pământul. Există chiar posibilitatea suprapunerii a două potențiale pe neutrul rețelei, unul *continuu*, celălalt *alternativ*. De asemenea, supratensiunile de origine internă sau externă pot produce creșteri importante ale potențialului neutrului transformatoarelor.

Dacă se consideră cazul extrem de punere la pământ a unei faze, capacitatea și rezistența de izolație ale acesteia devin nule, iar potențialul punctului neutru față de pământ corespunde tensiunii simple a rețelei, așa cum se observă din diagrama tensiunilor dată în figura 8.43, c. În consecință, tratarea neutrului transformatoarelor prezintă o importanță deosebită la funcționarea rețelelor în regimuri nesimetrice, când una din faze se pune accidental la pământ. Analizînd cazul prezentat în figura 8.43, c, se poate constata ușor (v. paragraful 8.2.5.) că fazele sănătoase vor avea față de pământ o tensiune egală cu tensiunea compusă a rețelei. Acest fapt face ca izolația lor să fie solicitată de  $\sqrt{3}$  ori mai mult decît în cazul funcționării rețelei în regim normal.

Dacă rețeaua este perfect izolată, potențialul acestui neutru nu este fix și poate lua orice valoare cuprinsă teoretic între zero și tensiunea simplă a rețelei la 50 Hz.

Astfel, cînd rețeaua trifazată este simetrică și nu prezintă defecte, potențialul punctului neutru coincide cu potențialul pămîntului, așa cum se observă în figura 8.43, a. Toate cele trei faze au capacitățile față de pământ, rezistențele de izolație  $\rho$  și

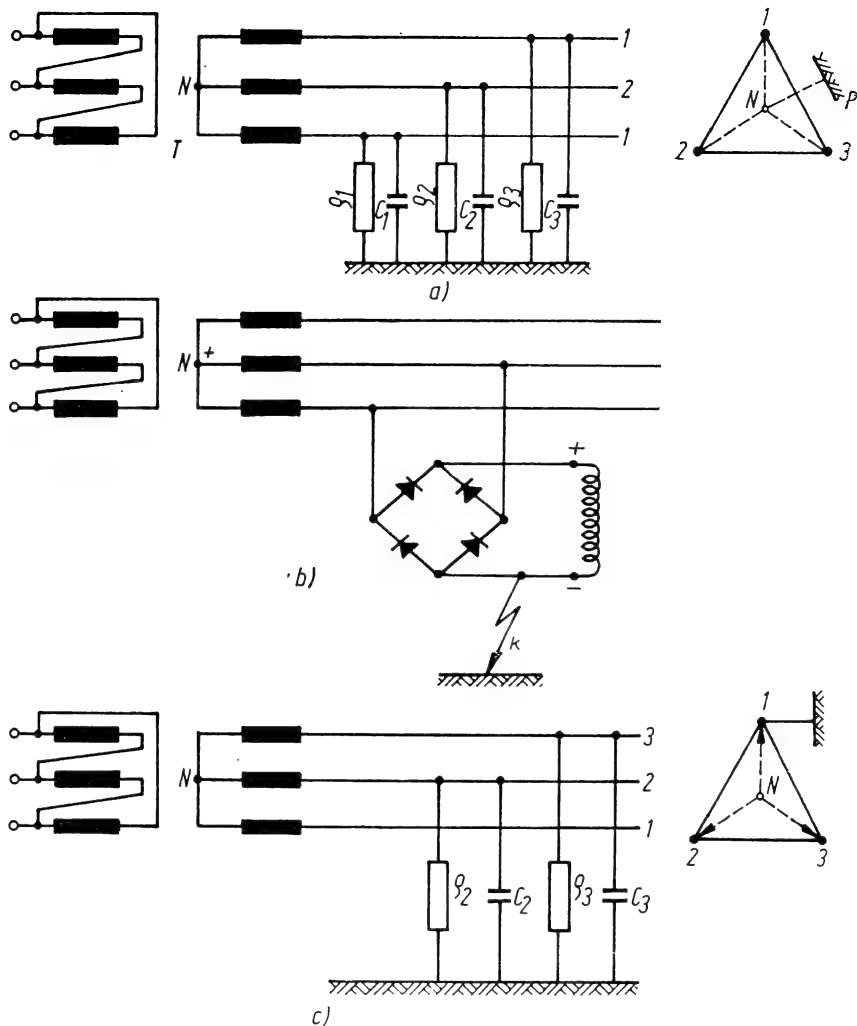


Fig. 8.43. Variația potențialului punctului neutru al unei rețele trifazate în raport cu pământul.

Dacă însă neutrul transformatoarelor va fi legat direct la pământ, atunci punerea accidentală la pământ a unei faze produce un curent de scurtcircuit monofazat.

#### 8.4.1. MODURI DE TRATARE A NEUTRULUI ÎN REȚELE ELECTRICE

Din cele de mai sus a rezultat că modul de tratare a neutrului transformatoarelor din rețele electrice determină, în anumite condiții, fie apariția unor curenți cu intensități mari, fie a unor supratensiuni.

În principal există trei metode, principial diferite, pentru tratarea neutrului transformatoarelor și anume: *neutrul legat direct la pământ*, *neutrul legat la*

pământ printr-o impedanță, în particular printr-o bobină de stingere și neutrul izolat față de pământ. Fiecare din aceste trei metode se aplică în funcție de caracteristicile și tensiunea nominală a rețelei, prezentînd avantaje și dezavantaje.

8.4.1.1. *Rețele cu neutrul legat direct la pământ.* O măsură radicală împotriva variației sensibile a potențialului punctului neutru și a supratensiunilor care o însoțesc este legarea la pământ a punctului neutru al transformatoarelor. Această metodă se utilizează, în general, pentru rețelele aeriene de înaltă tensiune de 110 kV, și se realizează printr-o legătură solidă la pământ a punctului neutru al unui sau mai multor transformatoare. În acest caz, orice punere la pământ a unei faze devine un scurtcircuit monofazat. Dacă punerea la pământ este accidentală și se realizează printr-un arc electric, atunci eliminarea defectului poate fi provocată prin declanșarea și reanclanșarea automată rapidă.

În figura 8.44 se prezintă o rețea trifazată cu neutrul legat la pământ, în care una din faze este pusă la pământ. Intensitatea curentului care circulă prin pământ, între locul defectului și neutrul legat la pământ, se poate determina cu ajutorul componentelor simetrice, așa cum s-a arătat la paragraful 8.2.5. La același rezultat se poate ajunge în mod direct, conform figurii 8.44 din care se observă că curentul care circulă prin pământ între locul defectului și neutrul legat la pământ are două componente, determinate de tensiunea fazei  $-V_1$ . Prima dintre acestea se închide direct prin înfășurarea fazei scurtcircuitate a transformatorului  $T_1$  și pământ; intensitatea sa este limitată de fluxul de scăpări a acestei faze a transformatorului  $T_1$ , care determină inductanța  $L_1$ . A doua componentă se închide pe două ramuri egale și în paralel, prin înfășurările celorlalte două faze ale transformatorului, prin cele două conductoare sănătoase, prin transformatorul  $T_2$ , cu inductanță de scăpări  $L_2$ , înapoi la locul de scurtcircuit. În acest caz, capacitățile rețelei nu au nici o importanță practică.

Curentul total de scurtcircuit care trece prin pământ este determinat de relația:

$$I_K = \frac{V_1}{\omega L_1} + 2 \frac{V_1}{\omega L_1 + \omega L_2} = \frac{V_1}{\omega L_1} \left( 1 + \frac{2}{1 + \frac{L_2}{L_1}} \right), \quad (8.132)$$

unde pentru simplificare au fost neglijate rezistențele liniilor și ale circuitelor din pământ, iar reactanțele lor au fost incluse în cele ale transformatoarelor.

Dacă transformatorul  $T_2$  de la capătul liniei are o putere mică în comparație cu cea a transformatorului legat la pământ, sau dacă linia este deconectată la acest capăt, inductanța  $L_2$  devine foarte mare în comparație cu inductanța  $L_1$ . Ca urmare, al

doilea termen din ecuația (8.132) tinde către zero, iar intensitatea curentului de scurtcircuit monofazat este determinată practic numai de inductanța înfășurării conectate la linia defectă. Dacă însă transformatorul  $T_2$  are o putere

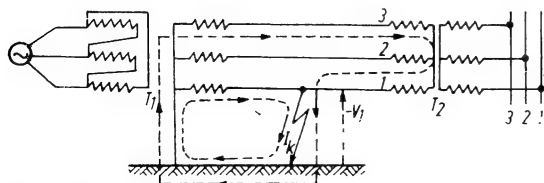


Fig. 8.44. Curentul de scurtcircuit monofazat într-o rețea trifazată.

mare, inductanța  $L_2$  este mică în comparație cu inductanța  $L_1$  și paranteza ecuației (8.132) se apropie de valoarea 3. În acest caz, transformatorul cu punctul neutru legat la pământ are practic cele trei borne scurtcircuitate și prin aceasta, reactanța de scurtcircuit a celor trei înfășurări devine  $\omega L_1/3$ . Curenții de scurtcircuit monofazat încarcă cu importante sarcini nesimetrice centralele din sistem și produc scăderea apreciabilă a tensiunii. În unele cazuri, intensitatea acestora depășește pe cea a curenților de scurtcircuit trifazat. De aceea, orice scurtcircuit monofazat determină acționarea protecției prin relee, care comandă declanșarea circuitului avariât. În acest fel se evită distrugerile care pot fi cauzate de arcul electric, iar scurtcircuitul monofazat nu se mai poate transforma în scurtcircuit bifazat sau trifazat.

De asemenea, în cazul unei legări rigide la pământ a neutrului, acele părți ale bobinajelor transformatoarelor care se află în apropierea neutrului, nu vor avea față de pământ un potențial prea mare, chiar în timpul defectului. Datorită acestui fapt este posibil ca nivelul izolației acestor bobine să fie redus față de cel al bobinelor din apropierea bornelor de înaltă tensiune ale transformatorului. O astfel de izolație în trepte a înfășurării se numește *degresivă* și costă mult mai puțin.

*Dezavantajul principal* al legării neutrului direct la pământ constă în faptul că *aparitia curenților de scurtcircuit monofazat* provoacă *perturbări în liniile de telecomunicații și în transmisiunile radiofonice*. De aceea este necesar ca pe aceste linii de telecomunicații să se monteze mijloace speciale de protecție împotriva perturbărilor produse de liniile de transport de energie electrică situate în apropiere. O soluție, utilizată și în țara noastră, constă în respectarea anumitor distanțe între liniile de telecomunicații și cele de transport de energie electrică.

Din punct de vedere al tensiunilor pe fază, simetria perfectă a acestora s-ar menține în cazul unui scurtcircuit monofazat, numai dacă rezistența prizei de legare la pământ ar fi teoretic nulă. În realitate însă, rezistența prizei de legare la pământ, deși are o valoare foarte mică, condiționează o cădere de tensiune datorită intensităților mari ale curenților de scurtcircuit monofazat. Ca urmare potențialul neutrului nu rămâne egal cu zero, ceea ce face ca tensiunea fazelor sănătoase să crească într-o oarecare măsură. Din această cauză se impune ca verificarea prizei să fie făcută frecvent, deoarece încălzirea puternică a acesteia, la trecerea curenților de scurtcircuit monofazat, provoacă o creștere a rezistenței pământului prin „coacere” și neutrul riscă să fie legat la pământ printr-o impedanță ridicată, fără ca exploatarea să fie prevenită.

Conform recomandărilor CEI, la rețelele cu neutrul legat direct la pământ, tensiunea fazelor sănătoase nu trebuie să depășească 0,8 din tensiunea între faze, în cazul unui scurtcircuit monofazat. În același timp, intensitatea curenților de scurtcircuit monofazat nu trebuie să depășească pe cea a curenților de scurtcircuit trifazat, pentru care sînt dimensionate aparatele electrice de comutație din rețele. În afara unor mijloace speciale, realizarea acestor condiții impune un anumit raport între reactanța de secvență homopolară și cea de secvență directă a rețelei, determinate față de locul de scurtcircuit, care trebuie să fie mai mare decît 1 și mai mic decît 3,  $\left(1 < \frac{X_h}{X_d} < 3\right)$ .

Această condiție se realizează legînd direct la pământ numai punctele neutre



ale unora dintre transformatoare, celelalte rămânînd izolate. În general, se recomandă ca în fiecare instalație electrică de înaltă tensiune să existe cel puțin un transformator cu *neutrul legat direct la pămînt*.

8.4.1.2. *Rețelele cu neutrul legat la pămînt prin impedențe*. Limitarea curenților de scurtcircuit în cazul unui defect monofazat poate fi realizată, fără a produce nici o repercusiune asupra funcționării rețelei în regim normal. Pentru a obține un astfel de rezultat este suficient să se monteze impedențe în conexiunile de legare la pămînt a transformatoarelor. Aceste impedențe, în mod normal, nu sînt sediul nici unui curent și în caz de scurtcircuit monofazat sînt echivalente branșării în fiecare din faze a unor impedențe de valoare triplă. Ele cresc de asemenea valoarea impedenței homopolare care nu intervine în funcționarea normală a rețelei.

Cînd rețeaua se află în regim normal de funcționare, potențialul neutrului este același cu cel al pămîntului. La apariția unui defect între o fază și pămînt, tensiunea fazelor sănătoase în raport cu pămîntul se apropie de tensiunea compusă, în funcție de valoarea impedenței conectate în neutrul transformatorului.

Fie, de exemplu, rețeaua trifazată din figura 8.45, al cărei neutr este legat la pămînt prin impedența  $Z_0$ . În cazul unei puneri la pămînt în punctul  $M$ , curentul de scurtcircuit este:

$$I_K = \frac{3 \underline{V}}{3 Z_0 + Z'_h + Z'_i + Z'_d}, \quad (8.133)$$

în care:  $Z'_h, Z'_i$  și  $Z'_d$  reprezintă impedențele de secvență homopolară, inversă și directă ale rețelei între neutr și locul de defect;

$\underline{V}$  — tensiunea pe fază a rețelei;  
 $3Z_0$  — impedența pe fază a punctului neutr.

Potențialul punctului neutr în raport cu pămîntul este determinat de căderea de tensiune în impedența  $Z_0$ , provocată de curentul de scurtcircuit:

$$\underline{V}_N = - Z_0 I_K = - 3 Z_0 I_h = \frac{- 3 Z_0 \underline{V}}{3 Z_0 + Z'_h + Z'_i + Z'_d} \quad (8.134)$$

în care:  $I_h$  este componenta homopolară a curentului de scurtcircuit.

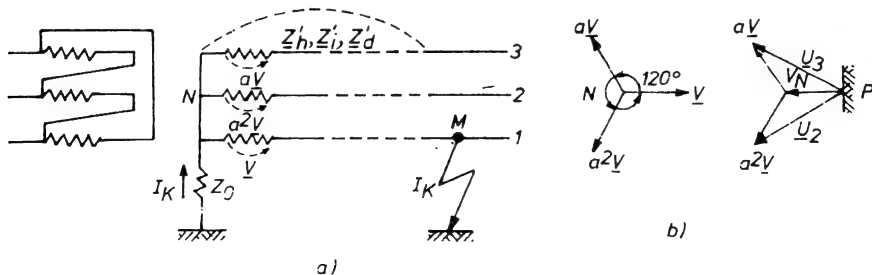


Fig. 8.45. Legarea la pămînt a neutrului unei rețele trifazate prin intermediul unei impedențe.

Din această ultimă relație se constată că dacă impedanța  $3Z_0$  este mare în raport cu suma impedanțelor  $Z'_h + Z'_i + Z'_d$ , atunci potențialul neutrului se apropie de tensiunea stelată a rețelei  $V$  și tensiunile fazelor sănătoase tind către tensiunea compusă  $\sqrt{3} V$ . Acest lucru se constată și din digrama tensiunilor dată în figura 8.45, *b* din care reiese că tensiunile fazelor sănătoase au valorile:

$$U_2 = \underline{V}_N + a^2 \underline{V} \quad \text{și} \quad U_3 = \underline{V}_N + a \underline{V}. \quad (8.135)$$

Dacă însă se dorește evitarea unor potențiale ridicate pe neutrul transformatoarelor, se aleg impedanțe cu valori reduse, însă în acest caz, curentul de defect poate atinge valori importante. În consecință, este necesar să se aleagă o anumită impedanță, care să limiteze intensitatea curentului și potențialul neutrului la anumite valori. Aceste limite depind de tensiunea de lucru a rețelei și de concepția de dezvoltare în ansamblu a acesteia. Astfel, pentru rețeaua de medie tensiune din țara noastră intensitatea curentului poate fi limitată de impedanțe pînă la 300 A, în timp ce pentru rețeaua franceză, ea este limitată pînă la 800 A.

Impedanțele punctelor neutre pot fi formate fie din rezistențe, fie din bobine de inductanță. Acestea din urmă, mai puțin voluminoase decît rezistențele metalice, sînt mai răspîndite în rețele; ele produc pierderi practic neglijabile cînd sînt parcurse de curenții de scurtcircuit și nu se constată supratensiuni periculoase în timpul regimurilor tranzitorii care însoțesc stabilirea sau ruperea unui scurtcircuit.

#### A. Legarea la pămînt a neutrului prin bobine de stingere

Un caz particular important de întrebuințare a bobinelor de inductanță în conexiunea neutrului unor transformatoare din rețelele aeriene de 35 kV este acela în care bobina este aleasă așa fel, încît să existe o rezonanță între capacitatea și inductanța homopolară pe fază.

Fie, de exemplu, cazul prezentat în figura 8.46, *a* în care s-a presupus linia scurtă, astfel încît se poate considera capacitatea localizată. Dacă se

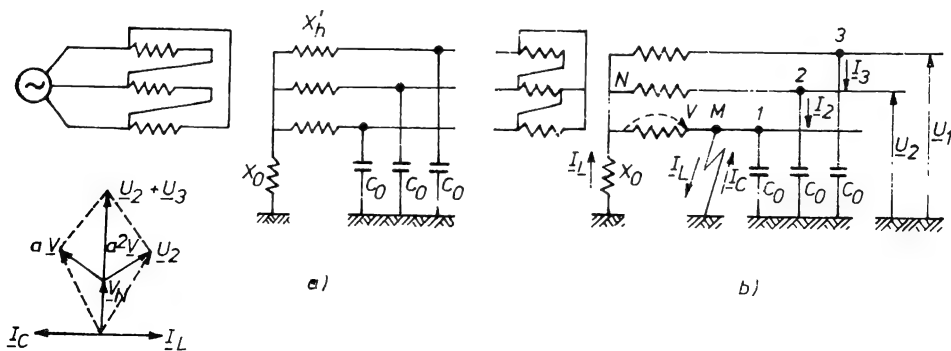


Fig. 8.46. Reprezentarea rezonanței într-o rețea cu neutrul legat la pămînt printr-o bobină de stingere.

notează cu  $X_0$  reactanța bobinei și cu  $X'_h$  reactanța homopolară a transformatorului, atunci condiția de rezonanță este exprimată prin relația:

$$(3X_0 + X'_h) C_0 \omega = 1. \quad (8.136)$$

În această ipoteză impedanța homopolară a rețelei este foarte mare, teoretic infinită, dacă rezistențele ohmice sînt nule. Curentul în locul de defect este foarte mic și arcul electric se poate stinge la prima sa trecere prin zero. O astfel de bobină se numește *bobină de stingere* sau *bobină Petersen*. Toate defectele la pămînt cu caracter trecător, care sînt cele mai frecvente, sînt astfel eliminate fără intervenția protecțiilor, deci a întreruptoarelor.

Rolul fizic al bobinei de stingere este să permită circulația în locul defect a unui curent reactiv de scurtcircuit  $I_L$ , care se opune curentului capacitiv  $I_C$  rezultat din compunerea curenților capacitivi ai fazelor sănătoase, cărora li se aplică tensiunile compuse ale rețelei. Acest rezultat reiese din figura 8.46, *b* în care se consideră neglijabilă reactanța transformatorului în raport cu cea a bobinei. După cum se observă, curentul de defect are două componente și anume: o componentă  $I_C$  care urmează traseul capacităților fazelor sănătoase și o alta care parcurge bobina  $X_0$ . Tensiunea punctului neutru  $\underline{V}_N = -\underline{V}$ , iar tensiunile  $\underline{U}_2$  și  $\underline{U}_3$  au amplitudinea egală cu tensiunea compusă a rețelei.

Curentul capacitiv care traversează defectul, conform figurii 8.46, *b* și 8.46, *c*, are valoarea:

$$I_C = j \omega C_0 (\underline{U}_2 + \underline{U}_3) = 3j \omega C_0 V_N = -3j \omega C_0 V, \quad (8.137)$$

iar curentul din bobină:

$$I_L \simeq -\frac{jV}{X_0} = \frac{V}{jX_0}, \quad (8.138)$$

Pentru ca acești doi curenți să fie egali și opuși, fiind dat sensul lor conform figurii 8.46, *b*, este necesar ca:

$$3j\omega C_0 V = \frac{jV}{X_0} \quad (8.139)$$

sau în valoare absolută:

$$3X_0 \omega C_0 = 1,$$

care reprezintă condiția de rezonanță (8.136), unde se consideră reactanța transformatorului  $X'_h$  neglijabilă.

Bobina de stingere este construită cu miez de fier și cu întrefier și are o inductanță foarte mare, care poate fi modificată fie prin schimbarea numărului de spire, fie prin modificarea întrefierului. Alegînd inductanța ei conform relației (8.136) rezultă, că în cazul punerii la pămînt a unei faze, bobina poate compensa teoretic în totalitate curentul capacitiv, iar arcul electric se stinge, dat fiind faptul că el nu mai este alimentat. În consecință, tratarea neutrului cu bobină de stingere elimină posibilitatea apariției arcului electric intermitent, însă prezintă dezavantajul că la funcționarea rețelei cu o fază

pusă la pământ, tensiunile fazelor sănătoase față de pământ cresc pînă la valoarea tensiunii între faze.

*Observații. a.* În mod practic, nu este necesară îndeplinirea riguroasă a condiției de rezonanță pentru ca arcul electric să se stingă definitiv și să nu devină intermitent, ci se merge cu un dezacord de 15–25 %. Cercetările arată că arcul electric dintre o fază a unei linii electrice și pământ, cu tensiunea nominală cuprinsă între 35 kV și 110 kV, poate deveni intermitent dacă intensitatea curentului de defect care îl alimentează este cuprinsă între 5 și 30 A. În cazul utilizării bobinelor de stingere cu un dezacord normal de 15–25 %, arcul electric nu devine intermitent chiar dacă intensitatea curentului de punere la pământ atinge intensități apropiate de limita superioară sau mai mari. Acest rezultat nu este în contradicție cu indicația conform căreia arcul se stinge numai pentru un curent mai mic de 5 A. Explicația constă în faptul că bobina dezacordată *favorizează stingerea arcului electric atît datorită limitării curentului de defect, cît și datorită limitării tensiunii de revenire la bornele canalului de arc.*

Dezacordarea bobinei se realizează totdeauna în sensul unei supracompensări. Aceasta înseamnă că prin bobina de stingere trece un curent inductiv mai mare decît cel capacitiv; astfel încît curentul rezultat care alimentează arcul electric rămîne inductiv.

*b.* Rezultatele obținute sînt valabile în cazul unor linii scurte. Cînd liniile sînt lungi, trebuie să se țină seama de repartitia constantelor, iar condiția de stingere a arcului este reprezentată printr-o expresie mai complicată în care intervine impedanța caracteristică homopolară a liniei și impedanțele homopolare ale elementelor situate la cele două extremități. Această condiție prezintă particularitatea importantă că ea este independentă de poziția defectului pe linie; dacă bobina este bine reglată, stingerea arcului este asigurată oricare ar fi poziția defectului.

*c.* Curentul de punere la pământ se anulează teoretic numai în locul de defect; în linie, curentul crește cu distanța față de defect și devine maxim în bobină, unde admițînd că tensiunea  $V_N$  a punctului neutru este egală cu tensiunea pe fază  $V$ , ia valoarea  $\frac{V}{X_0}$ .

Trebuie menționat însă că de fapt, curentul de defect nu devine niciodată nul, chiar dacă bobina este perfect acordată, deoarece există totdeauna *un curent remanent*, determinat de componentele active ale curentului de scurtcircuit și de armonici. Pentru a pune în evidență existența curentului remanent, se consideră și rezistențele bobinei  $R$ , liniei și transformatorului, precum și pierderile prin efect corona și conductanța laterală  $\rho$ . În acest caz, presupunînd constantele rețelei din figura 8.43 concentrate, rezultă schema echivalentă din figura 8.47, căreia i se aplică tensiunea față de pământ egală cu tensiunea stelată. Intensitățile cu-

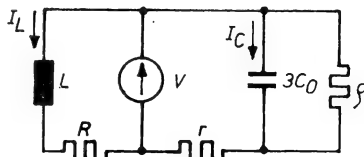


Fig. 8.47. Schema echivalentă cu constante concentrate a rețelei trifazate din figura 8.46.

renților din bobină, din capacitate și cel corespunzător pierderilor în izolație sînt date de expresiile:

$$I_C \approx \frac{V}{r + \frac{1}{3j\omega C_0}}; \quad I_L \approx \frac{V}{R + j\omega L}; \quad I_\rho \approx \frac{V}{\rho}, \quad (8.140)$$

în care s-au acceptat notațiile din figura 8.47.

Curentul de defect rezultat din suma acestor trei curenți:

$$I_K = V \left[ \frac{1}{r + \frac{1}{3j\omega C_0}} + \frac{1}{R + j\omega L} + \frac{1}{\rho} \right]. \quad (8.141)$$

Ținînd seama că rezistențele  $R$  și  $r$  sînt întotdeauna mici se obține:

$$I_K = V \left[ j \left( 3\omega C_0 - \frac{1}{\omega L} \right) + \left( 9\omega^2 C_0^2 r + \frac{R}{(\omega L)^2} + \frac{1}{\rho} \right) \right]. \quad (8.142)$$

Din această ultimă relație rezultă că intensitatea curentului de punere la pămînt are două componente: prima este determinată numai de reactanțe, iar cea de-a doua, atît de reactanțe cît și de rezistențe.

Variația curentului relativ de punere la pămînt, la locul defectului, în funcție de inductanța bobinei este redat în figura 8.48. Admitanța  $\frac{1}{\omega L}$  este luată drept variabilă, deoarece ea determină direct puterea și dimensiunile bobinei de stingere conectată în circuitul neutru. Dacă această putere reactivă este egală cu cea corespunzătoare curentului capacitiv, atunci puterea reactivă este în întregime compensată, situație căreia îi corespunde un minimum accentuat al curbei curentului de scurtcircuit. În acest caz, schema echivalentă se află în rezonanță de curent. Dacă este indeplinită condiția (8.136), termenul imaginar din ecuația (8.142), se anulează și curentul remanent este determinat de suma pierderilor datorate curentului capacitiv în rezistențele serie și tensiunii pe fază aplicată rezistențelor în paralel.

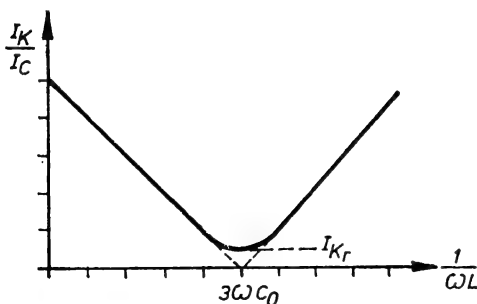


Fig. 8.48. Variația curentului de punere la pămînt în locul de defect, în funcție de inductanța bobinei de stingere.

Reglarea corectă a inductanței bobinei din conexiunea neutrlui poate conduce la reducerea aproape totală a curentului staționar de punere la pămînt. O conturare, de la linie la pămînt, a unui izolator al unui stîlp determină, în orice împrejurare, un curent numai în primul moment al străpungerii. În continuare, curentul staționar se va reduce foarte mult prin efectul de rezonanță și arcu electric nu se va menține, dacă intensitatea curentului remanent nu depășește 30 A.

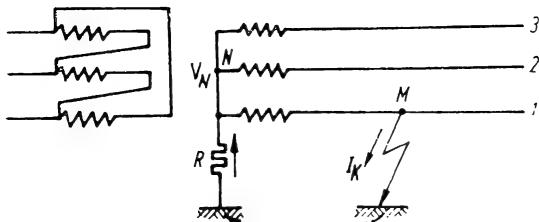


Fig. 8.49. Rețea trifazată cu neutrul legat la pământ prin rezistență.

### B. Legarea la pământ a neutrului prin rezistență

Reducerea intensității curentilor de scurtcircuit poate fi realizată și prin introducerea unei rezistențe în sistemul de legare la pământ a neutrului. În acest caz, tensiunea neutrului față de pământ nu rămâne

constantă și poate lua valori suficient de mari.

Fie, de exemplu, rețeaua trifazată din figura 8.49 cu neutrul legat la pământ prin rezistența  $R$ , în care una din faze este pusă la pământ. Curentul de scurtcircuit monofazat are valoarea dată de relația:

$$I_K = \frac{V}{\sqrt{R^2 + \omega^2 L^2}}, \quad (8.143)$$

în care s-a neglijat rezistența conductoarelor rețelei și a transformatorului în raport cu rezistența  $R$  și s-a considerat că  $L$  reprezintă inductanța proprie rezultantă a întregului circuit.

Potențialul neutrului față de pământ este exprimat prin căderea de tensiune în rezistența  $R$ , produsă de curentul de scurtcircuit  $I_K$ :

$$V_N = I_K R = I_K \sqrt{\left(\frac{V}{I_K}\right)^2 - \omega^2 L^2}, \quad (8.144)$$

în care a fost introdusă valoarea lui  $R$  reieșită din ecuația (8.143). Dacă se consideră  $I_{Kmax}$  curentul de scurtcircuit monofazat corespunzător legării directe la pământ a neutrului.

$$I_{Kmax} = \frac{V}{\omega L} \quad (8.145)$$

și se face raportul dintre potențialul neutrului și tensiunea pe fază, se obține:

$$\frac{V_N}{V} = \sqrt{1 - \left(\frac{I_K}{I_{Kmax}}\right)^2}. \quad (8.146)$$

Această relație, reprezentată în diagrama circulară din figura 8.50, permite să se studieze variația potențialului  $V_N$  cu scăderea curentului de scurtcircuit monofazat. Se constată, de exemplu, că reducerea curentului la jumătate din valoarea sa maximă prin folosirea unei rezistențe, face ca potențialul punctului neutru față de pământ să fie:

$$V_N = V \sqrt{1 - (0,5)^2} = 0,867 V. \quad (8.147)$$

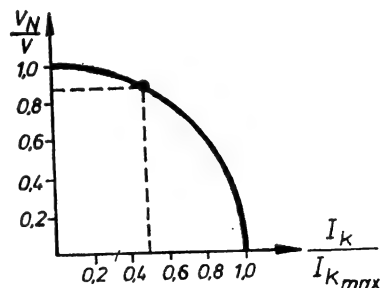


Fig. 8.50. Variația potențialului neutrului la scăderea curentului de scurtcircuit, prin introducerea unei rezistențe în conexiunea neutrului.

Acest rezultat nu diferă mult de cel obținut în cazul unei rețele cu neutrul legat prin bobină de stingere sau cu neutrul izolat, când potențialul acestuia față de pământ este egal cu tensiunea pe fază. În acest caz, folosirea izolației degresive la transformatoare, din cazul studiat la paragraful 8.4.1.1, nu este indicată. Pe de altă parte, introducerea rezistenței în circuitul neutrului are avantajul că anulează tensiunile de rezonanță, care se pot produce la bornele capacităților.

8.4.1.3. *Rețele cu neutrul izolat față de pământ.* În aceste rețele, înainte de defect, potențialul neutrului este teoretic același cu cel al pământului, iar la producerea defectului acesta devine egal cu tensiunea simplă a rețelei. Prezența capacităților rețelei permite un schimb de energie între faza defectă și fazele sănătoase, iar intensitatea curentului la locul de defect este cu atât mai mare, cu cât capacitățile au valori mai ridicate, adică rețeaua legată galvanic este mai extinsă.

Dacă se consideră faza 1 pusă la pământ, conform figurii 8.51 rezultă că:

$$I_c = I_2 + I_3. \quad (8.148)$$

Deoarece curenții capacitivi  $I_2$  și  $I_3$  au intensități mult mai mici față de curenții de sarcină ai liniei, se poate considera că tensiunile pe faze, măsurate față de punctul neutru, nu se dezechilibrează în mod sensibil. Ca urmare, rețeaua va continua să funcționeze alimentând consumatorii cu energie electrică în condiții satisfăcătoare, cu toate că una dintre faze este pusă la pământ.

Deși tensiunile fazelor în raport cu punctul neutru al transformatorului rămân aproximativ aceleași ca în rețeaua fără defect, potențialul fazelor față de pământ se modifică. Astfel, potențialul față de pământ al fazei defecte este nul, iar al celor sănătoase crește cu  $\sqrt{3}$ , devenind egal cu tensiunea compusă. Corespunzător, cresc și curenții capacitivi ai fazelor sănătoase în raport cu regimul normal, care în cazul figurii 8.51 devin:

$$I_1 = 0; \quad I_2 = j\omega C_0 U_2; \quad I_3 = j\omega C_0 U_3. \quad (8.149)$$

Curentul de defect este determinat de relația (8.147), care se obține introducând (8.149) în (8.148).

Acest mod de tratare a neutrului creează în regim staționar supratensiuni pe fazele sănătoase, egale cu tensiunea compusă a rețelei. În cazul când la locul de defect apare un arc electric intermitent, ca urmare a fenomenelor tranzitorii, aceste supratensiuni pot crește de 3,5÷4 ori tensiunea pe fază a rețelei. Arcul electric intermitent și supratensiunile care-l însoțesc pot să persiste un număr mare de perioade, ceea ce va avea drept consecință străpungerea izolației rețelei și în alte puncte mai slabe, transformând punerea la pământ într-un scurtcircuit bifazat sau trifazat. Din această cauză trebuie luate măsuri de protecție a rețelei pentru evitarea unui astfel de arc.

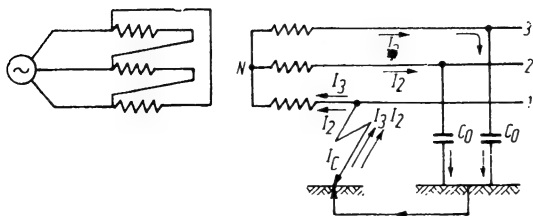


Fig. 8.51. Rețea trifazată cu neutrul izolat.

Ținând seama de condițiile de stabilire a unui arc electric intermitent, se stabilește că exploatarea unei rețele cu neutrul izolat poate fi lipsită de pericolul supratensiunilor tranzitorii periculoase, în cazul rețelelor aeriene cu tensiuni nominale pînă la 35 kV, precum și pentru cele de 35 kV cu lungimi reduse, de ordinul a  $30 \div 40$  km.

Pentru rețelele subterane apariția arcului electric intermitent este mai rară. De aceea, în acest caz, exploatarea rețelelor cu neutrul izolat este recomandabilă la tensiuni de  $6 \div 10$  kV, cu condiția ca intensitatea curentului de defect să nu depășească 10 A. Dacă această intensitate este depășită, atunci izolația cablului se poate distruge în locul de defect și punerea la pămînt se transformă într-un scurtcircuit trifazat.



## Capitolul 9

### STABILITATEA SISTEMELOR ELECTRICE

Printre problemele importante pe care le ridică funcționarea unui sistem electric complex este și aceea care privește stabilitatea acestei funcționări; ea presupune existența unor mijloace de care trebuie să dispună sistemul electric, ca în cazul apariției unor perturbații mai mici sau mai mari în funcționarea acestuia, să fie menținute valori aproximativ normale ale parametrilor *tensiune* și *frecvență* în nodurile sale. Pierderea stabilității de funcționare în paralel a unui sistem electric atrage după sine întreruperea alimentării cu energie a unor consumatori și pagube importante ale economiei naționale. Consecințele grave ale acestor întreruperi, ca urmare a unor avarii, a impus o atenție deosebită din partea celor care proiectează și exploatează rețelele și sistemele electrice. Ele au influențat mult schemele de comutație ale rețelelor, condițiile de lucru ale aparatelor și mașinilor electrice. În vederea îmbunătățirii stabilității de funcționare în paralel, au apărut și s-au dezvoltat întreruptoarele cu acționare rapidă, protecția prin relee, generatoare și transformatoare cu reactanță redusă, regulatoare speciale de tensiune, sisteme de excitație perfecționate la generatoare etc., care constituie mijloace pentru menținerea funcționării în paralel a centralelor și rețelelor unui sistem electric, chiar și în cazul apariției unor defecte grave.

Deosebit de importantă este stabilitatea în cazul transportului de energie la distanță. Din acest punct de vedere, se poate constata că există totdeauna o *limită a puterii transportate* pe linii, care nu este determinată numai de încălzirea conductoarelor și de căderea de tensiune, ci și de alți factori. Pentru a arăta acest lucru, se consideră puterea activă injectată într-o linie electrică echivalentă unui cuadripol \*, cu tensiunile  $U_1$  și  $U_2$  la cele două capete menținute constante:

$$P_1 = \frac{U_1 U_2}{B} \cos(\beta - \theta) - \frac{A}{B} U_1^2 \cos(\beta - \alpha),$$

în care  $\alpha$  și  $\beta$  sînt argumentele coeficienților  $A$  și  $B$  și  $\theta$  — unghiul de defazaj (stabilitate) dintre cele două tensiuni.

Se constată imediat că această putere transportată nu poate depăși valoarea limită:

$$(P_1)_{\max} = \frac{U_1 U_2}{B} - \frac{A}{B} U_1^2 \cos(\beta - \alpha), \quad (9.1)$$

care corespunde condiției  $\theta = \beta$ .

\* Vezi și capitolul 3

Relația (9.1) arată că puterea maximă transportată variază direct proporțional cu pătratul tensiunii de lucru și invers proporțional cu coeficientul  $B$ , care este funcție de impedanța serie dintre cele două capete ale liniei, respectiv dintre intrarea și ieșirea cuadripolului echivalent. În consecință, se poate afirma că *maximul puterii transportate printr-un sistem echivalent unui cuadripol sau unui ansamblu de cuadripoli este cu atât mai ridicat, cu cât impedanța de legătură dintre punctele în care tensiunile se mențin constante este mai mică*. Trebuie reamintit că menținerea tensiunilor la valori constante, când puterea activă transportată este  $P_{max}$ , antrenează o anumită circulație de putere reactivă, caracterizată prin puterile reactive la cele două capete ale căror valori sînt:

$$\begin{aligned} Q_1 &= \frac{U_1 U_2}{B} \sin(\beta - \theta) - \frac{A}{B} U_1^2 \sin(\beta - \alpha); \\ Q_2 &= U_2^2 \frac{D}{B} \sin(\beta - \varepsilon) - \frac{U_1 U_2}{B} \sin 2\beta. \end{aligned} \quad (9.2)$$

Existența limitei puterii transportate are repercusiuni importante asupra stabilității funcționării în paralel a rețelelor electrice. Încărcarea liniilor la puteri apropiate de limita lor, determină reducerea coeficienților de siguranță în funcționarea paralelă stabilă a instalației de transport de energie, iar depășirea puterii maxime provoacă ruperea sincronismului dintre sursa generatoare și restul rețelei.

În aprecierea stabilității în funcționare a unui sistem electric interesează două laturi ale acesteia: *stabilitatea statică* și *stabilitatea dinamică*. În primul caz, condițiile de stabilitate se determină ținînd seama de faptul că sistemul este supus unor *variații lente de putere*, în timp ce în cel de-al doilea caz, *variațiile de putere sînt bruște* și apar, în general, la scurtcircuite sau la executarea unor manevre, automate sau voite, care modifică constituția rețelei.

Evident că distincția dintre stabilitatea statică și dinamică este artificială, deoarece stabilitatea sistemelor este unică: însă această împărțire facilitează înțelegerea unor procese. Dintre cele două laturi ale stabilității, cea de-a doua este mai importantă. Din această cauză în cele ce urmează ea va fi dezvoltată mai mult.

## 9.1. STABILITATEA STATICĂ A SISTEMELOR ELECTRICE

Stabilitatea statică a unui sistem electric se definește ca fiind *capacitatea sistemului ca în cadrul unor perturbații mici ale parametrilor funcționării normale, să poată reveni la valorile inițiale, atunci când perturbația a dispărut sau să stabilească o nouă situație stabilă de funcționare dacă perturbația persistă*. Astfel de situații apar frecvent în timpul funcționării centralelor electrice, când puterea solicitată de consumatori prezintă variații lente de la un moment la altul. Studiul stabilității, în general, se face cu ajutorul a două caracteristici și anume, *caracteristica de putere activă a generatorului* sau *caracteristica internă* și *caracteristica mecanică* a mașinii care antrenează generatorul.

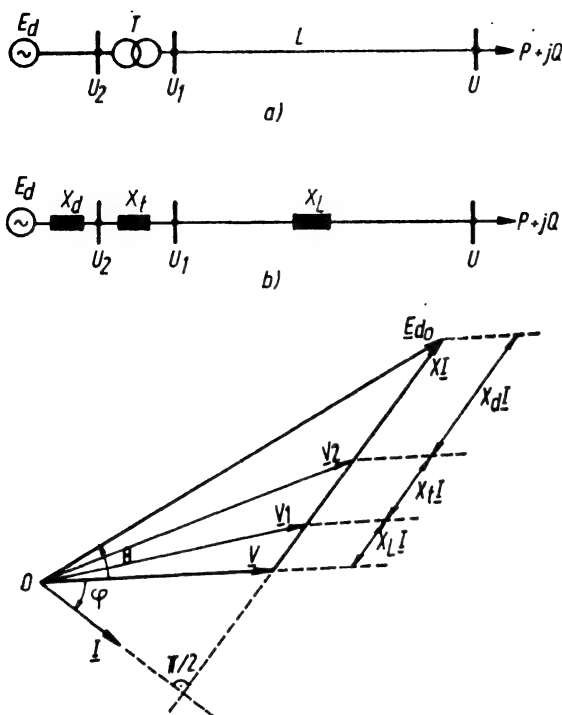


Fig. 9.1. Centrală electrică care debitează pe bare de putere infinită:  
 a – schema inițială; b – schema echivalentă; c – diagrama fazorială a tensiunilor.

tată în spatele reactanței, iar transformatorul și linia prin reactanțele lor directe.

Deoarece s-au neglijat rezistențele, puterea activă transportată pe linie spre consumator reprezintă și puterea generatorului  $P_g$ , egală cu puterea mecanică  $P_m$  la arborele turbinei care antrenează generatorul. Valoarea acestei puteri, dată de relația cunoscută  $P = \sqrt{3} UI \cos \varphi$ , se poate pune sub o formă modificată, cu ajutorul căreia să se interpreteze menținerea stabilității. În acest scop se proiectează pe axa verticală fazorii  $\underline{E}_{d0}$  și  $\underline{X}I$ , din diagrama fazorială dată în figura 9.1, c și se obține:

$$E_{d0} \cdot \sin \theta = X I \cos \varphi$$

sau sub o altă formă:

$$\sqrt{3} U \cdot E_{d0} \sin \theta = \sqrt{3} U X I \cos \varphi = P \cdot X,$$

din care reiese că:

$$P = \frac{E_a U}{X} \sin \theta, \quad (9.3)$$

unde  $\theta$  reprezintă defazajul dintre tensiunea electromotoare sincronă  $\underline{E}_a$  compusă a generatorului și tensiunea  $U$  a barelor rețelei de putere infinită.

Sub forma cea mai simplă, necesară înțelegerii aspectelor fizice ale stabilității, caracteristica generatorului se poate determina folosind schema instalăției de transport dată în figura 9.1, în care o centrală electrică debitează printr-o stație de transformare și o linie într-un sistem de putere infinită. În aceste condiții, modificările regimului de funcționare nu au nici o influență asupra valorii tensiunii sale, care se poate considera constantă și egală cu  $U$ .

În schema echivalentă din figura 9.1, b sînt figurate numai reactanțele elementelor componente, neglijîndu-se rezistențele active și capacitatea liniei. Generatorul este reprezentat prin mărimile corespunzătoare funcționării sale în regim stabilizat, adică prin reactanța sincronă  $X_a$  și tensiunea electromotoare sincronă  $E_a$  conectată în spatele reactanței,

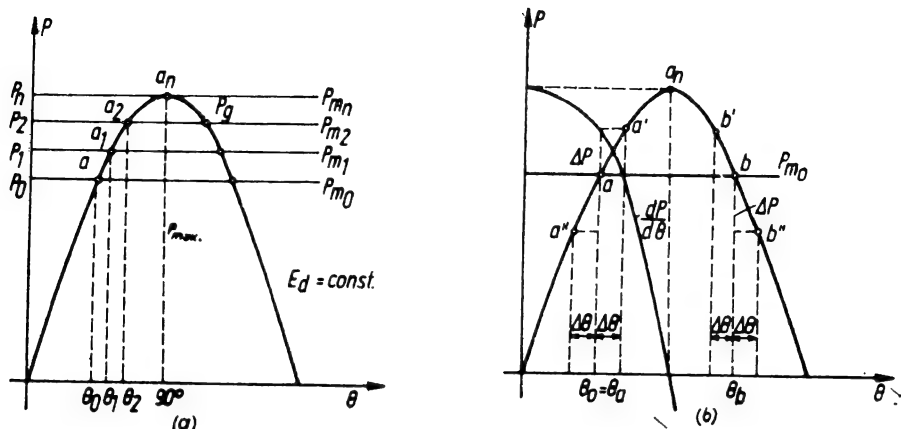


Fig. 9.2. Caracteristica de putere activă a unui generator care debitează pe bare de putere infinită.

Dacă se consideră mărimile  $E_a$ ,  $U$  și  $X$  din relația (9.3) constante, atunci puterea activă debitată de generator este funcție numai de unghiul  $\theta$ . Ea variază sinusoidal, ca în figura 9.2 și reprezintă *caracteristica de putere activă a generatorului sau caracteristica internă*. Amplitudinea ei corespunde unei limite (ideale, a puterii de transport, pînă la care, teoretic se poate asigura funcționarea stabilă a sistemului.

*Caracteristica de putere mecanică* a mașinii primare  $P_m$ , depinde de turație. La o turbină, regulatorul de turație modifică admisia aburului în scopul variației turației în limite restrinse. În cazul oscilațiilor rotorului generatorului însă, dacă stabilitatea statică se menține, turația se modifică, la variații mici și lente ale puterii electrice, foarte puțin (sub 1%). Aceste modificări sînt de scurtă durată și au un caracter alternativ, schimbîndu-și în permanență sensul. În aceste condiții, regulatorul de turație nu intervine, astfel încît *puterea mecanică rămîne constantă*, ea fiind prezentată de o dreaptă paralelă la axa absciselor, ca în figura 9.2. Cu ajutorul acestor caracteristici se poate efectua studiul stabilității statice, folosind o serie de criterii practice, dintre care două sînt mai importante și mai des folosite.

#### 9.1.1. ANALIZA STABILITĂȚII STATICE CU CRITERIUL $\frac{dP}{d\theta}$

Criteriul acesta analizează stabilitatea statică pe baza variației puterii active debitate de generator și unghiurilor de decalaj dintre fazorii tensiunilor electromotoare.

Fie de exemplu, cazul în care excitația generatorului se menține constantă ( $E_a = E = \text{const.}$ ). În funcționarea inițială generatorul debitează o anumită putere  $P_0$  careia îi corespunde la axul turbinei, neglijînd pierderile mecanice, puterea  $P_{m0} = P_0 = \frac{EU}{X} \sin \theta_0$ . Dacă se mărește foarte lent deschiderea vanei de la turbina care antrenează generatorul, echilibrul dintre

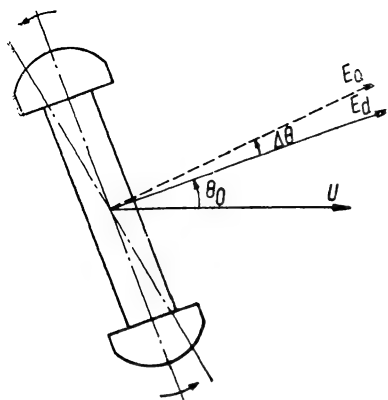


Fig. 9.3. Variația unghiului  $\theta$  la variația admisiei aburului la turbină.

cuplul motor (al turbinei) și cel rezistent (al generatorului) dispăre. Generatorul se accelerează și deschiderea unghiulară crește, conform figurii 9.3. Când unghiul a devenit  $\theta_0 + \Delta\theta$ , echilibrul dintre cele două cupluri este din nou realizat și generatorul debitează o putere  $P_0 + \Delta P = P_1 = \frac{EU}{X} \sin(\theta_0 + \Delta\theta) = \frac{EU}{X} \sin \theta_1$ , așa cum se

observă urmărind figurile 9.2 și 9.3. Se poate repeta operația de mai sus, provocând de fiecare dată creșteri suficient de mici, astfel încât să nu se producă nici o oscilație a rotorului de amplitudine apreciabilă. Generatorul va lua succesiv noi poziții de echilibru

relativ, definite de unghiul  $\theta$ , caracterizate de mărimile  $P_1, P_2, \dots, P_n$  și  $\theta_1, \theta_2, \dots, \theta_n$ . Echilibrul dintre turbină și generator este stabil atîta timp cît

$\theta \leq \frac{\pi}{2}$ , căci dacă printr-un mijloc oarecare rotorul s-ar îndepărta din poziția

sa de echilibru, fără a modifica cuplurile, el are tendința să revină în aceeași poziție. Dacă se mărește admisia aburului cînd unghiul  $\theta = \frac{\pi}{2}$  nu mai poate

exista nici un echilibru între generator și turbină; grupul se accelerează,  $\theta > \frac{\pi}{2}$ , puterea debitată de generator descrește și la creșterea cuplului

motor, corespunde o diminuare a cuplului rezistent, ceea ce provoacă o accelerație suplimentară. O analiză completă arată că pulsația tensiunilor și curenților de la generator nu mai este egală cu cea a rețelei de putere infinită. Fiind depășită puterea limită a stabilității definită de puterea activă

$P_{max} = \frac{E_a U}{X}$  obținută pentru  $\theta = \frac{\pi}{2}$ , generatorul a pierdut sincronismul cu restul rețelei.

Analizînd cele două caracteristici, mecanică și electrică, din figura 9.2, b se constată că intersecția lor se efectuează în punctele  $a$  și  $b$ , care reprezintă două puncte posibile de funcționare, dar nu și stabile. Pentru a vedea care dintre ele reprezintă punctul stabil de funcționare este necesar să se examineze comportarea grupului cînd intervin anumite schimbări.

Astfel, în cazul funcționării în punctul  $a$  se presupune că dintr-un motiv oarecare unghiul  $\theta_a$  a crescut cu valoarea  $\Delta\theta$ , astfel că punctul de funcționare se mută din  $a$  în  $a'$ . Ținînd seama că puterea dezvoltată de mașina primară a rămas constantă, rezultă că  $P_g > P_m$  și viteza rotorului trebuie să scadă (rotorul este frînat). Odată cu aceasta scade și unghiul  $\theta$  pînă la valoarea  $\theta_a$  corespunzătoare punctului inițial de funcționare. În mod analog se poate arăta că dacă dintr-un motiv oarecare unghiul  $\theta$  scade cu  $\Delta\theta$ , puterea debitată de generator  $P_g < P_m$ , astfel încît pe axul mașinii apare un cuplu supli-

mentar care accelerează rotorul, fapt care determină creșterea unghiului  $\theta$  pînă la valoarea  $\theta_a$  corespunzătoare punctului  $a$ .

În ambele cazuri examinate se constată că variația unghiului  $\theta$  este de același semn cu variația puterii generatorului  $P$ . Această legătură dintre variațiile  $\Delta P$  și  $\Delta\theta$ , care sînt de același semn, se exprimă prin relația:

$$\lim_{\Delta\theta \rightarrow 0} \frac{\Delta P}{\Delta\theta} = \frac{dP}{d\theta} > 0. \quad (9.4)$$

Considerînd punctul de funcționare  $b$  se constată că unei creșteri a unghiului  $\theta$ , îi corespunde o reducere a puterii debitate de generator (punctul  $b''$ ), fapt care determină un cuplu suplimentar pe ax care accelerează rotorul și produce o nouă creștere a unghiului  $\theta$ . Aceasta conduce la o nouă reducere a puterii debitate și la accelerarea suplimentară a rotorului, pînă cînd generatorul iese din sincronism. Un raționament analog arată că în cazul descreșterii unghiului (punctul  $b'$ ), puterea activă debitată de generator crește, rotorul se frînează și unghiul  $\theta$  scade, pînă cînd se atinge punctul stabil de funcționare  $a$ . Din cele arătate, reiese că punctul  $b$  este un punct nestabil de funcționare, deoarece la cea mai mică creștere a unghiului  $\theta$  generatorul se desprinde și la cea mai mică descreștere a acestuia, punctul de funcționare se mută în  $a$ . După punctul  $a$ , de funcționare, expresia (9.4) schimbă de semn. În consecință, punctul  $a$  și oricare alt punct de pe ramura ascendentă a caracteristicii de putere a generatorului sînt *static stabile*, în timp ce punctul  $b$  și oricare alt punct de pe ramura descendentă sînt *static instabile*. Se poate enunța următorul criteriu formal de existență a stabilității statice: *pentru ca funcționarea unui sistem electric să fie static stabilă este necesar și suficient ca la o creștere elementară a unghiului  $\theta$ , creșterea corespunzătoare a puterii generatorului să fie de același semn, îndeplinindu-se condiția (9.4)*. Expresia

$\frac{dP}{d\theta} = \frac{EU}{X} \cos \theta$  se numește *puterea de sincronizare*, a cărei variație este pozitivă cînd  $\theta < 90^\circ$ , așa cum se observă din figura 9.2, b. În acest domeniu sînt posibile regimuri staționare stabile de funcționare ale sistemului.

Valoarea unghiului  $\theta = \frac{\pi}{2}$  reprezintă o *valoare critică*, fiind atins maximul caracteristicii.

În timpul funcționării generatoarelor conectate în paralel, este necesar ca punctul de funcționare să fie suficient de depărtat de maximul caracteristicii de putere, respectiv mai jos pe partea ascendentă a acesteia, pentru a evita posibilitatea de desprindere determinată de variația sarcinii, care are loc permanent în sistemul electric. Se poate indica și un *coeficient de stabilitate statică* definit de raportul:

$$k_s = \frac{P_{\max} - P_a}{P_{\max}} 100, \quad (9.5)$$

în care  $P_a$  reprezintă puterea debitată de generator.

Cu cît valorile coeficientului  $k_s$  sînt mai mari, cu atît rezerva de stabilitate statică este mai mare. Nu se poate însă lucra cu coeficienți prea mari de siguranță, deoarece aceasta ar însemna utilizarea incompletă a puterii generatoarelor. În practică se lucrează cu coeficienții de ordinul  $k_s = 15 \div 20\%$ .

### 9.1.2. INFLUENȚA REGULATOARELOR AUTOMATE DE TENSIUNE ÎN CAZUL CRITERIULUI $\frac{dP}{d\theta}$

În prezent, marea majoritate a generatoarelor din sistemele electrice și îndeosebi cele cu puteri mai mari decât 50 MW, sînt echipate cu regulatoare automate de tensiune, dintre care unele foarte rapide. Acestea urmăresc

variația tensiunii la bornele generatoarelor și o mențin în limite normale, acționînd asupra curentului de excitație, respectiv asupra tensiunii electromotoare  $E_a$ . În acest fel, caracteristica de putere se modifică, iar stabilitatea mașinilor se poate menține chiar și în cazul unor coeficienți de stabilitate mai mici.

Într-adevăr, fie cazul de cea mai mare importanță practică în care, ca urmare a creșterii puterii debitate, tensiunea la bornele generatorului are tendința de micșorare, iar regulatorul automat trebuie să intervină în sensul creșterii curentului de excitație pentru a menține tensiunea constantă. Din diagrama fazorială prezentată în figura 9.4, *a* care corespunde sistemului de transport din figura 9.1, se constată că în timpul variațiilor de putere extremitatea fazorului  $\underline{U}_2$  se deplasează pe cercul *c* cu centrul în *O*. Pentru a constata locul geometric descris de fazorul  $\underline{E}_a$  în aceste condiții, se duce paralela  $\overline{E}_a \overline{O_1}$  la dreapta  $\overline{OU}_2$  și din triunghiurile  $\overline{O_1 E_a U}$  și  $\overline{OU_2 U}$  se deduce:

$$\frac{\overline{OU_2}}{\overline{OU}} = \frac{\overline{O_1 E_a}}{\overline{O_1 U}} = \frac{X_a + X_t + X_L}{X_t + X_L} = \text{const.} \quad (9.6)$$

sau că:

$$\overline{OU_2} = k \cdot \overline{OU} \text{ și } \overline{O_1 E_a} = k \cdot \overline{O_1 U}. \quad (9.7)$$

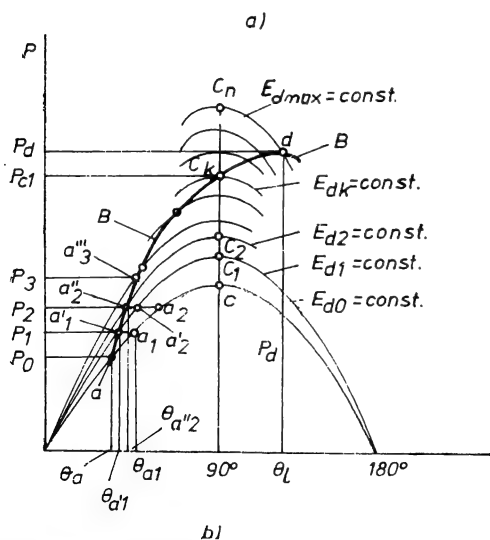
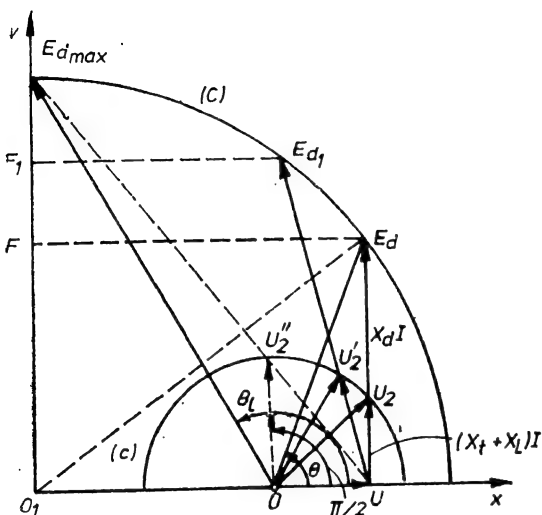


Fig. 9.4. Stabilitatea unei centrale electrice care debitează pe bare de putere infinită, cînd tensiunea la bornele generatorului este constantă:

*a* — diagrama fazorială a tensiunilor, considerînd influența regulatorului automat de tensiune; *b* — caracteristica de putere activă corespunzătoare.

Relațiile (9.7) arată că punctul  $O_1$  este fix,  $\overline{O_1 E_a} = \text{const.}$  și în consecință extremitatea fazorului tensiunii electromotoare  $\underline{E_a}$  descrie un cerc  $C$ , omotetic cercului  $c$ , în raportul  $k$ . Pe de altă parte, puterea debitată de generator,  $P = E_a \sin \theta \cdot \frac{U}{X_a + X_t + X_L}$  este determinată de proiecția  $\overline{O_1 F}$  a fazorului  $\overline{O_1 E_a}$  pe axa ordonatelor, prin amplificare cu un factor constant și egal cu raportul  $\frac{U}{X_a + X_t + X_L}$ . Raționamentul acesta se poate repeta, pentru o poziție intermediară a vârfului fazorului  $E_a$  fie  $E_{a_1}$ , care se deplasează pe cercul  $C$  cu raza  $\overline{O_1 E_a}$ . Generatorul va rămâne teoretic stabil, atîta timp cît puterea pe care el o produce va fi mai mică decît puterea limită  $P_{\max}$ , care este atinsă cînd proiecția  $\overline{O_1 F}$  pe axa ordonatelor este maximă, respectiv cînd tensiunea electromotoare  $E_a$  ocupă poziția  $E_{a \max}$ . În aceste condiții, conform diagramei fazoriale din figura 9.4,  $a$  tensiunea  $\underline{U}_2$  este perpendiculară pe tensiunea  $\underline{U}$ , ocupînd poziția  $\overline{OU_2''}$ , iar puterea limită are valoarea:

$$P_{\max} = E_{a \max} \cdot \frac{U}{X_a + X_t + X_L}, \quad (9.8)$$

care corespunde unui defazaj limită  $\theta_i > 90^\circ$ . În consecință, cînd se reglează tensiunea  $\underline{U}_2$  de la bornele generatorului, contrar celor constatate în cazul menținerii constante a excitației, mașina poate fi încă stabilă cînd  $\frac{\pi}{2} < \theta < \theta_i$ .

Această stabilitate este însă *artificială*, deoarece ea este condiționată numai de acțiunea regulatorului automat de tensiune.

Un același rezultat se poate constata și cu ajutorul figurii 9.4,  $b$ , în care familia caracteristicilor de putere, corespunde tensiunilor electromotoare  $E_a$  a căror extremitate se deplasează pe cercul  $C$  din figura 9.4,  $a$ . Prin intervenția regulatorului de tensiune, pentru menținerea tensiunii constante la bornele generatorului, care altfel ar scădea la creșterea puterii de la  $P_0$  la  $P_1$ , se mărește curentul de excitație și tensiunea electromotoare crește de la  $E_{a0}$  la  $E_{a1}$ . Acest fapt conduce la o nouă caracteristică de putere pentru

$$E_{a1} = \text{const.}, \text{ a cărei putere maximă este } P_{e1} = E_{a1} \frac{U}{X_a + X_t + X_2} > P_c = E_a \frac{U}{X_a + X_t + X_L}.$$

Punctul de funcționare trece din  $a_1$  în  $a'_1$ , căruia îi corespunde unghiul de defazaj  $\theta_{a'_1} < \theta_{a_1}$  și rezerva de stabilitate crește. Ambele consecințe, respectiv creșterea puterii maxime și micșorarea unghiului de defazaj, conduc la îmbunătățirea condițiilor de stabilitate statică. Presupunînd că puterea debitată crește în continuare de la  $P_1$  la  $P_2$ , procesul se desfășoară similar. În acest caz, punctele de funcționare sînt, conform figurii 9.4,  $b$ ,  $a_2$  pentru  $E_{a0} = \text{const.}$  și  $a'_2$  pentru  $E_{a1} = \text{const.}$  Dacă intervine din nou regulatorul de tensiune și se aduce t.e.m. la valoarea  $E_{a2} > E_{a1}$ , căreia îi corespunde o nouă caracteristică de putere ( $E_{a2} = \text{const.}$ ), cu o putere maximă  $P_{e2} > P_{e1}$ , punctul de funcționare devine  $a''_2$ , avînd defazajul  $\theta_{a''_2} < \theta_{a'_2}$ , ceea ce repre-



zintă iarăși condiții de stabilitate mai bune. Acest raționament se poate repeta pentru toate caracteristicile de putere, pînă la caracteristica trasată cu t.e.m.  $E_{an} = E_{a, max}$ .

Din figura 9.4, *b* se constată că unghiul  $\theta_a < \theta_{a_1} < \theta_{a_2} \dots < \theta_{a_n^{(n)}}$ , adică creșterea puterii debitate de generator, conduce și în cazul intervenției regulatorului de tensiune la creșterea defazajului  $\theta$ , însă mai lent. Unind punctul inițial de funcționare *a* cu punctele de funcționare  $a'_1, a''_2, a'''_3$  etc., corespunzătoare unor puteri debitate  $P_1 > P_0, P_2 > P_1, P_3 > P_2$  etc., situate pe caracteristici de putere rezultate în urma acționării regulatorului de tensiune pentru  $E_{a1} = \text{const.}$  etc., iar  $E_{a1} > E_{a0}, E_{a2} > E_{a1}$  etc., se obține o nouă curbă *B*, care reprezintă tot o caracteristică de putere. Această curbă, care se numește și *caracteristica externă* a generatorului, continuă să fie crescătoare pentru  $\theta = 90^\circ$  (punctul  $c_k$ ), unde corespund puterile maxime pentru curbele  $E_a = \text{const.}$  Maximul acestei curbe se atinge în punctul *d* și corespunde defazajului  $\theta_i > 90^\circ$  din diagramă și tensiunii electromotoare  $E_{a, max}$  date în figura 9.4, *a*. Se remarcă faptul că acest punct se află pe partea descrescătoare a caracteristicii interne pentru  $E_{an} = E_{a, max} = \text{const.}$ , care reprezintă, așa cum s-a menționat anterior, *zona punctelor de funcționare instabilă*. Aceasta se întâmplă însă cînd generatorul nu este prevăzut cu regulator automat de tensiune sau este echipat cu un regulator lent, de tip electromagnetic. Pentru ca punctele de funcționare situate între  $c_k$  și *d* să fie stabile, este necesar ca regulatoarele de tensiune să fie foarte rapide și foarte sensibile (regulatoare de tip electronic sau regulatoare cu elemente semiconductoare-tiristoare). Zona de funcționare cuprinsă între punctele  $c_k$  și *d* sau între unghiurile  $\theta = 90^\circ$  și  $\theta_i > 90^\circ$  se numește *zona de stabilitate artificială*. Se precizează că, deși este posibilă funcționarea stabilă în această zonă, totuși, din motive de prudență și siguranță, nu se depășește unghiul de defazaj  $\theta = 90^\circ$  și respectiv puterea maximă  $P_{c_k}$ , porțiunea ascendentă  $c_k - d$  a caracteristicii externe, fiind luată în considerație numai ca rezervă a stabilității statice.

Criteriul de stabilitate  $\frac{dP}{d\theta} > 0$  se aplică imediat pentru constatarea stabilității, deoarece pe porțiunea ascendentă a caracteristicii externe tangenta la curbă este totdeauna pozitivă.

#### Observații

*a.* Rezultatele obținute presupun că creșterea puterii debitate de generator pînă la atingerea puterii limită este foarte lentă, astfel încît, în fiecare moment, echilibrul dintre cuplul motor și cuplul rezistent este aproximativ realizat și datorită acestui fapt, rotorul mașinii nu poate avea oscilații cu amplitudini mari. În același timp, viteza de acționare a regulatoarelor automate de tensiune trebuie să fie suficient de mare, pentru ca atunci cînd generatorul funcționează în zona stabilității artificiale, instabilitatea să nu aibă timp să se producă.

*b.* Deoarece la determinarea puterilor au fost neglijate pierderile, puterea internă a mașinii este egală cu puterea la borne, ceea ce permite determinarea puterii limită și cu relația:

$$P_{max} = U_2 \frac{U}{X_l + X_L} \quad (9.9)$$

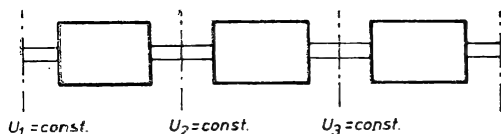


Fig. 9.5. Fraționarea unui sistem de transport la mare distanță, în tronsoane cu tensiuni constante la capete.

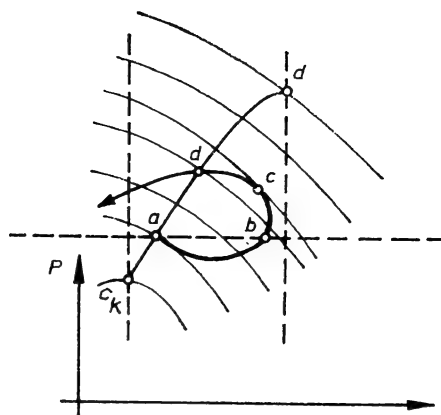


Fig. 9.6. Funcționarea generatorului prevăzut cu regulator automat de tensiune în zona de stabilitate artificială.

Dacă în loc să se regleze tensiunea  $U_2$  de la bornele generatorului, se menține la o valoare constantă tensiunea  $U_1$ , pe partea de înaltă tensiune a transformatorului, atunci puterea limită este:

$$P_{max} = U_1 \frac{U}{X_L} . \quad (9.10).$$

Aceste relații pun în evidență faptul amintit mai sus, că reactanța care intervine în valoarea puterii limită de transport este reactanța cuprinsă între punctele în care tensiunea se menține constantă. În același timp, ele sugerează posibilitatea creșterii puterii limită a unui sistem de transport de energie la o valoare oarecare, fracționându-l în tronsoane suficient de scurte la extremitățile cărora tensiunile ar fi menținute constante, ca în figura 9.5. În acest mod, s-ar putea transporta o putere mărită pe o rețea dată, în condiții de menținere a stabilității, dacă în anumite puncte intermediare se conectează compensatoare sincrone, cu ajutorul cărora se pot menține tensiunile constante \*.

c. Funcționarea generatorului în zona stabilității artificiale unde caracteristicile interne de putere sînt descrescătoare, iar caracteristica externă este crescătoare, se explică cu ajutorul figurii 9.6, în care s-a trasat numai porțiunea  $c_k d$  din figura 9.4,  $b$ . Fie, de exemplu, o perturbație mică în punctul  $a$ , care corespunde regimului inițial de funcționare al generatorului. Creșterea unghiului  $\theta$  în acest punct corespunde, așa cum s-a văzut, scăderii tensiunii la bornele generatorului.

Regulatorul de tensiune simte această scădere și ridică tensiunea la bornele înfășurării de excitație; curentul de excitație și odată cu el și tensiunea excitatrice cresc, însă treptat, datorită inductivității înfășurării de excitație. Creșterea curentului de excitație al generatorului este și mai înceată, deoarece inductivitatea înfășurării de excitație a acestuia este mai mare. De aceea, în primul moment al perturbației, variația puterii generatorului se produce după caracteristica de putere pentru tensiunea electromotoare constantă corespunzătoare punctului  $a$ . Sub influența surplusului de putere a turbinei, unghiul  $\theta$  continuă să crească și puterea generatorului scade și mai mult.

\* În acest caz, se zice că s-au creat artificial bare de putere infinite de-a lungul unei linii de transport.

Totuși, curentul de excitație și tensiunea electromotoare a generatorului încep să crească după un anumit timp, astfel încât regimul de funcționare al generatorului trece de pe o caracteristică de putere pe alta, ceea ce conduce la o creștere a puterii generatorului. În punctul *b* surplusul de putere s-a terminat, însă inerția rotorului mai produce încă creșterea unghiului  $\theta$ , însoțită de creșterea puterii generatorului. Surplusul de putere al generatorului frânează rotorul și din punctul *c*, unghiul începe să scadă. După ce trece de punctul *d* situat pe caracteristica externă, regulatorul începe să micșoreze tensiunea excitatricei și curba de variație a puterii generatorului intersectează familia de caracteristici interne de putere, în sens invers, corespunzător scăderii tensiunii electromotoare. După câteva oscilații amortizate se restabilește regimul inițial de funcționare corespunzător punctului *a*.

Dacă regulatorul de tensiune are o zonă de insensibilitate la variații de tensiune, funcționarea generatorului în zona de stabilitate artificială se caracterizează prin existența unor oscilații mici permanente. Acestea îngreuează controlul funcționării generatorului și impun să nu se considere ca posibilă funcționarea lui în domeniul  $\theta > 90^\circ$ , în cazul unor regulatoare de tip electromagnetic.

### 9.1.3. ANALIZA STABILITĂȚII STATICE CU CRITERIUL $\frac{dQ}{dU}$

În sistemele complexe, adesea, este dificil să se examineze variația puterilor în funcție de  $\theta$  și să se tragă concluzia că sistemul este stabil numai pe baza criteriului  $\frac{dP}{d\theta} > 0$ . În aceste cazuri este mai comodă utilizarea cri-

terului  $\frac{dQ}{dU}$ , care se bazează pe legătura strânsă care există între circulația

puterii reactive și tensiunea în nodurile la care sînt racordați consumatorii.

Într-adevăr, pentru o schemă de conexiune dată a unui sistem, circulația puterii active este condiționată numai de cererea consumatorilor și nu poate fi modificată decît folosind mijloacele adecvate în centralele electrice sau schimbînd schema de conexiuni. În aceste condiții, circulația puterilor reactive constituie factorul fundamental care fixează tensiunea la noduri. Variații mari ale tensiunii și respectiv ale puterilor reactive, conduc la perturbații în funcționarea sistemului, care, în unele cazuri, au drept consecință pierderea stabilității. Altfel spus, *stabilitatea tensiunii în nodurile sistemului influențează direct stabilitatea funcționării în paralel a acestuia*. Această afirmație se poate verifica ușor cu ajutorul relației (9.3) din care se constată că la aceeași putere activă transmisă, cînd tensiunea la consumator scade, trebuie să crească unghiul  $\theta$ . În aceste condiții generatorul poate ieși din sincronism.

Pentru a analiza stabilitatea statică cu ajutorul criteriului  $\frac{dQ}{dU}$  este necesar să se cunoască modul cum variază, în funcție de tensiune, puterea reactivă generată  $Q_g = \varphi_1(U)$  și puterea reactivă consumată  $Q_c = \varphi_2(U)$ . Stabilirea formei celor două caracteristici se face în mod diferit pentru  $Q_g$  și  $Q_c$ .

Puterea reactivă debitată de generator și variația acesteia în funcție de tensiunea dintr-un nod oarecare se stabilește printr-un calcul electric. Astfel,

pentru cazul sistemului simplu prezentat în figura 9.7, în care o centrală electrică alimentează un sistem de bare de putere infinită 2, la care se racordează consumatorul  $S_2 = P_2 + jQ_2$ , se pleacă de la relația cunoscută:

$$Q_{s_2} = \sqrt{3} U_2 I_2 \sin \varphi_2. \quad (9.11)$$

Din diagrama fazorială dată în figura (9.7, c) se observă că:

$$E_{d0} \cdot \cos \theta = V_2 + X I_2 \sin \varphi_2, \quad (9.12)$$

de unde rezultă:

$$I_2 \sin \varphi_2 = \frac{E_{d0}}{X} \cos \theta - \frac{V_2}{X}, \quad (9.13)$$

în care  $E_{d0}$  și  $V_2$  reprezintă valorile pe fază ale tensiunii electromotoare a generatorului și tensiunii de la consumator.

Introducând ultima relație în ecuația (9.11) se obține:

$$Q_{s_2} = \frac{\sqrt{3} E_{d0} U_2}{X} \cos \theta - \frac{\sqrt{3} V_2 U_2}{X}, \quad (9.14)$$

sau:

$$Q_{s_2} = \frac{E_a \cdot U_2}{X} \cos \theta - \frac{U_2^2}{X}, \quad (9.15)$$

care reprezintă caracteristica puterii reactive a puterii generate, reprezentată prin curba 1 a figurii 9.8.

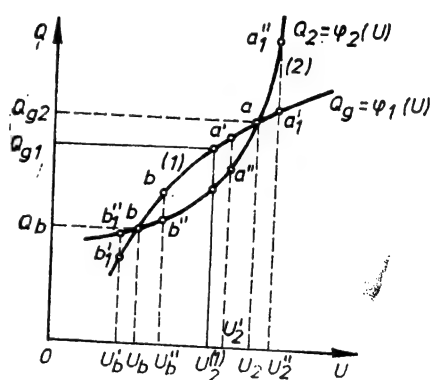
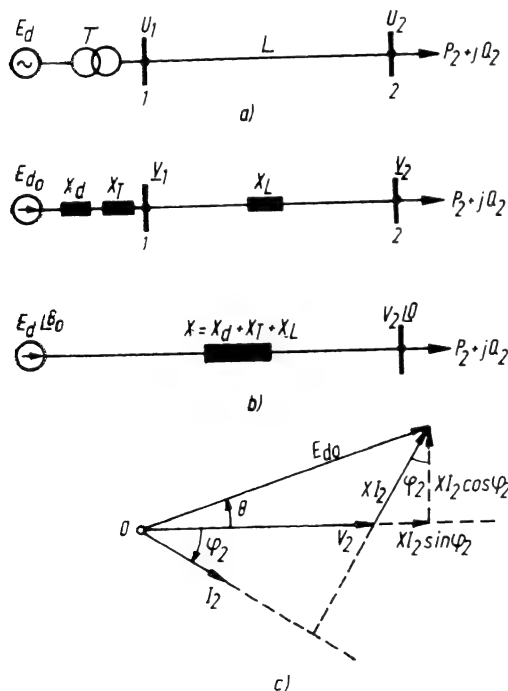


Fig. 9.8. Diagrama de variație a puterii reactive funcție de tensiune,  $Q = f(U)$ .

Fig. 9.7. Schema electrică a unei centrale electrice care debitează pe bare de putere infinită ( $U_2 = \text{const}$ ):

a - schema inițială; b - schema echivalentă; c - diagrama fazorială a tensiunilor.

Punctul  $a$  al acestei caracteristici, corespunzător puterii reactive  $Q_{g_2}'$ , se obține înlocuind în relația (9.15) valorile mărimilor din regimul normal de funcționare. Pentru determinarea unui alt punct al caracteristicii, de exemplu  $Q_{g_1}$ , se alege pentru tensiunea  $U_2$  o valoare  $U_2^{(1)} < U_2$  și se admite, făcându-se ipoteza că regulatorul de tensiune al generatorului nu acționează, că  $E_a = \text{const.}$  De asemenea, se consideră că puterea  $P_2$  preluată de consumator nu variază dacă tensiunea  $U_2$  devine  $U_2^{(1)}$ . Utilizând apoi relația (9.3) se poate determina:

$$\sin \theta = \frac{P_2 X}{E_a U_2^{(1)}} \quad (9.16)$$

cu care se află  $\cos \theta$ . Introducând această valoare și pe  $U_2^{(1)}$  în relația (9.15) se obține noua valoare a puterii reactive,  $Q_{g_1}$ . Folosind același procedeu, dacă se scade treptat tensiunea  $U_2$ , se pot obține valorile succesive ale puterii reactive generate, cu care se trasează curba  $Q_g = \varphi_1(U)$ . Caracteristica  $Q_c = \varphi_2(U)$ , numită *caracteristică statică a consumatorului* depinde de structura sarcinii și de treapta de tensiune pentru care se stabilește. Când sarcina este reprezentată printr-o impedanță constantă, caracteristica statică se prezintă sub forma unei curbe de gradul 2. Pentru o sarcină complexă, în care ponderea cea mai mare o au motoarele asincrone, gradul curbei este  $1,5 \div 2,5$ , adică variația ei în raport cu tensiunea, exprimată în unități relative este:

$$\frac{dQ_c^*}{dU^*} = 1,5 \div 2,5. \quad (9.17)$$

Cu titlu informativ, în figura 9.9 se dau două caracteristici statice ale unor sarcini complexe măsurate în diferite noduri ale sistemului electric la tensiunea de 6 (10) kV și 110 kV, din care se constată că puterea reactivă absolută scade neliniar odată cu reducerea tensiunii de alimentare. La tensiuni prea scăzute puterea reactivă poate însă crește cu gradul de micșorare a nivelului de tensiune.

În figura 9.8 caracteristica statică a consumatorului s-a reprezentat prin curba 2, care intersectează caracteristica generatorului în două puncte  $a$  și  $b$ , fiecare putînd fi punct de funcționare. În zona cuprinsă între punctele  $a$  și  $b$  curba puterii reactive generate  $Q_g$  este situată deasupra curbei puterii reactive consumate  $Q_c$ , iar în afara punctelor  $a$  și  $b$  poziția lor relativă este inversă.

Pentru a stabili care dintre cele două puncte  $a$  și  $b$  corespunde funcționării stabile, se va analiza comportarea nodului rețelei în fiecare punct, în cazul apariției unor perturbații.

Se presupune că în punctul  $a$  de funcționare din figura 9.8 căruia îi corespunde tensiunea  $U_2$  și puterea reactivă  $Q_{g_2}$ , apare o scădere a tensiunii pînă la valoarea  $U_2'$ .

Pentru această tensiune se constată că, puterea reactivă care intră în nod corespunzînd lui  $a'$  este mai mare decît puterea reactivă cerută de consumatori

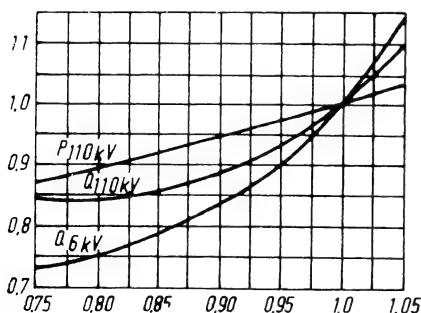


Fig. 9.9. Caracteristicile statice ale sarcinii la tensiunile de 6(10) și 110 kV.

(punctul  $a''$ ) și deci, apare la nodul respectiv un excedent de putere reactivă  $\Delta Q = Q_{a'} - Q_{a''}$ , care conduce la creșterea tensiunii nodului de la  $U_2'$  până la  $U_2$ , unde se restabilește echilibrul între cele două puteri reactive. Dacă perturbația constă în creșterea tensiunii nodului de la  $U_2$  până la  $U_2''$  se constată că la nodul rețelei apare un deficit de putere reactivă,  $-\Delta Q = Q_{a_1'} - Q_{a_1''}$ , deoarece puterea reactivă care intră în nod  $Q_{a_1'}$  este mai mică decât cea care este necesară consumatorilor la tensiunea  $U_2''$  și în consecință tensiunea scade de la valoarea  $U_2''$ , ajungînd la valoarea  $U_2$  corespunzătoare punctului inițial de funcționare  $a$ . Rezultă, deci, că  $a$  reprezintă un punct de funcționare stabil, deoarece în cazul oricărei perturbații funcționarea revine în punctul inițial.

Dacă se consideră  $b$  ca punct de funcționare, caracterizat de mărimile  $Q_b$  și  $U_b$ , dacă nu apare nici o perturbație, funcționarea este posibilă. În cazul că apare o perturbație, de exemplu, tensiunea crește de la  $U_b$  la  $U_b''$ , în nod apare un excedent de putere reactivă,  $\Delta Q = Q_b - Q_{b'}$  care conduce nu la scăderea tensiunii, ci la creșterea ei în continuare pînă se ajunge în  $a$  unde funcționarea se stabilizează. Presupunînd acum că tensiunea scade de la  $U_b$  la  $U_b'$ , se constată apariția unui deficit de putere reactivă  $-\Delta Q = Q_{b_1} - Q_{b_1'}$ , ceea ce conduce la scăderea în continuare a tensiunii, urmată de creșterea deficitului  $-\Delta Q$  și, respectiv, de scăderea tensiunii sub forma unei avalanșe, care conduce la pierderea stabilității nodului respectiv; aceasta poate influența, funcție de mărimea nodului, și funcționarea restului sistemului. În concluzie, în punctul  $b$  funcționarea este instabilă.

În continuare este necesar să se examineze condițiile în care se asigură stabilitatea după criteriul  $\frac{dQ}{dU}$ .

În figura 9.10,  $a$  este reluată situația inițială de funcționare, din care se constată că între punctele  $a$  și  $b$  apare o zonă de excedent de putere reactivă, ca urmare a faptului că curba puterii reactive generate este deasupra celei consumate. Acest excedent  $\Delta Q = Q_g - Q_c$  are o valoare maximă pentru o anumită tensiune  $U = U_{cr}$ . Considerînd că în nodul sistemului pe care îl analizăm crește consumul de putere reactivă corespunzător caracteristicii  $Q_{c_1}$ , fără a schimba caracteristica  $Q_g$  a puterii reactive care intră în nod, se constată că punctul de funcționare stabilă  $a$  trece în poziția  $a_1$ , corespunzător unei tensiuni de funcționare  $U_{a_1} < U_a$ . De asemenea, se reduce și rezerva de putere reactivă  $\Delta Q_1 = Q_g - Q_{c_1}$  și valoarea sa maximă, însă aceasta corespunde aceleiași tensiuni  $U_{cr}$ , pentru că forma curbei  $Q_c$  nu s-a modificat.

Dacă consumul continuă să crească, curba  $Q_{c_1}$  se ridică în poziția  $Q_{c_2}$ , punctul de funcționare trece în  $a_2$  la tensiunea  $U_{a_2}$  și mai mică și rezerva de putere reactivă scade mai mult; de asemenea, scade și valoarea ei maximă la aceeași tensiune  $U_{cr}$ .

La o creștere suplimentară a consumului, corespunzătoare curbei  $Q_{c_3}$ , se constată că aceasta devine tangentă la curba  $Q_g$  în punctul  $a_c$ , care se confundă și cu punctul  $b_c$  instabil, iar rezerva de putere reactivă devine zero. Valoarea tensiunii  $U_{cr}$ , pentru care se realizează această situație se numește *tensiunea critică* și corespunde valorii maxime a rezervei de putere reactivă.

Dacă consumul ar continua să crească, corespunzător curbei  $Q_{c_4}$ , se constată că aceasta nu se mai intersectează cu caracteristica  $Q_g$  și deci, stabilitatea funcționării nu mai este asigurată.

În urma acestei analize se constată că stabilitatea este asigurată dacă punctul de funcționare este pe porțiunea  $a \div a_c$  a curbei  $Q_g$ , scade pe măsură ce se apropie de  $a_c$  și devine nulă când  $a_c$  este chiar punctul de funcționare.

Referindu-ne la curbele  $\Delta Q$  reprezentînd diferențele  $Q_g - Q_c$ , rezultă că stabilitatea este asigurată atunci cînd punctul de funcționare se află în zona  $U_a \div U_{cr}$ , adică pe porțiunea ascendentă a curbelor  $Q = f(U)$ . Derivata  $d(\Delta Q)/dU$  într-un punct oarecare la această curbă pe porțiunea ascendentă, pentru care nodul sistemului este stabil, este negativă și deci criteriul de stabilitate  $\frac{dQ}{dU}$  poate fi exprimat sub forma:

$$\frac{d(\Delta Q)}{dU} = \frac{d(Q_g - Q_c)}{dU} < 0, \quad (9.18)$$

sau:

$$\frac{dQ_g}{dU} < \frac{dQ_c}{dU}. \quad (9.19)$$

Pentru valoarea maximă a lui  $\Delta Q$  valoarea derivatei este zero și deci stabilitatea nu mai este asigurată, precum și pe partea descendentă a curbei  $\Delta Q$  unde derivata este pozitivă.

Rezultă deci, că pentru a asigura funcționarea stabilă atît pentru nodul sistemului care a fost analizat, cît și pentru oricare alt nod, se determină tensiunea critică, fiind necesar ca tensiunea reală la barele nodului să fie mai mare decît tensiunea critică. Se poate stabili și un coeficient  $K_q$ , care să indice rezerva de stabilitate, dat de expresia:

$$K_q = \frac{U_r - U_{cr}}{U_r} 100, \quad (9.20)$$

în care  $U_r$  este tensiunea reală la bare.

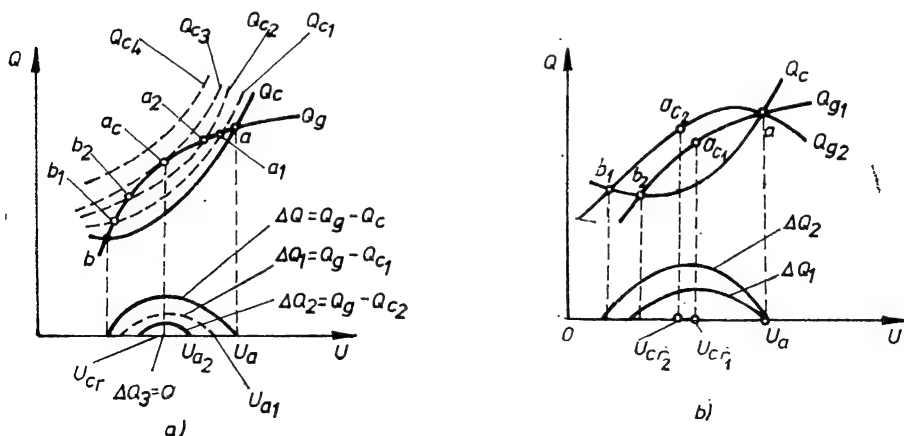


Fig. 9.10. Determinarea tensiunii critice de funcționare cu ajutorul criteriului  $\frac{dQ}{dU}$ :

$a$  — fără regulator de tensiune;  $b$  — cu regulator de tensiune.

Valoarea coeficientului  $K_q$  este de  $10 \div 15\%$  în cazul situației normale a sistemului și de  $5 \div 10\%$  în situații de după avarie, când unele elemente ale sistemului (linie, transformator) nu sînt în funcțiune.

Tensiunea critică  $U_{cr}$  se poate calcula, și este necesar să fie determinată pentru fiecare nod consumator al sistemului energetic, după ce s-au stabilit, așa cum s-a arătat mai sus, cele două caracteristici  $Q_g = \varphi_1(U)$  și  $Q_c = \varphi_2(U)$ . Efectuînd diferența acestor curbe  $\Delta Q = Q_g - Q_c$ , se determină valoarea maximă a acesteia, căreia îi corespunde tensiunea critică din figura 9.10,  $a$ .

În lipsa reguletoarelor automate de tensiune se poate considera că funcționarea este stabilă la tensiuni  $U = (0,85 \div 0,9) U_n$ .

#### 9.1.4. INFLUENȚA REGULATORULUI DE TENSIUNE ASUPRA STABILITĂȚII, DUPĂ CRITERIUL $\frac{dQ}{dU}$

În cadrul examinării făcute mai sus, s-a considerat că reguletoarele de tensiune ale generatoarelor nu au acționat în timpul apariției perturbațiilor și, drept consecință, tensiunea electromotoare a grupului echivalent  $E_a$  s-a menținut tot timpul constantă.

Întrucît însă generatoarele sînt prevăzute cu reguletoare de tensiune, acestea intervin atunci cînd sarcina reactivă la bornele sale scade. Regulatorul menține tensiunea constantă la bornele generatorului, crescînd curentul de excitație și deci pe  $E_a$ , pînă cînd se ajunge la valoarea maximă a acestor mărimi.

În calculele care se fac pentru determinarea caracteristicii  $Q_g = \varphi_1(U)$  se poate ține seama de faptul că  $E_a$  crește pe măsură ce regimul de funcționare se înrăutățește, adică  $U_2$  scade. Aceasta conduce la obținerea unei caracteristici  $Q_{g_2}$  situată deasupra caracteristicii  $Q_{g_1}$ , stabilită fără considerarea regulatorului așa cum se constată din figura 9.10,  $b$ . Consecința modificării curbei  $Q_g$  constă, așa cum se constată și din figura 9.10,  $b$ , în faptul că rezerva de putere reactivă  $\Delta Q_2$  este mai mare decît în primul caz și totodată tensiunea critică  $U_{cr_2}$  se deplasează spre valori mai mici ale tensiunii ( $U_{cr_2} < U_{cr_1}$ ).

Aceasta conduce la îmbunătățirea condițiilor de stabilitate, deoarece tensiunea la nodul respectiv din sistem poate scădea la valori mai mici decît în cazul fără regulator și stabilitatea să nu fie periclitată. De exemplu, din figura 9.10,  $b$  se constată că, în cazul intervenției regulatorului, tensiunea nodului poate ajunge la valoarea  $U_{cr_1}$  și stabilitatea se menține, deoarece punctul corespunzător pe curba  $\Delta Q_2$  este încă pe partea ascendentă a acesteia.

Practic, se poate considera că tensiunea poate să scadă în diferite noduri, pînă la  $(0,75 \div 0,8) U_n$ , cînd există reguletoare de tensiune fără ca stabilitatea să fie compromisă.

Calculul stabilității statice folosind criteriul  $\frac{dQ}{dU}$  se poate face pentru toate nodurile sistemului energetic, dar prezintă importanță mai mică pentru nodurile situate la capătul unor linii lungi, unde criteriul  $\frac{dP}{d\theta}$  are priori-



tate; în schimb prezintă mai mare importanță pentru nodurile unui sistem buclat cu linii de lungimi considerate normale pentru tensiunile respective. Criteriul se poate aplica și pentru scheme mai complexe, volumul de calcule necesar crescând corespunzător.

## 9.2. STABILITATEA DINAMICĂ A SISTEMELOR ELECTRICE

În cea mai mare parte a cazurilor, instabilitatea sistemelor electrice și pierderea sincronismului sau paralelismului dintre centrale se produc la puteri transportate pe linii inferioare limitelor de stabilitate statică, însă când rețeaua suferă o variație bruscă a regimului de funcționare. În condiții de scurtcircuit, de exemplu, oscilațiile mașinilor sincrone pot atinge amplitudini suficient de mari, care să rupă echilibrul dintre cuplurile motoare și rezistente, exercitate asupra fiecărei mașini.

Într-adevăr, în cursul unor perturbații bruște, mărimile electrice variază foarte repede de la valorile inițiale, la acelea corespunzătoare noului regim de funcționare a sistemului. Practic, la scara timpilor frecvenței industriale, se poate considera că curenții, tensiunile, puterile și cuplurile electrice variază aproximativ instantaneu. În același mod, variază și accelerațiile legate de cuplurile electrice. Dimpotrivă, în același interval de timp, cuplurile mecanice nu se pot modifica, deoarece variația lor depinde de intervenția reguletoarelor și de inerția organelor de admisie și a fluidului motor. Ca urmare, cuplul rezistent va înceta să echilibreze cuplul motor și rotorul mașinii va căpăta, datorită acestui fapt, o accelerație pozitivă sau negativă.

*Stabilitatea dinamică determină condițiile pentru care o rețea electrică oarecare, supusă unei perturbații violente, determinată fie de un defect, fie de o manevră de exploatare, rămâne stabilă.*

Fie de exemplu, sistemul electric din figura 9.11 format din două centrale 1 și 2 conectate prin două linii de transport care alimentează un consumator  $C$ . Un scurtcircuit în punctul  $M$  al rețelei, în apropierea barelor colectoare ale stației de transformare de la centrala 2, micșorează posibilitatea transmiterii puterii către consumator. Ambele centrale se vor descărca, mai întâi centrala cea mai apropiată electric de locul de scurtcircuit, mașinile accelerându-se neuniform. Viteza relativă dintre rotoarele centralelor 1 și 2 începe să crească, unghiul  $\theta_{12}$  dintre axele acestora variază în același sens, astfel încât se poate atinge o situație critică care să conducă la ieșirea din sincronism.

În desfășurarea procesului de variație a unghiului  $\theta_{12}$  și a vitezelor relative dintre cele două rotoare, se pot prezenta următoarele două cazuri.

a. După o serie de oscilații care se amortizează, unghiul  $\theta_{12}$  ia o nouă valoare  $\theta_{12}^{(1)}$ , superioară valorii  $\theta_{12}^{(0)}$ , corespunzătoare unei noi stări de echilibru

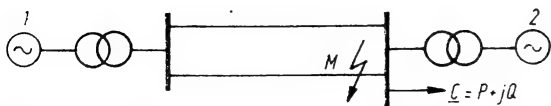


Fig. 9.11. Sistem electric cu două centrale afectat de un scurtcircuit.

a rețelei; mișcarea relativă a rotoarelor celor două mașini este atunci oscilatorie amortizată, ca în figura 9.12, a, sincronismul acestora conservându-se. Este de menționat

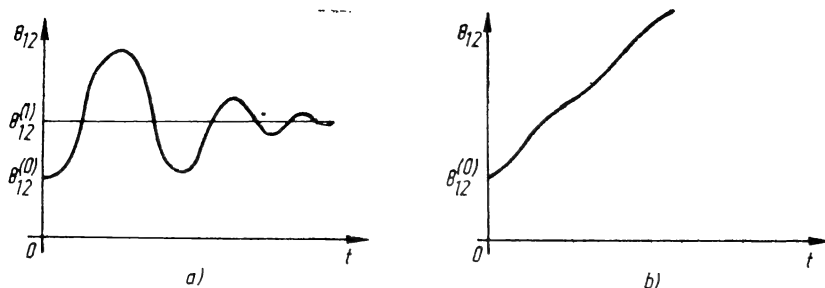


Fig. 9.12. Variațiile posibile ale defazajului  $\theta_{12}$  dintre axele a două generatoare la producerea unui defect.

faptul că în cursul primelor oscilații, unghiul  $\theta_{12}$  poate depăși unghiul limită al stabilității statice, fără a antrena ieșirea din sincronism a celor două centrale electrice.

b. Unghiul  $\theta_{12}$  crește continuu în timp, ca în figura 9.12, b iar viteza relativă dintre mașini, după ce atinge un minim, pentru un anumit unghi limită, crește de asemenea continuu, astfel că sincronismul dintre centrale se pierde.

Aceste rezultate se extind și pentru cazul când sistemul are mai multe grupuri de centrale electrice și o rețea complexă, ca în figura 9.13. Mașinile pot rămâne în sincronism în cadrul aceluiași grup, însă diferitele grupuri, între ele, pierd sincronismul și funcționează cu frecvențe diferite. Pentru sistemul din figura 9.13 sincronismul se poate rupe fie între grupul  $A - E$  și grupul  $B - C - D$ , fie între grupul  $A - B - C$  și grupul  $D - E$  etc. În acest mod, stabilitatea dinamică se menține pe grupuri de centrale, dar este compromisă între grupuri.

### 9.2.1. CAUZELE CARE PRODUC PIERDEREA STABILITĂȚII DINAMICE

În general, oscilațiile mașinilor sincrone care determină pierderea sincronismului pot apărea datorită următoarelor cauze:

a) creșteri bruște ale impedanței unei rețele de transport, cum ar fi cea din figura 9.11, când una din cele două linii paralele este deconectată;

b) scurtcircuite de orice natură (între faze și pământ sau între faze) care constituie cele mai periculoase defecte pentru pierderea stabilității dinamice a unui sistem electric. În urma scăderii bruște de tensiune, din cauza unui scurtcircuit trifazat, de exemplu, legătura dintre centralele electrice se

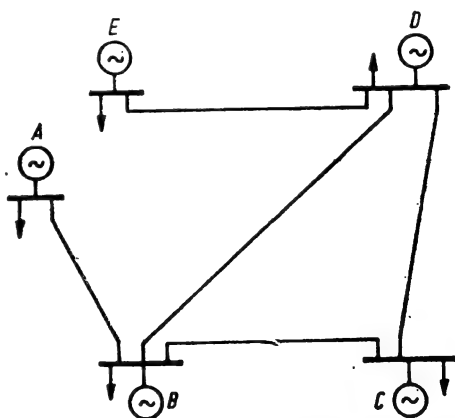


Fig. 9.13. Sistem electric cu mai multe centrale electrice, în care sincronismul se poate pierde pe grupuri de centrale.

slăbește atît de mult, încît stabilitatea sistemului, în ansamblu sau între grupuri, se poate pierde;

c) suprasarcini bruște ca acelea care rezultă din transferul de putere pe o parte din rețea, cînd se deschide o buclă și se modifică schema de conexiuni a rețelei;

d) o succesiune a acestor fenomene. Este ceea ce se petrece în general, în cazul unui scurtcircuit care are loc pe o linie a unei rețele buclate, cînd linia deconectată antrenează o creștere a impedanței, iar după un interval de timp foarte scurt, celelalte linii sînt supraîncărcate.

Probabilitatea instabilității unui sistem la modificarea bruscă a regimului de funcționare este cu atît mai mare, cu cît puterea transportată este mai ridicată. Prin analogie cu limita stabilității statice se poate defini și aici o *limită a stabilității dinamice* determinată de o anumită perturbație, *care reprezintă puterea maximă transportată pe o linie fără ca sincronismul dintre centralele pe care le unește să se piardă*. Determinarea acestor limite constituie obiectul de studiu al stabilității dinamice a unei rețele. Dacă de exemplu, apariția unui scurtcircuit monofazat pe o linie oarecare, eliminat într-un anumit timp, provoacă instabilitatea rețelei cînd puterea transportată depășește o valoare limită  $P_{max}$ , atunci se pot indica condițiile de funcționare ale acesteia la o încărcare mai redusă, care să elimine riscul ruperii sincronismului.

Determinarea acestor limite ale stabilității dinamice necesită, în general, calcule complexe, datorită faptului că, spre deosebire de stabilitatea statică unde nu s-au luat în considerare decît mărimi electrice, — tensiuni electromotoare și impedanțe —, în acest caz, intervin și mărimi mecanice — momente de inerție, deschideri unghiulare între axele rotoarelor generatoarelor, viteze și accelerații relative etc. Așa cum s-a menționat, unele din aceste mărimi, cum ar fi deschiderile unghiulare, sînt legate de inerția maselor în mișcare și nu pot varia brusc, suferind, într-o măsură mai mare sau mai mică, discontinuități. Din această cauză, metodele de studiere a stabilității dinamice sînt mai complicate, fiind utilizate și modelele analogice și calculatoarele numerice.

### 9.2.2. ELEMENTE GENERALE DE CALCUL AL STABILITĂȚII DINAMICE

Stabilitatea dinamică a sistemelor electrice reprezintă o problemă de mișcare relativă, care are loc cînd rețeaua de transport este sediul unei perturbații violente. Ea se studiază considerînd mișcarea tuturor mașinilor generatoare în raport cu o axă, care se rotește cu viteza unghiulară egală cu pulsația industrială a rețelei. Poziția unei mașini oarecare  $k$  este determinată de unghiul  $\theta_k(t)$  pe care-l face, în fiecare moment, axa de simetrie a rotorului cu axa fixă.

Pentru a scrie ecuația mișcării și a efectua calculele necesare, trebuie cunoscute anticipat anumite elemente cu caracter electric sau mecanic, cum ar fi: considerarea sarcinilor electrice, schemele echivalente în cazul scurtcircuitelor, constantele de accelerație ale mașinilor și posibilitatea înlocuirii unui grup de mașini cu una echivalentă, puterile interne ale mașinilor generatoare, ecuația mișcării relative a rotoarelor etc.

9.2.2.1. *Reprezentarea consumatorilor în schema echivalentă.* Sarcinile electrice conțin receptoare diferite, cum ar fi motoare asincrone, motoare sincrone și receptoare pasive, a căror putere consumată se repartizează într-un anumit mod.

În general, pentru o anumită putere absorbită din rețea  $P$ , se poate considera că sarcina corespunzătoare motoarelor sincrone este  $0,2 P$ , cea a motoarelor asincrone  $0,45 P$  și cea a receptoarelor pasive  $0,35 P$ . La această putere consumată, corespunde o putere instalată în motoare aproximativ de două ori puterea consumată. În aceste condiții, puterea totală  $P$  absorbită este de  $\frac{0,4 P}{\cos \varphi_1}$  pentru motoare sincrone,  $\frac{0,9 P}{\cos \varphi_2}$  — motoare asincrone și  $0,35 P$  — receptoare pasive.

Impedanțele echivalente ale diferiților consumatori se vor determina, în funcție de natura lor, ținând seama de reactanța procentuală, de puterea nominală și de tensiunea nominală luată ca bază în calcule.

Pentru motoare sincrone, considerînd o reactanță de ordinul 20 %, rezultă că reactanța directă are valoarea:

$$X_1 = 0,2 \frac{U^2 \cos \varphi_1}{0,4 P} = \frac{U^2 \cos \varphi_1}{2 P}. \quad (9.21)$$

Aceeași valoare poate fi atribuită și reactanței inverse  $X_2$ .

În cazul motoarelor asincrone însă, impedanța acestora variază cu alunecarea, ceea ce conduce, așa cum s-a văzut la stabilitatea statică, la caracteristici de sarcină nelineare și complicate. Aceste caracteristici se complică și mai mult în cazul stabilității dinamice, unde ar trebui să se țină seama și de procesele electromagnetice tranzitorii din motoarele asincrone. Variația în timp a alunecării se face aici în funcție nu numai de saltul inițial de tensiune în caz de scurtcircuit, ci și de modificarea ulterioară a tensiunii, care nu poate fi determinată anticipat. Din această cauză, s-au trasat caracteristici dinamice ale sarcinii care reflectă variația alunecării motoarelor asincrone în timp, în caz de scurtcircuit. Cu ajutorul lor este posibilă determinarea, în fiecare moment, a variației alunecării și modificarea corespunzătoare a impedanțelor de sarcină.

Folosirea acestor caracteristici pentru cercetarea stabilității dinamice este foarte laborioasă, dacă se aplică metode de calcul analitic. Ea este indicată mai ales în cazul cînd se studiază stabilitatea cu ajutorul modelelor sau al calculatoarelor.

În calculele analitice, pentru simplificare, se echivalează motoarele asincrone cu impedanțe constante, ceea ce presupune alunecări constante ale acestora. Impedanța directă va corespunde momentului dinaintea apariției scurtcircuitului și valoarea ei va fi determinată în funcție de tensiunea la borne, cu relația:

$$Z_1 = \frac{U^2 \cos \varphi_2}{0,9 P} (\cos \varphi_2 + j \sin \varphi_2). \quad (9.22)$$

Impedanța inversă a motoarelor asincrone diferă mult de cea directă. Ea poate fi considerată ca avînd o valoare aproximativă de  $(0,3 \div 0,4) Z_1$ .

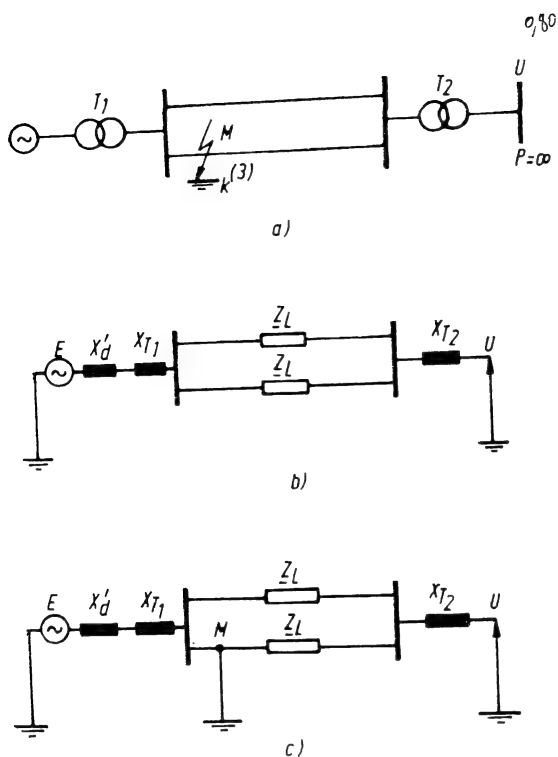


Fig. 9.14. Sistem electric avariât de un scurtcircuit trifazat:

a — schema inițială; b — schema echivalentă de regim permanent; c — schema echivalentă în caz de scurtcircuit.

zero, acoperind numai pierderile în rezistențele active ale schemei. Surplusul de putere debitat de turbină și, în consecință momentul, suplimentar la laxul mașinii ating valori ridicate, ceea ce explică marea probabilitate de pierdere a stabilității dinamice în cazul unui scurtcircuit trifazat.

În cazul scurtcircuitelor nesimetrice tensiunile și curenții sînt dezechilibrați, iar puterea este determinată de relația:

$$S = 3 (V_1 I_1 + V_2 I_2 + V_0 I_0), \quad (9.23)$$

în care  $V_k$  reprezintă tensiunile pe fază și  $I_k$  curenții pe fază pentru fiecare sistem, direct 1, invers 2 și homopolar 0.

Trebuie menționat însă că tensiunile electromotoare interne ale mașinilor care corespund curentului de excitație sînt totdeauna echilibrate și componentele lor inverse și homopolare sînt nule. În același timp, curenții de secvență homopolară nu circulă prin înfășurările generatoarelor, deoarece acestea sînt conectate la înfășurarea cu conexiunea în triunghi a transformatoarelor. În aceste condiții, dacă transformatorul are neutrul legat direct la pămînt, curenții de succesiune homopolară se închid prin neutrul acestuia la pămînt.

9.2.2.2. Schemele echivalente de scurtcircuit. Scurtcircuitul reprezintă mari consumatori și, în consecință, ele pot fi echivalate prin impedențe cu anumite valori.

În cazul unui scurtcircuit trifazat, cu sau fără punere la pămînt, schema echivalentă a unei rețele electrice se deosebește de cea de regim normal de funcționare, prin aceea că punctul de scurtcircuit este legat direct la conductorul de întoarcere, iar generatoarele sînt introduse prin reactanțele și tensiunile lor electromotoare tranzitorii sau supratranzitorii. În punctul de scurtcircuit tensiunea scade la zero și transportul de energie către consumator prin acest punct devine imposibil, sursele generatoare debitănd pe scurtcircuit.

În figura 9.14 este arătat un sistem de transport, în care are loc un scurtcircuit la capătul de intrare al liniei. În aceste condiții, puterea centralei scade aproximativ la

Curenții de succesiune inversă însă se regăsesc în înfășurările generatorului, ca componente ale oricărui curent nesimetric. Ei creează în întrefierul mașinii un flux magnetic de reacție, care se rotește în sens invers rotorului cu o viteză sincronă dublă. Acest flux nu are nici o influență asupra mărimii fluxului sincron fundamental din întrefier și nici asupra tensiunii electromotoare de succesiune directă, deoarece valoarea lui medie este aproximativ nulă. Corespunzător, se poate presupune că apare și un cuplu de succesiune inversă, care variază cu frecvența sincronă dublă. Inerția rotorului este atât de mare însă, încît el nu poate urma oscilațiile periodice de 100 Hz, astfel încît valoarea medie a cuplului este de asemenea aproape nulă.

În aceste condiții, în cazul scurtcircuitelor nesimetrice este posibil să nu se țină seama de apariția momentelor (puterilor) legate de curenții de succesiune inversă și homopolară, considerînd numai sistemul de curenți și de tensiuni de succesiune directă. Acest lucru însă nu trebuie interpretat în sensul că parametrul schemelor de succesiune inversă și homopolară nu au nici o influență asupra stabilității dinamice, în cazul scurtcircuitelor nesimetrice. După cum se știe, schemele de succesiune directă, inversă și homopolară sînt legate între ele și formează scheme complexe la scurtcircuite nesimetrice. În consecință, curenții și tensiunile de secvență directă care intervin în determinarea puterilor generatoarelor în cazul stabilității dinamice depind nu numai de impedanțele și de configurația schemelor de succesiune directă, ci și de a celor de succesiune inversă și homopolară. Acestea din urmă se conectează la schema directă, în locul de scurtcircuit, între fiecare fază și pămînt, sub forma unei impedanțe echivalente  $Z_c$ , a cărei valoare este egală cu:

$Z_0 + Z_2$  — în cazul unui scurtcircuit monofazat;

$Z_2 \parallel Z_0$  — în cazul unui scurtcircuit bifazat cu punere la pămînt;

$Z_2$  — în cazul scurtcircuitului bifazat;

0 — în cazul unui scurtcircuit trifazat.

Impedanțele de secvență inversă și homopolară sînt impedanțele totale raportate la punctul de scurtcircuit.

Comparînd aceste tipuri de scurtcircuite se constată din figura 9.15, că cel mai grav este scurtcircuitul trifazat, deoarece în acest caz tensiunea și impedanța echivalentă din punctul de scurtcircuit sînt nule.

Fie de exemplu rețeaua din figura 9.14, *a* în care se produce un scurtcircuit monofazat în punctul *M*. Schema echivalentă de scurtcircuit este prezentată în figura 9.16, *a* în care tensiunile și curenții generatorului și receptorului sînt componente de succesiune directă. Ele provoacă variații ale puterii generatorului și oscilațiile acestuia în caz de scurtcircuit. Consi-

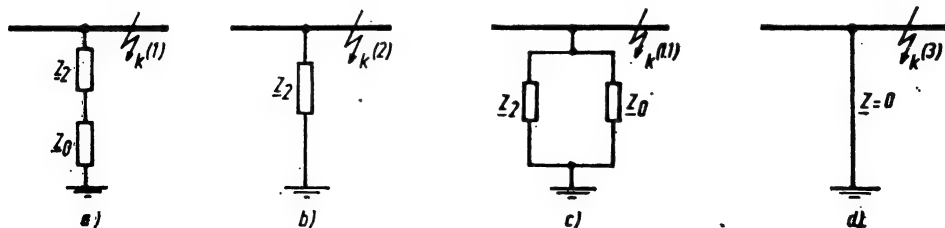
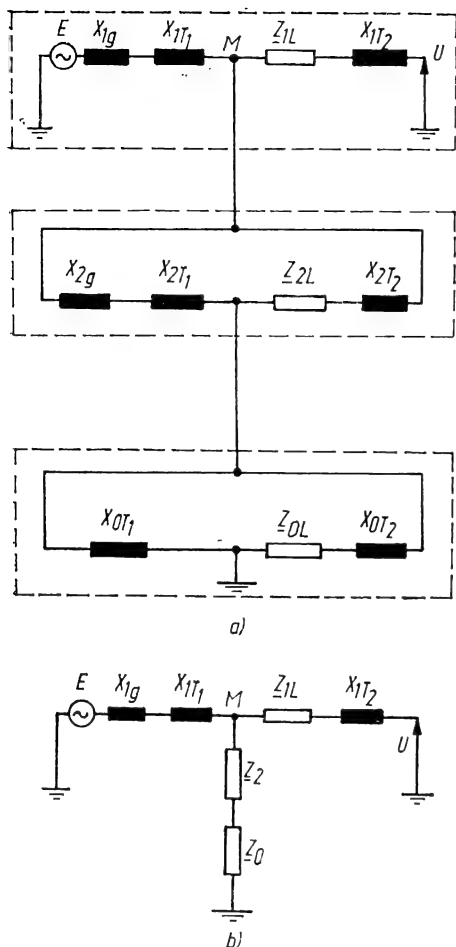


Fig. 9.15. Impedanțele echivalente conectate la schema de succesiune directă, în locul de defect pentru diferite scurtcircuite:

*a* — monofazat; *b* — bifazat; *c* — bifazat cu punere la pămînt; *d* — trifazat.



Fgi. 9.16. Schema echivalentă a rețelei din figura 9.14, în cazul unui scurtcircuit monofazat:

a — schema inițială; b — schema finală.

derind schema echivalentă a rețelei de succesiune directă 1, scurtcircuitul monofazat se va reduce la conectarea în punctul  $M$  a unei impedanțe rezultante, formată din impedanțele de succesiune inversă și homopolară legate în serie, ca în figura 9.16, b.

Este de menționat faptul că efectul scurtcircuitului asupra stabilității dinamice nu depinde numai de tipul acestuia, ci și de locul unde se produce. În cazul figurii 9.14, de exemplu, scurtcircuitul la mijlocul liniei este mai puțin periculos decât cel de la capete.

9.2.2.3. *Caracteristicile mecanice ale grupurilor electrogene.* În calculul stabilității dinamice momentul de inerție al unui generator și al mașinii care îl antrenează ( $I = \frac{GD^2}{4}$ ) se înlocuiește adesea prin constanta de accelerație sau prin constanta de inerție.

Constanta de accelerație  $\tau$  reprezintă raportul dintre dublul energiei cinetice înmagazinate în masele în rotație la viteză normală (viteza sincronă  $\Omega_0$ ) și puterea  $P_n$  a mașinii, adică:

$$\tau = \frac{2 W_c}{P_n} = \frac{I \Omega_0^2}{P_n} = \frac{I \left( \frac{\omega_0}{p} \right)^2}{P_n} [s]. \quad (9.24)$$

Ea se exprimă în secunde și reprezintă timpul necesar grupului pentru a trece din starea de repaus în stare

de mișcare cu viteza normală  $\Omega_0 = \frac{\omega_0}{p}$ , când i se aplică un cuplu motor constant corespunzător puterii nominale. Acest timp, denumit uneori *timp d, lansare*, are sensibil aceeași valoare pentru grupuri generatoare construite identic, cu puteri nominale care variază însă în limite largi. De exemplu grupurile turbogeneratoare au constante de accelerație apropiate de 10 s în timp ce grupurile hidrogeneratoare au constante de accelerație cu valori, mai mici, de aproximativ 5 s. Utilizarea acestor constante de accelerație în locul momentelor de inerție prezintă avantajul că ele variază puțin, în timp ce momentele de inerție variază sensibil chiar pentru două mașini de același tip, însă cu viteze diferite.

În cazul mai multor grupuri generatoare separate unele de altele prin impedențe cu valori reduse și când perturbația (scurtcircuitul) nu afectează direct unul din ele, se poate aprecia că acestea nu vor prezenta mișcări relative importante unele în raport cu celelalte. În aceste condiții pot fi înlocuite toate mașinile care debitează pe același sistem de bare, printr-o singură mașină echivalentă. Pentru două mașini, de exemplu, cu puterile nominale  $P_{n_1}$  și  $P_{n_2}$  și constantele de accelerație  $\tau_1$  și  $\tau_2$ , se poate presupune că puterea nominală a mașinii echivalente reprezintă suma puterilor nominale parțiale, iar energia cinetică a grupului echivalent reprezintă suma energiilor cinetice parțiale, adică:

$$\begin{aligned} P_{n_1} + P_{n_2} &= P_n, \\ \tau_1 P_{n_1} + \tau_2 P_{n_2} &= \tau (P_{n_1} + P_{n_2}) = \tau P_n, \end{aligned}$$

de unde reiese că:

$$\tau = \frac{\tau_1 P_{n_1} + \tau_2 P_{n_2}}{P_{n_1} + P_{n_2}} = \frac{\tau_1 P_{n_1} + \tau_2 P_{n_2}}{P_n}. \quad (9.25)$$

Relația (9.25) poate fi extinsă pentru calculul constantei de accelerație  $\tau$  a mașinii echivalente a  $n$  mașini care funcționează în paralel, în condițiile de mai sus, sub forma:

$$\tau = \frac{\sum_1^n \tau_k P_{n_k}}{\sum_1^n P_{n_k}}, \quad (9.26)$$

în care, conform relației (9.24),  $\tau_k$  are valoarea:

$$\tau_k = \frac{I_k \Omega_k^2}{P_k} = \frac{I_k \left( \frac{\omega_0}{p_k} \right)^2}{P_k}.$$

Constanta de inerție  $M$  a unui grup echivalent se definește, de asemenea, cu ajutorul momentului de inerție sub forma:

$$M = \frac{I \omega_0}{p^2} = \frac{\tau P_n}{\omega_0}, \quad (9.27)$$

și asupra ei se pot face aceleași observații ca și la constanta de accelerație.

În consecință, grupurile generatoare pot fi reprezentate prin caracteristici unice echivalente, nu numai din punct de vedere electric, ținând seama de tensiunile lor electromotoare, ci și din punct de vedere mecanic, ținând seama de momentele de inerție. Cu ajutorul acestor două constante definite mai sus se pot exprima ecuațiile de mișcare relativă a mașinilor necesare pentru studiul stabilității.

**9.2.2.4. Caracteristicile de putere ale generatoarelor într-un sistem cu mai multe centrale electrice.** Caracteristica de putere a unui generator determinată de relația (9.3) corespunde unei instalații simple, formată dintr-o centrală electrică, o stație de transformare și o linie de transport conectată cu un sistem de putere infinită. Schema echivalentă a fost întocmită luând în considerare numai reactanța elementelor componente.



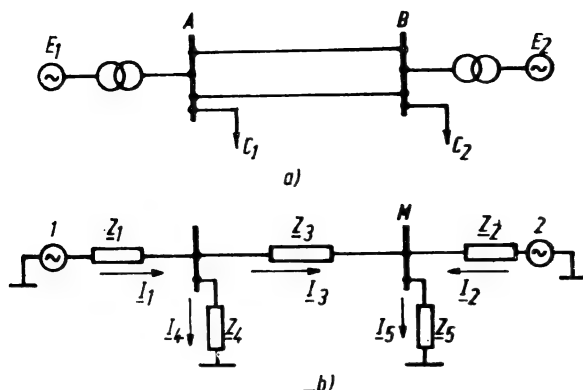


Fig. 9.17. Sistem electric cu două centrale și doi consumatori:

a — schema inițială; b — schema echivalentă.

rînd că rețeaua este liniară și neglijînd efectul de saturație magnetică în mașini.

Fie, de exemplu, sistemul prezentat în figura 9.17 format din două centrale electrice, interconectate printr-o linie de înaltă tensiune cu dublu circuit, care alimentează consumatorii de energie  $C_1$  și  $C_2$ . Curenții debitați de generatoarele de tensiuni electromotoare  $\underline{E}_1$  și  $\underline{E}_2$  sînt notați cu  $I_1$  și  $I_2$ , impedanțele de legătură care cuprind generatoarele, transformatoarele și linia cu  $Z_1$ ,  $Z_2$ ,  $Z_3$ , iar consumatorii cu  $Z_4$  și  $Z_5$ .

Regimul de funcționare corespunzător figurii 9.17, b se poate considera ca fiind rezultatul suprapunerii regimurilor schemelor echivalente prezentate în figura 9.18, în care debitează cîte o singură sursă generatoare pe totalitatea impedanțelor. În aceste condiții curenții debitați de fiecare mașină se pot scrie sub forma:

$$\begin{aligned} I_1 &= I_{11} - I_{21}; \\ I_2 &= I_{22} - I_{12}, \end{aligned} \quad (9.28)$$

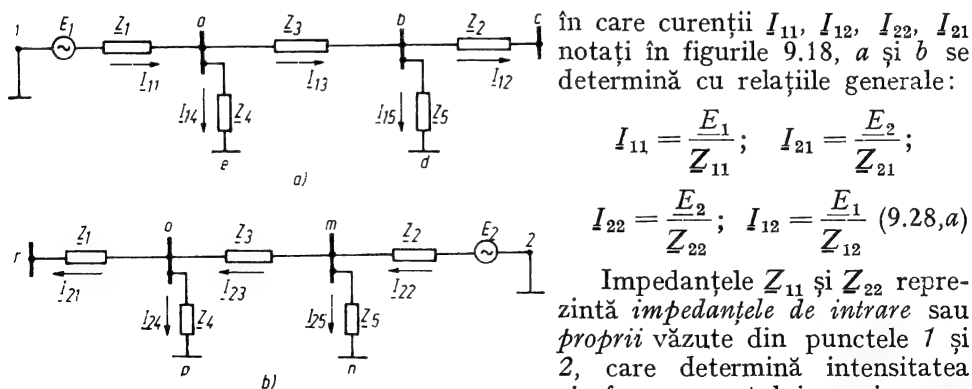


Fig. 9.18. Schemele echivalente și curenții corespunzători care permit calcularea curenților debitați de sursele generatoare din figura 9.17.

Se consideră acum cazul real al mai multor centrale electrice în paralel, care alimentează prin linii și stații consumatori de energie. Elementele sistemului vor fi înlocuite în schema echivalentă prin impedanțele lor, iar mașinile sincrone se vor considera cu poli înecați (cu întrefier constant). În acest caz, pentru determinarea puterilor active și reactive debitate de generatoare, se va aplica principiul superpoziției, conside-

Impedanțele  $Z_{11}$  și  $Z_{22}$  reprezintă *impedanțele de intrare* sau *proprie* văzute din punctele 1 și 2, care determină intensitatea și faza curentului unei surse generatoare date, în lipsa celeilalte surse. Impedanțele  $Z_{12}$  și  $Z_{21}$

sînt *impedanțe de transfer* între mașinile 1 și 2, care determină intensitatea și faza curentului din ramura unei surse, produs de cealaltă sursă. Se demonstrează că aceste impedanțe sînt două cite două egale, adică  $Z_{12} = Z_{21}$ ;  $Z_{13} = Z_{31}$  sau în general,  $Z_{mn} = Z_{nm}$ .

Fie  $\theta_1$  și  $\theta_2$  argumentele tensiunilor electromotoare  $E_1$  și  $E_2$  considerate în raport cu o axă oarecare și  $\psi_{11}$ ,  $\psi_{12}$ ,  $\psi_{22}$ ,  $\psi_{21}$  argumentele impedanțelor proprii și de transfer, adică:

$$\underline{E}_1 = E_1 |\theta_1; \quad \underline{E}_2 = E_2 |\theta_2;$$

$$Z_{11} = Z_{11} |\psi_{11}; \quad Z_{22} = Z_{22} |\psi_{22}; \quad Z_{12} = Z_{21} = Z_{12} \angle \psi_{12}.$$

Cu aceste notații și ținînd seama de relațiile (9.28,a) în (9.28) se obține:

$$\begin{aligned} I_1 &= \frac{E_1}{Z_{11}} |\theta_1 - \psi_{11} - \frac{E_2}{Z_{21}} |\theta_2 - \psi_{21}; \\ I_2 &= \frac{E_2}{Z_{22}} |\theta_2 - \psi_{22} - \frac{E_1}{Z_{12}} |\theta_1 - \psi_{12}. \end{aligned} \quad (9.29)$$

Puterile active interne ale fiecărei surse generatoare se determină, considerînd partea reală a produselor  $\underline{E}_1 I_1^*$  și  $\underline{E}_2 I_2^*$ , în care  $I_1^*$  și  $I_2^*$  reprezintă valorile conjugate ale curenților exprimați prin relațiile (9.29). Introducînd notațiile:

$$\theta_{12} = \theta_1 - \theta_2; \quad \theta_{21} = \theta_2 - \theta_1 = -\theta_{12};$$

$$\alpha_{12} = 90^\circ - \psi_{12} = \alpha_{21};$$

$$\alpha_{11} = 90^\circ - \psi_{11}; \quad \alpha_{22} = 90^\circ - \psi_{22},$$

se determină expresiile:

$$\begin{aligned} P_1 &= \frac{E_1^2}{Z_{11}} \cos \psi_{11} - \frac{E_1 E_2}{Z_{21}} \cos (\theta_{12} + \psi_{21}) = \frac{E_1^2}{Z_{11}} \sin \alpha_{11} + \frac{E_1 E_2}{Z_{21}} \sin (\theta_{12} - \alpha_{12}); \\ P_2 &= \frac{E_2^2}{Z_{22}} \cos \psi_{22} - \frac{E_2 E_1}{Z_{12}} \cos (\theta_{21} + \psi_{12}) = \frac{E_2^2}{Z_{22}} \sin \alpha_{22} - \frac{E_1 E_2}{Z_{12}} \sin (\theta_{12} + \alpha_{12}). \end{aligned} \quad (9.30)$$

Se constată că, caracteristicile de putere ale celor două centrale depind de constantele sistemului și de unghiul  $\theta_{12}$  dintre axele rotoarelor acestora. Ele conțin doi termeni, dintre care primul este constant și independent de unghiul  $\theta_{12}$ , reprezentînd *puterea proprie a fiecărei centrale*, iar cel de-al doilea este funcție de unghiul  $\theta_{12}$  și are o variație sinusoidală, reprezentînd *puterea de transfer dintre centrale*.

Reprezentarea grafică a caracteristicilor de putere  $P_1$  și  $P_2$  este dată în figura 9.19, din care se constată că sinusoidale

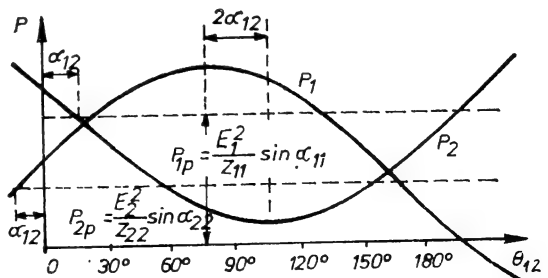


Fig. 9.19. Caracteristicile de putere a unui sistem cu două centrale.

sînt deplasate față de axa absciselor cu termenii\*  $\frac{E_1^2}{Z_{11}} \sin \alpha_{11}$  și  $\frac{E_2^2}{Z_{22}} \sin \alpha_{22}$  și față de axa ordonatelor, cu unghiurile  $\alpha_{12} = \alpha_{21}$ .

Impedanțele proprii și de transfer se pot calcula folosind metodele obișnuite.

Astfel, prin definiție  $Z_{11}$  este impedanța rezultantă văzută din punctul 1 al figurii 9.18, *a* care se obține inseriind tensiunea electromotoare în impedanța reieșită din compunerea ramurilor *ab*, *bd* și *ae*. Dacă se notează:

$$Z_6 = Z_3 + \frac{Z_2 \cdot Z_5}{Z_2 + Z_5},$$

atunci rețeaua corespunzătoare se reduce la trei impedanțe montate în stea ca în figura 9.20, *a*, din care reiese că:

$$Z_{11} = Z_1 + \frac{Z_4 \cdot Z_6}{Z_4 + Z_6}. \quad (9.31)$$

În același mod se obține  $Z_{22}$ , ca fiind impedanța rezultantă văzută din punctul 2 al schemei echivalente dată în figura 9.18, *b* adică:

$$Z_{22} = Z_2 + \frac{Z_5 \cdot Z_7}{Z_5 + Z_7},$$

în care:

$$Z_7 = Z_3 + \frac{Z_1 \cdot Z_4}{Z_1 + Z_4}.$$

În acest ultim caz, schema echivalentă este dată în figura 9.20, *b* și conține impedanțele  $Z_2$ ,  $Z_5$  și  $Z_7$  conectate în stea.

Impedanța de transfer  $Z_{12}$  reunește punctele 1 și 2 din schema echivalentă arătată în figura 9.21, *a*. Ea se determină efectuînd operațiile de transformare necesare, obținîndu-se schema echivalentă din figura 9.21, *b* din care reiese:

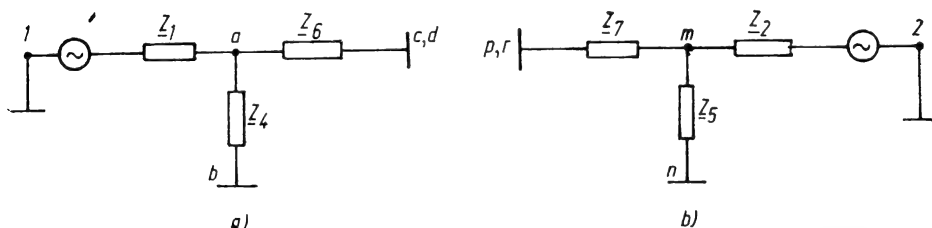


Fig. 9.20. Schemele echivalente pentru determinarea impedanțelor proprii ale sistemului prezentat în figura 9.17.

\* Aceste puteri se numesc puteri proprii ale generatoarelor și s-au notat în figura 9.19 cu  $P_{1p}$  și  $P_{2p}$ .

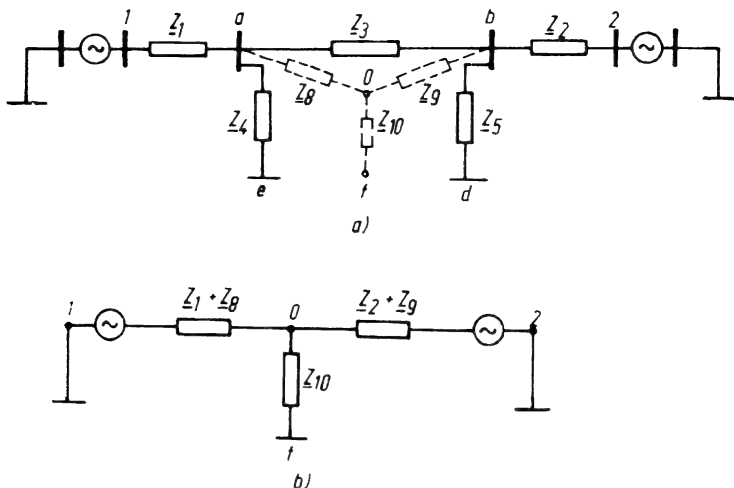


Fig. 9.21. Schemele echivalente pentru determinarea impedanței de transfer dintre centralele 1 și 2 din figura 9.17.

$$Z_{12} = (Z_1 + Z_8) + (Z_2 + Z_9) + \frac{(Z_1 + Z_8)(Z_2 + Z_9)}{Z_{10}} = Z_{21}, \quad (9.32)$$

în care:

$$Z_8 = \frac{Z_3 \cdot Z_4}{Z_3 + Z_4 + Z_5}; \quad Z_9 = \frac{Z_3 \cdot Z_5}{Z_3 + Z_4 + Z_5}; \quad Z_{10} = \frac{Z_4 \cdot Z_5}{Z_3 + Z_4 + Z_5}.$$

În cazul unui sistem electric cu  $n$  centrale interconectate printr-o rețea cu  $N$  noduri, ca în figura 9.22, se folosește aceeași metodă generală de calcul și se obține:

$$I_{11} = \frac{E_1}{Z_{11}}; \quad I_{21} = \frac{E_1}{Z_{12}}; \quad I_{31} = \frac{E_1}{Z_{13}}; \dots; \quad I_{n1} = \frac{E_1}{Z_{n1}}; \dots \dots \dots (9.33)$$

$$I_{nn} = \frac{E_n}{Z_{nn}}; \quad I_{1n} = \frac{E_n}{Z_{1n}}; \quad I_{2n} = \frac{E_n}{Z_{2n}}; \dots; \quad I_{n(n-1)} = \frac{E_n}{Z_{(n-1)n}},$$

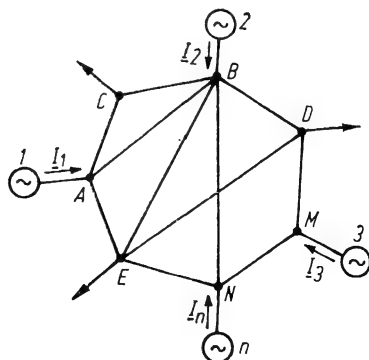


Fig. 9.22. Rețea complexă cu  $n$  surse generatoare

în care:  $Z_{nn}$  reprezintă impedanța de intrare văzută din punctul de conectare a sursei  $n$ , când celelalte surse sînt scurtcircuitate;

$Z_{nm}$  — impedanța de transfer dintre sursele  $n$  și  $m$ , când celelalte  $(n-2)$  surse sînt scurtcircuitate.

Curenții  $I_1, I_2, \dots, I_n$  care pătrund în nodurile la care se conectează centralele au valorile:

$$\begin{aligned} I_1 &= I_{11} - I_{12} - I_{13} - \dots - I_{1n}; \\ I_2 &= I_{22} - I_{21} - I_{23} - \dots - I_{2n}; \\ &\dots\dots\dots \\ I_n &= I_{nn} - I_{n1} - I_{n2} - \dots - I_{n(n-1)}, \end{aligned} \quad (9.34)$$

în care  $I_{12}, I_{13}, \dots$  reprezintă curenții din laturile  $1A, 2B, \dots, nN$  ale celor  $n$  centrale, determinați de cîte o sursă generatoare, când celelalte  $(n-1)$  surse sînt scurtcircuitate.

Puterile active interne ale fiecărei surse reprezintă partea reală a produselor  $\underline{E}_1 I_1^*, \underline{E}_2 I_2^*, \dots, \underline{E}_n I_n^*$ , avînd valorile:

$$\begin{aligned} P_1 &= \frac{E_1^2}{Z_{11}} \sin \alpha_{11} + \frac{E_1 E_2}{Z_{12}} \sin (\theta_{12} - \alpha_{12}) + \frac{E_1 E_3}{Z_{13}} \sin (\theta_{13} - \alpha_{13}) + \dots; \\ P_2 &= \frac{E_2^2}{Z_{22}} \sin \alpha_{22} + \frac{E_2 E_1}{Z_{21}} \sin (\theta_{21} - \alpha_{21}) + \frac{E_2 E_3}{Z_{23}} \sin (\theta_{23} - \alpha_{23}) + \dots; \\ &\dots\dots\dots \\ P_n &= \frac{E_n^2}{Z_{nn}} \sin \alpha_{nn} + \frac{E_n E_1}{Z_{n1}} \sin (\theta_{n1} - \alpha_{n1}) + \frac{E_n E_2}{Z_{n2}} \sin (\theta_{n2} - \alpha_{n2}) + \dots, \end{aligned} \quad (9.35)$$

în care:

$$\theta_{nm} = \theta_n - \theta_m; \quad \alpha_{nm} = 90^\circ - \psi_{nm}; \quad \alpha_{nn} = 90^\circ - \psi_{nn}.$$

Relațiile (9.35) permit determinarea caracteristicilor de putere debitate de fiecare centrală, pentru anumite unghiuri de decalaj date dintre rotoarele mașinilor în regim permanent. Ele se folosesc atît în studierea stabilității dinamice, cît și a celei statice.

În cazul stabilității dinamice este necesară cunoașterea caracteristicilor de putere și în regim de avarie (scurtcircuit) și în regim de după avarie, care presupune deconectarea liniei sau elementului defect.

Fie, de exemplu, un scurtcircuit monofazat în punctul  $M$  de pe linia  $AB$  din sistemul electric prezentat în figura 9.17. Prezența defectului este echivalentă cu conectarea în punctul  $M$  a impedanței  $Z_n = Z_0 + Z_2$ , ca în figura 9.23. Ea trebuie să fie pusă în paralel cu impedanța  $Z_5$ , modificînd atît impedanțele proprii, cît și pe cea de transfer, calculul conducîndu-se de o manieră analoagă cu cea prezentată în figurile 9.20 și 9.21.

Astfel, în momentul apariției defectului se determină impedanțele proprii și de transfer și argumentele lor,  $Z'_{11} |\psi'_{11}, Z'_{22} |\psi'_{22}, Z'_{12} |\psi'_{12}$  din schema echivalentă dată în figura 9.23,  $a$ , iar la scoaterea din funcțiune a liniei avariate,  $Z''_{11} |\psi''_{11}, Z''_{22} |\psi''_{22}, Z''_{12} |\psi''_{12}$  din schema echivalentă 9.23,  $b$ .

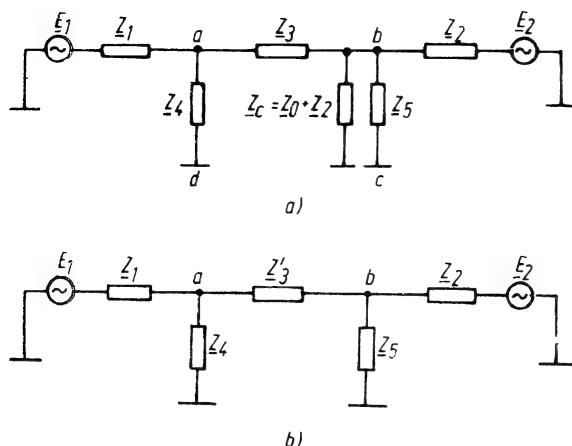


Fig. 9.23. Schemele echivalente pentru determinarea impedanțelor proprii și de transfer în cazul unui scurtcircuit monofazat:

a — la eliminarea defectului; b — corespunzătoare sistemului din figura 9.17.

festă și asupra impedanțelor  $Z_{ij}$  din cazul rețele cu un număr oarecare de centrale. În consecință, prezența unui scurtcircuit într-o rețea electrică, oricare ar fi natura acestuia, crește valoarea impedanțelor de transfer și pentru aceleași tensiuni electromotoare și unghiuri  $\theta_{ik}$  reduce puterile transportabile exprimate de relațiile (9.35). Impedanțele de transfer nu reiau valorile lor inițiale decât dacă deconectările sînt urmate de reanclanșări după dispariția defectului.

**9.2.2.5. Ecuația generală a mișcării generatoarelor electrice.** Orice perturbație care are loc într-un sistem cu  $n$  centrale sau  $n$  generatoare electrice echivalente, produce mișcări relative ale rotoarelor acestora unele în raport cu celelalte. Poziția în spațiu a rotorului unui generator este determinată în orice moment de poziția fazorului tensiunii sale electromotoare sau a fluxului rezultat din întrefier. Pentru mașina  $k$ , de exemplu, care are  $p_k$  perechi de poli, tensiunea electromotoare  $\underline{E}_k$  face unghiul în spațiu  $\beta_k$  cu axa de referință  $OX$ , care se rotește cu viteza sincronă  $\Omega_0 = \frac{\omega_0}{p_k}$ , așa cum se arată

în figura 9.24. În regim stabil de funcționare  $\beta_k$  este constant, în timp ce la producerea unei perturbații, el poate varia. Această variație însă nu constituie o indicație precisă a menținerii sau pierderii stabilității, deoarece este posibilă o îndepărtare simultană de la viteza de sincronism a tuturor mașinilor. Numai mișcările relative ale mașinilor, unele în raport cu celelalte, definite prin unghiurile în spațiu  $\beta_{nm}$  dintre axele diferitelor rotoare, constituie un criteriu precis de constatare a pierderii sau menținerii stabilității.

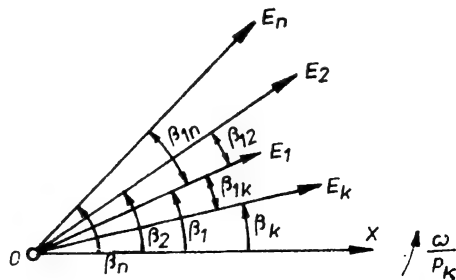


Fig. 9.24. Definirea în spațiu a poziției rotorului unui generator în raport cu o axă fixă.

Puterile interne debitate de generatoare se exprimă prin relațiile (9.30) în care intervin în locul impedanțelor  $Z_{ij}$  și a argumentelor  $\alpha_{ij} = 90^\circ - \psi_{ij}$ , valorile acestora care corespund momentului considerat al perturbației. Este important de menționat că prezența impedanței echivalente scurtcircuitului, reduce impedanța  $Z_{10}$  din relația (9.32) și în consecință crește impedanța de transfer  $Z_{12}$ . În aceste condiții puterea de transfer din ecuațiile (9.30)

poate scăde teoretic la zero, cînd  $Z_{10} = 0$  și  $Z_{12} = \infty$ . Se poate verifica că aceeași influență a scurtcircuitului se manifestă în configurația unei rețele, cînd  $Z_{10} = 0$  și  $Z_{12} = \infty$ . Se poate verifica că aceeași influență a scurtcircuitului se manifestă în configurația unei rețele, cînd  $Z_{10} = 0$  și  $Z_{12} = \infty$ . Se poate verifica că aceeași influență a scurtcircuitului se manifestă în configurația unei rețele, cînd  $Z_{10} = 0$  și  $Z_{12} = \infty$ .

Pentru stabilirea ecuației mișcării relative a unei mașini se ține seama că cuplul forțelor centrifuge care se exercită asupra rotorului este nul, deoarece ele sînt normale la suprafața acestuia și întîlnesc axa lui de rotație. Ca urmare, mișcarea mașinii este determinată numai de acțiunea cuplurilor, motor  $C_{mk}$  și rezistent  $C_{rk}$ , aplicate la axul mașinii. Dacă se notează cu  $I_k$  momentul de inerție al maselor în rotație a mașinii  $k$ , ecuația mișcării se poate pune sub forma:

$$I_k \frac{d^2\beta_k}{dt^2} = C_{mk} - C_{rk}. \quad (9.36)$$

Pentru studierea oscilațiilor rotoarelor în jurul poziției lor de echilibru cînd se rotesc cu viteza sincronă, se neglijează influența amortizării, fapt care situează mișcarea la începutul ei, adică în condiții puțin mai severe decît cele care există în realitate. În același timp, se va ține seama că la începutul mișcării viteza medie a rotorului variază foarte puțin și nu se face o eroare sensibilă \* dacă se identifică cu viteza de sincronism  $\Omega_0 = \frac{\omega_0}{p}$ .

În aceste condiții diferența cuplurilor, motor și rezistent, poate fi înlocuită cu diferența puterilor respective și pusă sub forma:

$$\Delta C_k = C_{mk} - C_{rk} = \frac{P_{mk} - P_{ek}}{\Omega_0} = p_k \frac{P_{ek}^0 - P_{ek}}{\omega_0} = p_k \frac{\Delta P_{ek}}{\omega_0}, \quad (9.37)$$

în care s-a considerat că puterea mecanică  $P_{mk}$ , legată de cuplul motor  $C_{mk}$ , echilibrează puterea electrică  $P_{ek}^0$ , imediat înaintea momentului producerii defectului.

Dacă se ține seama de această relație și de legătura care există între unghiul din spațiu  $\beta_k$  și unghiul electric  $\theta_k$  ( $\theta_k = p_k \beta_k$ ) ecuația mișcării devine:

$$\frac{I_k}{p_k} \cdot \frac{d^2\theta_k}{dt^2} = p_k \frac{P_{ek}^0 - P_{ek}}{\omega_0} = p_k \frac{\Delta P_{ek}}{\omega_0} \quad (9.38)$$

sau:

$$\frac{d^2\theta_k}{dt^2} = \frac{p_k^2}{\omega_0 I_k} (P_{ek}^0 - P_{ek}) = \frac{\omega_0}{\tau_k P_{nk}} \cdot \Delta P_{ek}, \quad (9.39)$$

în care  $\tau_k$  reprezintă constanta de accelerație definită de relație (9.24).

Ecuația (9.38) se poate pune și sub forma:

$$\frac{\omega_0}{p_k^2} \cdot I_k \cdot \frac{d^2\theta_k}{dt^2} = P_{ek}^0 - P_{ek} = \Delta P_{ek}$$

sau:

$$M_k \frac{d^2\theta_k}{dt^2} = \Delta P_{ek} = P_{ek}^0 - P_{ek}, \quad (9.40)$$

în care  $M_k$  reprezintă, conform relației (9.27), constanta de inerție a mașinii.

În cadrul ecuațiilor de mișcare a rotorului (9.39) și (9.40), puterea  $P_{ek}^0 = P_m$  reprezintă o mărime constantă corespunzătoare stării de echilibru

---

\* Eroarea se situează în limitele de  $1 \div 1,5\%$ .

a mașinii, în timp ce  $P_{ek}$  este o funcție de unghiurile electrice  $\theta_{ij}$  și de impedanțele proprii  $Z_{nn}$  și de transfer  $Z_{ij}$ , conform etapei considerate în studierea mișcării. În cazul sistemului afectat de un scurtcircuit evident că intervin mărimile  $Z'_{nn}$   $|\psi'_{nn}$  și  $Z'_{ij}$   $|\psi'_{ij}$ , în care se consideră reactanțele tranzitorii (supratranzitorii) ale mașinilor. Ținând seama de aceste observații rezultă că pentru sistemul cu două centrale prezentat în figura 9.17, cu un scurtcircuit în punctul  $M$ , ecuațiile (9.39) sau (9.40) se pot scrie pentru fiecare generator echivalent (centrală electrică) sub forma:

$$\begin{aligned}\frac{d^2\theta_1}{dt^2} &= A_0 - \frac{\omega_0}{\tau_1 P_{n1}} \left[ \frac{E_1^2}{Z'_{11}} \sin \alpha'_{11} + \frac{E_1 E_2}{Z'_{12}} \sin (\theta_{12} - \alpha_{12}) \right] = \\ &= A_0 - \frac{1}{M_1} \left[ \frac{E_1^2}{Z'_{11}} \sin \alpha'_{11} + \frac{E_1 E_2}{Z'_{12}} \sin (\theta_{12} - \alpha'_{12}) \right] \\ \frac{d^2\theta_2}{dt^2} &= B_0 - \frac{\omega_0}{\tau_2 P_{n2}} \left[ \frac{E_2^2}{Z'_{22}} \sin \alpha'_{22} - \frac{E_1 E_2}{Z'_{12}} \sin (\theta_{12} + \alpha'_{12}) \right] = \\ &= B_0 - \frac{1}{M_2} \left[ \frac{E_2^2}{Z'_{22}} \sin \alpha'_{22} - \frac{E_1 E_2}{Z'_{12}} \sin (\theta_{12} + \alpha'_{12}) \right],\end{aligned}\tag{9.41}$$

în care s-au aplicat relațiile (9.30) și s-au făcut următoarele notații:

$$A_0 = \frac{\omega_0}{\tau_1 P_{n1}} P_{e1}^0 = \frac{P_{e1}^0}{M_1}; \quad B_0 = \frac{\omega_0}{\tau_2 P_{n2}} P_{e2}^0 = \frac{P_{e2}^0}{M_2}.$$

Pentru cazul a  $n$  centrale electrice se aplică sistemul (9.35) și se obțin ecuații de mișcare analoge cu relațiile (9.41).

### 9.3. METODE DE CALCUL AL STABILITĂȚII DINAMICE

Stabilitatea dinamică a centralelor electrice se studiază cu metode care permit să se determine atât variația unghiului electric dintre rotoarele a două generatoare, cât și timpul necesar la care trebuie reglată protecția prin rele pentru eliminarea defectului, astfel încât sincronismul să se mențină. Dintre aceste metode se vor aminti cele mai importante și anume *metoda ariilor* și *metoda intervalelor succesive*, a căror aplicare presupune determinarea caracteristicilor de putere în următoarele condiții:

- a. în regim normal de funcționare, înainte de apariția defectului sau după reanclanșarea liniei deconectate;
- b. în regim de avarie;
- c. în regimul de după avarie, când elementul scurtcircuitat al rețelei a fost deconectat.

#### 9.3.1. METODA ARIILOR

Stabilitatea dinamică a unui sistem electric redus la două centrale (generatoare) echivalente se poate studia cu ușurință folosind metoda ariilor. Această metodă grafo-analitică se va aplica mai întâi cazului particular



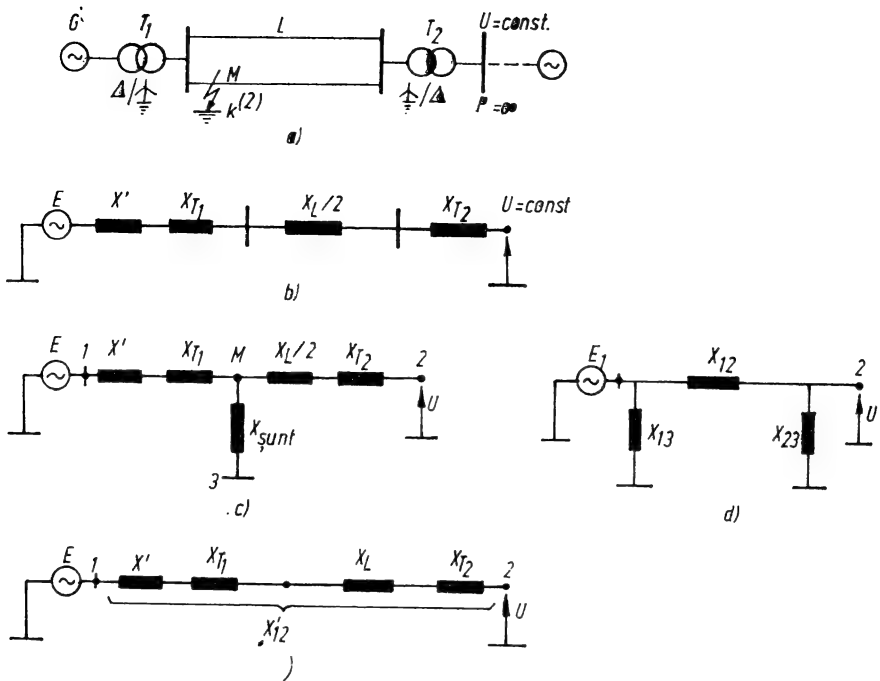


Fig. 9.25. Schemele echivalente ale unui sistem cu bare de putere infinită:  
 a – schema inițială; b – schema echivalentă în regim normal de funcționare; c – schema echivalentă în caz de defect; d – schema echivalentă transformată a schemei c; e – schema echivalentă a sistemului cu elementul avariat deconectat.

prezentat în figura 9.25, în care o centrală electrică alimentează un consumator conectat la bare de putere infinită. Generatorul sincron echivalent este de tipul cu poli înecați; fiind reprezentat prin reactanța sa tranzitorie, în spatele căreia se conectează tensiunea electromotoare, menținută constantă în timpul perturbației. Pentru simplificare se vor echivala și celelalte elemente ale rețelei, linii și transformatoare prin reactanțele lor, neglijând rezistențele. Consumatorul este conectat la bare cu tensiunea constantă în mărime și fază, fapt care elimină posibilitatea oscilațiilor acestuia și simplifică mult analiza stabilității dinamice. În aceste condiții, caracteristica de putere va fi determinată de relația simplă (9.3), ceea ce nu modifică fenomenul fizic, însă ușurează înțelegerea lui.

În regim normal de funcționare, puterea electrică debitată de generator corespunde punctului  $a$  și unghiului  $\theta_0$ , de pe caracteristica 7 din figura 9.26. Ea are valoarea:

$$P_e^0 = \frac{EU}{X_t} \sin \theta_0 = P_{max} \sin \theta_0,$$

în care  $X_t$  reprezintă reactanța schemei echivalente de regim permanent de funcționare, prezentată în figura 9.25, b.

La apariția unui defect în punctul  $M$ , de exemplu, un scurtcircuit bifazat cu punere la pământ, configurația schemei echivalente se modifică ca în

figura 9.25, c datorită reactanței șunt introdusă de scurtcircuit. În aceste condiții, menținând tensiunea electromotoare la generator nemodificată, puterea activă transmisă sistemului scade, ca urmare a creșterii impedanței dintre sursă și consumator. Valoarea ei se poate determina prin transformări simple ale schemei echivalente. Astfel, steaua impedanțelor din figura 9.25, c se transformă într-un triunghi, cu ajutorul relațiilor:

$$X_{13} = X_1 + X_3 + \frac{X_1 X_3}{X_2};$$

$$X_{23} = X_2 + X_3 + \frac{X_2 X_3}{X_1};$$

$$X_{12} = X_1 + X_2 + \frac{X_1 X_2}{X_3},$$

în care s-au făcut notațiile:

$$X_1 = X' + X_{T1}; \quad X_2 = \frac{X_L}{2} + X_{T2}; \quad X_3 = X_{șunt}.$$

Reactanțele  $X_{13}$  și  $X_{23}$  nu influențează puterea activă a centralei în regim de avarie, ea fiind condusă numai prin reactanța  $X_{12}$ . În aceste condiții  $X_{13}$  și  $X_{23}$  se pot neglija, iar  $X_{12}$  reprezintă reactanța echivalentă a sistemului în regim de avarie, a cărei valoare este mai mare decât cea a reactanței de regim permanent, așa cum se constată din relația:

$$\begin{aligned} X_{12} &= (X' + X_{T1}) + \left( \frac{X_L}{2} + X_{T2} \right) + \frac{(X' + X_{T1}) \cdot \left( \frac{X_L}{2} + X_{T2} \right)}{X_{șunt}} > \\ &> X_t = (X' + X_{T1}) + \left( \frac{X_L}{2} + X_{T2} \right). \end{aligned}$$

Caracteristica de putere corespunde curbei 2 din figura 9.26, fiind determinată cu ajutorul unei relații de forma (9.3), adică:

$$P_2 = \frac{EU}{X_{12}} \sin \theta = P_{2 \max} \sin \theta.$$

Amplitudinea ei este cu atât mai mică cu cât reactanța  $X_{12}$  este mai mare, respectiv cu cât reactanța șunt echivalentă scurtcircuitului este mai mică. În cazul scurtcircuitului trifazat, de exemplu,  $X_{șunt} = 0$ ,  $X_{12} = \infty$ , iar puterea activă transmisă sistemului este teoretic nulă. În realitate însă,

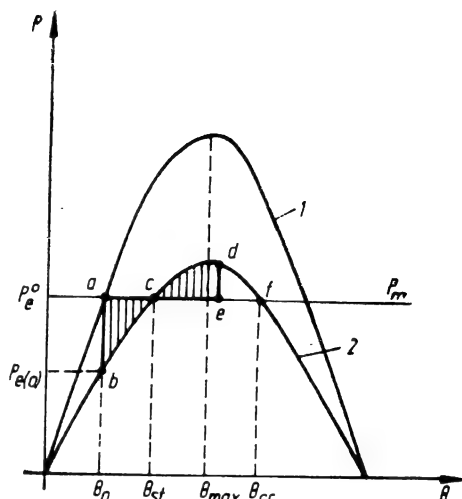


Fig. 9.26. Caracteristicile de putere cc-corespunzătoare sistemului prezentat în figura 9.25:

1 - în regim normal de funcționare; 2 - în regim de avarie.

puterea activă transmisă nu este nulă și este egală cu pierderile în rezistențele sistemului electric pînă la locul de scurtcircuit.

Dacă se consideră că reactanța schemei echivalente în regim normal  $X_t = k \cdot X_{12}$ , atunci  $P_{2\max} = kP_{\max}$ , în care  $k$  este totdeauna subunitar. În acest caz, scrierea ecuației de mișcare a rotorului se va simplifica.

La schimbarea regimului de funcționare a generatorului puterea electrică se modifică brusc, scăzînd de la valoarea  $P_e^0 = P_{\max} \sin \theta_0$  corespunzătoare punctului  $a$ , la valoarea  $P_{e(0)} = kP_{\max} \sin \theta_0$  corespunzătoare punctului  $b$ , așa cum se constată în figura 9.26. Unghiul  $\theta_0$ , ca și puterea mecanică a turbinei  $P_m$ , rămîn constante din cauza inerției maselor în rotație și a regulatorului de viteză. În aceste condiții, pe axul mașinii apare un exces de putere  $P_m - P_{e(0)} = P_m^0 - (1 - k) P_{e(0)} = P_{\max} \sin \theta_0 > 0$ , ceea ce face ca rotorul să se accelereze pe porțiunea  $bc$  a caracteristicii 2 de putere, să crească unghiul  $\theta$  și puterea electrică debitată și să înmagazineze o energie cinetică proporțională cu aria de accelerare  $abc$ . Valoarea acestei energii se deduce din ecuația de mișcare a rotorului (9.40) scrisă sub forma:

$$M \frac{d^2\theta}{dt^2} = M \frac{d\omega}{dt} = \Delta P_e = P_m - P_e, \quad (9.42)$$

unde:

$$\omega = \frac{d\theta}{dt}.$$

Din înmulțirea acestor două relații se obține:

$$M d\left(\frac{\omega^2}{2}\right) = \Delta P_e \cdot d\theta = dS, \quad (9.43)$$

în care cel de-al doilea membru reprezintă o suprafață elementară limitată de sinusoida 2 și axa  $P_m$ .

Prin integrarea ultimei relații în limitele  $\theta_0$  și  $\theta_{st}$  se obține:

$$M \frac{\omega^2}{2} = \int_{\theta_0}^{\theta_{st}} \Delta P_e(\theta) \cdot d\theta = \int_{\theta_0}^{\theta_{st}} dS = S_{abc} = S_{acc}. \quad (9.44)$$

în care:  $M \frac{\omega^2}{2}$  reprezintă energia cinetică a rotorului corespunzătoare perioadei de accelerare;

$\omega$  — viteza relativă unghiulară electrică suplimentară, peste cea sincronă, egală cu  $\omega_0$ ;

$S_{acc} = S_{abc}$  — aria de accelerare proporțională cu energia.

În punctul  $c$  puterea suplimentară și accelerația rotorului sînt nule, iar viteza relativă este maximă. În aceste condiții, mașina nu se stabilizează în acest punct după prima oscilație, continuînd să crească unghiul  $\theta$  și puterea electrică debitată în contul energiei cinetice acumulată în perioada de accelerare a rotorului.

Pe porțiunea  $cd$  a caracteristicii 2 de putere, surplusul de putere și accelerația schimbă de semn, viteza relativă scade, iar mașina se frînează

consumînd energia acumulată în perioada de accelerare. Energia consumată la frînare se determină cu ajutorul relației (9.43) scrisă sub forma:

$$\int_{\theta_{st}}^{\theta_{max}} \Delta P_e(\theta) \cdot d\theta = \int_{\theta_{st}}^{\theta_{max}} dS = S_{cde} = S_{fr.}, \quad (9.45)$$

în care  $S_{fr.}$  reprezintă suprafața de frînare delimitată de curba 2 (arcul  $cd$ ) și dreapta  $P_m$ .

În punctul  $d$ , viteza relativă  $\frac{d\theta}{dt} = \omega$  este nulă, consumîndu-se întreaga cantitate de energie acumulată în perioada de accelerare. În aceste condiții, mașina se rotește sincron, însă pe axul ei acționează o putere suplimentară  $\Delta P_e < 0$ , ceea ce face ca rotorul să fie frînat. După o serie de oscilații în jurul punctului  $c$ , care se amortizează, mașina se stabilizează la un nou unghi  $\theta_{st}$ .

Pentru ca funcționarea mașinii să fie stabilă este necesar ca viteza relativă să se anuleze pentru o anumită valoare a unghiului  $\theta = \theta_{max}$  și în acest moment, accelerația rotorului, proporțională cu puterea suplimentară, să fie nulă sau negativă. În acest caz, energia acumulată în perioada de accelerare este consumată integral în perioada de frînare, iar *condițiile de menținere a stabilității dinamice* se pot exprima prin relațiile:

$$\int_{\theta_0}^{\theta_{max}} \Delta P_e(\theta) \cdot d\theta = 0; \quad (9.46)$$

$$\Delta P_e(\theta_{max}) \leq 0.$$

Prima condiție se poate scrie și sub forma:

$$\int_{\theta_0}^{\theta_{max}} dS = \int_{\theta_0}^{\theta_{st}} dS + \int_{\theta_{st}}^{\theta_{max}} dS = S_{abc} - S_{cde} = S_{acc.} - S_{fr.} = 0, \quad (9.47)$$

în care s-a ținut seama de ecuațiile (9.44) și (9.45).

Relația (9.47) reprezintă condiția necesară de menținere a stabilității dinamice dedusă pe baza metodei suprafețelor egale. Ea permite să se definească și un coeficient de siguranță a stabilității dinamice sub forma:

$$k_s = \frac{S_{fr.}}{S_{acc.}} = \frac{S_{cdf}}{S_{abc}}, \quad (9.48)$$

în care s-a considerat suprafața maximă de frînare din figura 9.26 limitată de arcul de curbă  $cdf$  și orizontala  $P_m$ . Dacă acest coeficient este mai mare sau cel mult egal cu unitatea, atunci stabilitatea se menține.

Valoarea unghiului  $\theta$  pentru care se îndeplinește condiția (9.47) sau (9.48) se poate determina fie grafic, prin planimetrarea ariilor, fie analitic.

Studiul analitic folosește ecuația de mișcare a rotorului (9.44) scrisă sub forma:

$$\begin{aligned} \frac{1}{2} \left( \frac{d\theta}{dt} \right)^2 &= \frac{P_{max} \cdot k}{M} \int_{\theta_0}^{\theta} \left( \frac{\sin \theta_0}{k} - \sin \theta \right) d\theta = \\ &= \frac{P_{max} \cdot k}{M} \left[ \left( \theta - \theta_0 \right) \frac{\sin \theta_0}{k} + \cos \theta - \cos \theta_0 \right]; \end{aligned} \quad (9.49)$$

sau:

$$\frac{d\theta}{dt} = \sqrt{\frac{2P_{max} \cdot k}{M}} \sqrt{(\theta - \theta_0) \frac{\sin \theta_0}{k} + \cos \theta - \cos \theta_0} \quad (9.50)$$

Din această relație se poate calcula timpul necesar pentru ca unghiul  $\theta$  să atingă o valoare, care să satisfacă condiția (9.47) sau (9.48), scriind că:

$$\tau = \frac{1}{\sqrt{2}} \int_{\theta_0}^{\theta} \frac{d\theta}{\sqrt{(\theta - \theta_0) \frac{\sin \theta_0}{k} + \cos \theta - \cos \theta_0}}, \quad (9.51)$$

în care s-a făcut notația:

$$\tau = \frac{t \sqrt{P_{max} \cdot k}}{\sqrt{M}} \quad (9.52)$$

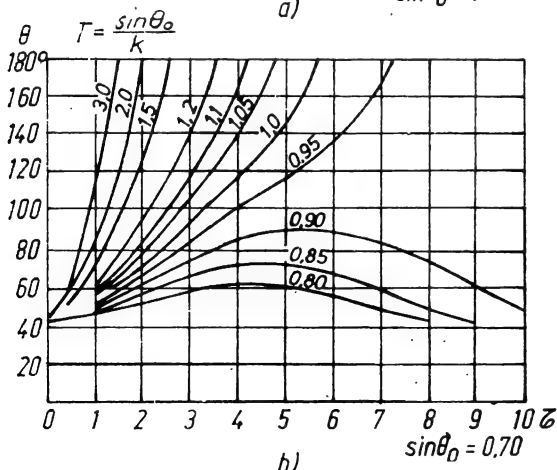
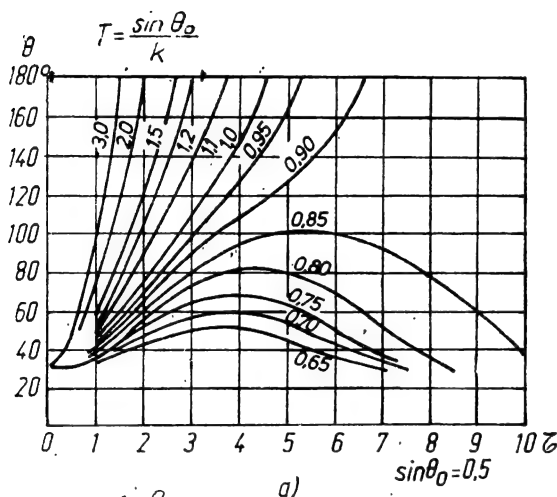


Fig. 9.27. Curbe precalculate pentru determinarea regimului de stabilitate.

Această legătură  $\theta = \varphi(\tau)$  este exprimată în literatura tehnică de specialitate sub forma unor familii de curbe, trasate pentru următoarele valori ale parametrilor  $\sin \theta_0$  și  $T = \frac{\sin \theta_0}{k}$ :

$$0 \leq \sin \theta_0 \leq 0,9;$$

$$0,65 \leq T \leq 3.$$

În figura 9.27 sînt reproduse curbele pentru  $\sin \theta_0 = 0,5$  ( $\theta_0 = 30^\circ$ ) și  $\sin \theta_0 = 0,7$  ( $\theta_0 \approx 45^\circ$ ) și parametrul variabil  $T$  cuprins în limitele indicate mai sus. Se constată, de exemplu, în cazul figurii 9.27, a că unghiul  $\theta$  trece printr-un maxim de aproximativ  $100^\circ$  pentru  $T = 0,85$ ; pentru valori ale parametrului  $T > 0,85$ , unghiul  $\theta$  crește în mod nedefinit, ceea ce constituie o indicație că funcționarea devine instabilă.

Trebuie menționat că se poate ajunge la o funcționare stabilă a sistemului și în cazul cînd coeficientul de siguranță al stabilității este mai mic decît unitatea, cu condiția deconectării rapide a circuitului avariat. În aceste condiții,

reactanța echivalentă corespunzătoare scurtcircuitului dispăre, iar reactanța de legătură dintre centrală și barele de putere infinită crește, ca urmare a deconectării circuitului avariāt al liniei. Valoarea acesteia se poate calcula cu ajutorul schemei echivalente datā în figura 9.25, *a*. Puterea activā transmisā pe un singur circuit al liniei este mai mare decît cea transmisā în caz de avarie pe ambele circuite, deoarece reactanța echivalentā  $X_e$  corespunzătoare schemei din figura 9.25, *e* este mai micā decît reactanța  $X_{12}$  din figura 9.25, *d*. Dacă se notează cu  $k_2$  și  $k_3$  rapoartele:

$$k_{2,e} = \frac{X_l}{X_{12}}; \quad k_3 = \frac{X_l}{X'_{12}},$$

în care:  $X_l$  reprezintă reactanța sistemului în regim normal de funcționare;

$\frac{X_{12}}{X'_{12}}$  — reactanța sistemului în regim de avarie;  
— reactanța sistemului după deconectarea liniei avariate,

atunci caracteristicile de putere trasate în figura 9.28 se pot exprima sub forma:

$$P_1 = \frac{EU}{X_l} \sin \theta = P_{max} \sin \theta; \quad P_2 = \frac{EU}{X_{12}} \sin \theta = k_2 P_{max} \sin \theta;$$

$$P_3 = \frac{EU}{X'_{12}} \sin \theta = k_3 P_{max} \sin \theta,$$

în care evident că:

$$k_2 < k_3 < 1.$$

În momentul producerii defectului, generatorul care debita, în condiții de echilibru, puterea electricā  $P_e^0 = P_{max} \sin \theta$ , își schimbā punctul de funcționare de pe caracteristica 1 (punctul *a*) pe caracteristica 2 (punctul *b*), puterea electricā debitatā scăzînd la valoarea  $P_{e(0)} = k_2 P_{max} \sin \theta_0$ . Pe axul mașinii apare un cuplu suplimentar pozitiv ( $P_m > P_e$ ), care produce accelerarea mașinii și creșterea unghiului  $\theta$  și a puterii debitate. Dacă după un timp oarecare, cînd unghiul  $\theta = \theta_{dec}$ , din figura 9.28, linia defectā este deconectatā, atunci funcționarea generatorului trece în punctul *e* de pe caracteristica 3. Puterea debitatā crește corespunzător, avînd valoarea  $k_3 P_{max} \sin \theta_{dec}$ , după care unghiul  $\theta$  continuā să crească pînă cînd viteza relativā a rotorului se anulează. În acest moment aria suprafeței de frînare *cdefg* devine egalā cu cea a suprafeței de

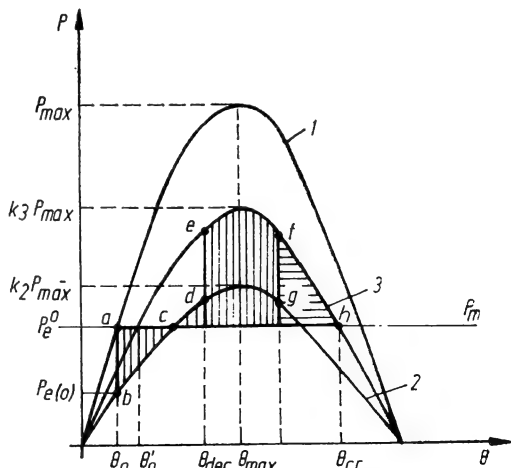


Fig. 9.28. Caracteristicile de putere corespunzătoare sistemului din figura 9.25, în care se considerā și deconectarea circuitului avariāt.

accelerare  $abc$ . Aceasta va fi cu atît mai mare cu cît deconectarea circuitului avariat se face mai rapid, adică cu cît  $\theta_{dec.}$  este mai mic. În consecință, lichidarea rapidă a scurtcircuitului mărește mult probabilitatea de menținere a stabilității sistemului.

Determinarea unghiului  $\theta_{dec.}$  la care trebuie deconectată linia avariata pentru ca stabilitatea să fie menținută, se poate face fie grafic, fie analitic ca și în cazul analizat în figura 9.26.

În primul caz, prin planimetrare se constată dacă condiția (9.46) este îndeplinită, adică dacă:

$$S_{cdefg} = S_{fr.} > S_{abc} = S_{acc.} \quad (9.53)$$

sau, mai general, dacă:

$$S_{\theta_0 bcdeh \theta_{cr}} \geq S_{\theta_0 ah \theta_{cr}}, \quad (9.54)$$

în care  $\theta_{cr}$  este unghiul corespunzător punctului  $h$  de intersecție a orizontalei  $P_e^0 = P_m$ , cu ramura descrescătoare a sinusoidelor 3 (fig. 9.28).

Pe cale analitică, condiția (9.53) se scrie, la limită, sub forma:

$$\int_{\theta_0}^{\theta_{dec.}} (P_e^0 - k_2 P_{max} \sin \theta) d\theta + \int_{\theta_{dec.}}^{\theta_{cr}} (P_e^0 - k_3 P_{max} \sin \theta) d\theta = 0;$$

sau:

$$\int_{\theta_0}^{\theta_{dec.}} (\sin \theta_0 - k_2 \sin \theta) d\theta + \int_{\theta_{dec.}}^{\theta_{cr}} (\sin \theta_0 - k_3 \sin \theta) d\theta = 0. \quad (9.55)$$

Prin integrarea acestei relații se obține:

$$(\theta_{dec.} - \theta_0) \sin \theta_0 + k_2 (\cos \theta_{dec.} - \cos \theta_0) + (\theta_{cr} - \theta_{dec.}) \sin \theta_0 + k_3 (\cos \theta_{cr} - \cos \theta_{dec.}) = 0$$

din care se determină:

$$\cos \theta_{dec.} = \frac{(\theta_{cr} - \theta_0) \sin \theta_0 + k_3 \cos \theta_{cr} - k_2 \cos \theta_0}{k_3 - k_2}. \quad (9.56)$$

Unghiul  $\theta_{dec.}$  se poate afla ușor, dacă se cunoaște  $\theta_0$  și  $\theta_{cr} = \pi - \arcsin \left( \frac{P_e^0}{k_3 P_{max}} \right) = \pi - \arcsin \left( \frac{\sin \theta_0}{k_3} \right)$ . Însă în practică nu interesează  $\theta_{dec.}$ , ci intervalul de timp în decursul căruia rotorul atinge acest unghi. Acest timp, numit  *timp limită de deconectare*  trebuie impus protecției prin relee care deconectează linia avariata și garantează menținerea stabilității dinamice.

Determinarea acestui timp se poate face aproximativ, folosind abacele reproduse în figura 9.29, stabilite pentru diferite valori ale lui  $\sin \theta_0$  și  $k_2$ , în funcție  $k_3$ . În ordonatele acestei figuri sînt notate valorile mărimii  $\tau$ , exprimată prin relația (9.52).

Folosirea acestor abace permite obținerea rapidă a timpului limită de deconectare, care corespunde unei puteri fixate și nu puterii maxime, compatibilă cu acest timp determinat; această ultimă valoare se obține prin tatonări.

O determinare mai exactă a timpului limită de deconectare se poate face însă cu *metoda intervalelor succesive*, care va fi expusă mai jos.

*Observație.* În cazul scurtcircuitului trifazat sinusoidal de putere 2 din figura 9.28 se confundă cu axa absciselor,  $k_2 = 0$ , iar formulele și abacele indicate mai sus nu se mai pot aplica. Variația unghiului  $\theta$  în timp se determină folosind ecuația de mișcare a rotorului sub forma:

$$\frac{d^2\theta}{dt^2} = \frac{P_{max}}{M} \sin \theta_0 = \frac{\sin \theta_0}{M'},$$

în care:

$$M' = \frac{M}{P_{max}}.$$

Făcînd schimbarea de variabilă  $t = \tau' \sqrt{M'}$  și integrînd de două ori, între 0 și  $\tau'$ , se obține:

$$\tau' = \sqrt{\frac{2(\theta - \theta_0)}{\sin \theta_0}} = \frac{t}{\sqrt{M'}}.$$

Pentru  $\theta = \theta_{cr}$  relația precedentă devine:

$$t_{cr} = \sqrt{\frac{2M'(\theta_{cr} - \theta_0)}{\sin \theta_0}}.$$

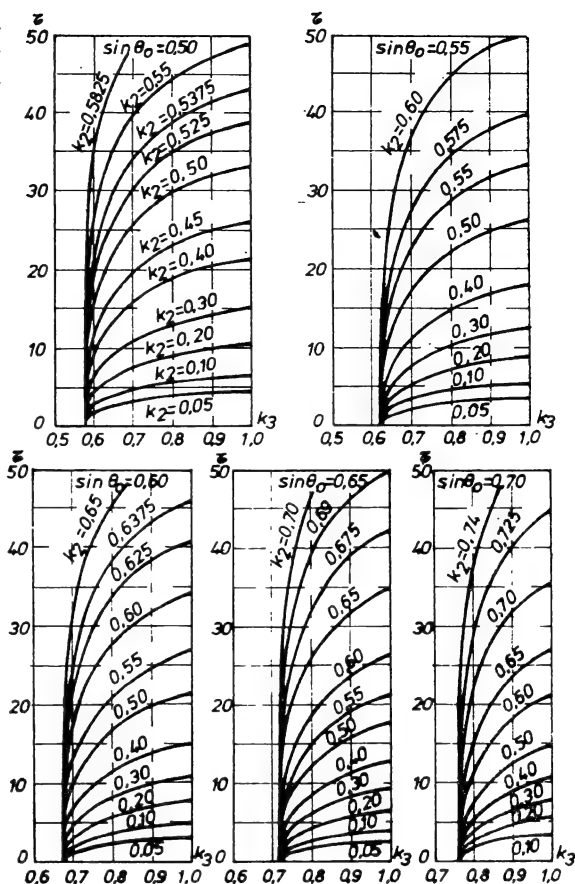


Fig. 9.29. Abace pentru determinarea tipului limită de deconectare a unui circuit avariāt.

### 9.3.2. METODA INTERVALELOR SUCCESIVE

Ecuația diferențială de mișcare a rotoarelor generatoarelor (9.39) sau (9.40) este neliniară și nu poate fi rezolvată în forma ei generală, decît pentru cazul particular  $P_e^0 = 0$ , care din punct de vedere fizic nu are sens. De aceea, rezolvarea ei se face prin *metoda creșterilor finite* sau a *intervalor succesive*, care permite să se traseze, punct cu punct, curbele de variație în timp a unghiurilor dintre axele rotoarelor a cîte două mașini și să se determine timpul limită de deconectare a scurtcircuitului, ținînd seama și de influența unor factori ca, de exemplu, amortizarea, regulatoarele de tensiune și de viteză, reacția indusului etc. În acest scop, se calculează mai întîi, pentru momentul inițial care precede imediat defectul al cărui efect se studiază, valoarea puterilor debitate de mașini și unghiul  $\theta_k$ , care fixează poziția rotoarelor în raport cu o axă fixă ce se rotește cu viteză sincronă. Considerînd ca punct de plecare acest moment, se împarte timpul în intervale egale  $\Delta t = (0,05 \div 0,1)$  s pe parcursul cărora se presupune că cuplurile aplicate la axul mașinilor rămîn



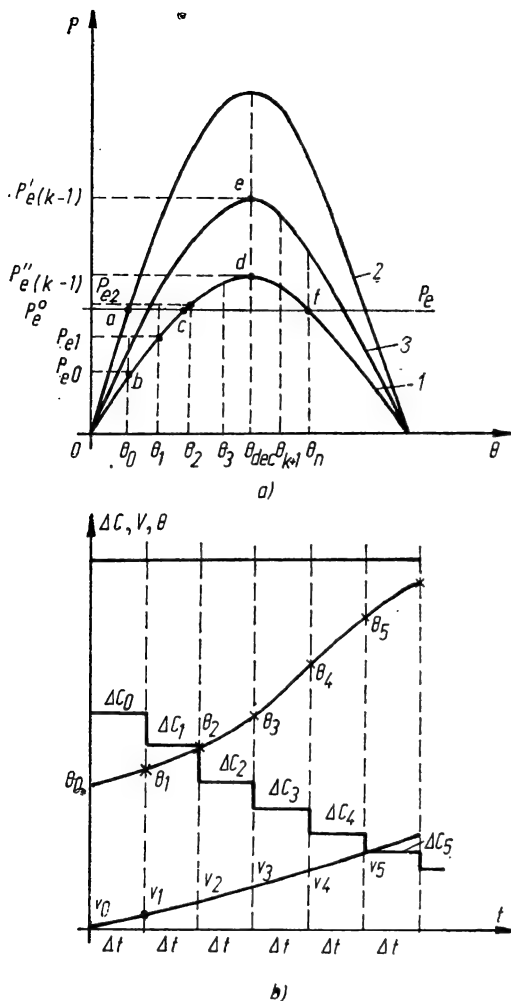


Fig. 9.30. Caracteristicile de sarcină ale generatorului echivalent, pentru regimul normal de funcționare — 1, de avarie — 2 și după avarie — 3 și trasarea curbei  $\theta = \varphi(t)$  cu ajutorul metodei intervalelor succesive.

$$\frac{d^2\theta}{dt^2} = \frac{\omega_0}{P_n} (P_e^0 - P_e) = \frac{1}{M} (P_e^0 - P_e) = k(P_e^0 - P_e), \quad (9.57)$$

în care: trebuie să se țină seama că  $P_e$  reprezintă o funcție  $\varphi(\theta)$  de forma (9.3) sau (9.35);

$$k = \frac{\omega}{\tau P_n} = \frac{1}{M} - \text{constantă care conține mărimile } \tau \text{ sau } M, \text{ definite}$$

prin relațiile (9.24) și (9.27).

constante, variațiile acestora neavînd loc decît la sfîrșitul intervalelor. În aceste condiții este ușor să se determine cuplurile electrice exercitate asupra fiecărei mașini, care echilibrează cuplurile mecanice înaintea producerii perturbației. Imediat după producerea perturbației, cuplurile mecanice rămîn constante, deoarece regulatoarele de viteză nu au intervenit și, în consecință, viteza unghiulară  $\Omega_{0k}$  a fiecărui grup nu a avut timp să se modifice și nici tensiunea sa electromotoare (sau fluxul rezultat din întrefier) și unghiul  $\theta_{0k}$ . Valorile noilor cupluri electrice se pot deduce atunci din ecuațiile puterilor de forma generală (9.35), în care tensiunile electromotoare și unghiul de defazaj rămîn aceleași ca în momentul inițial, iar impedanțele proprii și de transfer se calculează cu ajutorul schemelor echivalente sau a unor relații asemănătoare cu (9.31) și (9.32).

Pentru a înțelege modul de aplicare a metodei intervalelor succesive se consideră caracteristicile de putere ale unui generator echivalent din figura 9.30, *a* și se trasează, punct cu punct, în figura 9.30, *b*, variația în timp a unghiului  $\theta$ , a vitezei relative  $v$  și a cuplurilor  $\Delta C$ , calculînd mai multe intervale de timp. În acest scop se reamintește că ecuația de mișcare a rotorului unei mașini este de forma generală:

La începutul primului interval de timp cuplul și puterea mecanică, înaintea momentului inițial al producerii defectului (momentul  $0^-$ ) sînt egale cu cuplul și puterea electrică din acel moment, adică  $C_m^0 = C_e^0$  și  $P_m^0 = P_e^0 = \Omega C_m^0$ , mașina fiind în stare de echilibru. Imediat după producerea defectului (momentul  $0^+$ ), echilibrul la axul mașinii se strică, cuplul rezistent și puterea electrică debitată devenind  $C_{r0} = C_{e0}$  și  $P_{e0}$ , așa cum s-a notat pe figura 9.30, *a*. Cuplul rezultat  $\Delta C_0$  aplicat la ax la începutul primului interval de timp, are valoarea:

$$\Delta C_0 = C_m^0 - C_{e0} = \frac{P_e^0 - P_{e0}}{\Omega_0} = \frac{P_m^0 - P_{e0}}{\Omega_0}, \quad (9.58)$$

în care:  $\Omega_0 = \frac{\omega_0}{p}$  reprezintă viteza unghiulară de sincronism.

Conform ipotezelor făcute, acest cuplu rămîne constant pe parcursul intervalului de timp considerat, ceea ce presupune că viteza unghiulară relativă a rotorului,  $v = \frac{d\theta}{dt}$ , variază linear, plecînd de la zero, în momentul

inițial ( $v = \frac{d\theta_0}{dt} = 0$ ) și atingînd valoarea  $v_1 = \frac{d\theta_1}{dt}$  după timpul  $\Delta t$  (v. fig. 9.30, *b*).

Accelerația medie corespunzătoare primului interval se poate exprima prin relația:

$$\alpha_{1med} = \frac{d^2\theta}{dt^2} = \frac{v_1}{\Delta t} = k (P_e^0 - P_{e0}), \quad (9.59)$$

din care reiese valoarea vitezei relative la sfîrșitul intervalului:

$$v_1 = k(P_e^0 - P_{e0}) \Delta t = k[P_e^0 - \varphi(\theta_0)] \Delta t. \quad (9.60)$$

Unghiul de defazaj, în același interval de timp, variază de la  $\theta_0$  la  $\theta_1$  și raportul:

$$\frac{\theta_1 - \theta_0}{\Delta t} = \frac{\Delta\theta_1}{\Delta t} = \frac{v_1}{2} = v_{1med} \quad (9.61)$$

reprezintă viteza medie relativă.

Ținînd seama de relația (9.60) în (9.61) se determină:

$$\Delta\theta_1 = \theta_1 - \theta_0 = \frac{v_1}{2} \Delta t = k[P_e^0 - P_{e0}] \cdot \frac{\Delta t^2}{2} = k[P_e^0 - \varphi(\theta_0)] \frac{\Delta t^2}{2}, \quad (9.62)$$

iar unghiul  $\theta_1$ , la sfîrșitul primului și începutul celui de-al doilea interval de timp, marcat pe figura 9.30, *a* este:

$$\theta_1 = \theta_0 + \Delta\theta_1 = \theta_0 + k[P_e^0 - \varphi(\theta_0)] \frac{\Delta t^2}{2}. \quad (9.63)$$

Viteza absolută a rotorului mașinii la sfîrșitul primului interval a crescut cu  $v_1$  în raport cu viteza sincronă, adică:

$$p\Omega_1 = p\Omega_0 + v_1. \quad (9.64)$$

La începutul celui de-al doilea interval de timp cuplul motor rămîne același, adică  $C_m^1 = C_m^0 = \frac{P_m^0}{\Omega_0}$ . Puterea electrică debitată de generator corespunde relațiilor (9.3) sau (9.35), în care se ține seama de  $\theta_1$ , iar ecuația de mișcare a rotorului (9.38) se poate pune sub forma:

$$\begin{aligned} \frac{d^2\theta}{dt^2} &= \frac{v_2 - v_1}{\Delta t} = \frac{p}{I} \cdot \left[ \frac{P_e^0}{\Omega_0} - \frac{P_{e1}}{\Omega_1} \right] = \frac{\omega_0 \Omega_0}{\tau P_n} \left[ \frac{P_e^0}{\Omega_0} - \frac{P_{e1}}{\Omega_1} \right] = \\ &= k \left[ P_e^0 - \frac{\Omega_0}{\Omega_1} P_{e1} \right], \end{aligned} \quad (9.65)$$

în care evident că  $P_{e1} = \varphi(\theta_1)$ .

Din această ultimă relație reiese că viteza relativă la sfîrșitul intervalului al doilea:

$$v_2 = v_1 + k \left[ P_e^0 - \frac{\Omega_0}{\Omega_1} P_{e1} \right] \cdot \Delta t = v_1 + k \left[ P_e^0 - \frac{\Omega_0}{\Omega_1} \varphi(\theta_1) \right] \Delta t. \quad (9.66)$$

Variația în timp a unghiului  $\theta$  pe intervalul respectiv corespunde unei viteze relative medii  $v_{2\text{ med}} = \frac{v_1 + v_2}{2}$ , adică

$$\frac{\theta_2 - \theta_1}{\Delta t} = \frac{\Delta\theta_2}{t} = \frac{v_1 + v_2}{2} = v_{2\text{ med}}, \quad (9.67)$$

din care reiese că:

$$\Delta\theta_2 = v_1 \cdot \Delta t + k \left[ P_e^0 - \frac{\Omega_0}{\Omega_1} \Delta P_{e1} \right] \cdot \frac{\Delta t^2}{2} = v_1 \Delta t + k \left[ P_e^0 - \frac{\Omega_0}{\Omega_1} \varphi(\theta_1) \right] \cdot \frac{\Delta t^2}{2}$$

și

$$\theta_2 = \theta_1 + v_1 \frac{\Delta t}{2} + v_2 \frac{\Delta t}{2} = \theta_1 + v_1 \Delta t + k \left[ P_e^0 - \frac{\Omega_0}{\Omega_1} \varphi(\theta_1) \right] \frac{\Delta t^2}{2}. \quad (9.68)$$

Viteza absolută a rotorului mașinii la sfîrșitul celui de-al doilea interval de timp este:

$$p\Omega_2 = p\Omega_1 + v_2. \quad (9.69)$$

Cunoscîndu-se viteza și unghiul la sfîrșitul celui de-al doilea interval de timp, se pot determina valorile puterilor la începutul celui de-al treilea interval și toate mărimile care îl caracterizează.

Într-adevăr, ecuația mișcării rotorului în acest interval de timp este:

$$\frac{d^2\theta}{dt^2} = \frac{v_3 - v_2}{\Delta t} = \frac{p}{I} \left[ \frac{P_e^0}{\Omega_0} - \frac{P_{e2}}{\Omega_2} \right] = \frac{\omega_0 \Omega_0}{\tau P_n} \left[ \frac{P_e^0}{\Omega_0} - \frac{P_{e2}}{\Omega_2} \right] = k \left[ P_e^0 - \frac{\Omega_0}{\Omega_2} P_{e2} \right], \quad (9.70)$$

din care rezultă viteza relativă la sfîrșitul intervalului al treilea:

$$v_3 = v_2 + k \left[ P_e^0 - \frac{\Omega_0}{\Omega_2} P_{e2} \right] \Delta t = v_2 + k \left[ P_e^0 - \frac{\Omega_0}{\Omega_2} \varphi(\theta_2) \right] \Delta t. \quad (9.71)$$

Variația în timp a unghiului  $\theta$  pe intervalul calculat reprezintă viteza medie relativă, adică:

$$\frac{\Delta\theta_3}{\Delta t} = \frac{\theta_3 - \theta_2}{\Delta t} = \frac{v_2 + v_3}{2} = v_{3 \text{ med}}. \quad (9.72)$$

Din ultimele două relații se determină:

$$\begin{aligned} \Delta\theta_3 &= v_2\Delta t + k \left[ P_e^0 - \frac{\Omega_0}{\Omega_2} P_{e2} \right] \frac{\Delta t^2}{2} = v_2\Delta t + k \left[ P_e^0 - \frac{\Omega_0}{\Omega_2} \varphi(\theta_2) \right] \frac{\Delta t^2}{2}; \\ \theta_3 &= \theta_2 + v_2\Delta t + k \left[ P_e^0 - \frac{\Omega_0}{\Omega_2} \varphi(\theta_2) \right] \frac{\Delta t^2}{2}. \end{aligned} \quad (9.73)$$

Pentru intervalul de timp  $n$  se pot scrie următoarele relații generale:

$$\begin{aligned} v_n &= v_{n-1} + k \left[ P_e^0 - \frac{\Omega_0}{\Omega_{(n-1)}} \varphi(\theta_{n-1}) \right] \Delta t; \\ \Delta\theta_n &= v_{n-1}\Delta t + k \left[ P_e^0 - \frac{\Omega_0}{\Omega_{(n-1)}} \varphi(\theta_{n-1}) \right] \frac{\Delta t^2}{2} \\ \theta_n &= \theta_{n-1} + v_{n-1}\Delta t + k \left[ P_e^0 - \frac{\Omega_0}{\Omega_{(n-1)}} \varphi(\theta_{n-1}) \right] \frac{\Delta t^2}{2}. \end{aligned} \quad (9.74)$$

*Observații. 1.* Dacă la începutul unui interval de timp  $k$  are loc deconectarea scurtcircuitului, puterea electrică variază brusc de la valoarea  $P'_{e(k-1)}$  la valoarea  $P''_{e(k-1)}$ . În acest caz, în aprecierea mărimilor  $v$ ,  $\Delta\theta_k$  și  $\theta_k$  care caracterizează intervalul  $k$ , vor fi utilizate relațiile (9.74) modificate, în sensul că valoarea puterii electrice  $P_{e(k-1)}$  va fi considerată ca o medie aritmetică a puterilor  $P'_{e(k-1)}$  și  $P''_{e(k-1)}$ , adică:

$$P_{e(k-1)} = \varphi(\theta_{k-1}) = \frac{P'_{e(k-1)} + P''_{e(k-1)}}{2}. \quad (9.75)$$

Pentru următoarele intervale de timp se folosesc în continuare relațiile (9.74), ținând seama de caracteristica 3 de putere, cu elementul avariāt deconectat.

2. Calculul prin această metodă se continuă pînă cînd unghiul  $\theta$  începe să scadă sau crește în mod nedefinit, adică centrala electrică iese din sincronism.

3. Metoda intervalelor succesive se aplică și cînd intervine amortizarea oscilațiilor mașinii. În acest caz, ecuația (9.57) de mișcare a rotorului se scrie sub forma generală:

$$\frac{d^2\theta}{dt^2} = k(P_e^0 - P_{ek}) - A \frac{d\theta}{dt}, \quad (9.76)$$

în care: termenul  $A \frac{d\theta}{dt}$  corespunde termenului care definește amortizarea oscilațiilor;

$A$  — constantă determinată din caracteristicile generatorului.

Pentru primul interval de timp ecuația (9.76) devine:

$$\frac{v_1}{\Delta t} = k(P_e^0 - P_{e0}) - Av'_1, \quad (9.77)$$

în care  $v'_1$  are o valoare cuprinsă între 0 și  $v_1$  și se poate lua ca o medie aritmetică, adică  $\frac{v_1}{2}$ .

Ținând seama de acest lucru, ecuația (9.77) permite să se obțină viteza la sfârșitul primului interval de timp:

$$v_1 = \frac{k(P_e^0 - P_{e0})\Delta t}{1 + \frac{A}{2}\Delta t} = \frac{k[P_e^0 - \varphi(\theta_0)]\Delta t}{1 + \frac{A}{2}\Delta t}. \quad (9.78)$$

Deoarece pe primul interval de timp variația unghiului este:

$$\frac{\Delta\theta_1}{\Delta t} = \frac{\theta_1 - \theta_0}{\Delta t} = \frac{v_1}{2}. \quad (9.79)$$

rezultă:

$$\theta_1 = \theta_0 + v_1 \frac{\Delta t}{2} = \theta_0 + \frac{k(P_e^0 - P_{e0})}{1 + \frac{A}{2}\Delta t} \cdot \frac{\Delta t^2}{2}. \quad (9.80)$$

Calculul se urmează în același mod pentru celelalte intervale de timp, obținându-se relații de forma (9.74) puțin modificate.

4. După un timp oarecare de la începutul perturbației este posibilă o scădere sensibilă a tensiunii electromotoare a generatorului, fapt care determină intervenția regulatorului de tensiune. În acest caz, cunoscându-se legea de variație în timp a tensiunii electromotoare, se va ține seama de modificarea puterilor electrice, debitate  $P_{ek}$  sau a cuplurilor rezistente, începând cu intervalul de timp determinat.

În același mod, se poate ține seama și de intervenția reglatoarelor de viteză, care modifică, începând cu intervalul de timp determinat, valoarea puterii mecanice  $P_m$  sau a cuplului motor  $C_m$ .

5. Uneori, pentru a mări într-o oarecare măsură precizia determinărilor, se presupune că cuplurile variază în mod discontinuu, nu la extremitățile intervalului  $\Delta t$ , ci la mijlocul acestui interval. În acest caz, variațiile unghiurilor, ale vitezelor și cuplurilor suplimentare aplicate la axul mașinilor corespund figurii 9.31. Relațiile de calcul sînt analoage cu cele stabilite pentru figura 9.30. Trebuie menționat însă că la deconectarea circuitului avariat la sfârșitul intervalului  $(k-1)$  și

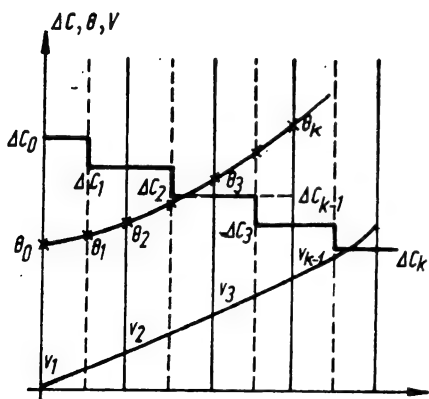


Fig. 9.31. Trasarea curbelor  $\theta = f(t)$  prin variația cuplurilor la mijlocul intervalelor de timp considerate.

începutul intervalului  $k$ , se va ține seama că cuplul electric rezultant  $\Delta C_k$  sau puterea electrică rezultantă  $\Delta P_{ek}$ , care trebuie introdusă pentru calcule în intervalul  $\left(k\Delta t - \frac{\Delta t}{2}\right)$

și  $\left(k\Delta t + \frac{\Delta t}{2}\right)$ , corespund mediei aritmetice

$$\frac{\Delta C_{k-1} + \Delta C_k}{2} \text{ sau } \frac{\Delta P_{e(k-1)} + \Delta P_{ek}}{2}.$$

De asemenea, se poate admite că cuplurile pe intervalele de timp considerate variază liniar, ceea ce, din punct de vedere fizic, corespunde mai mult situației reale. În acest caz însă, calculele se complică mult și devin foarte laborioase, fără a îmbunătăți sensibil precizia determinărilor.

6. Metoda intervalelor succesive se aplică și pentru calculul stabilității dinamice a unui sistem complex cu  $n$  centrale electrice care funcționează în paralel, repetînd operațiile de mai sus pentru fiecare mașină (centrală) echivalentă. În acest caz, la sfîrșitul fiecărui interval de timp se formează diferența  $\theta_{mn} = \theta_m - \theta_n$  între rotoarele diferitelor mașini unite două cîte două și se trasează curbele  $\theta_{mn} = \varphi(t)$ . Calculul stabilității dinamice a sistemului complex se va efectua pentru un timp de deconectare a scurtcircuitului bine determinat și fixat în prealabil; el se va continua, nu numai pînă la momentul deconectării scurtcircuitului, ci și după deconectare, adică pînă ce se stabilește dacă, în condițiile date, stabilitatea este sau nu atinsă. Un indiciu asupra menținerii stabilității este determinat de caracterul variației unghiurilor relative. Creșterea nelimitată a unei părți din aceste unghiuri arată că sistemul devine instabil. De exemplu, în cazul unui sistem cu trei centrale electrice, creșterea nelimitată a unghiurilor  $\theta_{12}$  și  $\theta_{13}$ , ca în

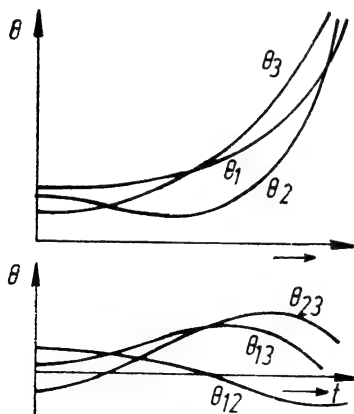


Fig. 9.33. Variația unghiurilor absolute și relative în cazul unui sistem cu trei centrale electrice, a cărei stabilitate dinamică se menține.

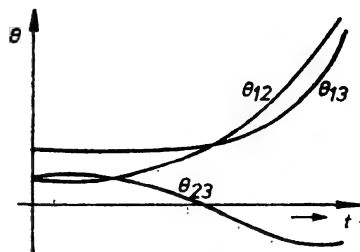


Fig. 9.32. Variația unghiurilor relative în caz de pierdere stabilității unui sistem format din trei centrale.

figura 9.32, arată că prima centrală iese din sincronism. Creșterea nelimitată a unghiurilor absolute, adică a unghiurilor orientate față de o axă arbitrară care se rotește sincron, nu demonstrează încă nestabilitatea sistemului, care are loc aproape totdeauna atunci cînd unghiurile relative încep să se micșoreze, după ce au trecut printr-o valoare maximă. O astfel de situație este arătată, de exemplu, în figura 9.33, cînd stabilitatea dinamică este menținută. Creșterea progresivă a unghiurilor absolute este rezultatul unei pierderi de sarcină, legată de căderea de tensiune în caz de scurtcircuit și indică doar faptul că a crescut frecvența medie a sistemului.

Dacă pentru timpul ales pentru deconectarea scurtcircuitului caracterul variației unghiurilor relative arată pierderea stabilității,

acesta poate fi micșorat și calculele pot fi repetate, pentru a constata dacă în continuare sistemul este sau nu stabil.

7. Pentru aplicarea metodei intervalelor succesive se poate indica următoarea metodologie de efectuare a calculelor.

*a.* Se calculează regimul permanent de funcționare al sistemului înaintea apariției defectului, care presupune determinarea tensiunilor electromotoare, a impedanțelor proprii și de transfer și a deschiderilor unghiulare ale rotoarelor mașinilor. În acest fel, se poate afla valoarea puterilor electrice debitate de generatoare care echilibrează puterile mecanice aplicate la axul acestora, corespunzătoare turbinelor.

*b.* Se întocmesc schemele de secvență inversă și homopolară ale sistemului și se calculează impedanțele rezultante, precum și impedanța existentă corespunzătoare scurtcircuitului considerat. Plecând de la acestea, se determină noile valori ale impedanțelor proprii și de transfer și puterile debitate de diferite mașini. Tensiunile electromotoare și unghiurile dintre rotoare își păstrează aceleași valori determinate la punctul *a*. Se calculează valoarea  $\Delta C_e^0$  sau  $\Delta P_e^0$  a cuplului sau puterii electrice suplimentare aplicată la axul rotorului la începutul primului interval de timp  $\Delta t$ .

*c.* Se calculează deschiderile unghiulare și vitezele relative la sfârșitul primului interval de timp, folosind relațiile (9.60) și (9.63), ceea ce permite determinarea valorilor puterilor și cuplurilor suplimentare la axul mașinii, la începutul celui de-al doilea interval de timp. Tensiunile electromotoare și impedanțele proprii și de transfer se consideră că își mențin valorile calculate inițial.

*d.* Se repetă aceeași operație la sfârșitul fiecărui interval de timp, până când are loc deconectarea scurtcircuitului și schimbarea schemei echivalente a sistemului. Cu impedanțele proprii și de transfer corespunzătoare noilor scheme echivalente, se urmează calculul așa cum s-a arătat mai sus, până când se constată caracterul de variație al mișcării. Când deconectarea scurtcircuitului se face la începutul intervalului de timp  $k$ , atunci se ține seama de relația (9.75). Dacă după un timp oarecare corespunzător intervalului  $m$ , de exemplu, tensiunea electromotoare scade sensibil și intervine regulatorul automat, atunci calculul se va face ținând seama de observația prezentată la punctul 4.

## BIBLIOGRAFIE

1. Antoniu, I. S. — *Bazele electrotehnicii*. București, Edit. didactică și pedagogică, 1974.
2. Bercovici, M., Arie, A. și Poeată, A. — *Rețele electrice — calcul electric*. București, Editura tehnică, 1974.
3. Barbier, C. — *Les modèles des machines électriques et des leurs organes de comande dans les études de comportement dynamique des réseaux*. Electricité de France, service Etudes de Réseaux, 1976.
4. Clarke, E. — *Analiza circuitelor sistemelor electroenergetice* (traducere din limba engleză). București, Editura tehnică, 1973.
5. Coulombel, A. — *Généralités sur les structures possibles des réseaux de distribution*. În: RGE 75 (1966), nr. 4, pag. 520—524.
6. Dupuis, J. P. — *Les postes et sous-station souterrains à haute tension dans l'alimentation en énergie électriques des grandes agglomérations*, CIRED, Londra, 1973, raport 6.4.(0).
7. Edelmann, H. — *Calculul electric al rețelelor interconectate. Baze matematice și aplicații tehnice* (traducere din limba germană). București, Editura tehnică, 1966.
8. Elgerd Olle — *Electric energy systems Theory*. New York, Mc. Graw-Hill book-Company, 1971.
9. Gantmaher, F. R. — *Teoria matricelor*. Vol. I. București, Editura Academiei RPR, 1957.
10. Gheorghiu, I. S. și Fransua, A. — *Tratat de mașini electrice — Transformatorul*. București, Editura Academiei RSR, 1970.
11. Grudinski, P. G. — *O poteriah energhii i zatratiah fuetnovo metala v energosistemah*. În: Elektricestvo, nr. 6, 1946.
12. Henriot, P. — *Fonctionnement et protection des réseaux de transport d'électricité*. Gauthiers-Villars, 1958.
13. Hill, J. H. R. și alții — *Récents expériences de la conception et l'exploitation du réseau de distribution intégré de la zone métropolitaine de Londre*. CIRED, Londra, 1973, raport 6.1. (T).
14. Iacobescu, Gh., Iordănescu, I. și Tenovici, R. — *Rețele electrice*, București, Editura didactică și pedagogică, 1975.
15. Jdanov, P. S. — *Stabilitatea sistemelor electrice* (traducere din limba rusă), 1952.
16. Kirchmayer, L. — *Economic operations of power systems*. New York, John Willy et Sons — Inc. 1958.
17. Marcovici, I. M. — *Rejimi energeticeskih sistem*. Gosenergoizdat, 1963.
18. Mauduit, A. — *Installation électriques à haute et basse tension. Production, transport et distribution de l'énergie électrique*. Paris, Dunod, 1950.
19. Panaitescu, G. și alții — *Aspecte ale dezvoltării energiei electrice în România. Istoric și realizări*. În: Energetica, nr. 9, 1969, pag. 410—415.
20. Panaitescu, G. și alții — *Aspecte ale dezvoltării energiei electrice în România (II). Dezvoltarea electrificării țării în perioada 1921—1950*. În: Energetica, nr. 1, 1970, pag. 3—9.
21. Parizy, J. — *Les problèmes posés par la pénétration de la très haute tension dans les zones urbaines*. În RGE (1966) nr. 4, pag. 463—467.



22. Potolea, E. — *Calculul regimurilor de funcționare ale sistemelor electroenergetice*. București, Editura tehnică, 1977.
23. Rădoi, Gh. și Gheorghe, M. — *Comportarea în exploatare a rețelei de cabluri de 5 kV trecută la tensiunea de 10 kV*. Referat la Simpozionul IDEB, București, 1973.
24. Rădoi, Gh. și Gheorghe, M. — *Electricitatea în orașul București, 1883—1973, 90 de ani de existență*, IDEB, București, 1973.
25. Rüdénberg, R. — *Fenomene tranzitorii în sistemele electroenergetice* (traducere din limba engleză), București, Editura tehnică, 1959.
26. Siromiatnikov, I. A. — *Rejimi raboti sinhronih generatorov*. Moskva-Leningrad, Gosenergoizdat, 1952.
27. Simonyi, K. — *Electrotehnică teoretică* (traducere din limba maghiară), București Editura tehnică, 1974.
28. Stagg, G. W., El-Abiad, A. N. — *Computer Methods in Power Systems Analysis* New York, Mc. Graw-Hill, 1968.
29. Stott, B. — *Review of Load-Flow Calculation Methods*. În: Proc. IEEE, vol. 62, No. 7 July 1974, pag. 916—929.
30. Ulianov, S. A. — *Regimuri tranzitorii ale sistemelor electrice* (traducere din limba rusă). București, Editura tehnică, 1967.
31. Venikov, V. A. și alții — *Electriceskije sistemi. Electriceskije rasceti, programirovanie i optimizacija rejimov*. Visšaia škola, Moskva, 1973.
32. Venikov, V. A. — *Perehodniije elektromehaničeskije proťesi v elektriceskikh sistemah*. Moskva-Leningrad, Gosenergoizdat, 1964.

---

*Plan editură 5855. Tiraj 6000+80. ex. leg.  $\frac{1}{1}$   
Coli de tipar 27,25.*

---



Tiparul executat sub comanda  
nr. 385 la

Întreprinderea poligrafică  
„13 Decembrie 1918”,  
str. Grigore Alexandrescu nr. 89—97  
București,  
Republica Socialistă România

Lei 18,90